

ПЕДАГОГИЧЕСКОЕ ОБРАЗОВАНИЕ

С. М. Окулов

ДИСКРЕТНАЯ МАТЕМАТИКА
ТЕОРИЯ И ПРАКТИКА
РЕШЕНИЯ ЗАДАЧ ПО ИНФОРМАТИКЕ

ПЕДАГОГИЧЕСКОЕ ОБРАЗОВАНИЕ

С. М. Окулов

ДИСКРЕТНАЯ МАТЕМАТИКА

ТЕОРИЯ И ПРАКТИКА

РЕШЕНИЯ ЗАДАЧ ПО ИНФОРМАТИКЕ

Учебное пособие

4-е издание, электронное



Москва
Лаборатория знаний
2020

УДК 519.85(075)
ББК 22.174я7
О-52

Серия основана в 2007 г.

Рецензенты:

академик РАО, доктор педагогических наук, профессор *А. А. Кузнецов*
доктор технических наук, профессор *В. Н. Комаров*

Окулов С. М.

О-52 Дискретная математика. Теория и практика решения задач по информатике : учебное пособие / С. М. Окулов. — 4-е изд., электрон. — М. : Лаборатория знаний, 2020. — 425 с. — (Педагогическое образование). — Систем. требования: Adobe Reader XI ; экран 10". — Загл. с титул. экрана. — Текст : электронный.

ISBN 978-5-00101-684-7

В учебном пособии даны ключевые разделы дискретной математики с практической реализацией алгоритмических решений. Книга написана на основе лекционного курса и практических занятий для студентов факультета информатики Вятского государственного гуманитарного университета, а также спецкурса, читаемого автором для школьников, занимающихся информатикой по углубленной программе.

Для студентов высших учебных заведений, а также старшеклассников, углубленно изучающих информатику.

УДК 519.85(075)
ББК 22.174я7

Деривативное издание на основе печатного аналога: Дискретная математика. Теория и практика решения задач по информатике : учебное пособие / С. М. Окулов. — М. : БИНОМ. Лаборатория знаний, 2008. — 422 с. : ил. — (Педагогическое образование). — ISBN 978-5-94774-498-9.

В соответствии со ст. 1299 и 1301 ГК РФ при устранении ограничений, установленных техническими средствами защиты авторских прав, правообладатель вправе требовать от нарушителя возмещения убытков или выплаты компенсации

ISBN 978-5-00101-684-7

© Лаборатория знаний, 2015

ОГЛАВЛЕНИЕ

Предисловие	7
Глава 1. Основные методы дискретной математики (счет и перебор)	10
1.1. Счет и перебор	10
1.2. Асимптотические обозначения и основная теорема	17
1.3. Эффект «комбинаторного взрыва»	20
<i>Упражнения и задачи</i>	22
<i>Комментарии</i>	24
Глава 2. Основные комбинаторные принципы и понятия в примерах	25
2.1. Принципы сложения и умножения	25
2.2. Подмножества	25
2.3. Принцип включения и исключения	26
2.4. Выборки	28
2.5. Размещения с повторениями	28
2.6. Размещения без повторений	29
2.7. Сочетания без повторений	30
2.8. Бином Ньютона и полиномиальная формула (комбинаторный смысл)	32
2.9. Сочетания с повторениями	33
2.10. Перестановки без повторений	33
2.11. Перестановки с повторениями	38
2.12. Задача о размещениях	39
2.13. Разбиения	42
2.14. Разбиения на циклы	43
2.15. Разбиение числа на слагаемые	45
<i>Упражнения и задачи</i>	46
<i>Комментарии</i>	51

Глава 3. Перечисление комбинаторных объектов	52
3.1. Общая схема генерации комбинаторных объектов	52
3.2. Генерация перестановок без повторов	53
3.3. Генерация сочетаний без повторов	54
3.4. Генерация размещений без повторов	55
3.5. Генерация перестановок с повторениями	57
3.6. Генерация сочетаний с повторениями	57
3.7. Генерация размещений с повторениями	57
3.8. Генерация подмножеств	58
3.9. Генерация разбиений	60
3.10. Генерация разбиений на циклы	66
3.11. Генерация разбиений числа на слагаемые	73
<i>Упражнения и задачи</i>	74
<i>Комментарии</i>	75
Глава 4. Рекуррентные и нерекуррентные формулы	76
4.1. Простые примеры	76
4.2. Числа Фибоначчи	77
4.3. Числа Каталана	82
4.4. Схема нахождения общего решения линейных рекуррентных уравнений	86
4.5. Производящие функции	90
4.6. Ладейные полиномы	97
4.7. Аддитивность задач, или динамическое программирование	101
<i>Упражнения и задачи</i>	106
<i>Комментарии</i>	110
Глава 5. Понятие графа, основные методы просмотра вершин графа 111	111
5.1. Терминология	111
5.2. Способы представления графа	112
5.3. Поиск в глубину	114
5.4. Поиск в ширину	116
5.5. Основные понятия	117
<i>Упражнения и задачи</i>	124
<i>Комментарии</i>	129
Глава 6. Деревья	130
6.1. Определение дерева	130
6.2. Перечисление остовных деревьев связного помеченного графа	131
6.3. Матричная формула Кирхгофа	134

6.4.	Алгоритм представления дерева в виде последовательно-	
	сти чисел	135
6.5.	Остовные деревья минимального веса	137
6.6.	Задача Штейнера	141
	<i>Упражнения и задачи</i>	143
	<i>Комментарии</i>	144
Глава 7.	Связность	145
7.1.	Вершинная и реберная связность	145
7.2.	Метод нахождения блоков графа	147
7.3.	Теорема Менгера	149
7.4.	Связность в орграфе	151
	<i>Упражнения и задачи</i>	154
	<i>Комментарии</i>	155
Глава 8.	Циклы	156
8.1.	Эйлеровы графы	156
8.2.	Гамильтоновы графы	158
8.3.	Фундаментальное множество циклов	161
8.4.	Матроиды	166
	<i>Упражнения и задачи</i>	172
	<i>Комментарии</i>	173
Глава 9.	Покрытия и независимость	174
9.1.	Основные понятия	174
9.2.	Метод генерации всех максимальных независимых мно-	
	жеств вершин графа	175
9.3.	Клики	179
9.4.	Доминирующие множества	180
9.5.	Паросочетания	185
9.6.	Матроиды трансверселей	196
9.7.	Диаграмма взаимосвязей между задачами	198
	<i>Упражнения и задачи</i>	201
	<i>Комментарии</i>	203
Глава 10.	Планарные графы	204
10.1.	Основные понятия	204
10.2.	Формула Эйлера	204
10.3.	Алгоритм укладки графа на плоскости	206
	<i>Упражнения и задачи</i>	214
	<i>Комментарии</i>	215

Глава 11. Раскраска вершин графа	216
11.1. Хроматическое число	216
11.2. Метод правильной раскраски	217
11.3. Методы поиска минимальной раскраски	219
<i>Упражнения и задачи</i>	222
<i>Комментарии</i>	223
Глава 12. Кратчайшие пути в графе	224
12.1. Постановка задачи. Вывод пути	224
12.2. Алгоритмы поиска кратчайших путей	226
<i>Упражнения и задачи</i>	234
<i>Комментарии</i>	235
Глава 13. Потоки в сетях	236
13.1. Основные понятия и постановка задачи	236
13.2. Алгоритм К. Эдмондса—Р. Карпа	237
13.3. Введение в метод блокирующих потоков или алгоритм Е. А. Диница	244
13.4. Модификация алгоритма Е. А. Диница	252
<i>Упражнения и задачи</i>	260
<i>Комментарии</i>	262
Ответы и решения	263
Задачи для самостоятельного решения	353
Приложение 1. Математические факты и доказательства отдельных теорем	375
Приложение 2. Описание основных элементов языков программирования Паскаль, визуального Бейсика и С++	396
Литература	414
Предметный указатель	416

ПРЕДИСЛОВИЕ

С момента появления компьютера и начала использования его для решения самых разнообразных задач получила развитие системная область знаний математики, связанная с программированием. Компьютер, при всех его огромных возможностях, может работать только с конечным множеством объектов (задача проецируется на конечномерный случай), причем на этом множестве объектов должно быть определено отношение порядка [21]. Только в этом случае проблема (задача) подвластна компьютеру при условии, что найден эффективный способ ее решения. Эффект «комбинаторного взрыва» показывает, что компьютер бывает бессилён при решении даже очень простых задач. Обобщая, можно сказать, что практически компьютер решает только две задачи: подсчет количества объектов определенной природы (счет) или поиск объекта (из известного множества объектов), удовлетворяющего определенным условиям (перебор).

Потребности практики, а именно программирования, определяют развитие «стыка» информатики и математики. Эта область знаний не исчерпывается одним предметом — «дискретной математикой», но он является характерным, основополагающим.

Структура книги

Главы 1, 2, 3, 4 — это материал по комбинаторике. Первой вводной темой являются проблемы счета и перебора (или выбора). К этим двум проблемам сводится большинство задач, решаемых на компьютере. Раскрывается суть «комбинаторного взрыва» — показывается ограниченность возможностей компьютера. И весь дальнейший курс строится под лозунгом преодоления этой огра-

ниченности. Тема прекрасно «ложится» на компьютерный вариант практики и служит пропедевтикой всех тем, изучаемых в дальнейшем. При изучении комбинаторных объектов (комбинаторики) следует, на наш взгляд, не ограничиваться задачами подсчета, рассматривая и вопросы перечисления комбинаторных объектов, а также задачи вычисления номера комбинаторного объекта в соответствии с установленным отношением порядка так, как это сделано, например, в работе [20]. Рассмотрение комбинаторных чисел «плавно подводит» к рекуррентным соотношениям и методам исчисления конечных сумм.

Завершается курс темой «Алгоритмы на графах» (главы с 5 по 13). Эта тема тесно связана с рассмотренными комбинаторными проблемами. Отметим возможность различного по сложности уровня обобщения теоретического материала и построения компьютерно-ориентированных практических занятий.

Доказательства теорем приведены в приложении 1. Они даются автором, как правило, в курсе дискретной математики по специальности «прикладная математика и информатика».

Особенности книги

Книга является учебным пособием по дискретной математике и написана по результатам педагогической деятельности автора, осуществляемой в рамках:

— спецкурса для школьников старших классов физико-математического лицея;

— курса дискретной математики для студентов педагогической специальности «учитель информатики»;

— курса дискретной математики для студентов, специализирующихся в прикладной математике и информатике.

Текст книги — это синтез лекционных и практических занятий, проводимых по всем трем направлениям деятельности. Автор преследовал основную цель — написать просто даже о сложном так, чтобы пособие было полезно и школьнику, и учителю информатики, и студенту, и преподавателю вуза.

Используемые обозначения

Для записи алгоритмов используется минимальное подмножество языка программирования Паскаль, синтаксис которого счита-

ется очевидным. Перевод в другие системы программирования не вызывает трудностей. Соответствие между используемой нотацией Паскаля и языками С++ и визуальным Бейсиком приведено в приложении 2. Не используются различного рода псевдокоды, которые есть как в отечественной, так и в переводной литературе, по той простой причине, чтобы читатель, набрав текст и уточнив логику, мог получить действующую программу. Заглавные буквы, используемые для выделения конструкций языка, кое-кого приводят в недоумение. Автор осознанно делает это, ибо фрагмент текста при этом становится не монотонным, а образным и легче воспринимаемым. Сочетание зрительного образа, вербального разъяснения и действий с объектом, в данном случае с программой, по мнению психологов, является наиболее действенным в системе восприятия и запоминания человека.

В фигурных скобках {} даются комментарии. В угловых скобках <> — фрагменты логики, описанные словами. Если в формулировке задачи не оговариваются параметры входных данных, например значение n , то право выбора предоставлено читателю.

Благодарности

Автор выражает благодарность Тамаре Николаевне Котельниковой, которая много лет приводит его рукописи в приличный с точки зрения русского языка вид, а также многочисленным школьникам и студентам, творчески изучавшим курс. Роман Александрович Веснин, Максим Анатольевич Корчемкин, Артем Николаевич Алалыкин оказали помощь автору в разработке материалов для отдельных параграфов, за что им огромная признательность. Ульяна Александровна Токмакова помогла автору в оформлении рукописи, профессионально переоформив все рисунки. Особо хотелось бы поблагодарить Ирину Анатольевну Маховую, главного редактора издательства «БИНОМ. Лаборатория знаний» — ее профессионализм, приложенный к книгам автора, внес в них то, чего им так не хватало много лет.

ГЛАВА 1

ОСНОВНЫЕ МЕТОДЫ ДИСКРЕТНОЙ МАТЕМАТИКИ (СЧЕТ И ПЕРЕБОР)

1.1. Счет и перебор

Приведем несколько примеров, в которых требуется подсчитать количество объектов определенной природы.

Пример 1.1. Подсчитать количество последовательностей из натуральных чисел от 1 до n , в которые каждое из этих чисел входит по одному разу.

На первое место в последовательности можно записать любое из n чисел; на второе любое из оставшихся $n-1$ чисел и т. д. Общее количество последовательностей равно произведению $1 \cdot 2 \cdot 3 \cdot \dots \cdot (n-1) \cdot n$. Это произведение обозначают $n!$ (читается как n факториал).

При $n=7$ значение $n! = 5040$, а при $n=8$ — уже 40 320. Для вычисления и хранения чисел такого порядка в компьютере использовать величину типа *Integer* нельзя. Аналогично и с величинами типа *LongInt*, так как последнее значение n , для которого можно сохранить значение факториала, равно 12 ($13! = 6\,227\,020\,800$). Вычисление для больших значений n рассмотрено в книге [20]. ◀

Пример 1.2. Подсчитать количество единиц в двоичном представлении целого положительного числа.

Рассмотрим величины типа *Word*. Длина двоичного представления чисел равна 16 битам ($n=16$). Например, в двоичной последовательности 0101101001001001 содержится 7 единиц.

Первый вариант решения

```
Const n=16;  
Var a, cnt, i:Word;  
Begin  
  ReadLn(a);  
  cnt:=0;
```

```

For i:=1 To n Do
  If a And (1 ShL (i-1))=1 Then cnt:=cnt+1;
  {a ShL b – сдвиг величины a влево на b разря-
  дов}
WriteLn(cnt);
End.

```

За 16 операций сравнения вычисляется результат.

Примечание. Для вывода двоичного представления числа можно использовать следующую простую процедуру.

```

Procedure Rec(x:Word);
Begin
  If x>1 Then Rec(x Div 2);
  Write(x Mod 2);
End;

```

Второй вариант решения

```

...
While a<>0 Do Begin
  cnt:=cnt+1;
  a:=a And (a-1);
End;
...

```

В этом случае количество операций пропорционально количеству единиц в двоичном представлении числа. Используется тот факт, что операция $a \text{ And } (a - 1)$ «убирает» одну единицу из двоичного представления числа.

Например:

a	0101101001000000
$a - 1$	0101101000111111
$a \text{ And } (a - 1)$	0101101000000000

Третий вариант решения. Вычисление за 4 операции независимо от количества единиц в представлении числа.

Рассмотрим идею решения на примере. Дано 0101101001001001. Пронумеруем биты справа налево. Выделим нечетные биты, а на место четных битов запишем нулевые значения. Затем выделим четные биты, на место нечетных битов запишем нулевые значения, сдвинем получившуюся величину на 1 разряд вправо. Выполним обычное сложение двух найденных величин. Результаты этих «манипуляций» приведены в табл. 1.1.

Таблица 1.1

	16	15	14	13	12	11	10	9	8	7	6	5	4	3	2	1
a	0	1	0	1	1	0	1	0	0	1	0	0	1	0	0	1
Нечетные биты a	0	1	0	1	0	0	0	0	0	1	0	0	0	0	0	1
Четные биты a , сдвинутые на один разряд вправо	0	0	0	0	0	1	0	1	0	0	0	0	0	1	0	0
Новое значение a	0	1	0	1	0	1	0	1	0	1	0	0	0	1	0	1

С новым значением a выполним аналогичную операцию, но теперь будем работать с группами из двух соседних битов. Действие представлено в табл. 1.2.

Таблица 1.2

	16	15	14	13	12	11	10	9	8	7	6	5	4	3	2	1
a	0	1	0	1	0	1	0	1	0	1	0	0	0	1	0	1
Биты 1, 2, 5, 6, 9, 10, 13, 14 из a	0	0	0	1	0	0	0	1	0	0	0	0	0	0	0	1
Биты 3, 4, 7, 8, 11, 12, 15, 16 из a , сдвинутые на 2 разряда вправо	0	0	0	1	0	0	0	1	0	0	0	1	0	0	0	1
Новое значение a	0	0	1	0	0	0	1	0	0	0	0	1	0	0	1	0

Продолжим вычисления. На этот раз группировать будем по 4 бита. Результаты преобразований см. в табл. 1.3.

Таблица 1.3

	16	15	14	13	12	11	10	9	8	7	6	5	4	3	2	1
a	0	0	1	0	0	0	1	0	0	0	0	1	0	0	1	0
Биты 1, 2, 3, 4, 9, 10, 11, 12 из a	0	0	0	0	0	0	1	0	0	0	0	0	0	0	1	0
Биты 5, 6, 7, 8, 13, 14, 15, 16 из a , сдвинутые на 4 разряда вправо	0	0	0	0	0	0	1	0	0	0	0	0	0	0	0	1
Новое значение a	0	0	0	0	0	1	0	0	0	0	0	0	0	0	1	1

И наконец, последний шаг представлен в табл. 1.4.

Таблица 1.4

	16	15	14	13	12	11	10	9	8	7	6	5	4	3	2	1
a	0	0	0	0	0	1	0	0	0	0	0	0	0	0	1	1
Биты 1, 2, 3, 4, 5, 6, 7, 8 из a	0	0	0	0	0	0	0	0	0	0	0	0	0	0	1	1
Биты 9, 10, 11, 12, 13, 14, 15, 16 из a , сдвинутые на 8 разрядов вправо	0	0	0	0	0	0	0	0	0	0	0	0	0	1	0	0
Новое значение a	0	0	0	0	0	0	0	0	0	0	0	0	0	1	1	1

Значение a равно 7, это и есть ответ. Количество единиц в двоичном представлении числа (или сумма значений разрядов слова)

вычислено за четыре описанных действия. При n , равном 32, 64, 128, потребуется соответственно 5, 6 и 7 действий.

```
Const L=4;
      C=Array[1..2*L] Of Word=( $\$5555$ ,  $\$AAAA$ ,
       $\$3333$ ,  $\$CCCC$ ,  $\$0F0F$ ,  $\$F0F0$ ,  $\$00FF$ ,  $\$FF00$ );
Var a,s,i:Word;
Begin
  ReadLn(a);
  s:=1;
  For i:=1 To L Do Begin
    a:=(a And C[2*i-1])+((a And C[2*i]) ShR s);
    s:=s ShL 1;
  End;
  WriteLn(a);
End.
```

Разъяснение записи констант приведено в табл. 1.5.

Таблица 1.5

	16	15	14	13	12	11	10	9	8	7	6	5	4	3	2	1
$\$5555$	0	1	0	1	0	1	0	1	0	1	0	1	0	1	0	1
$\$AAAA$	1	0	1	0	1	0	1	0	1	0	1	0	1	0	1	0
$\$3333$	0	0	1	1	0	0	1	1	0	0	1	1	0	0	1	1
$\$CCCC$	1	1	0	0	1	1	0	0	1	1	0	0	1	1	0	0
$\$0F0F$	0	0	0	0	1	1	1	1	0	0	0	0	1	1	1	1
$\$F0F0$	1	1	1	1	0	0	0	0	1	1	1	1	0	0	0	0
$\$00FF$	0	0	0	0	0	0	0	0	1	1	1	1	1	1	1	1
$\$FF00$	1	1	1	1	1	1	1	1	0	0	0	0	0	0	0	0

Четвертый вариант решения (гипотетический). В таблице заранее зафиксирован ответ для каждого целого положительного числа заданного диапазона. Размер таблицы 2^n (при $n = 16$ требуется хранить таблицу из 64 Кбайт при условии, что адресация осуществляется на уровне байтов). Для больших значений n объем требуемой памяти весьма значителен. Пусть $n = 3$. Данные приведены в табл. 1.6.

За одно обращение к памяти получается результат. Значение величины является адресом ячейки памяти. Этот вариант решения иллюстрирует один из фундаментальных принципов информатики —

Таблица 1.6

Двоичное представление числа (является адресом ячейки памяти)	Количество единиц (хранится в памяти)
000	0
001	1
010	1
011	2
100	1
101	2
110	2
111	3

«принцип косвенной адресации». Это первый аспект. Второй аспект заключается в том, что, «ускоряясь» в одном, мы проигрываем в другом. Выигрывая в быстродействии, проигрываем в памяти. А если смысл в том, чтобы искать более эффективные (по какому-то из критериев!) алгоритмы? Компьютер обладает огромным быстродействием, а мы говорим, что 16 операций — это плохо, а 4 — хорошо, одна еще лучше, но слишком много требуется памяти. Образно выражаясь, вся история информатики связана с борьбой за эффективность алгоритмов работы как самого компьютера, так и программ, и увеличение производительности компьютера не уменьшает накала этой борьбы, ибо, как будет показано, этот рост не решает многих проблем. ◀

Общая постановка проблемы перебора. Пространство решения задачи описывается семейством n упорядоченных множеств A_1, A_2, \dots, A_n (A_i могут и совпадать). Требуется ответить на вопрос, существует ли вектор (a_1, a_2, \dots, a_n) , где $a_1 \in A_1, a_2 \in A_2, \dots, a_n \in A_n$, удовлетворяющий определенным условиям, или перечислить все возможные векторы, удовлетворяющие этим условиям. На стадии предварительной обработки (до фактического перебора вариантов) обычно исследуется структура множеств A_i с целью уменьшения размерности или установления определенных зависимостей (задача о ферзях, см. пример 1.3), позволяющих сократить перебор.

Пример 1.3. На шахматной доске $n \times n$ требуется расставить n ферзей, не атакующих друг друга. Пусть $n = 8$, и наша задача заключается в поиске всех возможных расстановок ферзей.

Первый вариант решения. Из 64 клеток доски требуется выбрать 8 и проверить условие: будут ли ферзи атаковать друг друга, если их поставить на эти клетки. Все A_i совпадают, и каждое множество состоит из всех 64 клеток доски ($i = 1, 2, \dots, 8$). Сокращение перебора определяется только тем фактом, что на одну клетку поля нельзя ставить двух и более ферзей. Число способов расстановки определяется числом способов выбора 8 клеток из 64 (число сочетаний — C_{64}^8), а это порядка $4,4 \cdot 10^9$ вариантов. Если пренебречь временем проверки условия «атакуют — не атакуют», то и время решения задачи пропорционально этому значению.

Второй вариант решения. Каждый столбец поля может содержать только одного ферзя. В каждом A_i уже не 64 элемента, а восемь, что существенно сокращает перебор. Не задумываясь, ставим ферзя

в каждом столбце, а затем проверяем, удовлетворяет расстановка условию задачи или нет. Таких расстановок 8^8 или порядка $1,7 \cdot 10^7$.

Третий вариант решения. Двух ферзей нельзя поставить на одну горизонталь. Количество элементов в A_i по-прежнему 8, однако выбор элемента из A_i во время перебора существенно сокращает количество элементов в A_{i+1} . Итак, на первой горизонтали ставим ферзя в любую клетку, их восемь, на второй — в клетки не занятого столбца, таких клеток 7. На двух горизонталях число расстановок $8 \cdot 7$, а для всей доски — $8 \cdot 7 \cdot 6 \cdot 5 \cdot 4 \cdot 3 \cdot 2 \cdot 1$ или $8! = 40\,320$.

Четвертый вариант решения. Количество элементов в A_i равно 8 (поле разбиваем на столбцы). Однако если учитывать тот факт, что на одну диагональ можно ставить только одного ферзя, то постановка ферзя на горизонталь с номером i существенно сокращает количество допустимых клеток на горизонтали с номером $i + 1$. Количество проверяемых расстановок ферзей становится равным 2056. ◀

Общая схема решения. Большинство переборных задач решается по одной и той же схеме*). Опишем ее.

```

Procedure Solve(i:Word);
  {Величины, описывающие решение  $(a_1, a_2, \dots, a_n)$ ,
  и множества  $A_1, A_2, \dots, A_n$  — глобальные переменные}
  Begin
    If <решение найдено>
      Then <записать или вывести решение>
    Else Begin
      <сформировать  $S_i$  — множество допустимых значений из  $A_i, S_i \subset A_i$ >;
      For < $s_i \in S_i$ > Do Begin
        <включить  $s_i$  в решение>;
        Solve(i+1);
        <исключить  $s_i$  из решения>;
      End;
    End;
  End;
End;

```

Вариант поиска единственного решения отличается от приведенного выше. В этом случае при найденном первом решении следует

*) Самое удивительное в этом мире то, что в основе даже самых сложных понятий и проблем лежит простота.

прервать выполнение процедуры. Сохранение структурного вида решения не позволяет использовать действия типа остановки вычислительного процесса (оператор *Halt*) или «насильственного» выхода из логики (оператор *Exit*).

Нерекурсивный вариант реализации поиска всех решений:

Procedure Solve;

{Величины, описывающие вектор (a_1, a_2, \dots, a_n) , и множества A_1, A_2, \dots, A_n — глобальные переменные}

Const n=...;

Type ASet = <совпадает с типом величины A_i >;

Var S:Array[1..n] Of ASet;

t:Word;

Begin

S[1]:=A1; {Типы величин совпадают}

t:=1;

While t>0 Do Begin

While S[t]<>[] Do Begin

{Квадратными скобками в Паскале обозначается пустое множество. Обычное обозначение — \emptyset }

<включить элемент $a_i \in S[t]$ в решение>;

<исключить a_i из $S[t]$,

$S[t] := S[t] - [a_i]$ >;

If $\langle (a_1, a_2, \dots, a_t)$ является решением>

Then <сохранить решение>;

t:=t+1;

<формируем значение $S[t]$ >;

End;

t:=t-1; {Уменьшаем частичное решение}

End;

End.

Пусть количество элементов в каждом из A_i ограничено сверху константой C . Тогда общее количество вариантов, подлежащих перебору, не превосходит C^n . С ростом n эта величина растет по экспоненциальному закону, так что все вышеизложенное следует рассматривать лишь как схему решения, и в каждом конкретном случае необходимо искать пути сокращения рассматриваемых вариантов. В этом одно из назначений области знаний под названием «дискретная математика». Задача о расстановке ферзей имеет временную сложность $T(n) = O(C^n)$.

1.2. Асимптотические обозначения и основная теорема

Речь пойдет об использовании символов Θ , Ω , O (читается как «тэта», «омега большая», «о большое»), или оценке скорости роста функций. Через $[a]$ обозначается наибольшее целое число, не превосходящее вещественное число a , точно так же $\lceil a \rceil$ есть наименьшее целое число, не меньшее a . Для любого числа a справедливы неравенства: $a - 1 < [a] \leq a \leq \lceil a \rceil < a + 1$. Для обозначения логарифма по основанию 2 будем использовать упрощенную запись \log .

Пример 1.4. Рассмотрим простой фрагмент программы.

```
Begin
  cnt:=0;
  For i:=1 To 2*n Do
    For j:=1 To i Do cnt:=cnt+1;
  End;
```

Чему будет равно значение *cnt*? При каждом значении i выполняется i операций сложения. Подсчитаем, $1 + 2 + \dots + 2n = 2n \times (2n - 1) / 2 = 2n^2 - n$. Временная сложность алгоритма $t(n) = \Theta(n^2)$. Она говорит о том, что с ростом n время работы программы растет так же, как возрастает значение функции n^2 . В данном примере выполнена точная оценка времени работы алгоритма. В большинстве случаев точную оценку получить затруднительно. ◀

Пример 1.5. Известно, что операция умножения требует для своего выполнения в компьютере большего времени, чем операции сложения, вычитания и сдвигов. Пусть требуется умножить два десятичных числа $a = 4235$ и $b = 6147$. Представим $a = 42 \cdot 100 + 35$ и $b = 61 \cdot 100 + 47$. Запишем $a = x_1 \cdot 10^2 + x_2$, $b = y_1 \cdot 10^2 + y_2$. Тогда $a \cdot b = x_1 \cdot y_1 \cdot 10^4 + (x_1 \cdot y_2 + x_2 \cdot y_1) \cdot 10^2 + x_2 \cdot y_2$. Пока мы заменили одно умножение четырехразрядных (десятичных) чисел на 4 умножения двухразрядных чисел, умножение числа на 10^q есть сдвиг на q десятичных разрядов влево. Введем следующие обозначения:

$$t = (x_1 + x_2) \cdot (y_1 + y_2); \quad v = x_1 \cdot y_1; \quad w = x_2 \cdot y_2.$$

Тогда $a \cdot b = v \cdot 10^4 + (t - v - w) \cdot 10^2 + w$. Для примера $t = 8316$, $v = 2562$, $w = 1645$ и $a \cdot b = 25\,620\,000 + (8316 - 2562 - 1645) \cdot 100 + 1645 = 26\,032\,545$. В данной схеме вместо одного умножения «больших» чисел используется три умножения «маленьких» чисел и операции сложения, вычитания, сдвигов.

Пусть a и b — n -разрядные двоичные числа и n является степенью двойки. Тогда $a \cdot b = x_1 \cdot y_1 \cdot 2^n + (x_1 \cdot y_2 + x_2 \cdot y_1) \cdot 2^{n/2} + x_2 \cdot y_2$, или

$a \cdot b = v \cdot 2^n + (t - v - w) \cdot 2^{n/2} + w$. Следовательно, время умножения двух n -разрядных чисел можно выразить так:

$$T(n) = \begin{cases} k & \text{при } n = 1, \\ 3T(n/2) + kn & \text{при } n > 1, \end{cases}$$

где k — постоянное время выполнения операций сложения и сдвигов. Решение уравнения есть $T(n) = 3kn^{\log_3 3} - 2kn$. Доказывается индукцией. Значение n — степень числа 2. Базис при $n=1$ очевиден. Пусть $T(n) = 3kn^{\log_3 3} - 2kn$ справедливо при $n=q$. Тогда (шаг индукции) $T(2q) = 3T(q) + 2kq = 3(3kq^{\log_3 3} - 2kq) + 2kq = 3k(2q)^{\log_3 3} - 2k(2q)$. Следовательно, $T(n) \leq 3kn^{\log_3 3}$.

Примечание. При реализации данного метода умножения следует учесть, что числа $x_1 + x_2$ и $y_1 + y_2$ имеют не более $n/2 + 1$ разрядов. ◀

В последнем примере время работы алгоритма выражено через время его работы при входных данных меньшего размера плюс известная величина. Такого рода зависимости называют *рекуррентными* соотношениями (уравнениями, формулами). Мы неоднократно будем к ним обращаться. По большому счету, они отражают на аналитическом уровне зависимости, возникающие при реализации фундаментального положения информатики — принципа «разделяй и властвуй».

В общем случае, если $T(n)$ — время работы программы и если есть некоторые константы c_1, c_2 и число n_0 , такие, что $0 \leq c_1 \cdot g(n) \leq T(n) \leq c_2 \cdot g(n)$ для всех $n \geq n_0$, то записывают $T(n) = \Theta(g(n))$. Говорят, что $g(n)$ является асимптотически точной оценкой для $T(n)$

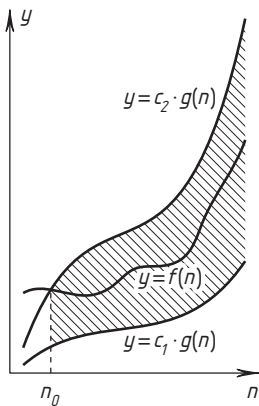


Рис. 1.1. Иллюстрация зависимости $f(n) = \Theta(g(n))$ (для всех $n \geq n_0$)

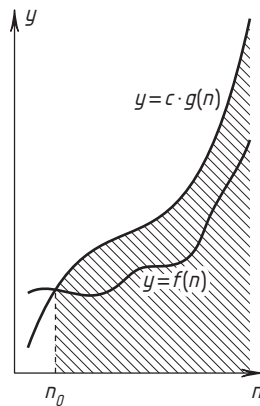


Рис. 1.2. Иллюстрация зависимости $f(n) = O(g(n))$ (для всех $n \geq n_0$)

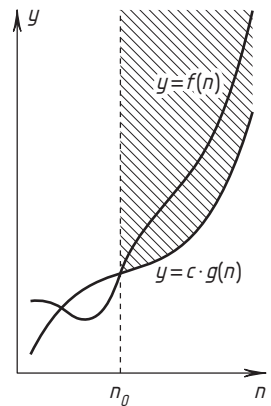


Рис. 1.3. Иллюстрация зависимости $f(n) = \Omega(g(n))$ (для всех $n \geq n_0$)

(рис. 1.1). Определение асимптотической оценки позволяет отбрасывать члены меньшего порядка (в примере 1.4 это $-n$). При больших значениях n они становятся малыми по сравнению с основными слагаемыми. Запись $T(n) = \Theta(g(n))$ дает две оценки: верхнюю и нижнюю. Если записывают $T(n) = O(g(n))$, то говорят только о верхней оценке (рис. 1.2), т. е. существует такая константа c и число n_0 , что $0 \leq T(n) \leq c \cdot g(n)$ для всех значений $n \geq n_0$. Запись $T(n) = \Omega(g(n))$ говорит о том, что существует такая константа c и число n_0 , что $0 \leq c \cdot g(n) \leq T(n)$ для всех значений $n \geq n_0$, т. е. это нижняя оценка функции $T(n)$ (рис. 1.3).

Теорема (основная теорема о рекуррентных соотношениях). Пусть $a \geq 1$ и $b > 1$ — константы, $f(n)$ — положительная функция, определенная для положительных целых чисел, и функция $T(n)$ задана следующим образом:

$$T(n) = aT\left(\frac{n}{b}\right) + f(n),$$

где $\frac{n}{b}$ трактуется как $\left\lfloor \frac{n}{b} \right\rfloor$, так и $\left\lceil \frac{n}{b} \right\rceil$. Тогда:

1) если $f(n) = O(n^{\log_b a - \varepsilon})$ для некоторой константы $\varepsilon > 0$, то $T(n) = \Theta(n^{\log_b a})$;

2) если $f(n) = \Theta(n^{\log_b a})$, то $T(n) = \Theta(n^{\log_b a} \log n)$;

3) если $f(n) = \Omega(n^{\log_b a + \varepsilon})$ для некоторой константы $\varepsilon > 0$ и существуют константы $c < 1$ и $N > 0$, такие, что из $\frac{n}{b} > N$ следует $af\left(\frac{n}{b}\right) \leq cf(n)$, то $T(n) = \Theta(f(n))$.

В теореме сравнивается изменение функций $f(n)$ и $n^{\log_b a}$. Логически возможны три результата сравнения, они и отражены в теореме. В приложении 1 приведено доказательство теоремы для случая, когда n является неотрицательной целочисленной степенью числа b . Константа ε в первом и третьем случаях задает некоторый «запас прочности» — недостаточно, чтобы $f(n)$ была меньше или больше функции $n^{\log_b a}$, необходимо выполнение условий для некоторого значения $\varepsilon > 0$. Функция $n^{\log_b a}$ как бы сдвигается вниз или вверх на определенное значение.

Пример 1.6. Пусть

$$T(n) = \begin{cases} \Theta(1) & \text{при } n = 1, \\ T\left(\frac{n}{2}\right) + 1 & \text{при } n > 1. \end{cases}$$

Так как $f(n) = 1 = n^{\log_2 1}$, то имеем второй случай теоремы $T(n) =$

$= \Theta(\log n)$. Оценим по-другому:

$$\begin{aligned} T(n) &= T\left(\frac{n}{2}\right) + \Theta(1) = T\left(\frac{n}{4}\right) + \Theta(1) + \Theta(1) = T\left(\frac{n}{4}\right) + 2 \cdot \Theta(1) = \\ &= T\left(\frac{n}{8}\right) + 3 \cdot \Theta(1). \end{aligned}$$

В общем виде $T(n) = T\left(\frac{n}{2^k}\right) + k \cdot \Theta(1)$. Так как $1 = \frac{n}{2^k}$ при $k = \log n$, то имеем

$$T(n) = T(1) + \log n \cdot \Theta(1) = \Theta(1) + \log n \cdot \Theta(1) = \Theta(\log n). \quad \blacktriangleleft$$

Пример 1.7. Пусть

$$T(n) = \begin{cases} \Theta(1) & \text{при } n = 1, \\ 2 \cdot T\left(\frac{n}{2}\right) + n & \text{при } n > 1. \end{cases}$$

Имеем $a = 2$, $b = 2$, $f(n) = n = n^{\log_b a}$. Второй случай теоремы — $T(n) = \Theta(n \log n)$. Оценим по-другому:

$$\begin{aligned} T(n) &= 2 \cdot T\left(\frac{n}{2}\right) + \Theta(n) = 2\left(2 \cdot T\left(\frac{n}{4}\right) + \Theta\left(\frac{n}{2}\right)\right) + \Theta(n) = \\ &= 4 \cdot T\left(\frac{n}{4}\right) + 2 \cdot \Theta(n) = 4\left(2 \cdot T\left(\frac{n}{8}\right) + \Theta\left(\frac{n}{4}\right)\right) + 2 \cdot \Theta(n) = \\ &= 8 \cdot T\left(\frac{n}{8}\right) + 3 \cdot \Theta(n). \end{aligned}$$

Так как $1 = \frac{n}{2^k}$ при $k = \log n$, то $T(n) = \Theta(n \log n)$. \blacktriangleleft

Пример 1.8. Пусть $T(n) = T\left(\frac{n}{4}\right) + n^{1/2}$. Имеем $a = 1$, $b = 4$, $f(n) = n^{1/2} = \Omega(n^{\log_b a + 0.5})$. Так как $af(n/b) = (n/4)^{1/2} = n^{1/2}/2 = 0.5f(n)$, получаем третий случай теоремы — $T(n) = \Theta(n^{1/2})$. \blacktriangleleft

1.3. Эффект «комбинаторного взрыва»

Пусть размерность задачи определяется значением n и есть три алгоритма ее решения AL_1 , AL_2 и AL_3 . Для выполнения первого алгоритма компьютеру необходимо выполнить n операций, второго — n^2 операций и третьего — 2^n операций. Временные оценки работы алгоритмов имеют вид: $t_1 = O(n)$, $t_2 = O(n^2)$ и $t_3 = O(2^n)$. Оценим время работы алгоритмов в зависимости от значения n , но вначале

научимся преобразовывать числа, записанные как степени двойки, в числа, являющиеся степенями десяти. Это простое правило покажем на примере: $2^{100} = (2^{10})^{10} \approx (1024)^{10} \approx (10^3)^{10} = 10^{30}$. Запомним (или вычислим) еще один факт — один год содержит $3,155 \cdot 10^7$ секунд. Пусть в нашем распоряжении находится гипотетический компьютер с быстродействием $10\,000\,000\,000 = 10^{10}$ операций в секунду. Данные расчетов приведены в табл. 1.7.

Таблица 1.7

n	n^2	2^n	t_1	t_2	t_3
10	10^2	$2^{10} \approx 10^3$	10^{-9} с	10^{-8} с	10^{-7} с
$100 = 10^2$	10^4	$2^{100} \approx 10^{30}$	10^{-8} с	10^{-6} с	10^{21} с $\approx 0,31 \cdot 10^{14}$ лет
$1000 = 10^3$	10^6	$2^{1000} \approx 10^{300}$	10^{-7} с	10^{-4} с	10^{290} с $\approx 0,31 \cdot 10^{283}$ лет
$10\,000 = 10^4$	10^8	$2^{10000} \approx 10^{3000}$	10^{-6} с	10^{-2} с	10^{2990} с $\approx 0,31 \cdot 10^{2983}$ лет

Полужирным шрифтом в таблице выделено то, что называют «комбинаторным взрывом». Увеличение быстродействия компьютера не разрешает ситуацию, поэтому методы дискретной математики, снижающие в определенных случаях остроту проблемы, имеют большое значение для информатики.

Примечание. Проверьте данные, приведенные в табл. 1.7.

Как быстро сделать предварительную оценку времени работы экспоненциального алгоритма? Приведем «правило 72»^{*)}. Оно приближенное, но позволяет делать быстрые оценки для зависимостей, подчиняющихся экспоненциальному закону.

Пример 1.9. Предположим, что в банк кладется некая сумма денег S на t лет и ставка составляет r процентов в год. Спрашивается, через сколько лет сумма удвоится, т. е. станет равной $2 \cdot S$. Оказывается, что если $t \cdot r = 72$, то сумма удвоится через t лет. Если $r = 6\%$ и $S = 1000$ рублей, то через 12 лет сумма составит 2000 рублей. А через сколько лет произойдет 10 удвоений, т. е. сумма возрастет примерно в тысячу раз? ◀

Пример 1.10. Если количество бактерий в организме растет со скоростью 3% в час, то через 24 часа их количество удвоится. Каждая бактерия весит 1 мг, в организм попала одна бактерия, и каждая бактерия живет вечно. Через какое время суммарный вес бактерий составит 70 килограммов? ◀

^{*)} Бенгли Дж. Жемчужины программирования. — СПб.: Питер, 2002.

Рассмотрим схему применения «правила 72» к оценке времени работы программы на примере. Предположим, что есть алгоритм типа AL_3 с экспоненциальным временем работы, и задача с размерностью $n = 40$ решается за 10 секунд. При увеличении n на единицу время возрастет на 12%. Это следует из анализа экспоненциальной зависимости. Примем это как факт. «Правило 72» гласит, что при увеличении n на 6 единиц время увеличится в 2 раза, а при увеличении n на 60 время увеличится в 1000 раз и составит 10^4 секунд. Таким образом, при $n = 100$ алгоритм работает 10^4 секунд, а при $n = 160$ — в течение 10^7 секунд или примерно 8 часов.

Упражнения и задачи

1.1. Написать программу поиска всех способов расстановки n ферзей на шахматной доске $n \times n$ клеток так, чтобы они не били друг друга.

Примечание. В формулировках следующих задач слово «шахматная» не используется.

1.2. Путем поворота доски и зеркальных отображений часть расстановок ферзей совпадает. Назовем их симметричными. Изменить решение предыдущей задачи так, чтобы осуществлялся поиск только несимметричных расстановок.

1.3. Изменить решение задачи 1.1 так, чтобы находилась только одна расстановка ферзей.

1.4. Написать программу поиска обхода конем доски $n \times m$. Конь должен побывать на каждой клетке доски только один раз. Начальная позиция коня произвольна.

1.5. Решить задачу 1.4, используя следующее правило: конь очередным ходом ставится на непройденную клетку не по правилу обхода возможных продолжений по «часовой стрелке», а в очередности возрастания количества возможных ходов, которые можно сделать из клетки-кандидата на очередной ход. Если таких клеток несколько, то выбирается любая.

1.6. Магараджа — это фигура, которая объединяет в себе ходы коня и ферзя. Для доски 10×10 написать программу поиска расстановки 10 мирных (не бьющих друг друга) магараджей.

1.7. Написать программу заполнения таблицы размером 5×5 числами от 1 до 25 по следующему принципу. Если в клетку с координатами (x, y) записано число i ($1 \leq i \leq 25$), то число $i + 1$ записывается в клетку с координатами (z, w) , вычисляемыми по одному

из следующих правил:

$$(z, w) = (x \pm 3, y);$$

$$(z, w) = (x, y \pm 3);$$

$$(z, w) = (x \pm 2, y \pm 2).$$

1.8. Написать программу для вычисления количества всех возможных расстановок номеров в задаче 1.7 для всех начальных позиций, расположенных в правом верхнем треугольнике таблицы, включая ее главную диагональ.

1.9. Написать программу, вычисляющую количество возможных обходов шахматным конем доски размера $n \times n$ ($n \leq 6$) для всех начальных позиций, расположенных в правом верхнем треугольнике доски, включая ее главную диагональ.

1.10. Дано по четыре экземпляра каждого из чисел: 2, 3, 4, 6, 7, 8, 9, 10. Составьте алгоритм размещения их в таблице 6×6 (рис. 1.4) так, чтобы в клетках, обозначенных одинаковыми значками, находились равные числа и суммы чисел на каждой горизонтали, вертикали и обеих диагоналях совпадали.

Примечание. Обратите внимание на то, что число 11 уже записано в таблице 4 раза.

1.11. *Задача о магических квадратах.* Написать программу, размещающую числа 1, 2, 3, ..., n^2 в квадратной таблице $n \times n$ ($n \leq 5$) так, чтобы суммы по всем столбцам, строкам и главным диагоналям были одинаковы.

1.12. *Задача о лабиринте.* Дано клеточное поле $n \times m$, начальная и конечная клетки. Часть клеток занята препятствиями. За один ход можно перемещаться в одну из свободных клеток по горизонтали или по вертикали. Составить алгоритм поиска пути, если он существует, из начальной клетки в конечную.

1.13. В задаче 1.12 длина пути измеряется количеством пройденных клеток. Найти выход из лабиринта минимальной длины.

1.14. Клетки доски 8×8 раскрашены в два цвета: белый и черный. Составить алгоритм поиска такого пути из левого нижнего угла в правый верхний, чтобы цвета клеток в нем перемежались. За один ход разрешается перемещаться на одну клетку по вертикали или горизонтали.

1.15. Решить задачу 1.14 при условии, что путь должен быть минимальной длины. Под длиной пути понимается количество пройденных клеток.

+			\$	#		11
	@				@	
#	@	11	+			#
		\$	11	@		
+	!		#	!	\$	
11		^	+	^	\$	

Рис. 1.4. Иллюстрация к задаче 1.10

1.16. Задача о рюкзаке. Даны предметы n различных типов. Количество предметов каждого типа не ограничено. Каждый предмет типа i имеет вес w_i и стоимость v_i , $i = 1, 2, \dots, n$. Написать программу для определения максимальной стоимости груза, вес которого равен W .

1.17. Задача о коммивояжере. Классическая формулировка задачи известна уже более 200 лет: имеются n городов, расстояния между которыми заданы; коммивояжеру необходимо выйти из какого-то города, посетить остальные $n - 1$ городов точно по одному разу и вернуться в исходный город. При этом маршрут коммивояжера должен быть минимальной длины (стоимости). Написать программу решения задачи.

1.18. Написать программу расстановки на доске $n \times n$ ($n = 5$) n ферзей так, чтобы наибольшее число полей оказалось вне боя ферзей.

1.19. Написать программу определения наименьшего числа ферзей, которых можно расставить на доске $n \times n$ так, чтобы они держали под боем все ее свободные поля.

1.20. Написать программу расстановки на доске как можно большего количества ферзей так, чтобы при снятии любого из них появлялось ровно одно неатакованное поле.

1.21. Найти решение рекуррентных соотношений [14]:

а) $T(n) = 2T(\sqrt{n}) + \log n$;

б) $T(n) = 3T(n/4) + n$;

в) $T(n) = T(2n/3) + 1$;

г) $T(n) = 3T(n/4) + n \log n$;

д) $T(n) = 2T(n/2) + n \log n$.

Комментарии

Факты, изложенные в данной главе, так или иначе приводятся в любом учебнике по дискретной математике. Пример 1.2 рассматривается в [22]. Задача о расстановке ферзей общеизвестна, главное — в особенностях ее изложения. Данные и действия над данными интегрируются в изложении в единое целое, и в результате получается органическое целое под названием программа. Наиболее подробное изложение основной теоремы приведено в [14]. На качественном уровне в сжатом виде она приводится в [2] и сверхдетально изложена в [29]. Эффект «комбинаторного взрыва» — компьютерный фольклор, и его использование — это скорее дань уважения и привязанности старым и добрым книгам (хоть и переизданным — *Бентли Дж. Жемчужины программирования.* — СПб. : Питер, 2002), входящим в «золотой фонд» классики по информатике.

ГЛАВА 2

ОСНОВНЫЕ КОМБИНАТОРНЫЕ ПРИНЦИПЫ И ПОНЯТИЯ В ПРИМЕРАХ

2.1. Принципы сложения и умножения

Пусть A и B — конечные множества, такие, что $A \cap B = \emptyset$, $|A| = n$ и $|B| = m$. Тогда $|A \cup B| = n + m$. Другими словами, если элемент $a \in A$ можно выбрать n способами, а элемент $b \in B$ — m способами, то выбрать элемент $t \in A \cup B$ можно $n + m$ способами. Принцип обобщается на q конечных попарно не пересекающихся множеств. Пусть A_1, A_2, \dots, A_q — конечные множества, такие, что $A_i \cap A_j = \emptyset$ для всех $i \neq j$ и $|A_i| = n_i$, тогда $|A_1 \cup A_2 \cup \dots \cup A_q| = |A_1| + |A_2| + \dots + |A_q| = n_1 + n_2 + \dots + n_q$.

Пусть A и B — конечные множества, $|A| = n$ и $|B| = m$. Тогда $|A \times B| = n \cdot m$. Выбор элемента $a \in A$ осуществляется n способами. Для каждого выбора элемента a элемент $b \in B$ выбирается m способами. Таким образом, выбор пары (a, b) в указанном порядке осуществляется $|A \times B| = n \cdot m$ способами. Принцип обобщается на q конечных произвольных множеств. Пусть даны конечные множества A_1, A_2, \dots, A_q и $|A_i| = n_i$, тогда $|A_1 \times A_2 \times \dots \times A_q| = |A_1| \cdot |A_2| \cdot \dots \cdot |A_q| = n_1 \cdot n_2 \cdot \dots \cdot n_q$.

2.2. Подмножества

Пример 2.1. Целые положительные числа в компьютере представлены строкой из n двоичных знаков (например, величины типа *Word*). Сколько различных целых положительных чисел может быть записано в компьютере?

Двоичная цифра — это 0 или 1. Значения элементов в каждом двоичном разряде есть множество с мощностью 2 ($|A_i| = 2$ для всех значений i от 1 до n). Используя принцип умножения, получаем $|A_1 \times A_2 \times \dots \times A_n| = |A_1| \cdot |A_2| \cdot \dots \cdot |A_n| = 2 \cdot 2 \cdot \dots \cdot 2 = 2^n$. ◀

Каждое n -элементное множество $A = \{a_1, a_2, \dots, a_n\}$ имеет в точности 2^n подмножеств. Докажем это. Установим взаимно однозначное соответствие между элементами множества A и разрядами двоичной последовательности длины n . Первому элементу множества соответствует первый разряд и т. д. Единица в разряде с номером i говорит о том, что элемент a_i есть в подмножестве, 0 — нет. Количество различных последовательностей — 2^n , значит, и количество различных подмножеств множества A равно 2^n .

Пример 2.2. Перечислить подмножества множества $\{a, b, c\}$.

Пустое подмножество — \emptyset ; подмножества из одного элемента — $\{a\}, \{b\}, \{c\}$; подмножества из двух элементов — $\{a, b\}, \{a, c\}, \{b, c\}$; подмножество из трех элементов — $\{a, b, c\}$. Всего 8 подмножеств (2^3). ◀

Пример 2.3. Определить количество целых чисел в интервале от 0 до 1000, содержащих в своей записи только одну цифру 5.

Обозначим через A множество целых чисел в указанном интервале, содержащих только одну цифру 5. Пусть A_1 — подмножество множества A , содержащее одно число, равное 5 ($|A_1| = 1$). Через A_2 обозначим подмножество двузначных чисел, содержащих в своей записи только одну цифру 5, A_3 — аналогичное подмножество трехзначных чисел. В соответствии с принципом сложения $A = A_1 \cup A_2 \cup A_3$ и $|A| = |A_1| + |A_2| + |A_3|$. В A_2 цифра 5 может находиться либо на первом месте, либо на втором. Если 5 — первая цифра, то на втором месте можно записать любую из 9 цифр (все, за исключением 5). В том случае, когда 5 записана на втором месте, на первом месте допускается запись 8 цифр (все, кроме 0 и 5). Следовательно, $|A_2| = 17$ (принцип сложения). В A_3 цифра 5 может находиться на первом, втором и третьем местах. Если цифра 5 записана на первом месте, то на втором и третьем местах можно записать любые из 9 цифр (кроме 5). В соответствии с принципом умножения таких вариантов $9 \cdot 9 = 81$. Если цифра 5 записана на втором месте, то существует 8 вариантов выбора первой цифры и 9 вариантов выбора третьей цифры, всего $9 \cdot 8 = 72$. Аналогично для последнего случая. Итак, $|A| = 1 + 17 + 81 + 72 + 72 = 243$. ◀

2.3. Принцип включения и исключения

Пусть A и B — конечные множества, такие, что $A \cap B \neq \emptyset$. Тогда $|A \cup B| = |A| + |B| - |A \cap B|$. Это утверждение доказывается простыми выкладками. Множество $A \cup B = (A \setminus B) \cup (B \setminus A) \cup (A \cap B)$. Множества, записанные в правой части равенства, попарно не пере-

секаются. Следовательно, $|A \cup B| = |A \setminus B| + |B \setminus A| + |A \cap B|$. Известно, что $A = (A \setminus B) \cup (A \cap B)$, т. е. $|A| = |A \setminus B| + |A \cap B|$. Соответственно, $B = (B \setminus A) \cup (A \cap B)$ и $|B| = |B \setminus A| + |A \cap B|$. Получаем

$$|A| + |B| - |A \cap B| = |A \setminus B| + |B \setminus A| + 2 \cdot |A \cap B| - |A \cap B| = |A \cup B|.$$

Для случая трех произвольных конечных множеств принцип записывается следующим образом:

$$|A \cup B \cup C| = |A| + |B| + |C| - |A \cap B| - |A \cap C| - |B \cap C| + |A \cap B \cap C|.$$

Принцип обобщается для произвольного конечного семейства множеств.

Теорема (принцип включения—исключения). Пусть даны конечные подмножества A_1, \dots, A_n , необязательно различные, некоторого конечного множества X . Мощность их объединения $A_1 \cup \dots \cup A_n$ вычисляется по формуле

$$\left| \bigcup_{i=1}^n A_i \right| = \sum_{i=1}^n |A_i| - \sum_{1 \leq i < j \leq n} |A_i \cap A_j| + \sum_{1 \leq i < j < k \leq n} |A_i \cap A_j \cap A_k| - \dots \\ \dots + (-1)^{n-1} |A_1 \cap \dots \cap A_n|.$$

Доказательство теоремы приводится в приложении 1.

Количество элементов в множестве $A'_1 \cap A'_2 \cap \dots \cap A'_n$, где A'_i — дополнение множества A_i , определяется формулой

$$|A'_1 \cap A'_2 \cap \dots \cap A'_n| = |X| - \sum_{i=1}^n |A_i| + \sum_{i < j} |A_i \cap A_j| - \sum_{i < j < k} |A_i \cap A_j \cap A_k| + \dots \\ \dots + (-1)^n |A_1 \cap A_2 \cap \dots \cap A_n|.$$

Действительно, известно, что $\bigcap_{i=1}^n A'_i = \left(\bigcup_{i=1}^n A_i \right)' = X - \bigcup_{i=1}^n A_i$. Подставив в это равенство выражение из теоремы, получим требуемое равенство.

Пример 2.4. Сколько существует натуральных чисел в интервале от 1 до 1000 ($1 \leq i \leq 999$), которые делятся на 3, или на 5, или на 7?

Выполним следующий подсчет:

$$\begin{aligned} [999 : 3] &= 333; & [999 : 5] &= 199; & [999 : 7] &= 142; \\ [999 : (3 \cdot 5)] &= 66 \text{ чисел делятся на 3 и на 5;} \\ [999 : (3 \cdot 7)] &= 47 \text{ чисел делятся на 3 и на 7;} \\ [999 : (5 \cdot 7)] &= 28 \text{ чисел делятся на 5 и на 7;} \\ [999 : (3 \cdot 5 \cdot 7)] &= 9 \text{ чисел делятся на 3, на 5 и на 7.} \end{aligned}$$

Получаем: $333 + 199 + 142 - 66 - 47 - 28 + 9 = 542$.

А сейчас подсчитаем количество чисел в первой тысяче, которые не делятся ни на 2, ни на 3, ни на 5. Пусть числа из множества A_1 обладают тем свойством, что делятся на 2, числа из A_2 — делятся на 3, числа из A_3 — делятся на 5. Требуется подсчитать $|A_1' \cap A_2' \cap A_3'| = |X| - \sum_{i=1}^3 |A_i| + \sum_{i < j} |A_i \cap A_j| - |A_1 \cap A_2 \cap A_3|$. То есть $999 - 499 - 333 - 199 + 166 + 99 + 66 - 33 = 266$. ◀

2.4. Выборки

Пример 2.5. Пусть есть три цифры — 1, 2, 3. На количество цифр каждого типа нет ограничений. Сколькими способами можно выбрать из них две цифры (составить двузначное число)?

Формулировка примера неоднозначна. Уточним.

1. Разрешается брать две одинаковые цифры, и порядок выборки цифр принципиален. Перечислим: 11, 12, 13, 21, 22, 23, 31, 32, 33. Получилось 9 вариантов.

2. Запрещено брать две одинаковые цифры, требование на порядок сохраняется — 12, 13, 21, 23, 31, 32. Итого 6 вариантов.

3. Повторения цифр разрешены, порядок выборки не имеет значения, т. е. 12 и 21 неразличимы. Получаем: 11, 12, 13, 22, 23, 33.

4. Повторения цифр запрещены, и порядок выборки не имеет значения. Получаем всего три способа — 12, 13, 23. ◀

Пусть есть множество $A = \{a_1, a_2, \dots, a_n\}$, содержащее n различных элементов, из них выбирается k элементов. Каждый такой набор называют *выборкой* (или *расстановкой*) объема k из n элементов. Разрешается выбирать с повторениями, т. е. один элемент в выборке может присутствовать несколько раз, и без повторений. Кроме того, различают выборки упорядоченные и неупорядоченные. В первом случае две выборки, различающиеся порядком следования элементов, считаются различными, во втором — нет. Комбинируя «повторения» и «упорядоченность», получаем, в соответствии с принципом умножения, 4 различных случая.

2.5. Размещения с повторениями

Пример 2.6. Найти количество шестизначных чисел.

Введем множества $A_1 = \{1, 2, 3, 4, 5, 6, 7, 8, 9\}$, $A_2 = A_3 = A_4 = A_5 = A_6 = \{0, 1, 2, 3, 4, 5, 6, 7, 8, 9\}$. Согласно принципу умножения,

количество элементов в множестве $A_1 \times A_2 \times A_3 \times A_4 \times A_5 \times A_6$ равно $9 \cdot 10 \cdot 10 \cdot 10 \cdot 10 \cdot 10 = 900\,000$. Видим, что в выборку этого типа могут входить несколько элементов одного вида, и выборки отличаются друг от друга или видом входящих в них элементов, или порядком их следования. ◀

Если все множества одинаковые, т. е. $A_1 = A_2 = \dots = A_k = A$, и A состоит из n элементов, то при составлении выборок (или расстановок) этого типа на каждое из k мест можно поставить любой из n элементов. Такие выборки называются *k-размещениями с повторениями* из элементов n видов. По принципу умножения число размещений с повторениями из n по k (число выборок этого типа) равно $\bar{A}_n^k = n^k$ (доказательство приведено в приложении 1).

Электронная вычислительная машина «Стрела»*) имела оперативную память из 2048 ячеек, каждая ячейка состояла из 43 двоичных разрядов. Каждый разряд мог находиться в одном из двух состояний — 0 или 1. Другими словами, у нас $43 \cdot 2048$ мест (k), а n равно 2. Получаем, что ЭВМ «Стрела» по общему «срезу» памяти могла находиться в одном из 2^{88064} состояний, или приблизительно $2^{88000} = (2^{10})^{8800} \simeq (10^3)^{8800} = 10^{26400}$. Велико ли это число? Н. Я. Виленкин [6] сравнивает его с количеством нейтронов, которые можно плотно упаковать в шар с радиусом, равным расстоянию до самой удаленной из известных туманностей. Это количество оценивается величиной 2^{500} .

2.6. Размещения без повторений

Пример 2.7. Определить количество пятизначных чисел, состоящих из различных цифр. Цифры берутся из множества $\{1, 2, 3, 4, 5, 6, 7, 8, 9\}$.

Для формирования каждого числа делаем выборку 5 цифр из 9. Количество равно $9 \cdot 8 \cdot 7 \cdot 6 \cdot 5 = \frac{9!}{(9-5)!} = 15\,120$. Выборки отличаются друг от друга хотя бы одним элементом или для случая, когда они состоят из одинаковых элементов, расположением элементов в выборке. ◀

Подсчет количества размещений без повторений основан на простом рассуждении. На первое из k мест можно взять любой из n элементов исходного множества. Так как повторения не разрешаются,

*) Опытный образец ЭВМ «Стрела» был разработан в 1953 году. Характеристики: скорость — 2000 операций в секунду, оперативная память — 2048 слов, разрядность — 43, машина трехадресная. Главный конструктор — Ю. Я. Базилевский. ЭВМ «Стрела» была первой ЭВМ, выпущенной промышленностью, 1954 год.

то на второе место берется любой из оставшихся $n - 1$ элементов. И так далее. На k -е место остается $n - k + 1$ претендентов. Количество размещений без повторений обычно обозначается как A_n^k . В соответствии с принципом умножения $A_n^k = n \cdot (n - 1) \cdot \dots \cdot (n - k + 1) = \frac{n!}{(n - k)!}$.

2.7. Сочетания без повторений

Дано n элементов, из них выбирается k различных элементов. Если бы нас интересовал порядок, то мы получили бы размещения без повторений. Порядок элементов нас не интересует, т. е. в качестве представителя группы размещений, отличающихся порядком (а их $k!$), выбирается одно. Обозначим количество сочетаний без повторений из n по k как C_n^k , тогда $A_n^k = k! \cdot C_n^k$, или $C_n^k = \frac{n!}{k! \cdot (n - k)!}$.

Пример 2.8. Множество содержит девять элементов. Сколько существует пятиэлементных подмножеств?

Порядок элементов в подмножествах не имеет значения, $C_9^5 = \frac{9!}{5! \cdot (9 - 5)!} = 126$.

Если, например, в задаче о расстановке ладей на шахматной доске (см. пример 1.3, с. 14) снять ограничение на то, что ладьи не могут бить друг друга, то она сводится к выбору восьми полей из 64. Количество способов равно $C_{64}^8 = \frac{64!}{8! \cdot 56!} = 4\,328\,284\,968$. ◀

Пример 2.9. Дана строка из 16 двоичных разрядов. Сколько различных строк можно составить, используя 9 единиц и 7 нулей?

В строке из 16 разрядов можно выбрать любые 9 для размещения 1, оставшиеся автоматически заполняются 0. Получаем $C_{16}^9 = \frac{16!}{9! \cdot (16 - 9)!} = 11\,440$. ◀

Далее в книге под сочетанием мы будем подразумевать сочетание без повторений, если не оговорено иное.

Свойства сочетаний без повторений

- $C_n^k = C_n^{n-k}$.

Следует из определения сочетания: $C_n^k = \frac{n!}{k! \cdot (n - k)!}$ и $C_n^{n-k} = \frac{n!}{(n - k)! \cdot (n - n + k)!}$.

2. $C_{n+1}^k = C_n^k + C_n^{k-1}$.

Следующие преобразования показывают справедливость равенства:

$$C_n^k + C_n^{k-1} = \frac{n!}{k! \cdot (n-k)!} + \frac{n!}{(k-1)! \cdot (n-k+1)!} = \frac{n!}{k \cdot (k-1)! \cdot (n-k)!} + \frac{n!}{(k-1)! \cdot (n-k)! \cdot (n-k+1)} = \frac{n! \cdot (n-k+1+k)}{k \cdot (k-1)! \cdot (n-k)! \cdot (n-k+1)} = \frac{(n+1)!}{k! \cdot (n-k+1)!} = C_{n+1}^k$$

3. $C_n^i \cdot C_i^k = C_n^k \cdot C_{n-k}^{i-k}$.

Следующие преобразования показывают справедливость равенства:

$$C_n^i \cdot C_i^k = \frac{n!}{i! \cdot (n-i)!} \cdot \frac{i!}{k! \cdot (i-k)!} = \frac{n!}{k! \cdot (n-k)!} \cdot \frac{(n-k)!}{(n-i)! \cdot (i-k)!} = C_n^k \cdot \frac{(n-k)!}{(i-k)! \cdot (n-k-(i-k))!} = C_n^k \cdot C_{n-k}^{i-k}$$

4. $C_{n+m}^k = \sum_{i=0}^k C_m^i \cdot C_n^{k-i}$.

C_{n+m}^k — это число способов выбрать k элементов из $n + m$ элементов множества. Элементы выбираются следующим образом. Первоначально i элементов из первых m элементов, а затем $k - i$ элементов из оставшихся n элементов. Следовательно, общее количество способов выбора k элементов есть $\sum_{i=0}^k C_m^i \cdot C_n^{k-i}$.

Треугольник Паскаля

Из формулы $C_n^k = C_{n-1}^k + C_{n-1}^{k-1}$ следует схема вычисления C_n^k , называемая треугольником Паскаля (рис. 2.1). Элемент в каждой строке есть сумма двух соседних элементов из предыдущей строки.

В каждой строке треугольника (нумерация начинается с 0) записаны значения C_n^k ($0 \leq k \leq n$), т. е. первая строка соответствует значению $n = 0$, вторая — $n = 1$ и т. д. На внешних сторонах треугольника записаны $C_n^0 = C_n^n = 1$. Треугольник симметричен относительно вертикальной высоты — следствие равенства $C_n^k = C_n^{n-k}$.

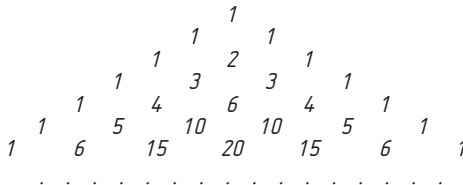


Рис. 2.1. Треугольник Паскаля

2.8. Бином Ньютона и полиномиальная формула (комбинаторный смысл)

Биномом Ньютона называется равенство: $(x + y)^n = \sum_{k=0}^n C_n^k x^k y^{n-k}$.

Доказательство формулы приведено в приложении 1.

Представим $(x + y)^n$ как произведение n сомножителей $(x + y) \times (x + y) \dots (x + y)$. Когда мы получаем члены $x^{n-k} y^k$? Величина y берется из k скобок, а x — из остальных $n - k$ скобок. Количество способов выбрать k скобок из n равно C_n^k .

Следствия из бинома Ньютона

1. $\sum_{k=0}^n C_n^k = 2^n$. Подставим в формулу бинома Ньютона $x = 1$ и $y = 1$.

2. $\sum_{k=0}^n C_n^k (-1)^k = 0$. Подставим в формулу бинома Ньютона $x = 1$ и $y = -1$.

3. $\sum_{k=0}^n C_n^k (m - 1)^{n-k} = m^n$. Подставим в формулу бинома Ньютона $x = 1$ и $y = m - 1$.

Бином Ньютона является частным случаем формулы

$$(x_1 + x_2 + x_3 + \dots + x_k)^n = \sum_{n_1+n_2+n_3+\dots+n_k=n} \frac{n!}{n_1!n_2!n_3!\dots n_k!} x_1^{n_1} x_2^{n_2} x_3^{n_3} \dots x_k^{n_k},$$

которая называется *полиномиальной формулой*. Суммирование выполняется по всем решениям уравнения $n_1 + n_2 + n_3 + \dots + n_k = n$ в целых неотрицательных числах, $n_i \geq 0$, $i = 1, 2, 3, \dots, k$.

Следующие рассуждения обосновывают формулу. Распишем степень суммы чисел в виде произведения n скобок: $(x_1 + x_2 + \dots + x_k) \times (x_1 + x_2 + \dots + x_k) \dots (x_1 + x_2 + \dots + x_k) = (x_1 + x_2 + \dots + x_k)^n$. Подсчитаем количество одночленов вида $x_1^{n_1} x_2^{n_2} \dots x_k^{n_k}$ для каждого разбиения $n_1 + n_2 + \dots + n_k = n$. Требуется выбрать x_1 в качестве множителя в n_1 скобках. Это можно сделать $C_{n_1}^{n_1}$ способами. Осталось не раскрытыми $n - n_1$ скобок. Из них в n_2 скобках следует взять x_2 . Количество способов выбрать эти скобки равно $C_{n-n_1}^{n_2}$ и т. д. В результате количество одночленов $x_1^{n_1} x_2^{n_2} \dots x_k^{n_k}$ равно числу $C_{n_1}^{n_1} C_{n-n_1}^{n_2} \dots C_{n-n_1-\dots-n_{k-1}}^{n_k} = \frac{n!}{n_1!n_2!\dots n_k!}$.

2.9. Сочетания с повторениями

Сочетания с повторениями (обозначим как \bar{C}_n^k) — это выборки, в которых разрешаются повторения элементов, а их порядок не важен. Пусть имеются n типов элементов, обозначим их $a_1, a_2, a_3, \dots, a_n$. Делается выборка из k элементов, например $a_3 a_1 a_n a_1 a_3 a_1 a_2 a_2 a_n a_n a_2 a_1 a_3 a_2 a_n$ ($k = 15$). Поскольку порядок элементов не имеет значения, то выборку можно записать следующим образом: $a_1 a_1 \dots a_1 | a_2 a_2 \dots a_2 | a_3 a_3 \dots a_3 | \dots | a_n a_n \dots a_n$. В этой записи элементы разных типов разделяются вертикальной чертой. Длина записи с учетом вертикальных черт равна $k + (n - 1) = n + k - 1$, где $n - 1$ — количество вертикальных линий. Любая выборка этого типа задается выбором позиций вертикальных линий из $n + k - 1$ мест, т. е. $\bar{C}_n^k = C_{n+k-1}^{n-1}$. По свойствам сочетаний без повторов $\bar{C}_n^k = C_{n+k-1}^k$.

Пусть дано $n + 1$ типов элементов. Разобьем множество всех k -сочетаний с повторениями на взаимно не пересекающиеся подмножества A_i следующим образом. В подмножество A_i входят все сочетания, в которых первый элемент встречается i раз, а остальные $k - i$ мест заняты элементами других n типов. Количество элементов подмножества A_i равно количеству $(k - i)$ -сочетаний с повторениями, составленных из элементов n типов, т. е. $C_{n+k-i-1}^{k-i}$. Суммируя по всем значениям i , мы получаем C_{n+k}^k . Другими словами, справедливо следующее равенство:

$$C_{n+k-1}^k + C_{n+k-2}^{k-1} + \dots + C_n^1 + C_{n-1}^0 = C_{n+k}^k.$$

Пример 2.10. Дано уравнение $x + y + z = 10$. Сколько целочисленных решений оно имеет ($x \geq 0, y \geq 0, z \geq 0$)?

Обозначим $x = 1_x + 1_x + \dots + 1_x$, $y = 1_y + 1_y + \dots + 1_y$, $z = 1_z + 1_z + \dots + 1_z$. Имеем единицы трех типов ($n = 3$), k равно 10. Решение можно записать в виде $1_x 1_x \dots 1_x | 1_y 1_y \dots 1_y | 1_z 1_z \dots 1_z$. Общее количество решений $C_{10+3-1}^{3-1} = C_{12}^2 = 66$. ◀

2.10. Перестановки без повторов

Размещения без повторов из n по k — это выборки, отличающиеся друг от друга либо элементами, либо порядком элементов. В том случае, когда $k = n$, отличия в выборках сводятся только к порядку элементов. Этот особый случай выборок носит название перестановок, и их количество обозначается как P_n , $P_n = A_n^n = n!$.

Пример 2.11. Подсчитать количество способов расстановки на шахматной доске 8×8 восьми ладей так, чтобы они «не били» друг друга.

Условие «не бить» требует, чтобы на каждой горизонтали и вертикали находилась только одна ладья. На первой горизонтали 8 позиций для ладьи, на второй — 7, и т. д. Общее количество способов расстановки равно $8! = 40\,320$. В нашем случае ладьи ничем не отличаются друг от друга, но если предположить, что ладьи имеют уникальные номера, например от 1 до 8, то ситуация изменяется. В этом случае из каждой расстановки ладей мы получаем $8!$ различных расстановок — ответ $(8!)^2$. Для доски $n \times n$ — $(n!)^2$. Этот же результат получается и с помощью следующих рассуждений. Первую ладью можно поставить на любое из n^2 полей. После вычеркивания соответствующей горизонтали и вертикали остается поле размером $(n-1) \times (n-1)$. Вторая ладья ставится $(n-1)^2$ способами, третья — $(n-2)^2$ способами и т. д. Получаем $n^2(n-1)^2 \dots 1^2 = (n!)^2$ способов расположения ладей. ◀

Свойства перестановок

Произвольная перестановка f из n элементов обычно отождествляется с последовательностью натуральных чисел a_1, a_2, \dots, a_n в интервале от 1 до n . Ее запись в матричном виде имеет вид: $f = \begin{pmatrix} 1 & 2 & \dots & n \\ a_1 & a_2 & \dots & a_n \end{pmatrix}$ и $a_i = f(i)$. Суперпозиция двух перестановок f и g обозначается fg и определяется следующим образом: $fg(i) = f(g(i))$.

Пример 2.12. Пусть $n = 5$, $f = \begin{pmatrix} 1 & 2 & 3 & 4 & 5 \\ 5 & 4 & 2 & 1 & 3 \end{pmatrix}$ и $g = \begin{pmatrix} 1 & 2 & 3 & 4 & 5 \\ 3 & 1 & 4 & 5 & 2 \end{pmatrix}$.

Тогда $fg = \begin{pmatrix} 1 & 2 & 3 & 4 & 5 \\ 2 & 5 & 1 & 3 & 4 \end{pmatrix}$. ◀

Перестановка $e = \begin{pmatrix} 1 & 2 & 3 & 4 & 5 \\ 1 & 2 & 3 & 4 & 5 \end{pmatrix}$ называется *тождественной*. Для каждой перестановки f однозначно определяется перестановка f^{-1} , такая, что суперпозиция $ff^{-1} = f^{-1}f = e$.

Пример 2.13. Пусть $n = 5$, $f = \begin{pmatrix} 1 & 2 & 3 & 4 & 5 \\ 5 & 4 & 2 & 1 & 3 \end{pmatrix}$. Тогда $f^{-1} = \begin{pmatrix} 1 & 2 & 3 & 4 & 5 \\ 4 & 3 & 5 & 2 & 1 \end{pmatrix}$. ◀

Если в перестановке $f = (a_1, a_2, \dots, a_n)$ для элементов a_i и a_j , $i < j$, выполняется неравенство $a_i > a_j$, то пара (a_i, a_j) называется *инверсией*. Число инверсий в перестановке f обозначим $I(f)$. Таблицу инверсий перестановки $f = (a_1, a_2, \dots, a_n)$ определяют как последовательность чисел d_1, d_2, \dots, d_n , где d_i — число элементов, больших i и расположенных левее i , или d_i — число инверсий, вторым элементом которых является i . Тожественная перестановка имеет таблицу инверсий $(0, 0, 0, \dots, 0)$, а перестановка $(n, n-1, n-2, \dots, 2, 1) = (n-1, n-2, n-3, \dots, 1, 0)$. Количество таблиц инверсий равно $n!$. Действительно, на первом месте может быть записано n чисел (от 0 до $n-1$), на втором — $n-1$ чисел, на третьем — $n-2$ чисел, на последнем — одно число 0. Согласно принципу умножения, получаем $n \cdot (n-1) \cdot (n-2) \cdot \dots \cdot 2 \cdot 1 = n!$. Доказано, что таблица инверсий однозначно определяет перестановку.

Пример 2.14. В перестановке $(4\ 2\ 1\ 5\ 3)$ содержится 5 инверсий. Таблица инверсий имеет вид: $(2\ 1\ 2\ 0\ 0)$. Сумма элементов в таблице инверсий равна 5. За 5 транспозиций соседних элементов ($a_i \leftrightarrow a_{i+1}$) исходная перестановка преобразуется в тождественную перестановку. Пусть дана таблица инверсий $(2\ 1\ 2\ 0\ 0)$, и по ней требуется восстановить неизвестную перестановку $(* * * * *)$. Больше и левее единицы два числа, значит, она находится на третьем месте — $(* * 1 * *)$. Больше и левее двойки одно число, делаем вывод о том, что ее место второе — $(* 2 1 * *)$. Больше и левее тройки два числа. С учетом занятых мест получаем $(* 2 1 * 3)$. Больше и левее четверки чисел нет, ее место первое. Для пятерки осталось одно место. Итак, получена перестановка $(4\ 2\ 1\ 5\ 3)$. ◀

Пример 2.15. Рассмотрим перестановку $f = \begin{pmatrix} 1 & 2 & 3 & 4 & 5 & 6 & 7 \\ 5 & 7 & 1 & 4 & 6 & 3 & 2 \end{pmatrix}$.

Последовательность $f(1) = 5$, $f(5) = 6$, $f(6) = 3$, $f(3) = 1$ определим как цикл. В данной перестановке три цикла. Оставшиеся два: $f(2) = 7$, $f(7) = 2$ и $f(4) = 4$. Можно сказать, что перестановка имеет следующее разложение на циклы: $f = [1\ 5\ 6\ 3][2\ 7][4]$. Перестановка в примере 2.13 имеет один цикл: $f(1) = 5$, $f(5) = 3$, $f(3) = 2$, $f(2) = 4$, $f(4) = 1$, $f = [1\ 5\ 3\ 2\ 4]$.

Таблица инверсий перестановки данного примера $(2\ 5\ 4\ 2\ 0\ 1\ 0)$. По таблице инверсий определяем, что за 14 транспозиций соседних элементов исходная перестановка преобразуется в тождественную перестановку. Если есть разложение перестановки на циклы, и снято ограничение на соседство элементов транспозиции, то преоб-

разование в тождественную перестановку осуществляется за четыре транспозиции: (1, 5), (1, 6), (1, 3) и (2, 7). ◀

Пример 2.16. *Задача о разупорядочении.* Перестановку из n различных упорядоченных элементов, в которой ни один элемент не находится на своем месте, называют *разупорядочением*. Обозначим количество разупорядочений для n элементов через D_n и подсчитаем их количество, например, при $n = 5$. Заметим, что $D_1 = 0$, $D_2 = 1$, $D_3 = 2$: $\begin{pmatrix} 1 & 2 & 3 \\ 2 & 3 & 1 \end{pmatrix}$ и $\begin{pmatrix} 1 & 2 & 3 \\ 3 & 1 & 2 \end{pmatrix}$, $D_4 = 9$. Пусть X — множество всех перестановок ($|X| = 120$ при $n = 5$) и A_i — множество перестановок, оставляющих на месте i элемент. Тогда $A'_1 \cap A'_2 \cap A'_3 \cap A'_4 \cap A'_5$ есть множество перестановок, в которых ни один элемент не находится на своем месте.

Согласно принципу включения—исключения,

$$|A'_1 \cap A'_2 \cap A'_3 \cap A'_4 \cap A'_5| = |X| - \sum_{i=1}^5 |A_i| + \sum_{1 \leq i < j \leq 5} |A_i \cap A_j| - \sum_{1 \leq i < j < k \leq 5} |A_i \cap A_j \cap A_k| + \sum_{1 \leq i < j < k < l \leq 5} |A_i \cap A_j \cap A_k \cap A_l| - |A_1 \cap A_2 \cap A_3 \cap A_4 \cap A_5|.$$

Подсчитаем. Очевидно, что $|A_1| + |A_2| + |A_3| + |A_4| + |A_5| = 5 \cdot 4! = 5! \cdot \frac{1}{1!}$. Обозначим $A_{ij} = A_i \cap A_j$. Так, A_{12} — это множество перестановок, оставляющих на своих местах 1 и 2. Их количество равно $3!$, а количество способов выбора двух элементов из пяти — C_5^2 . В результате $\sum_{1 \leq i < j \leq 5} |A_{ij}| = C_5^2 3! = \frac{5!}{2! \cdot 3!} 3! = 5! \cdot \frac{1}{2!}$. По аналогии

$$\sum_{1 \leq i < j < k \leq 5} |A_{ijk}| = C_5^3 2! = \frac{5!}{3! \cdot 2!} 2! = 5! \cdot \frac{1}{3!},$$

$$\sum_{1 \leq i < j < k < l \leq 5} |A_{ijkl}| = C_5^4 1! = \frac{5!}{4! \cdot 1!} 1! = 5! \cdot \frac{1}{4!}$$

и, наконец, $|A_{12345}| = 5! \cdot \frac{1}{5!}$. Получаем

$$|A'_1 \cap A'_2 \cap A'_3 \cap A'_4 \cap A'_5| = 5! \left(1 - \frac{1}{1!} + \frac{1}{2!} - \frac{1}{3!} + \frac{1}{4!} - \frac{1}{5!} \right) = 44.$$

Подсчитаем количество перестановок, в которых ровно один элемент находится на своем месте. Перестановок с фиксацией одного конкретного элемента $P_4 - C_4^1 P_3 + C_4^2 P_2 - C_4^3 P_1 + C_4^4 P_0 = 9$, количество способов выбора одного элемента $C_5^1 = 5$, общее количество — 45. Аналогично подсчитывается и количество перестановок, остав-

ляющих на своих местах два, три, четыре и пять элементов. Итак, 120 различных перестановок из пяти элементов распределяются следующим образом: 44 перестановки, в которых ни один элемент не остается на своем месте; 45 перестановок, в которых точно один элемент остается на своем месте; 20 перестановок, оставляющих два элемента на своем месте; 10 перестановок с тремя элементами на своих местах; нуль перестановок с четырьмя элементами на своих местах и одна перестановка, в которой все элементы находятся на своих местах. ◀

В общем случае значение D_n — количество перестановок из n элементов, в которых ни один элемент не находится на своем месте, подсчитывается по формуле

$$D_n = P_n - C_n^1 P_{n-1} + C_n^2 P_{n-2} - \dots + (-1)^n C_n^n = n! \left(1 - \frac{1}{1!} + \frac{1}{2!} - \dots + (-1)^n \frac{1}{n!} \right).$$

Из математического анализа известно, что $e^{-1} = 1 - \frac{1}{1!} + \frac{1}{2!} - \frac{1}{3!} + \frac{1}{4!} - \frac{1}{5!} + \dots$, поэтому $D_n \approx n! e^{-1}$.

Число перестановок, в которых ровно r элементов находятся на своих местах, а остальные $n - r$ не остаются на своих местах, определяется по формуле $D_{n,r} = C_n^r D_{n-r}$. Действительно, выбрать r элементов из n можно C_n^r способами. Остальные $n - r$ элементов переставляются произвольным образом, но так, что ни один из элементов не находится на своем месте, а это делается D_{n-r} способами. Из принципа умножения следует, что искомое число перестановок равно $C_n^r D_{n-r}$. Очевидной становится и формула $n! = \sum_{r=0}^n D_{n,r} = \sum_{r=0}^n C_n^r D_{n-r}$.

Субфакториалы

Числа D_n иногда, за их сходство по свойствам с обычными факториалами, называют *субфакториалами*. Для факториалов выполняется равенство $n! = (n-1)((n-1)! + (n-2)!)$. Действительно,

$$(n-1)((n-1)! + (n-2)!) = n(n-1)! - (n-1)! + (n-1)(n-2)! = n!.$$

Для чисел D_n справедливо аналогичное утверждение — $D_n = (n-1) \times (D_{n-1} + D_{n-2})$. Воспользуемся ранее полученной зависимостью для чисел D_{n-1} и D_{n-2} , заменив их разложениями в ряды.

Итак,

$$(n-1)(D_{n-1} + D_{n-2}) = (n-1)((n-1)! + (n-2)!) \times \\ \times \left(1 - \frac{1}{1!} + \frac{1}{2!} - \frac{1}{3!} + \dots + \frac{(-1)^{n-2}}{(n-2)!}\right) + (-1)^{n-1}(n-1).$$

Первая часть формулы равна $n!$, разберемся со второй частью, используя следующую зависимость: $(-1)^{n-1}(n-1) = n! \left(\frac{(-1)^{n-1}}{(n-1)!} + \frac{(-1)^n}{n!} \right)$.

Получаем

$$(n-1)(D_{n-1} + D_{n-2}) = \\ = n! \left(1 - \frac{1}{1!} + \frac{1}{2!} - \frac{1}{3!} + \dots + \frac{(-1)^{n-2}}{(n-2)!} + \frac{(-1)^{n-1}}{(n-1)!} + \frac{(-1)^n}{n!}\right) = D_n.$$

Из выведенной зависимости следует, что

$$D_n - nD_{n-1} = -(D_{n-1} - (n-1)D_{n-2}).$$

Использование этого соотношения несколько раз приводит к формуле: $D_n - nD_{n-1} = (-1)^{n-2}(D_2 - 2D_1)$. Но так как $D_2 = 1$, а $D_1 = 0$, то $D_n = nD_{n-1} + (-1)^n$, что очень походит на известную зависимость $n! = n \cdot (n-1)!$.

2.11. Перестановки с повторениями

Допустим, что в исходном множестве $A = \{a_1, a_2, \dots, a_n\}$, из которого осуществляется выборка, есть повторяющиеся элементы. Такое множество носит название *мультимножества*. Перестановка с повторениями — это фактически перестановка элементов мультимножества. Без учета повторений количество перестановок равно $n!$. А с учетом повторений?

Пример 2.17. Дано $A = \{1, 1, 1, 4, 5\}$. Найти количество перестановок.

Часть перестановок из $5!$ неразличимы. Если бы $A = \{1, 2, 3, 4, 5\}$, то перестановки $(2\ 3\ 1\ 4\ 5)$ и $(3\ 2\ 1\ 4\ 5)$ были бы различны. Для $A = \{1, 1, 1, 4, 5\}$ они совпадают. Зафиксировав положение 4 и 5, получаем, что $3!$ перестановок неразличимы. Общее количество перестановок сократилось на $3!$, т. е. $P_{3,1,1} = \frac{5!}{3!} = 20$, а не 120, как при различных элементах множества A . ◀

В общем случае пусть a_1 повторяется n_1 раз, a_2 — n_2 раз, ... a_k — n_k раз и $n_1 + n_2 + \dots + n_k = n$ (общее число элементов). Тогда

$$P_{n_1 n_2 \dots n_k} = \frac{n!}{n_1! \cdot n_2! \cdot \dots \cdot n_k!}.$$

Эта формула получается и с помощью других рассуждений. Из n мест перестановки n_1 место занимают элементы первого типа. Количество способов выбора этих мест равно $C_n^{n_1}$. Из оставшихся $n - n_1$ мест n_2 мест для элементов второго типа выбирается $C_{n-n_1}^{n_2}$ способами. Для элементов последнего типа количество способов равно $C_{n-n_1-n_2-\dots-n_{k-1}}^{n_k}$. Принцип умножения позволяет записать

$$P_{n_1 n_2 \dots n_k} = C_n^{n_1} \cdot C_{n-n_1}^{n_2} \cdot \dots \cdot C_{n-n_1-n_2-\dots-n_{k-1}}^{n_k} = \frac{n!}{n_1! \cdot n_2! \cdot \dots \cdot n_k!}.$$

2.12. Задача о размещении

Итак, мы рассмотрели выборки — из n элементов выбирали k элементов. Выборки были как с повторениями (совпадающие элементы), так и без повторений. При этом учитывалась как упорядоченность, так и ее отсутствие. Итоги нашей работы представлены в табл. 2.1. Последние две строки табл. 2.1 — особый случай выборок при $n = k$.

Таблица 2.1

Выборки	С повторениями	Без повторений	Упорядоченные	Неупорядоченные	Формула
Размещения с повторениями	+	—	+	—	n^k
Размещения без повторений	—	+	+	—	$A_n^k = \frac{n!}{(n-k)!}$
Сочетания без повторений	—	+	—	+	$C_n^k = \frac{n!}{k! \cdot (n-k)!}$
Сочетания с повторениями	+	—	—	+	$C_{n+k-1}^{n-1} = \frac{(n+k-1)!}{(n-1)! \cdot k!}$
Перестановки без повторений	—	+	+	—	$P_n = n!$
Перестановки с повторениями	+	—	+	—	$P_{n_1 n_2 \dots n_k} = \frac{n!}{n_1! \cdot n_2! \cdot \dots \cdot n_k!}$

В п. 2.4 (и следующих) речь шла о выборке k элементов (предметов) из n или о расстановке по k предметов n различных видов.

В комбинаторике рассматривается и другая задача: о размещении n элементов (предметов) по ящикам (урнам). Размещаются все

n предметов. Так, сочетания без повторов можно допустимо трактовать как размещение k предметов из n в одном ящике. Или мы размещаем n предметов по k ящикам, при этом соблюдаем условие — не более чем один предмет в каждом из ящиков. И в этом случае подсчет количества способов осуществляется по формуле: $C_k^n = \frac{k!}{n! \cdot (k-n)!}$. Ящики в этом случае неразличимы (не имеют номеров). Размещения без повторов — это размещение n предметов по k ящикам, не более чем по одному предмету в ящик, причем ящики в этом случае различимы (имеют номера). Формула имеет вид $A_k^n = \frac{k!}{(k-n)!}$. Если в первом ящике размещается n_1 предметов, во втором — n_2 предметов, ..., в k -м — n_k предметов и $n_1 + n_2 + \dots + n_k = n$ (общее число предметов), то количество таких размещений вычисляется с помощью известной формулы $P_{n_1 n_2 \dots n_k} = \frac{n!}{n_1! \cdot n_2! \cdot \dots \cdot n_k!}$.

В общем случае ящики могут быть как различимыми (с номерами), так и нет. Следующее условие по ящикам заключается в допущении пустоты или не пустоты содержимого ящиков. Другими словами, допускается ли при размещении предметов по ящикам наличие пустых ящиков. Если ящики неразличимы и пустых ящиков нет, то такое размещение трактуется как разбиение n предметов на k блоков. Обозначим количество таких разбиений как $S(n, k)$. Воспользуемся обратным приемом в изложении — приведем результирующую таблицу, а затем начнем разбор отдельных ее записей. В табл. 2.2 сведены в единое целое все логически возможные варианты задачи о размещении.

В первой строке табл. 2.2 описан случай размещения n различных предметов по k различным ящикам, причем некоторые из ящиков могут быть пустыми. Каждый из предметов размещается k спо-

Таблица 2.2

Предметы различимые (без повторов)	Предметы неразличимые (с повторениями)	Ящики различимые	Ящики неразличимые	Есть пустые ящики	Формула
+	-	+	-	+	k^n
+	-	+	-	-	$k! S(n, k)$
-	+	+	-	+	C_{n+k-1}^n
-	+	+	-	-	C_{n-1}^{k-1}
+	-	-	+	+	$S(n, 1) + S(n, 2) + \dots + S(n, k)$
+	-	-	+	-	$S(n, k)$

собами, общее количество размещений, согласно принципу умножения, $k \cdot k \cdot \dots \cdot k$ (перемножаем n раз) — k^n .

В третьей строке табл. 2.2 предметы неразличимы, ящики различимы и допускаются пустые ящики. Обозначим конкретное размещение как $aa \dots a | aa \dots a | aa \dots a | \dots | aa \dots a$, где общее количество букв a равно n , а разделитель «|» показывает, сколько предметов находится в конкретном ящике. Если два разделителя находятся рядом, то в соответствующем ящике нет предметов. Количество разделителей $k - 1$. Общая длина последовательности из букв a и «|» равна $n + k - 1$. Количество способов выбора мест для разделителей равно $C_{n+k-1}^{k-1} = C_{n+k-1}^n$.

Пример 2.18. Пусть $n = 2$, $k = 3$. Обозначим через n_1 количество предметов в первом ящике, n_2 — во втором, n_3 — в третьем. Тогда $n_1 + n_2 + n_3 = n$, количество решений данного уравнения в целых числах равно 6. ◀

Четвертая строка отличается от третьей тем, что не должно быть пустых ящиков. В отличие от предыдущего примера, требуется сделать $n - k$ выборов (в каждый из k ящиков положили по одному предмету) из k различных предметов. Следовательно, согласно логике предыдущего объяснения, имеем $C_{k+n-k-1}^{k-1} = C_{n-1}^{k-1}$. Продолжая пример 2.18, можно сказать, что при $n = 5$ и $k = 3$ число таких размещений равно 6. Три предмета раскладываются по ящикам, а затем остается подсчитать количество способов размещения двух оставшихся предметов по трем ящикам.

Нерассмотренными остались строки 2, 5 и 6 табл. 2.2. Однако задача, описываемая строкой 6 табл. 2.2, является ключевой. Если мы умеем размещать (*разбивать*) n предметов по k ящикам (блокам), при этом пустых ящиков нет, то тем самым мы умеем решать и оставшиеся две задачи. Действительно, случай 2 отличается от шестого тем, что ящики различимы. Это значит, что из каждого из $S(n, k)$ способов можно получить еще $k!$ способов, перекладывая предметы, задаваемые этим способом, по различным ящикам — общее количество способов равно $k! \cdot S(n, k)$. Случай 5 отличается от шестого тем, что допускаются пустые ящики. Он сводится к шестому следующим образом: все n предметов складываются в один ящик — количество способов $S(n, 1)$; все n предметов раскладываются по двум ящикам — $S(n, 2)$; ...; все n предметов размещаются по k ящикам. Общее количество равно $S(n, 1) + S(n, 2) + \dots + S(n, k)$.

2.13. Разбиения

Под *разбиением* n -элементного множества A на k блоков понимается произвольное семейство множеств $\pi = \{B_1, B_2, \dots, B_k\}$, такое, что $B_1 \cup B_2 \cup \dots \cup B_k = A$, $B_i \cap B_j = \emptyset$ для $1 \leq i < j \leq k$ и $B_i \neq \emptyset$ для $1 \leq i \leq k$. Подмножества B_1, B_2, \dots, B_k называют *блоками* семейства π . Множество всех разбиений множества A на k блоков обозначается как $\Pi_k(A)$, а множество всех разбиений $\Pi(A)$. Очевидно, что $\Pi(A) = \Pi_1(A) \cup \Pi_2(A) \cup \dots \cup \Pi_n(A)$.

Пример 2.19. Пусть $A = \{1, 2, 3, 4\}$. Построить $\Pi_3(A)$. Существует 6 разбиений A на три блока: $\{\{1\}, \{2\}, \{3, 4\}\}$; $\{\{1\}, \{2, 4\}, \{3\}\}$; $\{\{1, 4\}, \{2\}, \{3\}\}$; $\{\{1\}, \{2, 3\}, \{4\}\}$; $\{\{1, 3\}, \{2\}, \{4\}\}$; $\{\{1, 2\}, \{3\}, \{4\}\}$. ◀

Количество разбиений $S(n, k)$ n -элементного множества на k блоков называют *числами Стирлинга второго рода*: $S(n, k) = |\Pi_k(A)|$, где $|A| = n$. Очевидны равенства:

- 1) $S(n, k) = 0$ для $k > n$;

- 2) $S(n, n) = 1$ для $n \geq 0$. Считаем, что $S(0, 0) = 1$ — пустое семейство блоков есть разбиение пустого множества;

- 3) $S(n, 0) = 0$ для $n > 0$.

Основная формула, связанная с числами Стирлинга второго рода, имеет вид:

$$S(n, k) = S(n-1, k-1) + k \cdot S(n-1, k), \quad 0 < k < n.$$

Ее обоснование сводится к следующему рассуждению. Множество всех разбиений $\{1, 2, \dots, n\}$ на k блоков всегда можно разбить на два типа: разбиения, содержащие одноэлементный блок $\{n\}$ и не содержащие такого блока. Количество разбиений первого типа равно $S(n-1, k-1)$. Количество разбиений второго типа равно $k \cdot S(n-1, k)$. Это следует из того, что в каждом разбиении $\{1, 2, \dots, n-1\}$ на k блоков элемент n поочередно добавляется к каждому блоку.

```
Function GetQuan(n, k: Integer): Integer;
Begin
  If (k=0) Or (n<k) Then GetQuan:=0
  Else
    If (k=1) Or (k=n) Then GetQuan:=1
    Else GetQuan:=GetQuan(n-1, k-1) +
      k*GetQuan(n-1, k);
End;
```

Другая формула для подсчета числа разбиений имеет вид:

$$S(n, k) = \sum_{i=k-1}^{n-1} C_{n-1}^i \cdot S(i, k-1), \quad k \geq 2.$$

Приведем схему рассуждений. Есть множество $\Pi_k(A)$ (его мощность — $S(n, k)$) всех разбиений множества $A = \{a_1, a_2, \dots, a_n\}$ на k блоков. Его можно разбить на классы, соответствующие разным подмножествам множества $\Pi_k(A)$. Выделим элемент a_n и блок, его содержащий. Каждому t -элементному подмножеству $Q \subseteq A$, содержащему элемент a_n , соответствует $S(n-t, k-1)$ разбиений множества A на k блоков, одним из которых является Q . Так как t -элементное подмножество Q , содержащее элемент a_n , можно выбрать C_{n-1}^{t-1} способами, то по принципу умножения общее количество способов таких разбиений равно $C_{n-1}^{t-1} \cdot S(n-t, k-1)$. Это значение подсчитано для подмножеств Q мощности t . Осталось подсчитать для различных значений t , а это уже работает принцип сложения. Итак,

$$\begin{aligned} S(n, k) &= \sum_{t=1}^{n-(k-1)} C_{n-1}^{t-1} \cdot S(n-t, k-1) = \sum_{t=1}^{n-(k-1)} C_{n-1}^{n-t} \cdot S(n-t, k-1) = \\ &= \sum_{i=k-1}^{n-1} C_{n-1}^i \cdot S(i, k-1). \end{aligned}$$

Подсчет количества всех разбиений n -элементного множества $B_n = |\Pi(A)|$ сводится к суммированию чисел $S(n, k)$ по значению k — $B_n = \sum_{k=0}^n S(n, k)$. Эти значения называются *числами Белла*. Для них

справедлива следующая рекуррентная зависимость: $B_{n+1} = \sum_{i=0}^n C_n^i \cdot B_i$.

2.14. Разбиения на циклы

Пример 2.20. Сколькими способами можно рассадить 5 человек за круглым столом, если имеет значение только порядок соседей?

Вращение людей вокруг стола не меняет их взаимного расположения, ибо соседи справа и слева остаются прежними. Если зафиксировать положение одного человека, для того чтобы исключить вращения, то остальные 4 человека могут быть рассажены 4! способами. Можно рассуждать по-другому. Пусть места помечены номерами, т. е. являются уникальными. Тогда количество способов равно 5!. При вращении номера мест остаются прежними (соседи не меняются). Количество таких вращений — 5. Делим общее количество на 5 и получаем 4!.

Пусть требуется подсчитать количество способов разбиения элементов множества $A = \{a_1, a_2, \dots, a_n\}$ на k циклов (обозначим $s(n, k)$) при условии, что никакие два из k циклов не имеют общих элементов. Если $[a_1, a_2, \dots, a_t]$ есть цикл, a_t считается соседом a_1 , и, следовательно, $[a_1, a_2, \dots, a_i, \dots, a_t] = [a_i, \dots, a_t, a_1, \dots, a_{i-1}]$. Числа $s(n, k)$ называют *числами Стирлинга первого рода*.

Считаем, что $s(n, 0) = 0$ для всех $n \geq 1$, ибо сформировать 0 циклов, используя n элементов множества, нет возможности. Значение $s(n, n) = 1$ для всех $n \geq 0$. Если $n \geq 1$, то n циклов длины 1 строится единственным образом, ибо порядок записи циклов не имеет значения. При $n = 0$, предполагаем равенство 1, так как существует единственный способ построить цикл длины 0 — это не строить его.

Пример 2.21. Подсчитаем «вручную» значение $s(4, 2)$. Обозначим элементы множества числами 1, 2, 3, 4. Схема подсчета представлена в табл. 2.3.

Таблица 2.3

$s(3, 1)$	$s(4, 2)$
$[1, 2, 3] = [3, 1, 2] = [2, 3, 1]$	$[1, 2, 3][4]$
$[2, 1, 3] = [3, 2, 1] = [1, 3, 2]$	$[2, 1, 3][4]$
$s(3, 2)$	
$[1, 2][3]$	$[4, 1, 2][3]$
	$[1, 4, 2][3]$
	$[1, 2][4, 3]$
$[1, 3][2]$	$[4, 1, 3][2]$
	$[1, 4, 3][2]$
	$[1, 3][4, 2]$
$[1][2, 3]$	$[4, 1][2, 3]$
	$[1][4, 2, 3]$
	$[1][2, 4, 3]$

Получаем $s(4, 2) = s(3, 1) + 3s(3, 2) = 11$. ◀

Общая формула для вычисления чисел Стирлинга первого рода имеет вид:

$$s(n+1, k) = s(n, k-1) + n \cdot s(n, k).$$

Действительно, разбиение $(n+1)$ -элементного множества сводится к двум случаям. В первом случае на базе $(n+1)$ -го элемента образуется новый цикл, таких способов $s(n, k-1)$. Во втором случае $(n+1)$ -й элемент добавляется в существующие циклы: имеем k циклов, таких, что $n_1 + n_2 + \dots + n_k = n$, и число таких циклов равно

$s(n, k)$. Добавление $(n + 1)$ -го элемента к одному циклу из n_i элементов приводит к появлению n_i новых циклов, и из одного разбиения на циклы получается $n_1 + n_2 + \dots + n_k = n$ разбиений. Общее количество образующихся циклов во втором случае равно $n \cdot s(n, k)$.

2.15. Разбиение числа на слагаемые

Дано натуральное число n . Его можно записать в виде суммы натуральных слагаемых: $n = a_1 + a_2 + \dots + a_k$, где $k, a_1, \dots, a_k > 0$. Будем считать суммы эквивалентными, если они отличаются только порядком слагаемых. Класс эквивалентных сумм приведенного вида однозначно представляется последовательностями b_1, \dots, b_k , упорядоченными по невозрастанию. Каждую такую последовательность b_1, \dots, b_k назовем разбиением числа n на k слагаемых. Число разбиений числа n на k слагаемых обозначим через $P(n, k)$, общее число разбиений — через $P(n)$. Очевидно, что значение $P(n)$ получается суммированием $P(n, k)$ по значению k : $P(n) = \sum_{k=1}^n P(n, k)$, $n > 0$.

Считаем, что $P(0) = P(1) = 1$. Рассмотрим способ представления разбиений с помощью диаграмм Феррерса. Разбиение $n = b_1 + \dots + b_k$ запишем в виде k строк, причем i -я строка содержит b_i точек (см. рис. 2.2, а). А сейчас в исходной диаграмме поменяем «ролями» строки и столбцы. Получаем диаграмму, изображенную на рис. 2.2, б. Наибольшее слагаемое в новом разбиении равно числу строк в исходном разбиении. И для каждого разбиения на k слагаемых строится разбиение, в котором наибольшее слагаемое равно k . Обратное также верно. Имеет место взаимно однозначное соответствие и справедливость утверждения: число разбиений числа n на k слагаемых равно числу разбиений числа n с наибольшим слагаемым, равным k .

Главным следствием утверждения является способ подсчета числа разбиений. Число разбиений $P(n, k)$ равно сумме $P(n - k, i)$ по значению i , где i изменяется от 0 до k . Другими словами, k «выбрасывается» из n и подсчитывается число способов разбиения числа $n - k$ на i слагаемых.

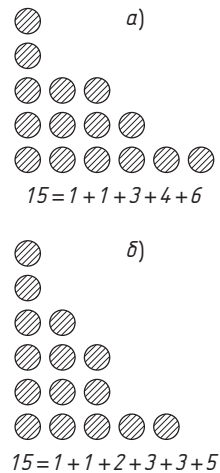


Рис. 2.2. Пример диаграммы Феррерса

Таблица 2.4

n	k									$P(n)$
	0	1	2	3	4	5	6	7	8	
1	0	1	0	0	0	0	0	0	0	1
2	0	1	1	0	0	0	0	0	0	2
3	0	1	1	1	0	0	0	0	0	3
4	0	1	2	1	1	0	0	0	0	5
5	0	1	2	2	1	1	0	0	0	7
6	0	1	3	3	2	1	1	0	0	11
7	0	1	3	4	3	2	1	1	0	15
8	0	1	4	5	5	3	2	1	1	22

Пример 2.22. Подсчитать $P(8, 3)$. Создадим таблицу (табл. 2.4), элементы которой заполняются по описанному принципу. Так, $P(8, 3) = P(5, 0) + P(5, 1) + P(5, 2) + P(5, 3)$. В правом столбце табл. 2.4 указано общее количество разбиений для значений n . ◀

Примечание. Решение задач подсчета количества комбинаторных объектов осуществляется по рассмотренным в главе формулам. Единственная сложность заключается в том, что ограничения на диапазон величин, определяемых типом данных в языках программирования, позволяют выполнять вычисления только для небольших значений n . Для снятия ограничения по n требуется использовать так называемую «длинную» арифметику [20].

Упражнения и задачи

2.1. Написать программу вычисления $n!$ при $n = 100$.

2.2. Известно, что любое n ($n \geq 0$) единственным образом представимо в факториальной системе счисления $n = \sum_{i=1}^t a_i \cdot i!$, где a_i принимают значения от 0 до i , а t — это максимальное значение, при котором $t! < n$. Например, $119 = 4 \cdot 4! + 3 \cdot 3! + 2 \cdot 2! + 1 \cdot 1!$, или $19 = 3 \cdot 3! + 0 \cdot 2! + 1 \cdot 1!$. Для заданного числа n составить программу, определяющую его представление в факториальной системе счисления.

2.3. Программно реализовать арифметические операции сложения, вычитания, умножения в факториальной системе счисления.

2.4. В системе счисления с основанием n используется n цифр. Подсчитать количество натуральных чисел, записываемых в такой системе счисления точно k цифрами.

Примечание. Будем считать, что 0 относится к натуральным числам.

2.5. Подсчитать количество целых чисел, меньших 1000, в записи которых нет ни одной пятерки.

2.6. Подсчитать количество способов выбора из 28 костей домино двух костей так, что их можно приложить друг к другу.

2.7. Подсчитать количество способов, которыми можно поставить на доску две шашки — белую и черную, так, чтобы они не могли бить друг друга.

2.8. *Перестановки на круге.* Подсчитать количество различных перестановок на круге при $n = 8$. Перестановки, переходящие друг в друга при вращениях (рис. 2.3) и переворотах (рис. 2.4), считать совпадающими.

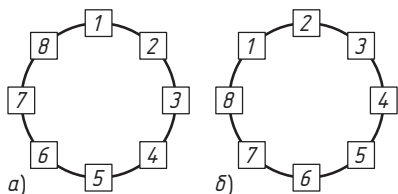


Рис. 2.3. Перестановки на круге, получаемые одна из другой путем вращения

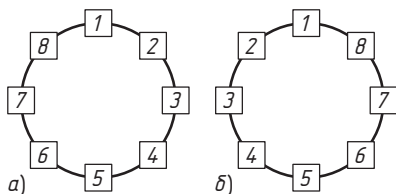


Рис. 2.4. Перестановки на круге, получаемые одна из другой путем переворота

2.9. *Анаграммы.* Если в некотором заданном тексте переставить буквы, то последний текст называют анаграммой (слова «лунка» и «кулан» — анаграммы). Х. Гюйгенс, открыв кольцо Сатурна, составил анаграмму из 7 букв a , 5 букв c , буквы d , 5 букв e , буквы g , буквы h , 7 букв i , 3 букв l , 2 букв t , 9 букв n , 4 букв o , 2 букв p , буквы q , 2 букв r , буквы s , 5 букв t и 5 букв u (всего 61 буква)*). Оцените порядок величины, равной количеству перестановок, которые теоретически требуется составить для установления истинного смысла анаграммы Гюйгенса.

2.10. Подсчитать количество натуральных чисел в интервале от 1 до n , которые делятся на a , b или c . Значения n , a , b , c заданы.

2.11. Подсчитать количество пятизначных целых чисел, в записи которых имеется ровно одна из цифр a , b или c ($1 \leq a, b, c \leq 9$). Значения a , b , c различны.

2.12. Найти первую пару чисел n и k ($n + k$ имеет минимальное значение), при которых A_n^k превысит значение 10^9 .

2.13. Доказать, что $A_n^k = A_{n-1}^k + k \cdot A_{n-1}^{k-1}$.

*) При постановке букв на свое место получается текст: «Annulo cingitur tenui, plano, nusquam cohaerente, ad eclipticam inclinato». Его перевод: «Окружен кольцом тонким, плоским, нигде не подвешенным, наклонным к эклиптике».

2.14. В лотерее используются бочонки (как в лото) с числами от 1 до 90. Загадываются одно, два, три, четыре или пять чисел. Случайным образом вынимаются пять бочонков. Если все загаданные числа есть на вынутых бочонках, то вы выиграли. Например, если загаданы три числа 13, 25, 37, а вынутыми оказались бочонки с числами 5, 8, 12, 25, 37, то вы проиграли. Числа 13 нет. Если вы загадывали одно число и оно присутствует, то ваш выигрыш равен 15 номиналам (например, стоимости билета), если два числа — 270 номиналам, три числа — 5500, четыре числа — 75 000, и, наконец, пять чисел — 1 000 000. Сколько раз в среднем следует участвовать в игре, чтобы выиграть указанные суммы, загадывая постоянно одно, два, три, четыре или пять чисел соответственно?

2.15. Имеется пять пронумерованных (числами от 1 до 5) кубиков красного цвета и четыре пронумерованных (числами от 1 до 4) кубика зеленого цвета. Кубики выкладываются в ряд. Сколькими способами можно выложить кубики так, чтобы зеленые кубики не были соседними?

2.16. Сколькими способами можно расставить n нулей и k единиц так, чтобы никакие две единицы не стояли рядом?

2.17. Двенадцать красных кубиков выложены в ряд. Сколько существует способов выбора 5 кубиков так, чтобы никакие два из них не были «соседями» в исходном ряду?

2.18. Двенадцать красных кубиков выложены по кругу (рис. 2.5). Сколько существует способов выбора 5 кубиков так, чтобы никакие два из них не были «соседями» в исходном расположении?

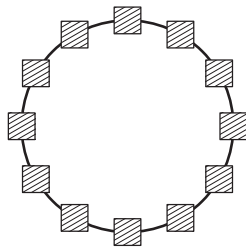


Рис. 2.5. Иллюстрация расположения кубиков к задаче 2.18

2.19. Подсчитать количество перестановок из цифр от 1 до 8, таких, что:

- а) между цифрами 1 и 2 должны быть записаны две или три цифры;
- б) цифры 1 и 2 не должны быть разделены другими цифрами;
- в) цифры 1, 2, 3, 4 должны находиться рядом в перестановке.

2.20. Найти первую пару чисел n и k ($n + k$ имеет минимальное значение), при которых C_n^k превысит значение 10^9 .

2.21. Написать программу, восстанавливающую перестановку по ее таблице инверсий.

Пример. $n = 9$, $T = (2, 3, 6, 4, 0, 2, 2, 1, 0)$. Перестановка — $P = (5, 9, 1, 8, 2, 6, 4, 7, 3)$.

2.22. Написать программу, преобразовывающую произвольную перестановку в единичную за минимальное количество транспозиций.

2.23. Перестановке (a_1, a_2, \dots, a_n) соответствует таблица инверсий (d_1, d_2, \dots, d_n) . Определить, какой перестановке будет соответствовать таблица инверсий $(n-1-d_1, n-2-d_2, \dots, 0-d_n)$.

2.24. Разупорядочением называют перестановку, в которой ни один из элементов не остается на своем месте. Подсчитать количество разупорядоченных перестановок D_{10} .

2.25. Подсчитать количество способов расстановки на шахматной доске 8×8 восьми ладей так, чтобы они «не били» друг друга и у каждой ладьи номер строки и номер столбца не совпадали.

2.26. Сколько существует перестановок из 7 элементов, в которых:

- а) ни один элемент не находится на своем месте;
- б) только один элемент находится на своем месте;
- в) хотя бы один элемент находится на своем месте;
- г) хотя бы два элемента находятся на своих местах.

2.27. Определить количество перестановок из n элементов, в которых k элементов находятся на своих местах.

2.28. Определить количество решений уравнения $x_1 + x_2 + x_3 + x_4 + x_5 = 17$ в целых неотрицательных числах.

2.29. Определить количество натуральных n -значных чисел, состоящих из цифр, расположенных в неубывающем порядке.

2.30. Определить количество перестановок из n элементов, в которых заданные m элементов не стоят рядом в любом порядке.

2.31. Подсчитать количество перестановок при $n=4$, таких, что в них не встретится ни одна из пар $(1, 2)$, $(2, 3)$, $(3, 4)$.

2.32. В перестановках на круге (задача 2.8) идентичными будем считать только перестановки, получаемые в результате вращений. Количество различных перестановок из n элементов равно $(n-1)!$. Подсчитать количество перестановок, в которых нет пар $(1, 2)$, $(2, 3)$, \dots , $(n-1, n)$, $(n, 1)$.

2.33. Имеется 6 красных, 8 синих и 10 зеленых кубиков. Сколькими способами они могут быть разложены в два ящика?

2.34. Найти количество делителей натурального числа n .

2.35. Сколькими способами можно распределить 40 одинаковых кубиков в четыре различных ящика?

2.36. Имеется 6 красных, 8 синих и 10 зеленых кубиков. Сколькими способами они могут быть разложены в четыре различных ящика?

2.37. Имеется семь различных кубиков. Сколько существует способов разложить их в пять различных ящиков? Ни один ящик не должен оказаться пустым.

2.48. Бесконечная шахматная доска ограничена двумя перпендикулярными лучами. Шашка (не дамка) находится в левом нижнем углу. Подсчитать для каждого поля доски количество способов, которыми шашка может на него попасть.

2.49. Дано клеточное поле (см. рис. 2.6). Путь проходит по границам клеток. Подсчитать количество путей, идущих из точки $A(0, 0)$ до точек B , находящихся на диагонали поля.

2.50. Доказать геометрически справедливость равенства:

$$C_{n+k}^k = C_m^m C_{n+k-m-1}^{k-m-1} + C_{m+1}^m C_{n+k-m-2}^{k-m-1} + \dots + C_{m+n}^m C_{k-m-1}^{k-m-1}.$$

Комментарии

Общеизвестность изложенного в главе материала настолько велика, что конкретные ссылки являются, скорее, примерами, чем рекомендациями. Однако в сжатом и сконцентрированном виде изложение фактов найти трудно, они «размазаны» по источникам и даются в этюдном виде. Все зависит от целевых установок книг [1, 2, 13, 14, 17, 22, 24] или от того, кому и как «дается» этот материал. При работе со школьниками (и не только) очень помогает старая и добрая книга (если так можно сказать о книге) Наума Яковлевича Виленкина [6]. Она у автора уже много лет является настольной, и, естественно, при написании данной главы было обращение к ней. Для студентов математических специальностей этого явно недостаточно и следует обратиться к книгам: Холл М. Комбинаторика. — М. : Мир, 1970; Риордан Дж. Введение в комбинаторный анализ. — М. : ИЛ, 1963; Рыбников К. А. Введение в комбинаторный анализ. — М. : МГУ, 1972. Но, так или иначе, факты должны быть первоначально изложены в простом и доступном виде.

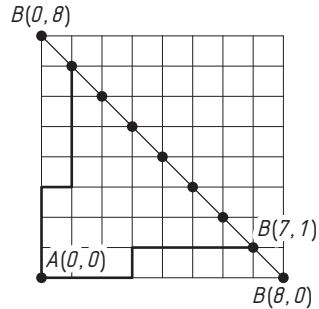


Рис. 2.6. Иллюстрация к задаче 2.49

ГЛАВА 3

ПЕРЕЧИСЛЕНИЕ КОМБИНАТОРНЫХ ОБЪЕКТОВ

3.1. Общая схема генерации комбинаторных объектов

Без ограничения общности будем полагать, что элементами множества $A = \{a_1, a_2, \dots, a_n\}$ являются натуральные числа от 1 до n . Решение задачи перечисления комбинаторных объектов требует определения отношения порядка на множестве этих объектов. Если отношение порядка определено, т. е. для каждого объекта можно сказать, какой предшествует ему и какой следует за ним, то общая схема генерации объектов независимо от их типа (размещения, сочетания, перестановки) имеет следующий вид:

```
Procedure GetAll;  
  Var tt:<тип tt>; {Переменная tt описывает ком-  
                   бинаторный объект}  
Begin  
  <сформировать начальный объект tb>;  
  <сформировать конечный объект te>;  
  tt:=tb;  
  <вывести или запомнить значение tt>;  
  While tt<>te Do Begin  
    tt:=<следующий в соответствии с введенным  
           отношением порядка комбинаторный объект>;  
    <вывести или запомнить значение tt>;  
  End;  
End;
```

Основная часть логики «зарыта» в процедуре получения следующего (в соответствии с введенным отношением порядка) комбинаторного объекта. Назовем ее *GetNext*.

3.2. Генерация перестановок без повторов

Предполагаем, что перестановка хранится в массиве $A[1..n]$. Необходимо перечислить, или сгенерировать, все перестановки для заданного значения n , что требует введения отношения порядка на множестве перестановок. Лексикографический порядок на множестве всех перестановок определяется следующим образом. $A_1 < A_2$ тогда и только тогда, когда существует такое $t \geq 1$, что $A_1[t] < A_2[t]$ и $A_1[i] = A_2[i]$ для всех $i < t$.

Пример 3.1. Для $n=4$ в табл. 3.1 перечислены перестановки в лексикографическом порядке и указаны их номера в соответствии с принципом перечисления. Начальная перестановка — 1234, последняя — 4321. ◀

Таблица 3.1

№	A	№	A	№	A	№	A
1	1234	7	2134	13	3124	19	4123
2	1243	8	2143	14	3142	20	4132
3	1324	9	2314	15	3214	21	4213
4	1342	10	2341	16	3241	22	4231
5	1423	11	2413	17	3412	23	4312
6	1432	12	2431	18	3421	24	4321

Для решения задачи перечисления требуется осознать «переход» к следующей перестановке. Рассмотрим перестановки с номерами 6 и 7 — это 1432 и 2134. Начинаем просматривать перестановку 1432 с конца, в порядке возрастания расположены три элемента: 2, 3, 4. Для последней перестановки 4321 это условие сохраняется для всей перестановки (ключ к пониманию!), для всех остальных — нет. Итак, следует найти нарушение монотонности, или «скачок», в перестановке. После того как он найден — это позиция i (для примера $i=1$), такая, что $A[i] < A[i+1]$, — необходимо осуществить переход к следующей по порядку перестановке, т. е., в нашем примере, за 1432 должна следовать 2134. С этой целью выбирается минимальный элемент среди просмотренных (2, 3, 4), осуществляется его транспозиция с элементом $A[i]$, и просмотренная часть перестановки с одним измененным элементом «максимально ухудшается», т. е. приближается к начальной (первой) перестановке, в которой все элементы записаны в возрастающем порядке.

```

Procedure Swap(Var x,y: Integer);
  Var t:Integer;
  Begin t:=x; x:=y; y:=t; End;

```

```

Procedure GetNext;
  {Для перестановки  $n, n-1, \dots, 1$  процедура не
  работает. Массив  $A$  и  $n$  являются глобальными пе-
  ременными}
  Var i, j: Integer;
  Begin
    i:=n;
    While (i>1) And (A[i]<A[i-1]) Do Dec(i);
    {Находим «скачок»}
    j:=n;
    While A[j]<A[i-1] Do Dec(j); {Находим первый
    элемент, больший значения  $A[i-1]$ }
    Swap(A[i-1], A[j]);
    For j:=0 To (n-i+1) Div 2 - 1 Do
      Swap(A[i+j], A[n-j]); {Переставляем элементы
      перестановки, расположенные после «скачка»,
      в порядке возрастания}
  End;

```

3.3. Генерация сочетаний без повторений

Отношение лексикографического порядка на множестве сочетаний определяется так же, как и для перестановок.

Пример 3.2. Пусть $n = 7$ и $k = 5$. Число сочетаний равно 21. Сочетания в лексикографическом порядке (хранятся в массиве A) приведены в табл. 3.2. ◀

Таблица 3.2

№	A	№	A	№	A
1	12345	8	12457	15	14567
2	12346	9	12467	16	23456
3	12347	10	12567	17	23457
4	12356	11	13456	18	23467
5	12357	12	13457	19	23567
6	12367	13	13467	20	24567
7	12456	14	13567	21	34567

Начальное сочетание равно $1, 2, \dots, k$, а последнее $n-k+1, n-k+2, \dots, n$. Переход от текущего сочетания к следующему осуществляется по схеме: сочетание просматривается справа налево и

находится первый элемент, который можно увеличить. В новом сочетании он должен быть не равен элементу на этом же месте в текущем сочетании. Поэтому элемент увеличивается на единицу, а часть сочетания (от этого элемента до конца) формируется из чисел натурального ряда, следующих за ним, — окончание сочетания максимально приближаем к начальному.

Procedure GetNext;

{Предполагается, что текущее сочетание (хранится в массиве A) не является последним}

Var i, j: Integer;

Begin

 i:=k;

 While (A[i]+k-i+1>n) Do Dec(i);

 {Находим элемент, который можно увеличить}

 Inc(A[i]); {Увеличиваем на единицу}

 For j:=i+1 To k Do A[j]:=A[j-1]+1;

 {Изменяем стоящие справа элементы}

End;

3.4. Генерация размещений без повторов

Пример 3.3. Пусть $n = 5$, $k = 2$. Перечисление размещений в лексикографическом порядке приведено в табл. 3.3. ◀

Таблица 3.3

№	A	№	A	№	A	№	A	№	A
1	12	5	21	9	31	13	41	17	51
2	13	6	23	10	32	14	42	18	52
3	14	7	24	11	34	15	43	19	53
4	15	8	25	12	35	16	45	20	54

Первый вариант. Свободными элементами размещения назовем те элементы из множества от 1 до n , которых нет в текущем размещении (последовательности из k элементов). Свободными элементами для размещения (1 2) из табл. 3.3 являются 3, 4 и 5. Допишем в размещение свободные элементы в убывающем порядке (1 2 5 4 3), сгенерируем очередную в лексикографическом порядке перестановку (1 3 2 4 5) и возьмем первые k элементов (1 3). Получаем следующее размещение.

Второй вариант. Если хранить не свободные, а «занятые» текущим размещением элементы множества, то получить все размеще-

ния можно с помощью следующей рекурсивной логики:

```

Procedure GetAll(t:Integer);
  {t определяет номер позиции в размещении}
  {Множество для хранения использованных в размещении элементов обозначим как S:Set Of Byte. A – массив для хранения размещения; n, k – глобальные переменные}
  Var i:Byte;
  Begin
    For i:=1 To n Do {Перебираем элементы множества и находим первый свободный}
      If Not(i In S) Then Begin
        S:=S+[i]; {Запоминаем элемент}
        A[t]:=i; {Записываем его в размещение}
        If t<k Then GetAll(t+1)
          Else <вывести или сохранить размещение>;
        S:=S-[i]; {Возвращаем элемент в число свободных}
      End;
    End;
  End;

```

Третий вариант. Реализация идеи, заложенной в процедуре *GetNext* (приведена при рассмотрении перестановок и сочетаний в п. 3.2 и 3.3), для размещений требует ввода дополнительной структуры данных для хранения признака «не занятости» элементов исходного множества в размещении.

```

Procedure GetNext;
  Var i:Word;
  Begin
    <по текущему разбиению формируем множество свободных элементов>;
    i:=k;
    While (i>0) And <не нашли позицию размещения, в которой допускается изменение> Do Begin
      <перевести элемент размещения A[i] в разряд свободных>;
      i:=i-1;
    End;
    <переводим найденный элемент в разряд свободных, находим первый свободный элемент больше найденного и записываем его в размещение – A[i]>;
  End;

```

<формируем часть размещения с позиции i до k по принципу: на очередное место записываем первый свободный элемент>;

End;

3.5. Генерация перестановок с повторениями

Логика генерации перестановок с повторениями в лексикографическом порядке практически совпадает с той, что приведена для перестановок без повторений (см. п. 3.2). В процедуре *GetNext* следует в двух местах заменить знак $<$ на знак \leq .

3.6. Генерация сочетаний с повторениями

Пример 3.4. Пусть $n=3$, $k=2$. Перечислим сочетания с повторениями: (1, 1), (1, 2), (1, 3), (2, 2), (2, 3), (3, 3). На первое место последовательно пишутся числа от 1 до n . На второе — от числа, записанного на первом месте, до n . Рекурсивная схема реализации требует двух параметров: место (t) в массиве, на которое осуществляется запись, и число (q), начиная с которого выполняется перебор. ◀

```

Procedure GetAll(t, q: Integer);
  {Массив A, величины n, k — глобальные}
  Var i: Integer;
  Begin
    If t > k Then <вывод или запоминание очередного
      сочетания>
    Else For i := q To n Do Begin
      A[t] := i; GetAll(t+1, i);
    End;
  End;
End;
```

Первый вызов процедуры — *GetAll(1, 1)*.

3.7. Генерация размещений с повторениями

Пример 3.5. Пусть $n=3$, $k=2$. Перечислим размещения с повторениями: (1, 1), (1, 2), (1, 3), (2, 1), (2, 2), (2, 3), (3, 1), (3, 2), (3, 3). На каждое из мест в размещении последовательно пишутся числа от 1 до n . ◀

```

Procedure GetAll(t:Integer);
  Var i:Integer;
  Begin
    If t>k Then <вывод или запоминание очередного
      сочетания>
    Else For i:=1 To n Do Begin
      A[t]:=i; GetAll(t+1);
    End;
  End;
End;

```

Первый вызов процедуры — *GetAll(1)*.

3.8. Генерация подмножеств

Для решения задачи продуктивной является идея описания конечного множества $A = \{a_1, a_2, \dots, a_n\}$ последовательностью из 0 и 1 длины n . Значение 1 в последовательности говорит о том, что соответствующий элемент A принадлежит подмножеству. Между подмножествами и целыми числами в интервале от 0 до $2^n - 1$ естественным образом устанавливается взаимно однозначное соответствие. В этом случае переход к следующему подмножеству эквивалентен прибавлению единицы к числу с последующим выводом его двоичного представления.

Пример 3.6. Пусть $n = 8$. Последовательность 00000111 говорит о том, что элементы a_1, a_2, a_3 принадлежат подмножеству. Следующая последовательность 00001000 — подмножество состоит из одного элемента a_4 . ◀

При перечислении комбинаторных объектов иногда требуется выполнение условия, которое заключается в том, чтобы каждый следующий объект минимально отличался от предыдущего. Кодирование по Франку Грею решает эту задачу для подмножеств. Рассмотрим его. Двоичное представление числа (n разрядов, где n — количество элементов в множестве, $2^n = Q$, Q — количество подмножеств) преобразуется в последовательность длины n так, что очередная последовательность отличается от предыдущей только в одном разряде. Для хранения последовательностей используются массивы B (двоичное представление) и $Gray$ (представление по Грею). При n , равном 4, кодирование по Грею приведено в табл. 3.4.

Во втором столбце табл. 3.4 записаны двоичные представления чисел от 0 до $2^4 - 1$. В третьем столбце таблицы записано зна-

Таблица 3.4

Число	Двоичное представление числа (B)	Номер элемента (t)	Двоичная последовательность ($Gray$)	Подмножество	Число	Двоичное представление числа (B)	Номер элемента (t)	Двоичная последовательность ($Gray$)	Подмножество
0	0000	1	0000	[]	8	1000	1	1100	[3, 4]
1	0001	2	0001	[1]	9	1001	2	1101	[1, 3, 4]
2	0010	1	0011	[1, 2]	10	1010	1	1111	[1, 2, 3, 4]
3	0011	3	0010	[2]	11	1011	3	1110	[2, 3, 4]
4	0100	1	0110	[2, 3]	12	1100	1	1010	[2, 4]
5	0101	2	0111	[1, 2, 3]	13	1101	2	1011	[1, 2, 4]
6	0110	1	0101	[1, 3]	14	1110	1	1001	[1, 4]
7	0111	4	0100	[3]	15	1111	—	1000	[4]

чение t — номер элемента множества, который добавляется или исключается из подмножества. Он равен номеру позиции первого нуля в массиве B при просмотре справа налево, т. е. $B[t]=0$, $B[i]=1$ ($1 \leq i \leq t-1$). Каждое из чисел подвергается преобразованию (кодирование по Грью) путем замены каждой двоичной цифры, кроме первой (нумерация слева направо), на ее сумму с предыдущей цифрой по модулю 2 (операция *Xor*). То есть $Gray[1] := B[1]$ и $Gray[i] := B[i] \text{ Xor } B[i-1]$ для всех i от 2 до n . В последнем столбце табл. 3.4 записаны подмножества, построенные по единичным элементам массива $Gray$ (нумерация справа налево). Обратите внимание на то, что каждое следующее подмножество отличается от предыдущего только на один элемент. Обратное преобразование: $B[1] := Gray[1]$, $B[i] := Gray[i] \text{ Xor } B[i-1]$ для i от 2 до n . Процедура генерации следующего подмножества, отличающегося от текущего только одним элементом, имеет вид:

```

Procedure GetNext;
  Var t: Integer;
  Begin
    t:=n+1;
    Repeat {Поиск значения t}
      Dec(t); B[t]:=B[t] Xor 1;
    Until B[t]=1;
    Gray[t]:=Gray[t] Xor 1; {Элемент с номером t
    добавляется или исключается из подмножества}
  End; {Процедура не работает с последней последовательностью B-1111 (n=4)}

```

3.9. Генерация разбиений

Рассмотрим логику генерации разбиений на конкретном примере.

Пример 3.7. Пусть $A = \{1, 2, 3, 4, 5\}$ и $k = 3$. Исследуем структуру разбиений. Для этого получим результат для $S(5, 3)$, $S(4, 2)$, $S(4, 3)$ и можно для значения $S(3, 2)$ — табл. 3.5. Схема получения разбиений приведена в табл. 3.5.

В табл. 3.5 жирным шрифтом выделены те разбиения $S(5, 3)$, которые получаются из $S(4, 2)$ путем добавления третьего блока, состоящего из одного элемента, равного 5, а жирным курсивом показаны разбиения $S(5, 3)$, получаемые из разбиений $S(4, 3)$ добав-

Таблица 3.5

$S(3, 2)$	$S(4, 2)$	$S(4, 3)$	$S(5, 3)$
	{1, 2, 3}, {4}		{1, 2, 3}, {4}, {5}
{1, 2}, {3}	{1, 2, 4}, {3}		{1, 2, 4}, {3}, {5}
{1, 3}, {2}	{1, 3, 4}, {2}		{1, 3, 4}, {2}, {5}
{1}, {2, 3}	{1, 4}, {2, 3}		{1, 4}, {2, 3}, {5}
	{1, 2}, {3, 4}		{1, 2}, {3, 4}, {5}
	{1, 3}, {2, 4}		{1, 3}, {2, 4}, {5}
	{1}, {2, 3, 4}		{1}, {2, 3, 4}, {5}
		<i>{1, 2}, {3}, {4}</i>	<i>{1, 2, 5}, {3}, {4}</i>
		<i>{1, 3}, {2}, {4}</i>	<i>{1, 3, 5}, {2}, {4}</i>
		<i>{1}, {2, 3}, {4}</i>	<i>{1, 5}, {2, 3}, {4}</i>
		<i>{1, 4}, {2}, {3}</i>	<i>{1, 4, 5}, {2}, {3}</i>
		<i>{1}, {2, 4}, {3}</i>	<i>{1, 5}, {2, 4}, {3}</i>
		<i>{1}, {2}, {3, 4}</i>	<i>{1, 5}, {2}, {3, 4}</i>
			{1, 2}, {3, 5}, {4}
			{1, 3}, {2, 5}, {4}
			{1}, {2, 3, 5}, {4}
			{1, 4}, {2, 5}, {3}
			{1}, {2, 4, 5}, {3}
			{1}, {2, 5}, {3, 4}
			<i>{1, 2}, {3}, {4, 5}</i>
			<i>{1, 3}, {2}, {4, 5}</i>
			<i>{1}, {2, 3}, {4, 5}</i>
			<i>{1, 4}, {2}, {3, 5}</i>
			<i>{1}, {2, 4}, {3, 5}</i>
			<i>{1}, {2}, {3, 4, 5}</i>

лением пятого элемента к первому блоку. В следующих выделенных строках табл. 3.5 приводятся разбиения, получаемые добавлением пятого элемента ко второму и третьему блокам разбиений $S(4, 3)$. ◀

Определим отношение порядка на множестве разбиений следующим, рекурсивным, способом. Пусть есть два разбиения b_1 и b_2 множества из n элементов на k блоков. Считаем, что $b_1 < b_2$ тогда и только тогда, когда после удаления элемента n из блоков разбиений получаем разбиения b'_1 и b'_2 , такие, что $b'_1 < b'_2$. Если блок состоит из одного элемента n , то удаляется данный блок и любое разбиение на $k - 1$ блоков меньше любого разбиения на k блоков.

Из табл. 3.5 четко просматривается, какое разбиение является первым, а какое последним. Реализуем генерацию первого и последнего разбиений с помощью следующих процедур:

```

Procedure First(n,k:Integer);
  Var i:Integer;
  Begin
    b[1]:=[1..(n-k+1)];
    For i:=2 To k Do b[i]:=[n-k+i];
  End;

Procedure Last(n,k:Integer);
  Var i:Integer;
  Begin
    For i:=1 To k-1 Do lst[i]:=[i];
    lst[k]:=[k..n];
  End;

```

Оформим проверку — является ли текущее разбиение, записанное в массиве b , последним при данных значениях n и k с помощью следующей функции:

```

Function IsLast(n,k:Integer): Boolean;
  Var ret: Boolean;
      i: Integer;
  Begin
    ret:=True;
    For i:=1 To k-1 Do ret:=ret And (b[i]=[i]);
    ret:=ret And (b[k]=[k..n]);
    IsLast:=ret;
  End;

```

Для реализации логики требуется еще одна простая функция *GetIndex*, определяющая номер блока, которому принадлежит элемент *m*.

```
Function GetIndex(m:Integer):Integer;
  Var i:Integer;
  Begin
    i:=1;
    While Not(m In b[i]) Do Inc(i);
    GetIndex:=i;
  End;
```

Рекурсивный вариант логики генерации следующего разбиения имеет вид:

```
Procedure GetNext(n,k:Integer);
  Var h,q:Integer;
  Begin
    h:=GetIndex(n); {h – номер блока, содержащего
                     элемент n}
    b[h]:=b[h]-[n]; {Исключение элемента n из
                     блока h}
    If k>1 Then {Количество блоков больше одного}
      If (h=k) And (b[k]<>[]) Then Begin
        {Элемент n должен остаться в блоке h}
        If Not IsLast(n-1,k) Then
          {Это не последнее разбиение n-1 эле-
           ментов на k блоков}
          GetNext(n-1,k); {Генерируем следующее
                           разбиение n-1 элементов на k блоков}
        End
      Else Begin
        If h<k Then q:=k Else q:=k-1; {q – коли-
          чество блоков, на которые разбиты n-1
          элементов}
        If IsLast(n-1,k) {Это последнее разбие-
          ние n-1 элементов на k блоков?}
          Then Begin
            First(n-1,k); {Генерируем первое
                           разбиение n-1 элементов на k блоков}
            h:=(h mod k)+1; {Если h=k, то h=1,
                             иначе h=h+1}
          End
        End
      End;
```

```

        Else GetNext(n-1,q); {Генерируем сле-
        дующее разбиение n-1 элементов на k
        блоков}
    End;
    b[h]:=b[h]+[n]; {Размещаем элемент n в блоке
    с номером h}
End;

```

При наличии процедуры *GetNext* схему генерации всех разбиений можно представить по-другому. Напишем простую функцию сравнения двух массивов:

```

Function Eq(q1,q2:Tmas):Boolean;
    {Имеются в виду следующие типы данных: Tset=Set
    Of 1..n; TMas=Array[1..k] Of TSet;}
    Var i:Integer;
        ret:Boolean;
    Begin
        ret:=True;
        For i:=1 To k Do ret:=ret And (q1[i]=q2[i]);
        Eq:=ret;
    End;

```

Тогда процедура *GetAll* (генерации всех разбиений) имеет вид:

```

Procedure GetAll;
    Begin
        b:=First(n,k); lst:=Last(n,k);
        While Not Eq(b,lst) Do Begin
            <вывод разбиения>;
            GetNext(n,k);
        End;
        <вывод разбиения>;
    End;

```

Пусть дано некоторое разбиение. Определим его номер в соответствии с введенным отношением порядка (функция *GetNum(n, k)*). Если значение k равно единице, то и номер блока равен также единице, так как при любых разбиениях на один блок их количество равно одному. В противном случае определим номер блока (значение переменной h), к которому принадлежит элемент n . Если значение h равно значению k и блок состоит из одного элемента n , то мы находимся в первой части множества разбиений (элемент n находится в блоке с номером k и блок состоит из одного элемента см. табл. 3.4) и имеем полное

право записать $GetNum := GetNum(n-1, k-1)$. При невыполнении условия очевидно, что разбиение принадлежит ко второй части множества разбиений — из разбиений $n-1$ элементов на k блоков мы последовательно генерируем разбиения путем добавления n к существующим блокам. В этом случае требуется подсчитать количество разбиений $n-1$ элементов на $k-1$ блоков (функция $GetQuan(n, k)$ описана в п. 2.13, см. с. 42), вычислить количество разбиений $n-1$ элементов по k блокам — это значение входит в номер $h-1$ раз, и, наконец, определить «остаток номера» — номер разбиения $n-1$ элементов на k блоков.

```
Function GetNum (n, k: Integer): Integer;
  Var h: Integer;
  Begin
    If k=1 Then GetNum:=1
      Else Begin
        h:=GetIndex(n); {h — номер блока, содержащего элемент n}
        b[h]:=b[h]-[n];
        If (h=k) And (b[h]=[])
          Then GetNum:=GetNum(n-1, k-1)
          Else GetNum:= GetQuan(n-1, k-1) + (h-1) *
            GetQuan(n-1, k) + GetNum(n-1, k);
        b[h]:=b[h]+[n];
      End;
  End;
```

Определение разбиения по его номеру является обратной задачей по отношению к рассмотренной выше. Пусть логика решения реализована в процедуре $GetSet$ с входными параметрами: n — количество элементов в множестве, k — количество блоков, p — номер разбиения. Найдем число s , равное $S(n-1, k-1)$. Если p меньше или равно s , то искомое разбиение принадлежит первой части множества разбиений, когда один элемент n составляет блок k . Размещаем элемент в блоке и рекурсивно вызываем $GetSet(n-1, k-1, p)$. Если значение p больше s , то разбиение принадлежит второй части множества разбиений, определяемой размещением $n-1$ элементов на k блоков и последовательным добавлением элемента n к каждому блоку. Исключим из p количество разбиений в первой части, $p := p - s$. Вычислим новое значение s , равное $S(n-1, k)$, и найдем целое количество вхождений числа s в число p ($h := p \text{ div } s$). Значение h показывает количество блоков, в которых «побывал» элемент

n при разбиении $(n-1)$ -элементного множества на k блоков. Причем если остаток от деления $p \bmod s$ равен нулю, то элемент n находится в блоке h , иначе номер блока $h := h + 1$. Размещаем элемент n в блоке с номером h , изменяем значение p ($p := p \bmod s$, если же $p = 0$, меняем значение $p := s$) и рекурсивно вызываем $GetSet(n-1, k, p)$ с новыми параметрами.

```

Procedure GetSet (n, k, p: Integer);
  Var s, h: Integer;
  Begin
    If n>0 Then Begin
      s:=GetQuan(n-1,k-1);
      If p<=s Then Begin
        b[k]:=b[k]+[n]; {Элемент n помещаем в
                          блок k}
        GetSet (n-1,k-1,p); {Генерация разби-
                              ения n-1 элементов на k-1 блоков по
                              номеру p}
      End
    Else Begin {p>s}
      p:=p-s; {Исключаем из номера ту часть,
              которая соответствует разбиениям с по-
              следним блоком, состоящим из одного
              элемента n}
      s:=GetQuan(n-1,k);
      h:=p Div s; {Вычисляем номер блока для
                  размещения элемента n}
      p:=p Mod s; {Определяем новое значе-
                  ние номера разбиения n-1 элементов на
                  k блоков с учетом того, что элемент n
                  размещен в требуемом блоке}
      If p=0 Then p:=s Else Inc(h); {Учитыва-
                                      ем особенности операций Div и Mod}
      b[h]:=b[h]+[n]; {Элемент n размещаем в
                       блоке с номером h}
      GetSet (n-1,k,p); {Рекурсивно по новому
                        значению номера p генерируем разбиение
                        n-1 элементов на k блоков}
    End;
  End;
End;
End;

```

3.10. Генерация разбиений на циклы

В соответствии с методикой, предложенной в [20], при рассмотрении комбинаторных объектов решаются, как минимум, четыре подзадачи:

- 1) подсчет количества комбинаторных объектов (разбиений);
- 2) получение из текущего объекта следующего в соответствии с введенным отношением порядка;
- 3) получение по объекту его номера;
- 4) обратная задача — по номеру объекта сгенерировать сам объект.

Первая задача для небольших значений входных параметров достаточно тривиальна, начнем со второй.

Введем понятие нормализованной формы записи разбиения. Пусть $n = 5$ и $k = 3$. Пример разбиения на три цикла: $[4, 1, 5][2][3]$. Это же разбиение имеет и другие формы записи: $[5, 4, 1][2][3]$; $[1, 5, 4][2][3]$. Нормализованной считаем последнюю запись. Еще пример: $[1, 4][2, 5][3]$. Другие формы записи: $[1, 4][5, 2][3]$; $[4, 1][2, 5][3]$; $[4, 1][5, 2][3]$. Нормализованной считаем первую запись. В *нормализованной форме* запись каждого цикла начинается с минимального числа, которое есть в цикле.

Определить схему генерации разбиений элементов множества на циклы, а значит, и некое отношение порядка достаточно сложно. Воспользуемся следующим приемом. Поставим в соответствие каждой нормализованной записи разбиения некоторый код (числовое представление, которое строится однозначно по разбиению) так, что по коду однозначно восстанавливается разбиение. Введем отношение порядка на множестве кодов, будем генерировать коды в соответствии с этим отношением порядка, а из них получать соответствующие разбиения.

Правила формирования кода разбиения n -элементного множества на циклы:

1. Длина кода равна n .
2. Элементу с минимальным значением в каждом цикле ставим в соответствие число нуль как признак начала цикла. Записываем нуль в коде на место этого элемента — если минимальное значение цикла равно 4, то нуль в коде записывается на четвертое место.

3. Каждый цикл просматривается справа налево. Для каждого элемента цикла находится первый слева элемент, меньший его. Это значение записывается в коде на место, соответствующее рассматриваемому элементу цикла.

Пример 3.8. Пусть дано разбиение $[1, 5, 4][2][3]$. Разбиение состоит из трех циклов, начальный вид кода 000^{**} (записываем ну-

Таблица 3.6

№	Цикл	Код	№	Цикл	Код
0	[1, 5, 4] [2] [3]	00011	18	[1, 3, 4] [2] [5]	00130
1	[1, 4] [2, 5] [3]	00012	19	[1, 5] [2, 3] [4]	00201
2	[1, 4] [2] [3, 5]	00013	20	[1] [2, 5, 3] [4]	00202
3	[1, 4, 5] [2] [3]	00014	21	[1] [2, 3, 5] [4]	00203
4	[1, 5] [2, 4] [3]	00021	22	[1] [2, 3] [4, 5]	00204
5	[1] [2, 5, 4] [3]	00022	23	[1, 4] [2, 3] [5]	00210
6	[1] [2, 4] [3, 5]	00023	24	[1] [2, 4, 3] [5]	00220
7	[1] [2, 4, 5] [3]	00024	25	[1] [2, 3, 4] [5]	00230
8	[1, 5] [2] [3, 4]	00031	26	[1, 5, 2] [3] [4]	01001
9	[1] [2, 5] [3, 4]	00032	27	[1, 2, 5] [3] [4]	01002
10	[1] [2] [3, 5, 4]	00033	28	[1, 2] [3, 5] [4]	01003
11	[1] [2] [3, 4, 5]	00034	29	[1, 2] [3] [4, 5]	01004
12	[1, 5, 3] [2] [4]	00101	30	[1, 4, 2] [3] [5]	01010
13	[1, 3] [2, 5] [4]	00102	31	[1, 2, 4] [3] [5]	01020
14	[1, 3, 5] [2] [4]	00103	32	[1, 2] [3, 4] [5]	01030
15	[1, 3] [2] [4, 5]	00104	33	[1, 3, 2] [4] [5]	01100
16	[1, 4, 3] [2] [5]	00110	34	[1, 2, 3] [4] [5]	01200
17	[1, 3] [2, 4] [5]	00120			

левые значения в позиции, соответствующие первым элементам циклов в нормализованной записи). Просматриваем справа налево цикл, состоящий более чем из одного элемента. Берем 4, слева от элемента находится единственный элемент, меньший его, это единица. Записываем в код единицу в четвертую позицию — 0001*. Берем 5, аналогичные действия приводят к коду 00011.

Рассмотрим еще одно разбиение [1, 5][2, 3][4]. Начальное состояние кода 00*0*. После выполнения описанных действий он имеет вид 00201. Итак, структура кода (для нашего примера $n = 5$, $k = 3$): в первой позиции всегда записывается 0, во второй — 0 или 1, в третьей — 0, 1 или 2, в четвертой — 0, 1, 2 или 3, и, наконец, в пятой — 0, 1, 2, 3 или 4. Отметим, что из n позиций всегда в k позициях записаны нули. Обратное преобразование. Пусть дан код 00110. По расположению нулей однозначно можно записать [1, *, *] [2] [5]. Элементу 4 предшествует только 1, получаем [1, 4, *]. Место для 3 единственное, имеем разбиение [1, 4, 3] [2] [5]. Обратите внимание на то, что разбиению [1, 3, 4] [2] [5] соответствует другой код — 00130. Все разбиения на циклы и их коды для примера $n = 5$ и $k = 3$ приведены в табл. 3.6. ◀

Итак, мы будем генерировать код, а из него получать соответствующее разбиение на циклы. Нам потребуется вспомогательная процедура формирования первого кода (код разбиения хранится в

массиве a):

```

Procedure First(t, k: Integer);
  Var i: Integer;
  Begin
    For i:=t To t+k-1 Do a[i]:=0;
    For i:=t+k To n Do a[i]:=1;
  End;

```

В процедуре формируется не просто первый код, а первый код, начиная с позиции t , который содержит k нулей (циклов). Начальный вызов процедуры имеет вид $First(1, k)$, а для рассматриваемого примера — $First(1, 3)$.

Для определения завершения процесса генерации разбиений необходимо хранить последний код.

```

Procedure Last;
  Var i: Integer;
  Begin
    For i:=1 To n Do lst[i]:=0;
    For i:=2 To n-k+1 Do lst[i]:=i-1;
  End;

```

После этого можно сделать «набросок» общей процедуры генерации всех кодов разбиений:

```

Procedure Solve;
  Begin
    First(1, k);
    Last;
    <формирование разбиения по коду и его вывод>;
    While Not Eq(a, lst) Do Begin {Функция Eq
      предназначена для сравнения текущего (массив  $a$ ) и последнего (массив  $lst$ ) кодов}
      GetNext(n, 0);
      <формирование разбиения по коду и его вывод>;
    End;
  End;

```

При формировании разбиения по коду требуется «уметь» определять начало цикла, а затем находить элементы, принадлежащие циклу. Для решения второй задачи необходимо просмотреть массив a , начиная с последнего элемента, и определить все элементы, равные номеру найденной позиции начала цикла. При этом нахо-


```

If (a[m]=0) And (n-m<q) Or (a[m]=m-1)
Then GetNext(m-1,q) {Если значение эле-
    мента с номером m нельзя изменить, то
    переходим к следующей позиции в коде}
Else Begin
    Inc(a[m]); {Изменяем значение элемента
        с номером m}
    First(m+1,q); {Из «хвоста» кода – эле-
        менты с номерами m+1, ..., n – формируем
        первое разбиение}
End;
End;
End;

```

Решение традиционной задачи определения по разбиению его номера [20] в данном случае трактуется как получение номера по коду разбиения, ибо генерируются коды разбиений, а преобразовывать код в разбиение мы умеем. Данная специфика требует умения вычислять для каждого конкретного кода количество кодов меньшей размерности (меньшей длины и с меньшим количеством нулей). Определим массив *count*: *Array*[1..NMax+1, -1..NMax] *Of Integer*. Элемент *count*[*t*, *q*] равен количеству кодов, рассматриваемых с позиции *t* до позиции *n*, в которых есть *q* нулей и элемент в позиции *i* изменяется от 0 до *i* - 1. Очевидно, что значение *count*[1, *k*] (при заданном значении *n*) равно числу Стирлинга первого рода *s*(*n*, *k*). Для чисел Стирлинга первого рода выполняется рекуррентное соотношение $s(n, k) = s(n-1, k-1) + (n-1) \cdot s(n-1, k)$.

Оказывается, что и для введенных чисел (количества кодов) справедливо аналогичное соотношение:

$$count[t, q] = count[t+1, q-1] + (t-1) \cdot count[t+1, q].$$

Действительно, первое слагаемое дает «вклад» кодов, у которых в позиции *t* записан нуль, и с позиции *t* + 1 подсчитываются все коды, содержащие *q* - 1 нулей. Второе слагаемое определяет количество кодов, у которых в позиции *t* записано одно из возможных значений, а с позиции *t* + 1 подсчитываются все коды, содержащие *q* нулей. Процедура формирования массива *count* имеет вид:

```

Procedure Prepare(n:Integer);
Var i,j:Integer;
Begin
    For i:=1 To n+1 Do
        For j:=-1 To n Do count[i,j]:=0;

```

```

count[n+1,0]:=1;
For i:=n DownTo 1 Do
  For j:=0 To n-i+1 Do count[i,j]:=
    count[i+1,j-1]+(i-1)*count[i+1,j];
End;

```

Для рассматриваемого примера $n=5$ значения элементов *count* приведены в табл. 3.7.

Таблица 3.7

$t \backslash q$	-1	0	1	2	3	4	5
1	0	0	24	50	35	10	1
2	0	24	50	35	10	1	0
3	0	24	26	9	1	0	0
4	0	12	7	1	0	0	0
5	0	4	1	0	0	0	0
6	0	1	0	0	0	0	0

После сделанных замечаний функция вычисления номера разбиения пишется следующим образом (первый вызов *GetNum(n, 0)*):

```

Function GetNum (m, q: Integer):Integer; {m – номер рассматриваемого элемента, q – количество найденных при просмотре циклов}
Begin
  If m=0 Then GetNum:=0; {При m=0 GetNum также равно нулю}
  Else
    If a[m]=0 Then GetNum:=GetNum(m-1,q+1)
      {Элемент в позиции m является началом цикла. Номер разбиения n элементов на k циклов определяется номером разбиения, в котором последние n-m+1 элементов образуют первое разбиение на q+1 циклов}
    Else GetNum:=count[m+1,q-1]+(a[m]-1)*
      count[m+1,q]+GetNum(m-1,q); {Последнее слагаемое дает «вклад» тех разбиений n элементов на k циклов, у которых последние n-m+1 элементов образуют первое разбиение на q циклов}
  End;

```

Осталось рассмотреть последнюю задачу — дан номер разбиения, определить само разбиение, точнее, код, ему соответствующий. Счи-

таем, что входными параметрами нашей логики (процедура *GetSet*) являются m — номер позиции, q — количество циклов, num — номер разбиения. Первый вызов — *GetSet*(1, k , num). Вычислим значение s , равное $count[m + 1, q - 1]$. Если значение num меньше s , то искомое разбиение принадлежит множеству разбиений, в которых элемент в позиции m является началом цикла. В противном случае ($num \geq s$) разбиение принадлежит множеству, для которого в позиции m не начинается цикл. Тогда требуется «избавиться» от номеров ($num := num - s$), соответствующих числу разбиений по первой части рекуррентного соотношения $count[m, q] = count[m + 1, q - 1] + (m - 1) \cdot count[m + 1, q]$. Затем определить значение в позиции с номером m , для этого необходимо взять из массива элемент $count[m + 1, q]$ и подсчитать целое количество его вхождений в число num . Далее вычисляем новое значение номера — это остаток от деления num на величину $count[m + 1, q]$. Новый номер определяет разбиение с позиции $m + 1$, содержащее q циклов. Итак, реализация логики имеет вид:

```

Procedure GetSet(m, q, num:Integer);
  Var s: Integer;
  Begin
    If m<=n Then Begin {Номер позиции должен быть
      меньше или равен n}
      s:=count[m+1,q-1];
      If num< s Then Begin
        a[m]:=0; {Элемент в позиции с номером m
          является началом цикла}
        GetSet(m+1,q-1,num); {Генерируем
          «хвост» разбиения}
      End
    Else Begin
      num:=num-s; {Изменяем значение номера}
      s:=count[m+1,q];
      a[m]:=num div s + 1; {Определение зна-
        чения элемента в позиции m}
      num:=num mod s; {Делаем поправку значе-
        ния num}
      GetSet(m+1,q,num); {Генерируем «хвост»
        разбиения}
    End;
  End;
End;
End;

```

3.11. Генерация разбиений числа на слагаемые

Пример 3.9. Пусть $n = 8$. Разбиение числа на слагаемые приведено в табл. 3.8. ◀

Таблица 3.8

№	Разбиение	№	Разбиение	№	Разбиение
1	1, 1, 1, 1, 1, 1, 1	9	3, 3, 1, 1	17	5, 2, 1
2	2, 1, 1, 1, 1, 1	10	3, 3, 2	18	5, 3
3	2, 2, 1, 1, 1, 1	11	4, 1, 1, 1, 1	19	6, 1, 1
4	2, 2, 2, 1, 1	12	4, 2, 1, 1	20	6, 2
5	2, 2, 2, 2	13	4, 2, 2	21	7, 1
6	3, 1, 1, 1, 1, 1	14	4, 3, 1	22	8
7	3, 2, 1, 1, 1	15	4, 4		
8	3, 2, 2, 1	16	5, 1, 1, 1		

Для хранения разбиений используем массив A . Так как «длина» разбиений (количество слагаемых) различна, то в $A[0]$ фиксируем количество элементов массива, занятых под текущее разбиение. Разбиения в табл. 3.8 перечислены в лексикографическом порядке. Пусть текущим является разбиение $(4, 1, 1, 1, 1)$, следующее $(4, 2, 1, 1)$. В каком случае можно увеличить $A[2]$? Видим, что $A[1]$ должно быть больше $A[2]$, т.е. в текущем разбиении находится первый «скачок» — $A[i-1] > A[i]$ (при поиске «скачка» разбиение просматривается с конца), $A[i]$ увеличивается на единицу, а все следующие элементы разбиения берутся минимально возможными. Всегда ли возможна данная схема изменения разбиения? Например, есть разбиение $(4, 4)$, следующее за ним — $(5, 1, 1, 1)$. Таким образом разбиение изменяется, если найден «скачок» или мы дошли до первого элемента (i равно 1). Кроме того, изменяемый элемент не может быть последним, ибо увеличение без уменьшения невозможно (разбиение из одного элемента — последнее).

```
Procedure GetNext;
```

```
  Var i, j, sc: Integer;
```

```
  Begin
```

```
    i:=A[0]-1; {Номер предпоследнего элемента разбиения}
```

```
    sc:=A[i+1]-1; {В sc накапливаем сумму, это число представляется затем минимально возможными элементами}
```

```
    A[i+1]:=0;
```

```

While (i>1) And (A[i]=A[i-1]) Do Begin
  {Находим «скачок»}
  sc:=sc+A[i]; A[i]:=0; Dec(i);
End;
Inc(A[i]); {Увеличиваем найденный элемент на
единицу}
A[0]:=i+sc; {Изменяем длину разбиения}
For j:=1 To sc Do A[j+i]:=1; {Записываем ми-
нимально возможные элементы, т. е. единицы}
End;

```

Упражнения и задачи

3.1. Разработать алгоритм, перечисляющий перестановки так, чтобы каждая следующая перестановка получалась из предыдущей с помощью транспозиции двух соседних элементов. Например: $321 \rightarrow 231 \rightarrow 213 \rightarrow 123 \rightarrow 132 \rightarrow 312$.

3.2. На множестве перестановок введено лексикографическое отношение порядка. Разработать алгоритм, определяющий по заданному номеру перестановки саму перестановку.

3.3. На множестве перестановок введено лексикографическое отношение порядка. Разработать алгоритм, определяющий по заданной перестановке ее номер.

Примечание. Вспомните о факториальной системе счисления.

3.4. Разработать алгоритм, определяющий по заданной перестановке, не перечисляя их в лексикографическом порядке, какая перестановка должна быть через k шагов.

3.5. Написать программу, перечисляющую перестановки в антилексикографическом порядке.

3.6. Разработать алгоритм, определяющий по заданному сочетанию, какое сочетание должно быть через k шагов при перечислении их в лексикографическом порядке. Алгоритм генерации сочетаний не использовать.

3.7. Написать программу, перечисляющую все неубывающие последовательности длины n , у которых i -й элемент не превосходит значения i . Первой последовательностью является $(1, 1, \dots, 1)$, последней — $(1, 2, \dots, n)$.

3.8. Написать программу, перечисляющую все разбиения натурального числа n на натуральные слагаемые (разбиения, отличаю-

щиеся лишь порядком слагаемых, считаются одинаковыми) в следующих порядках (пример при $n = 4$):

- 1) 4, 3+1, 2+2, 2+1+1, 1+1+1+1;
- 2) 4, 2+2, 1+3, 1+1+2, 1+1+1+1;
- 3) 1+1+1+1, 1+1+2, 1+3, 2+2, 4.

3.9. Найти ошибку в работе процедуры. Первое обращение — $R(n, 1)$, где n — исходное число.

```
Procedure R(t, k: Integer);
  Var i: Integer;
  Begin
    If t=1 Then Begin
      A[k]:=1; <Вывод k элементов массива A>;
    End
    Else Begin
      A[k]:=t; <Вывод k элементов массива A>;
      For i:=1 To t-1 Do Begin
        A[k]:=t-i; R(i, k+1);
      End;
    End;
  End;
```

3.10. Разработать рекурсивную логику перечисления всех разбиений числа n на слагаемые в лексикографическом порядке.

Комментарии

Данная глава посвящена одной задаче — перечислению комбинаторных объектов. Сделана попытка показать, как одна и та же схема работает для различных объектов. Классическими учебниками, в которых тема отражена достаточно подробно, являются книги [17 и 22]. К сожалению, как первая, так и вторая книги являются библиографической редкостью. Книги [13, 20] более доступны. Отличием последней является то, что для каждого основного комбинаторного объекта решаются четыре задачи: подсчет количества объектов, генерация объектов в лексикографическом порядке, вычисление по объекту его номера и обратная задача. То есть «во главу угла» поставлено фундаментальное понятие информатики — отношение упорядоченности на множестве объектов определенной структуры. Обоснование этого положения дается в работе [21].

ГЛАВА 4

РЕКУРРЕНТНЫЕ И НЕРЕКУРРЕНТНЫЕ ФОРМУЛЫ

В первой главе рассмотрена основная теорема о рекуррентных соотношениях. Продолжим обсуждение этой важной темы комбинаторики.

Формула *рекуррентна*, если для вычисления последующего члена последовательности необходимо знать ее предыдущие члены. Формула *нерекуррентна*, если n -й член последовательности вычисляется непосредственно без обращения к предыдущим членам последовательности*).

Последовательность $u_1, u_2, u_3, \dots, u_n, \dots$, или, коротко, $\{u_n\}$, называется *рекуррентной порядка k* (натуральное число), если существует формула $u_{n+k} = f(u_{n+k-1}, u_{n+k-2}, \dots, u_n)$, с помощью которой элемент u_{n+k} последовательности вычисляется по k предыдущим элементам $u_{n+k-1}, u_{n+k-2}, \dots, u_n$. Эта формула называется рекуррентным соотношением (рекуррентным уравнением) порядка k . Первые k элементов последовательности должны быть известны.

Если существуют числа $a_1, a_2, a_3, \dots, a_k$, такие, что, начиная с некоторого значения n и для всех следующих номеров $u_{n+k} = a_1 u_{n+k-1} + a_2 u_{n+k-2} + \dots + a_k u_n$ ($n \geq k \geq 1$), то такое рекуррентное соотношение называют линейным.

4.1. Простые примеры

Пример 4.1. Геометрическая прогрессия $u_1 = a, u_2 = a \cdot q, u_3 = a \cdot q^2, \dots, u_n = a \cdot q^{n-1}, \dots$ Можно записать $u_{n+1} = q \cdot u_n, k = 1, a_1 = q$. Геометрическая прогрессия является рекуррентной последовательностью первого порядка. ◀

Пример 4.2. Арифметическая прогрессия $u_1 = a, u_2 = a + d, u_3 = a + 2d, \dots, u_n = a + (n - 1)d, \dots$ Или $u_{n+1} = u_n + d$. Запишем две фор-

*) Рекуррентная — от французского *récurrente* — возвращающаяся к началу.

мулы $u_{n+2} = u_{n+1} + d$ и $u_{n+1} = u_n + d$, вычтем из первого равенства второе: $u_{n+2} - u_{n+1} = u_{n+1} - u_n$, или $u_{n+2} = 2 \cdot u_{n+1} - u_n$. Получаем $k = 2$, $a_1 = 2$, $a_2 = -1$. Арифметическая прогрессия является рекуррентной последовательностью второго порядка. ◀

Пример 4.3. Для последовательности 1, 4, 9, 16, 25, 36, ... нереккуррентная формула имеет вид $u_n = n^2$, $n = 1, 2, 3, \dots$. Запишем $u_{n+1} = (n+1)^2 = n^2 + 2n + 1 = u_n + 2n + 1$ ($n = 0, 1, 2, \dots$). Увеличивая n на единицу, получаем: $u_{n+2} = u_{n+1} + 2n + 3$. После вычитания $u_{n+2} - u_{n+1} = u_{n+1} - u_n + 2$, или $u_{n+2} = 2u_{n+1} - u_n + 2$. Увеличивая в равенстве n на единицу, получаем: $u_{n+3} = 2u_{n+2} - u_{n+1} + 2$. Откуда $u_{n+3} - u_{n+2} = 2u_{n+2} - 3u_{n+1} + u_n$, или $u_{n+3} = 3u_{n+2} - 3u_{n+1} + u_n$. Получили рекуррентную формулу третьего порядка. ◀

Пример 4.4. Для последовательности 1, 8, 27, 64, 125, 216, ... нереккуррентная формула имеет вид $u_n = n^3$, $n = 1, 2, 3, \dots$. Проводя операции, аналогичные приведенным в примере 4.3, можно получить следующую зависимость: $u_{n+4} = 4u_{n+3} - 6u_{n+2} + 4u_{n+1} - u_n$. Это рекуррентная формула четвертого порядка. ◀

4.2. Числа Фибоначчи

Рассмотрим понятие рекуррентного соотношения на примере классической последовательности Фибоначчи. Элементы этой последовательности называют числами Фибоначчи.

Пример 4.5. Итальянским математиком Леонардо Фибоначчи из Пизы (около 1170 — после 1228) решалась задача о кроликах. Пара кроликов приносит раз в месяц приплод из двух крольчат (самки и самца), причем новорожденные крольчата через два месяца после рождения уже приносят приплод. Сколько кроликов появится через год, если в начале года была одна пара кроликов и в течение этого года кролики не умирают, а их воспроизводство не прекращается?

Из условия задачи следует, что через месяц будет две пары кроликов. Через два месяца приплод даст только первая пара кроликов, и получится три пары. А еще через месяц приплод дадут и исходная пара кроликов, и пара кроликов, появившаяся два месяца тому назад. Поэтому будет пять пар кроликов. Если обозначить через f_n количество пар кроликов по истечении n месяцев, то закономерность роста кроликов отражается соотношением: $f_n = f_{n-1} + f_{n-2}$, $f_1 = 1$, $f_2 = 1$. Первые числа Фибоначчи (ряд Фибоначчи) равны 1,

1, 2, 3, 5, 8, 13, 21, 34, 55, 89, 144, 233, 377, 610. Ответом задачи о кроликах является число 377. ◀

Итак, $f_n = f_{n-1} + f_{n-2}$, $f_1 = 1$, $f_2 = 1$ есть рекуррентная формула, определяющая числа Фибоначчи.

Некоторые свойства чисел Фибоначчи

1. $f_1 + f_2 + \dots + f_n = f_{n+2} - 1$.

Схема вывода:

$$f_1 = f_3 - f_2,$$

$$f_2 = f_4 - f_3,$$

$$f_3 = f_5 - f_4,$$

$$\dots$$

$$f_{n-1} = f_{n+1} - f_n,$$

$$f_n = f_{n+2} - f_{n+1}.$$

Выполнив сложение, получаем $f_1 + f_2 + \dots + f_n = f_{n+2} - f_2$, а $f_2 = 1$.

2. $f_1 + f_3 + f_5 + \dots + f_{2n-1} = f_{2n}$ (сумма чисел Фибоначчи с нечетными номерами).

Схема вывода:

$$f_1 = f_2,$$

$$f_3 = f_4 - f_2,$$

$$f_5 = f_6 - f_4,$$

$$\dots$$

$$f_{2n-1} = f_{2n} - f_{2n-2},$$

а далее выполняется сложение равенств.

3. $f_2 + f_4 + \dots + f_{2n} = f_{2n+1} - 1$ (сумма чисел Фибоначчи с четными номерами).

По свойствам 1—2 имеем $f_1 + f_2 + \dots + f_{2n} = f_{2n+2} - 1$ и $f_1 + f_3 + \dots + f_{2n-1} = f_{2n}$. Вычитаем второе равенство из первого. В правой части получаем $f_{2n+2} - 1 - f_{2n} = f_{2n+1} - 1$.

Нерекуррентная формула для чисел Фибоначчи

Числа Фибоначчи удовлетворяют соотношению

$$f_n = f_{n-1} + f_{n-2} \tag{4.1}$$

при $f_1 = 1$, $f_2 = 1$, назовем его уравнением. Если снять ограничения на начальные условия $f_1 = 1$, $f_2 = 1$, то уравнение (4.1) имеет и другие решения. Например, 2, 2, 4, 6, 10, 16, 26, ... Если последовательность V удовлетворяет (4.1), то и cV , где c — произвольное число, является решением (4.1). Следующим очевидным утвержде-

нием является то, что и сумма двух решений уравнения (4.1) является решением. Так, 2, 2, 4, 6, 10, 16, 26, ... и 5, 5, 10, 15, 25, 40, 65, ... решения, следовательно, и 7, 7, 14, 21, 35, 56, ... является решением. Первые два решения пропорциональные, т. е. $v_n'' = cv_n'$, где $c = 2,5$ для всех значений n . В общем случае, если V' и V'' решения, то и $c_1 V' + c_2 V''$, где c_1 и c_2 — постоянные, является решением. Решения V' и V'' непропорциональные, если для любой постоянной c найдется номер n , такой, что $\frac{v_n'}{v_n''} \neq c$. Непропорциональность проявляется на любых членах последовательности, т. е. справедливо неравенство $\frac{v_1'}{v_1''} \neq \frac{v_2'}{v_2''}$. Доказывается методом от противного.

Справедливо следующее утверждение. Всякое решение V уравнения (4.1) можно представить в виде суммы $c_1 V' + c_2 V''$, где c_1 и c_2 — постоянные, V' и V'' — непропорциональные решения.

Любое решение V уравнения (4.1) определяется двумя первыми членами v_1 и v_2 . Можно записать систему уравнений:

$$\begin{cases} c_1 v_1' + c_2 v_1'' = v_1, \\ c_1 v_2' + c_2 v_2'' = v_2. \end{cases}$$

Откуда получаем $c_1 = \frac{v_1 v_2'' - v_2 v_1''}{v_1' v_2'' - v_1'' v_2'}$ и $c_2 = \frac{v_1' v_2 - v_2' v_1}{v_1' v_2'' - v_1'' v_2'}$. Знаменатель дробей не равен нулю в силу непропорциональности решений V' и V'' .

Если ограничиться поиском непропорциональных решений уравнения (4.1) среди геометрических прогрессий, то первый член можно взять равным единице. Прогрессия имеет вид: $1, q, q^2, q^3, \dots$ (знаменатель равен q).

Для того чтобы прогрессия была решением уравнения (4.1), необходимо выполнение равенства $q^{n-2} + q^{n-1} = q^n$ при любом n , или, после сокращения на q^{n-2} , $q^2 - q - 1 = 0$. Корни этого квадратного уравнения равны: $\alpha = \frac{1+\sqrt{5}}{2}$ и $\beta = \frac{1-\sqrt{5}}{2}$. Они являются знаменателями двух геометрических прогрессий, которые есть непропорциональные решения (4.1). Следовательно, любое решение записывается как $c_1 \alpha + c_2 \beta$, где c_1 и c_2 — некоторые константы. В частности, при некоторых значениях c_1 и c_2 должна получаться последовательность чисел Фибоначчи. Найдем эти значения. Напомним, что $f_1 = 1$ и $f_2 = 1$.

$$\begin{cases} c_1 + c_2 = 1, \\ c_1 \frac{1+\sqrt{5}}{2} + c_2 \frac{1-\sqrt{5}}{2} = 1. \end{cases}$$

Откуда $c_1 = \frac{1+\sqrt{5}}{2\sqrt{5}}$ и $c_2 = -\frac{1-\sqrt{5}}{2\sqrt{5}}$.

Теперь мы можем записать нерекуррентную формулу для чисел Фибоначчи:

$$f_n = c_1 \alpha^{n-1} + c_2 \beta^{n-1} = \frac{1+\sqrt{5}}{2\sqrt{5}} \left(\frac{1+\sqrt{5}}{2} \right)^{n-1} - \frac{1-\sqrt{5}}{2\sqrt{5}} \left(\frac{1-\sqrt{5}}{2} \right)^{n-1}.$$

Или

$$f_n = \frac{\left(\frac{1+\sqrt{5}}{2} \right)^n - \left(\frac{1-\sqrt{5}}{2} \right)^n}{\sqrt{5}}.$$

Эта формула носит имя Жака Бине.

Фибоначчиева система счисления

На числах Фибоначчи основана отдельная система счисления. В ней базисом являются не степени числа 10, как в десятичной системе счисления, а числа Фибоначчи. Базис позиционной системы счисления — это последовательность чисел, каждое из которых задает значение цифры по ее месту в записи числа. Цифрами для записи чисел в десятичной системе счисления являются 0, 1, 2, ..., 9. В данном случае используются только 0 и 1. Последовательность из 0 и 1 определяет число в фибоначчиевой системе счисления. Причем в этой последовательности не может встречаться двух единиц, записанных подряд.

Пример 4.6. Пусть есть n двоичных разрядов, в примере $n=8$. Рассмотрим числа:

$$37 = 1 \cdot 34 + 0 \cdot 21 + 0 \cdot 13 + 0 \cdot 8 + 0 \cdot 5 + 1 \cdot 3 + 0 \cdot 2 + 0 \cdot 1,$$

$$53 = 1 \cdot 34 + 0 \cdot 21 + 1 \cdot 13 + 0 \cdot 8 + 1 \cdot 5 + 0 \cdot 3 + 0 \cdot 2 + 1 \cdot 1,$$

$$54 = 1 \cdot 34 + 0 \cdot 21 + 1 \cdot 13 + 0 \cdot 8 + 1 \cdot 5 + 0 \cdot 3 + 1 \cdot 2 + 0 \cdot 1.$$

Однако запись $55 = 1 \cdot 34 + 0 \cdot 21 + 1 \cdot 13 + 0 \cdot 8 + 1 \cdot 5 + 0 \cdot 3 + 1 \cdot 2 + 1 \cdot 1$ является недопустимой (встречаются две единицы подряд). Число 55 не представимо в данной системе счисления при $n=8$. Отсюда следует, что в n двоичных разрядах можно записать числа от 0 до $f_n - 1$. Количество чисел, представимых последовательностями длины n из 0 и 1 без двух единиц, идущих подряд, равно f_n . ◀

Примечание. Доказательство однозначной представимости любого натурального числа t в позиционных системах счисления осуществляется по следующей схеме. Обоснование существования основано на методе построения разложения числа по степеням

основания. Единственность — методом от противного, предполагается существование двух различных представлений и находится противоречие.

Схема прибавления 1 к числу в фибоначчиевой системе счисления показана в табл. 4.1.

Таблица 4.1

Номер разряда	9	8	7	6	5	4	3	2	1
$t = 54$	0	1	0	1	0	1	0	1	0
1	0	0	0	0	0	0	0	0	1
1-й шаг	0	1	0	1	0	1	0	1	1
2-й шаг	0	1	0	1	0	1	1	0	0
3-й шаг	0	1	0	1	1	0	0	0	0
4-й шаг	0	1	1	0	0	0	0	0	0
Результат, число 55	1	0	0	0	0	0	0	0	0

Состояния разрядов $t[i] = 1$, $t[i + 1] = 1$, $t[i + 2] = 0$ переходят в соответствии со схемой Фибоначчи в состояния $t[i] = 0$, $t[i + 1] = 0$, $t[i + 2] = 1$. Задача о перечислении всех чисел в системе счисления Фибоначчи (на n двоичных разрядах) сводится к перечислению всех последовательностей из 0 и 1 без двух единиц, записанных подряд. Ее можно реализовать как путем последовательного прибавления 1, так и «вычленением» принципа перехода от текущей последовательности к следующей. В табл. 4.2 приведены все последовательности и их номера при $n = 6$.

Таблица 4.2

№	Последовательность	№	Последовательность	№	Последовательность
0	000000	7	001010	14	100001
1	000001	8	010000	15	100010
2	000010	9	010001	16	100100
3	000100	10	010010	17	100101
4	000101	11	010100	18	101000
5	001000	12	010101	19	101001
6	001001	13	100000	20	101010

Принцип перехода к следующей последовательности: начинаем с конца последовательности, подпоследовательности типа $\dots 0010\dots$ переходят в тип $\dots 0100\dots$ и типа $\dots 001010\dots$ в тип $\dots 010000\dots$. Формализация этого принципа приведена в процедуре *GetNext*. Для хранения последовательности используется глобальный массив A .

```

Procedure GetNext;
  Var i: Word;
  Begin
    i:=n;
    While (A[i]=1) Or ((i>1) And (A[i-1]=1)) Do
      Begin
        A[i]:=0;
        Dec(i);
      End;
    A[i]:=1;
  End;

```

4.3. Числа Каталана

Бельгийский математик Эжен Шарль Каталан (1814—1894) исследовал следующую задачу. Дана цепочка из n букв, заданных в определенном порядке. Расставить $n - 1$ пар скобок так, чтобы внутри каждой пары (одной открывающей левой скобки и одной закрывающей правой скобки) было два термина. Термом является одна буква или группа символов, заключенная в скобки. Сколькими способами можно расставить скобки в цепочке букв?

Пример 4.7

$n = 2$ ab (ab)

$n = 3$ abc $((ab)c), (a(bc))$

$n = 4$ $abcd$ $((ab)(cd)), (((ab)c)d), (a(b(cd))), (a((bc)d)), ((a(bc))d)$ ◀

Оказывается, что количество способов расстановки скобок для $n = 2, 3, 4, \dots$ равно, соответственно, 1, 2, 5, 14, 42, 132, 429, 1430, 4862, 16796, ... Эти числа и называются *числами Каталана*.

Есть ли некая закономерность, связывающая данные числа? Добавим еще одно число — единицу — в начало последовательности (один символ единственным способом можно заключить в скобки), тогда начало последовательности будет иметь вид: 1, 1, 2, 5, 14, 42, ..., а присущая последовательности закономерность не нарушается. Обозначим числа Каталана как k_n ($n = 0, 1, 2, \dots$).

Удивительно простой и наглядный способ демонстрации рекуррентной зависимости для чисел Каталана предложил другой математик XVIII века — Иоганн Андреас фон Зегнер. Запишем, например, первые пять чисел Каталана, а под ними те же числа, но в обратном

порядке. Затем выполним поэлементное умножение и сложение. Результат — очередное число Каталана.

При $n = 5$:

$$\begin{array}{r} \times \quad 1 \quad 1 \quad 2 \quad 5 \quad 14 \\ \quad 14 \quad 5 \quad 2 \quad 1 \quad 1 \\ \hline 14 + 5 + 4 + 5 + 14 = 42 \end{array}$$

$$k_5 = k_0k_4 + k_1k_3 + k_2k_2 + k_3k_1 + k_4k_0.$$

При $n = 6$:

$$\begin{array}{r} \times \quad 1 \quad 1 \quad 2 \quad 5 \quad 14 \quad 42 \\ \quad 42 \quad 14 \quad 5 \quad 2 \quad 1 \quad 1 \\ \hline 42 + 14 + 10 + 10 + 14 + 42 = 132 \end{array}$$

$$k_6 = k_0k_5 + k_1k_4 + k_2k_3 + k_3k_2 + k_4k_1 + k_5k_0.$$

Нелинейная рекуррентная формула для чисел Каталана имеет вид: $k_n = k_0k_{n-1} + k_1k_{n-2} + \dots + k_{n-1}k_0$ ($k_0 = 1$).

Обоснованием этой формулы может быть следующее рассуждение. Пусть дана последовательность из $n + 1$ различных букв. Разобьем последовательность на две таким образом, что в первой содержатся m первых букв, а во второй — остальные $n - m + 1$. Продолжим процесс разбивки для каждой из подпоследовательностей. Если подпоследовательность окажется однобуквенной, то она, естественно, не подвергается дальнейшей разбивке. Процесс заканчивается тогда, когда все подпоследовательности оказываются однобуквенными. Два таких способа разбивки считаются различными, если они хотя бы на одном шаге приводят к разным результатам. Сколько существует различных способов разбиения?

Число всех способов разбиения $(n + 1)$ -буквенной последовательности обозначим через k_n . На первом шаге последовательность может быть разбита n способами. Способы разбиения, в которых на первом шаге первая подпоследовательность состоит из m букв, объединим в одно подмножество. Тогда множество всех способов разбиения распадается на n непересекающихся подмножеств. Если первая подпоследовательность состоит из m букв, то в дальнейшем она разбивается k_{m-1} способами. Тогда вторая подпоследовательность состоит из $n - m + 1$ букв и разбивается k_{n-m} способами. По принципу умножения количество способов разбиения в m -м подмножестве равно $k_{m-1}k_{n-m}$. Из принципа сложения следует, что общее количество способов есть $k_n = \sum_{m=1}^n k_{m-1}k_{n-m}$.

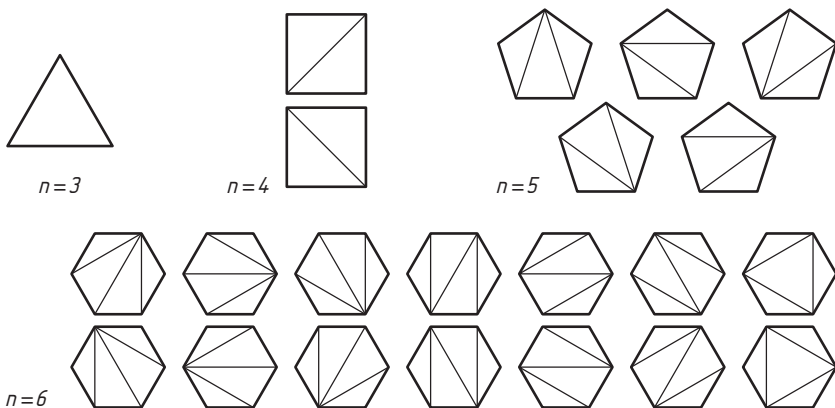


Рис. 4.1. Триангуляции многоугольника при n , равном 3, 4, 5 и 6

Нерекуррентная формула для последовательности чисел Каталана имеет вид: $k_n = \frac{(2n)!}{n!(n+1)!} = \frac{C_{2n}^n}{n+1}$ (ее вывод дан в конце п. 4.5).

Однако первым открыл эту последовательность чисел Леонард Эйлер [8], который исследовал задачу о триангуляции многоугольника (рис. 4.1).

Пример 4.8. *Задача о триангуляции многоугольника.* Сколькими способами можно разделить выпуклый многоугольник на треугольники с помощью непересекающихся диагоналей? Пусть в многоугольнике $n+2$ вершин, тогда количество диагоналей равно $n-1$, количество треугольников — n . А число способов?

Количество способов деления есть k_n . «Набросаем» общую схему обоснования. Выберем одну из сторон многоугольника и рассмотрим треугольники, в которые эта сторона входит в обязательном порядке (рис. 4.2). Таких треугольников $(n+2) - 2 = n$. Вырезая треугольник, мы получаем два многоугольника (один из них может быть и вырожденным 0-угольником). Пусть один из них является $(m+2)$ -угольником, тогда второй будет $(n-m+1)$ -угольником. Каждый из полученных многоугольников

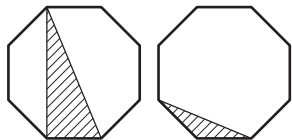


Рис. 4.2. Примеры треугольников с выбранной стороной многоугольника

таким же образом вновь разобьем на треугольник и два многоугольника. Естественно, что если какой-то из многоугольников окажется треугольником, то дальнейшей разбивке он не подвергается. Процесс разбиения продолжается до тех пор, пока многоугольник не окажется

разбитым на треугольники. Далее рассуждения практически дословно повторяют случай для последовательности букв (см. с. 83). ◀

Взаимосвязь задач о триангуляции многоугольника и расстановки скобок показана на рис. 4.3. Выбираем в многоугольнике одну сторону — основание, всем остальным сторонам приписываем различные буквенные значения. Затем диагонали, стягивающие стороны, обозначаем буквами, которые приписаны этим сторонам, заключенными в скобки. Аналогично, если диагональ стягивает сторону и диагональ или две диагонали. Последним обозначаем основание многоугольника. Выражение, полученное на основании, однозначно определяет триангуляцию многоугольника. Таким образом, каждой триангуляции многоугольника соответствует расстановка скобок и наоборот.

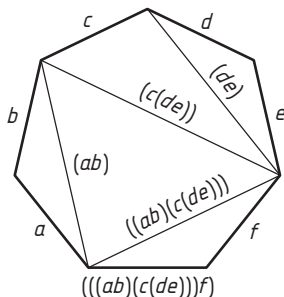


Рис. 4.3. Соответствие между задачами расстановок скобок и триангуляцией многоугольника

Рассмотрим задачу о генерации скобочных последовательностей. Назовем последовательность из $2n$ скобок правильной, если для любого значения i ($1 \leq i \leq 2n$) число открывающих скобок «(» больше или равно числу закрывающих скобок «)» и общее число открывающих скобок в последовательности равно числу закрывающих.

Пример 4.9. Последовательность $(())()$ правильная ($n = 4$), последовательность $(())()$ не является правильной. ◀

В табл. 4.3 перечислены все правильные скобочные последовательности в лексикографическом порядке. Считаем, что «)» < «(».

Закономерность перечисления последовательностей скобок заключается в том, что, начиная с конца последовательности, ищется

Таблица 4.3

№	Последовательность	№	Последовательность
1	$() () () ()$	8	$(() ()) ()$
2	$() () (())$	9	$(() () ())$
3	$() (()) ()$	10	$(() (()))$
4	$() (() ())$	11	$((())) ()$
5	$() ((()))$	12	$((()) ())$
6	$(()) () ()$	13	$((() ()))$
7	$(()) (())$	14	$(((())))$

фрагмент «)(» — первая «неправильность». Она всегда есть, только последняя последовательность не содержит ее. Заменяем фрагмент «)(» на «()». С начала последовательности и до измененного фрагмента подсчитываем, на сколько число открывающих скобок больше числа закрывающих. Дописываем это количество закрывающих скобок после измененного фрагмента, и если получаем последовательность длины меньше $2n$, то дополняем ее комбинациями скобок «()».

```

Procedure GetNext;
  {Последовательность скобок описываем глобальной
  величиной A типа String}
  Var i, j, sc: Integer;
  Begin
    i:=n*2;
    While (i>1) And (A[i-1]+A[i]<>'(') Do
      Dec(i); {Поиск комбинации «) («}
      A[i-1]:='('; A[i]:=')'; {Замена}
      A:=Copy(A,1,i);
      sc:=0; {Подсчет разности числа открывающих и
      закрывающих скобок}
      For j:=1 To i Do
        If A[j]='(' Then Inc(sc) Else Dec(sc);
      While sc<>0 Do Begin {Дополнение подпоследова-
        тельности закрывающими скобками}
        A:=A+')'; Dec(sc);
      End;
      While Length(A)<2*n Do A:=A+'(';
      {Дополняем строку, максимально «ухудшая» ее}
  End;

```

4.4. Схема нахождения общего решения линейных рекуррентных уравнений

Однородное линейное рекуррентное уравнение

Рассмотрим схему решения однородного линейного рекуррентного уравнения $u_{n+k} = a_1 u_{n+k-1} + a_2 u_{n+k-2} + \dots + a_k u_n$ ($n \geq k \geq 0$). Всякая рекуррентная последовательность k -го порядка однозначно определяется заданием k ее первых членов. Многочлен $P(x) = x^k - a_1 x^{k-1} - a_2 x^{k-2} - \dots - a_k$ называют *характеристическим многочленом* линейного рекуррентного уравнения. Пусть λ — корень харак-

решение имеет вид: $u_n = c_1 \left(\frac{1+\sqrt{5}}{2} \right)^n + c_2 \left(\frac{1-\sqrt{5}}{2} \right)^n$. Решая систему второго порядка, получаем $c_1 = \frac{1}{\sqrt{5}}$, $c_2 = -\frac{1}{\sqrt{5}}$.

При анализе асимптотического поведения последовательности $u_0, u_1, u_2, u_3, \dots$ обычно бывает достаточным рассмотреть лишь члены $c_i \lambda_i^n$, у которых $c_i \neq 0$ и λ_i имеет максимальное абсолютное значение. Пусть по абсолютной величине доминирует один корень λ_1 , т. е. $|\lambda_1| > |\lambda_i|$ для $i = 2, 3, \dots, k$. В этом случае $u_n \sim c_1 \lambda_1^n$, и формула дает достаточно хорошую аппроксимацию. Абсолютная ошибка стремится к нулю с ростом n .

Случай кратных корней характеристического многочлена $P(x)$. Пусть λ — корень кратности r . Тогда последовательности $c_1 \lambda^n, c_2 n \lambda^n, \dots, c_r n^{r-1} \lambda^n$ ($n = 0, 1, \dots$) удовлетворяют рекуррентному уравнению при произвольных константах c_1, c_2, \dots, c_r . Если характеристический многочлен $P(x)$ имеет корни $\lambda_1, \lambda_2, \dots, \lambda_s$ с кратностями r_1, r_2, \dots, r_s соответственно ($r_1 + r_2 + \dots + r_s = k$), то общее решение рекуррентного уравнения имеет вид: $u_n = \sum_{i=1}^s (c_{i1} + c_{i2}n + \dots + c_{ir_i} n^{r_i-1}) \lambda_i^n$, где c_{ij} — константы.

В общем случае корнями характеристического многочлена могут быть комплексные числа, тогда приходится работать с тригонометрическими функциями.

Неоднородное линейное рекуррентное уравнение

Неоднородное линейное рекуррентное уравнение имеет вид $u_{n+k} = a_1 u_{n+k-1} + a_2 u_{n+k-2} + \dots + a_k u_n + f(n)$. Его общее решение представляет собой сумму частного решения уравнения (обозначим его q) и общего решения соответствующего ему однородного уравнения $v_{n+k} = a_1 v_{n+k-1} + a_2 v_{n+k-2} + \dots + a_k v_n$, которое находится так, как описано выше. Общего метода нахождения частного решения q не существует. Частное решение ищется исходя из факта, что оно имеет тот же вид, что и функция $f(n)$. Так, если $f(n) = ab^n$, то и $q = cb^n$. Если $f(n)$ есть многочлен, например, третьей степени, то и частное решение есть многочлен третьей степени.

Пусть $f(n)$ есть константа, равная b . Если $\sum_{i=1}^k a_i \neq 1$, то частное решение имеет вид $q_n = c$, где c определяется из уравнения $c = a_1 c + a_2 c + \dots + a_k c + b$ или $c = \frac{b}{1 - \sum_{i=1}^k a_i}$. Если $\sum_{i=1}^k a_i = 1$ и $\sum_{i=1}^k i a_i \neq 0$, то

имеется частное решение вида $q_n = cn$, где c определяется из уравнения $cn = a_1c(n-1) + a_2c(n-2) + \dots + a_kc(n-k) + b$ или $c = \frac{b}{\sum_{i=1}^k ia_i}$.

Пример 4.10. Дано рекуррентное уравнение $u_n = 5u_{n-1} - 6u_{n-2}$ при $n > 2$, $u_1 = 2$ и $u_2 = 10$. Характеристический многочлен $P(x) = x^2 - 5x + 6$ имеет корни $\lambda_1 = 2$ и $\lambda_2 = 3$. Общее решение $u_n = c_1 \cdot 2^n + c_2 \cdot 3^n$. Решая систему уравнений

$$\begin{cases} c_1 \cdot 2^1 + c_2 \cdot 3^1 = 2, \\ c_1 \cdot 2^2 + c_2 \cdot 3^2 = 10, \end{cases}$$

получаем $c_1 = -2$, $c_2 = 2$. Итак, $u_n = 2 \cdot 3^n - 2 \cdot 2^n$. ◀

Пример 4.11. Дано рекуррентное уравнение $u_n = 4u_{n-1} - 4u_{n-2}$ при $n > 1$, $u_0 = 2$ и $u_1 = 6$. Характеристический многочлен $P(x) = x^2 - 4x + 4$ имеет кратный корень $\lambda_1 = 2$. Общее решение $u_n = c_1 \cdot 2^n + c_2 \cdot n \cdot 2^n$. Решая систему уравнений

$$\begin{cases} c_1 \cdot 2^0 + c_2 \cdot 0 \cdot 2^0 = 2, \\ c_1 \cdot 2^1 + c_2 \cdot 1 \cdot 2^1 = 6, \end{cases}$$

получаем $c_1 = 2$, $c_2 = 1$. Итак, $u_n = 2 \cdot 2^n + n \cdot 2^n = (n+2)2^n$. ◀

Пример 4.12. Дано $u_n = a \cdot u_{n-1} + b$ при $n > 1$ и $u_1 = t$, $a \neq 1$. Частное решение равно константе c_1 . Подставляя значение c_1 в уравнение, получаем: $c_1 = a \cdot c_1 + b$ и $c_1 = \frac{b}{1-a}$. Общее решение рекуррентного уравнения имеет вид: $u_n = c_2 \cdot a^n + \frac{b}{1-a}$. Подставляем известные значения при $n = 1$, получаем $t = c_2 \cdot a + \frac{b}{1-a}$. Откуда $c_2 = \frac{1}{a} \left(t - \frac{b}{1-a} \right)$

и $u_n = \left(t - \frac{b}{1-a} \right) \cdot a^{n-1} + \frac{b}{1-a}$. ◀

Пример 4.13. Дано $u_n = 9u_{n-1} - 20u_{n-2} + 3 \cdot 2^n$. Характеристический многочлен $P(x) = x^2 - 9x + 20$. Решением однородного уравнения является $u_n = c_1 \cdot 4^n + c_2 \cdot 5^n$. Частное решение имеет вид $c \cdot 2^n$. Подставим это выражение в рекуррентное уравнение, получаем: $c \cdot 2^n = 9c \cdot 2^{n-1} - 20c \cdot 2^{n-2} + 3 \cdot 2^n$, или $4c = 18c - 20c + 12$. Отсюда $c = 2$. Общее решение рекуррентного уравнения имеет вид $u_n = c_1 \cdot 4^n + c_2 \cdot 5^n + 2 \cdot 2^n = c_1 \cdot 4^n + c_2 \cdot 5^n + 2^{n+1}$. ◀

При работе с рекуррентными уравнениями следует быть осторожным. Обычно в комбинаторике требуется анализ свойств решений, а не вычисление последовательностей. Численные расчеты

в том случае, если они выходят из области целых чисел, приводят к различным эффектам, связанным, например, с неустойчивостью. Эти проблемы обсуждаются, исследуются в численных методах решения дифференциальных уравнений.

4.5. Производящие функции

Мы рассмотрели последовательности u_1, u_2, u_3, \dots , или, коротко, $\{u_n\}$, и определили рекуррентность как возможность, начиная с некоторого значения n и для всех следующих номеров, выражения очередного элемента последовательности через предыдущие:

$$u_{n+k} = a_1 u_{n+k-1} + a_2 u_{n+k-2} + \dots + a_k u_n \quad (n \geq k \geq 1),$$

где $a_1, a_2, a_3, \dots, a_k$ — некоторые числа.

Для решения рекуррентных соотношений и выполнения комбинаторных подсчетов в ряде случаев удобно использовать аппарат производящих функций. Последовательности u_0, u_1, u_2, \dots поставим в соответствие формальный ряд

$$U(x) = \sum_{k=0}^{\infty} u_k x^k, \quad (4.2)$$

называемый *производящей функцией* для данной последовательности. Термин «формальный ряд» означает лишь то, что формула трактуется как удобная запись последовательности и для каких значений x он сходится несущественно. Вопрос о вычислении значения такого ряда для конкретного значения x не ставится. Используются формальные операции над рядами и определяются коэффициенты при конкретных степенях переменной x .

Операции над рядами:

$$1) \text{ сложение рядов } U(x) = \sum_{k=0}^{\infty} u_k x^k \text{ и } V(x) = \sum_{k=0}^{\infty} v_k x^k$$

$$U(x) + V(x) = \sum_{k=0}^{\infty} (u_k + v_k) x^k;$$

2) умножение на число

$$pU(x) = \sum_{k=0}^{\infty} p u_k x^k;$$

3) произведение рядов

$$U(x) \cdot V(x) = \sum_{k=0}^{\infty} c_k x^k,$$

$$\text{где } c_k = u_0 v_k + u_1 v_{k-1} + \dots + u_k v_0 = \sum_{i=0}^k u_i v_{k-i};$$

4) сдвиг начала. Последовательность

$$v_k = \begin{cases} 0 & \text{для } k = 0, 1, \dots, i-1, \\ u_{k-i} & \text{для } k = i, i+1, \dots \end{cases}$$

имеет производящую функцию $V(x) = U(x) \cdot x^i$. Аналогично, последовательность $v_k = u_{k+i}$ для $k = 0, 1, 2, \dots$ имеет производящую функцию

$$V(x) = \left[U(x) - \sum_{k=0}^{i-1} u_k x^k \right] x^{-i}.$$
 Действительно,

$$\begin{aligned} V(x) &= \sum_{k=0}^{\infty} v_k x^k = \sum_{k=0}^{\infty} u_{k+i} x^k = x^{-i} \sum_{k=0}^{\infty} u_{k+i} x^{k+i} = x^{-i} \sum_{k=i}^{\infty} u_k x^k = \\ &= x^{-i} \left[\sum_{k=0}^{\infty} u_k x^k - \sum_{k=0}^{i-1} u_k x^k \right] = \left[U(x) - \sum_{k=0}^{i-1} u_k x^k \right] x^{-i}. \end{aligned}$$

Ряд (4.2) может сходиться в некоторой окрестности нуля (из математического анализа). В этом случае его сумма выражается аналитической функцией $U(x)$, а ряд является рядом Тейлора в окрестности $x=0$ с коэффициентами $u_k = \frac{U^{(k)}(0)}{k!}$, $k = 0, 1, 2, \dots$, где $U^{(k)}(0)$ есть k -я производная функции $U(x)$ при $x=0$. Для аналитических функций также справедливы рассмотренные выше операции. В методе производящих функций делается следующий шаг — формальный ряд (4.2) отождествляется с определенной через него аналитической функцией для рядов, сходящихся в окрестности нуля. Итак, мы имеем цепочку: последовательность \rightarrow формальный ряд \rightarrow аналитическая функция. Какой в этом смысл? Он заключается в том, что по функции последовательность восстанавливается, а многим операциям над последовательностями соответствуют простые алгебраические или аналитические операции над функциями. Другими словами, мы производим какие-то действия с функциями, а затем по результату восстанавливаем последовательность. Запишем наиболее известные из математического анализа ряды и их аналитические выражения (функции):

$$\begin{aligned} \sum_{k=0}^{\infty} x^k &= (1-x)^{-1}, & \sum_{k=0}^{\infty} \frac{1}{k!} x^k &= e^x, & \sum_{k=0}^{\infty} C_n^k x^k &= (1+x)^n, \\ \sum_{k=1}^{\infty} \frac{(-1)^{k+1}}{k} x^k &= \ln(1+x), & \sum_{k=0}^{\infty} C_{n+k-1}^k x^k &= \frac{1}{(1-x)^n}. \end{aligned}$$

Пример 4.14. Дана последовательность $1, 2, 4, 8, \dots, 2^k, \dots$. Имеем

$$\sum_{k=0}^{\infty} 2^k x^k = \sum_{k=0}^{\infty} (2x)^k = (1 - 2x)^{-1}.$$

Мы нашли производящую функцию для исходной последовательности. ◀

Пример 4.15. Последовательность v_k определим через последовательность u_k следующим образом: $v_k = \sum_{i=0}^k u_i$, $k = 0, 1, \dots$, тогда

$$V(x) = \frac{U(x)}{1-x}.$$

Действительно,

$$\begin{aligned} V(x) &= \sum_{k=0}^{\infty} v_k x^k = \sum_{k=0}^{\infty} \left(\sum_{i=0}^k u_i \right) x^k = \sum_{i=0}^{\infty} u_i \left(\sum_{k=i}^{\infty} x^k \right) = \\ &= \left(\sum_{i=0}^{\infty} u_i x^i \right) \left(\sum_{k=0}^{\infty} x^k \right) = \frac{U(x)}{1-x}. \quad \blacktriangleleft \end{aligned}$$

Пример 4.16. Последовательность v_k определим через последовательность u_k следующим образом: $v_k = \sum_{i=k}^{\infty} u_i$, $k = 0, 1, \dots$, тогда

$$V(x) = \frac{U(1) - xU(x)}{1-x}.$$

Действительно,

$$\begin{aligned} V(x) &= \sum_{k=0}^{\infty} v_k x^k = \sum_{k=0}^{\infty} \left(\sum_{i=k}^{\infty} u_i \right) x^k = \sum_{i=0}^{\infty} \sum_{k=0}^i u_i x^k = \left(\sum_{i=0}^{\infty} u_i \right) \left(\sum_{k=0}^i x^k \right) = \\ &= \sum_{i=0}^{\infty} u_i \frac{1-x^{i+1}}{1-x} = \frac{1}{1-x} \left(\sum_{i=0}^{\infty} u_i - x \sum_{i=0}^{\infty} u_i x^i \right) = \frac{U(1) - xU(x)}{1-x}. \quad \blacktriangleleft \end{aligned}$$

Пример 4.17. Решить рекуррентное уравнение $u_n = u_{n-1} + 3$ при $u_0 = 5$.

Положим $U(x) = \sum_{k=0}^{\infty} u_k x^k$. В соответствии с уравнением $u_n - u_{n-1} - 3 = 0$ запишем

$$U(x) - xU(x) - \frac{3}{1-x} =$$

$$= (u_0 - 3) + (u_1 - u_0 - 3)x + (u_2 - u_1 - 3)x^2 + \dots + (u_n - u_{n-1} - 3)x^n + \dots$$

Поскольку $u_n - u_{n-1} - 3 = 0$ при всех $n \geq 1$, то получаем уравнение

$U(x) - xU(x) - \frac{3}{1-x} = 2$. Решая его относительно $U(x)$, получаем

$$\begin{aligned} U(x) &= \frac{3}{(1-x)^2} + \frac{2}{1-x} = \\ &= 3(1 + 2x + 3x^2 + \dots + (n+1)x^n + \dots) + 2(1 + x + x^2 + \dots + x^n + \dots) = \\ &= 5 + 8x + 11x^2 + 14x^3 + \dots + (3n+5)x^n + \dots \end{aligned}$$

Таким образом, $u_n = 3n + 5$. ◀

Рассмотрим функции $\sum_{k=0}^{\infty} C_n^k x^k = (1+x)^n$, $\sum_{k=0}^{\infty} C_{n+k-1}^k x^k = \frac{1}{(1-x)^n}$.

Коэффициент при x^k в первой функции равен числу способов выбора k элементов из n без повторов, а во второй — числу способов выбора k элементов из n с повторениями. То есть $(1+x)^n$ является производящей функцией для числа сочетаний из n объектов по k , а $(1-x)^{-n}$ производящей функцией для числа сочетаний из n объектов по k с повторениями. В первой формуле каждый множитель $(1+x)$ допустимо трактовать как соответствующий некоторому элементу a_i множества $X = \{a_1, a_2, \dots, a_n\}$. Множитель представляет два возможных случая: слагаемое 1 — элемент отсутствует; слагаемое x — элемент появляется один раз. Каждое подмножество множества X однозначно определяется указанием на то, содержится ли в нем тот или иной элемент, т. е. выбором того или другого слагаемого из каждого множителя в произведении $(1+x) \times \dots \times (1+x)$. Коэффициент при x^k определяет количество подмножеств мощности k . Естественным образом рассуждения обобщаются и для случая появления каждого элемента в подмножестве более одного раза — на множества с повторениями.

Пример 4.18. В урне находится 3 красных, 4 синих и 2 зеленых шара. Сколько существует способов выбора 6 шаров из урны? Сколько способов выбора 6 шаров из урны, если из выбранных шаров 1 шар красный, 1 синий и 1 зеленый?

Производящая функция для первого случая имеет вид: $U(x) = (1+x+x^2+x^3)(1+x+x^2+x^3+x^4)(1+x+x^2)$. Коэффициент при x^6 равен 9.

Производящая функция для второго случая имеет вид: $U(x) = (x+x^2+x^3)(x+x^2+x^3+x^4)(x+x^2)$. Коэффициент при x^6 равен 6. ◀

Пример 4.19. Найти количество целочисленных решений уравнения $1x_1 + 2x_2 + 3x_3 + 4x_4 = n$, n — натуральное число. Выражение ix_i означает, что слагаемое i входит в конкретное решение x_i раз. Задача

эквивалентна нахождению количества способов выбора n объектов, при котором объекты второго типа выбираются по два за один раз, третьего типа — по три, четвертого типа — по четыре. Производящая функция для последней задачи имеет вид:

$$(1 + x + x^2 + \dots)(1 + x^2 + x^4 + \dots)(1 + x^3 + x^6 + \dots)(1 + x^4 + x^8 + \dots) = \\ = \frac{1}{(1-x)(1-x^2)(1-x^3)(1-x^4)}.$$

Осталось найти коэффициент при n -й степени x , его значение и является ответом задачи. ◀

Вернемся к задаче разбиения натурального числа n на слагаемые (п. 2.14), $n = a_1 + a_2 + \dots + a_k$, где k, a_1, \dots, a_k больше нуля. Суммы считаем эквивалентными, если они отличаются только порядком слагаемых. Класс эквивалентных сумм приведенного вида однозначно представляется последовательностями b_1, \dots, b_k , упорядоченными по невозрастанию. Вариацией задачи является задача о разбиении числа n на заданное число слагаемых k . Число разбиений числа n на k слагаемых мы обозначали через $P(n, k)$ ($P(n) = \sum_{k=1}^n P(n, k)$, $n > 0$). Задача о разбиении натурального числа n на слагаемые эквивалентна задаче о размещении n неразличимых объектов по заданному числу неразличимых ящиков при условии, что некоторые ящики могут быть пустыми. Если ящиков n , то задача в свою очередь эквивалентна нахождению количества неотрицательных целочисленных решений уравнения $x_1 + 2x_2 + 3x_3 + \dots + nx_n = n$. При заданном n количество решений есть коэффициент при x^n в разложении производящей функции $\frac{1}{1-x} \cdot \frac{1}{1-x^2} \cdot \frac{1}{1-x^3} \cdot \dots \cdot \frac{1}{1-x^n}$.

Пример 4.20. Подсчитать количество способов разбиения натурального нечетного числа n на нечетные слагаемые.

Следуя логике примера 4.19, необходимо найти количество целочисленных решений уравнения $1x_1 + 3x_2 + 5x_3 + \dots + nx_{(n+1)/2} = n$, где n — натуральное число, производящая функция имеет вид $\frac{1}{1-x} \times \frac{1}{1-x^3} \cdot \frac{1}{1-x^5} \cdot \dots \cdot \frac{1}{1-x^n}$. Следует найти коэффициент при x^n . ◀

Пример 4.21. Показать, что между задачей разбиения числа n на попарно различные слагаемые и задачей разбиения числа n на нечетные слагаемые есть взаимно однозначное соответствие. Пусть n равно 9. В табл. 4.4 дано преобразование всех попарно различных разбиений числа 9 на слагаемые в разбиения на нечетные слагае-

Таблица 4.4

Попарно различные слагаемые	Преобразование	Нечетные слагаемые
8, 1	$1 \cdot 2^3 + 1 \cdot 2^0 = 1 \cdot (2^3 + 2^0)$	1, 1, 1, 1, 1, 1, 1, 1
7, 2	$7 \cdot 2^0 + 1 \cdot 2^1$	7, 1, 1
6, 3	$3 \cdot 2^1 + 3 \cdot 2^0 = 3 \cdot (2^1 + 2^0)$	3, 3, 3
6, 2, 1	$3 \cdot 2^1 + 1 \cdot 2^1 + 1 \cdot 2^0 = 3 \cdot 2^1 + 1 \cdot (2^1 + 2^0)$	3, 3, 1, 1, 1
5, 4	$5 \cdot 2^0 + 1 \cdot 2^2$	5, 1, 1, 1, 1
5, 3, 1	$5 \cdot 2^0 + 3 \cdot 2^0 + 1 \cdot 2^0$	5, 3, 1
4, 3, 2	$1 \cdot 2^2 + 3 \cdot 2^0 + 1 \cdot 2^1 = 3 \cdot 2^0 + 1 \cdot (2^2 + 2^1)$	3, 1, 1, 1, 1, 1, 1

мые. Каждое слагаемое записывается в виде $p \cdot 2^q$, где p — нечетное число (в таком виде можно записать любое натуральное число), а затем идет группировка по значениям p (нечетным), выражение в скобках указывает на то, сколько раз p встречается в сумме.

В табл. 4.5 показано обратное преобразование для всех представлений $n = 9$ в виде нечетных слагаемых. Его суть в том, что количество вхождений каждого слагаемого раскладывается по степеням двойки, а затем осуществляется перегруппировка, сохраняющая значение суммы.

Таблица 4.5

Нечетные слагаемые	Преобразование	Попарно различные слагаемые
7, 1, 1	$2^0 \cdot 7 + 2^1 \cdot 1 = 7 \cdot 2^0 + 1 \cdot 2^1$	7, 2
5, 3, 1	$2^0 \cdot 5 + 2^0 \cdot 3 + 2^0 \cdot 1 = 5 \cdot 2^0 + 3 \cdot 2^0 + 1 \cdot 2^0$	5, 3, 1
5, 1, 1, 1, 1	$2^0 \cdot 5 + 2^2 \cdot 1 = 5 \cdot 2^0 + 1 \cdot 2^2$	5, 4
3, 3, 3	$3 \cdot 3 = (2^1 + 2^0) \cdot 3 = 3 \cdot 2^1 + 3 \cdot 2^0$	6, 3
3, 3, 1, 1, 1	$2^1 \cdot 3 + 3 \cdot 1 = 2^1 \cdot 3 + (2^1 + 2^0) \cdot 1 = 3 \cdot 2^1 + 1 \cdot 2^1 + 1 \cdot 2^0$	6, 2, 1
3, 1, 1, 1, 1, 1, 1	$2^0 \cdot 3 + 6 \cdot 1 = 2^0 \cdot 3 + (2^2 + 2^1) \cdot 1 = 3 \cdot 2^0 + 1 \cdot 2^2 + 1 \cdot 2^1$	4, 3, 2
1, 1, 1, 1, 1, 1, 1, 1, 1	$9 \cdot 1 = (2^3 + 2^0) \cdot 1 = 1 \cdot 2^3 + 1 \cdot 2^0$	8, 1

Производящая функция для разбиения на попарно различные слагаемые равна $U(x) = (1+x)(1+x^2)(1+x^3)\dots(1+x^k)\dots$. Известно, что $1+x^k = \frac{1-x^{2k}}{1-x^k}$. Получаем

$$U(x) = \frac{1-x^2}{1-x} \cdot \frac{1-x^4}{1-x^2} \cdot \frac{1-x^6}{1-x^3} \cdot \dots = \frac{1}{1-x} \cdot \frac{1}{1-x^3} \cdot \frac{1}{1-x^5} \cdot \dots,$$

а это не что иное, как производящая функция для разбиений на нечетные слагаемые. ◀

Рассмотрим несколько подробнее экспоненциальную производящую функцию $\sum_{k=0}^{\infty} \frac{1}{k!} x^k = e^x$. Во-первых, установим связь с производящей функцией $\sum_{k=0}^n C_n^k x^k = (1+x)^n$. Последнюю можно расписать в виде

$$\begin{aligned} \frac{n!}{n!} + \frac{n!}{(n-1)!} \cdot \frac{x}{1!} + \frac{n!}{(n-2)!} \cdot \frac{x^2}{2!} + \dots + \frac{n!}{(n-k)!} \cdot \frac{x^k}{k!} + \dots + \frac{n!}{0!} \cdot \frac{x^n}{n!} = \\ = A_n^0 + A_n^1 \frac{x}{1!} + A_n^2 \frac{x^2}{2!} + \dots + A_n^k \frac{x^k}{k!} + \dots + A_n^n \frac{x^n}{n!}. \end{aligned}$$

Другими словами, $(1+x)^n$ есть экспоненциальная производящая функция для описания количества размещений без повторений. Определим произведение экспоненциальных производящих функций, например четырех:

$$\begin{aligned} \left(1 + \frac{x}{1!} + \frac{x^2}{2!} + \frac{x^3}{3!} + \dots\right) \left(1 + \frac{x}{1!} + \frac{x^2}{2!} + \frac{x^3}{3!} + \dots\right) \times \\ \times \left(1 + \frac{x}{1!} + \frac{x^2}{2!} + \frac{x^3}{3!} + \dots\right) \left(1 + \frac{x}{1!} + \frac{x^2}{2!} + \frac{x^3}{3!} + \dots\right). \end{aligned}$$

Рассмотрим один из сомножителей, дающий, например, $x^{15} - \frac{x^5}{5!} \cdot \frac{x^3}{3!} \cdot \frac{x^4}{4!} \cdot \frac{x^3}{3!} = \frac{15!}{5! \cdot 3! \cdot 4! \cdot 3!} \cdot \frac{x^{15}}{15!}$. Коэффициент при $\frac{x^{15}}{15!}$ дает количество способов выбора и переупорядочивания 15 объектов. По-другому, если обычные производящие функции дают количество способов при выборках объектов, то с помощью экспоненциальных описываются ситуации, в которых учитывается и порядок элементов. Например, при выборке шаров из урны порядок роли не играет — используем обычную производящую функцию, а при составлении слов из букв порядок важен, и если речь идет о подсчете количества слов, то следует использовать экспоненциальную производящую функцию.

Пример 4.22. Определить производящую функцию для подсчета последовательностей длины n , составленных из цифр 1, 2, 3, если при этом должно быть не менее одной цифры 1, двух цифр 2 и четного количества цифр 3.

Порядок цифр имеет значение, поэтому используем экспоненциальную производящую функцию:

$$U(x) = \left(\frac{x}{1!} + \frac{x^2}{2!} + \dots\right) \left(\frac{x^2}{2!} + \frac{x^3}{3!} + \dots\right) \left(\frac{x^2}{2!} + \frac{x^4}{4!} + \dots\right). \quad \blacktriangleleft$$

Пример 4.23. Найти производящую функцию для размещений с повторениями.

Известно (п. 2.5), что количество размещений с повторениями из n по k равно n^k .

$$U(x) = \left(1 + \frac{x}{1!} + \frac{x^2}{2!} + \frac{x^3}{3!} + \dots\right)^n = (e^x)^n = e^{nx} = 1 + \frac{nx}{1!} + \frac{(nx)^2}{2!} + \frac{(nx)^3}{3!} + \dots$$

Коэффициент при $\frac{x^k}{k!}$ равен n^k . ◀

Пример 4.24. Дана последовательность из $n+1$ различных букв. Подсчитать количество способов разбиения последовательности на термы (см. пример 4.7 на с. 82).

Введем производящую функцию $U(x) = \sum_{n=0}^{\infty} u_n x^n$ и возведем ее в квадрат. Имеем

$$U^2(x) = \sum_{m=0}^{\infty} u_m x^m \cdot \sum_{n=0}^{\infty} u_n x^n = \sum_{m,n=0}^{\infty} u_m u_n x^{m+n} = \sum_{r=0}^{\infty} \sum_{m=0}^r u_m u_{r-m} x^r = \sum_{r=0}^{\infty} u_{r+1} x^r.$$

Учитывая, что $u_0 = 1$, получаем квадратное уравнение $U(x) = x \times U^2(x) + 1$. Его решение $U(x) = \frac{1 \pm \sqrt{1-4x}}{2x}$. Корень $\frac{1 + \sqrt{1-4x}}{2x}$ является посторонним. Разложение в ряд функции $f(x) = \sqrt{1-4x}$ по формуле Тейлора $f(x) = f(0) + \sum_{n=1}^{\infty} \frac{f^{(n)}(0)}{n!} x^n$ дает

$$1 - 2x - \frac{2}{2} C_2^1 x^2 - \frac{2}{3} C_4^2 x^3 - \dots - \frac{2}{n+1} C_{2n}^n x^{n+1} - \dots$$

Подставляя этот ряд в формулу для $U(x)$, после необходимых выкладок окончательно получаем $U(x) = \sum_{n=1}^{\infty} \frac{1}{n} C_{2n-2}^{n-1} x^{n-1} = \sum_{n=0}^{\infty} \frac{1}{n+1} C_{2n}^n x^n$. Таким образом число всех способов разбиения $(n+1)$ -буквенной последовательности на термы равно $\frac{C_{2n}^n}{n+1}$. ◀

4.6. Ладейные полиномы

В примере 2.16 (п. 2.10) рассмотрена задача о разупорядочении. Она полностью описывает ситуацию с расстановкой не бьющих друг друга ладей для случая, когда нумерации строк и столбцов на клеточной доске совпадают. Клетки доски, на которые нельзя ставить

ладей, назовем *запрещенными позициями*. Пусть C — доска из m квадратов. Для некоторого целого n она является частью доски $n \times n$. Обозначим через $r_k(C)$ количество способов, которыми k неразличимых ладей ($0 \leq k \leq m$) можно расставить на доске C так, чтобы они не били друг друга. *Ладейным полиномом* $R(x, C)$ для доски C называют производящую функцию для последовательности чисел $r_k(C)$ ($0 \leq k \leq m$).

$$R(x, C) = r_0(C) + r_1(C)x + r_2(C)x^2 + r_3(C)x^3 + \dots + r_m(C)x^m.$$

Считаем, что $r_0(C)$ — количество способов расстановки 0 ладей на доске C — равно 1, ладьи не ставим на доску.

Пример 4.25. Найти ладейные полиномы для досок на рис. 4.4. Используем непосредственно подсчет. Для первого случая $r_0 = 1$, $r_1 = 1$ и $r_i = 0$, $i \geq 2$, ладейный полином равен $R(x, C) = 1 + x$. Для второго случая $r_0 = 1$, $r_1 = 2$, $r_2 = 1$ и $r_i = 0$, $i \geq 3$, ладейный полином равен $R(x, C) = 1 + 2x + x^2$. Для третьего случая $r_0 = 1$, $r_1 = 3$, $r_2 = 1$ и $r_i = 0$, $i \geq 3$ и, соответственно, $R(x, C) = 1 + 3x + x^2$. Для четвертого случая существует восемь способов постановки одной ладьи, для двух ладей — 12 способов, ладейный полином имеет вид $R(x, C) = 1 + 8x + 12x^2$. В пятом случае доска C состоит из двух частей C_1 и C_2 , на которых ладьи можно расставлять независимо, так как у них нет общих строк и столбцов. Одну ладью можно поставить семью способами — тремя способами на C_1 и четырьмя на C_2 . При постановке двух ладей возможны варианты: нуль на C_1 , две на C_2 ; одна на C_1 и одна на C_2 ; две на C_1 и нуль на C_2 . Получаем $2 + 3 \cdot 4 + 1 = 15$. При постановке трех ладей опять же есть варианты: нуль на C_1 , три на C_2 ; одна на C_1 , две на C_2 ; две на C_1 , одна на C_2 ; три на C_1 , нуль на C_2 . Получаем $1 \cdot 0 + 3 \cdot 2 + 1 \cdot 4 + 0 \cdot 1 = 10$. Аналогично для четырех ладей получаем два способа расстановки. Ладейный полином имеет вид: $R(x, C) = 1 + 7x + 15x^2 + 10x^3 + 2x^4$. ◀

Две доски *независимы*, если их клетки не имеют общих горизонталей и вертикалей. Понятие независимости иллюстрирует доска на рис. 4.4, д. Если доска $C = C_1 \cup C_2$ и C_1 , C_2 независимы,

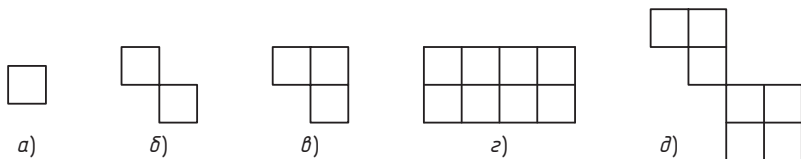


Рис. 4.4. Примеры досок

то $R(x, C) = R(x, C_1) \cdot R(x, C_2)$ (*правило произведения*). Для доски на рис. 4.4, δ имеем $R(x, C) = (1 + 3x + x^2)(1 + 4x + 2x^2) = 1 + 7x + 15x^2 + 10x^3 + 2x^4$.

Пример 4.26. На рис. 4.5, *a* приведен пример доски, для которой требуется найти ладейный полином. Отметим одну клетку символом s . На рис. 4.5, *б* показана доска C_s с удаленной клеткой s , а на рис. 4.5, *в* — доска C_s^\neq с удаленными клетками в той строке и том столбце, где находится клетка s . Пусть k не атакующих друг друга ладей размещены на доске C . Если одна из ладей находится в клетке s , то остальные $k - 1$ ладей размещаются на доске C_s^\neq . Количество таких размещений $r_{k-1}(C_s^\neq)$. В том случае, когда ни одна

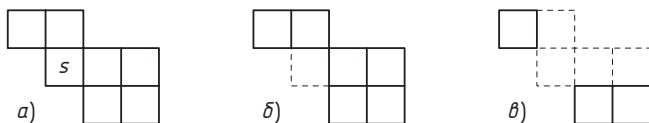


Рис. 4.5. Пример доски для иллюстрации правила суммы: *a*) исходная доска C ; *б*) доска C_s ; *в*) доска C_s^\neq

ладья не размещена в клетке s , то k ладей размещаются на доске C_s , количество размещений равно $r_k(C_s)$. Таким образом, $r_k(C) = r_{k-1}(C_s^\neq) + r_k(C_s)$. Заметим, что $r_0(C) = r_0(C_s)$. Имеем:

$$\sum_{k=0}^m r_k(C)x^k = \sum_{k=1}^m r_{k-1}(C_s^\neq)x^k + \sum_{k=0}^m r_k(C_s)x^k,$$

где m — количество клеток доски C . Однако

$$\sum_{k=1}^m r_{k-1}(C_s^\neq)x^k = \sum_{k=0}^{m-1} r_k(C_s^\neq)x^{k+1} = x \sum_{k=0}^m r_k(C_s^\neq)x^k,$$

так как $r_m(C_s^\neq) = 0$. Следовательно, $R(x, C) = xR(x, C_s^\neq) + R(x, C_s)$ (*правило сложения*). Для рассматриваемого примера имеем:

$$\begin{aligned} R(x, C) &= xR(x, C_s^\neq) + R(x, C_s) = \\ &= x(1 + 3x + 2x^2) + 1 + 6x + 10x^2 + 4x^3 = 1 + 7x + 13x^2 + 6x^3. \quad \blacktriangleleft \end{aligned}$$

Связь ладейных полиномов с перестановками достаточно очевидна. Любой расстановке не атакующих друг друга ладей на доске $n \times n$ соответствует перестановка и наоборот.

Пример 4.27. На рис. 4.6 приведена доска 7×7 , запрещенные для ладей клетки заштрихованы. Расстановку ладей на белых клетках

определим как *допустимое размещение* на доске. Если говорить о перестановках, то в них на первом и втором местах не должно быть чисел 5 и 6, на третьем, четвертом и пятом — числа 4, на шестом и седьмом — числа 3. Требуется найти количество таких перестановок, или расстановок ладей.

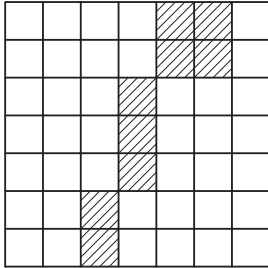


Рис. 4.6. Иллюстрация связи ладейных полиномов и перестановок

Обозначим через C_i множество таких перестановок, у которых на месте i записаны запрещенные числа из i -й строки (множества). Так, C_1 — это все перестановки, у которых на первом месте записаны числа 5 и 6. В этом случае решением задачи является значение:

$$|C'_1 \cap C'_2 \cap \dots \cap C'_7| = 7! - \sum_{i=1}^7 |C_i| + \sum_{i < j} |C_i \cap C_j| - \sum_{i < j < k} |C_i \cap C_j \cap C_k| + \dots - |C_1 \cap C_2 \cap \dots \cap C_7|,$$

где C'_i — дополнение множества C_i . Подсчитаем первую сумму. Количество перестановок, у которых на первом месте записаны числа 5 и 6, равно $2 \cdot 6!$, в общем случае $k_i(n-1)!$, где k_i — количество запрещенных позиций в строке с номером i . Таким образом, $\sum_i |C_i| = \sum_i k_i(n-1)! = \left(\sum_i k_i\right)(n-1)! = r_1(C)(n-1)!$, где $r_1(C)$ — общее

количество запрещенных позиций. Оценим $\sum_{i < j} |C_i \cap C_j|$. Зафиксируем две строки. Любая допустимая расстановка ладей в этих строках «разрастается» до значения $(7-2)!$ (в общем случае — $(n-2)!$) за счет перестановок в остальных строках. Количество допустимых расстановок двух ладей в запрещенных позициях равно $r_2(C)$. Получаем: $\sum_{i < j} |C_i \cap C_j| = r_2(C)(n-2)!$. По аналогии для общего случая имеем:

$$\sum_{i_1 < i_2 < \dots < i_m} |C_{i_1} \cap C_{i_2} \cap \dots \cap C_{i_m}| = r_m(C)(n-m)!. \text{ Итоговый результат}$$

$$|C'_1 \cap C'_2 \cap \dots \cap C'_n| = n! - r_1(C)(n-1)! + r_2(C)(n-2)! + \dots + (-1)^n r_n(C),$$

где ладейный полином запрещенной области C имеет вид: $R(x, C) = \sum_{i=0}^n r_i(C)x^i$. Для рассматриваемого примера

$$R(x, C) = (1 + 4x + 2x^2)(1 + 3x)(1 + 2x) = 1 + 9x + 28x^2 + 34x^3 + 12x^4.$$

Следовательно,

$$|C'_1 \cap C'_2 \cap \dots \cap C'_7| = 7! - 9 \cdot 6! + 28 \cdot 5! - 34 \cdot 4! + 12 \cdot 3! = 1176. \quad \blacktriangleleft$$

4.7. Аддитивность задач, или динамическое программирование

Понятие рекуррентности было введено при рассмотрении числовых последовательностей. Его суть заключается в том, что очередным членом последовательности выражается по определенной зависимости через предыдущие члены последовательности. Эта фундаментальная идея обобщается и в целом на решение определенного класса задач. Для решения любой задачи требуется определить входные данные — мы говорили в п. 1.1 о пространстве решения задачи, подразумевая под этим и диапазоны изменения каждого параметра задачи. Совокупность параметров (входных переменных) и образует пространство. Определим понятие *подзадачи* как той же задачи, но решаемой на пространстве меньшей размерности (решаемой с меньшим числом параметров), или ту же задачу с тем же числом параметров, но решаемую при меньшем значении хотя бы одного параметра. Задача обладает *свойством аддитивности* в том случае, когда результаты решения каждой подзадачи без изменений можно использовать при решении подзадач большей размерности, в которых она используется. Выражая *связь задачи с подзадачами с помощью рекуррентных зависимостей (соотношений, уравнений)*, мы, в конечном итоге, решаем исходную задачу. Для хранения результатов решения подзадач обычно используется таблица, и время решения задачи обычно равно времени заполнения таблицы. Тем самым в решении задач, обладающих свойством аддитивности, мы «уходим» от проблем, связанных с перебором. Решение задач данным методом обычно называют *динамическим программированием*. Термин «программирование» в данном названии не означает деятельность по разработке программы. Под динамическим программированием (основы теории разработаны Р. Беллманом [3]) понимают процесс пошагового решения задач оптимизации, при котором на каждом шаге из множества допустимых решений выбирается одно, оптимизирующее заданную целевую функцию. Задача и в этом случае должна быть аддитивной, ибо только поэтому оптимальное (наилучшее) решение задачи содержит оптимальные решения подзадач (конструируется из оптимальных решений подзадач).

Пример 4.28. Найти максимальный элемент в одномерном массиве из целых чисел.

В задаче один параметр — количество элементов в массиве. Если в массиве один элемент, то решение задачи есть значение этого элемента. Подзадачей является поиск максимального элемента в ча-

сти массива — среди элементов от первого до элемента с номером i . Рекуррентная зависимость имеет вид:

$$F(A[1..i]) = \begin{cases} A[1] & \text{при } i = 1, \\ \max(A[i], F(A[1..i-1])) & \text{при } i > 1. \end{cases}$$

В формуле через \max обозначено максимальное из двух чисел, а через F — значение функции в указанном диапазоне изменения параметра. Приведем рекурсивную реализацию рекуррентной зависимости.

```

Procedure F(n:Integer);
  {Массив А и переменная max — глобальные}
  Begin
    If n=1 Then max := A[1]
    Else Begin
      F(n-1);
      If A[n]>max Then max:=A[n];
    End;
  End;

```

Пример 4.29. Дан двумерный массив $A[1..n, 1..n]$ из целых чисел в интервале от 1 до k (k такое, чтобы значение любой суммы элементов массива не превышало, например, максимального значения диапазона *Integer*). «Соседями» элемента $A[i, j]$ назовем элементы $A[i-1, j]$, $A[i, j-1]$, $A[i+1, j]$, $A[i, j+1]$, попадающие в пределы массива. Путь из $A[i_1, j_1]$ в $A[i_2, j_2]$ — это последовательность из соседних элементов массива. Каждый элемент в пути присутствует один раз. Длина пути измеряется количеством элементов в последовательности. Найти путь из $A[1, 1]$ в $A[n, n]$, такой, что:

- длина пути минимально возможная;
- сумма элементов массива, составляющих путь, имеет максимальное значение.

Из первого условия следует, что на каждом шаге увеличивается на единицу или индекс i , или индекс j (одновременное увеличение недопустимо). Для достижения $A[n, n]$ из $A[1, 1]$ необходимо, чтобы $n-1$ раз увеличивался индекс i и $n-1$ раз индекс j . Если увеличение индекса i обозначить буквой S , а увеличение индекса j — буквой E , то минимальный путь — это последовательность длины $2n-2$ из одинакового количества букв S и E , записанных в любой очередности. Количество минимальных путей равно числу способов выбрать $n-1$ мест для записи буквы S из $2n-2$ мест (остальные $n-1$ мест

Таблица 4.6

n	Длина пути	Количество путей	Количество операций сложения	Время решения задачи
4	6	20	100	10^{-7} с
8	14	3432	44 616	$\approx 5 \cdot 10^{-5}$ с
31	60	$\approx 10^{17}$	$\approx 59 \cdot 10^{17}$	$\approx 59 \cdot 10^8$ с = 187 лет

заполняются буквой E), или C_{2n-2}^{n-1} . Организовав перебор всех таких путей, мы можем определить путь с максимальной суммой элементов. Для подсчета значения каждой суммы требуется выполнить $2n - 3$ операций сложения. Общее количество операций сложения равно $C_{2n-2}^{n-1}(2n - 3)$. Пусть в нашем распоряжении имеется компьютер, выполняющий 10^9 операций сложения в секунду. Результаты расчета времени решения задачи, приведенные в табл. 4.6, очередной раз показывают «тупиковость» перебора.

Пусть $n = 4$ и массив A имеет вид:

$$A = \begin{pmatrix} 3 & 4 & 5 & 1 \\ 4 & 2 & 2 & 4 \\ 1 & 9 & 4 & 3 \\ 3 & 3 & 5 & 1 \end{pmatrix}.$$

Введем другой массив B той же размерности и будем его заполнять по принципу:

$$B[i, j] = \begin{cases} A[i, j] & \text{при } i = 1 \text{ и } j = 1, \\ B[i - 1, j] + A[i, j] & \text{при } i > 1 \text{ и } j = 1, \\ B[i, j - 1] + A[i, j] & \text{при } i = 1 \text{ и } j > 1, \\ \text{Max}(B[i - 1, j], B[i, j - 1]) + A[i, j] & \text{при } i > 1 \text{ и } j > 1, \end{cases}$$

где Max обозначает максимальное из двух чисел. Получаем следующий массив

$$B = \begin{pmatrix} \bar{3} & \bar{7} & 12 & 13 \\ 7 & \bar{9} & 14 & 18 \\ 8 & \bar{18} & \bar{22} & \bar{25} \\ 11 & 21 & \bar{27} & \bar{28} \end{pmatrix}.$$

Максимальное значение суммы элементов массива, задействованных в пути, равно 28. Время решения задачи пропорционально времени заполнения массива B , и при $n = 31$ оно произойдет за считанные доли секунды. А сейчас зададим себе вопрос — в чем суть аддитивности задачи, основываясь на которой выписаны рекуррентные соотношения? Если взять не массив $A[1..n, 1..n]$, а любую его часть $A[1..t, 1..q]$, и решить задачу для этой части (подзадачу), то

изменится ли это решение при переходе к большей части массива, например $A[1..t+1, 1..q]$. Ответ очевиден — нет, найденное решение подзадачи остается неизменным, его можно использовать при переходе к подзадачам большей размерности.

Пусть $t=3$, $q=2$. Максимальная сумма равна 18. Это значение используется при оценке стоимости пути в $A[4, 2]$ и в $A[3, 3]$. Нарушить свойство аддитивности задачи очень легко. Допустим, условие минимальности пути «снято» и разрешено записывать в массив отрицательные целые числа. Задача становится не аддитивной и решается полным перебором вариантов, что естественно приводит к экспоненциальным зависимостям времени ее решения.

После того как массив B получен, ответ задачи, а именно поиск самого пути, осуществляется просмотром значений B , начиная с элемента $B[n, n]$. Из $B[i, j]$ вычитается значение $A[i, j]$ и определяется, какой из элементов — $B[i-1, j]$ или $B[i, j-1]$ — равен полученной величине. Элементы, образующие путь с максимальным значением суммы в массиве A , выделены чертой сверху в массиве B .

```

Procedure Way(i, j, s:Integer);
  {Массивы А и В глобальные. Первый вызов для
  приведенного примера — Way(4, 4, 28) }
  Begin
    If (i=1) And (j=1) Then Write(i:2, j:2, ' : ')
      Else If i=1 Then Way(i, j-1, s-A[i, j])
        Else If j=1 Then Way(i-1, j, s-A[i, j])
          Else If (s-A[i, j])=B[i-1, j]
            Then Way(i-1, j, s-A[i, j])
              Else Way(i, j-1, s-A[i, j]);
    Write(i:2, j:2, ' : ');
  End;

```

Пример 4.30. Дан двумерный массив $A[1..n, 1..m]$, элементы которого равны 0 или 1. Найти квадратный блок (часть массива) максимального размера, состоящий из одних единиц. Под блоком понимаются элементы идущих подряд строк и столбцов массива.

Пусть $A[1..5, 1..6]$ имеет вид

$$A = \begin{pmatrix} 1 & \bar{1} & \bar{1} & \bar{1} & 1 & 1 \\ 0 & \bar{1} & \bar{1} & \bar{1} & 0 & 1 \\ 1 & \bar{1} & \bar{1} & \bar{1} & 1 & 1 \\ 1 & 0 & 1 & 1 & 1 & 1 \\ 0 & 1 & 1 & 0 & 1 & 1 \end{pmatrix}.$$

Выделенные единицы образуют блок максимального размера. Понимание аддитивности задачи сводится к установлению зависимости изменения размеров блока при переходе от проанализированных частей массива $A[1..k-1, 1..t]$, $A[1..k, 1..t-1]$ и $A[1..k-1, 1..t-1]$ к $A[1..k, 1..t]$. Результаты анализа фиксируются в дополнительном массиве $B[1..n, 1..m]$. Вычисление значений элементов массива B основано на использовании следующих рекуррентных соотношений:

$$B[i, j] = \begin{cases} A[i, j], & \text{если } i = 1 \text{ или } j = 1; \\ 0, & \text{если } A[i, j] = 0 \text{ при } i \geq 2 \text{ и } j \geq 2; \\ \text{Min}(B[i-1, j], B[i, j-1], B[i-1, j-1]) + 1, & \text{если } A[i, j] = 1 \text{ при } i \geq 2 \text{ и } j \geq 2. \end{cases}$$

Сформированный массив B для приведенного примера имеет вид

$$B = \begin{pmatrix} 1 & 1 & 1 & 1 & 1 & 1 \\ 0 & 1 & 2 & 2 & 0 & 1 \\ 1 & 1 & 2 & 3 & 1 & 1 \\ 1 & 0 & 1 & 2 & 2 & 2 \\ 0 & 1 & 1 & 0 & 1 & 2 \end{pmatrix}.$$

Ответ задачи — значение элемента массива $B[3, 4]$. Существует блок размером 3×3 и его правый нижний край находится в 3-й строке 4-м столбце. Если максимальных значений в B несколько, то в этом случае решение не единственное. ◀

Пример 4.31. Дана последовательность целых положительных чисел. Требуется расставить операции «+», «×» и скобки так, чтобы результат вычисления выражения был максимальным.

Из формулировки явно просматривается связь задачи с проблемой, которую решал Э. Каталан. Количество различных способов расставить скобки равно соответствующему числу Каталана, и с увеличением n растет по экспоненциальной зависимости, что делает полный перебор непродуктивным. Пусть дана строка s , описывающая последовательность операндов. Подзадача — это задача для подстроки с i -го по j -й операнд. Решив один раз подзадачу, ее результат в неизменном виде (без пересчета) используется для решения подзадач большей размерности, и в этом именно суть аддитивности. В массиве W будем хранить результаты решения подзадач, $W[i, j]$ равно максимальному значению выражения, полученного при решении задачи для подстроки $s[i..j]$. Значение $W[i, i]$ равно i -му операнду. Очевидно, что $W[i, j] = 0$ при $i > j$. Особенность массива

W заключается в том, что он заполняется по диагоналям, параллельным главным: $j-i=0, j-i=1, j-i=2, \dots, j-i=n-1$. Принцип заполнения описывается следующими рекуррентными соотношениями:

$$W[i, j] = \begin{cases} s[i] & \text{при } i=j, 1 \leq i, j \leq n, \\ \max_{i \leq k < j} (W[i, k] \cdot W[k+1, j], W[i, k] + W[k+1, j]) & \text{при } i < j, \\ W[i, j] = 0 & \text{при } i > j. \end{cases}$$

Рассмотрим идею решения на конкретном примере, $s = 31512$. Вычислим значения элементов массива W .

$$W = \begin{pmatrix} 3 & 4 & 20 & 24 & 60 \\ 0 & 1 & 6 & 7 & 18 \\ 0 & 0 & 5 & 6 & 15 \\ 0 & 0 & 0 & 1 & 3 \\ 0 & 0 & 0 & 0 & 2 \end{pmatrix}.$$

Максимальное значение выражения равно 60, элемент $W[1, n]$. Однако операции и расстановка скобок не определены. Для того чтобы их получить, на каждом шаге требуется запоминать (в дополнительной структуре данных) значение k и операцию, на которой достигается максимум. Так для рассматриваемого примера выражение имеет вид: $((3+1) \cdot 5) \cdot (1+2)$ или $(3+1) \cdot (5 \cdot (1+2))$. ◀

Упражнения и задачи

4.1. Вывести формулу суммы квадратов первых n чисел Фибоначчи

$$f_1^2 + f_2^2 + \dots + f_n^2 = f_n f_{n+1}.$$

4.2. Решить рекуррентные уравнения:

а) $u_0 = 1, u_1 = 8, u_n = u_{n-1} + 6u_{n-2}$;

б) $u_0 = 2, u_1 = 5, u_n = 7u_{n-1} - 12u_{n-2}$;

в) $u_0 = 4, u_1 = 5, u_n = 5u_{n-1} - 6u_{n-2} + 6 \cdot 3^n$;

г) $u_1 = 1, u_n = u_{n-1} + n$.

4.3. *Уплата денег* [6]. Определить схему подсчета количества способов, которыми можно уплатить N рублей купюрами различного достоинства n_1, n_2, \dots, n_m рублей, беря не более одной купюры каждого достоинства.

4.4. Показать, что

$$f_n = C_{n+1}^0 + C_n^1 + C_{n-1}^2 + \dots + C_{n-p+1}^p,$$

где $p = \left\lfloor \frac{n+1}{2} \right\rfloor$.

4.5. *Очередь* [6]. У кассы кинотеатра стоит очередь из $m+k$ человек, причем m человек имеют купюры достоинством 100 рублей, а k — достоинством 50 рублей. Билет в кино стоит 50 рублей, и в начале продажи касса пуста. Сколькими способами могут располагаться в очереди люди с сотнями и 50-рублевками так, что очередь пройдет без задержки, т. е. никому не придется ждать сдачи?

4.6. Дано множество из n объектов, находящихся в определенном порядке. Разобьем это множество на два непустых подмножества так, что первое подмножество состоит из элементов, например, от 1 до m , а второе — от $m+1$ до n . Продолжим процесс разбиения каждого из подмножеств до тех пор, пока не получим подмножества, состоящие из одного элемента. Сколько существует таких процессов разбиения? Два процесса считаются различными, если хотя бы на одном шаге разбиения они приводят к разным результатам.

4.7. Произведение чисел можно вычислить несколькими способами. Например, произведение трех чисел вычисляется двумя способами: $(ab)c = a(bc)$. Дано n чисел a_1, a_2, \dots, a_n , записанных в определенном порядке. Найти количество способов перемножения этих чисел.

4.8. Найти количество способов деления n чисел, записанных в определенном порядке.

4.9. Номера билетов называют «счастливыми», если сумма цифр, стоящих на четных местах, равна сумме цифр, стоящих на нечетных местах. Найти число счастливых билетов с шестизначными номерами (от 000000 до 999999).

4.10. *Рыцари* [6]. Сколькими способами можно рассадить за круглым столом 6 пар враждующих рыцарей, так чтобы никакие два врага не сидели рядом? Из каждой возможной рассадки рыцарей получается еще 11 путем пересаживания по кругу. Такие способы рассадки считать идентичными.

4.11. Используя производящие функции, решить следующие рекуррентные уравнения:

а) $u_0 = 1, u_1 = 4, u_n = u_{n-1} + 6u_{n-2};$

б) $u_0 = 1, u_n = 3u_{n-1} + 4^n;$

в) $u_0 = 3, u_n = 2u_{n-1} + n.$

4.12. В урне 4 красных, 6 зеленых, 7 синих и 2 белых шара. Сколько существует способов выбора 10 шаров из урны, если один выбранный шар красный, количество зеленых шаров — четное, количество синих шаров нечетное?

4.13. Сколько существует способов выбора 12 объектов из объектов пяти типов, если выбирается не более двух объектов каждого из первых трех типов и неограниченное количество объектов последних двух типов?

4.14. Сколько существует способов выбора 20 объектов из множества объектов пяти типов, если количество выбранных объектов первого типа кратно пяти, количество выбранных объектов второго типа кратно 3, объектов третьего типа выбирается не более четырех, объектов четвертого типа — не менее трех и объектов пятого типа — не более двух?

4.15. Найти производящую функцию, с помощью которой можно подсчитать количество способов разбиения числа n на различные четные числа.

4.16. Найти ладейные полиномы для досок, изображенных на рис. 4.7.

4.17. Для досок на рис. 4.8, где заштрихованные клетки означают запрещенные позиции, найти количество допустимых размещений не бьющих друг друга ладей.

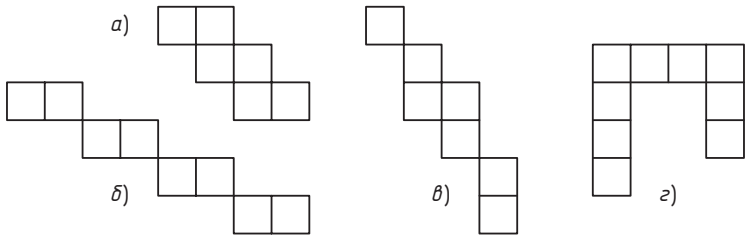


Рис. 4.7. Примеры досок для подсчета ладейных полиномов

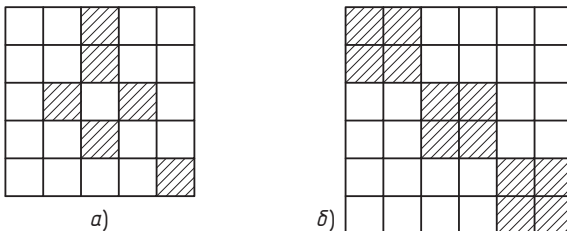


Рис. 4.8. Примеры досок с запрещенными позициями

4.18. Подсчитать количество разбиений выпуклого $(n + 3)$ -угольника ($n \geq 0$) на треугольники диагоналями, не пересекающимися внутри многоугольника.

4.19. Треугольник. На рис. 4.9 изображен пример треугольника из чисел. Разработать алгоритм определения наибольшего значения суммы чисел, расположенных на пути от верхней точки треугольника до основания треугольника, если каждый шаг пути — это перемещение на одну строку вниз по диагонали влево или вправо. Треугольник составлен из целых чисел от 0 до 99, и число строк в нем больше 1 и меньше 100.

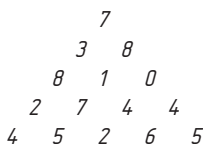


Рис. 4.9. Треугольник из чисел

4.20. Степень числа. Даны два натуральных числа n и k . Разработать алгоритм, вычисляющий k^n за минимальное количество операций. Разрешается использовать умножение и возведение в степень, круглые скобки и переменную с именем k . Умножение считается одной операцией. Возведению k в степень q соответствует $q - 1$ операций.

Пример. При $n = 5$ требуется три операции: $k^5 = (k \cdot k)^2 \cdot k$.

4.21. Алгоритм Худельмана—Вунша (из молекулярной биологии). Молекулы ДНК содержат генетическую информацию. Моделью ДНК можно считать длинное слово, составленное из четырех букв (А, Г, Ц, Т). Даны два слова длины m и n , моделирующие ДНК. Разработать алгоритм поиска подпоследовательности букв наибольшей длины, входящей одновременно и в то, и в другое слово (буквы подпоследовательности не обязательно расположены в слове рядом).

Пример. Для слов ГЦАТАГГТЦ и АГЦААТГГТ наибольшая общая подпоследовательность ГЦАТГГТ.

4.22. Заданы две символьные строки s_1 и s_2 , не содержащие пробелов. Составить алгоритм, определяющий, сколькими способами можно получить строку s_2 из строки s_1 , вычеркивая некоторые символы.

Пример. Если строки s_1 и s_2 имеют вид «СамаринаИрина» и «Сара» соответственно, то ответ задачи 7. Для строк «aaabbbbccc» и «abc» это число равно 36.

4.23. Палиндром — это симметричная строка, т. е. она одинаково читается как слева направо, так и справа налево. Составить алгоритм, по заданной строке определяющий минимальное количество символов, которые необходимо вставить в строку для образования палиндрома.

Пример. Вставкой двух символов строка «Ab3bd» может быть преобразована в палиндром («dAb3bAd» или «Adb3bdA»), а вставкой менее двух символов палиндром в этом примере получить нельзя.

4.24. Дан двумерный массив $A[1..n, 1..m]$, элементы которого равны 0 или 1. Составить алгоритм поиска максимальной площади прямоугольного блока (количество элементов массива), состоящего из одних нулей. Под блоком понимаются элементы идущих подряд строк и столбцов массива.

4.25. Дан двумерный массив $A[1..n, 1..m]$, элементами которого являются целые числа по модулю, не превышающему значения q (q выбрано таким образом, что сумма элементов массива не превышает максимальное значение типа *Integer*). Составить алгоритм поиска прямоугольных блоков (частей массива) размером $k \times t$ ($0 < k < n$, $0 < t < m$) таких, что сумма элементов блока равна заданному значению s .

4.26. Разработать алгоритм, решающий следующую задачу. Дана последовательность целых чисел. Требуется расставить операции «+», «×» и скобки так, чтобы результат вычисления выражения был максимальным.

4.27. Разработать алгоритм, решающий следующую задачу. Выпуклый n -угольник задан координатами своих вершин. Требуется выбрать способ проведения $n - 2$ непересекающихся диагоналей, разбивающих n -угольник на треугольники (см. задачу 4.18 о триангуляции многоугольника) так, чтобы сумма длин диагоналей была минимальна.

Комментарии

Глава начинается с простых примеров, их можно встретить в книгах [6, 7, 8]. Числа Фибоначчи и Каталана рассмотрены с «привязкой» к конкретным алгоритмам. При написании параграфа о производящих функциях в основном использовались книги [1, 17]. Ладейные полиномы рассмотрены в [13]. Материал для последнего параграфа об аддитивности задач или динамическом программировании взят в синтезированном виде из [20].

ГЛАВА 5

ПОНЯТИЕ ГРАФА, ОСНОВНЫЕ МЕТОДЫ ПРОСМОТРА ВЕРШИН ГРАФА

5.1. Терминология

Граф $G = (V, E)$ состоит из двух конечных множеств — множества вершин V и множества ребер E . При этом ребро обозначается парой вершин, которые оно соединяет. Ребра могут быть ориентированными (их называют в этом случае *дугами*) или неориентированными и составлять, соответственно, *ориентированный граф (орграф)* или *неориентированный граф*. Граф называется *помеченным* (или пронумерованным), если его вершинам приписаны различные метки. Обычно в качестве меток используются целые положительные числа в интервале от 1 до n , где n равно количеству вершин графа $|V|$. Количество ребер будем обозначать символом m , $m = |E|$. На рис. 5.1 дан пример непомеченного, неориентированного графа (точки пересечения ребер не являются вершинами графа), а на рис. 5.2 — помеченного и ориентированного. В этой книге графы с *петлями* (случай, когда вершина соединяется ребром сама с собой) и графы, в которых есть несколько ребер между парой вершин (случай *мультиграфа*), не рассматриваются. На рис. 5.3 приведен пример мультиграфа с петлями.

Вершины, соединенные ребром, называются *смежными*. Ребра, имеющие общую вершину, также называются смежными. Ребро и

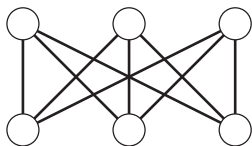


Рис. 5.1. Пример непомеченного неориентированного графа

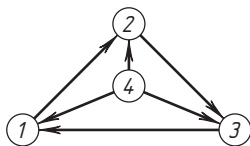


Рис. 5.2. Пример помеченного ориентированного графа

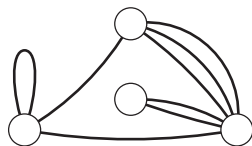


Рис. 5.3. Пример непомеченного мультиграфа с петлями

любая из его двух вершин называются *инцидентными*. Ребро (i, j) инцидентно вершинам i и j . Каждый граф можно представить на плоскости множеством точек, соответствующих вершинам, которые соединены линиями, соответствующими ребрам. В трехмерном пространстве любой граф можно представить таким образом, что линии (ребра) не будут пересекаться.

5.2. Способы представления графа

При решении задач используются следующие четыре основных способа описания графа: *матрица смежности, матрица инциденций, списки связей и перечень ребер*. Выбор соответствующей структуры данных для представления графа имеет принципиальное значение при разработке эффективных алгоритмов. Предполагается, что все вершины графа пронумерованы. На рис. 5.4 приведен пример графа и четыре способа его представления в памяти компьютера.

Матрица смежности A — это двумерный массив размера $n \times n$.

$$A[i, j] = \begin{cases} 1, & \text{если вершины с номерами } i \text{ и } j \text{ смежны,} \\ 0, & \text{если вершины с номерами } i \text{ и } j \text{ не смежны.} \end{cases}$$

Для задания матрицы инциденций необходимо пометить как вершины, так и ребра графа. На рис. 5.4 разметка ребер не приведена. Подразумевается, что ребро $(1, 2)$ имеет метку 1, ребро $(1, 3)$ — метку 2 и т. д. Матрица инциденций B — это двумерный массив размерности $n \times t$. Для неориентированного графа

$$B[i, j] = \begin{cases} 1, & \text{если ребро } j \text{ инцидентно вершине с номером } i, \\ 0, & \text{если ребро } j \text{ не инцидентно вершине с номером } i. \end{cases}$$

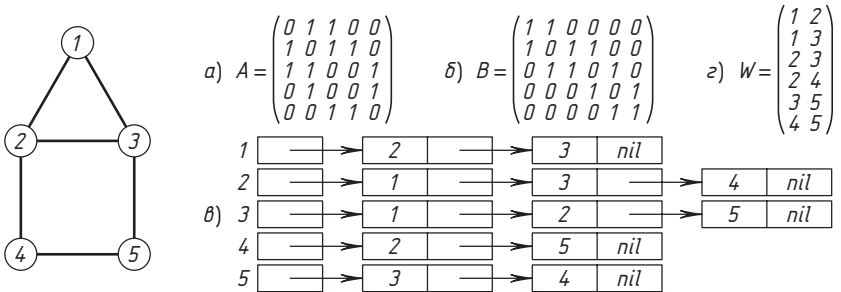


Рис. 5.4. Пример графа и 4 способа его описания: а) матрица смежности; б) матрица инциденций; в) списки связей; г) перечень ребер

Матрица инцидентий ориентированного графа определяется несколько иначе.

$$B[i, j] = \begin{cases} 1, & \text{если вершина с номером } i \text{ является начальной} \\ & \text{вершиной дуги с номером } j, \\ -1, & \text{если вершина с номером } i \text{ является конечной} \\ & \text{вершиной дуги с номером } j, \\ 0, & \text{если вершина с номером } i \text{ не связана с дугой } j. \end{cases}$$

При определении списка связей создается одномерный массив, тип элементов которого есть указатель. Далее, для каждой вершины формируется линейный (обычно однонаправленный) список. Элемент списка содержит информационную часть — в минимальном объеме это номер вершины, с которой связана данная вершина (чей список рассматривается) и адрес связи к следующему элементу списка (последний элемент списка имеет в качестве адреса связи предопределенную константу, равную *nil* — пустой адрес связи).

Перечень ребер W — это двумерный массив размерности $m \times 2$. Каждое ребро описывается строкой массива, в которой указаны номера инцидентных ему вершин. Ребра описываются в массиве в произвольном порядке. На рис. 5.4, z вершина с меньшим номером указана в каждой строке первой и ребра отсортированы по номеру первой вершины.

Связь между помеченными и непомеченными графами

Граф G называется *полным* (будем обозначать как K_n), если любые две его вершины смежны. Число ребер в полном графе равно

$$C_n^2 = \frac{n(n-1)}{2}.$$

Количество помеченных графов с фиксированным множеством вершин V , $|V| = n$, равно количеству подмножеств множества ребер полного графа, т. е. $2^{C_n^2}$. На рис. 5.5 показано, как из одного непомеченного графа получаются три разных помеченных графа. Количество непомеченных графов с n вершинами определить достаточно сложно. Обычно используют интуитивно ясную асимптотическую оценку $\frac{2^{C_n^2}}{n!}$, известную как формула

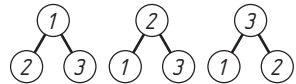


Рис. 5.5. Примеры помеченных графов

Пойи. Другими словами, количество непомеченных графов с n вершинами приблизительно в $n!$ раз меньше количества помеченных.

5.3. Поиск в глубину

Поиск начинается с некоторой фиксированной вершины v . Рассматривается вершина u , смежная с v . Она выбирается. Процесс повторяется с вершиной u . Если на очередном шаге мы работаем с вершиной q и нет вершин, смежных с q и не рассмотренных ранее (новых), то возвращаемся из вершины q к вершине, которая была до нее. В том случае, когда это вершина v и все смежные с ней вершины уже пройдены, процесс просмотра закончен. Очевидно, что для фиксации признака, просмотрена вершина графа или нет, требуется структура данных типа *Nnew: Array[1..n] Of Boolean*.

Пример 5.1. Пусть дан граф, приведенный на рис. 5.6, и он описан матрицей смежности A . Поиск начинается с первой вершины, помечаем ее как просмотренную ($Nnew[1] := False$). Находим первую смежную не просмотренную вершину. Это вершина с номером 4. Помечаем ее и продолжаем поиск из четвертой вершины. Переходим к вершине с номером 6, затем 2 и 3. Из вершины с номером 3 продолжить процесс просмотра нельзя — мы не находим непросмотренных вершин. Осуществляется возврат к вершине с номером 2, и из нее продолжается поиск не просмотренных ранее вершин. Переходим к вершине с номером 5, затем 7. После чего осуществляется возврат к вершине 5, затем 2, 6, 4 и 1. Мы вернулись к той вершине, с которой начали просмотр, — обработка по методу поиска в глубину завершена. ◀

Обратите внимание на следующий факт. В процессе просмотра в глубину осуществлялся переход от вершины к вершине по ребрам (1, 4), (4, 6), (6, 2), (2, 3), (2, 5), (5, 7), всего $n - 1$ ребер. Ребра (1, 5), (2, 7), (6, 7) не использовались в просмотре вершин графа при поиске в глубину. Ребра, связывающие текущую вершину графа при просмотре (в глубину, в ширину) с ранее просмотренными, назовем *обратными*.

Приведем рекурсивную логику процедуры поиска в глубину из вершины v .

```

Procedure Pg(v:Integer); {Массивы Nnew и A гло-
бальные}
  Var j:Integer;
  Begin
    Nnew[v]:=False; Write(v:3);
    For j:=1 To n Do
      If (A[v,j]<>0) And Nnew[j] Then Pg(j);
  End;
```

Фрагмент основной логики:

```

For i:=1 To n Do
  Nnew[i]:=True;
For i:=1 To n Do
  If Nnew[i] Then Pg(i);

```

В силу важности данного алгоритма рассмотрим его нерекурсивную реализацию. Глобальные структуры данных прежние: A — матрица смежностей; $Nnew$ — массив признаков. Номера просмотренных вершин графа запоминаются в стеке St , указатель стека — переменная yk .

```

Procedure Pgn(v:Integer);
  Var St:Array[1..n] Of Integer;
      yk, t, j:Integer;
      pp:Boolean;
Begin
  For j:=1 To n Do St[j]:=0;
  yk:=0; Inc(yk); St[yk]:=v; Nnew[v]:=False;
  While yk<>0 Do Begin {Пока стек не пуст}
    t:=St[yk]; {Выбор «самой верхней» вершины
                из стека}
    j:=1; pp:=False;
    Repeat
      If (A[t,j]<>0) And Nnew[j] Then pp:=True
      Else Inc(j);
    Until pp Or (j>=n); {Найдена новая вершина
                        или все вершины, связанные с данной вершиной,
                        просмотрены}
    If pp Then Begin
      Inc(yk);
      St[yk]:=j; {Добавляем номер вершины в
                  стек}
      Nnew[j]:=False;
      End
    Else Dec(yk); {«Убираем» номер вершины из
                  стека}
  End;
End;

```

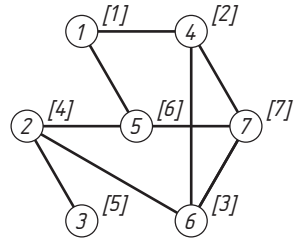


Рис. 5.6. Пример обхода вершин графа методом в глубину. Вершины графа просматриваются в очередности: 1, 4, 6, 2, 3, 5, 7. Порядок просмотра приводится в квадратных скобках

5.4. Поиск в ширину

Суть (в сжатой формулировке) заключается в том, чтобы рассмотреть все вершины, связанные с текущей. Начинаем с произвольной вершины, помечаем ее как просмотренную. Находим все вершины, связанные с ней, помечаем их и запоминаем. Множество всех вершин графа в данный момент разбито (условно) на три подмножества: подмножество просмотренных и обработанных вершин (оно состоит из одной вершины); подмножество помеченных, но не обработанных вершин (оно состоит из всех вершин, смежных с обработанной), и подмножество непомеченных и необработанных вершин. Из второго подмножества выбирается для обработки первая запомненная вершина. Она естественно переходит в первое подмножество и с ней проделываются те же действия — находятся смежные и непомеченные вершины (из третьего подмножества), которые «переводятся» в разряд помеченных и необработанных — второе подмножество. Процесс обработки заканчивается в том случае, когда второе под-

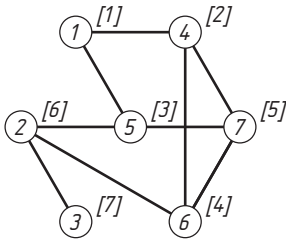


Рис. 5.7. Пример обхода вершин графа методом в ширину. Вершины графа просматриваются в очередности: 1, 4, 5, 6, 7, 2, 3. Порядок просмотра приводится в квадратных скобках

множество оказывается пустым — нет помеченных и необработанных вершин. Для реализации данного принципа обработки требуется структура данных для хранения вершин из второго подмножества. Этой структурой данных является очередь, ибо на очередную обработку выбирается первая, помеченная ранее, вершина.

Пример 5.2. На рис. 5.7 приведен тот же граф, что и на рис. 5.6. Просмотр вершин начинается с первой вершины. Очередность просмотра вершин другая, чем при просмотре методом поиска в глубину. В процессе просмотра в ширину осуществляется переход от вершины к вершине по ребрам (1, 4), (1, 5), (4, 6), (4, 7), (5, 2) и (2, 3), всего $n - 1$ ребер. Ребра (2, 6), (5, 7) и (6, 7) не задействованы в просмотре. ◀

Приведем логику реализации данного метода:

```

Procedure Pw(v:Integer);
  Var Turn:Array[1..n] Of 0..n; {Очередь}
      up,down:Integer; {Указатели очереди, up — запись, down — чтение}
      j:Integer;

```

```

Begin
  For j:=1 To n Do Turn[j]:=0;
  down:=0; {Начальная инициализация}
  up:=0; Inc(up);
  Turn[up]:=v; {В очередь записываем вершину с
                номером v}
  Nnew[v]:=False;
  While down<up Do Begin {Пока очередь не пуста}
    Inc(down); {«Берем» элемент из очереди}
    v:=Turn[down];
    For j:=1 To n Do {Просмотр всех вершин, свя-
                      занных с вершиной v}
      If (A[v,j]<>0) And Nnew[j] Then Begin
        {Если вершина ранее не просмотрена, то
         заносим ее номер в очередь}
        Inc(up); Turn[up]:=j; Nnew[j]:=False;
      End;
    End;
  End;
End;

```

5.5. Основные понятия

Подграф

Граф H называется *подграфом* графа G , если все его вершины и ребра принадлежат графу G . *Остовный подграф* — это подграф графа G , содержащий все его вершины. *Клика* графа — это его максимальный полный подграф. На рис. 5.9, б граф состоит из двух клик.

Изоморфные графы

Два графа G и H *изоморфны* ($G \cong H$), если между их множествами вершин можно установить взаимно однозначное соответствие, при котором сохраняется отношение смежности. Другими словами, если вершины $v_i, v_j \in G$ и они смежные, то соответствующие им вершины $u_i, u_j \in H$ также смежные, и наоборот. Графы на рис. 5.1, 5.8 и 5.9, а изоморфны между собой.

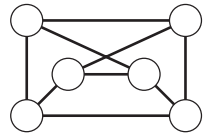


Рис. 5.8. Пример графа, изоморфного графу на рис. 5.1

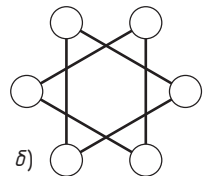
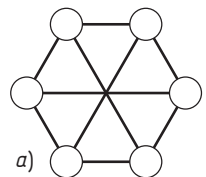


Рис. 5.9. Граф и его дополнение

Гипотеза реконструируемости Келли—Улама

Рассмотрим подграфы, получаемые в результате удаления одной из вершин графа. Пусть $v \in V$. Подграф $G_v = G - v$ получается в результате удаления вершины v и всех инцидентных ей ребер. На рис. 5.10 показан граф, полученный в результате удаления одной из вершин в графе на рис. 5.9, а. Пусть G — граф, помеченный числами $1, 2, \dots, n$, $|V| = n$ и $G_i = G - i$, $i = 1, 2, \dots, n$. Назовем множество подграфов $P(G) = \{G_1, G_2, \dots, G_n\}$ колодой графа G . Предположим, что есть граф H порядка n . Если существует такая нумерация вершин графа H , при которой $G_i \cong H_i$ для всех i от 1 до n , то колоды $P(G)$ и $P(H)$ называются равными. Граф H называется *реконструкцией* графа G , если $P(G) = P(H)$. Граф G называется *реконструируемым*, если он изоморфен каждой своей реконструкции.

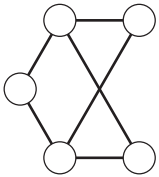


Рис. 5.10. Граф, получаемый в результате удаления из графа на рис. 5.9, а одной вершины

Гипотеза реконструируемости (П. Келли, С. Улам, 1945 г.). Все графы порядка $n > 2$ реконструируемы.

Подтверждена реконструируемость графов для $3 \leq n \leq 10$, однако истинность или ложность гипотезы в общем случае остается открытой.

Дополнение \tilde{G} графа $G = (V, E)$ — это граф с множеством вершин V , две вершины которого смежны тогда и только тогда, когда они не смежны в G . На рис. 5.9, а показан граф G , а на рис. 5.9, б — его дополнение \tilde{G} .

Степенью вершины графа G называется число инцидентных ей ребер и обозначается d_i или $\deg i$. Максимальная и минимальная степени вершин графа G обозначаются символами $\Delta(G)$ и $\delta(G)$ соответственно. Вершина степени 0 называется *изолированной*, а степени 1 — *концевой*, или *висячей*. Ребро, инцидентное концевой вершине, также определяют как *концевое*, или *висячее*. Граф с $\Delta(G) = \delta(G) = t$ (некоторое постоянное число) называют *регулярным* (или *однородным*).

Теорема о сумме степеней вершин графа

Эйлер доказал следующую теорему (исторически первая теорема теории графов).

Теорема (лемма о рукопожатиях). Сумма степеней всех вершин графа — четное число, равное удвоенному числу ребер: $\sum_{i=1}^n d_i = 2m$.

Доказательство теоремы очевидно, ибо каждое ребро вносит двойку в значение суммы.

Следствие теоремы. В любом графе число вершин нечетной степени четно.

Утверждение Рамсея. На рис. 5.9 изображен граф с шестью вершинами и его дополнение.

Утверждение Рамсея заключается в том, что в любом графе G с шестью вершинами найдутся либо три попарно смежные, либо три попарно несмежные вершины. Другими словами, либо граф G с шестью вершинами, либо его дополнение \bar{G} содержит треугольник (полный подграф K_3). Обобщением утверждения Рамсея является вопрос о существовании наименьшего целого числа $r(m, n)$, такого, что любой граф с $r(m, n)$ вершинами содержит полный подграф K_m , или его дополнение содержит полный подграф K_n . Числа $r(m, n)$ называются *числами Рамсея*. Проблема, связанная с нахождением чисел Рамсея, в общем случае не решена, хотя известна оценка сверху $r(m, n) \leq C_{m+n-2}^{m-1}$. Все известные числа Рамсея приведены в табл. 5.1 [27].

Таблица 5.1

$m \backslash n$	2	3	4	5	6	7
2	2	3	4	5	6	7
3	3	6	9	14	18	23
4	4	9	18			

Бинарные операции над графами

Пусть есть два графа $G_1 = (V_1, E_1)$ и $G_2 = (V_2, E_2)$.

Объединением $G_1 \cup G_2$ называется граф G , множество вершин которого есть $V_1 \cup V_2$, а множество ребер — $E_1 \cup E_2$. Операция объединения иллюстрируются на рис. 5.11.

Соединением $G_1 + G_2$ состоит из $G_1 \cup G_2$ и всех ребер, соединяющих вершины из V_1 и V_2 . Пример операции соединения приведен на рис. 5.12.

Произведением $G_1 \times G_2$ называется граф G , множество вершин которого есть декартово произведение множеств вершин исходных графов $V = V_1 \times V_2$, а множество ребер определяется следующим образом: вершины $u = (u_1, u_2)$ и $v = (v_1, v_2)$ смежны в G тогда и только тогда, когда $u_1 = v_1$ и u_2 смежна v_2 или $u_2 = v_2$ и u_1 смежна v_1 . Пример операции произведения приведен на рис. 5.13.

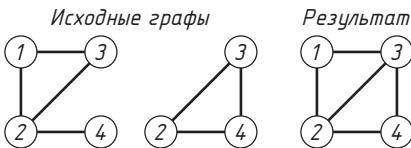


Рис. 5.11. Пример операции объединения графов

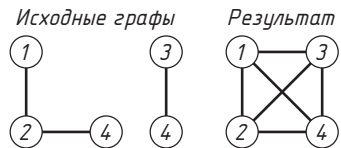


Рис. 5.12. Пример операции соединения графов

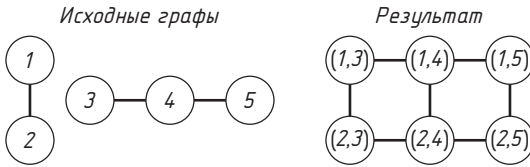


Рис. 5.13. Пример операции произведения графов

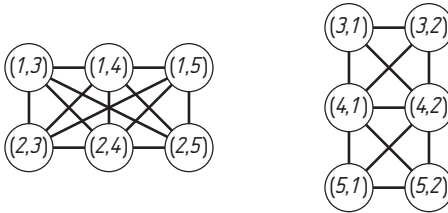


Рис. 5.14. Примеры композиций графов

Композиция $G_1[G_2]$ определяется как граф G , имеющий множество вершин $V = V_1 \times V_2$, и вершина $u = (u_1, u_2)$ смежна $v = (v_1, v_2)$ тогда и только тогда, когда u_1 смежна v_1 или $u_1 = v_1$ и u_2 смежна v_2 . Очевидно, что $G_1[G_2] \neq G_2[G_1]$. На рис. 5.14 приведены композиции $G_1[G_2]$ и $G_2[G_1]$ для исходных графов рис. 5.13.

Цепи, циклы

Чередующаяся последовательность $v_1, e_1, v_2, e_2, \dots, e_l, v_{l+1}$ вершин и ребер неориентированного графа, такая, что $e_i = (v_i, v_{i+1})$ ($i = 1, \dots, l$), называется *маршрутом*, соединяющим вершины v_1 и v_{l+1} .

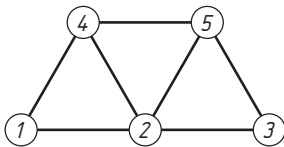


Рис. 5.15. Пример графа для иллюстрации понятий: маршрут, цепь, простая цепь, цикл, простой цикл

Маршрут можно задать как последовательностью его вершин v_1, v_2, \dots, v_{l+1} , так и последовательностью его ребер e_1, e_2, \dots, e_l . Маршрут определяют как *цепь*, если все его ребра различны, и как *простую цепь*, если все его вершины, кроме, возможно, крайних, различны. Если $v_1 = v_{l+1}$, то маршрут называется *циклическим*. Циклическая цепь определяется как *цикл*, а простая циклическая цепь — как *простой цикл*.

Аналогичные определения могут быть введены и для ориентированных графов. На рис. 5.15 приведен пример графа. Маршрут $(1, 4, 2, 4, 5)$ не является цепью. Цепь $(1, 2, 5, 4, 2, 3)$ не является простой цепью, а $(1, 2, 4, 5, 3)$ — простая цепь. Цепь $(1, 4, 2, 5, 3, 2, 1)$ есть цикл, а $(1, 4, 5, 3, 2, 1)$ — простой цикл.

Справедливы следующие утверждения.

1. При $u \neq v$ всякий (u, v) -маршрут содержит простую (u, v) -цепь.

Действительно, при $u \neq v$ из маршрута можно удалить часть ребер так, что получится простая цепь, т. е. цепь, в которой все вершины различны. Аналогичным образом обосновывается и следующее утверждение.

2. Всякий цикл содержит простой цикл.

3. Объединение двух несовпадающих простых (u, v) -цепей содержит простой цикл.

Действительно, пусть есть две простые цепи $T = (t_1, t_2, \dots, t_n)$, $R = (r_1, r_2, \dots, r_m)$, не совпадающие полностью, $t_1 = r_1 = u$ и $t_n = r_m = v$. Из этого следует существование двух вершин в цепях (если «идти» от u), в которых цепи не совпадают. Обозначим их как t_i и r_j . Кроме того, после этих вершин в цепях есть вершины t_l и r_k , в которых эти цепи вновь совпадают. Это может оказаться и последняя вершина v . Объединение двух фрагментов цепей (t_{i-1}, \dots, t_l) и (r_{j-1}, \dots, r_k) в единое целое дает простой цикл, ибо повторяющихся вершин в нем не может быть по построению.

4. Если A и B — два несовпадающих простых цикла, имеющих общее ребро q , то граф $(A \cup B) - q$ содержит простой цикл.

Удаление из циклов A и B ребра q приводит к тому, что они становятся простыми цепями. Из предыдущего утверждения следует, что в объединении двух простых несовпадающих цепей содержится простой цикл.

Связность

Граф G называется *связным*, если любая пара его вершин соединена простой цепью. Максимальный связный подграф графа G называется *компонентой связности*, или просто компонентой графа G .

Справедливы следующие утверждения.

1. Для связности графа необходимо и достаточно, чтобы в нем для некоторой фиксированной вершины u и всякой вершины $v \neq u$ существовал (u, v) -маршрут.

Утверждение очевидное и следует из определения связности.

2. Каждый граф представляется в виде объединения своих связных компонент. Разложение графа на связные компоненты определяется однозначно.

Введем следующее отношение эквивалентности на множестве вершин графа G . Две вершины u и v считаются эквивалентными, если между ними в графе существует маршрут. Мы получаем разбиение множества вершин $V = \bigcup_i V_i$. Одному элементу разбиения при-

надлежат все вершины графа, связанные между собой маршрутами. Каждое V_i порождает подграф G_i , являющийся связной компонентой, и $G = \bigcup_i G_i$, т. е. является объединением этих компонент.

3. Для любого графа либо он, либо его дополнение является связным.

Предположим, что G — несвязный граф и Q — его связная компонента. Рассмотрим множество вершин $W = V \setminus Q$. Для любых двух вершин графа, таких, что $u \in Q$ и $v \in W$ в \tilde{G} (дополнение графа G), существует ребро (u, v) . Следовательно, в графе \tilde{G} любая вершина из W соединена с вершиной u маршрутом единичной длины, а произвольные две вершины из Q соединены между собой маршрутом с длиной, не превышающей значение два.

4. Пусть $G = (V, E)$ — связный граф и $q \in E$. Тогда:

а) если ребро q принадлежит какому-либо циклу графа G , то граф $G - q$ связан;

б) если ребро q не входит ни в какой цикл, то граф $G - q$ имеет ровно две компоненты.

Возьмем любое ребро графа G , принадлежащее циклу. Пусть это будет ребро (u, v) . Любой маршрут, в котором есть это ребро, может быть заменен на маршрут, не содержащий его. Другими словами, удаление ребра (u, v) из графа не нарушает его связности.

Предположим, что ребро (u, v) не принадлежит ни одному циклу графа. Удаление ребра (u, v) приводит к тому, что вершины u и v оказываются не связанными между собой, нет маршрута между ними, т. е. u и v принадлежат разным компонентам связности графа $G - (u, v)$, тем самым граф разбит на две компоненты G_u и G_v . Взяв произвольную вершину t в графе G , мы имеем, в силу его связности, два маршрута (t, u) и (t, v) . Если ребро (u, v) принадлежит первому маршруту, то $t \in G_u$, иначе $t \in G_v$.

Метрические характеристики связного графа

Длина маршрута v_1, v_2, \dots, v_{l+1} равна l , т. е. количеству ребер в нем. При этом каждое ребро учитывается столько раз, сколько оно встречается в маршруте. Расстояние $d(u, v)$ между двумя вершинами графа G определяется как длина кратчайшей простой цепи, соединяющей вершины u и v . В связном графе расстояние является метрикой, т. е. удовлетворяет метрическим аксиомам (u, v и w — любые три вершины связного графа G):

1) $d(u, v) \geq 0$ и $d(u, v) = 0$ тогда и только тогда, когда $u = v$;

- 2) $d(u, v) = d(v, u)$;
- 3) $d(u, v) + d(v, w) \geq d(u, w)$.

Для каждой вершины u графа можно определить величину $e(u) = \max_{v \in V} d(u, v)$, которая называется *эксцентриситетом* вершины u .

Диаметр связного графа G — это максимальное значение эксцентриситета, $d(G) = \max_{u \in V} e(u)$. *Радиус* связного графа G — это значение

минимального эксцентриситета, $r(G) = \min_{u \in V} e(u) = \min_{u \in V} \max_{v \in V} d(u, v)$.

Вершина v называется *центральной*, если $e(v) = r(G)$. В графе может быть как одна центральная вершина, так и несколько. *Центр* графа G — это множество всех его центральных вершин.

Двудольный граф

Граф $G = (V, E)$ называется *двудольным*, если множество его вершин V можно разбить на два подмножества V_1 и V_2 , таких, что каждое ребро из E соединяет вершины из разных подмножеств.

Пример 5.3. Граф на рис. 5.1 является двудольным. ◀

Теорема (Д. Кёниг, 1936 г.). *Для двудольности графа необходимо и достаточно, чтобы он не содержал простых циклов нечетной длины.*

Теорема Денеша Кёнига подсказывает простой способ определения того, является ли произвольный связный граф G двудольным. Обратимся к поиску в ширину и рис. 5.7. Припишем вершинам графа условные номера по следующему принципу (рис. 5.16). Вершина с номером 1 имеет условный номер 0. Вершинам с номерами 4 и 5 припишем условный номер 1. Вершинам с номерами 6, 7, 2 — условный номер 2 и вершине с номером 3 — условный номер 3. Далее разбиваем все множество вершин графа G на два подмножества V_1 и V_2 . К V_1 относятся вершины с четным значением условного номера, к V_2 — с нечетным значением. Если оба подграфа $G(V_1)$ и $G(V_2)$ пусты (т. е. отсутствуют ребра, соединяющие две вершины из V_i), то граф двудольный. Для проверки последнего утверждения достаточно определить наличие смежных вершин в подграфах.

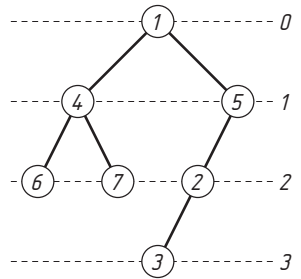


Рис. 5.16. Часть графа, показанного на рис. 5.7. Используются только ребра, задействованные при поиске в ширину

Упражнения и задачи

5.1. Нарисуйте неориентированный граф, имеющий следующие ребра: (1, 2), (1, 3), (1, 4), (1, 5), (2, 3), (2, 4), (2, 5), (3, 4), (3, 5), (4, 5).

Примечание. Полученный граф имеет специальное обозначение K_5 и играет важную роль при исследовании вопроса планарности графа — допускает ли граф планарную укладку. Другими словами, можно ли нарисовать заданный граф на плоскости так, чтобы его ребра не имели точек пересечения. На рис. 5.1 приведен другой граф, имеющий специальное обозначение $K_{3,3}$ и также имеющий отношение к проблеме планарности.

5.2. Опишите граф, представленный на рис. 5.1, четырьмя способами. Выявите особенность матрицы смежности, если вершинам в верхнем ряду приписаны номера 1, 2, 3, а в нижнем — 4, 5, 6.

5.3. На рис. 5.2 приведен ориентированный граф. Опишите его с помощью всех рассмотренных способов представления графа в памяти компьютера.

5.4. Преобразуйте граф на рис. 5.2 в неориентированный и опишите его. Выявите особенность матрицы смежности.

5.5. Какие способы описания допустимы для мультиграфов?

5.6. Чем отличается матрица смежности графа с петлями от матрицы смежности графа без петель?

5.7. Выпишите три матрицы смежности для помеченных графов на рис. 5.5. Можно ли путем перестановки строк и столбцов из одной матрицы получить другие?

5.8. Найдите все помеченные графы при $n = 4$.

5.9. Опишите четырьмя способами неориентированный граф на рис. 5.17. Он имеет специальное имя — граф Петерсена. Обратите внимание на то, что в зависимости от нумерации вершин вид представлений графа в памяти компьютера будет различным.

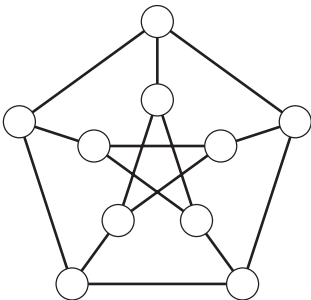


Рис. 5.17. Граф Петерсена

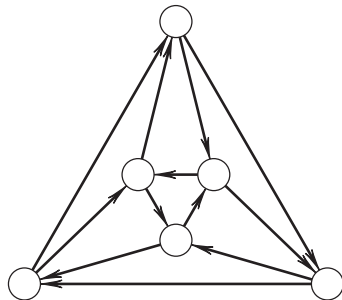


Рис. 5.18. Пример ориентированного графа

5.10. Опишите четырьмя способами ориентированный граф, представленный на рис. 5.18.

5.11. Клетки поля пронумерованы так, как показано на рис. 5.19. Считая клетку поля вершиной графа, нарисовать соответствующий граф и описать его четырьмя способами.

1	2	3	4
5	6	7	8
9	10	11	12
13	14	15	16

Рис. 5.19. Пример клеточного поля

Вершины графа являются смежными, если клетки, которым они соответствуют, соседние по горизонтали или по вертикали (но не по диагонали).

5.12. Разработать программы ввода описаний графа для каждого из четырех способов его представления в памяти компьютера.

5.13. Разработать программы преобразования одного способа описания графа в другой. Например, матрицу смежности преобразовать в списки связей. Общее количество таких программ — 12.

5.14. Как изменится очередность просмотра вершин графа, изображенного на рис. 5.6 при поиске в глубину, если из него удалить ребро (2, 5)? Просмотр по-прежнему начинается с первой вершины.

5.15. Граф описан с помощью списков связей. Разработать программы обхода вершин графа методами поиска в глубину и в ширину.

5.16. Из основной логики процедура P_g (см. п. 5.3) для графа на рис. 5.6 вызывается только один раз. Приведите примеры графов, для которых она вызывается 2 раза, 3 раза и т. д. до n раз. Дайте объяснение этому факту.

5.17. В процедуре P_g (см. п. 5.3) пропущен оператор *Write*, т. е. нет вывода номеров вершин графа в очередности их просмотра при поиске в глубину. Вставьте его так, чтобы обеспечивался вывод в требуемой очередности.

5.18. Приведите пример графа, для которого за время всего процесса поиска в ширину в очереди находится не более одного элемента.

5.19. Приведите пример графа, для которого при поиске в ширину в очередь записывается $n - 1$ элементов (n — количество вершин графа).

5.20. Из графа на рис. 5.7 убрать ребро (1, 4). Как изменится очередность просмотра вершин графа при поиске в ширину? Просмотр по-прежнему начинается с первой вершины.

5.21. В процедуре P_w (см. п. 5.4) пропущен оператор *Write*, т. е. нет вывода номеров вершин графа в очередности их просмотра при поиске в ширину. Вставьте его так, чтобы обеспечивался вывод в требуемой очередности.

5.22. При просмотре вершин графа в примерах на рис. 5.6 и рис. 5.7 для переходов использовалось $n - 1$ ребер. Приведите примеры графов, для которых данное положение не выполняется.

5.23. При просмотре вершин графа в примерах на рис. 5.6 и 5.7 не использовалось $m - n + 1$ ребер. Выпишите каждое из этих ребер вместе с ребрами, задействованными в просмотре. Так, если вы встретили ребро (5, 1) на рис. 5.6, то выписываете вместе с ним ребра (2, 5), (6, 2), (4, 6) и (1, 4). Или: на рис. 5.7 рассматривается ребро (6, 7) между помеченными вершинами. Вместе с ним выписываются ребра (4, 6) и (4, 7). Полученный в каждом случае список ребер образует цикл: переходя только по этим ребрам от вершины к вершине, мы возвращаемся к той вершине, с которой начали этот процесс. В первом случае мы получаем цикл (1, 4, 6, 2, 5, 1), во втором — (4, 6, 7, 4). Совпадает ли множество циклов в примерах на рис. 5.6 и 5.7?

5.24. На рис. 5.16 представлена часть графа с рис. 5.7. Изображены только ребра, используемые для переходов от вершины к вершине при поиске в ширину. Будем измерять расстояние от начальной вершины i до вершины j количеством ребер, использованных при поиске в ширину для перехода от вершины i к вершине j . Напомним, что обработка начинается с 1-й вершины. На первом шаге обрабатываются вершины с номерами 4 и 5, расстояние равно 1. К вершинам с номерами 6, 7, 2 мы попадаем из вершин с номерами 4 и 5. Расстояние равно 2. Справа на рис. 5.16 представлены значения расстояний. Максимальное расстояние равно трем. Изменить логику поиска в ширину так, чтобы в отдельном массиве формировались значения расстояний от вершины, с которой начат поиск, до всех остальных вершин. Существует ли возможность перейти из вершины 1 к любой другой вершине за меньшее количество шагов (с меньшим значением расстояния)?

5.25. Для графа на рис. 5.7 начните поиск в ширину с другой вершины, например с номером 3. Постройте граф, аналогичный тому, что приведен на рис. 5.16. Изменить логику поиска в ширину так, чтобы находился номер начальной вершины, такой, что максимальное расстояние от этой вершины до других вершин минимально.

5.26. Дополните логику поиска в ширину так, чтобы в отдельном массиве для каждой вершины был записан номер вершины-«родителя», той вершины, из которой мы попадаем в данную при поиске. Так, для примера на рис. 5.16 он будет иметь вид: (0, 5, 2, 1, 1, 4, 4).

5.27. Для поиска в глубину (пример на рис. 5.6) постройте граф, аналогичный графу на рис. 5.16. Определите расстояние от начальной вершины поиска до всех остальных вершин. Найдите вершину, до которой расстояние будет максимальным. Дополните логику поиска в глубину так, чтобы формировался массив расстояний.

5.28. Дополните логику поиска в глубину так, чтобы в отдельном массиве для каждой вершины был записан номер вершины-«родителя», той вершины, из которой мы попадаем в данную при поиске.

5.29. Написать программу перечисления всех подграфов заданного графа ($n \leq 6$).

5.30. Перечислить все остовные подграфы графа, изображенного на рис. 5.4.

5.31. Определить количество клик в графе на рис. 5.20.

5.32. В произвольном связном графе ($n \leq 6$) нет треугольников. Написать программу поиска клик в этом графе.

5.33. Перечислить все попарно неизоморфные графы с пятью вершинами.

5.34. На рис. 5.21 приведен один и тот же граф, но помеченный различным образом, с различными матрицами смежности. Убедитесь, что путем перестановки 2-й и 4-й строк, 2-го и 4-го столбцов (обозначим как $2 \leftrightarrow 4$), а затем $3 \leftrightarrow 5$ и $4 \leftrightarrow 5$ вторая матрица смежности преобразуется в первую. Найдите последовательность перестановок, переводящую первую матрицу смежности во вторую.

Примечание. Справедливо следующее утверждение. Графы изоморфны тогда и только тогда, когда их матрицы смежности получаются друг из друга одинаковыми перестановками строк и столбцов.

5.35. Даны два графа, описанные с помощью матриц смежности. Написать программу преобразования (путем одинаковых перестановок строк и столбцов) одной матрицы смежности в другую или установить, что это сделать нельзя.

5.36. Дан граф G , описанный или матрицей смежности, или матрицей инцидентий, или списками связей, или перечнем ребер. Написать программы, составляющие соответствующие описания для графа дополнения \tilde{G} .

5.37. Дан произвольный связный граф. Написать программу поиска максимального и минимального значений степеней его вершин.

5.38. Приведите пример связного графа ($|V| = n$), у которого одна вершина имеет степень, равную $n - 1$, а все остальные — степень, равную 1.

5.39. Приведите пример связного графа ($|V| = n$), у которого все вершины имеют степень, равную 2.

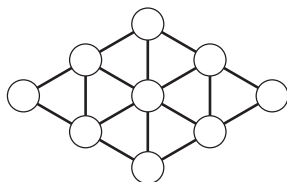


Рис. 5.20. Пример графа для поиска клик

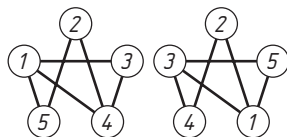


Рис. 5.21. Пример одного и того же графа, помеченного различным образом

5.40. Дан произвольный связный граф, описанный с помощью матрицы смежности. Вычислить степени всех его вершин и перенумеровать вершины графа в соответствии с убыванием значения степени. По новым меткам вершин сформировать новую матрицу смежности.

5.41. Дан произвольный связный граф. Найдите вершины v_{\max} и v_{\min} с максимальным и минимальным значениями степеней $\Delta(G)$ и $\delta(G)$. Выполните два раза поиск в глубину, начиная с вершин v_{\max} и v_{\min} . Нарисуйте подграфы по аналогии с тем, как это сделано на рис. 5.16, сравните результаты.

5.42. Дан произвольный связный граф. Найдите вершины v_{\max} и v_{\min} с максимальным и минимальным значениями степеней $\Delta(G)$ и $\delta(G)$. Выполните два раза поиск в ширину, начиная с вершин v_{\max} и v_{\min} . Нарисуйте подграфы по аналогии с тем, как это сделано на рис. 5.16, сравните результаты.

5.43. Граф называется регулярным, если степени всех его вершин равны. Граф Петерсена (рис. 5.17) является примером регулярного графа с $d=3$. Приведите примеры регулярных графов с $d=2, 3, 4$.

5.44. Написать программу проверки гипотезы Рамсея для случая $r(3, 4)$. Другими словами, следует проверить, что любой граф с девятью вершинами содержит треугольник или его дополнение содержит полный подграф с четырьмя вершинами.

5.45. Даны два графа G_1 и G_2 , представленные в памяти матрицами смежности. Написать программы формирования матрицы смежности для графа, получаемого в результате выполнения операций: объединения, соединения, произведения и композиции.

5.46. Выполнить задание 5.45 в том случае, когда для представления графов использованы списки связей.

5.47. Приведите пример графа. Для заданных вершин u и v найдите все цепи, простые цепи, их связывающие.

5.48. Приведите пример графа. Для заданной вершины u постройте цикл, простой цикл (если они существуют), ее содержащий.

Указание. Используйте поиск в ширину или поиск в глубину.

5.49. Для произвольного графа G написать программы вычисления его диаметра (рассмотреть различные способы описания графа).

5.50. Для произвольного графа G написать программы вычисления его радиуса (рассмотреть различные способы описания графа).

5.51. Для произвольного графа G написать программы вычисления его центра (рассмотреть различные способы описания графа).

5.52. Приведите пример графа, у которого значения диаметра и радиуса совпадают.

5.53. Постройте граф, центр которого:

а) состоит ровно из одной вершины;

б) состоит ровно из трех вершин и не совпадает с множеством всех вершин;

в) совпадает с множеством всех вершин.

5.54. Дан произвольный граф G . Используя поиск в ширину для нахождения циклов нечетной длины (теорема Кёнига), проверить, является ли он двудольным. Написать программу проверки двудольности графа.

5.55. Используя поиск в глубину или поиск в ширину, определить количество компонент связности произвольного графа.

5.56. Написать программу нахождения кратчайшей цепи (если она существует) между вершинами u и v произвольного графа G .

5.57. Написать программу поиска всех достижимых вершин из заданной вершины u для произвольного ориентированного графа G .

Комментарии

Глава является вводной по алгоритмам на графах. Приводятся общеизвестные факты, изложенные в таких классических книгах, как [4, 11, 12, 15, 17, 27]. Разделы, связанные с графами, есть в книгах [1, 2, 13, 14, 19, 20, 22, 24, 26]. Алгоритмы поиска в глубину и ширину описываются в книгах, пытающихся охватить «стык» математики и информатики [13, 15, 17]. Они являются ключевыми, ибо лежат в основе значительного числа алгоритмов, связанных с графами. Их изложение многократно проверено на практике и наиболее близко, правда, в более простом виде, к тому, как они изложены в книге [17]. Понятия из п. 5.5 встречаются далее в книге, это как бы «первый виток» их понимания и освоения, и их трактовка максимально приближена к классике [27].

ГЛАВА 6

ДЕРЕВЬЯ

6.1. Определение дерева

Граф без циклов называют *ациклическим*. *Дерево* — это связный ациклический граф.

Теорема. Для графа $G = (V, E)$ ($|V| = n$, $|E| = m$) следующие утверждения эквивалентны:

1. G — дерево.
2. G — связный граф и $m = n - 1$.
3. G — ациклический граф и $m = n - 1$.
4. Любую пару несмежных вершин соединяет единственная простая цепь.
5. G — ациклический граф, и если какую-либо пару несмежных вершин соединить ребром x , то граф $G + x$ будет содержать ровно один простой цикл.

Существует всего шесть различных деревьев с шестью вершинами, они приведены на рис. 6.1.

Из леммы о рукопожатиях (теоремы Эйлера) следует, что $\sum_{i=1}^n d_i = 2m$, или $\sum_{i=1}^n d_i = 2(n - 1)$. Очевидно, что $d_i > 0$. Для выполне-

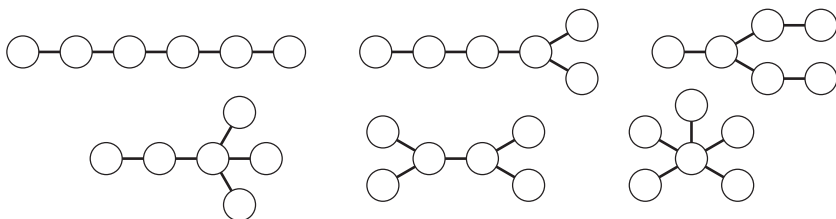


Рис. 6.1. Все различные деревья с шестью вершинами

ния равенства необходимо, чтобы по крайней мере два значения d_i были равны 1. Отсюда следует, что в любом дереве с $n \geq 2$ имеется не менее двух концевых вершин.

Для произвольного связанного неориентированного графа $G = (V, E)$ каждое дерево (V, T) , где $T \subseteq E$ называют *стягивающим деревом* (каркасом), или *остовным деревом*. Ребра такого дерева называют *ветвями*, а остальные ребра графа — *хордами*.

Пример 6.1. На рис. 5.16 показано стягивающее дерево (каркас, остов) графа, приведенного на рис. 5.7. Оно получено в результате поиска в ширину. Показаны только те ребра, которые используются при переходе от вершины к вершине при поиске. ◀

6.2. Перечисление остовных деревьев связанного помеченного графа

Рассмотрим следующую задачу. Дан произвольный помеченный связный неориентированный граф $G = (V, E)$. Требуется перечислить все его остовные деревья. Вариант решения, в котором осуществляется генерация всех $(n - 1)$ -элементных подмножеств множества из m элементов (количество ребер в графе), требует проверки — образуют ли ребра подмножества дерево. Рассмотрим другой метод.

Будем использовать технологию «разделяй и властвуй». Множество всех деревьев графа G поделим на два класса: содержащие выделенное ребро (v, u) и не содержащие. Деревья последовательно строятся в графах $G_{(v,u)}$ и $G - (v, u)$. Удаление ребра приводит к уменьшению графа. Последовательное применение этой операции осуществляется до тех пор, пока не будет построен очередной каркас либо граф станет несвязным.

Мы не будем хранить остовные деревья, ибо их следует только перечислить. Для порождения очередного дерева ранее построенные, кроме последнего, не привлекаются.

Для реализации идеи перечисления деревьев графа G используются следующие структуры данных:

- дек — *Turn* (*Array*[1.. n] *Of Integer*) с нижним (*down*) и верхним (*up*) указателями;
- массив признаков *Nnew*;
- список ребер, образующих дерево, — *Tree*;
- число ребер в строящемся дереве — *numb*.

Начальные значения переменных:

```

For i:=1 To n Do Begin
  Nnew[i]:=True; Tree[1,i]:=0; Tree[2,i]:=0;
End;
Nnew[1]:=False;
Turn[1]:=1; down:=1; up:=2; {В дек заносим первую
                               вершину}

numb:=0;

```

Считаем, что построение всех деревьев начинается с первой вершины. Множество всех деревьев одно и то же вне зависимости от выбора первой вершины. Отличается только порядок их перечисления. Первый вызов процедуры — *Solve*(1, 2).

```

Procedure Solve(v,q:Integer); {v – номер вершины,
  из которой выходит ребро; q – номер вершины, на-
  чиная с которой следует искать очередное ребро
  дерева}
Var j:Integer;
Begin
  If down<up Then Begin
    j:=q;
    {Работает второй параметр процедуры – q}
    While (j<=n) And (numb<n-1) Do Begin
      {Просмотр ребер, выходящих из вершины с
      номером v}
      If (A[v,j]<>0) And Nnew[j] Then Begin
        {Есть ребро, и вершины с номером j еще
        нет в дереве. Включаем ребро в дерево}
        Nnew[j]:=False; Inc(numb);
        Tree[1,numb]:=v; Tree[2,numb]:=j;
        Turn[up]:=j;
        Inc(up); {Заносим вершину с номером j в
                  дек}
        Solve(v,j+1); {Продолжаем построение
                       дерева}
        Dec(up); Nnew[j]:=True;
        Dec(numb); {Исключаем ребро из дерева}
      End {If};
      Inc(j);
    End {While};
  End {If};
End {Solve};

```

```

If numb=n-1 Then Begin
  <ВЫВОД ИЛИ АНАЛИЗ ДЕРЕВА>;
  Exit
End;
{Все ребра, выходящие из вершины с номером
v, просмотрены, но дерево не построено. Пе-
реходим к следующей вершине из дека и так
до тех пор, пока не будет построено дерево}
If j=n+1 Then Begin
  Inc(down);
  Solve(Turn[down], 1);
  Dec(down);
End;
End;
End;

```

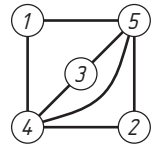
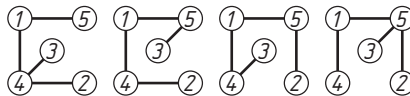
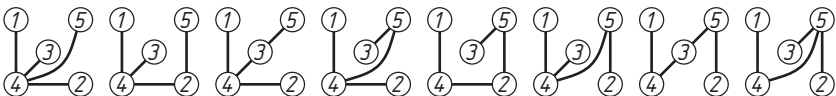


Рис. 6.2. При-
мер графа для
анализа логики
перечисления
всех его дере-
вьев

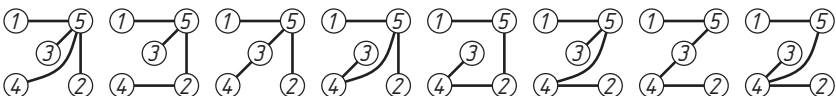
Логика работы процедуры просматривается достаточно сложно — двойной рекурсивный вызов. Для лучшего понимания выполним трассировку работы процедуры на примере. Рассмотрим граф, приведенный на рис. 6.2. Первое дерево строится обычным поиском в ширину, оно состоит из ребер: (1, 4), (1, 5), (4, 2) и (4, 3). Затем исключаем последнее ребро (4, 3) и вновь строим дерево. Единственная возможность достичь вершины с номером 3 — это включение ребра (5, 3). Исключаем ребро (5, 3). Так как мы находимся в ветке с исключенным ребром (4, 3), то построить дерево не удастся.



а) Деревья с ребрами (1, 4) и (1, 5)



б) Деревья без ребра (1, 5)



в) Деревья без ребра (1, 4)

Рис. 6.3. Перечисление деревьев графа на рис. 6.2

Деревья с ребрами (1, 4) и (1, 5) приведены на рис. 6.3, а. Затем наступает очередь исключения ребра (1, 5). Получаются деревья, приведенные на рис. 6.3, б, их 8. И наконец, исключается ребро (1, 4). Мы вновь получаем 8 деревьев, приведенных на рис. 6.3, в.

6.3. Матричная формула Кирхгофа

Определим матрицу степеней графа G как матрицу $D[1 \dots n, 1 \dots n]$, где $D[i, j] = 0$ при $i \neq j$, а $D[i, i]$ равно степени вершины с номером i . Утверждение Кирхгофа (1847 г.) формулируется следующим образом. Число остовных деревьев в связном графе G равно любому алгебраическому дополнению матрицы $K = D - A$, где A — матрица смежности графа G .

Подсчитаем число остовных деревьев для графа G на рис. 6.2.

$$K = D - A = \begin{pmatrix} 2 & 0 & 0 & 0 & 0 \\ 0 & 2 & 0 & 0 & 0 \\ 0 & 0 & 2 & 0 & 0 \\ 0 & 0 & 0 & 4 & 0 \\ 0 & 0 & 0 & 0 & 4 \end{pmatrix} - \begin{pmatrix} 0 & 0 & 0 & 1 & 1 \\ 0 & 0 & 0 & 1 & 1 \\ 0 & 0 & 0 & 1 & 1 \\ 1 & 1 & 1 & 0 & 1 \\ 1 & 1 & 1 & 1 & 0 \end{pmatrix} = \begin{pmatrix} 2 & 0 & 0 & -1 & -1 \\ 0 & 2 & 0 & -1 & -1 \\ 0 & 0 & 2 & -1 & -1 \\ -1 & -1 & -1 & 4 & -1 \\ -1 & -1 & -1 & -1 & 4 \end{pmatrix}.$$

Алгебраическое дополнение $K_{1,1}$ равно

$$\begin{aligned} K_{1,1} &= \begin{vmatrix} 2 & 0 & -1 & -1 \\ 0 & 2 & -1 & -1 \\ -1 & -1 & 4 & -1 \\ -1 & -1 & -1 & 4 \end{vmatrix} = \\ &= 2 \cdot \begin{vmatrix} 2 & -1 & -1 \\ -1 & 4 & -1 \\ -1 & -1 & 4 \end{vmatrix} + (-1) \cdot \begin{vmatrix} 0 & 2 & -1 \\ -1 & -1 & -1 \\ -1 & -1 & 4 \end{vmatrix} - (-1) \cdot \begin{vmatrix} 0 & 2 & -1 \\ -1 & -1 & 4 \\ -1 & -1 & -1 \end{vmatrix} = \\ &= 2 \cdot (2 \cdot (16 - 1) - (-1) \cdot (-4 - 1) + (-1) \cdot (1 + 4)) + (-1) \cdot (0 \cdot (-4 - 1) - \\ &- 2 \cdot (-4 - 1) + (-1) \cdot (1 - 1)) - (-1) \cdot (0 \cdot (1 + 4) - 2 \cdot (1 + 4) + (-1) \cdot (1 - 1)) = \\ &= 40 - 10 - 10 = 20. \end{aligned}$$

Итак, число остовных деревьев равно 20. Тот же результат мы получили при трассировке процедуры перечисления остовных деревьев в п. 6.2.

Для полного графа матрица K имеет вид

$$K = \begin{pmatrix} n-1 & -1 & \dots & -1 \\ -1 & n-1 & \dots & -1 \\ \cdot & \cdot & \cdot & \cdot \\ -1 & -1 & \dots & n-1 \end{pmatrix}.$$

Находя алгебраическое дополнение этой матрицы, получаем формулу А. Кэли (1897 г.). Число остовных деревьев полного графа G с n вершинами равно n^{n-2} .

6.4. Алгоритм представления дерева в виде последовательности чисел

Рассмотрим на алгоритмическом уровне задачу представления остовного дерева в виде последовательности чисел и обратную задачу — из последовательности чисел получить описание остовного дерева. Описание дерева задается, например, с помощью матрицы смежности A , по которой формируется массив степеней его вершин D ($D: \text{Array}[1..n] \text{ Of Integer}$). Это описание преобразуется в последовательность чисел длины $n - 2$. Для представления последовательности используем массив M ($M: \text{Array}[1..n-2] \text{ Of Integer}$). Прямая задача — из D получить M , обратная задача — из M получить D . Смысл преобразования (зачем это делается) поясним позднее.

Пример 6.2. На рис. 6.4 дано дерево. Рассмотрим первый алгоритм — из D в M . В первой строке табл. 6.1 (столбцы 2—11) указаны номера вершин, а во второй — начальные значения степеней вершин.

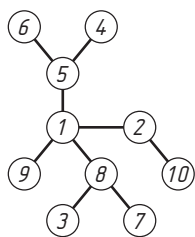


Рис. 6.4. Пример дерева

Таблица 6.1

Номер шага	1	2	3	4	5	6	7	8	9	10	j	k	M
	4	2	1	1	3	1	1	3	1	1	—	—	0 0 0 0 0 0 0 0
1	4	2	0	1	3	1	1	2	1	1	3	8	8 0 0 0 0 0 0 0
2	4	2	0	0	2	1	1	2	1	1	4	5	8 5 0 0 0 0 0 0
3	4	2	0	0	1	0	1	2	1	1	6	5	8 5 5 0 0 0 0 0
4	3	2	0	0	0	0	1	2	1	1	5	1	8 5 5 1 0 0 0 0
5	3	2	0	0	0	0	0	1	1	1	7	8	8 5 5 1 8 0 0 0
6	2	2	0	0	0	0	0	0	1	1	8	1	8 5 5 1 8 1 0 0
7	1	2	0	0	0	0	0	0	0	1	9	1	8 5 5 1 8 1 1 0
8	0	1	0	0	0	0	0	0	0	1	1	2	8 5 5 1 8 1 1 2

Суть алгоритма сводится к простому утверждению. Выполнить $n - 2$ раза (индекс i) следующие действия. Выбрать лист (вершина со степенью, равной единице) с наименьшим номером. Пусть это номер j . Всегда существует единственная вершина с номером k , такая, что (j, k) — ребро дерева. Удалить ребро (j, k) , изменив при этом степени вершин j и k в D , а значению $M[i]$ присвоить k (эти операции отражены в соответствующих столбцах табл. 6.1).

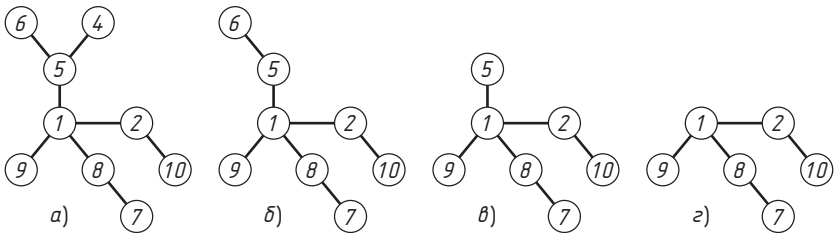


Рис. 6.5. Преобразование дерева, первые четыре шага

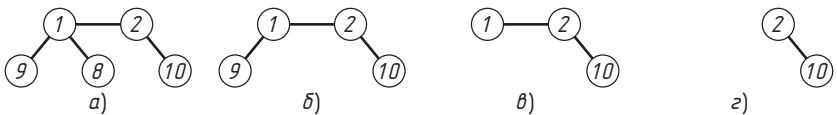


Рис. 6.6. Преобразование дерева, шаги 5, 6, 7, 8

Изменение дерева в процессе работы алгоритма показано на рис. 6.5 и 6.6.

Обратное преобразование — из последовательности M в D и, например, A (может быть и список ребер) сводится к выполнению следующих действий. Подсчитать, сколько раз каждый номер встречается в последовательности M . Пусть вершина с номером j присутствует t раз, тогда $D[j] := t + 1$. После того как сформирован массив D , следует выполнить $n - 2$ раза (индекс i) следующие операции. Найти вершину с наименьшим номером j , такую что $D[j] = 1$. Описать ребро $(j, M[i])$ и соответственно уменьшить на единицу степени вершин j и $M[i]$ в массиве D . В результате выполнения $n - 2$ итераций в D останется только две вершины со степенями 1, все остальные степени будут равны 0. Дописать ребро, соответствующее этим вершинам. Изменение дерева в процессе работы алгоритма приведено на рис. 6.7.

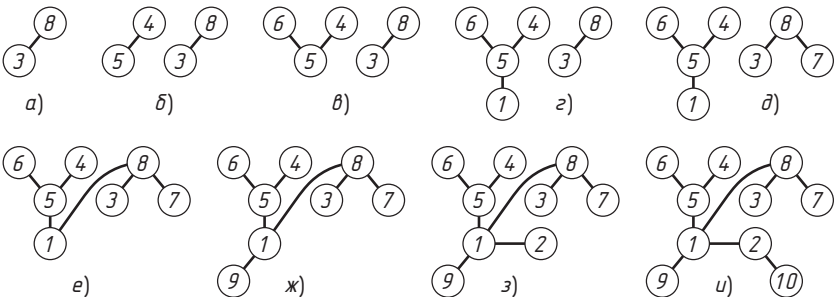


Рис. 6.7. Преобразование последовательности в дерево. Последовательность шагов

Итак, каждому остовному дереву графа с n вершинами соответствует последовательность чисел из $\{1, \dots, n\}$ длины $n - 2$ и наоборот. Формальное доказательство не приводится, вместо этого даны алгоритмы. Что из этого следует? В последовательности на любое место можно записать целое положительное число от 1 до n , и каждая последовательность будет соответствовать некоторому остовному дереву полного графа с n вершинами. Количество последовательностей равно n^{n-2} . Таким образом, неформально обосновано утверждение А. Кэли.

6.5. Остовные деревья минимального веса

Взвешенный граф определяется как граф, каждому ребру которого приписано положительное число, называемое *весом*. *Минимальным остовным деревом* называется остовное дерево графа с минимальным общим весом его ребер. Следовательно, при поиске минимального остовного дерева из всех остовных деревьев следует найти одно, дающее минимальное значение суммарного веса. Значимость задачи можно подчеркнуть ссылкой на известную проблему, сформулированную А. Кэли: соединить n городов железнодорожными линиями так, чтобы не строить лишних дорог. При этом известна стоимость строительства дороги между каждой парой городов. Требуется найти сеть дорог, соединяющую все города и имеющую минимально возможную стоимость. Рассмотрим два метода поиска минимального остовного дерева графа.

Метод Дж. Краскала (1956 г.)

Дано. Связный неориентированный взвешенный граф $G = (V, E)$. Граф описывается перечнем ребер с указанием их веса — массив P ($\text{Array}[1..3, 1..n * (n - 1) \text{ Div } 2]$ Of Integer).

Результат. Остовное дерево с минимальным суммарным весом $Q = (V, T)$, где $T \subseteq E$.

Алгоритм.

Шаг 1. Начать с несвязного графа Q , содержащего n вершин.

Шаг 2. Упорядочить ребра графа G в порядке неубывания их весов.

Шаг 3. Начав с первого ребра в этом перечне, добавлять ребра в граф Q , соблюдая условия: добавление нового ребра *не должно приводить к появлению цикла* в Q , и ребро имеет *минимальный вес* среди оставшихся ребер графа.

Шаг 4. Повторять шаг 3 до тех пор, пока число ребер в Q не станет равным $n - 1$.

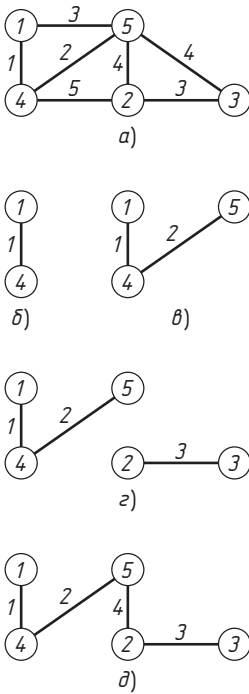


Рис. 6.8. Пример графа. Часть *a* — для иллюстрации логики построения каркаса минимального веса по методу Дж. Краскала. На частях *б, в, г, д* рисунка показана последовательность шагов, приводящих к каркасу с минимальным суммарным весом

Таблица 6.2

Номер итерации	Ребро	Значения элементов <i>Mark</i>
	—	[1, 2, 3, 4, 5]
1	(1, 4)	[1, 2, 3, 1, 5]
2	(4, 5)	[1, 2, 3, 1, 1]
3	(2, 3)	[1, 2, 2, 1, 1]
4	(2, 5)	[1, 1, 1, 1, 1]

Получившееся дерево имеет минимальный вес. Обоснование этого факта обычно осуществляется методом от противного. Приведенная логика относится к классу «жадных». Ее суть заключается в том, что на каждом шаге выбирается ребро с минимальным весом (жадность наоборот). «Жадная» логика приводит к правильному результату в том случае, если задача описывается с помощью комбинаторного объекта, имеющего название матроид. Другими словами, если показать, что множество остовных деревьев графа является матроидом, то правильность «жадной» логики следует из теоремы Радо—Эдмондса [17, с. 190], которая будет приведена позднее (с. 169).

Пример 6.3. Граф и процесс построения дерева по методу Краскала приведены на рис. 6.8. ◀

Особенности программной реализации. При включении в *Q* очередного ребра требуется проверка — образует или нет оно цикл в строящемся остовном дереве. Проблема решается за счет использования дополнительной памяти (стандартный прием в программировании) — введением массива меток вершин графа (*Mark: Array[1..n] Of Integer*). Начальные значения элементов массива равны номерам соответствующих вершин ($Mark[i] = i$ для *i* от 1 до *n*). Ребро добавляется в дерево в том случае, если инцидентные ему вершины имеют разные значения меток. В этом случае циклы не образуются. Для примера 6.3 процесс изменения массива *Mark* показан в табл. 6.2.

Обратите внимание на тот факт, что на четвертой итерации все метки, равные 2, меняются на значение 1, а не только метка вершины с номером 2.

Фрагмент программной реализации логики построения остовного дерева:

```

Procedure Solve;
  {P, Mark – глобальные массивы, m – количество ребер графа}
  Procedure Change_Mark(l,q:Integer);
    Var i,t:Integer;
  Begin
    If q<l Then Begin t:=l; l:=q; q:=t; End;
    For i:=1 To n Do
      If Mark[i]=q Then Mark[i]:=l;
    End;

  k,i:Integer;
  Begin
    {Предполагается, что элементы массива P отсортированы по неубыванию значения весов ребер}
    For i:=1 To n Do Mark[i]:=i;
    k:=0;
    While k<n-1 Do Begin
      i:=1;
      While (i<=m) And (Mark[P[1,i]]=Mark[P[2,i]])
        And (P[1,i]<>0) Do Inc(i);
      Inc(k);
      <запомнить ребро (P[1,i],P[2,i]) как ребро строящегося дерева>;
      Change_Mark(Mark[P[1,i]],Mark[P[2,i]]);
    End;
  End;

```

Вопрос. Можно ли начать внутренний цикл *While* не с первого значения, а со значения *k*?

Метод Р. Прима (1957 г.)

Дано. Связный неориентированный взвешенный граф $G = (V, E)$. Граф описывается матрицей смежности A (*Array*[1..n, 1..n] *Of Integer*). Элемент матрицы A , не равный нулю, определяет вес соответствующего ребра.

Результат. Остовное дерево с минимальным суммарным весом $Q = (V, T)$, где $T \subseteq E$.

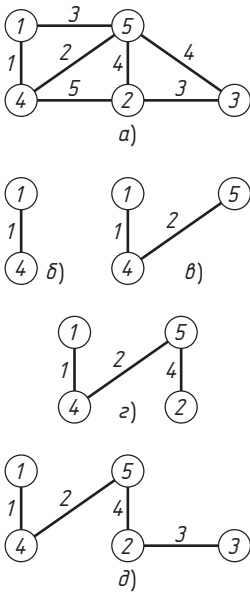


Рис. 6.9. Пример графа. Часть а — для иллюстрации логики построения каркаса минимального веса по методу Р. Прима. На частях б, в, г, д рисунка показана последовательность шагов, приводящих к каркасу с минимальным суммарным весом

Отличие от метода Краскала заключается в том, что на каждом шаге строится дерево, а не ациклический граф. На первом шаге выбирается ребро с минимальным весом. Две его вершины принадлежат дереву. На каждом следующем шаге в строящееся дерево добавляется ребро с минимальным весом, одна вершина которого принадлежит дереву, а другая нет. Процесс продолжается до тех пор, пока не будет построено дерево.

Пример 6.4. Граф и логика построения его остова приведены на рис. 6.9. ◀

Особенности программной реализации. Для реализации метода необходимы две величины множественного типа sm и sp (*Set Of 1..n*). Первоначально значением sm являются все вершины графа, а sp пусто. При включении первого ребра (i, j) в T номера вершин i и j исключаются из sm и добавляются в sp . Затем на каждом следующем шаге при добавлении нового ребра в T инцидентная ребру вершина, не принадлежавшая дереву, исключается из sm и добавляется в sp .

Фрагмент программной реализации логики построения остова дерева:

```

Procedure Solve; {A — глобальная структура данных}
  Var sm, sp: Set Of 1..n;
      min, i, j, l, k, t: Integer;
Begin
  min:=32767;
  sm:=[1..n]; sp:=[];
  {Включаем первое ребро в каркас}
  For i:=1 To n-1 Do
    For j:=i+1 To n Do
      If (A[i,j]<min) And (A[i,j]<>0) Then Begin
        min:=A[i,j];
        l:=i; t:=j;
      End;

```

```

sp:=[l,t]; sm:=sm-[l,t];
<выводим или запоминаем ребро (l,t)>;
{Основной цикл}
While sm<>[] Do Begin
  min:=32767;
  l:=0; t:=0;
  For i:=1 To n Do
    If Not(i In sp) Then For j:=1 To n Do
      If (j In sp) And (A[i,j]<min)
        And (A[i,j]<>0) Then Begin
        min:=A[i,j];
        l:=i; t:=j;
      End;
    sp:=sp+[l]; sm:=sm-[l];
    <выводим или запоминаем ребро (l,t)>;
  End;
End;

```

Вопрос. Можно ли начать построение дерева не с выбора ребра с минимальным весом, а с выбора произвольной вершины графа? Зависит ли результат от того, какая вершина выбрана в качестве начальной? Если не зависит, то реализация алгоритма несколько упрощается, так как не потребуется отдельной обработки первого ребра.

6.6. Задача Штейнера

С задачей построения остовного дерева минимального веса тесно связана известная задача Штейнера, не имеющая таких эффективных методов решения.

Евклидова задача Штейнера

На плоскости своими координатами задано произвольное конечное множество точек. Требуется соединить их непрерывными линиями так, чтобы любые две точки были связаны либо непосредственно, либо через другие точки и соединяющие их отрезки, при этом общая сумма длин отрезков должна быть минимальной.

На множестве точек можно построить полный граф. При этом вес каждого ребра равен евклидову расстоянию между соответствую-

ющими точками. Если не допускаются пересечения любых двух линий в точках вне заданного множества, то задача сводится к нахождению остова минимального веса. Евклидова задача Штейнера

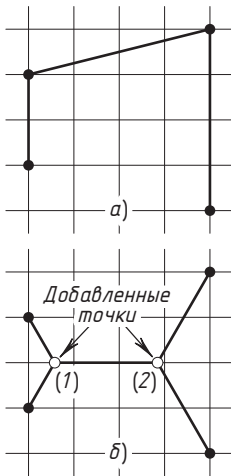


Рис. 6.10. Евклидова задача Штейнера для четырех точек: а) кратчайшее остоное дерево; б) кратчайшее дерево Штейнера

отличается от задачи построения остова с минимальным весом тем, что в граф разрешается вносить новые вершины — точки Штейнера. На количество новых вершин не накладывается никаких ограничений, главное, чтобы дерево, их соединяющее, имело минимальный вес.

На рис. 6.10, б приведен пример решения задачи Штейнера для четырех точек на плоскости. Введены две точки Штейнера. Если сравнить длину деревьев, то сравнение окажется в пользу дерева Штейнера. Известны следующие свойства евклидова варианта задачи Штейнера:

1) точки Штейнера имеют степень, равную 3, угол между ребрами, инцидентными точке Штейнера, должен быть равен 120° . Эта точка находится внутри треугольника, вершинами которого являются три другие точки дерева;

2) для числа точек Штейнера t в дереве выполняется неравенство $0 \leq t \leq n - 2$;

3) если степень вершины дерева Штейнера равна 2, то угол между двумя ребрами, инцидентными вершине, должен быть больше или равен 120° .

Задачу Штейнера следует считать нерешенной, ибо на данный момент найдено решение только для небольших значений n — количества точек, не большего десяти.

Задача Штейнера на графах

В связном взвешенном графе $G = (V, E)$ с выделенным подмножеством вершин W , $W \subseteq V$, требуется найти связный подграф T , удовлетворяющий следующим условиям:

- 1) множество вершин T содержит заданное подмножество W ;
- 2) граф T имеет минимальный вес среди всех подграфов, удовлетворяющих первому условию.

Искомый подграф является деревом и называется деревом Штейнера. Задача нахождения дерева Штейнера эквивалентна задаче нахождения остова минимального веса в подграфах графа G , множества вершин которых содержат W .

Упражнения и задачи

6.1. Если при поиске в глубину или в ширину в связном графе G «выписать» ребра, по которым осуществляется переход от вершины к вершине, то они образуют дерево (каркас, остовный подграф). Модифицировать процедуры поиска (п. 5.3 и п. 5.4) так, чтобы в результате формировались матрицы смежности соответствующих деревьев.

6.2. Выполнить предыдущее задание для случая, когда граф G представлен в памяти компьютера с помощью списков связей.

6.3. Приведите пример графа, для которого остовные деревья, получаемые при поиске в ширину и в глубину, совпадают.

6.4. Дан полный граф. В чем заключается особенность его остовного дерева, получаемого при поиске в глубину?

6.5. Дан связный граф. Сколько ребер можно удалить, не нарушая связности графа?

6.6. Нарисовать все различные деревья с семью вершинами (их 11).

6.7. Нарисовать все различные деревья с восемью вершинами (их 23).

6.8. Нарисовать все различные помеченные деревья с четырьмя вершинами (их 16).

6.9. Сравнить процедуру перечисления всех деревьев графа с процедурой реализации поиска в ширину. В чем заключается сходство и отличие?

6.10. Изменить процедуру перечисления деревьев графа из п. 6.2 для случая, когда он представлен в памяти с помощью списков связей.

6.11. Перечислить первые девять остовных деревьев графа Петерсена (рис. 5.17), получаемых с помощью алгоритма в п. 6.2.

6.12. Найдите такое значение a , что при $n \geq a$ в K_n (полный граф) есть два остовных дерева без общих ребер.

6.13. Приведите пример произвольного взвешенного графа. Найдите остовное дерево с минимальным весом методами Краскала и Прима.

6.14. Модифицировать метод Краскала для построения остовного дерева с максимальным весом.

6.15. Модифицировать метод Прима для построения остовного дерева с максимальным весом.

6.16. Для последовательностей: а) 1, 3, 3, 2, 2, 3; б) 1, 4, 4, 5, 5, 3, 3; в) 1, 6, 2, 3, 5, 5, 2, 3 постройте соответствующие деревья.

6.17. Разработать программы перевода описания дерева: из матрицы смежности в числовую последовательность и из числовой последовательности в список ребер.

6.18. Используя матричную формулу Кирхгофа, найдите количество деревьев полного двудольного графа $K_{m,n}$.

6.19. Сколько остовных деревьев имеет граф $K_{2,n}$?

6.20. Для небольших значений n (количество вершин графа), используя метод перебора вариантов, разработайте программу решения задачи Штейнера на графах.

6.21. Задачу Штейнера на плоскости можно решать при линейном расстоянии между точками. Оно определяется следующим образом: для точек с координатами (x_1, y_1) и (x_2, y_2) линейное расстояние $d = |x_1 - x_2| + |y_1 - y_2|$. В этом случае если провести вертикальные и горизонтальные линии через каждую точку, то возможные точки Штейнера являются точками пересечения этих линий. Задача Штейнера решается на сетке линий. На рис. 6.11 приведен пример для четырех точек на плоскости — они закрашены. Возможные точки Штейнера на рис. 6.11 не закрашены. Задайте координаты для точек плоскости на рис. 6.11 и найдите дерево Штейнера для этого примера.

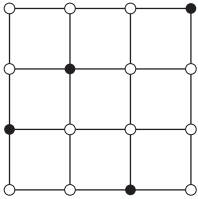


Рис. 6.11. Пример задачи Штейнера для сетки линий

Комментарии

Материал главы тесно связан с вопросами программирования. Алгоритм генерации всех остовных деревьев графа рассмотрен в [15], однако данное изложение более доступно и сопровождается работающим программным кодом. Изюминка последнего в двойном рекурсивном вызове и достаточно редко используемой структуре данных дек. Алгоритмы Краскала и Прима рассматриваются практически в любой книге по дискретной математике, ибо относятся к задаче, имеющей полное и эффективное решение. Алгоритмы работы с двоичными деревьями поиска, AVL-деревьями, Б-деревьями и т. д. не включены в книгу, так как они, на наш взгляд, относятся к курсу программирования, его разделу — абстрактные типы данных. Алгоритм преобразования дерева в последовательность чисел рассмотрен в книге [1]. Цель, ради которой он приводится, — дать интуитивное понимание формулы А. Кэли. Доказательству этой формулы посвящены многочисленные работы, не затрагиваемые нами. Задача Штейнера как одна из нерешенных проблем упоминается в отдельных книгах по дискретной математике, не избежали и мы этой участи. Целевой установкой при этом является реализации переборных схем для ее модификации на сетке и на графах с оценкой времени их выполнения. Один из примеров «беспомощности» компьютера уже при небольших значениях размерности входных данных. Кроме того, ее модификация на сетке тесно связана с проблемой трассировки печатных плат, а это уже «чистая» компьютерная инженерия.

ГЛАВА 7

СВЯЗНОСТЬ

7.1. Вершинная и реберная связность

В связном графе любые две вершины соединены простой цепью. Связный граф состоит из одной компоненты связности. Однако интуитивно ясно, что, например, графы на рис. 7.1 связны по-разному. Первый граф связан сильнее, чем второй.

Вершинную связность графа $\kappa(G)$ определяют как наименьшее количество вершин, удаление которых нарушает связность графа. Для полных графов $\kappa(K_n) = n - 1$, для несвязных графов $\kappa(G) = 0$. Вершину графа называют *точкой сочленения*, если ее удаление приводит к увеличению числа компонент связности.

Блоком называют связный граф, не имеющий точек сочленения. Для графа с точкой сочленения $\kappa(G) = 1$. Аналогично *реберную связность* $\lambda(G)$ определяют как наименьшее число ребер, удаление которых нарушает связность. Несвязный граф имеет $\lambda(G) = 0$, для полных графов $\lambda(K_n) = n - 1$. *Мостом* графа называют ребро,

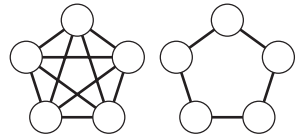


Рис. 7.1. Пример графов, иллюстрирующих понятие «связность»

удаление которого приводит к увеличению числа компонент связности. Для графа, имеющего мост, $\lambda(G) = 1$. Напомним, что через $\delta(G)$ мы обозначали минимальное значение степени вершин графа G .

Граф G называют k -связным, если $\kappa(G) \geq k$, и реберно k -связным, если $\lambda(G) \geq k$. Таким образом, граф, не совпадающий с K_1 , 1-связен тогда и только тогда, когда он связан, и 2-связен, если он не содержит точек сочленения.

Зависимости между введенными характеристиками графа показывает следующая теорема.

Теорема. Для любого графа G верны неравенства $\kappa(G) \leq \lambda(G) \leq \delta(G)$.

Пример 7.1. На рис. 7.2 приведен пример графа и его блоков. Точки сочленения — вершины с номерами 4, 5 и 7. Третий и четвертый блоки являются графами K_2 . K_2 — это единственные блоки, не являющиеся 2-связными. Обратите внимание на то, что точка сочленения входит во все блоки, с которыми она связана. ◀

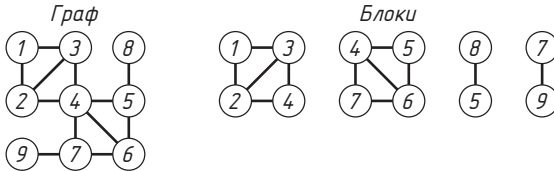


Рис. 7.2. Пример графа и его блоки

Из определения связности следует ряд свойств 2-связных графов [11].

1. Степени вершин 2-связного графа больше единицы.
2. Если графы G_1 и G_2 2-связные и имеют не менее двух общих вершин, то граф $G_1 \cup G_2$ также 2-связен.
3. Если граф G 2-связен и P — простая цепь, соединяющая две его вершины, то граф $G \cup P$ также 2-связен.
4. Если вершина v не является точкой сочленения связного графа, то любые две его вершины соединены цепью, не содержащей v .
5. В 2-связном графе для любых трех несовпадающих вершин u , v , q имеется (u, v) -цепь, не проходящая через вершину q .

Следующие свойства 2-связных графов «оформлены» в виде теоремы [11].

Теорема. Пусть $G = (V, E)$ — связный граф и $|V| > 2$. Тогда следующие утверждения эквивалентны:

- 1) граф 2-связен;
- 2) любые две вершины графа принадлежат простому циклу;
- 3) любая вершина и любое ребро принадлежат простому циклу;
- 4) любые два ребра принадлежат простому циклу;
- 5) для любых двух вершин u , v и любого ребра t существует простая (u, v) -цепь, содержащая t ;
- 6) для любых трех вершин u , v , q существует простая (u, v) -цепь, проходящая через q .

При замене в формулировке теоремы слов «простая цепь» и «простой цикл» соответственно на «цепь» и «цикл» получается теорема о 2-реберно-связных графах.

7.2. Метод нахождения блоков графа

Любой блок 2-связен, поэтому решаемую задачу можно определить как задачу нахождения 2-связных компонент графа. Точку сочленения можно определить иначе: вершина t является точкой сочленения, если существуют вершины u и v , отличные от t , такие, что любой путь из u в v (предполагаем, что существует по крайней мере один) проходит через вершину t .

Наша задача — найти точки сочленения и двусвязные компоненты графа. На рис. 7.3 схематично изображен граф с двусвязными компонентами G_1, G_2, G_3, G_4 и G_5 и точками сочленения 1, 2, 3.

Основная идея. Будем осуществлять поиск в глубину из произвольной вершины t^* , принадлежащей G_1 . Из блока G_1 попадаем в G_2 , проходя через вершину 1. По свойству поиска в глубину все ребра G_2 должны быть пройдены до того, как осуществляется возврат в вершину с номером 1. Поэтому блок G_2 состоит в точности из ребер, которые проходятся между первыми двумя заходами в вершину 1. Затем из блока G_1 переходим в G_3 , в G_4 и G_5 . Последовательность прохождения ребер хранится в стеке, и при возвращении из G_5 в G_4 через вершину 3 все ребра блока G_5 будут на верху стека. После их удаления из стека, т. е. вывода двусвязной компоненты, на верху стека останутся ребра блока G_4 , и в момент прохождения вершины 2 мы опять же сможем их вывести. Таким образом, если распознать точки сочленения, то, применяя поиск в глубину и храня ребра в стеке в той очередности, в какой они проходятся, можно определить блоки: ребра, находящиеся на верху стека в момент обратного прохода через точку сочленения, образуют блок.

Итак, проблема с точками сочленения. Рассмотрим граф, приведенный на рис. 7.2. В процессе просмотра в глубину все ребра разбиваются на те, которые составляют дерево (каркас), и множество обратных ребер (3, 1), (4, 2), (6, 4), (7, 4). Что нам это дает? Пусть очередность просмотра вершин в процессе поиска в глубину фиксируется метками в массиве Num . Для нашего примера $Num = (1, 2, 3, 4, 5, 6, 7, 9, 8)$. Если мы рассматриваем обратное ребро (v, i) , и v не предок i , то информацию о том, что $Num[v]$ больше

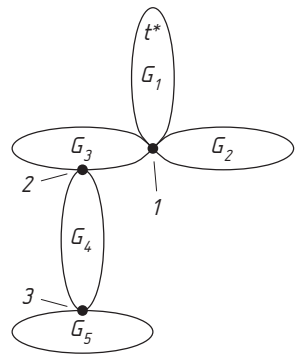


Рис. 7.3. Схематичное изображение графа, его блоков и точек сочленения

$Num[i]$, можно использовать для пометки вершин v и i как вершин, принадлежащих одному блоку. Массив Num использовать для этих целей нельзя, поэтому введем другой массив $Lowpg$ и постараемся пометить вершины графа, принадлежащие одной компоненте двусвязности, одним значением метки в этом массиве. Первоначальное значение метки совпадает со значением соответствующего элемента массива Num . При нахождении обратного ребра (v, i) естественной выглядит операция: $Lowpg[v] := \text{Min}(Lowpg[v], Num[i])$ — изменения значения метки вершины v , так как вершины v и i из одного блока. К этой логике необходимо добавить смену значения метки у вершины v ребра (v, i) на выходе из просмотра в глубину в том случае, если значение метки вершины i меньше, чем метка вершины v ($Lowpg[v] := \text{Min}(Lowpg[v], Lowpg[i])$). Это положение означает, что на более поздних шагах просмотра в глубину было обратное ребро. Для примера на рис. 7.2 массив меток $Lowpg$ имеет вид: (1, 1, 1, 2, 4, 4, 4, 9, 8). Осталось определить момент вывода блоков. Пусть рассматривается ребро (v, i) и оказывается, что значение $Lowpg[i]$ больше или равно значению $Num[v]$. Это говорит о том, что при просмотре в глубину между вершинами v и i не было обратных ребер. Вершина v — точка сочленения, и необходимо вывести очередной блок, начинающийся с вершины v . Информация о нем находится в стеке — от его вершины до значения v .

Итак, логика:

```

Procedure Solve(v,p:Integer); {Вершина p — предок
  вершины v. Массивы A, Num, Lowpg и переменная
  nm — глобальные}
Var i:Integer;
Begin
  Inc(nm);
  Num[v]:=nm; Lowpg[v]:=Num[v];
  For i:=1 To n Do
    If A[v,i]<>0 Then
      If Num[i]=0 Then Begin
        <сохранить ребро (v,i) в стеке>;
        Solve(i,v);
        Lowpg[v]:=Min(Lowpg[v],Lowpg[i]);
        {Функция, определяющая минимальное из
        двух чисел, не приводится}
        If Lowpg[i]>=Num[v] Then <вывод блока>;
      End
    End
  End

```

```

Else
  If (i<>p) And (Num[v]>Num[i]) Then Begin
    {i не совпадает с предком вершины v}
    <сохранить ребро (v,i) в стеке>;
    Lowpg[v] := Min(Lowpg[v], Num[i]);
  End;
End;

```

Фрагмент из вызывающей логики:

```

...
For i:=1 To n Do Begin
  Num[i]:=0;
  Lowpg[i]:=0;
End;
nm:=0;
For i:=1 To n Do If Num[i]=0 Then Solve(i,0);
...

```

Рассмотрим блоки графа G , их объединение есть G . На множестве блоков определим понятие смежности — два блока назовем смежными, если они имеют общую точку сочленения. Таким образом, можно построить граф, называемый *графом блоков*, вершины

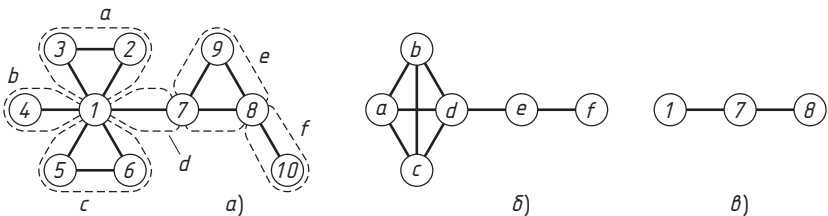


Рис. 7.4. а) Пример графа, $a-f$ — его блоки; б) граф блоков; в) граф точек сочленения которого соответствуют блокам, а ребра — введенному понятию смежности. При формировании графа точек сочленения в качестве вершин рассматриваются точки сочленения графа G . Вершины графа точек сочленения смежные, когда соответствующие им точки сочленения графа G принадлежат одному блоку. На рис. 7.4 показан граф и соответствующие ему графы блоков и точек сочленения.

7.3. Теорема Менгера

Пусть G — связный граф, u и v — две его несмежные вершины. Две простые (u, v) -цепи называются *вершинно-непересекающимися*,

если у них нет общих вершин, отличных от u и v , и *реберно-непересекающимися*, если у них нет общих ребер. Очевидно, что если две цепи вершинно не пересекаются, то они и реберно не пересекаются. Множество S вершин графа разделяет вершины u и v , если u и v принадлежат разным компонентам связности графа $G - S$.

Теорема (К. Менгер, 1927 г.). *Наименьшее число вершин, разделяющих две несмежные вершины u и v , равно наибольшему числу вершинно-непересекающихся простых (u, v) -цепей.*

Обозначим через Q множество вершинно-непересекающихся цепей (u, v) . Теоремой утверждается, что $\max |Q| = \min |S|$. Для любого связного графа G и несмежных вершин u и v неравенство $|Q| \leq |S|$ очевидно. Действительно, если $|Q| > |S|$, то должна быть вершина, принадлежащая более чем одной простой цепи, что противоречит условию теоремы. Таким образом, неравенство $\max |Q| \leq \min |S|$ справедливо. Но теорема утверждает нечто большее, а именно что в любом графе существуют такое множество Q и такое множество S , что $|Q| = |S|$.

Эта основная теорема о связности графа является ядром большого количества математических фактов. Например, из нее следует теорема Х. Уитни (1932 г.).

Теорема. *Граф k -связен тогда и только тогда, когда любая пара его несовпадающих вершин соединена по крайней мере k непересекающимися цепями.*

В реберном варианте теоремы Менгера рассматриваются не вершины, а ребра. Минимальное (относительно включения) множество ребер R , такое, что вершины u и v входят в разные компоненты $G - R$ называют (u, v) -разрезом графа G .

Теорема (Менгера, реберный вариант). *Наибольшее число реберно-непересекающихся цепей, соединяющих две вершины графа, равно наименьшему числу ребер, разделяющих эти вершины.*

Доказательство этой теоремы получают из основной теоремы Менгера с помощью следующей схемы. Графу G (рис. 7.5, а) ставится в соответствие граф G' , получаемый путем замены каждой вершины v из G группой из d_v (степень вершины v) попарно смежных вершин. Ребра графа G' между вершинами из разных групп находятся во взаимно однозначном соответствии с ребрами графа G (рис. 7.5, б). Отсутствие разреза, имеющего менее чем k ребер, между вершинами u и v в графе G приводит к тому, что в графе G' не менее чем k вершин разделяют пару вершин u' и v' из групп, со-

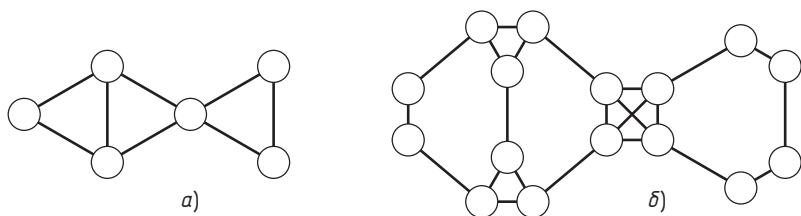


Рис. 7.5. Иллюстрация реберного варианта теоремы Менгера

ответствующих вершинам u и v . Обратное также верно. Применяя основную теорему к графу G' , мы получаем доказательство утверждения относительно графа G .

Пример 7.2. На рис. 7.6 приведен пример графа из [27]. Вершины с номерами 1 и 11 разделяются путем удаления 3 вершин (наименьшее количество), следовательно, согласно теореме Менгера, наибольшее количество вершинно-непересекающихся $(1, 11)$ -цепей равно 3. Те же вершины разделяются путем удаления 5 ребер (наименьшее количество), следовательно, наибольшее число реберно-непересекающихся цепей равно 5. ◀

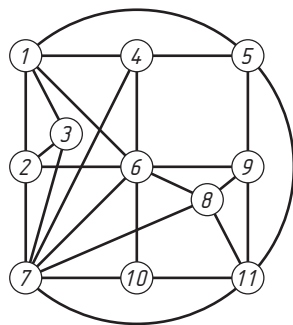


Рис. 7.6. Пример графа для иллюстрации теоремы Менгера

7.4. Связность в орграфе

В неориентированном графе вершины либо связаны, либо нет. Это отношение симметрично. Данное утверждение не распространяется на ориентированные графы. Пусть G — ориентированный граф. Вершины u и v *сильно связаны*, если существуют ориентированные цепи из u в v и из v в u . Вершины u и v *односторонне связаны*, если есть только одна из ориентированных цепей. Вершины u и v *слабо связаны* в G , если они связаны в графе, полученном путем отмены ориентации ребер графа G . Очевидно, что сильная связность гарантирует одностороннюю, а односторонняя — слабую. Обратное неверно.

Если существует ориентированная цепь из вершины графа u в вершину v , то говорят, что v *достижима* из u . Определим матрицу достижимости R графа G следующим образом:

$$R[u, v] = \begin{cases} 1, & \text{если вершина } v \text{ достижима из вершины } u, \\ 0 & \text{в противном случае.} \end{cases}$$

Множество $R(u)$ — это множество вершин графа G , которые могут быть достигнуты из вершины u . Обозначим через $\Gamma(u)$ множество таких вершин графа G , которые достижимы из u по цепям длины 1. $\Gamma^2(u)$ — это $\Gamma(\Gamma(u))$, т. е. достижимость с использованием путей длины 2 и т. д. Тогда:

$$R(u) = \{u\} \cup \Gamma(u) \cup \Gamma^2(u) \cup \dots \cup \Gamma^p(u),$$

где p — некоторое конечное значение, возможно, достаточно большое.

Пример 7.3. Для графа на рис. 7.7 формирование $R(1)$ происходит следующим образом:

$$\{1\} \rightarrow \{1, 2, 5\} \rightarrow \{1, 2, 5, 6\} \rightarrow \{1, 2, 4, 5, 6\} \rightarrow \{1, 2, 4, 5, 6, 7\} \rightarrow \{1, 2, 4, 5, 6, 7\}.$$

Выполняя аналогичные действия для каждой вершины графа, мы получаем матрицу достижимостей R . Программная реализация этой логики имеет вид:

```

Procedure Solve; {Формирование матрицы R, гло-
  бальной переменной. Исходные данные — матрица
  смежности A, глобальная переменная}
Var S, T: Set Of 1..n;
    i, j, l: Integer;
Begin
  For i:=1 To n Do
    For j:=1 To n Do R[i, j]:=0;
  For i:=1 To n Do Begin {Достижимость из вер-
    шины с номером i}
    T:= [i];
    Repeat
      S:= T;
      For l:=1 To n Do
        If l In S Then {По строкам матрицы A,
          принадлежащим множеству S}
          For j:=1 To n Do
            If A[l, j]=1 Then T:= T+[j];
    Until S=T; {Если T не изменилось, то найдены
    все вершины графа, достижимые из вершины с
    номером i}
    For j:=1 To n Do
      If j In T Then R[i, j]:=1;
  End;
End;
```

Матрицу контрдостижимостей Q определим следующим образом:

$$Q[u, v] = \begin{cases} 1, & \text{если из } v \text{ можно достичь } u, \\ 0 & \text{при недостижимости.} \end{cases}$$

Таким образом, в строке u матрицы Q значени-ем 1 выделены те номера вершин графа G , из которых достигается вершина с номером u . Из определения следует, что столбец v матрицы Q совпадает со строкой v матрицы R , т. е. $Q = R^T$, где R^T — транспонированная матрица достижимости R . Для графа на рис. 7.7 матрицы A , R и Q имеют вид:

$$A = \begin{pmatrix} 0 & 1 & 0 & 0 & 1 & 0 & 0 \\ 1 & 0 & 0 & 0 & 0 & 0 & 0 \\ 0 & 1 & 0 & 1 & 0 & 0 & 0 \\ 0 & 0 & 0 & 0 & 0 & 0 & 1 \\ 1 & 0 & 0 & 0 & 0 & 1 & 0 \\ 0 & 0 & 0 & 1 & 0 & 0 & 0 \\ 0 & 0 & 0 & 0 & 0 & 1 & 0 \end{pmatrix}, \quad R = \begin{pmatrix} 1 & 1 & 0 & 1 & 1 & 1 & 1 \\ 1 & 1 & 0 & 1 & 1 & 1 & 1 \\ 1 & 1 & 1 & 1 & 1 & 1 & 1 \\ 0 & 0 & 0 & 1 & 0 & 1 & 1 \\ 1 & 1 & 0 & 1 & 1 & 1 & 1 \\ 0 & 0 & 0 & 1 & 0 & 1 & 1 \\ 0 & 0 & 0 & 1 & 0 & 1 & 1 \end{pmatrix}, \quad Q = \begin{pmatrix} 1 & 1 & 1 & 0 & 1 & 0 & 0 \\ 1 & 1 & 1 & 0 & 1 & 0 & 0 \\ 0 & 0 & 1 & 0 & 0 & 0 & 0 \\ 1 & 1 & 1 & 1 & 1 & 1 & 1 \\ 1 & 1 & 1 & 0 & 1 & 0 & 0 \\ 1 & 1 & 1 & 1 & 1 & 1 & 1 \\ 1 & 1 & 1 & 1 & 1 & 1 & 1 \end{pmatrix}.$$

Рассмотрим алгоритм нахождения сильно связанных компонент графа. Идея достаточно проста. Для графа, изображенного на рис. 7.7, множество вершин, достижимых из первой вершины, равно $R(1) = \{1, 2, 4, 5, 6, 7\}$, а множество вершин, из которых достигается вершина с номером 1, соответственно равно $Q(1) = \{1, 2, 3, 5\}$. Пересечение этих множеств дает множество $C(1) = \{1, 2, 5\}$ вершин графа G , образующих сильно связанную компоненту, которой принадлежит вершина графа с номером 1. Продолжим рассмотрение: $R(3) = \{1, 2, 3, 4, 5, 6, 7\}$, $Q(3) = \{3\}$ и $C(3) = \{3\}$; $R(4) = \{4, 6, 7\}$ и $Q(4) = \{1, 2, 3, 4, 5, 6, 7\}$ и $C(4) = \{4, 6, 7\}$. Итак, мы нашли сильно связанные компоненты графа G . Граф $G^* = (V^*, E^*)$ определим так: каждая его вершина представляет некоторую сильно связанную компоненту графа G , дуга (u^*, v^*) существует в G^* тогда и только тогда, когда в G существует дуга (u, v) , такая, что u принадлежит компоненте, соответствующей вершине u^* , а v — компоненте, соответствующей вершине v^* . Граф G^* называется *конденсацией* графа G . Для рассматриваемого примера граф G^* приведен на рис. 7.8. Вершина 1^* соответствует первой компоненте $\{1, 2, 5\}$, вершина 2^* — второй $\{3\}$ и вершина 3^* — третьей $\{4, 6, 7\}$.

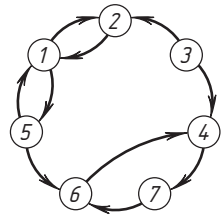


Рис. 7.7. Пример графа для иллюстрации понятия достижимости

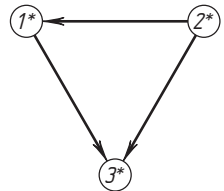


Рис. 7.8. Конденсация графа, приведенного на рис. 7.7

Приведем некоторые факты по изложенному материалу.

G^* не содержит циклов.

В ориентированном графе каждая вершина u может принадлежать только одной сильно связанной компоненте.

В графе есть множество вершин P , из которых достижима любая вершина графа, являющееся минимальным в том смысле, что не существует подмножества в P , обладающего таким свойством достижимости. Это множество вершин называется *базой* графа. В P нет двух вершин, которые принадлежат одной и той же сильно связанной компоненте графа G . Любые две базы графа G имеют одно и то же число вершин.

Упражнения и задачи

7.1. Дан произвольный граф. Определить (разработать программу), является ли он связным.

7.2. Даны целые числа a, b, c ($0 < a \leq b \leq c$). Привести пример графа G , у которого $\kappa(G) = a$, $\lambda(G) = b$ и $\delta(G) = c$.

7.3. Дан произвольный граф. Определить его блоки и точки сочленения. Построить граф блоков и граф точек сочленения.

7.4. Дан произвольный граф, описанный с помощью матрицы смежности. Разработать программу формирования матриц смежности для графов блоков и точек сочленения.

7.5. Разработать программу нахождения всех мостов графа. Показать, что мосты графа должны быть в каждом остовном дереве графа G . Каким образом знание мостов графа может изменить (ускорить) логику нахождения всех его остовных деревьев?

7.6. Какое наибольшее количество точек сочленения может быть в графе порядка n ?

7.7. Для графа на рис. 7.6 найти 3 вершинно-непересекающиеся цепи между вершинами 1 и 11.

7.8. Для графа на рис. 7.6 найти 5 ребер, удаление которых приводит к разделению вершин с номерами 1 и 11.

7.9. Для графа на рис. 7.6 найти 5 реберно-непересекающихся цепей между вершинами с номерами 1 и 11.

7.10. Существует простой переборный вариант алгоритмической реализации теоремы Менгера (при небольших значениях n). Генерируются все подмножества множества $V \setminus \{u, v\}$ при заданных вершинах u и v . Для каждого подмножества проверяется, разделяет ли оно вершины u и v (проверка связности получившегося графа). Разработать программу реализации этой логики.

7.11. Разработать программу поиска наибольшего количества вершинно-непересекающихся (u, v) -цепей.

7.12. Существует простой переборный вариант алгоритмической реализации аналога теоремы Менгера для реберного случая (для небольших значений m). Генерируются все подмножества множества E . Для каждого подмножества проверяется, является ли оно разрезом при заданных вершинах u и v (проверка связности получившегося графа). Наименьшее по мощности подмножество характеризует реберную связность графа. Разработать программу реализации этой логики.

7.13. Разработать программу поиска наибольшего числа реберно-непересекающихся (u, v) -цепей.

7.14. Известна теорема Х. Уитни о том, что граф t -связен тогда и только тогда, когда любая пара его вершин соединена по крайней мере t вершинно-непересекающимися цепями. Используя решение задачи 7.11, разработать программу определения t -связности графа.

7.15. Дан ориентированный граф G . Разработать программу нахождения его графа конденсаций G^* .

7.16. $R(v)$ — множество вершин, достижимых из v , а $Q(u)$ — множество вершин, из которых можно достигнуть u . Определить, что представляет из себя множество $R(v) \cap Q(u)$. Разработать программу нахождения этого типа множеств.

7.17. Разработать программу нахождения базы графа.

Примечание. База P^* конденсации G^* графа G состоит из таких вершин графа G^* , в которые не заходят ребра. Следовательно, базы графа G можно строить так: из каждой сильно связной компоненты графа G , соответствующей вершине базы P^* конденсации G^* , надо взять по одной вершине — это и будет базой графа G .

7.18. Граф называется транзитивным, если из существования дуг (v, u) и (u, t) следует существование дуги (v, t) . Транзитивным замыканием графа $G = (V, E)$ является граф $G_z = (V, E \cup E')$, где E' — минимально возможное множество дуг, необходимых для того, чтобы граф G_z был транзитивным. Разработать программу для нахождения транзитивного замыкания произвольного графа G .

Комментарии

Одно из лучших описаний алгоритма выделения блоков в неориентированном графе дано в книге [17]. Изложение теоремы Менгера, ключевой факт этой темы, основано на материале книги [27]. Связность в ориентированном графе достаточно полно излагается в [15].

ГЛАВА 8

ЦИКЛЫ

8.1. Эйлеровы графы

Начало теории графов как раздела математики положил Л. Эйлер (1707—1782), решивший так называемую задачу о кенигсбергских мостах. В городе Кенигсберге (ныне Калининград) два острова, соединенные семью мостами с берегами реки Преголя и друг с другом (см. рис. 8.1). Задача состояла в том, чтобы найти маршрут, проходящий все четыре части города, начинающийся и заканчивающийся в любой из его частей и проходящий ровно один раз по каждому из мостов. Изображение в виде графа показано на рис. 8.1, б).

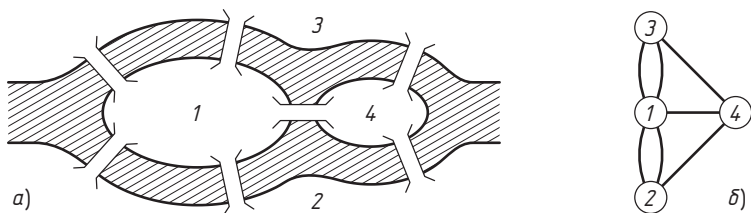


Рис. 8.1. Граф к задаче о кенигсбергских мостах. Вершины графа — части города, ребра — мосты

Задача сводится к поиску цикла в графе, проходящего по одному разу через каждое ребро. Эйлер обобщил данную задачу и определил критерий существования обхода ребер графа. Такой цикл носит название эйлерова, и граф, содержащий такой цикл, называют также эйлеровым.

Эйлеров цикл — это такой цикл, который проходит ровно один раз по каждому ребру графа.

Теорема (Л. Эйлер, 1736 г.). *Связный неориентированный граф G содержит эйлеров цикл тогда и только тогда, когда число вершин нечетной степени равно нулю.*

Для ориентированных графов формулировка теоремы несколько иная: ориентированный граф имеет эйлеров цикл тогда и только тогда, когда он связный и степень входа каждой вершины равна степени ее выхода.

Не все графы имеют эйлеровы циклы, но если эйлеров цикл существует, то это означает, что, следуя вдоль этого цикла, можно нарисовать граф на бумаге, не отрывая от нее карандаша.

Пример 8.1. Пример эйлерова графа приведен на рис. 8.2. ◀

Пусть дан неориентированный граф G , удовлетворяющий условию теоремы Эйлера. Требуется найти эйлеров цикл. Решение основано на просмотре графа методом поиска в глубину, при этом пройденные ребра удаляются. При обнаружении вершины, из которой не выходят ребра (мы их удалили), ее номер записывается в стек, и просмотр продолжается от предыдущей вершины. Обнаружение вершины с нулевым числом ребер говорит о том, что найден цикл. Его можно удалить, четность значений степеней вершин при этом не изменится. Процесс продолжается до тех пор, пока есть ребра. В стеке после этого будут записаны номера вершин графа в порядке, соответствующем эйлерову циклу.

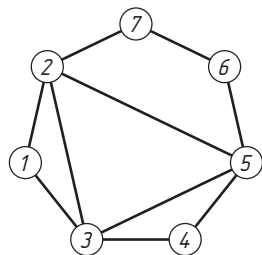


Рис. 8.2. Пример эйлерова графа. Эйлеров цикл: 1, 3, 5, 6, 7, 2, 5, 4, 3, 2, 1

```

Procedure Solve(v:Integer); {Глобальные переменные:
  A – матрица смежности, Cv – стек; yk – указатель стека
  (начальное значение равно 0)}
  Var j:Integer;
  Begin
    For j:=1 To n Do
      If A[v,j]<>0 Then Begin
        A[v,j]:=0; A[j,v]:=0;
        Solve(j)
      End;
    Inc(yk);
    Cv[yk]:=v;
  End;

```

8.2. Гамильтоновы графы

Граф называется *гамильтоновым*, если в нем имеется простой цикл, содержащий каждую вершину этого графа, сам цикл также называется гамильтоновым. Гамильтоновой называется и простая цепь, проходящая через все вершины графа. Этот класс графов назван в честь Уильяма Гамильтона, известного ирландского математика, который в 1859 году предложил игру «Кругосветное путешествие», формулируемую следующим образом. Вершинами додекаэдра считаются крупные города мира. Требуется, переходя от одного

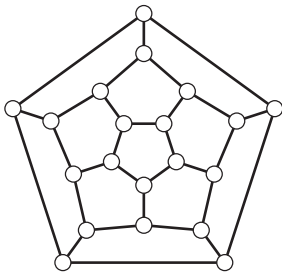


Рис. 8.3. Граф додекаэдра

города к другому по ребрам додекаэдра, посетить каждый город в точности один раз и вернуться в исходный город. Задача сводится к отысканию простого цикла в графе, приведенном на рис. 8.3.

В отличие от графов Эйлера для гамильтоновых графов нет простого и ясного их описания. Другими словами, если дан граф, то сказать, гамильтонов он или нет, достаточно трудно. Изучению условий гамильтоновости графа посвящены многочисленные работы.

Тэта-графом называется граф, содержащий только вершины степени 2 и две несмежные вершины степени 3.

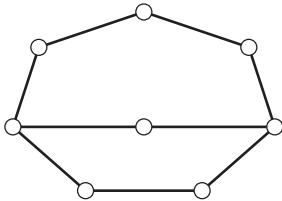


Рис. 8.4. Пример тэта-графа

Пример 8.2. Пример тэта-графа приведен на рис. 8.4. ◀

Теорема. *Каждый гамильтонов граф двусвязен. Каждый негамильтонов двусвязный граф содержит тэта-подграф.*

Теорема В. Хватала (1972 г.) определяет достаточные условия того, что граф является гамильтоновым. Она обобщает ранее полученные результаты О. Оре (1960 г.) и Г. Дирака (1952 г.). В приложении 1 они приводятся как следствия теоремы.

Теорема (Хватал). *Граф G , степени вершин которого связаны неравенствами $d_1 \leq d_2 \leq \dots \leq d_n$, является гамильтоновым, если для всякого k , удовлетворяющего неравенствам $1 \leq k < n/2$, из $d_k \leq k$ следует $d_{n-k} \geq n - k$.*

Тэта-граф является примером 2-связного негамильтонова планарного*) графа. 3-связный планарный граф без гамильтонова цикла должен содержать не менее 11 вершин.

Пример 8.3. 3-связный планарный негамильтонов граф Д. Барнетта и Е. Юковича (1970 г.) приведен на рис. 8.5.

Теорема (У. Тамм, 1946 г.). *Всякий 4-связный планарный граф является гамильтоновым.*

Данная теорема считается одним из наиболее сильных результатов по проблеме гамильтоновых графов.

Рассмотрим следующую задачу — с помощью перебора с возвратом в связном неориентированном графе G требуется найти все гамильтоновы циклы графа, если они есть. Начинаем поиск решения, например, с первой вершины графа. Предположим, что уже найдены первые k компонент решения. Рассматриваем ребра, выходящие из последней вершины. Если есть такие, что идут в ранее не просмотренные вершины, то включаем эту вершину в решение и помечаем ее как просмотренную. Получена $(k + 1)$ -я компонента решения. Если такой вершины нет, то возвращаемся к предыдущей вершине и пытаемся найти ребро из нее, выходящее в другую

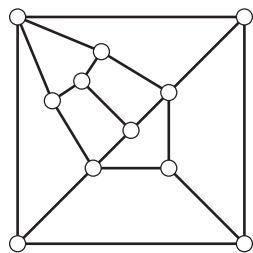


Рис. 8.5. 3-связный планарный негамильтонов граф

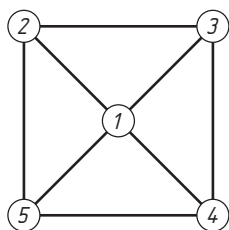


Рис. 8.6. Пример графа для решения задачи поиска гамильтоновых циклов

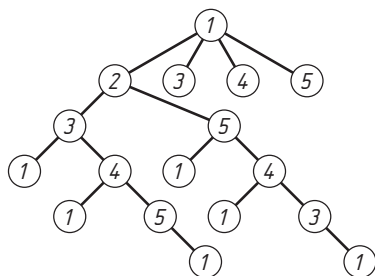


Рис. 8.7. Схема перебора вариантов в задаче поиска гамильтоновых циклов для графа на рис. 8.6. Показана только одна ветвь перебора, начинающаяся с ребра $(1, 2)$. Ветви ребер $(1, 3)$, $(1, 4)$, $(1, 5)$ не приведены

непросмотренную вершину. Решение найдено, если просмотрены все вершины графа и из последней просмотренной вершины дости-

*) Граф является планарным, если есть возможность нарисовать его на плоскости так, чтобы ребра не пересекались. Понятие планарности обсуждается более подробно в гл. 10.

жима первая вершина. Решение (цикл) выводится, и продолжается процесс нахождения следующих циклов. Пример графа и часть дерева перебора вариантов, показывающего механизм работы данного метода, приведены на рис. 8.6 и 8.7.

```

Procedure Solve(k:Integer); {k – номер итерации.
  Глобальные переменные: A – матрица смежности;
  St – массив для хранения порядка просмотра вер-
  шин графа (требуется только для вывода цикла);
  Nnew – массив признаков: вершина просмотрена или
  нет}
Var j, v: Integer;
Begin
  v:=St[k-1]; {Номер последней вершины}
  For j:=1 To n Do
    If (A[v, j]<>0) Then {Есть ребро между вер-
      шинами с номерами v и j}
      If (k=n+1) And (j=1) Then <ВЫВОД ЦИКЛА>
      Else
        If Nnew[j] Then Begin {Вершина не
          просмотрена}
          St[k]:=j;
          Nnew[j]:=False;
          Solve(k+1);
          Nnew[j]:=True;
        End;
      End;
  End;

```

Фрагмент основной программы:

```

...
St[1]:=1;
Nnew[1]:=False;
Solve(2);
...

```

С задачей поиска гамильтоновых циклов тесно связана известная задача о коммивояжере. Имеется n городов, расстояния между которыми заданы. Коммивояжер должен посетить все n городов по одному разу, вернувшись в тот, с которого начал свое путешествие. Проблема заключается в поиске пути коммивояжера с минимальным суммарным расстоянием.

Решение «в лоб» (а оно реализовано в приведенной схеме) заключается в генерации всех $n!$ перестановок вершин для полного

графа G , подсчете для каждой перестановки (она определяет путь коммивояжера) суммарного расстояния и выборе минимального. Известно (формула Стирлинга), что $n!$ с ростом n растет быстрее, чем 2^n . Следовательно, приведенное решение даже для сравнительно небольших значений n в приемлемое время не уложится, независимо от производительности используемого компьютера.

8.3. Фундаментальное множество циклов

Остов (V, T) связного неориентированного графа $G = (V, E)$ содержит $n - 1$ ребер, где n — количество вершин G . Каждое ребро, не принадлежащее T , т. е. любое ребро из $E \setminus T$, при добавлении его к T порождает в точности один цикл. Такой цикл является элементом *фундаментального множества циклов* графа G относительно остова T . Поскольку остов состоит из $n - 1$ ребер, в фундаментальном множестве циклов графа G относительно любого остова имеется $m - n + 1$ циклов, где m — количество ребер в G .

Пример 8.4. Пример графа и его остова приведен на рис. 8.8, а множество его фундаментальных циклов относительно этого остова — на рис. 8.9. ◀

Поиск в глубину является естественным подходом, используемым для нахождения фундаментальных циклов. Строится остов, а каждое обратное ребро порождает цикл относительно этого остова. Для вывода циклов необходимо хранить порядок обхода графа при поиске в глубину (номера вершин) — массив St , а для определения обратных ребер вершины следует «метить»

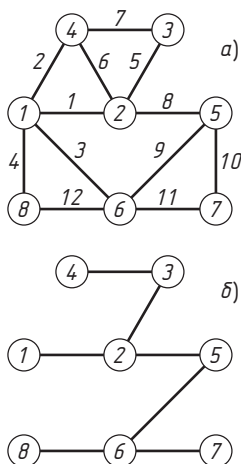


Рис. 8.8. Пример графа (а) и его остова (б)

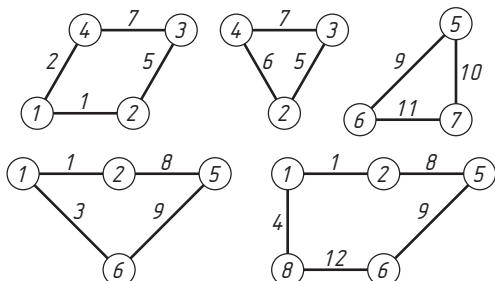


Рис. 8.9. Фундаментальное множество циклов графа на рис. 8.8

(массив $Gnum$) в той очередности, в которой они просматриваются. Если для ребра (v, j) оказывается, что значение метки вершины с номером j меньше, чем значение метки вершины с номером v и вершины v и j не смежные, то ребро обратное, и найден цикл.

Начальная инициализация переменных:

```
...
num:=0; yk:=0;
For j:=1 To n Do Gnum[j]:=0;
...
```

Основная логика:

```
Procedure Solve(v:integer); {Глобальные перемен-
ные: A—матрица смежности графа; St—массив для
хранения номеров вершин графа в том порядке, в
котором они используются при построении остова;
yk—указатель записи в массив St; Gnum—для
каждой вершины в соответствующем элементе мас-
сива фиксируется номер шага (num), на котором
она просматривается при поиске в глубину}
Var j:Integer;
Begin
  Inc(yk); St[yk]:=v;
  Inc(num); Gnum[v]:=num;
  For j:=1 To n Do
    If A[v,j]<>0 Then
      If Gnum[j]=0 Then Solve(j) {Вершина j не
        просмотрена}
      Else
        If (j<>St[yk-1]) And (Gnum[j]<Gnum[v])
          Then <Вывод цикла из St>; {j не
            предыдущая вершина при просмотре,
            и она была просмотрена ранее}
  Dec(yk);
End;
```

Число $\nu(G) = m - n + 1$ (граф G состоит из одной связной компоненты) называют *цикломатическим числом*. Число фундаментальных циклов равно $\nu(G)$, но сами циклы определяются неоднозначно, а зависят от первоначально выбранного остова T (или логики его построения), ибо каждый цикл получается добавлением одного ребра, не принадлежащего T , к части остова или остову. Для произвольных

множеств ребер A и B операция \oplus симметрической разности определяется как $A \oplus B = (A \cup B) \setminus (A \cap B)$. Она эквивалентна сложению по модулю 2, если каждый фундаментальный цикл Φ_i , $i = 1, 2, \dots, \nu(G)$, представить m -мерным двоичным вектором, в котором j -я компонента равна 1 или 0 в зависимости от того, принадлежит или нет j -е ребро данному циклу (следует пометить множество ребер графа). Элементы множества фундаментальных циклов Φ_i , $i = 1, 2, \dots, \nu(G)$, являются *независимыми*, ибо ни один цикл из этого множества не может быть получен в результате линейной комбинации остальных (операции симметрической разности). Все остальные циклы графа могут быть получены линейной комбинацией фундаментальных циклов, поэтому являются зависимыми. Этим и объясняется название множества циклов — «фундаментальное».

Пример 8.5. На рис. 8.8 изображен граф и его остов, а на рис. 8.9 — фундаментальные циклы графа относительно этого остова. Пронумеруем их следующим образом: цикл 1 — (1, 2, 3, 4, 1), цикл 2 — (2, 3, 4, 2), цикл 3 — (1, 2, 5, 6, 1), цикл 4 — (5, 6, 7, 5) и цикл 5 — (1, 2, 5, 6, 8, 1). В табл. 8.1 приведены результаты выполнения операции сложения по модулю 2 для некоторых линейных ком-

Таблица 8.1

Используемые в операции циклы	Ребра												Результат, указаны номера вершин
	1	2	3	4	5	6	7	8	9	10	11	12	
1	1	1	0	0	1	0	1	0	0	0	0	0	Цикл (1, 2, 4, 1)
2	0	0	0	0	1	1	1	0	0	0	0	0	
	1	1	0	0	0	1	0	0	0	0	0	0	
1	1	1	0	0	1	0	1	0	0	0	0	0	Цикл (1, 4, 3, 2, 5, 6, 1)
3	1	0	1	0	0	0	0	1	1	0	0	0	
	0	1	1	0	1	0	1	1	1	0	0	0	
2	0	0	0	0	1	1	1	0	0	0	0	0	Цикл не получается
3	1	0	1	0	0	0	0	1	1	0	0	0	
	1	0	1	0	1	1	1	1	1	0	0	0	
1	1	1	0	0	1	0	1	0	0	0	0	0	Цикл не получается
3	1	0	1	0	0	0	0	1	1	0	0	0	
5	1	0	0	1	0	0	0	1	1	0	0	1	
	1	1	1	1	1	0	1	0	0	0	0	1	
1	1	1	0	0	1	0	1	0	0	0	0	0	Цикл (1, 4, 3, 2, 5, 7, 6, 8, 1)
4	0	0	0	0	0	0	0	0	1	1	1	0	
5	1	0	0	1	0	0	0	1	1	0	0	1	
	0	1	0	1	1	0	1	1	0	1	1	1	

бинаций фундаментальных циклов. В третьем и четвертом случаях цикл не получается; первый, второй и пятый дают новые циклы. ◀

Как уже отмечалось выше, несмотря на то что количество фундаментальных циклов равно $\nu(G)$, сами эти циклы однозначно не определены, так как зависят от выбранного остова T . Возможен случай, когда $\nu(G)$ независимых циклов определяются так, что ни один из них нельзя получить добавлением обратного ребра к некоторому остову. На рис. 8.10 приведен пример такого графа [15].

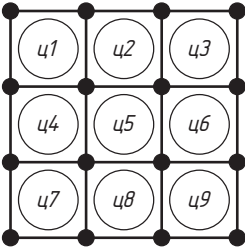


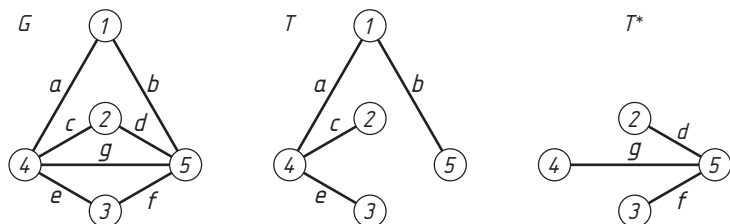
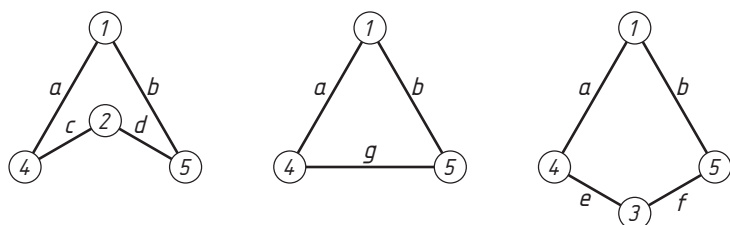
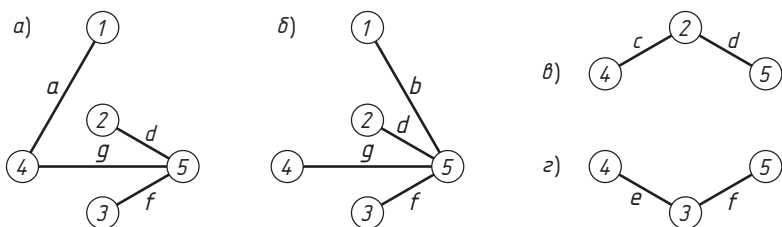
Рис. 8.10. Пример независимых, но не фундаментальных циклов. Закрашенные круги означают вершины графа, незакрашенные — циклы. Независимые циклы не получаются добавлением ребер ни к какому остову графа

Разрезом связного графа называют множество ребер, удаление которых делает граф несвязным. *Простой разрез* — это минимальный разрез, т. е. такой разрез, никакое собственное подмножество которого разрезом не является.

Простой разрез разбивает граф G (одна связная компонента) точно на две связные компоненты. В общем случае любой разрез является объединением некоторого числа простых разрезов. Между циклами и простыми разрезами графа существует определенная связь, поэтому простые разрезы называют *коциклами*. Действительно, остов определяется как минимальное число ребер, связывающих все вершины графа G , в то время как простой разрез есть минимальное количество ребер, отделяющих одни вершины от других. Отсюда следует, что любой остов графа G должен иметь по крайней мере одно общее ребро с каждым простым разрезом, и количество простых разрезов есть $\rho(G) = n - 1$, называемое *коцикломатическим числом* графа. Подграф графа G , составленный из ребер, не входящих в дерево (остов) T , называется *кодеревом* относительно дерева T .

Пример 8.6. На рис. 8.11 приведен пример графа G , его остова T , построенного методом просмотра в ширину, и кодерева (относительного данного остова) T^* . ◀

Возьмем любое ребро u_i из остова T графа G . Его удаление разбивает T на две связные компоненты M_1 и M_2 . В G есть еще обратные ребра между вершинами из M_1 и M_2 . Пусть это будут ребра v_1, v_2, \dots, v_j . Множество ребер $K_i = \{u_i, v_1, v_2, \dots, v_j\}$ образует простой разрез, который называется *фундаментальным разрезом* G относи-

Рис. 8.11. Пример графа G , его дерева T и кодерва T^* Рис. 8.12. Множество фундаментальных циклов графа G на рис. 8.11Рис. 8.13. Множество коциклов графа G на рис. 8.11

тельно ребра u_i остова T . Множество построенных таким образом разрезов (коциклов) $\{K_1, K_2, \dots, K_{n-1}\}$ относительно данного остова T , их $\rho(G)$, называют *фундаментальным множеством разрезов*, или базисом пространства коциклов графа G . На рис. 8.12 приведено множество фундаментальных циклов, а на рис. 8.13 — множество фундаментальных коциклов графа G относительно остова T (рис. 8.11).

Определим матрицу фундаментальных циклов $F = \{f_{ij}\}$ графа G как матрицу, состоящую из $\nu(G)$ строк и m столбцов, в которой $f_{ij}=1$, если ребро с номером j принадлежит циклу с номером i , и равно 0 в противном случае. Матрица фундаментальных коциклов K определяется аналогично. Для графа на рис. 8.11 относительно по-

строенного остова фундаментальное множество циклов приведено на рис. 8.12. Матрица фундаментальных циклов имеет вид:

$$F = \begin{matrix} & a & b & c & d & e & f & g \\ \begin{matrix} u_1 \\ u_2 \\ u_3 \end{matrix} & \begin{pmatrix} 1 & 1 & 1 & 1 & 0 & 0 & 0 \\ 1 & 1 & 0 & 0 & 0 & 0 & 1 \\ 1 & 1 & 0 & 0 & 1 & 1 & 0 \end{pmatrix} \end{matrix},$$

а матрица коциклов:

$$K = \begin{matrix} & a & b & c & d & e & f & g \\ \begin{matrix} \kappa_1 \\ \kappa_2 \\ \kappa_3 \\ \kappa_4 \end{matrix} & \begin{pmatrix} 1 & 0 & 0 & 1 & 0 & 1 & 1 \\ 0 & 1 & 0 & 1 & 0 & 1 & 1 \\ 0 & 0 & 1 & 1 & 0 & 0 & 0 \\ 0 & 0 & 0 & 0 & 1 & 1 & 0 \end{pmatrix} \end{matrix}.$$

Приведем два факта, касающихся матриц фундаментальных циклов и коциклов.

Теорема. Матрица инциденций B и транспонированная матрица фундаментальных циклов F^T ортогональны (операции рассматриваются по модулю 2), т. е. $B \times F^T = 0 \pmod{2}$.

Теорема. Матрица фундаментальных циклов F и транспонированная матрица фундаментальных разрезов (коциклов) K^T ортогональны, т. е. $F \times K^T = 0 \pmod{2}$.

Теоремы являются следствиями двух простых фактов:

- 1) каждая вершина в цикле инцидентна четному числу ребер этого цикла, а в случае простого цикла — двум ребрам;
- 2) каждый разрез цикла, индуцированный некоторым разрезом, имеет четное число ребер, общих с этим разрезом.

8.4. Матроиды

Жадный алгоритм

Дано конечное множество A , $|A| = t$, каждому элементу которого приписан неотрицательный вес $w(a_i)$, $i = 1, \dots, t$, и семейство подмножеств $\mathcal{R} \subset 2^A$ (2^A — множество всех подмножеств множества A). Требуется найти такое $X \in \mathcal{R}$, что $\sum_{a_i \in X} w(a_i)$ имеет максимальное значение. Без ограничения общности можно считать, что $w(a_1) \geq \dots \geq w(a_t) > 0$.

Суть «жадности» проста — на каждом шаге выбирается наилучший, согласно критерию, элемент множества A : если ищется мак-

симальное (минимальное) значение, то берется очередной максимальный (минимальный) элемент и проверяется принадлежность нового образования (в нашем случае — множества) заданной структуре (семейству подмножеств). При выполнении условия элемент включается в решение.

```

Procedure Solve; {Предполагаем, что элементы ко-
  нечного множества представлены в одномерном
  массиве и являются целыми числами в ограничен-
  ном интервале}
Var i:Integer;
Begin
  X:=[];
  For i:=1 To t Do
    If <X ∪ {A[i]} ∈ ℱ> Then X:=X+[A[i]]; {Про-
      сматриваем «подряд» элементы множества,
      и если его добавление к текущему подмно-
      жеству не выводит его из семейства ℱ, то
      включаем элемент в подмножество}
  End;

```

Вся сложность заключается в описании семейства подмножеств \mathcal{F} и проверке того, принадлежит ли конкретное подмножество этому семейству. Алгоритм имеет линейную временную сложность, т. е. относится к классу очень эффективных. Возникает естественный вопрос — в каких случаях жадный алгоритм дает правильный результат, т. е. найденное подмножество X обладает указанным свойством?

Пример 8.7. Дана матрица

$$A = \begin{pmatrix} 4 & \underline{5} & 7 \\ \underline{11} & 2 & \underline{10} \\ 5 & 4 & 5 \end{pmatrix}.$$

Требуется найти такое подмножество элементов матрицы, чтобы из каждого столбца матрицы было взято не более одного элемента и сумма выбранных элементов была максимальна.

Жадная логика, а именно выбор из каждого столбца максимального элемента, дает правильный результат. Выбранные элементы матрицы подчеркнуты. Изменим условие: в каждом столбце и в каждой строке находится не более одного выбранного элемента (выбираем по столбцам). Жадная логика дает следующий результат

(элементы матрицы подчеркнуты): $A = \begin{pmatrix} 4 & \underline{5} & 7 \\ \underline{11} & 2 & 10 \\ 5 & 4 & \underline{5} \end{pmatrix}$, однако правильный результат имеет вид $A = \begin{pmatrix} 4 & 5 & 7 \\ \underline{11} & 2 & 10 \\ 5 & \underline{4} & 5 \end{pmatrix}$. Таким образом, в данном случае жадная логика неприменима. Отличие задач заключается в разном определении семейства подмножеств \mathcal{R} . ◀

Пусть дана матрица

$$A = \begin{pmatrix} a_{11} & a_{12} & \cdots & a_{1n} \\ a_{21} & a_{22} & \cdots & a_{2n} \\ \cdot & \cdot & \cdot & \cdot \\ a_{m1} & a_{m2} & \cdots & a_{mn} \end{pmatrix}.$$

Ее столбцы можно считать векторами некоторого линейного пространства размерности m . Подмножество векторов линейно независимо тогда и только тогда, когда соответствующее им множество столбцов линейно независимо. Каждая матрица A определяет матроид $M(A) = (E, \mathcal{R})$, где E есть множество ее столбцов. Множество столбцов $B \in \mathcal{R}$ тогда и только тогда, когда столбцы в B линейно независимы. Этот тип матроидов называют матричными матроидами. В примере 8.7 в первом случае мы решали задачу на матроиде — на множестве столбцов матрицы A .

Что собой представляет комбинаторный объект матроид?

Матроидом $M = (E, \mathcal{R})$ называется конечное множество E , $|E| = t$, и семейство его подмножеств $\mathcal{R} \subset 2^E$, такое, что выполняются следующие аксиомы:

- 1) $\emptyset \in \mathcal{R}$, и если $A \in \mathcal{R}$ и $B \subseteq A$, то $B \in \mathcal{R}$;
- 2) для произвольных подмножеств $A, B \in \mathcal{R}$, таких, что $|B| = |A| + 1$, существует элемент $e \in B \setminus A$, такой, что $A \cup \{e\} \in \mathcal{R}$.

Множества семейства \mathcal{R} называют *независимыми* множествами, а остальные подмножества из $2^E \setminus \mathcal{R}$ — *зависимыми*. Для произвольного множества $C \subseteq E$ понятие максимального независимого подмножества традиционно. Так $A \subseteq C$ есть *максимальное независимое подмножество* множества C , если A — независимое подмножество и не существует независимого подмножества B , такого, что $A \subset B \subseteq C$.

Теорема. Пусть E — конечное множество, \mathcal{R} — семейство его подмножеств, удовлетворяющих первой аксиоме в определении матроида. При этих предположениях $M = (E, \mathcal{R})$ является матроидом тогда и только тогда, когда выполняется условие: все максимальные независимые подмножества произвольного множества $C \subseteq E$ имеют одинаковую мощность.

Мощность максимального независимого подмножества произвольного множества $C \subseteq E$ называют *рангом* этого множества:

$$r(C) = \max\{|A|: A \in \mathcal{R} \text{ и } A \subseteq C\},$$

а ранг $r(E)$ — *рангом матроида* $M = (E, \mathcal{R})$. Каждое максимальное по включению независимое множество матроида называют *базой* этого матроида. Минимальное относительно включения зависимое множество $A \subseteq E$ называется *циклом*, т. е. если A — цикл, $B \subset A$ и $B \neq \emptyset$, то множество B независимо.

Эквивалентное определение матроида можно дать через введенное понятие базы. *Матроидом* M называется пара (E, \mathcal{R}) , где E — конечное непустое множество, а \mathcal{R} — непустое множество баз матроида, удовлетворяющее следующим двум условиям:

- 1) никакая база не содержится в другой базе;
- 2) если B_1 и B_2 — базы, то для любого элемента $b \in B_1$ существует такой элемент $c \in B_2$, что $(B_1 \setminus b) \cup c$ — также база.

В этом случае независимым называется любое подмножество базы матроида.

Теорема (Радо—Эдмондса). *Если $M = (E, \mathcal{R})$ есть матроид, то множество X , найденное жадным алгоритмом, является независимым множеством с наибольшим весом. Напротив, если $M = (E, \mathcal{R})$ не является матроидом, то всегда можно задать такие веса элементам множества E , что X не будет независимым множеством с наибольшим весом.*

Двойственный матроид

Пусть $M = (E, \mathcal{R})$ — матроид с множеством баз \mathcal{R} . Для произвольного $X \subseteq E$ однозначно определяется $\overline{X} = E \setminus X$. Если B — база матроида M ($B \in \mathcal{R}$), то \overline{B} называют его *кобазой*. Множество всех кобаз \mathcal{R}^* удовлетворяет требованиям из определения матроида через базы, т. е. пара (E, \mathcal{R}^*) является матроидом M^* . Матроид M^* называют *двойственным к матроиду M* .

Зависимое (независимое) множество элементов матроида M^* называют *козависимым (конезависимым)* в M . Цикл матроида M^* есть *коцикл M* , ранг матроида M^* есть *коранг M* .

Матричный матроид

Как мы уже знаем, матрица смежности A графа определяет матроид $M(A) = (E, \mathcal{R})$, где E — множество ее столбцов. Множество столбцов $B \in \mathcal{R}$ тогда и только тогда, когда столбцы в B линейно независимы.

Пример 8.8. Рассмотрим матроид M столбцов матрицы

$$A = \begin{pmatrix} 1 & 1 & 1 & 0 & 0 \\ 0 & 0 & 1 & 1 & 0 \\ 1 & 0 & 1 & 1 & 1 \end{pmatrix}.$$

Обозначив столбцы как s_1, s_2, s_3, s_4, s_5 , получаем $E = \{s_1, s_2, s_3, s_4, s_5\}$. Перебор всех максимальных линейно независимых подмножеств столбцов дает, что базами являются следующие множества: $B_1 = \{s_1, s_2, s_3\}$, $B_2 = \{s_1, s_2, s_4\}$, $B_3 = \{s_1, s_3, s_4\}$, $B_4 = \{s_1, s_3, s_5\}$, $B_5 = \{s_1, s_4, s_5\}$, $B_6 = \{s_2, s_3, s_5\}$, $B_7 = \{s_2, s_4, s_5\}$, $B_8 = \{s_3, s_4, s_5\}$. Зависимые множества: E , все множества из четырех элементов, $\{s_1, s_2, s_5\}$ и $\{s_2, s_3, s_4\}$. Последние два множества являются также циклами матроида M . Кобазы: $\overline{B}_1 = \{s_4, s_5\}$, $\overline{B}_2 = \{s_3, s_5\}$, $\overline{B}_3 = \{s_2, s_5\}$, $\overline{B}_4 = \{s_2, s_4\}$, $\overline{B}_5 = \{s_2, s_3\}$, $\overline{B}_6 = \{s_1, s_4\}$, $\overline{B}_7 = \{s_1, s_3\}$, $\overline{B}_8 = \{s_1, s_2\}$. Козависимые множества: $\{s_3, s_4\}$, $\{s_1, s_5\}$ и каждое подмножество в E , содержащее более двух элементов. Коциклы: $\{s_3, s_4\}$, $\{s_1, s_5\}$, $\{s_2, s_4, s_5\}$, $\{s_2, s_3, s_5\}$, $\{s_1, s_2, s_4\}$, $\{s_1, s_2, s_3\}$. ◀

Жадный алгоритм определения ранга матричного матроида

Пусть дана матрица A из n строк и m столбцов (A : *Array*[1..n, 1..m] *Of Real*). Столбцы матрицы упорядочены по невозрастанию столбцов (веса неотрицательные). На выходе алгоритма получаем независимое множество столбцов S (S : *Set Of* 1..m) с наибольшим суммарным весом.

```

Procedure Solve; {Переменные A и S – глобальные}
  Var i, j, k, t: Integer;
  Begin
    S := [];
    For j := 1 To m Do Begin
      i := 1;
      While (i <= n) And (A[i, j] = 0) Do i := i + 1;
      If i < n + 1 Then Begin
        S := S + [j];
        For k := j + 1 To m Do
          For t := 1 To n Do
            A[t, k] := A[t, k] - A[t, j] * A[i, k] / A[i, j];
      End;
    End;
  End;
End;

```

На каждой итерации цикла по j проверяется, состоит ли столбец с номером j из одних нулей. Если да, то столбец j не принадлежит ни к одному линейно независимому множеству. Если нет, то столбец включаем в S и для всех $k > j$ из k -го столбца вычитаем j -й столбец, умноженный на $A[i, k]/A[i, j]$. Эта операция не нарушает линейной независимости. Логике можно дополнить так, что после ее выполнения и перестановки строк и столбцов получится подматрица $|S| \times |S|$ с нулями выше главной диагонали и ненулевыми элементами на диагонали.

Графовый матроид

Пусть $G = (V, E)$ — неориентированный граф. Матроидом является $M(G) = (E, \mathcal{R})$, где $\mathcal{R} = \{A \subseteq E: \text{граф } (V, A) \text{ не содержит циклов}\}$.

Теорема. $M(G)$ является матроидом для произвольного графа G .

Графовый матроид определяется и через базы. Базами являются остовы графа. Действительно, если есть два остова $T_1 = (V_1, E_1)$ и $T_2 = (V_2, E_2)$, то для любого ребра $b \in T_1$ существует ребро $c \in T_2$, такое, что граф $T_3 = (V_1, E_1 \cup \{c\} \setminus \{b\})$ также является остовом. Циклами матроида M являются множества ребер простых циклов графа G .

Пример 8.9. На рис. 8.14 приведен пример графа. Он имеет восемь баз, состоящих из множества ребер: $B_1 = \{1, 2, 5\}$, $B_2 = \{1, 2, 4\}$, $B_3 = \{1, 3, 5\}$, $B_4 = \{1, 4, 5\}$, $B_5 = \{1, 3, 4\}$, $B_6 = \{2, 3, 5\}$, $B_7 = \{2, 3, 4\}$, $B_8 = \{3, 4, 5\}$. Циклы: $\{1, 2, 3\}$, $\{2, 4, 5\}$, $\{1, 3, 4, 5\}$. Кобазы являются множества ребер: $\overline{B}_1 = \{3, 4\}$, $\overline{B}_2 = \{3, 5\}$, $\overline{B}_3 = \{2, 4\}$, $\overline{B}_4 = \{2, 3\}$, $\overline{B}_5 = \{2, 5\}$, $\overline{B}_6 = \{1, 4\}$, $\overline{B}_7 = \{1, 5\}$, $\overline{B}_8 = \{1, 2\}$, а коциклами — $\{1, 3\}$, $\{4, 5\}$, $\{2, 3, 4\}$, $\{2, 3, 5\}$, $\{1, 2, 4\}$, $\{1, 2, 5\}$. ◀

Матроид графа G допустимо трактовать как матричный матроид, строящийся на матрице инциденций, с операцией сложения по модулю 2 ($(1+1) \bmod 2 = 0$).

Теорема. Для произвольного графа $G = (V, E)$ подмножество столбцов матрицы инциденций линейно зависимо (операция сложения выполняется по модулю 2) тогда и только тогда, когда соответствующее ему подмножество ребер содержит цикл.

Для графового матроида применим жадный алгоритм. Алгоритм поиска ранга соответствующего матричного матроида дает

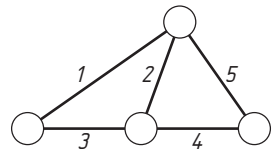


Рис. 8.14. Пример графа для иллюстрации понятия «графовый матроид»

базу с максимальным суммарным весом, его сложность $O(n^2m)$. Метод Краскала (п. 6.5), являющийся по своей сути также жадным алгоритмом, решает эту задачу более эффективным образом.

Упражнения и задачи

8.1. Написать программу поиска эйлерова цикла для ориентированного графа.

8.2. Показать, что связный граф является эйлеровым тогда и только тогда, когда он является объединением реберно непересекающихся простых циклов.

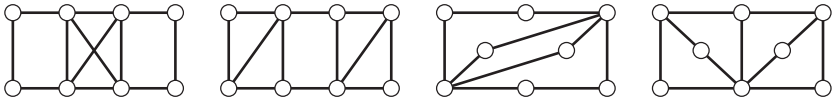


Рис. 8.15. Примеры графов для поиска эйлеровых и гамильтоновых циклов

8.3. На рис. 8.15 даны четыре графа*). Для каждого из них определить, является ли он эйлеровым, гамильтоновым.

8.4. Для графа на рис. 8.16 найти цикломатическое и коцикломатическое числа, а также фундаментальные циклы относительно некоторого остова (естественно, вершинам требуется присвоить метки).

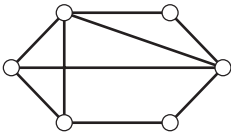


Рис. 8.16. Пример графа для поиска множества фундаментальных циклов

8.5. Для графа на рис. 8.16 выписать матрицы инциденций, фундаментальных циклов и коциклов. Проверить справедливость теорем о перемножении соответствующих матриц (см. с. 166).

8.6. Дан гамильтонов граф. Всегда ли можно с помощью симметрической разности некоторого подмножества множества фундаментальных циклов получить гамильтонов цикл? Если да, то написать программу поиска гамильтонова цикла таким способом.

8.7. Используя представление фундаментальных циклов в виде множества ребер и операцию симметрической разности, написать программу генерации всех циклов графа.

8.8. Привести пример матрицы A . Найти линейно независимое множество (одно) ее столбцов.

*) Пример из книги: Харари Ф. Теория графов. — М. : Едиториал УРСС, 2003.

8.9. Привести пример матрицы $A[1..3, 1..5]$, элементы которой равны 0 или 1. Рассмотреть матричный матроид. Найти его базы, циклы, кобазы и коциклы.

8.10. Привести пример матрицы A . С помощью жадного алгоритма определить ранг матричного матроида.

8.11. Привести пример графа. Для графового матроида найти его базы, циклы, кобазы и коциклы.

8.12. Дан граф. Определить соответствующий ему матричный матроид.

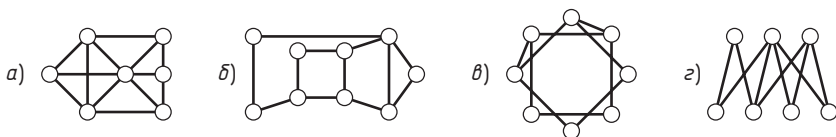


Рис. 8.17. Примеры графов для поиска гамильтонова цикла

8.13. Найти гамильтонов цикл, если он существует, для каждого из графов, приведенных на рис. 8.17.

Комментарии

Алгоритмы поиска эйлеровых и гамильтоновых циклов, в их общем виде, общеизвестны. Алгоритм поиска множества фундаментальных циклов можно найти в работах [1, 13, 15, 17, 20]. О матроидах в главе даны только начальные сведения. Простое и ясное изложение этого раздела теории графов можно найти в книге [11], вероятно, оно одно из лучших.

ГЛАВА 9

ПОКРЫТИЯ И НЕЗАВИСИМОСТЬ

9.1. Основные понятия

Говорят, что вершина графа *покрывает* инцидентные ей ребра, а ребро графа *покрывает* инцидентные ему вершины. Естественным образом возникают две задачи:

1) поиск минимального числа вершин, покрывающих все ребра графа G , это *число вершинного покрытия* — $\alpha_0(G)$;

2) поиск минимального числа ребер, покрывающих все вершины графа G , это *число реберного покрытия* — $\alpha_1(G)$.

Так, для полного графа K_n

$$\alpha_0(K_n) = n - 1, \quad \alpha_1(K_n) = \left\lceil \frac{n}{2} \right\rceil.$$

Множество вершин графа G называют *независимым*, если никакие две вершины в этом множестве не смежны. Наибольшее число вершин в независимом множестве называют *вершинным числом независимости* $\beta_0(G)$, а соответствующее множество наибольшим. Для полного графа $\beta_0(K_n) = 1$. Аналогично, в *независимом множестве ребер* любая пара ребер не смежна. Наибольшее число ребер в независимом множестве называют *реберным числом независимости* $\beta_1(G)$. Для полного графа

$$\beta_1(K_n) = \left\lfloor \frac{n}{2} \right\rfloor.$$

Теорема. Для любого графа G без изолированных вершин выполняются равенства:

$$\alpha_0 + \beta_0 = n = \alpha_1 + \beta_1.$$

Пример 9.1. На рис. 9.1 приведен пример графа. Наибольшее независимое множество вершин — {3, 4, 6}, $\beta_0(G) = 3$, вершинное покрытие — {1, 2, 5, 7}, $\alpha_0(G) = 4$. Число реберного покрытия графа $\alpha_1(G)$ равно 4. Один из вариантов реберного покрытия — {(1, 2), (1, 3), (4, 5), (6, 7)}. Пример наибольшего независимого множества ребер — {(1, 3), (2, 4), (5, 7)}, $\beta_1(G) = 3$. ◀

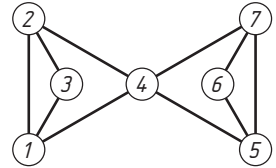
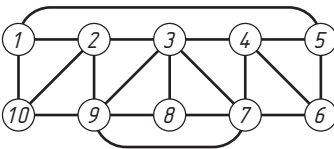


Рис. 9.1. Пример графа для иллюстрации понятий «покрытие» и «независимость»

Из теоремы, в частности, следует следующий факт. Множество U вершин графа $G = (V, E)$ является вершинным покрытием тогда и только тогда, когда $\bar{U} = V \setminus U$ есть независимое множество вершин. Наименьшему (минимальному) независимому множеству вершин соответствует наибольшее (максимальное) вершинное покрытие. Аналогичные утверждения можно сформулировать и для реберного покрытия и независимого множества ребер.

Независимое множество называется *максимальным*, когда нет другого независимого множества, в которое оно бы входило.



- $A[1] = [2, 5, 10]$
- $A[2] = [1, 3, 9, 10]$
- $A[3] = [2, 4, 7, 8, 9]$
- $A[4] = [3, 5, 6, 7]$
- $A[5] = [1, 4, 6]$
- $A[6] = [4, 5, 7]$
- $A[7] = [3, 4, 6, 8, 9]$
- $A[8] = [3, 7, 9]$
- $A[9] = [2, 3, 7, 8, 10]$
- $A[10] = [1, 2, 9]$

Рис. 9.2. Пример графа для пояснения логики поиска всех максимальных независимых множеств. Приводится описание графа в виде массива множеств. Каждый элемент массива с номером i — это множество номеров смежных с i вершин

Пример 9.2. Для графа на рис. 9.2 множества вершин {1, 6}, {1, 7}, {1, 3, 6} являются независимыми. Множество {1, 6} не является ни максимальным, ни наибольшим. Множество {1, 7} является максимальным, но не наибольшим. Множество {1, 3, 6} является и максимальным, и наибольшим. ◀

9.2. Метод генерации всех максимальных независимых множеств вершин графа

Задача относится к классике перебора с возвратом. «Издюминкой» является отсутствие необходимости запоминать генерируемые множества с целью проверки их на максимальность путем сравнения с ранее сформированными множествами. Идея заключается в

последовательном расширении текущего независимого множества. Очевидно, что если мы не можем расширить текущее решение, то найдено максимальное независимое множество. Выведем его и продолжим процесс поиска. Будем хранить текущее решение в массиве S_s (*Array[1..n] Of Integer*), его первые k элементов определяют текущее решение (k — номер шага или номер итерации в процессе построения). Логика вывода решения очевидна (процедура *Print*).

В процессе решения нам придется многократно рассматривать вершины графа, смежные с данной. При описании графа матрицей смежности это просмотр соответствующей строки, при описании списками связей — просмотр списка. Упростим нахождение смежных вершин за счет использования нового способа описания графа. Используем множественный тип данных. Введем тип данных: *Type Sset = Set Of 1..n* и переменную *Var A: Array[1..n] Of Sset*. Для определения вершин графа, смежных с вершиной i , необходимо обратиться к соответствующему элементу массива A . Нам потребуется функция подсчета количества элементов в множестве. Приведем ее текст:

```
Function Number (A:Sset) :Byte;
  Var i, cnt:Byte;
  Begin
    cnt:=0;
    For i:=1 To n Do
      If i In A Then Inc(cnt);
    Number:=cnt;
  End;
```

На рис. 9.2 приведен пример графа для пояснения логики поиска. Основная сложность алгоритма в выборе очередной вершины графа. Введем переменную Gg для хранения номеров вершин — кандидатов на расширение текущего решения. Значение переменной формируется на каждом шаге k . Что является исходной информацией для формирования Gg ? Очевидно, что некоторое множество вершин, свое для каждого шага (итерации) алгоритма. Логически правомерно разбить это множество вершин на не использованные ранее (Qp) и использованные ранее (Qm). Пусть мы выбрали на k -м шаге вершину с номером i . Естественным будет исключить ее из Qp и Qm при поиске следующего максимального независимого множества. Кроме того, при переходе к шагу с номером $k + 1$ из текущих множеств Qp и Qm необходимо исключить вершины, смеж-

ные с вершиной i (из определения независимого множества). Изменение значений Q_p и Q_m происходит также при возврате на выбор k -го элемента максимального независимого множества. Итак, общая логика:

```

Procedure Solve(k:Integer; Qp,Qm:Sset);
  Var Gg:Sset;
      i:Byte;
Begin
  If (Qp<>[ ]) Or (Qm<>[ ]) Then Begin
    <формирование множества кандидатов Gg для
    расширения текущего решения (k-го элемен-
    та в массиве Ss) по значениям Qp и Qm –
    «черный ящик А»>;
    i:=1;
    While i<=n Do Begin
      If i In Gg Then Begin
        Ss[k]:=i;
        Solve(k+1,Qp-A[i]-[i],Qm-A[i]-[i]);
        <изменение Qp, Qm для этого уровня
        (значения k) и, соответственно, изме-
        нение множества кандидатов Gg – «чер-
        ный ящик Б»>;
      End;
      Inc(i);
    End;
  End
  Else Print(k);
End;
```

Примечание. Если на место «черного ящика А» мы запишем $Gg := Q_p$, а на место «ящика Б» $Q_p := Q_p - [i]$; $Q_m := Q_m + [i]$, то получается что-то делающая логика, которую уже можно «доводить до ума».

При генерации максимальных независимых множеств все вершины графа на каждом шаге разбиваются на блоки. Поясним мысль. Для нашего примера (см. рис. 9.2) на первом шаге выбрана вершина с номером 1. На следующем шаге вершины из множества $\{2, 5, 10\}$ выбирать бессмысленно — они смежные с вершиной 1. Блок 1 — это множество вершин $\{1, 2, 5, 10\}$. Только эти вершины берутся на первом шаге. Для второго шага ($k=2$), при выборе на первом вершины с номером 1, остаются вершины из множества $\{3, 4, 6, 7, 8, 9\}$ — блок 2. Выбор вершины 3 оставляет для третьего

шага множество из одной вершины — {6}. Итак, первое максимальное независимое множество получено, это {1, 3, 6}. Можно сделать очевидный шаг по уточнению логики «черного ящика A »:

```
If Qm<>[] Then
    <формирование значения Gg на основе информа-
    ции, заложенной в Qm — «черный ящик AA»>
Else Gg:=Qp;
```

Возвращаемся на выбор вершины из блока 2, ибо в третьем блоке была только одна вершина. И в этот момент необходимо откорректировать множество вершин блока 2, в нем должны остаться только вершины, смежные с вершиной 3, т. е. {4, 7, 8, 9}. Исключение вершины 3 очевидно — она переходит в разряд ранее использованных (Qm). А вершина 6? Если мы ее оставим в блоке, то будет сгенерировано множество {1, 6, 3}, а оно уже было. Вершина с номером 6 исключается из Gg , но не из Qp ! Таким образом, «черный ящик B » расширявается следующим образом:

```
Qp:=Qp-[i];
Qm:=Qm+[i];
Gg:=Qp*A[i];
```

После выбора из второго блока вершины с номером 4 в блоке 3 остаются вершины с номерами 8 и 9. Получаем максимальные независимые множества {1, 4, 8} и {1, 4, 9}.

Рассмотрим следующий шаг по выбору вершины из блока 2. Значения переменных $Qp = \{6, 7, 8, 9\}$, $Qm = \{3, 4\}$, $A[3] = \{2, 4, 7, 8, 9\}$, $A[4] = \{3, 5, 6, 7\}$. Как сформировать значение переменной Gg ? Присвоение $Gg := Qp$ работоспособно, но приводит к повторению максимальных независимых множеств (проведите эксперимент на компьютере). Во-первых, если существует вершина j , принадлежащая Qm , такая, что пересечение $A[j]$ и Qp пусто, то дальнейшее построение максимального независимого множества бессмысленно — вершины из $A[j]$ не попадут в него (отсечение ветвей в переборе). Во-вторых, предположим, что нет пустых пересечений. Как максимальным образом можно сократить перебор? Следует перебрать все вершины из Qm и найти вершину j , такую, что $|Qp \cap A[j]|$ (мощность множества) окажется минимальной. В этом случае мы не пропустим вершины графа и сократим количество вершин в блоке, тем самым и количество рассматриваемых вариантов. В нашем примере $Qp \cap A[3] = \{7, 8, 9\}$, а $Qp \cap A[4] = \{6, 7\}$. Блок состоит только из двух вершин — $Gg = \{6, 7\}$.

```

Begin
  delt:=n+1;
  For j:=1 To n Do
    If j In Qm Then
      If Number(A[j]*Qp)<delt Then Begin
        {Функция Number описана ранее}
        i:=j;
        delt:=Number(A[j]*Qp);
      End;
    Gg:=Qp*A[i];
  End {знак «;» ставить нельзя и следует не забыть
  ввести переменную delt в раздел Var}

```

Дальнейшая «прокрутка» логики показывает, что мы получаем максимальные независимые множества $\{1, 6, 8\}$, $\{1, 6, 9\}$ и $\{1, 7\}$. После этого наступает очередь выбора следующей вершины из блока 1, это будет вершина с номером 2 и т. д.

9.3. Клики

Понятие, противоположное независимому множеству, есть полный подграф графа G — *клика*. Клика является *максимальной*, если она не содержится в другой клике, и *наибольшей*, если число вершин в ней наибольшее при рассмотрении всех клик исходного графа. Число вершин в наибольшей клике называют *кликковым числом*, или *плотностью графа* $\varphi(G)$. Максимальная клика графа может оказаться не наибольшей.

Максимальное независимое множество вершин графа G соответствует клике графа G^* , где G^* — дополнение графа G , и наоборот.

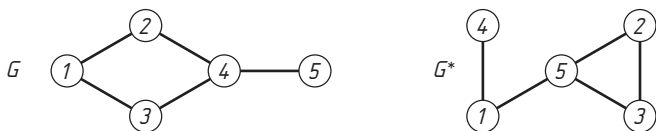


Рис. 9.3. Граф G и его дополнение G^*

Пример 9.3. На рис. 9.3 приведен пример графа и его дополнения. Максимальные независимые множества вершин графа G : $\{1, 4\}$, $\{1, 5\}$, $\{2, 3, 5\}$. Каждому множеству соответствует клика в графе G^* (первые две клики тривиальные). ◀

9.4. Доминирующие множества

Для графа $G = (V, E)$ *доминирующее множество вершин* есть множество вершин $S \subset V$, такое, что для каждой вершины j , не входящей в S , существует ребро, идущее из некоторой вершины множества S в вершину j . Доминирующее множество называется *минимальным*, если нет другого доминирующего множества, содержащегося в нем.

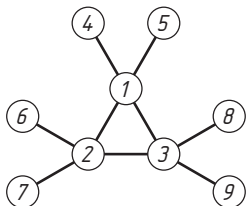


Рис. 9.4. Пример графа для иллюстрации понятия «доминирующее множество»

Пример 9.4. На рис. 9.4 приведен пример графа. Его доминирующими множествами являются $\{1, 2, 3\}$, $\{4, 5, 6, 7, 8, 9\}$, $\{1, 2, 3, 8, 9\}$, $\{1, 2, 3, 7\}$ и т. д. Множества $\{1, 2, 3\}$, $\{4, 5, 6, 7, 8, 9\}$ являются минимальными. ◀

Если \mathcal{Q} — семейство всех минимальных доминирующих множеств графа, то число $\beta(G) = \min_{S \in \mathcal{Q}} |S|$ называется *числом доминирования* графа G , а множество S^* , на котором этот минимум достигается, называется *наименьшим доминирующим множеством*. Для примера 9.4 $\beta(G) = 3$.

Теорема. *Независимое множество вершин графа является максимальным тогда и только тогда, когда оно является доминирующим.*

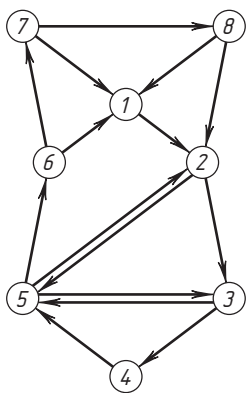


Рис. 9.5. Пример графа для иллюстрации задачи о наименьшем покрытии

Задачи о наименьших покрытиях и разбиениях

Рассмотрим граф, приведенный на рис. 9.5. Его матрица смежности имеет вид:

$$A = \begin{pmatrix} 0 & 1 & 0 & 0 & 0 & 0 & 0 & 0 \\ 0 & 0 & 1 & 0 & 1 & 0 & 0 & 0 \\ 0 & 0 & 0 & 1 & 1 & 0 & 0 & 0 \\ 0 & 0 & 0 & 0 & 1 & 0 & 0 & 0 \\ 0 & 1 & 1 & 0 & 0 & 1 & 0 & 0 \\ 1 & 0 & 0 & 0 & 0 & 0 & 1 & 0 \\ 1 & 0 & 0 & 0 & 0 & 0 & 0 & 1 \\ 1 & 1 & 0 & 0 & 0 & 0 & 0 & 0 \end{pmatrix}.$$

Транспонируем матрицу смежности и добавим

единичные диагональные элементы — получим матрицу

$$A^* = \begin{pmatrix} 1 & 0 & 0 & 0 & 0 & 1 & 1 & 1 \\ 1 & 1 & 0 & 0 & 1 & 0 & 0 & 1 \\ 0 & 1 & 1 & 0 & 1 & 0 & 0 & 0 \\ 0 & 0 & 1 & 1 & 0 & 0 & 0 & 0 \\ 0 & 1 & 1 & 1 & 1 & 0 & 0 & 0 \\ 0 & 0 & 0 & 0 & 1 & 1 & 0 & 0 \\ 0 & 0 & 0 & 0 & 0 & 1 & 1 & 0 \\ 0 & 0 & 0 & 0 & 0 & 0 & 1 & 1 \end{pmatrix}.$$

Задача определения доминирующего множества вершин графа G эквивалентна задаче нахождения наименьшего множества столбцов матрицы A^* , таких, что каждая строка матрицы содержит единицу хотя бы в одном из выбранных столбцов. Задачу о поиске наименьшего множества столбцов, «покрывающего» все строки матрицы, называют *задачей о наименьшем вершинном покрытии*.

Примечания. 1. В общем случае решения задачи о покрытии матрица не обязательно является квадратной. 2. Если столбцам (вершинам графа) приписаны веса, то обычно требуется найти покрытие с наименьшей общей стоимостью.

Если введено дополнительное ограничение, суть которого в том, чтобы любая пара столбцов не имела единиц в одних и тех же строках, то задачу называют *задачей о наименьшем разбиении*. Для графа на рис. 9.5 задача о наименьшем разбиении не имеет решения, а решением задачи о наименьшем покрытии является, например, множество столбцов $\{4, 5, 7\}$.

И та, и другая задача решается одним методом — перебором допустимых вариантов исходных данных. Решением «в лоб» является генерация всех подмножеств множества столбцов и проверка каждого подмножества на выполнение условий покрытия или разбиения. Более изящное решение связано с анализом особенностей исходных данных и поиском возможностей сокращения перебора. Например, если некоторая строка матрицы A^* имеет единицу в единственном столбце, т. е. больше нет столбцов, содержащих единицу в этой строке, то данный столбец следует включать в любое решение. Еще пример. Для каждой строки матрицы A^* рассмотрим множество столбцов, имеющих единицы в этой строке. Для нашего примера: $U_1 = \{1, 6, 7, 8\}$, $U_2 = \{1, 2, 5, 8\}$, $U_3 = \{2, 3, 5\}$, $U_4 = \{3, 4\}$, $U_5 = \{2, 3, 4, 5\}$, $U_6 = \{5, 6\}$, $U_7 = \{6, 7\}$, $U_8 = \{7, 8\}$. Видим, что $U_4 \subset U_5$. Из этого следует, что 5-ю строку можно не рассматривать, поскольку любое множество столбцов, покрывающее 4-ю строку, должно покрывать и 5-ю. Четвертая строка доминирует над пятой.

Рассмотрим решение задачи поиска наименьших разбиений (решение задачи о покpытии требует незначительной модификации приводимого решения). Попробуем осознать его, рассматривая, как обычно, пример. Для графа на рис. 9.5 задача о разбиении не имеет решения, поэтому приведем новый пример графа (см. рис. 9.6). Его транспонированная матрица смежности с единичными диагональными элементами имеет вид:

$$A^* = \begin{pmatrix} 1 & 0 & 1 & 1 & 0 & 1 & 0 \\ 1 & 1 & 0 & 0 & 1 & 0 & 1 \\ 1 & 1 & 1 & 0 & 0 & 0 & 0 \\ 0 & 0 & 1 & 1 & 0 & 0 & 0 \\ 0 & 0 & 0 & 1 & 1 & 0 & 0 \\ 0 & 1 & 0 & 0 & 1 & 1 & 0 \\ 1 & 1 & 0 & 0 & 1 & 1 & 1 \end{pmatrix}.$$

Исследуем структуру матрицы A^* с целью поиска возможностей дальнейшего сокращения перебора. Предположим, что матрица A^* преобразована так, что вначале идут столбцы, которые содержат единицу в первой строке (первый блок столбцов), затем столбцы, которые содержат единицу во второй строке и не содержат в первой (второй блок столбцов) и т. д. Для нашего примера она выглядит следующим образом (в первой строке указан номер столбца матрицы до преобразования):

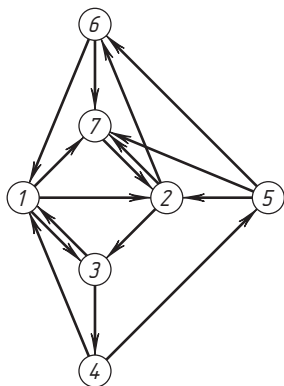


Рис. 9.6. Пример графа для иллюстрации логики решения задачи о наименьшем разбиении

$$A^* = \begin{pmatrix} 1 & 3 & 4 & 6 & 2 & 5 & 7 \\ 1 & 1 & 1 & 1 & 0 & 0 & 0 \\ 1 & 0 & 0 & 0 & 1 & 1 & 1 \\ 1 & 1 & 0 & 0 & 1 & 0 & 0 \\ 0 & 1 & 1 & 0 & 0 & 0 & 0 \\ 0 & 0 & 1 & 0 & 0 & 1 & 0 \\ 0 & 0 & 0 & 1 & 1 & 1 & 0 \\ 1 & 0 & 0 & 1 & 1 & 1 & 1 \end{pmatrix}.$$

Матрица A^* разбита на два блока столбцов. Если убрать ребро $(5, 2)$, то A^* имеет вид:

$$A^* = \begin{pmatrix} 1 & 3 & 4 & 6 & 2 & 7 & 5 \\ 1 & 1 & 1 & 1 & 0 & 0 & 0 \\ 1 & 0 & 0 & 0 & 1 & 1 & 0 \\ 1 & 1 & 0 & 0 & 1 & 0 & 0 \\ 0 & 1 & 1 & 0 & 0 & 0 & 0 \\ 0 & 0 & 1 & 0 & 0 & 0 & 1 \\ 0 & 0 & 0 & 1 & 1 & 0 & 1 \\ 1 & 0 & 0 & 1 & 1 & 1 & 1 \end{pmatrix}.$$

Матрица разбита на три блока столбцов. Просматривается явная возможность сокращения перебора, ибо решением может быть толь-

ко подмножество столбцов, содержащее не более одного представителя каждого блока.

Чтобы не изменять саму матрицу A^* , введем дополнительную структуру данных — матрицу Bl , ее тип: *Type Pr = Array[1..MaxN, 1..MaxN + 1] Of Integer*; где $MaxN$ — максимальная размерность задачи. Почему плюс единица? Чисто технический прием — ввод «барьерного» элемента. При инициализации матрица Bl должна иметь вид: в первой строке — $(1, 2, 3, \dots, n, 0)$, а в остальных строках все элементы равны нулю — мы предполагаем, что все столбцы матрицы содержат единицу в первой строке. Проверяем предположение, если столбец не содержит единицы, то записываем его номер во вторую строку, а из первой строки убираем. После обработки первой строки по этому же принципу обрабатываем номера столбцов во второй строке и т. д. После формирования матрица Bl для нашего примера выглядит следующим образом:

$$Bl = \begin{pmatrix} 1 & 3 & 4 & 6 & 0 & 0 & 0 & 0 \\ 2 & 5 & 7 & 0 & 0 & 0 & 0 & 0 \\ 0 & 0 & 0 & 0 & 0 & 0 & 0 & 0 \\ 0 & 0 & 0 & 0 & 0 & 0 & 0 & 0 \\ 0 & 0 & 0 & 0 & 0 & 0 & 0 & 0 \\ 0 & 0 & 0 & 0 & 0 & 0 & 0 & 0 \end{pmatrix},$$

а без ребра $(5, 2)$:

$$Bl = \begin{pmatrix} 1 & 3 & 4 & 6 & 0 & 0 & 0 & 0 \\ 2 & 7 & 0 & 0 & 0 & 0 & 0 & 0 \\ 0 & 0 & 0 & 0 & 0 & 0 & 0 & 0 \\ 0 & 0 & 0 & 0 & 0 & 0 & 0 & 0 \\ 5 & 0 & 0 & 0 & 0 & 0 & 0 & 0 \\ 0 & 0 & 0 & 0 & 0 & 0 & 0 & 0 \\ 0 & 0 & 0 & 0 & 0 & 0 & 0 & 0 \end{pmatrix}.$$

Пусть матрица Bl сформирована и описывает блоки столбцов матрицы A^* . Вернемся к нашей задаче. Из каждого блока выбирается не более одного представителя, процесс выбора следует продолжать до тех пор, пока не будут включены в строящееся разбиение все строки или окажется, что некоторую строку нельзя включить. Если в алгоритме поиска максимальных независимых множеств мы шли «сверху вниз», последовательно уточняя логику, то сейчас попробуем идти «снизу вверх», складывая окончательное решение из разработанных «кирпичиков». Как обычно, следует начать со структур данных. Итак, данные:


```
Type Model=Array[1..MaxN] Of Boolean;
Var S:Model; {Текущее решение}
    R:Model; {R[i]=True – признак того, что строка
              i «представлена» в текущем решении}
```

Логика включения (исключения) столбца с номером k в решение (из решения) имеет вид:

```
Procedure Include(k:Integer); {Включить столбец в
    решение}
Var i:Integer;
Begin
    S[k]:=True; {Столбец с номером k включаем в
                решение}
    For i:=1 To n Do
        If AA[i,k]=1 Then R[i]:=True; {Строки,
            представленные столбцом k}
    End;
```

```
Procedure Exclude(k:Integer); {Исключить столбец
    из решения}
Var i:Integer;
Begin
    S[k]:=False;
    For i:=1 To n Do
        If (AA[i,k]=1) And R[i] Then R[i]:=False;
    End;
```

Проверка, сформировано ли решение, заключается в том, чтобы просмотреть массив R и определить, все ли его элементы имеют значение «истина».

```
Function Result:Boolean;
Var i:Integer;
Begin
    i:=1;
    While (i<=n) And R[i] Do Inc(i);
    If i=n+1 Then Result:=True Else Result:=False;
End;
```

Кроме перечисленных действий нам необходимо уметь определять, можно ли столбец с номером k включать в решение. Для этого следует просмотреть столбец k матрицы A^* и проверить, нет ли совпадений единичных элементов в нем со значением $True$ соответствующих элементов массива R .

```

Function Cross(k:Integer):Boolean; {Пересечение
  столбца с частичным решением, сформированным
  ранее}
Var i:Integer;
Begin
  i:=1;
  While (i<=n) And Not(R[i] And (AA[i,k]=1))
    Do Inc(i);
  If i=n+1 Then Cross:=True Else Cross:=False;
End;

```

Заключительная логика поиска всех разбиений (процедура *Solve*) в качестве параметров использует номер блока (строки матрицы *Bl*) — переменная *bloc* — и номер *j* позиции в строке. Первый вызов — *Solve*(1, 1).

```

Procedure Solve(bloc,j:Integer);
Begin
  If Result Then <вывод решения>
  Else If Bl[bloc,j]=0 Then Exit
  Else If Cross(Bl[bloc,j]) Then Begin
    Include(Bl[bloc,j]);
    Solve(bloc+1,1);
    Exclude(Bl[bloc,j]);
  End
  Else If R[bloc] Then Solve(bloc+1,1)
  Else Solve(bloc,j+1);
End;

```

Примечание. Процедура *Solve* содержит неточность. Если убрать не только ребро (5, 2), но и ребра (4, 5), (2, 6), (2, 7), то разбиение не будет найдено, хотя оно существует. Ветку логики, обозначенную оператором *Exit*, следует уточнить, ибо она не предусматривает переходов через пустые блоки (или нулевые строки матрицы *Bl*). Уточнение заключается во введении в текст программы еще одного оператора *If ... Then ... Else*.

9.5. Паросочетания

Мы определили число реберного покрытия $\alpha_1(G)$ как минимальное число ребер, покрывающих все вершины графа G , а реберное число независимости $\beta_1(G)$ — как наибольшее число ребер в

независимом множестве ребер. Для независимого множества ребер используется другой термин — *паросочетание*. Переформулируя введенные понятия, можно сказать, что паросочетание графа G называется *максимальным*, если оно не содержится в паросочетании с большим числом ребер, и *наибольшим*, если число ребер в нем наибольшее. Паросочетание называется *совершенным*, если оно одновременно является и реберным покрытием. Если в графе есть совершенное паросочетание, то оно, естественно, является наименьшим реберным покрытием.

Пример 9.5. На рис. 9.7 приведен пример графа. Ребра $(1, 7)$, $(2, 6)$, $(3, 4)$ и $(4, 5)$ образуют наименьшее реберное покрытие, но не являются паросочетанием. Паросочетаниями являются множества ребер $\{(1, 7)\}$, $\{(2, 6), (4, 5)\}$, $\{(1, 7), (2, 6), (3, 4)\}$. Последнее паросочетание является и максимальным, и наибольшим. Совершенных паросочетаний в данном графе нет. ◀

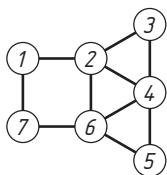


Рис. 9.7. Пример графа для иллюстрации понятия «реберное покрытие»

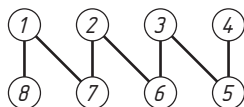


Рис. 9.8. Пример графа для иллюстрации понятия «совершенное паросочетание»

Пример 9.6. На рис. 9.8 приведен пример графа. Множество ребер $\{(1, 7), (2, 6), (3, 5)\}$ есть максимальное паросочетание, но не наибольшее. Ребра $\{(1, 8), (2, 7), (3, 6), (4, 5)\}$ образуют совершенное паросочетание. Оно является максимальным и наибольшим паросочетанием, а также наименьшим реберным покрытием. ◀

Напомним, что граф $G = (V, E)$ называют двудольным, если множество его вершин можно разбить на два непересекающихся множества — $V = X \cup Y$, $X \cap Y = \emptyset$, причем каждое ребро $e \in E$ имеет вид $e = (x, y)$, где $x \in X$, $y \in Y$. Двудольный граф будем обозначать $G = (X, Y, E)$. Если $|X| = |Y|$ (мощности множеств равны), то всякое паросочетание, покрывающее X , является совершенным, т. е. является и реберным покрытием.

Для существования в двудольном графе $G = (X, Y, E)$ паросочетания, покрывающего X , необходимо и достаточно, чтобы любое подмножество A множества X удовлетворяло условию $|A| \leq |N(A)|$,

где $N(A)$ — множество вершин, смежных с вершинами из подмножества A . Это утверждение является переформулированной теоремой Ф. Холла, которая будет приведена далее (см. с. 197). Для любого подмножества $A \subseteq X$ определим значение:

$$\delta(A) = \begin{cases} |A| - |N(A)|, & \text{если } A \neq \emptyset, \\ 0, & \text{если } A = \emptyset. \end{cases}$$

Величину $\delta_0 = \delta_0(X, Y, E) = \max_{A \subseteq X} \delta(A)$ называют *дефицитом* графа $G = (X, Y, E)$. Оказывается, что для произвольного графа $G = (X, Y, E)$ с $X \neq \emptyset$ и $Y \neq \emptyset$ количество ребер в наибольшем паросочетании $\beta_1(G) = |X| - \delta_0$.

Пример 9.7. Для графа на рис. 9.9 значение $\delta_0 = 1$ и для любого подмножества $A \subseteq X$, не содержащего вершины с номером 3, выполняется условие $|A| \leq |N(A)|$. Значение $\beta_1(G) = 5$.

Кроме того, для любого подмножества $A \subseteq X$ множество $C = N(A) \cup (X \setminus A)$ является вершинным покрытием графа G . Для любого двудольного графа $G = (X, Y, E)$ верно равенство

$$|X| - \delta_0(X, Y, E) = |Y| - \delta_0(Y, X, E).$$

В частности, при $|X| = |Y|$ имеем $\delta_0(X, Y, E) = \delta_0(Y, X, E)$.

Теорема (Д. Кёниг). Для двудольного графа G число ребер в наибольшем паросочетании $\beta_1(G)$ равно числу вершин в наименьшем вершинном покрытии $\alpha_0(G)$, т. е. $\alpha_0(G) = \beta_1(G)$.

Пример 9.8. Для графа на рис. 9.8 $\alpha_0(G) = \beta_1(G) = 4$. Примером вершинного покрытия является множество вершин $\{1, 2, 3, 4\}$, а наибольшее паросочетание очевидно (см. пример 9.5). Проверьте утверждение теоремы для двудольных графов на рис. 9.9, 9.10 и 9.11.

Из данной теоремы, а также теоремы о том, что для любого нетривиального графа G $\alpha_0 + \beta_0 = n = \alpha_1 + \beta_1$, следует равенство $\alpha_1(G) = \beta_0(G)$ — наименьшее количество ребер в реберном покрытии равно наибольшему числу вершин в независимом множестве.

Другая формулировка приведенной теоремы в терминах бинарных матриц известна как «венгерская теорема». Под *линией* бинарной матрицы понимается ее строка или столбец.

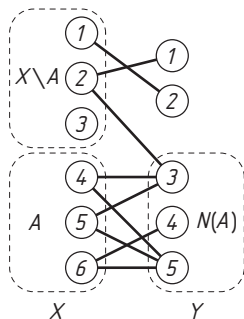


Рис. 9.9. Пример двудольного графа, иллюстрирующего понятие $N(A)$

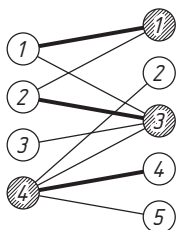


Рис. 9.10. Граф для иллюстрации венгерской теоремы

Теорема (венгерская). Для произвольной бинарной матрицы максимальная мощность множества единиц, из которых никакие две не лежат на одной линии, равна минимальному числу линий, которыми можно покрыть все единицы.

Пример 9.9. Пусть дана матрица

$$A = \begin{pmatrix} 1 & 0 & 1 & 0 & 0 \\ 1 & 0 & 1 & 0 & 0 \\ 0 & 0 & 1 & 0 & 0 \\ 0 & 1 & 1 & 1 & 1 \end{pmatrix}.$$

Пронумеруем строки i ($1 \leq i \leq 4$) и столбцы j ($1 \leq j \leq 5$) матрицы. Построим двудольный граф $G = (X, Y, E)$, где $X = \{1, 2, 3, 4\}$, $Y = \{1, 2, 3, 4, 5\}$ и $E = \{(i, j), \text{ если соответствующий элемент матрицы } A[i, j] = 1\}$. Граф имеет вид, представленный на рис. 9.10. На иллюстрации выделены максимальное паросочетание и минимальное вершинное покрытие. Соответствующие отмеченным вершинам линии матрицы A покрывают все единицы, а соответствующие выделенным ребрам единицы в A не лежат на одних линиях и образуют множество с максимальной мощностью. ◀

Алгоритм нахождения наибольшего паросочетания в двудольном графе

Для поиска наибольшего паросочетания и наименьшего вершинного покрытия в двудольном графе существуют эффективные алгоритмы. Рассмотрим один из них, основанный на технике использования чередующихся цепочек. В некоторых источниках этот алгоритм также называют «венгерским» [4]. По количеству практических применений и по временной эффективности (ибо он полиномиальный, а не переборный) он относится к разряду основных, классических и не только в алгоритмах на графах, но и в целом, в проблемах, решаемых с помощью компьютера. При этом общая идея алгоритма чрезвычайно проста, что в очередной раз подтверждает тезис — «все гениальное (фундаментальное) просто» и в «фундаменте» информатики лежит совсем немного основополагающих понятий и идей [21].

Введем еще одно предельно простое понятие. Пусть мы построили произвольным образом некоторое паросочетание M . На рис. 9.11, a ребра M показаны «жирными» линиями $\{(2, 1), (3, 2), (4, 4)\}$. Остальные ребра G определим в данный момент как «тонкие». Относительно данного паросочетания вершина с номером 1 из

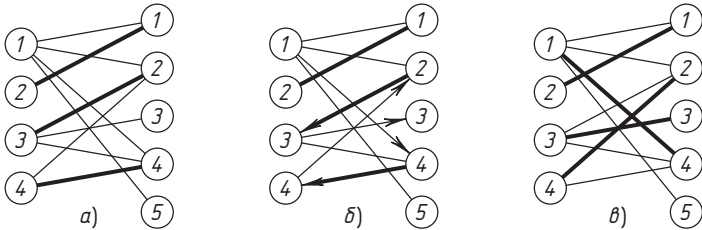


Рис. 9.11. Пример графа для иллюстрации логики нахождения наибольшего паросочетания

X и вершины с номерами 3 и 5 из Y свободны, т. е. не смежны с ребрами из M . Чередующаяся цепь начинается в свободной вершине, принадлежащей X , и заканчивается в свободной вершине, принадлежащей Y . Кроме того (коль она чередующаяся), в ней чередуются «тонкие» и «жирные» ребра, и заканчивается она, как и начинается, «тонким» ребром. Более формально, *чередующаяся цепь* из X в Y относительно паросочетания M — это произвольное множество ребер $P \subseteq E$ вида:

$$P = \{(x_0, y_1), (y_1, x_1), (x_1, y_2), \dots, (y_k, x_k), (x_k, y_{k+1})\},$$

где $k > 0$, все вершины различны, x_0 — свободная вершина в X , y_{k+1} — свободная вершина в Y , и каждое второе ребро принадлежит M , т. е. $P \cap M = \{(y_1, x_1), (y_2, x_2), \dots, (y_k, x_k)\}$. В предельном случае чередующаяся цепь может состоять из одного «тонкого» ребра. Для графа G и паросочетания M на рис. 9.11, б найдена чередующаяся цепь — $\{(1, 4), (4, 4), (4, 2), (2, 3), (3, 3)\}$. Мы пока не говорим, как она найдена. Найдена, если ее можно найти, т. е. если она существует, и все. Следующий шаг — это изменение «толщины» ребер, принадлежащих чередующейся цепи. Ребра $(1, 4)$, $(4, 2)$ и $(3, 3)$ делаем «жирными», а ребра $(4, 4)$ и $(3, 2)$ — «тонкими» (рис. 9.11, в). Процесс поиска чередующейся цепи следует продолжить относительно нового паросочетания $M = \{(1, 4), (2, 1), (3, 3), (4, 2)\}$. Оказывается, что если не будет найдена чередующаяся цепь (если ее нет, а не алгоритм плохой), то паросочетание M является наибольшим. Эти простые рассуждения в математике оформлены в виде теоремы.

Теорема. Паросочетание M в двудольном графе G наибольшее тогда и только тогда, когда в G не существует чередующейся цепи относительно M .

Ответим на вопрос о том, как искать чередующуюся цепь (описания приводимых способов общеизвестны, в частности, их можно найти в работе [20]).

1. Просмотр вершин графа методом поиска в глубину (с ограничением). Просмотр последовательно начинается из свободных вершин множества X . Ограничение заключается в том, что из вершин множества X переход осуществляется по «тонким» ребрам, а из вершин множества Y — по «жирным» ребрам. Условием завершения поиска следует считать достижение первой свободной вершины из Y .

2. Просмотр вершин графа методом поиска в ширину (с ограничением). Просмотр последовательно начинается из свободных вершин множества X . Ограничение заключается в том, что из вершин множества X в очередь записываются «тонкие» ребра, а из вершин множества Y — «жирные». Условием завершения поиска следует считать достижение первой свободной вершины из Y .

3. Методы поиска выхода из лабиринта. У лабиринта начальными позициями являются свободные (относительно паросочетания M) вершины из X , конечными позициями — свободные вершины из Y , препятствие трансформируется в условие чередования «тонких» и «жирных» ребер. Например, текущая клетка (лабиринт на клеточном поле) светлая — из нее можно делать ход в темную клетку, и наоборот.

Реализация каждого метода зависит от искусства синтеза в единое целое (цельность, выражаясь философским языком) управляющих конструкций и структур данных. Представим себе на минуту, что в нашем распоряжении нет такой структуры данных, как массив, и мы можем работать только с конкретными ячейками памяти. Это вполне реальная ситуация начальной стадии развития информатики. Оцените, во сколько раз возрастет в программе количество управляющих конструкций. Однако и в то время создавали эффективные и работающие программы, не уступающие современным.

Общая логика не зависит от выбранного метода и имеет вид:

```

Begin
  <ввод и инициализация данных>;
  <поиск первого паросочетания>;
  While <есть чередующаяся цепь>
    Do <изменить паросочетание>;
  <вывод результата>;
End.
```

«Набросаем» схему реализации первого метода.

Пусть граф описывается в памяти компьютера матрицей смежности $A[n, m]$, где n — количество вершин в множестве X , а m — в Y . Паросочетание будем хранить в двух одномерных массивах X_i и Y_m , указывая в i -й позиции каждого массива номер вершины,

с которой соответствующая вершина i соединена ребром из паросочетания M . Для рассмотренного примера $X_n = \{0, 1, 2, 4\}$ и $Y_m = \{2, 3, 0, 4, 0\}$. Уточнение фрагмента «найти первое паросочетание» не требует разъяснений. Можно начать и с одного ребра в паросочетании, и с пустого паросочетания, но в этом случае количество итераций в основной логике возрастает. Как лучше хранить чередующуюся цепь, учитывая выбранный способ описания паросочетания и продумывая логику ее построения? Пусть это будет массив *Chain*: *Array*[1..*NMmax*] *Of* $-NMmax..NMmax$ (*NMmax* — максимальное число вершин в графе), и его значение для рассмотренного примера равно (1, -4, 4, -2, 3, -3), т. е. вершины из множества Y_m хранятся со знаком минус (чисто технический прием для упрощения определения принадлежности вершины к множествам X_n и Y_m). Итак, поиск чередующейся цепи (при $n = m$):

```
Function FindChain: Boolean;
  Var i, j, t, r, q, yk: Integer;
      Nnew: Array [1..n] Of Boolean;
Begin
  For i:=1 To n Do Nnew[i]:=False;
  i:=1;
  While i<=n Do Begin
    For j:=1 To 2*n Do Chain[j]:= 0;
    If Xn[i] = 0 Then Begin {Вершина из X сво-
                          бодна}
      yk:=1;
      Chain[yk]:=i; {Первая вершина чередующей-
                    ся цепи}
      t:=1;
      Repeat
        r:=Chain[t]; {Текущая вершина чере-
                     дующейся цепи. Она при-
                     надлежит X}
        q:=n;
        j:=-Chain[t+1]+1; {Номер вершины из Y,
                          с которой осуществля-
                          ется поиск}
      While (j<=q) And ((A[r, j]=0) Or Nnew[j]
        Or (Xn[r]=j)) Do Inc(j); {Находим
        «тонкое» ребро, не принадлежащее па-
        росочетанию}
```



```

If j<=q Then Begin
  Inc(yk);
  Chain[yk]:=-j; {Добавляем вершину
                  из Y в цепь}
  Nnew[j]:=True;
  If Yn[j]=0 Then Begin
    {Найдена чередующаяся цепь}
    FindChain:=True;
    Exit;
  End
  Else Begin {Переход по «жирному»
             ребру к вершине из X}
    Inc(yk);
    Chain[yk]:=Yn[j]; {Добавляем
                       эту вершину из X в цепь}
    Inc(t,2);
  End;
End
Else Begin {Не находим вершину в Y.
           Возвращаемся на шаг назад}
  Dec(t,2);
  Dec(yk,2);
End;
Until (t>yk) Or (t<1);
End;
Inc(i);
End;
FindChain:=False;
End;

```

При такой схеме реализации поиска чередующейся цепи цикл *While* основной логики имеет вид:

```
While FindChain Do <изменить паросочетание>;
```

Обобщением задачи построения наибольшего паросочетания в двудольном графе является поиск паросочетаний во взвешенном двудольном графе $G = (X, Y, E)$, в котором с каждым ребром связано некое число (обычно целое), называемое весом. Ищется, как правило, совершенное паросочетание с минимальным суммарным весом (для краткости назовем его оптимальным). Напомним, что паросочетание — это независимое множество ребер, и если оно является реберным покрытием, т. е. покрывает все вершины графа,

то такое паросочетание называется совершенным. Этот класс задач называется *задачами о назначениях*. Сюзим общую задачу до случая двудольного графа G с $n = m$. Исследованием этой проблемы в 50-х годах XX века, помимо Д. Кёнига и Е. Эгервари, интенсивно занимался Х. Кун. Алгоритмы ее решения, как правило, называются венгерскими. Мы в своем изложении опираемся на исследование темы Н. Кристофидесом [15] и М. О. Асановым*).

Сформулируем следующие простые утверждения.

Утверждение 1. Если веса всех ребер графа, инцидентных какой-либо вершине, увеличить (уменьшить) на одно и то же число, то всякое оптимальное паросочетание в графе с новыми весами останется оптимальным и в графе с исходными весами.

Утверждение 2. Пусть в $G = (X, Y, E)$ выделено множество вершин $X' \subset X$ и $Y' \subset Y$. Без ограничения общности считаем, что X' — первые t вершин X , а Y' — первые q вершин Y . Найдем $d = \text{Min}(A[i, j])$, где $i \in X'$ и $j \in Y \setminus Y'$. Схема разбивки матрицы смежности A на части показана на рис. 9.12. Произведем следующие

	Y'	$Y \setminus Y'$
X'	$-d + d = 0$ 3	Область поиска d $-d$ 1
$X \setminus X'$	$+d$ 2	Элементы не изменяются 4

Рис. 9.12. Иллюстрация логики действий в утверждении 2

действия: элементы в строках X' уменьшим на значение d ; элементы в столбцах из Y' увеличим на значение d . Результаты выполнения этих действий также отражены на рис. 9.12. Элементы в частях 3, 4 не изменятся, в части 1 — уменьшатся на значение d , в части 2 — увеличатся на значение d . В целом веса ребер двудольного графа останутся неотрицательными. Суть утверждения заключается в том, что если текущее паросочетание построено только на вершинах X' и Y' , то в результате описанного действия оно не изменится. Утверждением «закладывается» (определяется) некая аддитивность задачи.

Утверждение 3. Если веса всех ребер графа неотрицательны и некоторое совершенное паросочетание состоит из ребер нулевого веса, то очевидно, что оно является оптимальным.

*) Асанов М. О. Дискретная оптимизация. — Екатеринбург : УралНАУКА, 1998.

Утверждения 1, 2 следуют из того, что в искомое паросочетание входит только одно ребро, инцидентное конкретной вершине. Сформулированные утверждения позволяют дать одну из алгоритмических модификаций венгерской темы.

**Поиск оптимального паросочетания
в двудольном графе G при $n = m$**

Дадим неформальное описание (случай неотрицательных весов) алгоритма по методике Д. Кнута.

Шаг 1. [Преобразование матрицы смежности графа G на основании утверждения 1.] Изменить веса ребер так, чтобы у каждой вершины было хотя бы одно инцидентное ей ребро нулевого веса.

Шаг 2. [Построение начального паросочетания M .] Сформировать любым методом (например, путем прямого просмотра ребер, инцидентных вершинам из множества X) начальное паросочетание с суммарным нулевым весом.

Шаг 3. [Цикл по паросочетаниям M . Проверка паросочетания M на оптимальность, например, путем установки факта наличия вершин в X , не задействованных в M .] Пока M не является оптимальным паросочетанием, выполнять шаги 4, 5, 6. Если паросочетание M оптимальное, то завершить работу.

Шаг 4. [Поиск чередующейся цепи.] Из свободных относительно M вершин X искать чередующуюся цепь (обозначим ее P) с суммарным нулевым весом.

Шаг 5. [Принятие решения.] Если цепь P найдена, то изменить паросочетание и вернуться на шаг 3, иначе перейти на шаг 6.

Шаг 6. [Изменение весов ребер графа.] При поиске чередующейся цепи (шаг 4) выделены множества X' и Y' . Путем применения действий утверждения 2 изменить веса ребер. Появится по крайней мере одно новое ребро с нулевым весом. После чего перейти на шаг 4.

Как видим, ключевым моментом алгоритма является рассмотренный ранее шаг 4 — построение чередующейся цепи. Действия на шаге 6 не изменяют веса текущего паросочетания M . Этот факт позволяет говорить о некой аддитивности задачи. Поясним сказанное — пусть для некоторой части графа построено оптимальное паросочетание. Оно, конечно, в силу техники нахождения чередующейся цепи, незначительно изменится (в окрестности оптимальности), но останется оптимальным при его распространении на большую часть графа. Эта неформальная аналогия наводит на мысль о неразрывности понятий «аддитивности» и «полиномиальности» в информатике.

Пример 9.10. Рассмотрим работу алгоритма на конкретном примере. Пусть матрица смежности полного двудольного графа имеет вид:

$$A = \begin{pmatrix} 0 & 4 & 4 & 1 \\ 0 & 7 & 2 & 7 \\ 2 & 6 & 4 & 6 \\ 1 & 5 & 0 & 0 \end{pmatrix}.$$

Выполнение действий шага 1 сводится к вычитанию значения 2 из элементов третьей строки, и затем значения 4 из элементов второго столбца. На рис. 9.13 изображены ребра графа, соответствующего полученной матрице, имеющие нулевой вес. Шаг 2. Строим начальное паросочетание, на рис. 9.13 выделены образующие его ребра. Оно сформировано путем просмотра свободных вершин из X и включением в паросочетание первого встретившегося ребра с нулевым весом, идущего в свободную вершину в Y . На шаге 3 мы определяем, что найденное паросочетание не является оптимальным, поэтому переходим к шагу 4. Поиск чередующейся цепи из вершины $2 \in X$ (она одна свободная) дает отрицательный результат — строится цепь $\{(2, 1), (1, 1), (1, 2), (2, 3)\}$. Завершить построение цепи в свободной вершине из Y у нас нет возможности, однако в процессе поиска есть возможность сформировать множества

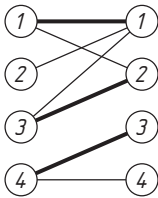


Рис. 9.13. Граф из примера, иллюстрирующего логику поиска оптимального паросочетания

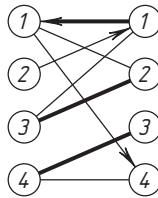


Рис. 9.14. Граф на рис. 9.13 после выполнения шага 6 алгоритма

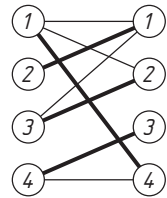


Рис. 9.15. Оптимальное паросочетание в примере, иллюстрирующем логику его нахождения

$X' = \{1, 2, 3\}$ и $Y' = \{1, 2\}$. В действие вступает шаг 6 алгоритма. Выделим в матрице смежности квадратными скобками те элементы, которые изменятся в ходе применения действий утверждения 2:

$$A = \begin{pmatrix} 0 & 0 & [4] & [1] \\ 0 & 3 & [2] & [7] \\ 0 & 0 & [2] & [4] \\ [1] & [1] & 0 & 0 \end{pmatrix}.$$

Минимальный элемент в первых трех строках и третьем, четвертом столбцах равен 1. После преобразования матрица будет иметь вид:

$$A = \begin{pmatrix} 0 & 0 & 3 & 0 \\ 0 & 3 & 1 & 6 \\ 0 & 0 & 1 & 3 \\ 2 & 2 & 0 & 0 \end{pmatrix}.$$

Появилось новое ребро (1, 4) с нулевым весом, добавим его в граф рис. 9.13, получим граф на рис. 9.14. Возвращаемся на 4 шаг алгоритма. Поиск чередующейся цепи дает положительный результат — $\{(2, 1), (1, 1), (1, 4)\}$. Изменяем паросочетание, его окончательный вид приведен на рис. 9.15. Оно является оптимальным. ◀

9.6. Матроиды трансверсалей

Пусть дано конечное непустое множество E и $S = (S_1, S_2, \dots, S_m)$ — семейство его непустых (необязательно различных) подмножеств. Подмножество $T \subseteq E$ называют *трансверсалью* (или системой различных представителей) семейства S , если существует взаимно однозначное отображение $\varphi: T \rightarrow \{1, 2, \dots, m\}$, при котором для каждого $t \in T$ выполняется условие $t \in S_{\varphi(t)}$. Другими словами, существует такая перестановка элементов множества T , при которой $t_i \in S_i$ для i от 1 до m .

Семейство подмножеств $S = (S_1, S_2, \dots, S_n)$ множества $E = \{e_1, e_2, \dots, e_m\}$ можно изобразить в виде двудольного графа с множеством вершин $V = X \cup Y$, где $|X| = m$, $|Y| = n$, а ребро (x_i, y_j) есть только в том случае, когда $e_i \in S_j$.

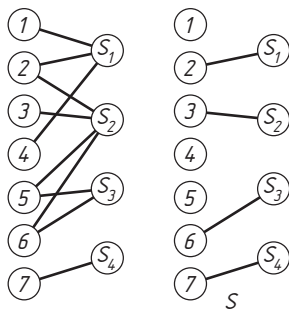


Рис. 9.16. Представление семейства множеств S в виде двудольного графа и пример трансверсали S

Каждая система различных представителей (s_1, s_2, \dots, s_n) однозначно соответствует паросочетанию мощности n в двудольном графе $G = (X, Y, E)$, а именно, паросочетанию $\{(s_1, y_1), (s_2, y_2), \dots, (s_n, y_n)\}$.

Пример 9.11. Пусть $n = 4$, $m = 7$, $E = \{1, 2, 3, 4, 5, 6, 7\}$ и $S_1 = \{1, 2, 4\}$, $S_2 = \{2, 3, 5, 6\}$, $S_3 = \{5, 6\}$, $S_4 = \{7\}$. Представление S в виде двудольного графа приведено на рис. 9.16. Подмножество $T = \{2, 3, 6, 7\}$ является трансверсалью S . ◀

Трансверсали семейства подмножеств может и не существовать. Пусть, например, $S = (S_1, S_2, S_3, S_4)$, $S_1 = \{1, 2\}$, $S_2 = \{1, 2, 3\}$, $S_3 = \{2, 3\}$, $S_4 = \{1, 3\}$. Тогда $\left| \bigcup_{i=1}^4 S_i \right| = 3$, а в трансверсали должно быть четыре элемента. Следовательно, трансверсали нет.

Классическая теорема Ф. Холла дает необходимые и достаточные условия существования системы различных представителей для семейства множеств.

Теорема (Ф. Холл, 1935 г.). Пусть $S = (S_1, S_2, \dots, S_n)$ — семейство произвольных множеств. Для существования семейства различных представителей (трансверсали) семейства S необходимо и достаточно, чтобы $\left| \bigcup_{j \in J} S_j \right| \geq |J|$ для каждого $J \subseteq \{1, \dots, n\}$.

С алгоритмической точки зрения, теорема Ф. Холла требует проверки условия, сформулированного в теореме, для всех 2^n возможных множеств $J \subseteq \{1, \dots, n\}$.

Подмножество $T \subseteq E$ называют *частичной трансверсалью* семейства S , если T содержит не более чем по одному элементу для каждого подмножества S_i семейства S . Другими словами, частичные трансверсали семейства S — это трансверсали его подсемейств. Частичные трансверсали над E образуют матроид.

Теорема (Дж. Эдмондс, Д. Фалкерсон, 1965 г.). Пусть $S = \{S_1, S_2, \dots, S_m\}$ — семейство подмножеств конечного множества E и \mathcal{R} — семейство всех частичных трансверсалей семейства S . В этом случае $M(S) = (E, \mathcal{R})$ является матроидом.

Жадный алгоритм для матроида трансверсалей

Пусть элементы $E = \{e_1, e_2, \dots, e_m\}$ даны в порядке невозрастания неотрицательных весов и дано семейство $S = (S_1, S_2, \dots, S_n)$, представленное в виде двудольного графа G . Требуется найти частичную трансверсаль T (она определяется индексами элементов e_i) семейства S с наибольшим весом. Частичная трансверсаль T определяет некоторое паросочетание M графа G . Общая логика:

Begin

$T := []$; $M := \langle \text{пустое паросочетание} \rangle$;

 For $i := 1$ To m Do

 If $\langle \text{есть чередующаяся цепь } P \text{ относительно } M \text{ в } G \text{ с началом в } e_i \rangle$ Then Begin

$T := T + [i];$
 <изменить M с учетом найденной цепи P так,
 как это описано в алгоритме п. 9.5>
 End;
 End;

9.7. Диаграмма взаимосвязей между задачами

Проанализируем взаимосвязь рассмотренных задач. Она представлена на рис. 9.17. Стрелки от одной задачи к другой показывают, что при решении первой решается и вторая задача. Для удобства изложения они помечены номерами. Напомним формулировку задачи о наименьшем покрытии (ЗНП). Пусть каждой вершине графа приписана некоторая цена. Требуется найти доминирующее множество с наименьшей суммарной ценой.

Эквивалентные формулировки задачи.

- Дано конечное множество $V = \{v_1, v_2, \dots, v_n\}$ и семейство его подмножеств $E = \{E_1, E_2, \dots, E_q\}$. Каждому подмножеству E_i приписан вес. Найти покрытие $E^* \subset E$ наименьшего веса.

- Задача линейного программирования. Найти $\min \sum_{i=1}^q c_i x_i$ при ограничениях $\sum_{j=1}^q t_{ij} x_j \geq 1$ ($i = 1, 2, \dots, q$), где $c_i \geq 0$,

$$x_i = \begin{cases} 1, & \text{если } E_i \in E^*, \\ 0 & \text{в противном случае} \end{cases} \quad \text{и} \quad t_{ij} = \begin{cases} 1, & \text{если } v_i \in E_j, \\ 0 & \text{в противном случае.} \end{cases}$$

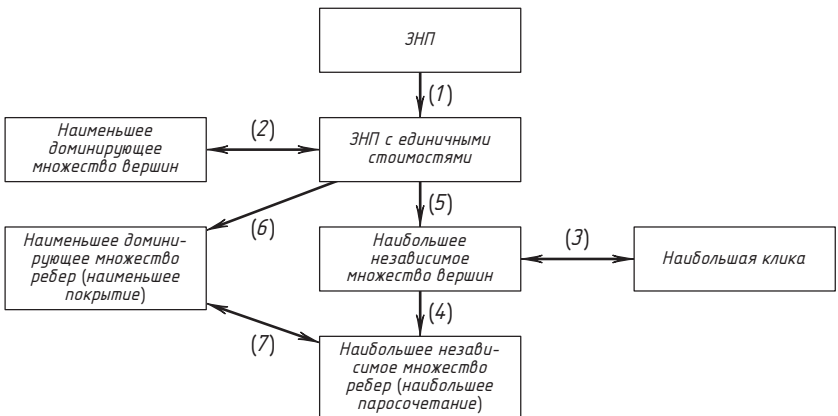


Рис. 9.17. Диаграмма взаимосвязей между задачами

• Дана матрица A ($A: \text{Array}[1..n, 1..n]$ Of $0..1$). Каждому столбцу приписан вес w_j . Найти множество столбцов с минимальным суммарным весом, такое, чтобы каждая строка была представлена единицей хотя бы в одном из столбцов, принадлежащих искомому множеству.

Раскроем конспективно не очевидные взаимосвязи. К очевидным относится связь (1). Связь (2) — это поиск наименьшего доминирующего множества вершин, или ЗНП с единичными стоимостями для матрицы смежности (неориентированный граф), дополненной единичными элементами на главной диагонали. Связь (3) между наибольшими независимыми множествами и наибольшими кликами рассмотрена ранее — она устанавливается через дополнительные графы.

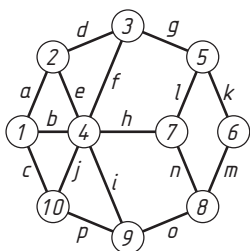


Рис. 9.18. Пример графа. Его преобразование в реберный граф приведено на рис. 9.19

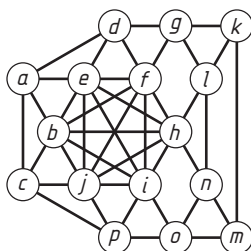


Рис. 9.19. Граф $L(G)$ для графа G на рис. 9.18

Связь (4) между задачей о наибольшем независимом множестве вершин и наибольшем паросочетании рассматривается обычно через понятие *реберного графа*. Реберный граф $L(G)$ графа G строится так. Вершины графа $L(G)$ соответствуют ребрам графа G . Ребро между двумя вершинами $L(G)$ существует тогда и только тогда, когда ребра графа G , соответствующие этим двум вершинам, инцидентны одной и той же вершине графа G . На рис. 9.18 приведен пример графа G . Его граф $L(G)$ приведен на рис. 9.19. Максимальное независимое множество $\{a, f, k, n, p\}$ для графа $L(G)$ соответствует наибольшему паросочетанию в графе G .

Связь (5). Задача о поиске наибольшего независимого множества решается путем генерации всех максимальных независимых множеств и выбором множества с наибольшей мощностью. Этот способ решения нами рассмотрен. Другой вариант основан на решении задачи о наименьшем покрытии с единичными стоимостями. Пусть

Решая ЗНП на множестве столбцов E , получаем одно из наименьших доминирующих множеств ребер (наименьшее покрытие) $E^* = \{a, c, d, f, h, i\}$.

Связь (7). Подсчитаем для вершин, инцидентных множеству ребер E^* , их степени. Для всех вершин, кроме вершин с номерами 4 и 6, они равны единице, $d(4) = 4$, $d(6) = 2$. Убирая три ребра из E^* , инцидентных вершине 4, и одно ребро, инцидентное вершине 6, получаем наибольшее независимое множество ребер (наибольшее паросочетание). Оно состоит из двух ребер. Обратное также справедливо. Пусть есть наибольшее паросочетание M^* . Для вершин с нулевой степенью добавляем к паросочетанию по одному инцидентному ребру, тем самым получая наименьшее покрытие.

Упражнения и задачи

9.1. Привести пример графа G ($n \leq 8$). Найти для него путем простого «ручного» перебора число вершинного покрытия $\alpha_0(G)$, число реберного покрытия $\alpha_1(G)$, вершинное число независимости $\beta_0(G)$ и реберное число независимости $\beta_1(G)$. Убедиться в справедливости теоремы о том, что $\alpha_0 + \beta_0 = n = \alpha_1 + \beta_1$.

9.2. Привести пример двудольного графа G ($n, m \leq 8$). Найти для него путем простого «ручного» перебора числа $\alpha_0(G)$, $\beta_1(G)$. Убедиться в справедливости теоремы о том, что $\alpha_0(G) = \beta_1(G)$.

9.3. Привести пример графа G ($n \leq 8$). Путем ручной трассировки описанной в п. 9.2 логики найти все его максимальные независимые множества вершин.

9.4. Разработать программу нахождения всех максимальных независимых множеств вершин графа путем генерации всех подмножеств множества вершин и проверки каждого подмножества на независимость и максимальность.

9.5. Задача о восьми ферзях (пример 1.3) является задачей об отыскании максимального независимого множества. Представим шахматную доску в виде графа с 64 вершинами, которые смежны, если клетки находятся на одной горизонтали, вертикали или диагонали. Таким образом решение можно получить путем поиска максимальных независимых множеств и путем прямого перебора возможных расстановок ферзей (так, как это сделано в примере 1.3). Сравнить логику решения задач.

9.6. Разработать программу нахождения всех максимальных независимых множеств графа в соответствии с алгоритмом, рассмотренным в п. 9.2.

9.7. Если бы семейство независимых множеств вершин было матроидом, то жадный алгоритм решал бы задачу их поиска. Действительно, пустое множество независимо, любое подмножество независимого множества независимо, однако второе положение в определении матроида не выполняется. Приведите пример графа, из которого следует невыполнение этого положения.

1	2	3	4
5	6	7	8
9	10	11	12
13	14	15	16

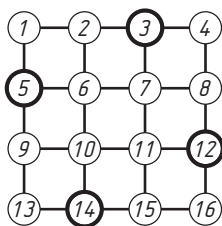


Рис. 9.21. Представление квадрата, разбитого на 16 частей, в виде графа. Показан один из способов размещения пунктов милиции

9.8. Привести пример графа G ($n \leq 8$). Построить его дополнение G^* . Показать, что клики графа G соответствуют максимальным независимым множествам вершин графа G^* .

9.9. Разработать программу нахождения клик графа.

9.10. Пусть город можно изобразить как квадрат, разделенный на 16 районов (рис. 9.21). Считается, что опорный пункт милиции, расположенный в каком-либо районе, может контролировать не только этот район, но и граничащие с ним районы. Требуется найти наименьшее количество пунктов милиции и все способы их размещения, такие, чтобы контролировался весь город.

9.11. Привести пример графа G ($n \leq 8$). Найти для него число доминирования $\beta(G)$.

9.12. Дана матрица A , элементы которой равны 0 или 1. Путем перестановки столбцов преобразовать ее к блочному виду.

9.13. Дана матрица A , элементы которой равны 0 или 1. Не переставляя столбцы матрицы A , сформировать матрицу Bl , такую, что в ее первой строке указаны номера столбцов A , содержащих единицу в первой строке, во второй строке — номера столбцов, не содержащих единицу в первой строке, но содержащих ее во второй строке, и т. д.

9.14. Разработать программу решения задачи о поиске всех разбиений.

9.15. В решение задачи 9.14 добавить логику предварительной обработки, позволяющую включать в решение столбцы, содержащие единицу только в одной строке, и исключать строки, над которыми доминируют другие строки.

9.16. Разработать программу решения задачи о поиске наименьшего разбиения.

9.17. Пусть вершинам графа приписаны целые веса. Изменить программу решения задачи 9.14 так, чтобы находилось разбиение с минимальным суммарным весом.

9.18. Разработать программу решения задачи поиска всех покрытий.

9.19. Пусть вершинам графа приписаны целые веса. Изменить программу решения задачи 9.18 так, чтобы находилось покрытие с минимальным суммарным весом.

9.20. Приведите пример графа, в котором наименьшее доминирующее множество не является независимым.

9.21. Приведите пример графа ($m > 1$), в котором наибольшее паросочетание состоит из одного ребра.

9.22. На предприятии выполняется m работ $E = \{e_1, e_2, \dots, e_m\}$. Каждая работа приносит доход $w(e_i)$. На работу могут быть приняты n сотрудников. Каждый j -й сотрудник может выполнять любую работу из некоторого множества работ A_j , но при принятии выполняет конкретную работу, $\bigcup_{j=1}^n A_j = E$. Требуется найти такое соответствие между людьми и работами, чтобы суммарный доход предприятия был максимальным.

Комментарии

Эту главу, в какой-то мере, можно рассматривать и как продолжение темы перебора, «шлифование» искусства сокращения (уменьшения) просматриваемых вариантов. Алгоритмы генерации независимых и доминирующих множеств в переработанном виде заимствованы из [15]. Изложение, на наш взгляд, более доступно, ибо неоднократно «проговаривалось» перед аудиторией. При изложении материала по паросочетаниям и матроидам трансверселей автор придерживался материалов книги [17].

ГЛАВА 10

ПЛАНАРНЫЕ ГРАФЫ

10.1. Основные понятия

Граф *укладывается* на какой-то поверхности, если он рисуется на ней без пересечения ребер. Граф является *планарным* в случае возможности его уложения на плоскости (имеет плоскую укладку). Уже

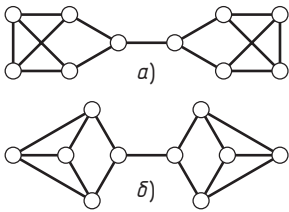


Рис. 10.1. Пример планарного графа (а). Графы а и б изоморфны. Граф б является плоским

уложенный на плоскости граф называют *плоским*. На рис. 10.1, а приведен пример планарного графа, на рис. 10.1, б показана его плоская укладка. *Жорданова кривая* — это непрерывная линия без самопересечений. Граф G укладывается в пространстве L , если существует отображение вершин и ребер графа соответственно в точки и жордановы кривые этого пространства такое, что различным вершинам соответствуют различные точки, а ребрам — жордановы кривые.

При этом пересечение кривых допустимо только в точках — вершинах, инцидентных соответствующим ребрам. Изображение графа G с помощью данных средств определяется как укладка в L .

Теорема. *Каждый граф G укладывается в трехмерном пространстве E^3 .*

10.2. Формула Эйлера

Область, ограниченная ребрами в плоском графе и не содержащая внутри себя вершин и ребер, называется *гранью*. Внешняя часть плоскости относительно графа также считается гранью. Граф

на рис. 10.1, *b* имеет семь граней. Число граней плоского графа G обозначается как $r(G)$.

Теорема (формула Эйлера). В связном плоском графе $G = (V, E)$ справедливо равенство $n - m + r = 2$, где $n = |V|$, $m = |E|$ и $r = r(G)$.

Если G — связный плоский граф ($n > 3$), то $m \leq 3n - 6$. Действительно, каждая грань ограничена по крайней мере тремя ребрами, каждое ребро ограничивает не более двух граней, следовательно, $3r \leq 2m$. Получаем $2 = n - m + r \leq n - m + 2m/3 \Rightarrow 3n - 3m + 2m \geq 6 \Rightarrow m \leq 3n - 6$.

Графы K_5 (рис. 10.2) и $K_{3,3}$ (рис. 5.1 на с. 111) не являются планарными. Действительно, для графа K_5 имеем $n = 5$, $m = 10$. Если граф планарный, то $10 \leq 3 \cdot 5 - 6 = 9$, противоречие. Для графа $K_{3,3}$ $n = 6$ и $m = 9$. В этом графе нет «треугольников», поэтому при укладке на плоскость каждая грань ограничена не менее чем четырьмя ребрами и, следовательно, $4r \leq 2m$ ($2r \leq m$). По формуле Эйлера получаем $6 - 9 + r = 2$, $r = 5$ и $2 \cdot 5 = 10 \leq 9$ — противоречие.

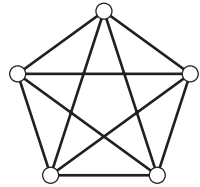


Рис. 10.2. Граф K_5

Если в связном плоском графе граница каждой грани является t -циклом ($t \geq 3$), то $m(t - 2) = t(n - 2)$. Действительно, так как каждая грань ограничена t -циклом, а каждое ребро принадлежит ровно двум граням, то $rt = 2m$. Подставляя выражение для r из формулы Эйлера, получаем $(2 - n + m)t = 2m$ и требуемую зависимость.

Плоский граф, у которого все грани, включая внешнюю, являются треугольниками, называют *плоской триангуляцией*. Плоским *максимальным* графом является граф, который перестает быть плоским при добавлении любого ребра.

Теорема. Граф является плоским максимальным графом тогда и только тогда, когда он представляет собой плоскую триангуляцию.

Отсюда следует, что всякий плоский граф является остовным подграфом некоторой плоской триангуляции. Для всякого максимального планарного графа выполняется равенство $m = 3n - 6$.

Критерий планарности

Подразбиение ребра $e = (i, j)$ заключается в том, что ребро удаляется из графа и добавляются два новых ребра $e_1 = (i, t)$ и $e_2 = (t, j)$, где t — новая вершина графа. Два графа называются *гомеоморфными*



Рис. 10.3. Граф K_4 (а) и гомеоморфный ему (б)

ми, если их можно получить из одного графа с помощью последовательности подразбиений ребер. На рис. 10.3 показан граф K_4 и гомеоморфный ему граф.

Теорема (Л. С. Понтрягин, К. Куратовский). *Граф является планарным тогда и только тогда, когда он не содержит подграфов, гомеоморфных K_5 и $K_{3,3}$.*

10.3. Алгоритм укладки графа на плоскости

Рассмотрим алгоритм плоской укладки графа Д. Хопкрофта и Р. Тарьяна [22, с. 402—424]. Последовательность действий в алгоритме следующая: определяется, является ли данный граф G планарным, и (если это действительно так) генерируется текстовое описание его укладки на плоскости. Алгоритм достаточно сложный. Одной из целей его изучения является демонстрация принципа о том, что программа есть результат искусства синтеза в единое целое управления и структур данных.

Основная идея.

1. В графе G найти цикл C и разместить его на плоскости в виде простой замкнутой кривой.

2. Оставшуюся часть графа $G \setminus C$ разложить на непересекающиеся по ребрам пути.

3. Разместить каждый из выделенных путей либо целиком внутри C , либо целиком вне C . Если размещение найдено, то считаем граф планарным, в противном случае — нет. Основная сложность этого шага в том, что при размещении путей требуется выбирать какую-то сторону C (либо внутреннюю, либо внешнюю). При неудачном выборе области размещения очередного пути может быть сделан неверный вывод о непланарности планарного графа. Эта сложность иллюстрируется на примере графа на рис. 10.4. Предположим, что первоначально размещен цикл $(1, 2, 3, 4, 5, 1)$, путь $(5, 2)$ размещен вне цикла, а пути $(2, 6, 5)$ и $(6, 3)$ — внутри цикла (рис. 10.4, а). Последний путь (состоит из одного ребра $(1, 4)$) нельзя добавить ни вовнутрь, ни вовне цикла. Следует вернуться к разме-

шению путей (2, 6, 5) и (6, 3) — разместить их вовне цикла, а затем вновь попытаться найти место для (1, 4) — результат на рис. 10.4, б.

Предположим, что первые два положения идеи алгоритма реализованы и выделено k путей. Для реализации третьей части требуется, при «лобовом» решении, перебрать 2^k вариантов размещения путей (для каждого пути существует два способа размещения), определяя при этом наличие их пересечения. Развитием идеи является определение некоего отношения порядка на множестве путей и выбор пути в соответствии с этим порядком, что «облегчит» перебор, так как позволит размещать очередной путь по возможности без нарушения планарности.

Дан граф G . Он одним из известных способов (лучше списками связей) описан в памяти компьютера. На рис. 10.5 приведен граф, на примере которого иллюстрируется дальнейшее изложение. Рассмотрим первый шаг алгоритма — «преобразование графа». Для его реализации используем поиск в глубину, при этом:

- 1) введем новую нумерацию вершин, которая совпадает с очередностью их просмотра при поиске в глубину;
- 2) определим для каждого ребра графа некий вес;
- 3) преобразуем исходный граф в ориентированный граф; его новым описанием являются списки связей, упорядоченные по неубыванию весов ребер.

Разберем последовательно каждое из действий первого шага алгоритма. На рис. 10.6 показан процесс просмотра вершин графа поиском в глубину. В квадратных скобках указана очередность просмотра, это новая нумерация вершин графа, она хранится в массиве *Num*. Далее мы будем пользоваться только ею. Исходный граф превратился в ориентированный граф. Ориентация определяется направлением прохождения ребер. Пунктирными линиями на рис. 10.6 выделены обратные ребра. Ребра графа на рис. 10.6, выделенные сплошными линиями, образуют ориентированный остов, или дерево (обозначим его как T), корнем которого

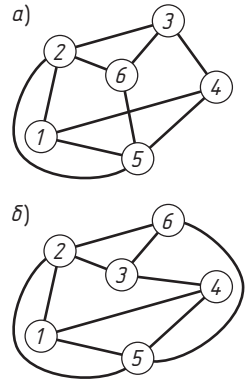


Рис. 10.4. Пример неудачного (а) и удачного (б) размещения путей графа

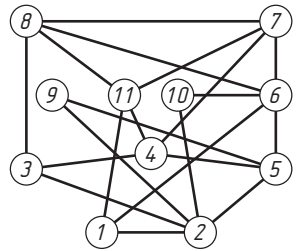


Рис. 10.5. Пример графа для иллюстрации алгоритма плоской укладки

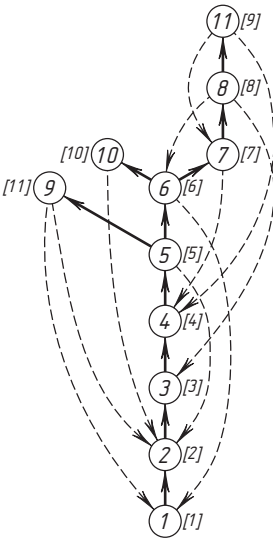


Рис. 10.6. Преобразование графа на рис. 10.5 в ориентированный граф в соответствии с логикой обхода в глубину

является начальная вершина (с номером 1) при просмотре в глубину.

На множестве вершин графа G определим и вычислим две функции: $LowPt$ и $NextLowPt$. Значением $LowPt(v)$ будет наименьшая вершина, достижимая из вершины v и любого ее потомка в дереве с помощью не более одного обратного ребра. В случае когда с помощью одного обратного ребра невозможно достичь вершины, лежащей «ниже» v (до v в дереве T), сама v будет значением $LowPt(v)$. Аналогично определяется функция $NextLowPt(v)$ — это следующая самая «низкая» вершина, за исключением $LowPt(v)$, расположенная под v , которая достигается таким же образом. Если такой вершины нет, то $NextLowPt(v)$ также приравнивается к значению v . Более формальным языком: пусть S_v — множество всех вершин, лежащих на любом пути из вершины v , состоящем из 0 или более ребер дерева T и заканчивающемся не более чем одним обратным ребром; тогда

$$LowPt(v) = \min(S_v),$$

$$NextLowPt(v) = \min(\{v\} \cup (S_v \setminus \{LowPt(v)\})).$$

В табл. 10.1 приведены значения функций и множества S_v для всех вершин графа на рис. 10.6.

После этого для каждого ребра ориентированного графа определим вес по формуле

$$\varphi(v, w) = \begin{cases} 2w, & \text{если } (v, w) \text{ — обратное ребро,} \\ 2 LowPt(w), & \text{если } (v, w) \text{ — ребро } T \\ & \text{и } NextLowPt(w) \geq v, \\ 2 LowPt(w) + 1, & \text{если } (v, w) \text{ —} \\ & \text{ребро } T \text{ и } NextLowPt(w) < v. \end{cases}$$

Весы ребер для графа на рис. 10.6 приведены в табл. 10.2.

Таблица 10.1

v	S_v	$LowPt(v)$	$NextLowPt(v)$
1	{1, ..., 11}	1	1
2	{1, ..., 11}	1	2
3	{1, ..., 11}	1	2
4	{1, ..., 11}	1	2
5	{1, ..., 11}	1	2
6	{1, ..., 4, 6, ..., 10}	1	2
7	{3, 4, 6, 7, 8, 9}	3	4
8	{3, 4, 6, 7, 8, 9}	3	4
9	{4, 7, 9}	4	7
10	{2, 10}	2	10
11	{1, 2, 11}	1	2

Таблица 10.2

(v, w)	$\varphi(v, w)$	Комментарий	(v, w)	$\varphi(v, w)$	Комментарий
(1, 2)	2	$NextLowpt(2) \geq 1$	(7, 4)	8	Обратное ребро
(2, 3)	2	$NextLowpt(3) \geq 2$	(7, 8)	7	$NextLowpt(8) < 7$
(3, 4)	3	$NextLowpt(4) < 3$	(8, 3)	6	Обратное ребро
(4, 5)	3	$NextLowpt(5) < 4$	(8, 6)	12	Обратное ребро
(5, 2)	4	Обратное ребро	(8, 9)	9	$NextLowpt(9) < 8$
(5, 6)	3	$NextLowpt(6) < 5$	(9, 4)	8	Обратное ребро
(5, 11)	3	$NextLowpt(11) < 5$	(9, 7)	14	Обратное ребро
(6, 1)	2	Обратное ребро	(10, 2)	4	Обратное ребро
(6, 7)	7	$NextLowpt(7) < 6$	(11, 1)	2	Обратное ребро
(6, 10)	4	$NextLowpt(10) \geq 6$	(11, 2)	4	Обратное ребро

После проделанной работы списки связей, описывающие ориентированный граф (рис. 10.6), упорядочиваются по неубыванию значения функции $\varphi(v, w)$. Их вид приведен на рис. 10.7. Первый шаг работы алгоритма закончен.

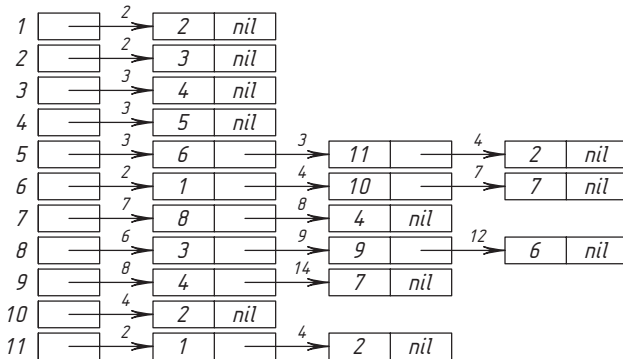


Рис. 10.7. Упорядоченные списки связей ориентированного графа на рис. 10.6

Второй шаг работы алгоритма — «построение путей». При этом используется просмотр в глубину вершин ориентированного графа (рис. 10.6), представленного упорядоченными списками связей (рис. 10.7). Просмотр начинается с первой вершины. Встретив вершину графа (первый раз), из которой есть обратное ребро в вершину с номером один, мы найдем цикл p_0 (первый путь). Для нашего примера это цикл $C = (1, 2, 3, 4, 5, 6, 1)$. Дальнейшие наши действия основаны на логике просмотра в глубину и понятии «путь». Каждый путь состоит из последовательности ребер дерева T (их количество

больше или равно нулю), за которыми следует *точно одно* обратное ребро. Если таких ребер из текущей вершины просмотра нет, то осуществляется возврат к предыдущей вершине на последнем пути. Множество путей рассматриваемого графа (рис. 10.6) показано на рис. 10.8. Такое разложение графа на цикл и пути, вообще говоря, не является единственным, но количество путей (с учетом цикла) всегда равно $|E| - |V| + 1$, ибо каждый путь заканчивается единственным обратным ребром. Для рассматриваемого примера таких путей 10.

В силу логики просмотра в глубину и того факта, что каждый путь содержит только одно обратное ребро, любой из путей p_i имеет только две общие вершины с подграфом $p_0 \cup p_1 \cup p_2 \cup \dots \cup p_{i-1}$. Так как списки связей упорядочены по неубыванию значений функции $\varphi(v, w)$, то пути достраиваются из конкретной вершины в порядке

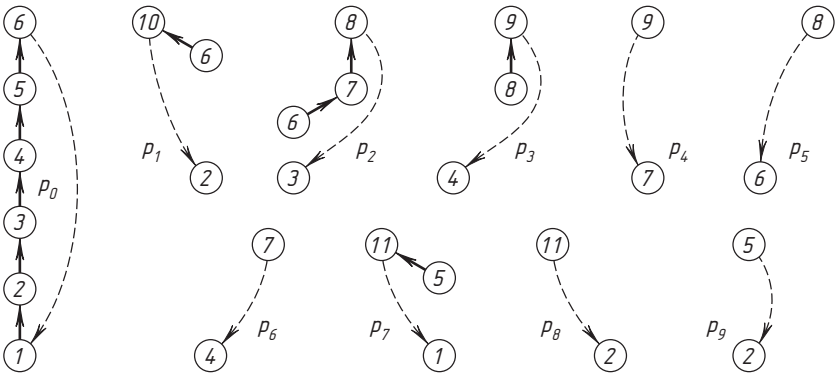


Рис. 10.8. Множество путей графа на рис. 10.6

возрастания номеров вершин, в которых заканчиваются обратные ребра. Так, путь (6, 7, 8, 3) (рис. 10.8) порождается раньше, чем путь (8, 6); путь (5, 11, 1) — раньше, чем путь (11, 2). Фактически окажется, что для построения планарной укладки требуется знать лишь конечные вершины путей p_1, p_2, \dots, p_m , а не сами пути.

Рассмотрим путь $p_2 = (6, 7, 8, 3)$. Он заканчивается в вершине с номером 3. Если рассмотреть все обратные ребра, идущие из вершин этого пути, но еще не включенные в рассмотрение, то все они заканчиваются в вершинах с большими номерами. Это пути (8, 9, 4), (8, 6), (7, 4).

Возьмем произвольную пару путей p_i и p_j ($i < j$), например p_2 и p_3 . Мы видим, что первый путь заканчивается в вершине с меньшим номером (вершина 3), чем второй (вершина 4). Это утвержде-

ние справедливо для любой пары путей в том случае, если начальная вершина первого пути предшествует при просмотре в глубину начальной вершине второго пути.

Третий шаг алгоритма — «выделение сегментов». Фактически сегменты выделяются в процессе построения путей, но с целью достижения доступности изложения выделим этот процесс в отдельный шаг. *Сегментом* графа относительно цикла C назовем либо одно обратное ребро, не принадлежащее циклу, но у которого обе вершины принадлежат циклу, либо подграф, состоящий из ребра (v, w) дерева T ($v \in C$ и $w \notin C$), ориентированного поддерева, имеющего корнем w , и все обратные ребра из этого поддерева. Вершину v называют *базовой вершиной сегмента*. На рис. 10.9 показаны сегменты графа $G \setminus C$.

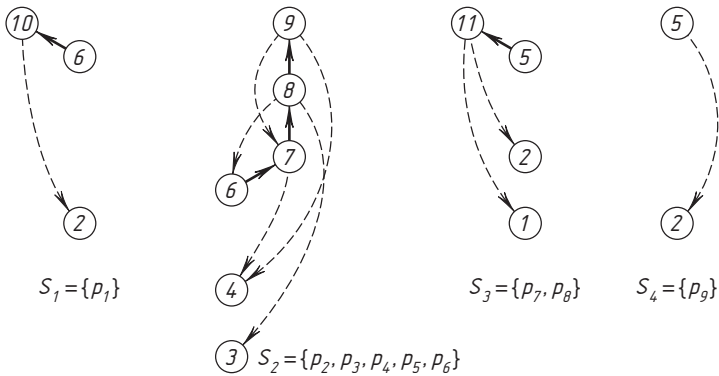


Рис. 10.9. Сегменты графа $G \setminus C$

Очевидно, что все пути, принадлежащие одному сегменту, следует размещать вместе или внутри цикла C , или вне цикла C , и в этом заключается смысл объединения путей в сегменты.

Четвертый шаг алгоритма — «укладка» — начинается с размещения цикла C . Он укладывается в виде простой замкнутой кривой, делящей плоскость на две области — внешнюю и внутреннюю. Затем наступает очередь сегментов, укладываемых в порядке их генерации — для нашего примера S_1, S_2, S_3, S_4 (рис. 10.9). Выбирается одна из областей плоскости (для определенности считаем ее внутренней областью) и делается попытка разместить путь p . Для этого необходимо установить *совместимость* размещения p с ранее размещенными путями. Если совместимость установлена, то p размещается и осуществляется переход к укладке следующих путей.

Если совместимости нет, то ранее размещенные во внутренней области сегменты переносятся во внешнюю область, а размещенные во внешней переносятся во внутреннюю и т. д. В том случае, когда не удастся разместить p и после переносов, делается заключение о непланарности графа. В случае удачи — размещения p — осуществляется переход к размещению следующего пути из сегмента. Аналогичные действия выполняются для всех оставшихся (неразмещенных) сегментов. Из сказанного следует, что требуется критерий совместимости — можно или нет разместить в конкретной области относительно цикла C первый путь сегмента.

Критерий совместимости

Разберем его на нашем примере. Первый сегмент S_1 (рис. 10.9) состоит из одного пути p_1 , имеет базовую вершину 6 и заканчивается в вершине 2 (обозначим эти вершины соответственно как v_i и v_j). Обе вершины принадлежат циклу C . Второй сегмент S_2 (рис. 10.9) имеет базовую вершину с номером 6, и его *первый путь* p_2 заканчивается в вершине с номером 3 (т. е. теперь $v_i = 6, v_j = 3$). Единственное обратное ребро (x, v_i) из ранее размещенного сегмента — это $(10, 2)$. Оно «входит» в цикл в вершине $v_i = 2$, и условие $v_j < v_i < v_i$ не выполняется. Поэтому сегмент S_2 может быть размещен внутри C — рис. 10.10, а. Размещаем сегмент S_3 (рис. 10.9), для его первого пути $v_i = 5, v_j = 1$. Выпишем все обратные ребра ранее размещенного сегмента S_2 : $(8, 3), (9, 4), (9, 7), (8, 6), (7, 4)$. Есть обратные ребра (первое, второе и пятое), для которых условие $v_j < v_i < v_i$ выполняется, т. е. они «входят» в цикл между вершинами с номерами 1

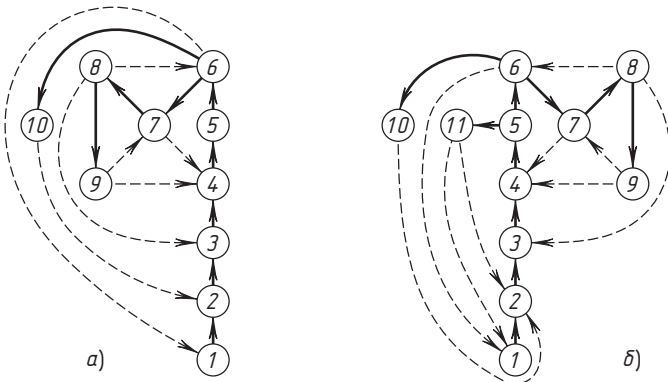


Рис. 10.10. Иллюстрация критерия совместимости

и 5. Критерий совместимости говорит о том, что сегмент S_3 не может быть размещен внутри цикла C . Пытаемся разместить сегмент S_2 вне цикла C — он размещается, и возвращаемся к размещению сегмента S_3 во внутренней области — рис. 10.10, б.

Итак, суть критерия совместимости заключается в том, что берется первый путь (почему?) очередного сегмента и определяется, есть ли входение обратных ребер предыдущего сегмента в цикл на интервале (v_j, v_i) . Если нет, то укладка во внутренней области возможна, и мы действуем согласно логике шага алгоритма «укладка», проверяя на каждом новом варианте размещения выполнение критерия совместимости.

Рекурсивность логики алгоритма укладки

Предположим, что мы смогли разместить первый путь $p = (s, \dots, f)$ текущего сегмента S с какой-то стороны цикла C . Теперь нам нужно определить, можно ли разместить оставшуюся часть $S \setminus p$ этого сегмента, не нарушая планарности уже уложенной части графа. Сделать это можно в том случае, если планарен подграф $\tilde{G} = S \cup C$. Таким образом, мы сталкиваемся с задачей определения планарности подграфа \tilde{G} . Поставленную проблему можно решить, применяя к \tilde{G} рекурсивно критерий совместимости. В этой рекурсии путь p вместе с ребрами цикла C от f (конечная вершина пути p) до s (начальная вершина пути p) будет служить начальным циклом \tilde{C} в \tilde{G} . Удаление этого цикла (вместе с его начальной и конечной вершинами) из \tilde{G} позволит разбить оставшийся орграф $\tilde{G} \setminus \tilde{C}$ на сегменты (уже относительно \tilde{C}), которые в свою очередь также обрабатываются рекурсивно. Этот процесс продолжается до тех пор, пока все пути сегмента S не разместятся на плоскости или окажется, что некий путь не может быть уложен.

Поясним вышесказанное на примере. Рассмотрим размещение сегмента S_2 (рис. 10.11). Согласно критерию совместимости, мы можем разместить его первый путь $p_2 = (6, 7, 8, 3)$ как снаружи, так и внутри цикла C . Для определенности выберем внешнюю грань. По отношению к новому циклу $\tilde{C} = (3, 4, 5, 6, 7, 8, 3)$ сегмент распа-

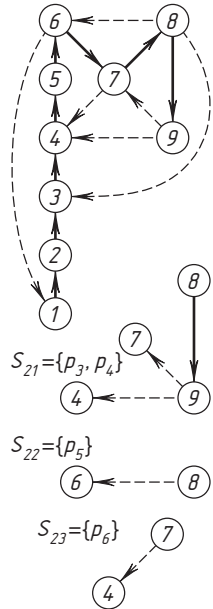


Рис. 10.11. Иллюстрация рекурсивности логики алгоритма укладки

ется на три новых сегмента S_{21} , S_{22} , S_{23} . Первый из них состоит из двух путей p_3 и p_4 , поэтому для его размещения потребуется еще один рекурсивный вызов. Два других сегмента S_{22} и S_{23} содержат ровно по одному пути (p_5 и p_6 соответственно), поэтому дальнейшие рекурсивные вызовы для них не требуются.

Понятие сегмента наводит на мысль о наглядной текстовой интерпретации укладки графа на плоскость. Действительно, мы можем получить представление о том, как нужно размещать граф, если будем выводить пути, учитывая два их атрибута:

- 1) уровень рекурсии, на котором был порожден текущий путь;
- 2) с какой стороны от цикла очередного сегмента размещается обрабатываемый путь.

В частности, можно выводить каждый путь в отдельной строке, вставляя в ее начало кратное уровню рекурсии число пробелов и добавляя в конец «*in*» или «*out*» (путь укладывается внутрь или наружу соответственно). Для нашего примера с сегментом S_2 мы получим следующее представление:

Path 2: 6 7 8 3 out

Path 3: 8 9 4 in

Path 4: 9 7 in

Path 5: 8 6 out

Path 6: 7 4 in

Упражнения и задачи

10.1. Для графов на рис. 5.9, *a* (см. с. 117) и 7.6 (см. с. 151) выполнить, если это возможно, плоскую укладку.

10.2. Нарисовать произвольный связный планарный граф. Найти число граней и проверить формулу Эйлера.

10.3. Привести примеры графов, для которых не выполняется формула $m \leq 3n - 6$.

10.4. Дополнить плоский граф до его триангуляции.

10.5. Привести примеры графов, у которых каждая грань является t -циклом ($t = 4, 5$). Убедиться в справедливости формулы $m(t - 2) = t(n - 2)$.

10.6. Каждый из приведенных на рис. 10.12 графов проверить на планарность. Ответ аргументировать.

10.7. Каждый из приведенных на рис. 10.13 графов проверить на планарность. Ответ аргументировать.

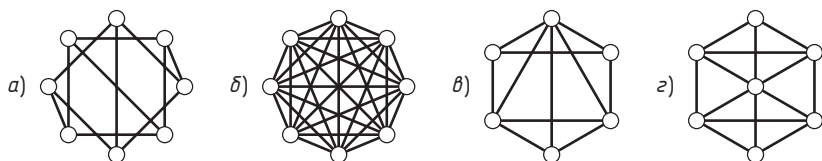


Рис. 10.12. Примеры графов для проверки их на планарность

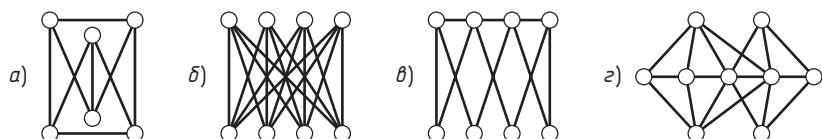


Рис. 10.13. Примеры графов для проверки их на планарность

10.8. Для каждого планарного графа из упражнения 10.7 проверить формулу Эйлера $n - m + r = 2$, где $n = |V|$ и $m = |E|$.

10.9. Планарный граф имеет 12 вершин со степенью 3. Определить количество его ребер и граней.

10.10. Степени вершин планарного графа равны, соответственно, 2, 2, 2, 3, 3, 3, 4, 4, 4, 5. Сколько у него ребер и граней?

10.11. Планарный граф имеет n вершин, и каждая грань ограничена циклом длины 3. Найдите зависимость количества граней и ребер от n .

10.12. Покажите, что граф с пятью вершинами, одна из которых имеет степень 2, является планарным.

10.13. Уложить графы K_5 , $K_{3,3}$ в трехмерном пространстве.

Комментарии

История и основные результаты по проблеме есть в книгах [11, 27], алгоритм плоской укладки — в книге [22].

ГЛАВА 11

РАСКРАСКА ВЕРШИН ГРАФА

11.1. Хроматическое число

Пусть $G = (V, E)$ — неориентированный граф. Произвольная функция $f: V \rightarrow \{1, 2, \dots, k\}$, где k принадлежит множеству натуральных чисел, называется *вершинной k -раскраской* графа G . Раскраска называется *правильной*, если $f(u) \neq f(v)$ для любых смежных вершин u и v . Граф, для которого существует правильная k -раскраска, называется *k -раскрашиваемым*. Минимальное число k , при котором граф G

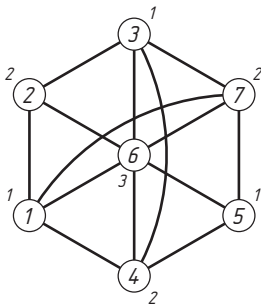
является k -раскрашиваемым, называется *хроматическим числом* графа и обозначается $\chi(G)$. Очевидно, что граф G имеет n -раскраску ($|V| = n$) и для любого p из интервала $\chi(G) \leq p \leq n$ существует правильная p -раскраска графа G .

Через $\Delta(G)$ обозначим наибольшую из степеней вершин графа G .

Теорема. Для любого графа G верно неравенство

$$\chi(G) \leq 1 + \Delta(G).$$

Рис. 11.1. Пример графа для иллюстрации понятия «хроматическое число». Рядом с вершинами графа указаны номера цветов



Пример 11.1. На рис. 11.1 приведен граф, его хроматическое число $\chi(G)$ равно трем. Меньшим количеством цветов граф правильно раскрасить нельзя из-за наличия треугольников. ◀

Мы говорим о раскраске вершин графа, однако исторически проблема связана с раскраской карт. В 1879 г. А. Кэли в работе,

посвященной проблеме раскраски карт, сформулировал следующую гипотезу.

Гипотеза четырех красок. *Всякая карта 4-раскрашиваема.*

Уточним понятие «раскрашиваемая карта». С точки зрения теории графов, это плоский граф, грани которого раскрашены так, что любым двум смежным граням присвоены разные цвета. Таким образом, грани, имеющие общее ребро, окрашиваются в разные цвета, а грани, имеющие только общую вершину или не имеющие общих вершин, могут окрашиваться в один цвет. Очевидно и то, что граф должен быть без мостов (ребра, удаление которых приводит к увеличению количества компонент связности). По любой карте строится граф с вершинами, соответствующими раскрашиваемым областям карты, с очевидным отношением смежности. Таким образом, проблема раскраски карты сводится к задаче раскраски вершин графа.

В 1880 году А. Кемпе привел доказательство гипотезы. Только в 1890 году Р. Хивуд нашел ошибку в его рассуждениях и доказал следующую теорему.

Теорема. *Каждый планарный граф 5-раскрашиваем.*

В 1969 году проблема четырех красок Х. Хеешем была сведена к определению раскрашиваемости большого, но конечного множества U «неустраимых конфигураций» [11, с. 263]. Он показал, что в любом максимальном плоском графе G найдется подграф \tilde{G} , изоморфный некоторой конфигурации из U и такой, что если \tilde{G} является 4-раскрашиваемым, то и G также 4-раскрашиваемый. Постепенно количество таких «неустраимых конфигураций» свели к 1482. В 1976 году коллективу математиков и программистов удалось найти четырехцветные раскраски для всех графов из U (потребовалось порядка 2000 часов работы мощной ЭВМ). Является ли верным их утверждение о доказанности гипотезы — трудно сказать. Ф. Харари пишет: «Гипотезу четырех красок можно с полным основанием назвать еще «болезнью четырех красок», так как она во многом похожа на заболевание. Она в высшей степени заразна. Иногда она протекает сравнительно легко, но в некоторых случаях приобретает затяжной или даже угрожающий характер...» [27, с. 151].

11.2. Метод правильной раскраски

Суть метода достаточно проста и сводится к одной фразе — «закрашиваем очередную вершину в минимально возможный цвет».

Введем следующие структуры данных:

```
Const Nmax=100; {Максимальное количество вершин
                 графа}
Type V=0..Nmax;
     Ss=Set Of V;
     MyArray=Array[1..Nmax] Of V;
Var Gr:MyArray; {Gr – для каждой вершины графа
                 определяется номер цвета}
```

Для примера на рис. 11.1 массив *Gr* имеет вид:

$$\begin{aligned} Gr[1] &= Gr[3] = Gr[5] = 1; \\ Gr[2] &= Gr[4] = Gr[7] = 2; \\ Gr[6] &= 3. \end{aligned}$$

Поиск цвета раскраски для одной вершины можно реализовать с помощью следующей функции:

```
Function Color(i,t:V):Integer; {i – номер окраши-
                               ваемой вершины, t – номер цвета, с которого сле-
                               дует искать раскраску данной вершины, A – матри-
                               ца смежности, Gr – результирующий массив}
Var Ws:Ss;
     j:Byte;
Begin
  Ws:=[];
  For j:=1 To i-1 Do
    If A[j,i]=1 Then Ws:=Ws+[Gr[j]]; {Формируем
    множество цветов, в которые окрашены смеж-
    ные вершины с меньшими номерами}
  j:=t;
  Repeat {Поиск минимального номера цвета, в
         который можно окрасить данную вершину}
    Inc(j);
  Until Not(j In Ws);
  Color:=j;
End;
```

Фрагмент основной логики:

```
<формирование описания графа>;
For i:=1 To n Do Gr[i]:=Color(i,0);
<вывод решения>;
```

Пример 11.2. На рис. 11.2 приведен пример графа. В соответствии с изложенным методом найдем его правильную раскраску: $Gr[1] = 1$, $Gr[2] = Gr[4] = 2$, $Gr[3] = 3$, $Gr[5] = 4$. Однако минимальной раскраской она не является: $Gr[1] = 1$, $Gr[2] = Gr[5] = 2$, $Gr[3] = 3$, $Gr[4] = 4$, и $\chi(G) = 3$.

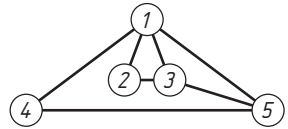


Рис. 11.2. Пример графа для иллюстрации логики нахождения правильной раскраски

11.3. Методы поиска минимальной раскраски

Метод Кристофидеса

Метод основан на простой идее, и в некоторых случаях он дает точный результат. Пусть получена правильная раскраска графа, q — количество цветов в этой раскраске. Если существует раскраска, использующая только $q - 1$ цветов, то все вершины, окрашенные в цвет q , должны быть окрашены в цвет g , меньший q . Согласно логике формирования правильной раскраски, вершина была окрашена в цвет q , потому что не могла быть окрашена в цвет с меньшим номером. Следовательно, необходимо попробовать изменить цвет у вершин, смежных с рассматриваемой. Но как это сделать? Найдем вершину с минимальным номером, окрашенную в цвет q , и просмотрим вершины, смежные с найденной. Попытаемся окрашивать смежные вершины не в минимально возможный цвет. Для этого находим очередную смежную вершину и стараемся окрасить ее в другой цвет. Если это получается, то перекрашиваем вершины с большими номерами по методу правильной раскраски. При неудаче, когда изменить цвет не удалось или правильная раскраска не уменьшила количества цветов, переходим к следующей вершине. И так пока не будут просмотрены все смежные вершины.

Опишем логику, используя функцию *Color* предыдущего параграфа.

```

Procedure Solve;
  Var MaxC, Num, i:V;
  Begin
    <ввод данных, инициализация переменных>;
    For i:=1 To n Do Gr[i]:=Color(i,0);
    {Первая правильная раскраска}
    <найти максимальный цвет раскраски, значение
      переменной MaxC>;
  
```

Repeat

<найти очередную вершину, имеющую максимальный цвет раскраски ($MaxC$), ее номер (Num)>;

<последовательно изменять цвет раскраски у вершин, смежных с Num , на большее значение и раскрашивать вершины с большими номерами по методу правильной раскраски>;

Until $MaxC = Gr[Num]$ Or <все вершины с цветом $MaxC$ просмотрены>; {До тех пор, пока не улучшим раскраску или не просмотрим все вершины с максимальным значением цвета}
<вывод минимальной (или почти минимальной!) раскраски>;

End;

При дальнейшем уточнении логики вершину придется перекрашивать в цвет с большим значением, чем получен на предыдущих этапах. В этом случае «заработает» второй параметр функции $Color$, новое значение получается путем применения оператора $r := Color(q, Gr[q])$, где значение r — новый цвет вершины с номером q .

Примечания. 1. При любом упорядочении вершин допустимые цвета j для вершины с номером i удовлетворяют условию $j \leq i$. Это очевидно, так как вершине i предшествует $i - 1$ вершин, и, следовательно, никакой цвет $j > i$ не использовался. Итак, для вершины 1 допустимый цвет 1, для 2 — цвета 1 и 2 и т. д.

2. С точки зрения скорости вычислений, вершины следует помещать (присваивать номера) так, чтобы первые q вершин образовывали наибольшую клику графа G . Это приведет к тому, что каждая из этих вершин имеет только один допустимый цвет, и процесс возврата в алгоритме можно будет заканчивать при достижении любой вершины из этого множества.

3. Для получения первого приближения в поиске минимальной раскраски целесообразно перенумеровать вершины графа в соответствии с невозрастанием степеней вершин.

В методе рассматриваются только вершины, смежные с вершиной, окрашенной в максимальный цвет. Однако для получения точного результата этого недостаточно. Следует работать и с вершинами, являющимися смежными для смежных. На рис. 11.3 приведены два графа и их раскраски.

Если для первого графа на рис. 11.3 минимальная раскраска может быть получена изменением цвета у смежной вершины с верши-

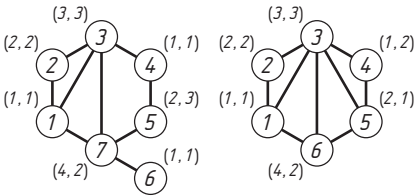


Рис. 11.3. Примеры графов. Первая цифра в круглых скобках обозначает значение цвета при правильной раскраске, вторая — при минимальной

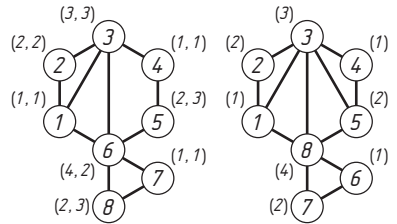


Рис. 11.4. Примеры графов. Для первого графа минимальную раскраску можно получить с помощью изменения цветов у смежных вершин, для второго — нет

ной, имеющей максимальный цвет, то у второго требуется изменить цвет у смежной к смежным. В минимальной раскраске цвет изменится у вершины с номером 4, она смежная к пятой, а не шестой, имеющей максимальный цвет.

На рис. 11.4 приведены два графа, они идентичны с точностью до нумерации вершин. Для первого с помощью описанного метода минимальная раскраска получается, для второго — нет, даже в том случае, когда изменяются цвета вершин у смежных к смежным. Таким образом, результат работы алгоритма зависит от способа нумерации вершин графа, а таких способов $n!$.

Метод, основанный на решении задачи о покрытии

При любой правильной раскраске графа G множество вершин, окрашиваемых в один и тот же цвет, является независимым множеством. Поэтому раскраску можно понимать как разбиение вершин графа на независимые множества. Если рассматривать только максимальные независимые множества, то раскраска — это не что иное, как покрытие вершин графа G множествами этого типа. В том случае, когда вершина принадлежит не одному максимальному независимому множеству, допустимы различные раскраски с одним и тем же количеством используемых цветов. Эту вершину можно окрашивать в цвета тех множеств, которым она принадлежит. Исходным положением метода является получение всех максимальных независимых множеств и хранение их в некоторой матрице $M(n \times w)$, где w — количество максимальных независимых множеств.

$$M[i, j] = \begin{cases} 1, & \text{если вершина с номером } i \text{ принадлежит} \\ & \text{множеству с номером } j, \\ 0 & \text{в противном случае.} \end{cases}$$

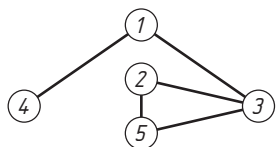


Рис. 11.5. Пример графа для иллюстрации логики сведения задачи о раскраске вершин графа к задаче о покрытии

Пример 11.3. На рис. 11.5 приведен пример графа, у которого пять максимальных независимых множеств. Матрица M имеет вид:

$$M = \begin{pmatrix} 1 & 1 & 0 & 0 & 0 \\ 1 & 0 & 0 & 1 & 0 \\ 0 & 0 & 1 & 0 & 0 \\ 0 & 0 & 1 & 1 & 1 \\ 0 & 1 & 0 & 0 & 1 \end{pmatrix}.$$

Множества столбцов M $\{1, 3, 5\}$ и $\{2, 3, 4\}$ являются решениями задачи о покрытии. Они дают четыре варианта минимальной раскраски вершин графа, так как в обоих случаях вершина 4 может быть окрашена как во второй, так и в третий цвета. ◀

Упражнения и задачи

11.1. Определить значение хроматического числа двудольного графа. Какое утверждение можно сформулировать?

11.2. Определить значение хроматического числа дерева.

11.3. Справедливо ли следующее утверждение: граф G содержит клику из k вершин тогда и только тогда, когда его хроматическое число $\chi(G) = k$?

11.4. Определить хроматическое число графа на рис. 11.6.

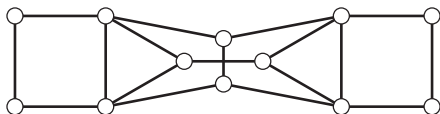


Рис. 11.6. Пример графа для определения хроматического числа

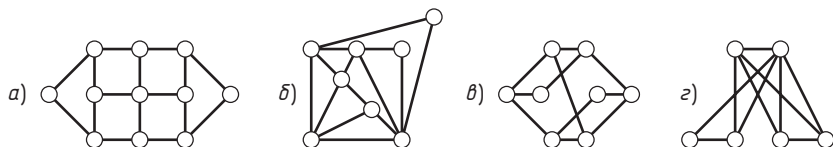


Рис. 11.7. Примеры графов для определения хроматического числа

11.5. Определить хроматические числа графов, приведенных на рис. 11.7.

11.6. Разработать алгоритм с временной сложностью $O(|V| + |E|)$ определения, раскрашиваем ли граф $G = (V, E)$ двумя красками.

11.7. Разработать программу реализации следующего эвристического алгоритма раскраски вершин графа. Первоначально вершины сортируются в порядке невозрастания их степеней, а затем используется приведенный в п. 11.2 метод правильной раскраски вершин графа. Привести примеры графов, для которых количество красок, получаемых с помощью данного алгоритма, не совпадает с хроматическим числом графа.

11.8. Имеется n различных предметов. Каждому предмету соответствует вершина графа G , ребром графа (i, j) фиксируется тот факт, что предметы с номерами i и j не могут размещаться в одном ящике. Найти наименьшее количество ящиков (с неограниченной вместимостью), в которые могут быть размещены предметы.

Комментарии

Теорема о пяти красках приводится в книге [27]. Достаточно подробное изложение темы можно найти в [11]. Краткое изложение темы дано в [19].

ГЛАВА 12

КРАТЧАЙШИЕ ПУТИ В ГРАФЕ

12.1. Постановка задачи. Вывод пути

Дан ориентированный граф $G = (V, E)$, начальная и конечная вершины — $s, t \in V$. Веса дуг записаны в матрице смежности A , если вершины i и j не связаны дугой, то $A[i, j] = \infty$. Путь между s и t описывается как последовательность вершин $v_0 = s, v_1, v_2, \dots, v_{q-1},$

$v_q = t$ и оценивается $\sum_{i=1}^q A[v_{i-1}, v_i]$. Требуется найти путь с минимальной оценкой.

Примечание. При реализации алгоритмов на компьютере требуется моделировать бесконечность (символ ∞) путем, например, работы с максимальным значением числа в используемом типе. Естественно, что в логике появляются дополнительные проверки.

Пример 12.1. На рис. 12.1 приведен пример простейшего графа. Кратчайший путь из первой вершины в четвертую проходит через третью и вторую вершины и имеет оценку 6.

Особый случай представляют графы, имеющие циклы с отрицательной суммарной оценкой.

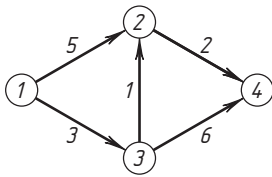


Рис. 12.1. Пример графа для иллюстрации понятия «кратчайший путь»

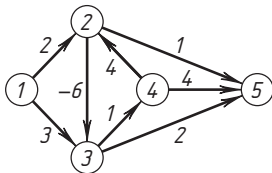


Рис. 12.2. Пример графа с отрицательным циклом

Пример 12.2. На рис. 12.2 приведен пример графа. Он имеет простой цикл (3, 4, 2, 3) с отрицательным суммарным весом. При поиске кратчайшего пути между первой и пятой вершинами, обо-

для этого цикла достаточное количество раз, можно получить оценку, меньшую любого целого числа. ◀

Ограничимся рассмотрением графов без циклов с отрицательным суммарным весом. Поиск в графе таких циклов — отдельная задача.

Нам необходимо найти кратчайший путь, т. е. путь с минимальным весом, между двумя вершинами графа. Эта задача логически разбивается на две подзадачи: нахождение минимальной оценки пути и вывод пути (при известной оценке). Все известные алгоритмы определяют не только оценку между заданной парой вершин, но и оценки от вершины s до всех остальных вершин графа. Предположим, что мы определили эти значения, и они хранятся в массиве D : *Array[1..n] Of Integer*. Тем самым решили первую подзадачу. Найдем сам кратчайший путь. Для s и t существует такая вершина v , что $D[t] = D[v] + A[v, t]$. Запомним v (например, в стеке). Повторим процесс поиска вершины u , такой, что $D[v] = D[u] + A[u, v]$, и так до тех пор, пока не дойдем до вершины с номером s . Последовательность s, \dots, u, v, t дает кратчайший путь. Реализация этой логики имеет вид:

```

Procedure Way(q:Integer); {D, A, s, t — глобальные
                           переменные}
  Var j:Integer;
  Begin
    If q<>s Then Begin
      j:=1;
      While (j<=n) And (D[q]<>D[j]+A[j,q])
        Do j:=j+1;
      If j<=n Then Way(j);
    End;
    Write (q, ' ');
  End;

```

Итак, путь при известном массиве D находить мы умеем. Осталось научиться определять значения оценок, т. е. значения элементов массива D . Идея всех известных алгоритмов заключается в следующем. По данной матрице весов A вычисляются первоначальные верхние оценки. А затем пытаются их улучшить до тех пор, пока это возможно, естественно, максимально используя ограничения на входные данные. Поиск улучшения, например для $D[v]$, заключается в нахождении вершин u , таких, что $D[u] + A[u, v] < D[v]$. Если такая вершина u есть, то значение $D[v]$ можно заменить на $D[u] + A[u, v]$.

12.2. Алгоритмы поиска кратчайших путей

Алгоритм Л. Форда и Р. Беллмана

Дан ориентированный взвешенный граф G , матрица смежности A с весами дуг, вершина-источник s , циклов с отрицательным суммарным весом нет. Результат — массив оценок D .

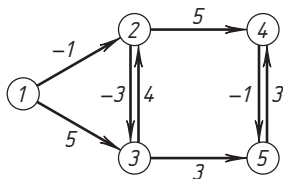


Рис. 12.3. Пример графа для иллюстрации логики алгоритма Форда—Беллмана

Пример 12.3. На рис. 12.3 показан граф. Его матрица смежности (весов) имеет вид:

$$A = \begin{pmatrix} \infty & -1 & 5 & \infty & \infty \\ \infty & \infty & -3 & 5 & \infty \\ \infty & 4 & \infty & \infty & 3 \\ \infty & \infty & \infty & \infty & -1 \\ \infty & \infty & \infty & 3 & \infty \end{pmatrix}.$$

Ищем кратчайшие пути из первой вершины. Начальное значение массива $D(0, \infty, \infty, \infty, \infty)$. Оценки до всех вершин не получены. На первой итерации — путь состоит из одной дуги — получаем оценки $D(0, -1, 5, \infty, \infty)$. На второй итерации — путь состоит не более чем из двух дуг — новые оценки $D(0, -1, -4, 4, 8)$. Для вершины с номером 3 оценка улучшается. На третьей итерации улучшается оценка для вершины с номером 5 — $D(0, -1, -4, 4, -1)$. И наконец, на пятой итерации изменяется оценка четвертой вершины — $D(0, -1, 4, 2, -1)$. Дальнейшие действия бессмысленны — кратчайший путь не может содержать более $n-1$ дуг. Большее количество дуг предполагает существование цикла в пути, а суммарный вес всех циклов положительный. ◀

Приведем логику реализации алгоритма.

```

Procedure Solve;
  Var i, j, t: Integer;
  Begin
    For j:=1 To n Do D[j]:=A[s, j];
    D[s]:=0;
    For i:=1 To n-2 Do {Количество итераций, одна
                        уже выполнена}
      For j:=1 To n Do {Вершина, для которой пытаемся
                        улучшить оценку}
        If j<>s Then
          For t:=1 To n Do

```

$D[j] := \text{Min}(D[j], D[t] + A[t, j]);$
 {Поиск вершины, из которой можно
 улучшить оценку. Функция *Min* опреде-
 ления минимального из двух чисел не
 приводится}

End;

Примечание. При выполнении операции сложения $D[t] + A[t, j]$ может возникнуть недоразумение. Так, если значение ∞ моделируется на компьютере максимальным числом 32 767 типа *Integer*, то результат может выйти за пределы диапазона значений этого типа.

Алгоритм Е. Дейкстры (1959 г.)

Дан ориентированный граф $G = (V, E)$, s — вершина-источник, матрица смежности A (A : *Array*[1.. n , 1.. n] *Of Integer*), для любых $u, v \in V$ вес дуги неотрицательный ($A[u, v] \geq 0$). Результат — массив кратчайших расстояний D .

Неотрицательность весов дуг позволяет сделать следующие умозаключения. Пусть на какой-то итерации есть оценки расстояний от вершины s до остальных вершин графа. Значение минимального элемента в этом массиве не может быть изменено на последующих итерациях, ибо количество дуг в пути только увеличится, а их веса неотрицательны. Эту вершину можно исключить из дальнейших шагов по формированию оценок. Следовательно, разумно ввести множество вершин T , для которых еще не вычислена оценка расстояний, и на каждой итерации исключать по одной вершине из него и формировать новые оценки до оставшихся вершин только от исключаемой вершины.

Пример 12.4. На рис. 12.4 приведен пример графа, его матрица смежности имеет вид:

$$A = \begin{pmatrix} \infty & 3 & 7 & \infty & \infty & \infty \\ 1 & \infty & 2 & \infty & \infty & 1 \\ \infty & 1 & \infty & 4 & 4 & \infty \\ \infty & \infty & \infty & \infty & 1 & 6 \\ \infty & \infty & 1 & \infty & \infty & 3 \\ \infty & \infty & \infty & 2 & \infty & \infty \end{pmatrix}.$$

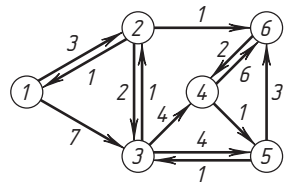


Рис. 12.4. Пример графа для иллюстрации логики алгоритма Дейкстры

Ищем кратчайшие пути из первой вершины. Логика работы алгоритма Дейкстры отразим в табл. 12.1. В последнем столбце показано

Таблица 12.1

№ итерации	$D[1]$	$D[2]$	$D[3]$	$D[4]$	$D[5]$	$D[6]$	T
1	0	3	7	∞	∞	∞	[2, 3, 4, 5, 6]
2	0	3	5	∞	∞	4	[3, 4, 5, 6]
3	0	3	5	6	∞	4	[3, 4, 5]
4	0	3	5	6	9	4	[4, 5]
5	0	3	5	6	7	4	[5]

изменение множества вершин T . Получив на первой итерации массив оценок, мы находим минимальное значение. Оно соответствует вершине с номером 2. Исключаем ее из T и на следующей итерации делаем оценки до оставшихся вершин от вершины с номером 2 (строка 2 табл. 12.1). Очередной минимум достигается на шестой вершине (минимальные элементы на каждой итерации выделены жирным шрифтом). ◀

Формализованная запись логики имеет вид:

```

Procedure Solve;
  Var i,u: Integer;
      T:Set Of 1..n;
  Begin
    For i:=1 To n Do D[i]:=A[s,i];
    D[s]:=0;
    T:=[1..n]-[s];
    While T<>[ ] Do Begin
      u:=<значение l, при котором достигается
          min(D[l])>
        {Обычная логика поиска индекса минимального
          элемента в массиве}
      T:=T-[u];
      For i:=1 To n Do
        If i In T Then
          D[i]:=Min(D[i],D[u]+A[u,i]);
    End;
  End;

```

Пути в бесконтурном графе

Дан ориентированный граф $G = (V, E)$ без циклов, веса дуг произвольны. Результат — массив кратчайших расстояний (длин) D от фиксированной вершины s до всех остальных.

Утверждение. В произвольном бесконтурном графе вершины можно перенумеровать так, что для каждой дуги (i, j) номер вершины i будет меньше номера вершины j . У графа при этом существует по крайней мере одна вершина, в которую заходит нулевое количество дуг.

Рассмотрим алгоритм, позволяющий перенумеровать вершины бесконтурного орграфа в соответствии с этим утверждением. Введем следующие структуры данных:

- массив $NumIn$, $NumIn[i]$ определяет число дуг, входящих в вершину с номером i ;
- массив Num , $Num[i]$ определяет новый номер вершины i ;
- массив St для хранения номеров вершин, в которые заходит нулевое количество дуг. Работа с массивом осуществляется по принципу стека;
- переменная nm , текущий номер вершины.

Суть алгоритма. Ищется вершина i , имеющая нулевое значение $NumIn$, и заносится в St , ей присваивается текущее значение nm (запоминается в Num), и уменьшаются на единицу значения элементов $NumIn$ для всех вершин, в которые входит дуга из i . Процесс продолжается до тех пор, пока St не пуст.

Логика реализации алгоритма:

```

Procedure Change_Num; {A, Num – глобальные струк-
                       туры данных}
Var NumIn, St: Array[1..n] Of Integer;
    i, j, u, nm, yk: Integer;
Begin
  For i:=1 To n Do Begin
    NumIn[i]:=0; Num[i]:=0;
  End;
  For i:=1 To n Do
    For j:=1 To n Do
      If A[i,j]<>0 Then Inc(NumIn[j]);
      {Формируем массив NumIn}
  nm:=0; yk:=0;
  For i:=1 To n Do {Находим вершины с нулевой
    степенью захода и заносим их номера в стек}
    If NumIn[i]=0 Then Begin
      Inc(yk); St[yk]:=i;
    End;
  While yk<>0 Do Begin {Пока стек не пуст}
    u:=St[yk]; Dec[yk]; Inc(nm);

```

```

Num[u]:=nm; {Присваиваем вершине из стека
              очередной номер}
For i:=1 To n Do
  If A[u,i]<>0 Then Begin
    Dec(NumIn[i]); {Уменьшаем степень захода
                  у вершин, в которые идут дуги из u}
    If NumIn[i]=0 Then Begin {Если новое
                              значение степени захода вершины равно
                              нулю, то заносим ее номер в стек}
      Inc(yk); St[yk]:=i;
    End;
  End;
End;
End;
End;

```

Пример 12.5. В табл. 12.2 приведена трассировка работы описанного алгоритма для графа на рис. 12.5. ◀

Таблица 12.2

№ итерации	<i>NumIn</i>	<i>Num</i>	<i>St</i>	<i>nm</i>
0	[2, 2, 2, 1, 0, 1]	[0, 0, 0, 0, 0, 0]	[5]	0
1	[2, 2, 1, 0, 0, 1]	[0, 0, 0, 0, 1, 0]	[4]	1
2	[1, 2, 0, 0, 0, 1]	[0, 0, 0, 2, 1, 0]	[3]	2
3	[0, 2, 0, 0, 0, 0]	[0, 0, 3, 2, 1, 0]	[6, 1]	3
4	[0, 1, 0, 0, 0, 0]	[0, 0, 3, 2, 1, 4]	[1]	4
5	[0, 0, 0, 0, 0, 0]	[5, 0, 3, 2, 1, 4]	[2]	5
6	[0, 0, 0, 0, 0, 0]	[5, 6, 3, 2, 1, 4]	[]	6

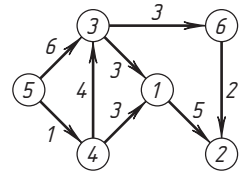


Рис. 12.5. Пример графа для иллюстрации логики поиска кратчайших путей в бесконтурном графе

Итак, пусть для графа G выполнена перенумерация вершин. Требуется изменить матрицу инцидентности A в соответствии с новой нумерацией. Следующий фрагмент логики решает эту задачу.

```

For i:=1 To n Do
  For j:=1 To n Do B[i,j]:=A[Num[i],Num[j]];

```

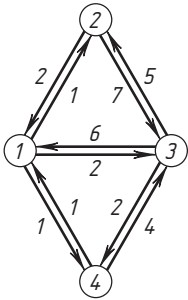
После выполненных преобразований граф удовлетворяет условию утверждения. Ищем кратчайшие пути (их длины) от первой вершины до всех остальных. Пусть находится оценка для вершины с номером i . Оказывается, что в соответствии с новой нумерацией достаточно посмотреть вершины, из которых идут дуги в вершину с номером i . Они имеют меньшие номера, и оценки для них уже известны. Остается выбрать меньшую из них.


```

Begin
  For i:=1 To n Do
    For j:=1 To n Do D[i,j]:=A[i,j];
  For i:=1 To n Do D[i,i]:=0;
  For m:=1 To n Do
    For i:=1 To n Do
      For j:=1 To n Do
        D[i,j]:=Min(D[i,j],D[i,m]+D[m,j]);
  End;

```

Пример 12.6. На рис. 12.6 приведен пример графа. Матрица D при работе процедуры *Solve* изменяется следующим образом. Верхний индекс у D указывает номер итерации (значение m).



$$D^0 = \begin{pmatrix} 0 & 1 & 2 & 1 \\ 2 & 0 & 7 & \infty \\ 6 & 5 & 0 & 2 \\ 1 & \infty & 4 & 0 \end{pmatrix}, \quad D^1 = \begin{pmatrix} 0 & 1 & 2 & 1 \\ 2 & 0 & 4 & 3 \\ 6 & 5 & 0 & 2 \\ 1 & 2 & 3 & 0 \end{pmatrix}, \\
 D^2 = D^1, \quad D^3 = D^2, \quad D^4 = \begin{pmatrix} 0 & 1 & 2 & 1 \\ 2 & 0 & 4 & 3 \\ 3 & 4 & 0 & 2 \\ 1 & 2 & 3 & 0 \end{pmatrix}. \quad \blacktriangleleft$$

Рис. 12.6. Пример графа для иллюстрации работы алгоритма Флойда

Расстояния между парами вершин дает D . Для вывода самих кратчайших путей требуется ввести матрицу M того же типа, что и D . Элемент $M[i, j]$ определяет предпоследнюю вершину кратчайшего пути из i в j . Ее изменение в процессе работы *Solve* (требуется корректировки) имеет вид:

$$M^0 = \begin{pmatrix} 1 & 1 & 1 & 1 \\ 2 & 2 & 2 & 2 \\ 3 & 3 & 3 & 3 \\ 4 & 4 & 4 & 4 \end{pmatrix}, \quad M^1 = \begin{pmatrix} 1 & 1 & 1 & 1 \\ 2 & 2 & 1 & 1 \\ 3 & 3 & 3 & 3 \\ 4 & 1 & 1 & 4 \end{pmatrix}, \\
 M^2 = M^1, \quad M^3 = M^2, \quad M^4 = \begin{pmatrix} 1 & 1 & 1 & 1 \\ 2 & 2 & 1 & 1 \\ 4 & 1 & 3 & 3 \\ 4 & 1 & 1 & 4 \end{pmatrix}.$$

На первой итерации предпоследней вершиной в путях из 2 в 3, из 2 в 4, из 4 в 2 и из 4 в 3 становится первая вершина. В том случае, когда $D[i, j]$ больше $D[i, m] + D[m, j]$, изменяется не только

$D[i, j]$, но и $M[i, j]$. Причем $M[i, j]$ присваивается значение $M[m, j]$, а не m . Поэтому $M[3, 2]$ на последней итерации присваивается не 4, а $M[4, 2]$. Например, необходимо вывести кратчайший путь из 3-й вершины во 2-ю. Элемент $M[3, 2]$ равен 1, поэтому смотрим на элемент $M[3, 1]$. Он равен 4. Сравниваем $M[3, 4]$ с 3. Есть совпадение, мы получили кратчайший путь (3, 4, 1, 2).

```

Procedure All_Way(i, j: Integer); {Вывод пути между
                                вершинами i и j}
Begin
  If M[i, j]=i Then
    If i=j Then Write(i) Else Write(i, '-', j)
  Else Begin
    All_Way(i, M[i, j]); {Вывод пути из i в
                        M[i, j]}
    All_Way(M[i, j], j); {Вывод пути из M[i, j]
                        в j}
  End;
End;

```

Данный алгоритм применим для нахождения *транзитивного замыкания* бинарного отношения. Понятие «замыкание» связано с понятием «замкнутость». Если говорить неформально, то замкнутость означает нахождение в определенных границах при выполнении допустимых шагов. В некоторых случаях незамкнутый объект расширяется до замкнутого. Бинарное отношение на множестве V — это произвольное подмножество $E \subseteq V \times V$. Такое отношение является транзитивным, если из $(a, b) \in E$ и $(b, c) \in E$ следует, что $(a, c) \in E$ для произвольных $a, b, c \in V$. Бинарное отношение однозначно представляется в виде ориентированного графа $G = (V, E)$. Определяя $E^* = \{(a, b)$, такие, что в G существует путь ненулевой длины из a в $b\}$, можно сказать, что E^* является транзитивным отношением на множестве V и $E \subseteq E^*$. Для вычисления транзитивного замыкания бинарное отношение лучше описать матрицей из 0 и 1:

$$A[i, j] = \begin{cases} 0, & \text{если } (i, j) \notin E, \\ 1, & \text{если } (i, j) \in E. \end{cases}$$

Изменение в приведенном алгоритме касается только одной строки: $D[i, j] := D[i, j] \text{ Or } (D[i, m] \text{ And } D[m, j])$. После завершения работы алгоритма матрица D описывает транзитивное замыкание E^* бинарного отношения E .

Упражнения и задачи

12.1. Написать нерекурсивный вариант процедуры вывода кратчайшего пути *Way* (см. п. 12.1).

12.2. На основе алгоритма Флойда—Уоршалла разработать логику поиска в графе циклов с отрицательным суммарным весом, если они есть.

12.3. Используя алгоритм Дейкстры, найти кратчайшие пути для графов на рис. 12.7 (*a* — между вершинами 1 и 9; *b* — между 1 и 11; *в* — между 1 и 7; *г* — между 1 и 10).

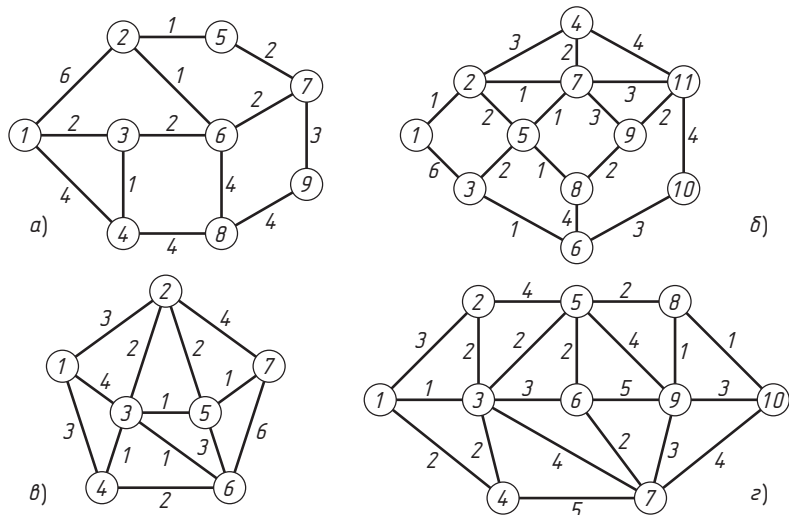


Рис. 12.7. Примеры графов для нахождения кратчайших путей

12.4. Используя алгоритм Флойда—Уоршалла, найти кратчайшие пути между всеми парами вершин для графов на рис. 12.7.

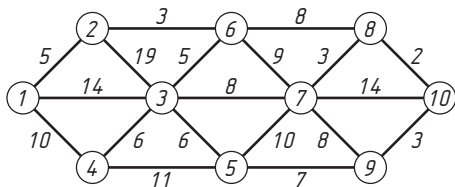


Рис. 12.8. Пример графа для поиска кратчайших путей из вершины с номером 1 в вершину с номером 10

12.5. Для графа на рис. 12.8 найти четыре кратчайшие простые цепи от вершины 1 к вершине 10.

12.6. Разработать алгоритм поиска k кратчайших путей между двумя заданными вершинами графа. Пути должны быть простыми.

12.7. Разработать алгоритм поиска самого длинного пути в ациклическом ориентированном графе.

12.8. В ориентированном графе не только дуги, но и вершины имеют неотрицательные веса. Разработать алгоритм поиска пути между заданной парой вершин с минимальным суммарным весом.

12.9. Под пропускной способностью пути будем понимать наименьший вес дуги этого пути. Разработать алгоритм, определяющий k наибольших пропускных способностей путей между фиксированной парой вершин.

12.10. В ориентированном графе вес дуги представляет ее надежность. Надежность пути P от s к t , составленного из дуг, определяется формулой $\rho(P) = \prod_{(i,j) \in P} \rho_{ij}$, где ρ_{ij} — надежность дуги (i, j) .

Разработать алгоритм поиска наиболее надежного пути между заданной парой вершин графа.

Комментарии

Алгоритмы в главе настолько общеизвестны и просты, что рассматриваются практически в любой книге по дискретной математике [1, 2, 3, 11, 13, 14, 15, 17, 19, 20, 22, 24, 27]. Главным при изучении темы, так же как и предыдущих, является доведение логики до работающих программ и достаточно полное их тестирование.

ГЛАВА 13

ПОТОКИ В СЕТЯХ

13.1. Основные понятия и постановка задачи

Рассмотрим ориентированный граф $G = (V, E)$, в котором выделим две вершины — вершину s графа (*источник*) и вершину t (*сток*). Каждой дуге (i, j) приписана некоторая *пропускная способность* $c(i, j) \geq 0$ (без потери общности считаем ее целочисленной величиной), определяющая максимальное значение потока, который может протекать по данной дуге. Такой граф назовем *сетью*.

Потоком в сети называют целочисленную функцию $f(i, j)$, заданную на множестве дуг E и обладающую следующими свойствами:

- 1) для любой дуги $(i, j) \in E$ выполняется неравенство $f(i, j) \leq c(i, j)$;
- 2) для любой вершины $q \in V$, $q \neq s$ и $q \neq t$ выполняется равенство

$$\sum_{\substack{i \in V, \\ (i, q) \in E}} f(i, q) = \sum_{\substack{j \in V, \\ (q, j) \in E}} f(q, j).$$

Другими словами, сумма потока, заходящего в q , равна сумме потока, выходящего из q (поток без потерь и накоплений).

Определим

$$\text{Div}_f(q) = \sum_{\substack{i \in V, \\ (i, q) \in E}} f(i, q) - \sum_{\substack{j \in V, \\ (q, j) \in E}} f(q, j).$$

Значение $\text{Div}_f(q) = 0$ для каждой вершины $q \in V \setminus \{s, t\}$. Величину $W(f) = \text{Div}_f(s)$ называют *величиной потока* f .

Требуется определить значение максимального потока в сети, который можно пропустить от источника s к стоку t , и его распределение по дугам.

Теорема (Л. Р. Форд, Д. Р. Фалкерсон). *Величина каждого потока из s в t не превосходит пропускной способности минимального разреза, разделяющего s и t , причем существует поток, достигающий этого значения.*

Напомним, что разрезом называют множество дуг, удаление которых из сети приводит к «разрыву» всех путей, ведущих из s в t . Для потока f в сети S *поток через разрез P* определяется как $f(P) = \sum_{p \in P} f(p)$. *Пропускная способность* разреза P — это суммарная пропускная способность дуг, его составляющих, $c(P) = \sum_{p \in P} c(p)$. Под минимальным разрезом, разделяющим s и t , понимается произвольный разрез P с минимальной пропускной способностью. Теорема Форда—Фалкерсона устанавливает эквивалентность задач нахождения максимального потока и минимального разреза, однако не определяет метода их поиска. Генерация всех подмножеств дуг и определение, является ли очередное подмножество разрезом — «лобовое решение», приводит к экспоненциальной сложности алгоритма решения задачи.

Вычитая из сети поток f , мы получаем *остаточную сеть* (G_f, c_f, s, t) . Множество вершин остаточной сети остается прежним, а пропускные способности дуг изменяются по правилу $c_f(u, v) = c(u, v) - f(u, v)$. *Остаточная пропускная способность* ребра $c_f(u, v)$ показывает, насколько может быть увеличен поток по дуге без превышения его общей пропускной способности. *Остаточное ребро* — ребро с положительной остаточной пропускной способностью. Остаточные ребра и образуют остаточную сеть. Множество ребер остаточной сети меняется следующим образом: ребра $(u, v) \in E$ такие, что $c_f(u, v) = 0$ уже не принадлежат E_f .

Другая формулировка теоремы Форда—Фалкерсона звучит следующим образом. Поток f максимален тогда и только тогда, когда в графе G_f не существует пути $p: s \rightarrow t$ (обозначение пути, который начинается в s и заканчивается в t).

13.2. Алгоритм К. Эдмондса—Р. Карпа

Метод решения задачи о максимальном потоке от s к t был предложен Л. Р. Фордом и Д. Р. Фалкерсоном, и их «техника потоков» составляет основу алгоритмов решения многочисленных задач, являющихся обобщениями или расширениями указанной задачи.

«Техника меток» Л. Р. Форда и Д. Р. Фалкерсона заключается в последовательном (итерационном) построении максимального потока путем поиска на каждом шаге увеличивающей цепи, т. е. последовательности дуг, поток по которым можно увеличить. При этом узлы (вершины графа) специальным образом помечаются. Отсюда и возник термин «метка». Введем следующие определения. Дуга $e = (u, v)$ сети S является *допустимой* дугой из u в v относительно потока f , если $e = (u, v)$ и $f(e) < c(e)$ (дуги первого типа будем называть их *согласованными*) или $e = (v, u)$ и $f(e) > 0$ (дуги второго типа — *несогласованные*). Второе условие говорит о том, что допустимыми являются и дуги, входящие в вершину u , по которым уже пропущен ненулевой поток. *Увеличивающая цепь* — это последовательность попарно различных вершин и дуг $v_0, e_1, v_1, e_2, v_2, \dots, v_{l-1}, e_l, v_l$, такая, что $v_0 = s, v_l = t$, и для каждого $i \leq l$ дуга e_i является допустимой дугой из v_{i-1} в v_i относительно потока f . Если найдена такая цепь, то значение потока может быть увеличено на $\delta = \min\{t(e_i) : 1 \leq i \leq l\}$, где

$$t(e_i) = \begin{cases} c(e_i) - f(e_i), & \text{если дуга } e_i \text{ первого типа,} \\ f(e_i), & \text{если дуга } e_i \text{ второго типа.} \end{cases}$$

Значение потока увеличивается (уменьшается) на значение δ на дугах первого типа (на дугах второго типа).

Теорема. *Следующие три условия эквивалентны:*

- 1) *поток из s в t максимален;*
- 2) *не существует увеличивающей цепи для f ;*
- 3) *$W(f) = c(A, V \setminus A)$ для некоторого $A \subseteq V$, такого, что $s \in A, t \notin A$.*

Обозначим максимальный поток в сети как F , его начальное значение нулевое, а структурой данных для описания F является матрица того же типа, что и матрица C , в которой определены пропускные способности дуг.

В алгоритме Форда—Фалкерсона «механизм» построения увеличивающей цепи строго не оговаривается. В частности, может использоваться и поиск в глубину. Алгоритм является псевдополиномиальным и имеет оценку $O(nmU)$, где $U = \max(c(i, j))$. В 1969 г. К. Эдмондс и Р. Карп предложили в качестве увеличивающей цепи выбирать цепь наименьшей длины (без учета пропускной способности дуг этой цепи), при этом считается, что все дуги имеют единичную длину. На практике этот выбор реализуется с помощью поиска в ширину. Такой алгоритм имеет полиномиальную оценку $O(nm^2)$. Рассмотрим его на примере.

Пример 13.1. На рис. 13.1 показана сеть, источник — вершина 1, сток — вершина 6, в квадратных скобках указаны пропускные способности дуг. Минимальный разрез — дуги (1, 2) и (3, 4), следовательно, согласно теореме Форда—Фалкерсона, максимальный поток равен 4. Однако нахождение распределения максимального потока по дугам — по-прежнему открытый вопрос. Его решением мы и займемся.

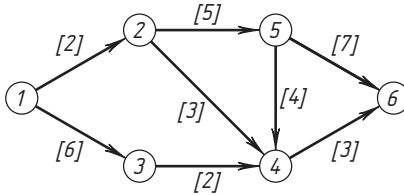


Рис. 13.1. Пример сети для иллюстрации «техники меток» при построении максимального потока

Первая итерация (рис. 13.2). Присвоим вершине 1 метку $[1, \infty]$. Первый шаг. Рассмотрим дуги, началом которых является вершина 1 — дуги (1, 2) и (1, 3). Вершины 2 и 3 не помечены, поэтому присваиваем им метки, для 2-й — $[1, 2]$ и 3-й — $[1, 6]$. Что представляют из себя метки? Первая цифра — номер вершины, из которой идет поток, вторая цифра — численное значение потока, который можно передать по этой дуге. Второй шаг. Выберем помеченную,

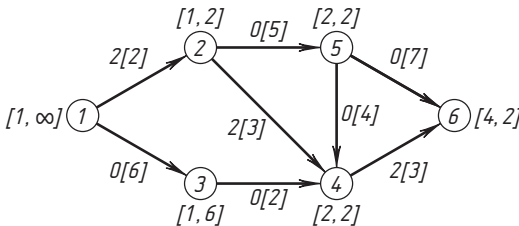


Рис. 13.2. Первая итерация метода построения максимального потока

но не рассмотренную вершину. Первой в соответствующей структуре данных записана вершина 2. Рассмотрим дуги, для которых она является началом — дуги (2, 4) и (2, 5). Вершины 4 и 5 не помечены. Присвоим им метки — $[2, 2]$ и $[2, 2]$. Итак, на втором шаге вершина 2 просмотрена, вершины 3, 4, 5 помечены, но не рассмотрены, остальные вершины не помечены. Третий шаг. Выбираем вершину 3. Рассмотрим дугу (3, 4). Вершина 4 уже помечена. Четвертый шаг. Переходим к следующей вершине — четвертой, соответствующей

шая дуга — (4, 6). Вершина 6 не помечена. Присваиваем ей метку [4, 2]. Мы достигли вершины-стока, тем самым найдя путь (последовательность дуг), поток по которым можно увеличить. Информацию об этом пути содержат метки вершин. В данном случае путь, или увеличивающая цепочка, имеет вид: (1, 2, 4, 6). Максимально возможный поток, который можно передать по дугам этого пути, определяется второй цифрой метки вершины стока, т. е. 2. Поток в сети стал равным 2. Заметим, что построение цепочки не что иное, как модифицированный просмотр в ширину вершин графа.

Вторая итерация (рис. 13.3). Присвоим вершине 1 метку [1, ∞]. Первый шаг. Рассмотрим дуги, началом которых является помеченная вершина 1. Это дуги (1, 2) и (1, 3). Вершина 2 не может быть помечена, так как пропускная способность дуги (1, 2) исчерпана.

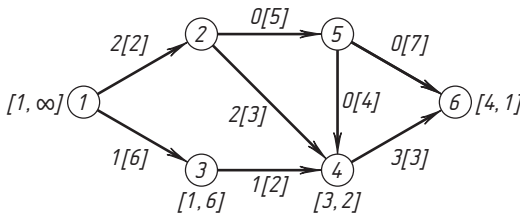


Рис. 13.3. Вторая итерация метода построения максимального потока

Вершине 3 присваиваем метку [1, 6]. Второй шаг. Выберем помеченную, но не просмотренную вершину. Это вершина 3. Повторяем действия. В результате вершина 4 получает метку [3, 2]. Третий шаг. Выбираем вершину 4, только она помечена и не просмотрена. Вершине 6 присваиваем метку [4, 1]. Почему только одна единица потока? На предыдущей итерации израсходованы две единицы пропускной способности данной дуги, осталась только одна. Вершина-сток достигнута. Найдена увеличивающая поток цепочка (1, 3, 4, 6), по которой можно «протащить» единичный поток. Результирующий поток в сети равен 3.

Третья итерация (рис. 13.4). Вершине 1 присваиваем метку [1, ∞]. Первый шаг. Результат — метка [1, 5] у вершины 3. Второй шаг — метка [3, 1] у вершины 4. Третий шаг. Пропускная способность дуги (4, 6) израсходована полностью. Однако есть *обратная* дуга (2, 4), по которой передается *поток, не равный нулю* (обратите внимание на текст, выделенный курсивом, — «изюминка» метода). Попробуем перераспределить поток. Нам необходимо передать из вершины 4 поток, равный единице (зафиксирован в метке вершины).

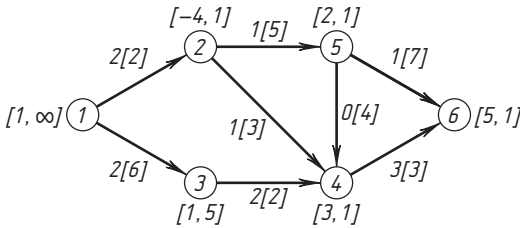


Рис. 13.4. Третья итерация метода построения максимального потока

Задержим единицу потока в вершине 2, т. е. вернем единицу потока из вершины 4 в вершину 2. Эту особенность зафиксируем в метке вершины 2 знаком «минус» (технический прием, упрощающий реализацию) — $[-4, 1]$. Тогда единицу потока из вершины 4 мы передадим по сети вместо той, которая задержана в вершине 2, а единицу потока из вершины 2 попытаемся «протолкнуть» по сети, используя другие дуги. Итак, вершина 4 просмотрена, вершина 2 помечена, вершины 5 и 6 не помечены. Четвертый и пятый шаги очевидны. Передаем единицу потока из вершины 2 в вершину 6 через вершину 5. Вершина-сток достигнута, найдена цепочка $(1, 3, 4, 2, 5, 6)$, по которой можно передать поток, равный единице. При этом по прямым дугам поток увеличивается на единицу, по обратным — уменьшается. Суммарный поток в сети — 4 единицы.

Четвертая итерация (рис. 13.5). Вершине 1 присваиваем метку $[1, \infty]$. Первый шаг. Помечаем вершину 3 — $[1, 4]$. Второй шаг. Рассматриваем помеченную, но не просмотренную вершину 3. Из нее выходит одна дуга — $(3, 4)$. Вершину 4 пометить не можем — пропускная способность дуги исчерпана. Помеченных вершин больше нет, и вершина-сток не достигнута. Увеличивающую поток цепочку построить не можем. Найден максимальный поток в сети. Можно заканчивать работу. ◀

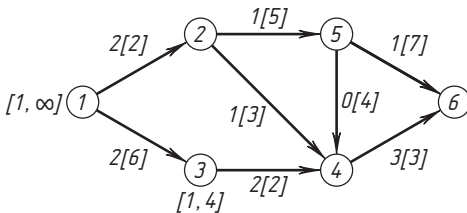


Рис. 13.5. Четвертая итерация метода построения максимального потока

Итак, в чем суть алгоритма? 1. На каждой итерации вершины сети могут находиться в одном из трех состояний: вершине присвоена метка, и она просмотрена; вершине присвоена метка, и она не просмотрена, т. е. не все смежные с ней вершины обработаны; вершина не имеет метки. 2. На каждой итерации мы выбираем помеченную, но не просмотренную вершину v и пытаемся найти вершину u , смежную с v , которую можно пометить. Помеченные вершины, достижимые из вершины-источника, образуют множество вершин сети G . Если среди этих вершин окажется вершина-сток, то это означает успешный результат поиска цепочки, увеличивающей поток, при неизменности этого множества работа заканчивается — поток изменить нельзя.

Приведем основные фрагменты программной реализации алгоритма:

```

Const nn = ...; {Константа, описывающая размер-
                ность задачи}
Type TMas = Array[1..nn,1..nn] Of Integer;
Type TVertex = Array [1..nn] Of Record
                vis: Boolean;
                parent: Integer;
                cost: Integer;
            End;
{Глобальные переменные}
Var a, b: TMas; {a—массив, описывающий исходную
                сеть; b—массив, описывающий сеть после по-
                строения максимального потока}
    n, m, s, t, maxflow: Integer; {n—число вер-
                шин в сети, m—число дуг, s—вершина-исток,
                t—вершина-сток, maxflow—величина макси-
                мального потока}
{Основная процедура программы}
Procedure Solve;
    Var cost: Integer;
    Begin
        maxflow:=0;
        b:=a;
        {Пока существует увеличивающая цепь, повто-
        рять цикл. Цикл будет окончен, как только
        окажется, что существующий поток не может
        быть увеличен}
    End;

```

```

Repeat
  cost:=FindPath; {Поиск увеличивающей цепи}
  maxflow:=maxflow+cost; {Изменяем значение
                           потока}

Until cost=0;
End;
{Функция поиска увеличивающей цепи. Возвращает
величину очередного предпотока}
Function FindPath:Integer;
  Type TQueue = Array[0..nn-1] Of Integer;
  Var u, v, cost: Integer;
      vertex: TVertex;
      {vertex—структура, описывающая вершины:
        vis—указывает, просмотрена вершина или
        нет; parent—указывает, из какой вершины
        попали в данную; cost—указывает величину
        потока, который можно пропустить из исто-
        ка в данную вершину по построенному пути}
      q: TQueue; {q—очередь}
      pr, pw, cnt: Integer; {Переменные, отвечаю-
        щие за работу с очередью}
  <Процедура InitQueue—инициализация очереди>
  <Функция QueueIsEmpty проверки, пуста очередь
или нет>
  {Запись элемента в очередь с пометкой о про-
  смотре вершины}
  Procedure Push(u, v, cost: Integer);
    Begin
      vertex[u].vis:=True;
      vertex[u].parent:=v;
      vertex[u].cost:=cost;
      q[pw]:=u; cnt:=cnt+1;
      pw:=(pw+1) Mod nn; {nn—количество элемен-
                          тов в очереди}

    End;
  {Чтение элемента из очереди}
  Procedure Pop(Var u: Integer);
    Begin
      u:=q[pr]; cnt:=cnt-1;
      pr:=(pr+1) Mod nn;

    End;

```

Begin

<Элементам массива vertex присваиваются нулевые значения>;

InitQueue; {Инициализация очереди}

Push(s,s,maxint); {Запись истока в очередь;
maxint – максимальное целое число}

{Пока очередь не пуста и сток не просмотрен}

While (Not QueueIsEmpty)

 And (Not vertex[t].vis) Do Begin

 Pop(u); {Чтение элемента из очереди}

 cost:=vertex[u].cost;

 For v:=1 To n Do {Цикл по непросмотренным
 вершинам и запись их в очередь}

 If (b[u,v]>0) And (Not vertex[v].vis)

 Then Push(v,u,min(cost,b[u,v]));

 End;

result:=vertex[t].cost;

{Если существует очередной поток, величина которого больше нуля, то следует изменить значения пропускных способностей дуг остаточной сети, входящих в найденный путь}

If result>0 Then Begin

 u:=t;

 While u<>s Do Begin

 Inc(b[u,vertex[u].parent],result);

 Dec(b[vertex[u].parent,u],result);

 u:=vertex[u].parent;

 End;

End;

End;

13.3. Введение в метод блокирующих потоков или алгоритм Е. А. Диница

Основная идея метода — алгоритм состоит из фаз (итераций), на которых поток увеличивается сразу вдоль всех кратчайших цепей определенной длины. Для этого на i -й фазе строится вспомогательная ациклическая (бесконтурная) сеть. Эта сеть содержит все увеличивающие цепи, длина которых не превышает k_i , где k_i — длина кратчайшего пути из s в t на i -й итерации. Величину k_i называют длиной вспомогательной сети.

Рассмотрим работу алгоритма на i -й итерации.

Шаг 1. Построение вспомогательной сети.

С помощью поиска в ширину мы движемся из источника сети в сток по допустимым дугам. Первоначально в очередь помещается исток. Затем, пока очередь не пуста, из нее извлекается очередная вершина u . Для этой вершины просматриваются все вершины, в которые ведут допустимые дуги из u . Если вершина v не была ранее просмотрена, то она помещается в очередь, а соответствующая дуга (u, v) добавляется во вспомогательную сеть S_k . Если вершина v уже просмотрена, то она не помещается в очередь. Однако дуга (u, v) добавляется во вспомогательную сеть S_k в том случае, когда длина кратчайшего пути от истока до текущей вершины v больше (максимум на 1) длины пути от истока до вершины u , из которой в данный момент просматривается вершина v . Длина кратчайшего пути от истока до вершины v хранится как метка, значение которой присваивается вершине при записи ее в очередь. Это значение больше на единицу значения метки вершины u . Дуга $e = (u, v)$ добавляется с пропускной способностью $c_k(e) = c(e) - f(e)$, если дуга e согласованна, и $c_k(e) = f(e)$, если дуга e несогласованна.

Пусть сток сети достигается и имеет метку k . Значение k становится «фиксированной» длиной вспомогательной сети на данной итерации. Поиск в ширину продолжается до тех пор, пока очередь не пуста. Однако вершины u с меткой, большей значения k , в очередь не записываются. Таким образом, вспомогательная сеть является подсетью исходной сети, содержащей все кратчайшие пути из истока в сток длины k . Если сток t не достигнут при поиске в ширину, то работа алгоритма завершается.

Шаг 2. Поиск блокирующего потока.

Блокирующим потоком в сети называется поток, при котором любая цепь из истока в сток содержит полностью насыщенную дугу (насыщенная дуга блокирует дальнейшее увеличение величины потока по данной увеличивающей цепи). Блокирующий поток во вспомогательной сети является максимальным. В построенной вспомогательной сети длины k находится блокирующий поток (каждая увеличивающая цепь имеет длину k , ибо так строилась вспомогательная сеть). Найденный поток переносится в исходную сеть, и осуществляется переход на шаг 1 (следующая итерация).

Для построения блокирующего потока используется поиск в глубину. Пусть найден j -й путь из s в t . «Пустим» по этому пути поток f_j . Это значит, что по крайней мере одна дуга вспомогательной сети станет насыщенной. Удалим все насыщенные дуги. В результате

могут образоваться «тупики»: вершины, не имеющие выходных дуг (кроме стока); вершины, не имеющие входных дуг (кроме источника); изолированные вершины. Удалим из вспомогательной сети данные вершины со всеми инцидентными им дугами, что в свою очередь может привести к образованию новых «тупиков». Процесс удаления производится до тех пор, пока во вспомогательной сети не останется ни одного «тупика». Изменим пропускные способности оставшихся дуг по формуле $c_k(e) = c_k(e) - f_j(e)$. Поиск потоков продолжается до тех пор, пока вспомогательная сеть не окажется пустой. Найденный поток $f = \sum f_j$.

После завершения работы алгоритма исходная сеть будет содержать максимальный поток.

Алгоритм Е. А. Диница имеет временную оценку $O(n^2m)$. Итерации алгоритма начинаются с построения вспомогательной сети, строящейся обходом в ширину, до момента появления в обходе вершины-стока. Так как любой путь, не проходящий дважды через какую-либо вершину, имеет длину не более n , то именно эта величина ограничивает число вспомогательных сетей в алгоритме Е. А. Диница. Количество вершин во вспомогательной сети ограничено величиной n , а количество дуг — не более m . При нахождении увеличивающей цепи по крайней мере одна из дуг становится насыщенной и удаляется из вспомогательной сети. Другими словами, существует не более m путей из истока в сток. Каждый путь строится за время $O(n)$, а общее время построения потока во вспомогательной сети пропорционально $O(nm)$, что дает нам неформальную оценку времени работы алгоритма.

Пример 13.2. На рис. 13.6 показана сеть для анализа алгоритма Е. А. Диница.

Первая итерация алгоритма начинается с построения вспомогательной сети (рис. 13.7). Исток принадлежит к нулевому слою. Слои показывают длину кратчайшего пути по количеству дуг от истока до данной вершины. Просматриваем все вершины, связанные с ис-

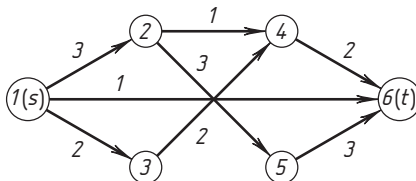


Рис. 13.6. Пример графа для анализа алгоритма Е. А. Диница

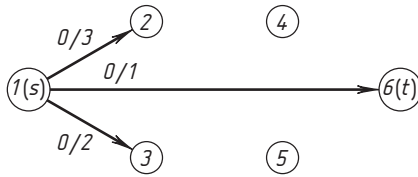


Рис. 13.7. Первая итерация алгоритма

током непосредственно, и записываем их номера в очередь. Это вершины 2, 3 и 6 (t). Отнесем их к первому слою. Сток оказался просмотренным ($k = 1$), длина кратчайшего пути $p: s \rightarrow t$ равна 1. Добавить дуги во вспомогательную сеть с сохранением условия $k = 1$ нет возможности. Переходим к построению блокирующего потока во вспомогательной сети.

Используя поиск в глубину, находим увеличивающие цепи (рис. 13.8). Первоначально из вершины 1 (s) просматриваем вершину 2. Так как

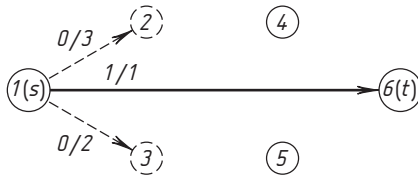


Рис. 13.8. Поиск увеличивающих цепей на первой итерации алгоритма

вершина 2 является тупиковой, то ее следует удалить из вспомогательной сети вместе с инцидентными дугами. То же произойдет и с вершиной 3. Существует единственная увеличивающая цепь в данной вспомогательной сети — (1, 6). После первой итерации величина потока равна 1.

Вторая итерация. Вспомогательная сеть имеет четыре слоя 0, 1, 2, 3 (рис. 13.9). Исток принадлежит нулевому слою. Из него просматриваем и записываем в очередь вершины 2 и 3. Они принадлежат первому слою. Во вспомогательную сеть добавляются соот-

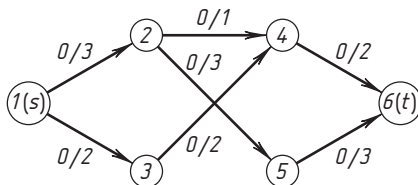


Рис. 13.9. Вспомогательная сеть на второй итерации алгоритма

ветствующие дуги (1, 2) и (1, 3). Из очереди извлекаем вершину 2. Просматривая ее исходящие дуги, в очередь записываем вершины 4 и 5. Они принадлежат второму слою. Дуги (2, 4) и (2, 5) добавляются во вспомогательную сеть. Из очереди извлекаем вершину 3. Единственная достижимая из нее вершина 4, которая уже была просмотрена из вершины 2. Но так как вершины 3 и 4 принадлежат разным слоям, то дуга (3, 4) добавляется во вспомогательную сеть. Из очереди извлекаем вершину 4. Единственная достижимая из нее вершина 6 — сток. Сток принадлежит третьему слою. Так как сток просмотрен, в очередь никакие вершины больше не записываются. Просматриваем вершины, оставшиеся в очереди. Из вершины 5 достигим сток. Сток уже просмотрен, он принадлежит другому слою, поэтому дуга (5, 6) переносится во вспомогательную сеть. Очередь пуста, построение вспомогательной сети завершено. Любая увеличивающая цепь в ней имеет длину 3.

В построенной вспомогательной сети находим увеличивающие цепи:

- (1, 2), (2, 4), (4, 6), величина потока 1, насыщенная дуга (2, 4);
- (1, 2), (2, 5), (5, 6), величина потока 2, насыщенная дуга (1, 2);
- (1, 3), (3, 4), (4, 6), величина потока 1, насыщенная дуга (4, 6).

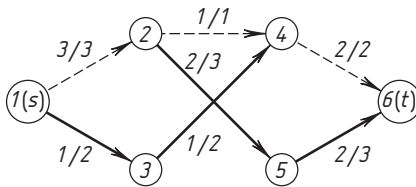


Рис. 13.10. Поток и насыщенные дуги на второй итерации алгоритма

На рис. 13.10 пунктиром выделены дуги, насыщенные после пропускания блокирующего потока. Величина потока после второй итерации равна 5.

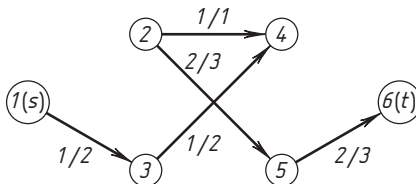


Рис. 13.11. Третья итерация алгоритма

Третья итерация (рис. 13.11). Вспомогательная сеть имеет 6 слоев (0, ..., 5). Существует единственная увеличивающая цепь, каждая дуга которой становится насыщенной после построения потока. Насыщение дуги (2, 4) происходит в обратном направлении, так как она в данном случае является несогласованной.

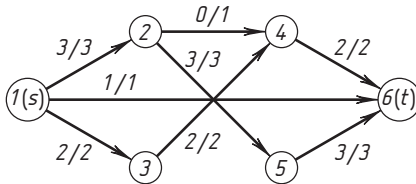


Рис. 13.12. Результирующий поток и его распределение по дугам

Максимальный поток в исходной сети имеет величину 6 (рис. 13.12). ◀

Приведем основные фрагменты программной реализации логики алгоритма Е. А. Диница.

```

Const nn = ...; {Константа, описывающая размер-
                  ность задачи}
Type Tmas = Array[1..nn,1..nn] Of Integer;
Type TVertex = Array[1..nn] Of Record
    vis: Boolean; {Признак, просмотрена вершина или нет}
    k: Integer; {Длина пути в ребрах от истока до вершины}
End;
{Глобальные переменные, описывающие входные данные, совпадают с теми, что приведены в п. 13.2}
Var a, b, d: Tmas; {d – вспомогательная сеть}
    n, m, s, t, maxflow: Integer;
    vertex: TVertex;
{Основная процедура программы}
Procedure Solve;
    Var cost: Integer; {cost – величина, на которую увеличивается поток на очередной итерации}

Begin
    maxflow:=0; {Первоначально существует нулевой поток}

    b:=a;
  
```

```

    {Пока возможно построить вспомогательную
    сеть, включающую сток, повторять цикл}
    While DNet Do
        {Пока во вспомогательной сети существует
        путь из истока в сток, повторять}
        While PsevdoFlowExists(s,maxint,cost) Do
            Inc(maxflow, cost); {Увеличить поток}
    End;
{Функция построения вспомогательной сети}
Function DNet: Boolean;
    Type Tmasi = Array[0..nn] Of Integer;
    Var u, i, k: Integer;
        q: Tmasi; {q – очередь}
        pr, pw, cnt: Integer; {Переменные, отвечаю-
        щие за работу с очередью}
    {Процедуры и функции работы с очередью}
    Procedure InitQueue; {Инициализация очереди}
    Function QueueIsEmpty: Boolean; {Функция провер-
    ки, пуста очередь или нет}
    Procedure Push(u,k: Integer); {Запись элемента в
    очередь с пометкой вершины о ее просмотре}
    Procedure Pop(Var u: Integer); {Чтение элемента
    из очереди}
    Begin
        <Элементам массива vertex присвоить нулевые
        значения>;
        InitQueue;
        Push(s,0); {Запись истока в очередь}
        <Элементам массива d присвоить нулевые значе-
        ния>;
        While Not QueueIsEmpty Do Begin {Пока очередь
            не пуста}
            Pop(u); {Извлечение очередного элемента из
            очереди}
            k:=vertex[u].k;
            i:=1;
            While (i<=n) And (Not vertex[t].vis)
                Do Begin
                    If b[u,i]>0 Then Begin
                        {Если вершина i не просмотрена, то она
                        записывается в очередь}

```

```

        If Not vertex[i].vis Then Push(i,k+1);
        {Перенос дуги во вспомогательную сеть}
        If (Not vertex[i].vis) Or
            (vertex[i].vis) And (vertex[i].k>k)
            Then d[u,i]:=b[u,i];
        End;
        Inc(i);
    End;
End;
{Если стек просмотрен, то вспомогательная
сеть считается построенной}
result:=vertex[t].vis;
End;
{Функция построения блокирующего потока (псевдо-
потока)}
Function PsevdoFlowExists (u, cost: Integer; Var
maxcost: Integer): Boolean;
{u – текущая вершина, из которой строим поток}
{cost – текущая величина потока, который можно
пропустить по строящейся увеличивающей цепи}
{maxcost – максимальная величина потока, который
можно пропустить по построенной увеличивающей
цепи}
Var i: Integer;
Begin
    result:=False;
    {Если стек достигнут, то увеличивающая цепь
построена, иначе продолжаем процесс ее по-
строения}
    If u=t Then Begin
        maxcost:=cost; result:=True;
    End
    Else Begin
        i:=1;
        While (i<=n) And (Not result) Do Begin
            {Пока увеличивающая цепь не построена}
            If (d[u,i]>0) Then
                If PsevdoFlowExists(i,min(cost,
                    d[u,i]),maxcost) Then Begin
                    result:=True; {Построена увеличи-
                        вающая цепь}
                End
            End
        End
    End
End;

```

```

Dec(d[u,i],maxcost); {Уменьшаем
пропускную способность дуги [u,i]
во вспомогательной сети}
Dec(b[u,i],maxcost); {Уменьшаем
пропускную способность дуги [u,i]
в остаточной сети}
Inc(b[i,u],maxcost); {Увеличиваем
пропускную способность дуги [i,u]
в остаточной сети}
End
Else d[u,i]:=0; {Если при просмотре
дуги не удалось построить увеличиваю-
щую цепь, то дугу следует удалить из
вспомогательной сети}
Inc(i);
End;
End;
End;

```

13.4. Модификация алгоритма Е. А. Диница

Рассмотрим один из наиболее эффективных алгоритмов построения максимального потока в сети, предложенный в 1978 году В. Малхотри, П. Кумаром и С. Махешвари. Алгоритм является модификацией метода блокирующих потоков, предложенного Е. А. Диницем. На каждой итерации на базе остаточной сети строится вспомогательная сеть тем же способом, что и в методе Е. А. Диница. Затем во вспомогательной сети находится блокирующий поток. Найденный поток суммируется с текущим потоком, а остаточная сеть изменяется, и выполняется следующая итерация. После каждой итерации длина кратчайшего пути в остаточной сети от источника к стоку увеличивается. Следовательно, общее количество итераций не превышает количества вершин в сети. Алгоритм В. Малхотри, П. Кумара и С. Махешвари позволяет построить блокирующий поток во вспомогательной сети за время $O(n^2)$, а не за $O(nm)$, тем самым уменьшив временную сложность алгоритма до $O(n^3)$.

Рассмотрим подробнее алгоритм построения блокирующего потока. *Потенциалом* $P(v)$ вершины v сети назовем максимальное количество потока, которое может быть пропущено через вершину. Очевидно, что потенциал является минимумом из суммарной про-

пускной способности входящих в вершину дуг $Pi(v)$ и суммарной пропускной способности исходящих дуг $Po(v)$. Для источника и стока потенциал равен $Po(s)$ и $Pi(t)$ соответственно. Для каждой вершины вычисляется ее потенциал. Ясно, что через вершины с нулевым потенциалом поток проходить не может. Следовательно, их можно удалить из вспомогательной сети. Удалим эти вершины и дуги, им инцидентные, обновив должным образом потенциалы вершин, смежных с удаленными. Если в результате появятся новые вершины с нулевым потенциалом, удалим рекурсивно и их. В результате во вспомогательной сети останутся только вершины с ненулевым потенциалом.

После этого приступим к построению блокирующего потока. Найдем во вспомогательной сети вершину с минимальным потенциалом. Пусть это будет вершина v с потенциалом p , принадлежащая k -му слою. Протолкнем p единиц потока из вершины v в смежные с ней вершины по исходящим дугам с ненулевой остаточной пропускной способностью. Попутно будем переносить проталкиваемый поток в исходную сеть, а также корректировать потенциалы вершин, отправляющих и принимающих избыток потока. В результате весь проталкиваемый поток (ввиду минимальности потенциала вершины v) соберется в вершинах $(k + 1)$ -го слоя. Повторим процесс отправки потока из вершин $(k + 1)$ -го слоя, содержащих избыток потока, в смежные им вершины $(k + 2)$ -го слоя. И так до тех пор, пока весь поток не соберется в последнем слое. Заметим, что в последнем слое содержится только сток, ибо все остальные вершины, ранее ему принадлежавшие, были удалены из вспомогательной сети, как вершины с нулевым потенциалом. Следовательно, весь поток величины p , отправленный из вершины с минимальным потенциалом, полностью соберется в стоке. Далее, вновь начиная с вершины v , осуществляется подвод потока уже по входящим дугам. В результате на первом шаге недостаток потока переадресуется к узлам $(k - 1)$ -го слоя, затем $(k - 2)$ -го. И так до тех пор, пока весь поток величины p , отправленный из вершины с минимальным потенциалом, не соберется в истоке. Таким образом, поток и во вспомогательной, и в основной сети увеличится на величину p .

В процессе увеличения потока могли появиться вершины с нулевым потенциалом. Более того, одна такая вершина есть наверняка — это вершина v , ибо ее потенциал используется полностью. Удалим из сети Диница вершины, имеющие нулевой потенциал. Если после данного шага множество вершин сети Е. А. Диница все еще не пусто, то вновь перейдем к выбору вершины с минимальным значе-

нием потенциала, иначе вернемся к построению вспомогательной сети относительно нового (увеличенного на величину p) потока в основной сети.

Пример 13.3. Рассмотрим работу алгоритма на примере (рис. 13.6). Аналогично, как и в методе Е. А. Диница, строится вспомогательная сеть. На *первой итерации* алгоритма сеть состоит из 2 уровней (рис. 13.13). Во вспомогательную сеть вошли 4 вершины 1, 2, 3, 6.

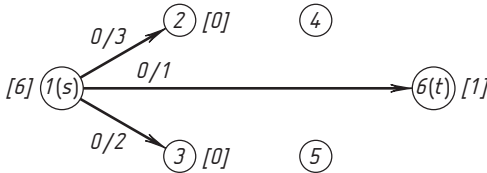


Рис. 13.13. Вспомогательная сеть на первой итерации алгоритма В. Малхотри, П. Кумара и С. Махешвари

Подсчитаем потенциал каждой вершины. Сумма пропускных способностей:

- исходящих дуг истока равна 6, потенциал равен 6;
- входящих дуг вершины 2 равна 3, исходящих — 0, потенциал равен $\min(3, 0) = 0$;
- входящих дуг вершины 3 равна 2, исходящих — 0, потенциал равен $\min(2, 0) = 0$;
- входящих дуг стока равна 1, его потенциал равен 1.

После удаления вершин с нулевыми потенциалами и корректировки потенциалов оставшихся вершин получаем сеть, изображенную на рис. 13.14. В сети осталось две вершины, минимальный потенциал равен 1. Это означает, что гарантированно по данной сети можно пропустить поток величины 1. После повторной корректировки потенциалов вершин и удаления вершин с нулевыми потенциалами сеть не содержит ни одной вершины, переходим к следующей итерации.

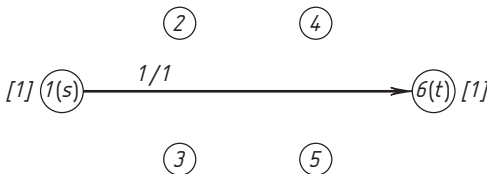
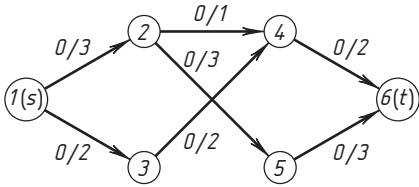


Рис. 13.14. Результирующая сеть на первой итерации алгоритма В. Малхотри, П. Кумара и С. Махешвари

На *второй итерации* вспомогательная сеть будет иметь 4 слоя (0, 1, 2, 3). Любая увеличивающая цепь в ней имеет длину 3 (рис. 13.15). Подсчитаем потенциал всех вершин этой сети (табл. 13.1). Выберем вершину с минимальным потенциалом. Это вершина 3, потенциал равен 2. Необходимо продвинуть поток величины 2 из вершины 3 к истоку по входящим дугам и к стоку по исходящим дугам. Это возможно, так как остальные вершины имеют потенциал не меньше 2.

Таблица 13.1



№ вершины	Общая пропускная способность		Потенциал вершины
	входящих дуг	исходящих дуг	
1 (s)	—	5	5
2	3	4	3
3	2	2	2
4	3	2	2
5	3	3	3
6 (t)	5	—	5

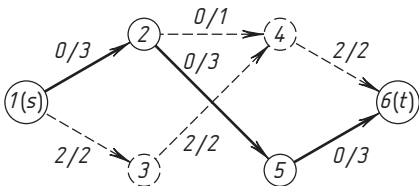
Рис. 13.15. Вспомогательная сеть на второй итерации алгоритма

Поток величины 2 проходит через вершину 3 по следующему пути: (1, 3), (3, 4), (4, 6). В общем случае это могла быть и не последовательная (с ветвлениями) увеличивающая цепь.

Заново корректируем потенциалы вершин и удаляем вершины с нулевым потенциалом. На рис. 13.16 пунктиром показаны вершины и дуги, удаленные после выполнения процедуры. В табл. 13.2 приведены новые значения потенциалов вершин.

Выберем вершину с минимальным потенциалом. Это будет вершина с номером 1 — исток. Теперь необходимо продвинуть поток величины 3 от истока к стоку. Увеличивающая цепь (1, 2), (2, 5), (5, 6) величины 3 закончит построение блокирующего потока на второй итерации, так как все дуги вспомогательной сети станут насыщенными, и при корректировке потенциалов в ней не останется вершин.

Таблица 13.2



№ вершины	Общая пропускная способность		Потенциал вершины
	входящих дуг	исходящих дуг	
1 (s)	—	3	3
2	3	3	3
5	3	3	3
6 (t)	3	—	3

Рис. 13.16. Удаляемая часть сети выделена пунктиром

При попытке выполнить *третью итерацию* алгоритм завершит работу, поскольку в остаточной сети исток больше не имеет исходящих дуг с положительными пропускными способностями, т. е. уже невозможно построить вспомогательную сеть, содержащую хотя бы один путь от истока к стоку. Результирующий поток совпадает с тем, что приведен на рис. 13.12. Из примера видим, что, в отличие от алгоритма Е. А. Диница, в данном алгоритме для нахождения максимального потока использованы две итерации, при этом построено всего 3 увеличивающие цепи, а не 4. ◀

Приведем основные фрагменты программной реализации логики алгоритма В. Малхотри, П. Кумара и С. Махешвари:

```
Const nn = ...;
Type Tmas = Array[1..nn,1..nn] Of Integer;
Type TVertex = Array[1..nn] Of Record
    vis:Boolean;
    k:Integer;
    pi,po,p:Integer;
End;
{Глобальные переменные}
Var a, b, d: Tmas;
    n, m, s, t, maxflow: Integer;
    vertex: TVertex;
{vertex – структура, описывающая вершины: vis –
признак, просмотрена вершина или нет; k – указы-
вает длину пути в ребрах от истока до данной вер-
шины; pi – потенциал входящих в вершину дуг; po –
потенциал исходящих из вершины дуг; p – потенциал
вершины, равный  $\min(pi, po)$ }
{Алгоритм является модификацией алгоритма
Е. А. Диница, общая структура основной процедуры
остаётся прежней}
Procedure Solve;
    Var cost: Integer;
    Begin
        maxflow:=0;
        b:=a;
        While DNet Do
            While PsevdoFlowExists(cost) Do
                Inc(maxflow, cost);
        End;
```

{Функция построения вспомогательной сети дополняется подсчетом потенциала вершин}

```
Function DNet: Boolean;
  Type Tmasi = Array[0..nn] Of Integer;
  Var u, i, k: Integer;
      q: Tmasi; {q – очередь}
      pr, pw, cnt: integer; {Переменные, отвечающие за работу с очередью}
  {Процедуры работы с очередью не приводятся}
  Begin
    <Элементам массива vertex присвоить нулевые значения>;
    InitQueue;
    Push(s, 0);
    <Элементам массива d присвоить нулевые значения>;
    While Not QueueIsEmpty Do Begin
      Pop(u);
      k:=vertex[u].k;
      i:=1;
      While (i<=n) And (Not vertex[t].vis)
        Do Begin
          If b[u,i]>0 Then Begin
            If Not vertex[i].vis Then Push(i, k+1);
            If (Not vertex[i].vis) Or
              (vertex[i].vis) And (vertex[i].k>k)
              Then Begin
              d[u,i]:=b[u,i];
              Inc(vertex[u].po, b[u,i]); {Увеличение исходящего потенциала}
              Inc(vertex[i].pi, b[u,i]); {Увеличение входящего потенциала}
            End;
            Inc(i);
          End;
        End;
      End;
      vertex[s].pi:=vertex[s].po;
      vertex[t].po:=vertex[t].pi;
      result:=vertex[t].vis;
    End;
```

Основное отличие данного алгоритма от алгоритма Е. А. Диница заключается в методе построения блокирующего потока.

```

{Функция построения псевдопотока}
Function PsevdoFlowExists(Var maxcost:Integer) :
  Boolean;
  Type Tmasi = Array[0..nn] Of Integer;
  Var q:Tmasi;
      pr,pw,cnt:Integer;
      i,v:Integer;
  {Процедуры работы с очередью не приводятся}
  {Процедура удаления вершин с нулевыми потенциа-
  лами}
  Procedure DeleteZeroVertex;
    Var i, u:Integer;
    Begin
      InitQueue;
      For i:=1 To n Do Begin
        vertex[i].p:=
          min(vertex[i].pi,vertex[i].po);
        If vertex[i].p=0 Then Push(i); {Если по-
        тенциал вершины нулевой, то записываем ее
        номер в очередь}
      End;
      While Not QueueIsEmpty Do Begin {Пока оче-
      редь не пуста}
        Pop(u);
        For i:=1 To n Do {Цикл по входящим и ис-
        ходящим дугам вершины u}
          If d[u,i]>0 Then Begin
            {Удаление исходящей дуги и измене-
            ние потенциала смежной вершины}
            Dec(vertex[i].pi,d[u,i]); d[u,i]:=0;
            vertex[i].p:=
              min(vertex[i].pi,vertex[i].po);
            If vertex[i].p=0 Then Push(i);
          End
          Else If d[i,u]>0 Then Begin
            {Удаление входящей дуги и изменение
            потенциала смежной вершины}
            Dec(vertex[i].po,d[i,u]); d[i,u]:=0;

```

```

        vertex[i].p:=
            min(vertex[i].pi,vertex[i].po);
        If vertex[i].p=0 Then Push(i);
    End;
End;
End;
{Процедура построения потока из вершины u в ис-
ток по входящим дугам}
Procedure FlowFromS(u,cost:Integer);
    Var i,p:Integer;
    Begin
        If u=s Then Exit;
        i:=1;
        While (cost>0) And (i<=n) Do Begin
            If (d[i,u]>0) Then Begin
                p:=min(d[i,u],cost);
                Dec(d[i,u],p);
                Dec(b[i,u],p); Inc(b[u,i],p);
                Dec(vertex[i].po,p);
                Dec(vertex[u].pi,p); Dec(cost,p);
                FlowFromS(i,p);
            End;
            Inc(i);
        End;
    End;
{Процедура построения потока из вершины u в
сток по исходящим дугам}
Procedure FlowToT(u,cost:Integer);
    {Текст процедуры пишется по аналогии с тек-
    стом процедуры FlowFromS}
{Основная часть логики функции
PsevdoFlowExists}
Begin
    DeleteZeroVertex; {Удаление вершин с нулевым
        потенциалом}
    v:=s;
    {Поиск вершины с минимальным потенциалом}
    For i:=1 To n Do
        If (vertex[i].p>0) And
            (vertex[i].p<vertex[v].p) Then v:=i;
    result:=vertex[v].p>0;

```

```

{Есть ли вершины с положительным потенциалом?}
If result Then Begin
    maxcost:=vertex[v].p; {Величина, на кото-
                           рую можно увеличить
                           поток}
    FlowFromS(v,maxcost); {Построение потока из
                           истока в вершину v}
    FlowToT(v,maxcost);   {Построение потока из
                           вершины v в сток}
End;
End;

```

Упражнения и задачи

13.1. Задача нахождения наибольшего паросочетания в двудольном графе сводится к построению максимального потока в некоторой сети. Рассмотрим схему сведения. На рис. 13.17 показан исходный двудольный граф G и его преобразование в сеть $S(G)$ с источником s и стоком t следующим образом:

- 1) источник s соединим дугами с вершинами из множества X ;
- 2) вершины из множества Y соединим дугами со стоком t ;
- 3) направление на ребрах исходного графа будет от вершин из X к вершинам из Y ;
- 4) пропускная способность всех дуг $c[i, j] = 1$.

Выполнить «ручную» трассировку алгоритма построения максимального потока для данной сети и ответить на вопрос: совпадает ли наибольшее паросочетание, приведенное на рис. 13.17, с тем, которое получается при выполнении алгоритма?

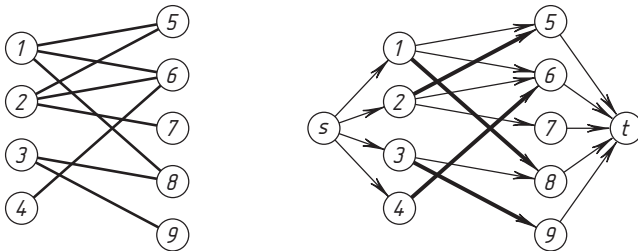


Рис. 13.17. Пример графа, иллюстрирующего логику нахождения наибольшего паросочетания через поиск наибольшего потока

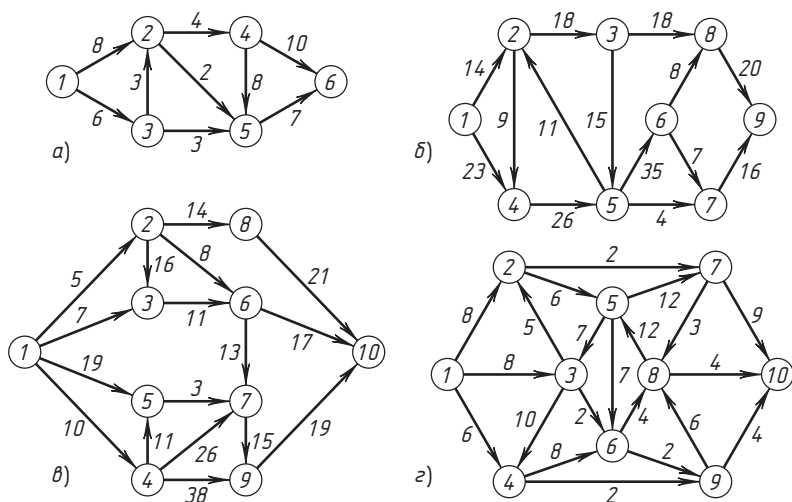


Рис. 13.18. Примеры сетей для вычисления максимального потока

13.2. Найти максимальные потоки для сетей на рис. 13.18: *a* — между вершинами 1 и 6; *б* — между вершинами 1 и 9; *в*, *г* — между вершинами 1 и 10.

13.3. Дана сеть с несколькими источниками и стоками. Разработать алгоритм поиска максимального потока, который можно пропустить от всех источников ко всем стокам.

13.4. В сети дуги и вершины имеют пропускную способность. Разработать алгоритм поиска максимального потока между заданными вершинами сети.

13.5. Пропускные способности дуг сети имеют ограничение и сверху, и снизу. Другими словами, поток в сети должен превышать или совпадать с нижним ограничением пропускной способности дуг. Разработать алгоритм поиска максимального потока между заданными вершинами s и t сети.

13.6. Разработать алгоритм поиска максимального потока между каждой парой вершин неориентированной сети.

13.7. Дугам сети приписаны не только значения пропускной способности, но и стоимость передачи единицы потока по данной дуге. Разработать алгоритм поиска потока заданной величины v с минимальной стоимостью.

13.8. Разработать алгоритм поиска дуг с таким свойством, что увеличение пропускной способности дуги приводит к увеличению потока. Всегда ли существует такая дуга?

Комментарии

Задача о максимальном потоке в сети изучается уже более 60 лет. Интерес к ней подогревается огромной практической значимостью этой проблемы. Методы решения задачи применяются на транспортных, коммуникационных, электрических сетях, при моделировании различных процессов физики и химии, в некоторых операциях над матрицами, для решения родственных задач теории графов. 60 лет назад эта задача решалась симплекс-методом линейного программирования, что было крайне неэффективно. Л. Р. Форд и Д. Р. Фалкесон предложили рассматривать для решения задачи о максимальном потоке ориентированную сеть и искать решение с помощью итерационного алгоритма. В течение 20 лет все передовые достижения в исследовании данной задачи базировались на их методе. В 1970 году Е. А. Диниц решил задачу с использованием вспомогательных бесконтурных сетей и псевдомаксимальных потоков, что увеличило быстродействие разрабатываемых алгоритмов. В 1974 году А. В. Карзанов улучшил метод Е. А. Диница, введя такое понятие, как предпоток. Алгоритмы Л. Р. Форда и Д. Р. Фалкерсона, Е. А. Диница и А. В. Карзанова дают решение данной проблемы. Они исследовались в течение 15 лет. В 1986 году появился метод (*Push-Relabel* метод) А. В. Голдберга и Р. Е. Тарьяна, который также можно отнести к фундаментальным. Для нахождения максимального потока он использует предпотоки и метки, изменяемые во время работы алгоритма. *Push-Relabel* алгоритмы достаточно эффективны и исследуются до сих пор. И наконец, в 1997 году А. В. Голдберг и С. Рао предложили алгоритм, присваивающий дугам не единичную длину. Асимптотическая оценка его быстродействия превзошла $O(nm)$. За прошедшие годы алгоритм А. В. Голдберга и С. Рао тщательно изучается и улучшается.

В данной главе рассмотрены лишь некоторые, базовые алгоритмы решения задачи о максимальном потоке. Основной книгой была книга В. Липского [17]. Дополнительную информацию можно найти на сайтах <http://www.algolist.manual.ru/mathsgraphs/maxflow> и <http://mathc.chat.ru/a4/articl04.htm>. Информация с них также использовалась при написании главы.

ОТВЕТЫ И РЕШЕНИЯ

В данном разделе книги в отдельных случаях, скорее, представлены «наброски» решений. Они не претендуют на окончательность, а, скорее, служат в качестве исходного материала для исследования задач. В том случае, когда логика программной реализации не очевидна для читателя, рекомендуется выполнять ее ручную трассировку — составлять таблицу изменений значений основных переменных в процессе работы программы.

К главе 1.

Основные методы дискретной математики (счет и перебор)

1.1. Шахматная доска описывается двумерным массивом. Элементы «восходящей» диагонали (направленной вверх) характеризуются тем, что для них сумма индексов постоянна. Сумма индексов «восходящих» диагоналей изменяется от 2 до $2n$. Элементы «нисходящей» диагонали (направленной вниз) характеризуются тем, что для них разность индексов постоянна. Используя эти факты, задача описывается следующими структурами данных:

```
Up:Array[2..2*n] Of Boolean; {Признак занятости  
«восходящих» диагоналей}  
Down:Array[1-n..n-1] Of Boolean; {Признак занято-  
сти «нисходящих» диагоналей}  
Vr:Array[1..n] Of Boolean; {Признак занятости  
вертикали}  
X:Array[1..n] Of Integer; {Номер вертикали, на  
которой стоит ферзь на каждой горизонтали}
```


Поиск всех вариантов расстановки ферзей на доске — это классический вариант реализации логики перебора с возвратом.

```

Procedure Solve(i:Integer);
  Var j:Integer;
  Begin
    If i>n Then <ВЫВОД РЕШЕНИЯ>
    Else For j:=1 To n Do
      If (Vr[j]) And (Up[i+j]) And (Down[i-j])
      Then Begin
        Vr[j]:=False;
        Up[i+j]:=False; Down[i-j]:=False;
        X[i]:=j;
        Solve(i+1);
        Vr[j]:=True;
        Up[i+j]:=True; Down[i-j]:=True;
      End;
    End;
  End;

```

Для доски 8×8 число способов расстановки ферзей равно 92.

1.2. Изменение предыдущего решения касается только фрагмента «вывода решения». Множество решений разбивается на подмножества. Каждое подмножество характеризуется тем, что все его элементы могут быть получены из одного путем поворотов и отражений относительно осей симметрии. На элементах подмножества определяется лексикографическое отношение порядка. В качестве представителя подмножества берется наименьший элемент. Отражение относительно вертикальной оси симметрии реализуется с помощью следующего фрагмента логики:

```
For i:=1 To n Do X[i]:=n-X[i]+1.
```

Поворот на 90 градусов требует дополнительного массива:

```
R:=X;
```

```
For i:=1 To n Do X[n-R[i]+1]:=i;
```

Все остальные элементы подмножества решений получаются последовательным выполнением этих двух или комбинацией полученных решений.

Для доски 8×8 число несимметричных расстановок равно 12.

1.3. Решение требует дополнительного введения одной глобальной логической переменной. Перебор продолжается, пока ее зна-

чение равно *False*. При первом обращении к выводу решения она «перебрасывается» в значение *True*.

1.4. Требуется найти только один путь коня. Если конь находится в клетке с координатами (x, y) , то для того, чтобы получить координаты очередного положения коня, лучше использовать массивы констант, в которых фиксируются приращения — изменения координат для получения следующих значений.

```
Const Dx:Array[1..8] Of Integer =
    (-1,-2,-2,-1,+1,+2,+2,+1);
    Dy:Array[1..8] Of Integer =
    (+2,+1,-1,-2,-2,-1,+1,+2);
n=8;
m=8;
Var A:Array[1..n,1..m] Of Integer; {Массив для
    описания шахматной доски}
    ok:Boolean; {Признак найденного решения}
```

Основные процедуры:

```
Procedure PutNumber(x,y,t:Integer); {x, y — коор-
    динаты клетки, t — номер хода}
Var i,v,w:Integer;
Begin
    A[x,y]:=t;
    If t=n*m Then ok:=True {Решение найдено}
    Else For i:=1 To 8 Do
        If Not ok Then Begin
            v:=x+Dx[i];
            w:=y+Dy[i];
            If (v>0) And (v<=n) And (w>0) And
                (w<=m) Then
                If A[v,w]=0 Then PutNumber(v,w,t+1);
            End;
        If Not ok Then A[x,y]:=0;
    End;
```

Для поиска решения достаточно исследовать первую четверть доски в качестве места первого хода.

```
Procedure Solve;
Var i,j:Integer;
    ok:Boolean;
```

```
Begin
  ok:=False;
  For i:=1 To (n+1) Div 2 Do
    For j:=1 To (m+1) Div 2 Do
      If Not ok Then PutNumber(i, j, 1);
    If ok Then <вывод решения>
      Else WriteLn('решения нет');
  End;
```

Примечания. 1. Поиск значений n и m , для которых не существует обхода доски конем, требует незначительной модификации логики. 2. Если доска описана в виде графа — вершины смежные в том случае, если из одной в другую попадаем ходом коня, — то задача заключается в поиске пути, проходящего по одному разу через каждую вершину.

1.5. Сформулированное в условии задачи правило требует формирования списка кандидатов на очередной ход и сортировки элементов этого списка в порядке неубывания. Перебор вариантов из каждого поля осуществляется не в очередности, задаваемой массивами констант, как это сделано в решении задачи 1.4, а в порядке, определяемом после сортировки кандидатов на ход. Данная логика позволяет при обходе шахматной доски конем ставить его на поля, из которых он может сделать минимальное количество перемещений на еще не занятые поля. В этом случае в первую очередь занимают угловые поля, и количество «возвратов» в логике значительно уменьшается.

1.6. Требуется интегрировать в единое целое решения задач 1.1 и 1.4. Изменяются процедуры «сделать ход» и «отменить ход». Для хранения полей, находящихся под боем, можно ввести дополнительный массив. Поле, которое бьет магараджа с номером j , помечается значением j .

1.7. Решение отличается от решения задачи 1.4 размером поля и массивами констант.

1.8. Для решения задачи требуется в основной программе (вызывающей логику) организовать циклы по всем позициям, расположенным в правом верхнем треугольнике таблицы. Решения не выводятся, их количество фиксируется в некотором счетчике числа решений для каждой начальной позиции, а затем запоминается в соответствующем элементе массива для хранения результата.

1.9. Поиск начальной клетки с минимальным числом обходов сводится к поиску минимального элемента в результирующем массиве.

1.10. Единственным значением суммы чисел является 40. Первый факт, сокращающий и упрощающий перебор. Первоначально следует выбрать числа, соответствующие символам «+, \$, #, @, !», причем сумма чисел для символов «!, \$, +, @» равна 18 (из значений по диагоналям), а таких комбинаций немного: $2 + 3 + 4 + 9 = 18$, $2 + 3 + 6 + 7 = 18$. После того как значения пяти символов определены, однозначно доопределяются элементы в столбце с номером 4 и строках с номерами 3 и 5. Затем осуществляется подбор числа для символа «^», при его выборе однозначно определяются элементы во 2-м, 3-м и 5-м столбцах и 1-й и 6-й строках. Осталось подобрать элементы для полей (2, 1), (2, 6), (4, 1) и (4, 6). Итак, весь перебор разбивается как бы на три этапа. Естественно, что при тупиковых ветвях перебора обязана работать логика возврата к предыдущим шагам.

1.11. Один из возможных вариантов основной процедуры перебора имеет вид:

```

Procedure Solve(i, j: Integer); {i – номер горизонта-
    ли, j – номер вертикали}
Var t, k: Integer;
Begin {Начальные значения глобальных перемен-
    ных: l := [1..n*n]; s := n*(n*n+1) Div 2;
    pp := True, где l имеет множественный тип дан-
    ных и определяет незадействованные элементы в
    построении магического квадрата, s – значение
    суммы элементов по диагоналям, вертикалям и
    горизонталям, pp – логическая переменная – пока
    не найдено решение}
If (l <> []) And pp Then Begin
    If (j <= n) Then Begin
        For t:=1 To n*n Do {Поиск элемента
            для записи в позицию (i, j)}
            If (t In l) Then Begin
                A[i, j] := t; l := l - [t];
                Solve(i, j+1); {Переход к следую-
                    щему элементу строки}
                A[i, j] := 0; l := l + [t];
            End;
        End;
    End;
End

```

```

Else If Test1(i) Then Solve(i+1,1); {Если
сумма элементов в строке (на горизонтали)
таблицы равна значению s, то переходим к
следующей строке}
End
Else If Test2 Then Begin {Таблица заполне-
на числами, проверяем суммы элементов по
вертикалям и диагоналям}
pp:=False;
Print;
End;
End;

```

1.12. Основная процедура решения может иметь следующий вид:

```

Procedure Solve(x,y,k:Integer);
Var i:Integer;
Begin
  A[x,y]:=k; {k – номер шага}
  {(xk,yk) – координаты конечной клетки}
  If (x=xk) And (y=yk) And pp Then Begin
    pp:=False; Print;
  End
  Else For i:=1 To 4 Do
    If (A[x+dx[i],y+dy[i]]=0) And pp Then
      Solve(x+dx[i],y+dy[i],k+1); {Массивы dx
и dy – значения приращений при переходе
к соседним клеткам поля}
  A[x,y]:=0;
End;

```

1.13. Идея решения носит название «метод волны». Начальную клетку помечают меткой, например единицей, а затем, при переходе к соседним свободным клеткам (распространяем волну), увеличивают значение метки на единицу по сравнению с тем значением, которое есть в текущей клетке. Процесс заканчивается или при достижении конечной клетки, или в том случае, когда нет возможности распространять волну ни в одном направлении. Для реализации логики, возможный вариант которой приводится ниже по тексту, используется абстрактная структура данных — очередь.

```

Function Solve:Boolean; {Глобальные переменные –
  координаты начальной (xn,yn) и конечной (xk,yk)
  клеток}
Type Och=Array[1..nmax*mmax,1..2] Of Integer;
Var i,j,t,ykr,ykw:Integer;
    O:Och; {Очередь}
    y:Boolean;
Begin
  A[xn,yn]:=1;
  ykr:=0; ykw:=1;
  y:=False;
  O[ykw,1]:=xn; O[ykw,2]:=yn;
  While (ykr<ykw) And Not(y) Do Begin {Пока
    очередь не пуста и не найдено решение}
    Inc(ykr); {Берем элемент из очереди}
    i:=O[ykr,1]; j:=O[ykr,2];
    If (i=xk) And (j=yk) Then y:=True
      Else For t:=1 To 4 Do {Просматриваем со-
        седние клетки}
        If A[i+dx[t],j+dy[t]]=0 Then Begin
          A[i+dx[t],j+dy[t]]:=A[i,j]+1; {Если
            клетка свободна, то помечаем ее и за-
            носим ее координаты в очередь}
          Inc(ykw);
          O[ykw,1]:=i+dx[t]; O[ykw,2]:=j+dy[t];
        End;
      End;
    End;
  Solve:=y;
End;

```

1.14. Если белый цвет обозначить нулем, а черный — единицей в матрице A , то при каждом ходе должно выполняться следующее условие: $(A[x+dx[i], y+dy[i]] + A[x, y]) \bmod 2 = 1$ — сумма цветов клеток при переходе по модулю 2 должна быть равна 1. Во всех остальных деталях решение аналогично решению задачи 1.12.

1.15. Решение задачи аналогично решению задачи 1.13 с учетом замечания, сделанного к задаче 1.14.

1.16. Веса предметов храним в массиве *weight*, а стоимости — в *price*. При переборном варианте реализации общая логика стандартна.

```

Procedure Solve(k,w:Integer;st:LongInt); {k – тип
предмета, w – текущий вес, который следует на-
брать, st – текущая стоимость предметов в рюкза-
ке. Массивы best и now имеют тип Array[1..nmax]
Of Integer, в них храним лучшее и текущее решения}
Var i:Integer;
Begin
  If (k>n) And (st>max) And (w=0) Then Begin
    best:=now; max:=st;
  End
  Else If k<=n Then
    For i:=0 To w Div weight[k] Do Begin
      {Берем i предметов k-го типа}
      now[k]:=i; {Запоминаем в текущем решении}
      Solve(k+1,w-i*weight[k],st+i*price[k]);
    End;
  End;
End;

```

1.17. Расстояния между городами заданы в матрице A . Текущий путь хранится в массиве way , его стоимость определяется значением переменной $cost$. Путь с минимальной стоимостью ($bestcost$) — в массиве $bestway$ ($way, bestway: Array[1..nmax] Of Byte$). В массиве $nnew$ ($Array[1..nmax] Of Boolean$) фиксируются признаки — посещен или нет каждый город.

```

Procedure Solve(v,count:Byte;cost:Integer);
  {v – номер города, count – счетчик числа пройден-
ных городов, cost – стоимость текущего пути}
  Var i:Integer;
  Begin
    If cost<=bestcost Then
      If count=n Then Begin {Пройдены все города,
осталось вернуться в первый город}
        cost:=cost+A[v,1]; way[n]:=v;
        If cost<bestcost Then Begin {Если най-
дено лучшее решение, то запоминаем
его}
          bestcost:=cost; bestway:=way;
        End;
      End
    Else Begin
      nnew[v]:=False; way[count]:=v;
    End;
  End;

```

```

For i:=1 To n Do
  If nnew[i] Then
    Solve(i, count+1, cost+A[v, i])
    {Находим город, в котором еще не
    были}
    nnew[v]:=True;
  End;
End;

```

1.18. Простая переборная логика в лучшем случае даст решение только при $n = 5$. Она является, скорее, наброском для размышлений, чем решением. Ее фрагмент (используется только один массив — A : *Array[1..n, 1..n] Of Boolean*):

```

Procedure Solve(t:Integer);
  {t— количество расставленных ферзей}
  Var i, j:Integer;
  Begin
    If t>n Then <Проверить количество полей дос-
    ки, находящихся не под боем расставленных
    ферзей. Если получена лучшая расстановка,
    то запомнить ее>
    Else Begin
      For i:=1 To n Do
        For j:=1 To n Do
          If X[i, j] Then Begin
            X[i, j]:=False;
            Solve(t+1);
            X[i, j]:=True;
          End;
        End;
      End;
    End;
  End;

```

При $n = 5$ максимальное количество полей вне боя ферзей равно 3. Пример расстановки: b4, b5, c4, c5, e3. Поля, находящиеся не под боем: a1, a2, d1 (шахматная нотация).

Примечание. Для доски 8×8 максимальное число полей вне боя равно 11*). Существует всего семь основных решений, остальные получаются при поворотах и отражениях. Пример расстановки: a2, a7, b1, b3, b7, c2, g1, g2 (шахматная нотация).

*) Гук Е. Я. Шахматы и математика. — М.: Наука, 1983.

1.19. Для доски 8×8 ответ задачи 5. Всего существует 4860 расстановок. При расстановке: с6, d3, е5, f7, g4 (шахматная нотация) ферзи не бьют друг друга. При расстановке: а2, с4, d5, е6, g8 все ферзи находятся на одной диагонали, а значит, держат под боем не только свободные, но и занятые поля.

1.20. Для доски 8×8 количество ферзей равно 11. Пример расстановки: а1, а3, а4, с1, с2, d1, f1, g1, g2, g3, g4.

1.21. а) Произведем замену $m = \log n$. Считаем n степенью двойки. Получаем $T(2^m) = 2T(2^{m/2}) + m$. Обозначим $T(2^m)$ через $S(m)$. Тогда $S(m) = 2S(m/2) + m$ и $S(m) = O(m \log m)$. Сделав обратный переход, имеем:

$$T(n) = T(2^m) = S(m) = O(m \log m) = O(\log n \log \log n).$$

б) Подставляя соотношение само в себя, получаем (n — степень двойки):

$$\begin{aligned} T(n) &= n + 3T(n/4) = n + 3(n/4 + 3T(n/16)) = \\ &= n + 3(n/4 + 3(n/16 + 3T(n/64))) = \\ &= n + 3(n/4) + 9(n/16) + 27T(n/64). \end{aligned}$$

Так как $\frac{n}{4^i} = 1$ при $i = \log_4 n$, то перепишем:

$$\begin{aligned} T(n) &= n + 3(n/4) + 9(n/16) + 27(n/64) + \dots + 3^{\log_4 n} \Theta(1) \leq \\ &\leq n \sum_{i=0}^{\infty} (3/4)^i + \Theta(n^{\log_4 3}) = 4n + \Theta(n) = O(n). \end{aligned}$$

в) Согласно теореме, $a = 1$, $b = 3/2$, $f(n) = 1$, $n^{\log_b a} = n^{\log_{3/2} 1} = n^0 = 1$. Второй случай теоремы — $T(n) = \Theta(\log n)$.

г) Имеем $a = 3$, $b = 4$, $f(n) = n \log n$, $n^{\log_b a} = n^{\log_4 3} = O(n^{0,793})$. При достаточно большом значении n

$$af(n/b) = 3(n/4) \log(n/4) \leq (3/4) n \log n = cf(n).$$

Случай 3 теоремы — $T(n) = \Theta(n \log n)$.

д) Имеем $a = 2$, $b = 2$, $f(n) = n \log n$, $n^{\log_b a} = n$. Значение $f(n)$ асимптотически больше, чем $n^{\log_b a}$, и отношение

$$f(n)/n^{\log_b a} = (n \log n)/n = \log n$$

не оценивается снизу величиной n^ε ни для какого $\varepsilon > 0$.

К главе 2. Основные комбинаторные принципы и понятия

2.1. Для хранения чисел используется их представление в массиве. Если в элементе массива (разряд результата) хранится четыре цифры числа (основание системы счисления 10 000), то число

$$30! = 265\ 252\ 859\ 812\ 191\ 058\ 636\ 308\ 480\ 000\ 000$$

записано в массиве A так, как показано в табл. P.1.

Таблица P.1

Номер элемента в массиве A	1	2	3	4	5	6	7	8	9	10
Значение	0	8000	3084	8636	9105	8121	2859	6525	2	0

Приведем основную часть решения. Вывод результата, при котором следует учитывать незначащие нули, опустим.

```

Procedure Solve;
  Const nmax=50; {50 элементов в массиве, в результате допустимо 50 * 4 = 200 цифр}
         osn=10000; {Основание системы счисления}
  Type Tint = Array[1..nmax] Of Integer;
  Var i, j, p, k: Integer;
      A, B: Tint;
  Begin
    For i:=1 To nmax Do A[i]:=0;
    A[1]:=1; {Вычислено значение 1!}
    For i:=2 To n Do Begin {Считаем, что n равно 100, вычисляем 100!}
      For j:=1 To nmax Do B[j]:=0;
      p:=0; j:=0;
      Repeat
        Inc(j);
        p:=Longint(A[j])*i+p; {Умножаем на значение i. Функция Longint преобразует представление A[j] из типа Integer в тип Longint, тем самым исключаем переполнение}
      Until j=i;
      k:=B[j]+p;
    End;
  End;

```

```

    p:=k Div osn; {Вычисляем перенос в следу-
    ющий разряд – элемент массива A}
    B[j]:=k Mod osn; {Вычисляем разряд ре-
    зультата}

    Until j=nmax;
    For j:=1 To nmax Do
        A[j]:=B[j];
    End;
End;

```

2.2. Введем массив констант, равных значениям факториалов чисел от 0 до 12. Большой диапазон мы не можем охватить из-за ограничений на тип *Longint*. Раздел описаний решения имеет вид:

```

Const nmax=50;
    A: Array[0..12] Of Longint=(1, 1, 2, 6, 24,
    120, 720, 5040, 40320, 362880,
    3628800, 39916800, 479001600);
Type mas=Array[0..nmax] Of Longint;
Var f:mas;
    n:Longint;

```

Используется несколько иное представление числа. В нулевом элементе массива фиксируется длина числа — количество разрядов в факториальном представлении.

```

Procedure Solve;
    Var i:Integer;
        t:Longint;
    Begin
        t:=n; i:=1;
        While (t>=A[i]) Do Inc(i); {Находим первый
        факториал, больший заданного числа}
        f[0]:=i-1;
        For i:=f[0] Downto 1 Do Begin
            f[i]:=t Div A[i]; {Вычисляем очередной раз-
            ряд числа в факториальной системе счисления}
            t:=t Mod A[i]; {Находим остаток числа}
        End;
    End;
End;

```

2.3. Приведем в качестве примера реализацию операции сложения. Описание данных совпадает с тем, что дано в задаче 2.2. Счи-

таем, что два исходных числа уже преобразованы в факториальную систему счисления.

```
Procedure Summ(x, y:mas; Var f:mas);
  Var i:Integer;
      q:Longint;
Begin
  For i:=1 To nmax Do f[i]:=0;
  If x[0]>y[0]
    Then f[0]:=x[0]
    Else f[0]:=y[0];
  For i:=1 To f[0] Do Begin
    q:=(f[i]+x[i]+y[i])*A[i];
    f[i+1]:=q Div A[i+1];
    f[i]:=(q Mod A[i+1]) Div A[i];
  End;
  If f[f[0]+1]>0 Then Inc(f[0]);
End;
```

2.4. Если предположить существование записей, начинающихся с нуля, то каждое k -значное число в системе счисления с основанием n есть размещение с повторениями, составленное из k цифр, причем каждая цифра может быть n видов. Имеем $\overline{A}_n^k = n^k$. Однако записи натуральных чисел не начинаются с нуля. Следовательно, из полученного значения следует вычесть количество чисел, имеющих на первом месте нулевую запись, а это все $(k-1)$ -значные числа. Их количество n^{k-1} . Получаем $n^k - n^{k-1} = n^{k-1}(n-1)$.

2.5. Однозначных чисел 9. Это 0, 1, 2, 3, 4, 6, 7, 8, 9. Двухзначные числа: берем любое из последних восьми чисел и приписываем любую из 9 цифр (01 это 1), получаем $8 \cdot 9 = 72$ (принцип умножения). Трехзначные числа — к любому двухзначному приписываем любую из девяти цифр, получаем $72 \cdot 9 = 648$, а в сумме — 729.

2.6. Из 28 случаев выбора первой кости 7 случаев соответствуют выбору «дубля» (кости вида 00, 11, 22, 33, 44, 55, 66) и 21 случай — кость с различным количеством очков. В первом случае вторую кость можно выбрать шестью способами, во втором — двенадцатью. Общее количество $7 \cdot 6 + 21 \cdot 12 = 294$. В данном подсчете каждая комбинация учитывалась дважды, например — 02 и 25, а второй раз — 25 и 02, т. е. учитывался и порядок выбора костей. Если порядок не учитывать, то количество способов вдвое меньше — 147.

2.7. Шашки ставятся на черные поля доски и ходят по диагоналям. При бое одна шашка перепрыгивает через другую. При достижении шашки последней горизонтали она превращается в дамку и бьет все шашки, стоящие на одной диагонали с ней, за исключением шашек, стоящих в конце диагоналей.

Белую шашку можно поставить на любое из 32 полей, для черной шашки остается 31 поле. Расстановку двух шашек можно сделать $32 \cdot 31 = 992$ способами. Подсчитаем количество способов, когда белая шашка бьет черную шашку. Для каждого положения белой шашки на доске оно свое. На рис. Р.1, а изображена доска. Числа — это количество возможных боев, которые белая шашка делает из этой позиции. Так, например, если белая шашка находится на поле a1, то возможен один бой, для поля c5 — четыре боя, для поля h8 (шашка стала дамкой) — шесть. Суммируя все числа, получаем 87 — количество положений белой и черной шашек, при которых белая шашка бьет черную шашку. Ровно столько же способов, когда черная шашка бьет белую.

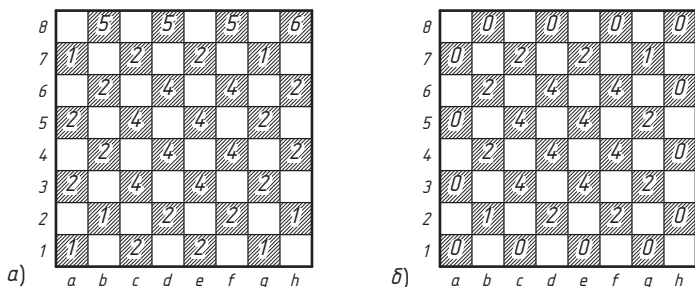


Рис. Р.1. Иллюстрация к задаче 2.7

Аналогичным образом подсчитаем количество расстановок, при которых обе шашки бьют друг друга — рис. Р.1, б. Их меньше, так как, например, при положении шашки на краю доски она не бьется другой шашкой независимо от места последней. Суммирование для этого случая дает значение 50.

Из 992 способов расстановки шашек при 174 способах одна шашка бьет другую, но при этом некоторые из способов учитываются дважды — случай, когда шашки бьют друг друга (50 способов). Ответ задачи: $992 - 174 + 50 = 868$.

2.8. При перестановках на круге следует учитывать только взаимное расположение элементов. Общее количество перестановок

$8! = 40\,320$ следует разделить на 8, тем самым исключив перестановки, получающиеся друг из друга путем вращений. То есть количество таких перестановок равно $7! = 5040$. В этом количестве содержатся пары перестановок, переходящие одна в другую в результате переворота. Поэтому 5040 следует разделить на 2, получаем 2520 различных перестановок на круге.

2.9. Требуется оценить величину

$$\frac{61!}{7! \cdot 5! \cdot 1! \cdot 5! \cdot 1! \cdot 1! \cdot 7! \cdot 3! \cdot 2! \cdot 9! \cdot 4! \cdot 2! \cdot 1! \cdot 2! \cdot 1! \cdot 5! \cdot 5!}$$

Это число примерно равно 10^{60} .

2.10. Откажемся от «ручных» вычислений, а напомним в соответствии с принципом включения и исключения (п. 2.3) логику, основные фрагменты которой имеют вид:

```
Function Nok(a,b:Longint):Longint; {Функция нахождения наименьшего общего кратного (НОК) двух чисел — НОК(a,b) =  $\frac{a \cdot b}{\text{НОД}(a,b)}$ , где НОД(a,b) — наибольший общий делитель двух чисел}
Var pr:Longint;
Begin
  pr:=a*b;
  While a*b>0 Do
    If a>b Then a:=a Mod b Else b:=b Mod a;
    Nok:=pr Div (a+b);
End;
```

Значение переменной *n* определено в вызывающей логике.

```
Procedure Solve;
Var res:Longint;
Begin
  res:=0;
  Inc(res,n Div a);
  Inc(res,n Div b);
  Inc(res,n Div c);
  Dec(res,n Div Nok(a,b));
  Dec(res,n Div Nok(a,c));
  Dec(res,n Div Nok(b,c));
  Inc(res,n Div Nok(a,Nok(b,c)));
  WriteLn(res);
End;
```

Мы программно реализовали подсчет по формуле

$$\left| \bigcup_{i=1}^3 A_i \right| = \sum_{i=1}^3 |A_i| - \sum_{1 \leq i < j \leq 3} |A_i \cap A_j| + |A_1 \cap A_2 \cap A_3|.$$

2.11. Решение задачи разбивается на два возможных варианта: одна из цифр a , b или c является первой цифрой числа или же занимает любое из четырех мест, кроме первого. В первом случае на каждое из оставшихся мест можно разместить любую из 7 цифр — количество вариантов равно $3 \cdot 7^4$. Во втором случае на первое место можно поместить любую из 6 цифр (исключаем 0, a , b и c), в три других места размещаем любые из 7 цифр, и пятая цифра — это a , b или c . Причем относительно трех цифр ее можно расположить четырьмя способами. Количество вариантов $6 \cdot 7^3 \cdot 3 \cdot 4$. Суммируя эти результаты, получаем ответ.

2.12. При фиксированном n значение A_n^k максимально при $k = n - 1$ и $A_n^{n-1} = n!$. Итак, $12! = 479\,001\,600$, а $13! = 6\,227\,020\,800$ и $A_{13}^{12} > 10^9$.

2.13. Следующие выкладки доказывают равенство:

$$\begin{aligned} A_{n-1}^k + kA_{n-1}^{k-1} &= \frac{(n-1)!}{(n-k-1)!} + k \frac{(n-1)!}{(n-k)!} = \frac{(n-1)!(n-k) + k(n-1)!}{(n-k)!} = \\ &= \frac{n(n-1)! - k(n-1)! + k(n-1)!}{(n-k)!} = \frac{n!}{(n-k)!} = A_n^k. \end{aligned}$$

2.14. Число различных исходов в лотерее равно $C_{90}^5 = \frac{90!}{5! \cdot 85!}$. При загадывании одного числа количество благоприятных исходов есть $C_{89}^4 = \frac{89!}{4! \cdot 85!}$, так как одно число совпадает, а четыре остальных выбираются произвольно. Отношение числа благоприятных исходов к общему числу равно $\frac{C_{89}^4}{C_{90}^5} = \frac{5}{90} = \frac{1}{18}$. Следовательно, в среднем следует сыграть 18 раз, чтобы один раз выиграть, т. е. получить выигрыш в 15 раз больше стоимости однократного участия в игре. Аналогично при загадывании двух чисел $\frac{C_{88}^3}{C_{90}^5} = \frac{4 \cdot 5}{90 \cdot 89} = \frac{2}{801}$. В среднем на 801 игру два случая удачны. Для трех чисел $\frac{C_{87}^2}{C_{90}^5} = \frac{1}{11\,748}$. Для четырех чисел $\frac{C_{86}^1}{C_{90}^5} = \frac{2}{511\,038}$. Для пяти чисел $\frac{1}{C_{90}^5} = \frac{1}{43\,949\,268}$.

2.15. Выкладываем красные кубики так, чтобы между ними был промежуток для того, чтобы положить зеленый кубик. Количество способов — $5! = 120$. Количество промежутков между красными кубиками — четыре, плюс два места до и после кубиков, итого 6 мест. Порядок расположения зеленых кубиков существенен, поэтому требуется считать количество размещений, $A_6^4 = 360$. Ответ задачи: $120 \cdot 360 = 43\,200$. В общем случае при n красных кубиков и k зеленых (те и другие пронумерованы) количество способов равно

$$P_n A_{n+1}^k = \frac{n! (n+1)!}{(n-k+1)!}.$$

Очевидно, что задача имеет решение при $k \leq n+1$.

2.16. Запишем n нулей так, что между ними есть по одному свободному месту. Количество таких мест $n-1$, плюс два места — перед первым нулем и за последним, итого $n+1$ мест. На эти места требуется записать k единиц. Если на какое-то место единица не записывается, то два нуля оказываются рядом. Количество способов записи единиц равно C_{n+1}^k . При $k=4$, $n=5$ (как в предыдущей задаче) количество способов равно $C_6^4 = 15$. Нули и единицы «безликие» (неразличимые между собой), а кубики переставляются — красные 120 способами, зеленые 24 способами, $120 \cdot 24 = 2880$ способов, $15 \cdot 2880 = 43\,200$ способов.

2.17. Выбранным кубикам поставим в соответствие единицу, невыбранным — нуль. Имеем последовательность из семи нулей и пяти единиц, причем последние не являются «соседними», количество способов равно $C_8^5 = 56$, в общем случае — C_{n-k+1}^k . Задача имеет решение при $2k-1 \leq n$.

2.18. Выберем один кубик и присвоим ему номер (верхний кубик на рис. 2.5). Все способы выбора разбиваются на два класса: первый — с верхним кубиком, второй — без него. Рассмотрим первый класс. Так как соседние с верхним кубиком брать нельзя, то остается 9 кубиков, среди которых следует выбрать четыре не расположенные рядом (предыдущая задача) — $C_6^4 = 15$. Второй класс — без первого кубика. Остается одиннадцать кубиков, из которых выбирается пять. Количество способов равно $C_7^5 = 21$. Ответ задачи: $15 + 21 = 36$. В общем случае (на круге из n кубиков выбираются k не расположенных рядом) решение находится по формуле

$$C_{n-k-1}^{k-1} + C_{n-k}^k = \frac{n}{n-k} C_{n-k}^k.$$

2.19. а) Количество перестановок из двух цифр равно $2! = 2$. Количество перестановок из шести цифр $6! = 720$. Количество способов занять две позиции из восьми так, чтобы между ними было две позиции, равно 5. Отсюда, количество перестановок из цифр от 1 до 8, таких, что между цифрами 1 и 2 записаны две цифры, есть $2! \cdot 6! \cdot 5 = 7200$. Количество способов занять две позиции из восьми, чтобы между ними было три позиции, равно 4. Таким образом, количество перестановок из цифр от 1 до 8 таких, что между цифрами 1 и 2 записаны три цифры, равно $2! \cdot 6! \cdot 4 = 5760$.

б) Количество способов занять две соседние позиции из восьми равно 7. Следовательно, количество перестановок из цифр от 1 до 8, таких, что между цифрами 1 и 2 не записаны другие цифры, равно $2! \cdot 6! \cdot 7 = 10\,080$.

в) Количество перестановок из четырех цифр равно $4! = 24$. Количество способов выбрать четыре соседние позиции из восьми равно пяти. Следовательно, количество перестановок из цифр от 1 до 8, таких, что цифры 1, 2, 3, 4 находятся рядом, равно $4! \cdot 4! \cdot 5 = 2880$.

2.20. При фиксированном n значение C_n^k максимально, когда $k = \left\lfloor \frac{n}{2} \right\rfloor$. При нечетных n это $C_n^k = \frac{(2k)!(2k+1)}{(k!)^2(k+1)}$, при четных — $C_n^k = \frac{(2k)!}{(k!)^2}$. При $k = 16$ $C_{32}^{16} = 601\,080\,390$, а $C_{33}^{16} = 1\,166\,803\,110$. Ответ: $k = 16$, $n = 33$.

2.21. Пусть таблица инверсий и перестановка представлены в массивах T и P соответственно. Следующая логика решает поставленную задачу:

```

Procedure Solve;
  Var i, j, q: Integer;
  Begin
    For i:=1 To n Do P[i]:=0;
    For i:=1 To n Do Begin
      q:=0; j:=0;
      While (q<=T[i]) And (j<=n) Do Begin
        Inc(j);
        If P[j]=0 Then Inc(q);
      End;
      P[j]:=i;
    End;
  End;

```

2.22. Перестановка хранится в массиве P .

```

Procedure Solve;
  Var i,j:Integer;
  Begin
    For j:=1 To n Do Write(P[j],' ');
    WriteLn;
    For i:=1 To n Do
      If P[i]<>i Then Begin
        j:=0; {Находим место в перестановке, где
              записано значение i}
        Repeat Inc(j); Until P[j]=i;
        P[j]:=P[i]; {Осуществляем обмен}
        P[i]:=i;
        For j:=1 To n Do Write(P[j],' ');
        WriteLn;
      End;
    End;
  End;

```

Если требуется найти только минимальное число транспозиций, то оно равно $n - cnt$, где cnt — количество циклов в перестановке. Задача определения количества циклов в перестановке решается следующим образом:

```

Procedure Solve;
  {n и P — глобальные величины}
  Const nmax=20;
  Var Nnew: Array[1..nmax] Of Boolean;
      i,j,cnt:Integer;
  Begin
    For i:=1 To n Do Nnew[i]:=True;
    cnt:=0;
    For i:=1 To n Do
      If Nnew[i] Then Begin
        Inc(cnt); j:=P[i];
        While j<>i Do Begin
          Nnew[j]:=False; j:=P[j];
        End;
      End;
    End;
    WriteLn(cnt);
  End;

```

2.23. Ответ: перестановка $(a_n, a_{n-1}, a_{n-2}, \dots, a_3, a_2, a_1)$.

2.24. Обозначим через A_i множество перестановок, оставляющих на своем месте элемент i ($1 \leq i \leq n$). Справедливо равенство $|A_1 \cap A_2 \cap \dots \cap A_k| = (n-k)!$ при $1 \leq k \leq n$, ибо k элементов остаются на своих местах, а переставляются $n-k$ элементов. Аналогично для любых фиксированных i_1, i_2, \dots, i_k элементов. Выбор k элементов из n элементов осуществляется C_n^k способами. Таким образом,

$\sum_{1 \leq i_1 < i_2 < \dots < i_k \leq n} |A_{i_1} \cap A_{i_2} \cap \dots \cap A_{i_k}| = C_n^k (n-k)! = n! \frac{1}{k!}$. Таким образом,

$$\begin{aligned} D_{10} &= \left| \bigcap_{i=1}^{10} A_i' \right| = |X| - \sum_{i=1}^{10} |A_i| + \sum_{1 \leq i < j \leq 10} |A_i \cap A_j| - \\ &\quad - \sum_{1 \leq i < j < k \leq 10} |A_i \cap A_j \cap A_k| + \dots + (-1)^{10} \left| \bigcap_{i=1}^{10} A_i \right| = \\ &= 10! \left(1 - \frac{1}{1!} + \frac{1}{2!} - \frac{1}{3!} + \dots + (-1)^{10} \frac{1}{10!} \right). \end{aligned}$$

Примечание. Из математического анализа известно, что

$$e^{-1} = 1 - \frac{1}{1!} + \frac{1}{2!} - \frac{1}{3!} + \frac{1}{4!} - \frac{1}{5!} + \dots$$

(это разложение получается при подстановке $x = -1$ в ряд Тейлора для функции e^x), поэтому $D_n \approx n! e^{-1}$.

2.25. По условию задачи ладьи не могут находиться на главной диагонали. В терминах перестановок — ни один элемент не остается на своем месте, следовательно (см. предыдущую задачу), количество таких перестановок равно

$$8! \left(1 - \frac{1}{1!} + \frac{1}{2!} - \frac{1}{3!} + \frac{1}{4!} - \frac{1}{5!} + \frac{1}{6!} - \frac{1}{7!} + \frac{1}{8!} \right) = 14\,833.$$

2.26. Ответы: а) 1854; б) 1855; в) 3185; г) 1331.

2.27. Ответ: $C_n^k D_{n-k}$.

2.28. Требуется подсчитать количество различных сочетаний из 5 элементов по 17 с повторениями, а это

$$\frac{(17+5-1)!}{17! \cdot (5-1)!} = \frac{21!}{17! \cdot 4!} = 15 \cdot 19 \cdot 21 = 5985.$$

Проверьте, то ли значение будет получено с помощью следующей логики:

```

Var n, m, cnt: Integer;
Procedure Solve(k, l: Integer);
  Var i: Integer;
  Begin
    If l=m Then Inc(cnt)
      Else For i:=0 To k Do Solve(k-i, l+1);
  End;
Begin
  ReadLn(n, m); {n=17, m=5}
  cnt:=0; Solve(n, 1);
  WriteLn(cnt);
End;

```

2.29. Ответ: C_{n+9-1}^{9-1} .

2.30. Ответ: $n! - m!(n - m + 1)!$. Можно рассуждать и не используя понятие сочетаний с повторениями. Дано n элементов, из них выбрали m элементов. Количество перестановок из m элементов равно $m!$, из n элементов — $n!$, из $n - m$ элементов — $(n - m)!$. Между $n - m$ элементами можно сделать вставку $n - m + 1$ способами. Таким образом, количество перестановок, где m элементов не находятся рядом, равно

$$n! - m!(n - m + 1)! = n! - m!(n - m + 1)!.$$

2.31. Для наглядности перечислим все перестановки из четырех элементов. Они представлены в табл. P.2.

Таблица P.2

Перестановка	Пара (1, 2)	Пара (2, 3)	Пара (3, 4)	Ответ	Перестановка	Пара (1, 2)	Пара (2, 3)	Пара (3, 4)	Ответ
1234	+	+	+		3124	+			
1243	+				3142				+
1324				+	3214				+
1342			+		3241				+
1423		+			3412	+		+	
1432				+	3421			+	
2134			+		4123	+	+		
2143				+	4132				+
2314		+			4213				+
2341		+	+		4231		+		
2413				+	4312	+			
2431				+	4321				+

Ответ: 11 перестановок.

Обобщим результат. Подсчитаем количество перестановок, в которых нет пары (1, 2). Рассматривая пару как один элемент, т. е. объединяя два элемента в один, получаем P_3 . Тот же результат получаем и для остальных пар, количество пар C_3^1 . В перестановках, содержащих две пары, имеющих общий элемент, объединяем три элемента в один. Для пар, не содержащих общих элементов, например 3412, объединяем элементы по два. В том и другом случае после объединения остается два элемента, которые переставляются P_2 способами, а две пары из трех выбираются C_3^2 способами. Аналогично для трех пар. Получаем

$$P_4 - C_3^1 P_3 + C_3^2 P_2 - C_3^3 P_1 = 3! \left(4 - \frac{3}{1!} + \frac{2}{2!} - \frac{1}{3!} \right) = 11.$$

В общем случае, количество перестановок из n элементов, не содержащих ни одной из пар (1, 2), (2, 3), ..., (n-1, n), определяется формулой:

$$\begin{aligned} E_n &= P_n - C_{n-1}^1 P_{n-1} + C_{n-1}^2 P_{n-2} - \dots + (-1)^{n-1} C_{n-1}^{n-1} P_1 = \\ &= (n-1)! \left(n - \frac{n-1}{1!} + \frac{n-2}{2!} - \dots + \frac{(-1)^{n-1}}{(n-1)!} \right). \end{aligned}$$

Разобьем каждое слагаемое в правой части на два: $\frac{(-1)^k(n-k)}{k!} = \frac{(-1)^k n}{k!} + \frac{(-1)^{k-1}}{(k-1)!}$. Получим

$$\begin{aligned} E_n &= n! \left(1 - \frac{1}{1!} + \frac{1}{2!} - \dots + \frac{(-1)^{n-1}}{(n-1)!} + \frac{(-1)^n}{n!} \right) + \\ &+ (n-1)! \left(1 - \frac{1}{1!} + \frac{1}{2!} - \dots + \frac{(-1)^{n-1}}{(n-1)!} \right) = D_n + D_{n-1}. \end{aligned}$$

Итак, количество перестановок, в которые не входит ни одна пара (1, 2), (2, 3), ..., (n-1, n), равно сумме субфакториалов D_n и D_{n-1} (см. п. 2.10). Аналогично подсчитывается и количество перестановок из n элементов, которые не содержат заданные r пар ($r \leq n-1$), $P_n - C_r^1 P_{n-1} + C_r^2 P_{n-2} - \dots + (-1)^r C_r^r P_{n-r}$.

2.32. Число искомым перестановок равно

$$P_{n-1} - C_n^1 P_{n-2} + C_n^2 P_{n-3} - \dots + (-1)^{n-1} C_n^{n-1} P_0 + (-1)^n C_n^n.$$

При $n=4$ существует только одна перестановка 1432.

2.33. Красные кубики можно разложить 7 способами. В первый ящик не положить ни одного кубика, один кубик, два кубика, ...

..., шесть кубиков. Аналогично синие кубики 9 способами, а для зеленых существует 11 способов. Принцип умножения дает ответ: $7 \cdot 9 \cdot 11 = 693$ способа.

2.34. Любое натуральное число n разложимо на простые множители: $n = p_1^{n_1} p_2^{n_2} \dots p_k^{n_k}$, где p_1, p_2, \dots, p_k — различные простые числа (основная теорема арифметики). При разложении числа n на два сомножителя $n = n_1 n_2$ простые сомножители распределяются между n_1 и n_2 . Любое разложение имеет вид

$$n = (p_1^{m_1} p_2^{m_2} \dots p_k^{m_k})(p_1^{n_1-m_1} p_2^{n_2-m_2} \dots p_k^{n_k-m_k}),$$

где m_j — количество вхождений p_j в первый сомножитель. Количество делителей числа n равно $(n_1 + 1)(n_2 + 1) \dots (n_k + 1)$.

2.35. Промоделируем распределение двоичной строкой из 40 нулей и трех единиц. Выбор мест распределения единиц в строке определяет распределение кубиков: количество нулей до первой единицы соответствует кубикам в первом ящике, между первой и второй единицами — во втором, между второй и третьей единицами — в третьем, и, наконец, после третьей — в четвертом. Количество способов расстановки единиц равно $C_{43}^3 = \frac{43!}{40! \cdot 3!} = 12\,341$. В общем случае, при размещении n одинаковых предметов по k ящикам (некоторые из ящиков могут быть пустыми) количество способов определяется как C_{n+k-1}^{k-1} . Если же в каждом ящике должно быть по крайней мере r предметов, то количество способов равно $C_{n-k(r-1)-1}^{k-1}$.

2.36. Находим количество способов распределения по ящикам для кубиков каждого цвета (см. задачу 2.35), и результаты перемножаем — $C_9^3 C_{11}^3 C_{13}^3 = 3\,963\,960$. Если в ящиках должно быть хотя бы по одному кубику каждого типа, то ответом является $C_5^3 C_7^3 C_9^3 = 29\,400$. В том случае, когда все n кубиков имеют различные цвета (или пронумерованы) и они размещаются в k ящиков без ограничений, то для каждого кубика есть k способов размещения, а общее количество способов распределения равно k^n .

2.37. Ответ 5^7 неверен, ибо есть ограничение — ящики не могут быть пустыми. Пусть r ящиков оказываются пустыми, а в остальные $5 - r$ ящиков кубики раскладываются без ограничений, т. е. ящики могут оказаться как пустыми, так и содержать кубики. Количество распределений кубиков по ящикам в этом случае равно $(5 - r)^7$. Количество способов выбора r ящиков из пяти равно C_5^r . Используя принцип включения исключения, получаем количество способов, которыми можно разложить кубики по ящикам так, что ни

один ящик не оказывается пустым. Оно равно $5^7 - C_5^1 \cdot 4^7 + C_5^2 \cdot 3^7 - C_5^3 \cdot 2^7 + C_5^4 \cdot 1^7 = 16\,800$. Обобщая результат для n различных предметов и k различных ящиков для случая, когда ящики не могут быть пустыми, получаем

$$k^n - C_k^1(k-1)^n + C_k^2(k-2)^n - \dots + (-1)^{k-1} C_k^{k-1} 1^n.$$

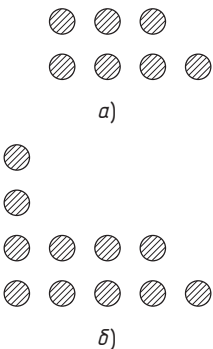
$$\begin{aligned} 2.38. \quad & C_{n_1+k-1}^{k-1} C_{n_2+k-1}^{k-1} \dots C_{n_s+k-1}^{k-1} - C_k^1 C_{n_1+k-2}^{k-2} C_{n_2+k-2}^{k-2} \dots C_{n_s+k-2}^{k-2} + \\ & + C_k^2 C_{n_1+k-3}^{k-3} C_{n_2+k-3}^{k-3} \dots C_{n_s+k-3}^{k-3} - \dots + (-1)^{k-1} C_k^{k-1}. \end{aligned}$$

2.39. Добавим к кубикам $k-1$ одинаковых шаров. Тогда каждому размещению соответствует перестановка $n+k-1$ элементов и наоборот. Кубики до первого шара размещаются в первом ящике, между первым и вторым шарами — во втором ящике и т. д. Количество перестановок из n различных кубиков и k одинаковых шаров равно

$$P(\underbrace{1, 1, \dots, 1}_n, k-1) = \frac{(n+k-1)!}{(1!)^n (k-1)!} = A_{n+k-1}^n.$$

2.40. Если длина палиндрома равна n , то он однозначно определяется первыми $p = \left\lfloor \frac{n}{2} \right\rfloor$ символами. Пусть есть k различных символов. Количество палиндромов равно k^p .

2.41. Диаграмма для разбиения числа n состоит не более чем из m строк (рис. Р.2, а, $n=7$, $m=4$). Добавим к диаграмме первый столбец из m элементов (рис. Р.2, б). Получим диаграмму для разбиения числа $n+m$ на m слагаемых. Обратное преобразование также верно. И это справедливо как для любых разбиений числа n , так и для разбиений числа $n+m$ в соответствии с условиями. Установлено взаимно однозначное соответствие между диаграммами двух видов, что и обосновывает исходное утверждение.



2.42. На рис. Р.3, а представлено одно из разбиений числа n ($n=7$, $m=4$). Добавим к каждому такому разбиению «равнобедренный» треугольник из m строк и приведем диаграмму к виду, когда все элементы в строках «записаны»

Рис. Р.2. Иллюстрация к задаче 2.41

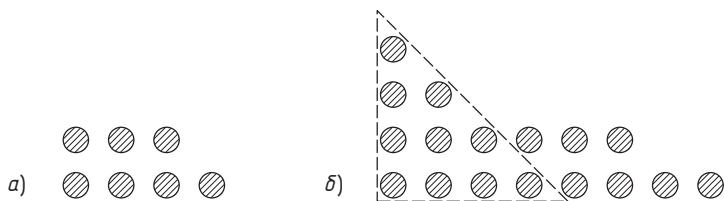


Рис. P.3. Иллюстрация к задаче 2.42

без пропусков — рис. P.3, б. Треугольник содержит $\frac{m(m+1)}{2}$ элементов, и диаграмма соответствует разбиению числа $n + \frac{m(m+1)}{2}$ на m слагаемых, при этом диаграмма содержит строки разной длины. Действительно, длины строк в исходной диаграмме не убывают, а длины строк треугольника все время возрастают, таким образом, в результирующей диаграмме длины строк строго возрастают, т. е. все слагаемые разбиения различны. Обратное преобразование очевидно. Следовательно, между диаграммами есть взаимно однозначное соответствие, что делает утверждение истинным.

2.43. Равенство следует из утверждения, полученного в п. 2.15.

$P(2n, n) = \sum_{i=1}^n P(2n - n, i) = \sum_{i=1}^n P(n, i)$. Таким образом, $P(2n, n) = P(n)$.

2.44. В исходной диаграмме длины строк отличаются, как минимум, на 2 (на четное количество точек). Это приводит к тому, что после поворота, в двойственной диаграмме, количество слагаемых каждого типа (равных) будет четное.

2.45. Кратчайшая линия имеет длину (клетка с единичной длиной сторон) $n + m$. Рассматривая линию как последовательность символов длины $n + m$, составленной, например, из нулей и единиц, получаем, что следует подсчитать C_{n+m}^n — количество способов записи n единиц на $n + m$ мест.

2.46. Представим результаты вычислений в табличном виде (табл. P.3). Нумерация вертикалей и горизонталей начинается с нуля. На пересечении k -й вертикали и n -й горизонтали записано значение C_{n+k}^k (см. предыдущую задачу). Для того чтобы ладье попасть на это поле, требуется сделать k ходов вправо и n ходов вниз. Элемент таблицы, называемой арифметическим квадратом [6], равен сумме числа, записанного над ним, и числа, записанного слева от него. Действительно, попасть на поле (k, n) ладья может только с одного из полей $(k - 1, n)$ и $(k, n - 1)$. Из принципа сложения

Таблица Р.3

$n \backslash k$	0	1	2	3	4	5	6	...
0	1	1	1	1	1	1	1	...
1	1	2	3	4	5	6	7	...
2	1	3	6	10	15	21	28	...
3	1	4	10	20	35	56	84	...
4	1	5	15	35	70	126	210	...
5	1	6	21	56	126	252	462	...
6	1	7	28	84	210	462	924	...
⋮	⋮	⋮	⋮	⋮	⋮	⋮	⋮	⋮

следует, что значение для поля (k, n) равно сумме соответствующих элементов.

В табл. Р.3 нашло отражение и равенство

$$C_{n+k-1}^k + C_{n+k-2}^{k-1} + \dots + C_n^1 + C_{n-1}^0 = C_{n+k}^k,$$

доказанное в п. 2.9. Для вычисления очередного элемента таблицы достаточно просуммировать числа из предыдущей строки. Например, $70 = 1 + 4 + 10 + 20 + 35$ (выделены в табл. Р.3 жирным шрифтом). В третьей строке табл. Р.3 записаны числа 1, 3, 6, 10, ... Они называются *треугольными*. Название восходит к древнегреческой математике и следует из рис. Р.4. Формула для подсчета k -го треугольного числа имеет вид $C_{k+1}^2 = \frac{(k+1)k}{2}$. Объединение треугольников в пирамиды и подсчет точек в них дает числа 1, 4, 10, 20, 35, ... — четвертая строка табл. Р.3. Эти числа носят название *пирамидальных*, формула для их вычисления имеет вид $C_{k+2}^3 = \frac{(k+2)(k+1)k}{1 \cdot 2 \cdot 3}$.

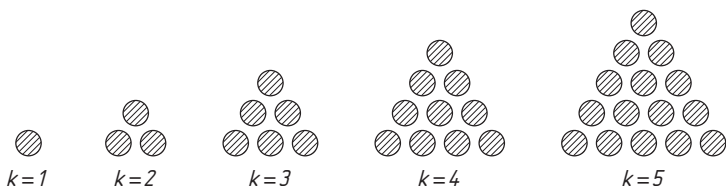


Рис. Р.4. Треугольные числа

2.47. Каждое число равно сумме трех чисел предыдущей строки — стоящего над ним в том же столбце и двух соседних слева элементов. В первой строке записано число 1 и остальные нули. Если при суммировании требуется брать элементы левее, чем в первом столбце, то они считаются нулевыми.

2.48. Перпендикулярные лучи показаны на рис. Р.5 жирными линиями. Шашка не может перейти вертикальную границу, поэтому на полях дополнительного вертикального столбца записаны нулевые значения. С учетом дополнительного столбца числа в темных клетках равны сумме двух чисел в клетках предыдущей горизонтали. Представим любой путь шашки как последовательность из нулей и единиц. Нуль — ход влево, единица — ход вправо. Требуется подсчитать количество таких последовательностей, в которых для любого места выполняется требование — количество единиц до этого места не меньше, чем количество нулей. Другими словами, в любом пути количество ходов вправо должно быть не меньше, чем ходов влево. Ответом задачи являются числа $\frac{n-k+1}{n+1} C_{n+k}^k$, записываемые на пересечении горизонтали $n+k$ и вертикали $n-k$.

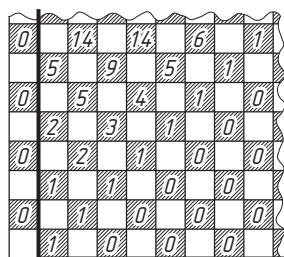


Рис. Р.5. Иллюстрация к задаче 2.48

2.49. Все пути (до любой точки на прямой) имеют длину n (размер поля). Рассмотрим конкретную точку $B(k, n-k)$. Количество путей до этой точки равно $P_{k,n-k} = C_n^k$, а для всех точек $C_n^0 + C_n^1 + C_n^2 + \dots + C_n^n$. С другой стороны, любой путь может быть зашифрован последовательностью из нулей и единиц длины n , нуль соответствует горизонтальному отрезку, единица — вертикальному отрезку. Количество всех последовательностей 2^n , и каждой из них соответствует путь. Показана справедливость равенства, приведенного в п. 2.8.

2.50. Рассмотрим клеточное поле размером $k \times n$. Известно, что количество путей из точки $A(0, 0)$ в точку $B(k, n)$ равно C_{n+k}^k . На рис. Р.6 проведена вертикальная прямая с абсциссой m ($0 \leq m \leq k$). Любой путь из $A(0, 0)$ в $B(k, n)$ пересекает эту прямую, при этом частично может проходить и по этой прямой. Разобьем все множество путей на подмножества так, что к одному подмножеству относятся пути, для которых последней общей точкой с прямой $x = m$ является точка $D(m, i)$, имеющая ординату i . Подсчитаем количество путей в каждом подмножестве. Количество путей в точку $D(m, i)$ равно C_{m+i}^m . Любой путь из

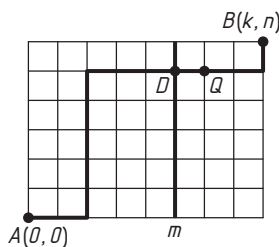


Рис. Р.6. Иллюстрация к задаче 2.50

точки $Q(m+1, i)$ в точку $B(k, n)$ состоит из $k-m-1$ шагов вправо и $n-i$ шагов вверх, количество путей равно $C_{n+k-m-i-1}^{k-m-1}$. А затем «работают» по принципу умножения и сложения, делающих справедли-

вым равенство $C_{n+k}^k = \sum_{i=0}^n C_{m+i}^m C_{n+k-m-i-1}^{k-m-1}$. Заметим, что при $m=k-1$

получается равенство $C_{n+k}^k = \sum_{i=0}^n C_{k-1+i}^{k-1}$.

К главе 3.

Перечисление комбинаторных объектов

3.1. Возьмем перестановку p_1, p_2, \dots, p_n и сопоставим с ней следующую последовательность целых неотрицательных чисел a_1, a_2, \dots, a_n . Для любого i от 1 до n найдем номер позиции s , в которой стоит значение i в перестановке, т. е. такое s , что $p_s = i$, и подсчитаем количество чисел, меньших i , среди p_1, p_2, \dots, p_{s-1} , это количество плюс единица и будет значением a_i . Значение a_i изменится от $1 \leq a_i \leq i$, для всех i от 1 до n . Между перестановками и последовательностями есть взаимнооднозначное соответствие. Изменяя последовательность и получая из последовательности перестановку, мы решаем задачу. Пусть $n=4$. Первая перестановка 4321, ей соответствует последовательность 1111. Преобразование последовательности 1112, 1113, 1114 дает, соответственно, перестановки 3421, 3241, 3214. Затем увеличиваем на единицу значение в позиции последовательности для числа 3 в перестановках (последовательность 1124), находим 3 в перестановке, и выполняем транспозицию с соседним элементом, получаем перестановку 2314. Дальнейшее изменение последовательности выглядит следующим образом: 1123, 1122, 1121, 1131, 1132, 1133, 1134, 1234 и т. д. Видим, что значение приращения +1 или -1 для каждого элемента последовательности требуется хранить. Начальная инициализация переменных реализуется фрагментом:

```

For i:=1 To n Do Begin
  d[i]:=1; {приращение}
  a[i]:=1;
  p[i]:=n+1-i;
End;
fin:=False; {Логическая переменная для фиксации
окончания процесса генерации перестановок};

```

А основная часть решения имеет следующий вид:

```

Procedure Swap(i, j: Integer);
  Var w: Integer;
  Begin
    w:=p[i]; p[i]:=p[j]; p[j]:=w;
  End;

Procedure Solve(k: Integer); {Параметр рекурсии –
  номер позиции в последовательности или число в
  перестановке}
  Var i: Integer;
  Begin
    If k=0 Then fin:=True;
    If Not fin Then Begin
      If (a[k]+d[k]>=1) And (a[k]+d[k]<=k)
      Then Begin
        a[k]:=a[k]+d[k]; {Увеличиваем или
        уменьшаем на единицу значение k-го
        элемента последовательности}
        i:=1;
        While p[i]<>k Do Inc(i); {Находим место
        k в перестановке}
        Swap(i, i+d[k]);
        <ВЫВОД перестановки>;
        Solve(n);
      End
      Else Begin
        d[k]:=-d[k]; {Изменяем значение прира-
        щения на противоположное}
        Solve(k-1); {Переходим к следующей по-
        зиции в последовательности}
      End;
    End;
  End;
End;

```

3.2. Рассмотрим идею решения на примере. Пусть n равно 8 и дан номер t , равный 37 021. Найдем соответствующую перестановку. Пусть на первом месте записана единица. Таких перестановок $7!$, или 5040 (1*****). При 2 перестановок тоже 5040 (2*****). Итак, $37\,021 \text{ Div } 5040 = 7$. Следовательно, первая цифра в перестановке 8. Новое значение $t = 37\,021 \text{ mod } 5040 = 1741$. В числе 1741 значение $6!$ «сидит» два раза ($2 \cdot 720 = 1440$) — следующая цифра пе-

перестановки 3, а остаток от номера 301. В числе 301 значение $5!$ опять вложено два раза, но цифра 3 занята, берем следующую свободную цифру, она равна 4. Продолжим рассуждения. Окончательный вид перестановки 83456172. Оформление данных рассуждений в виде логики имеет вид:

```

Procedure Solve;
  Var i,j,k,w:Integer;
      q:Set Of 1..9;
      f:Array[0..nmax] Of LongInt;
Begin
  q:= [1..n];
  f[0]:=1;
  For i:=1 To n Do Begin
    p[i]:=0;
    f[i]:=f[i-1]*i; {Считаем факториалы чисел
                    от 1 до n}
  End;
  Dec(t); {t – номер перестановки, глобальная
          переменная}
  For i:=1 To n Do Begin {i – позиция в перестановке}
    num:=t Div f[n-i]; t:=t Mod f[n-i];
    j:=1; {Цифра перестановки}
    k:=1;
    While (k<=num) Do Begin
      If j In q Then Inc(k);
      Inc(j);
    End;
    While Not (j In q) Do Inc(j);
    p[i]:=j; q:=q-[j];
  End;
  <Вывод перестановки>;
End;
```

3.3. Определение по перестановке ее номера без генерации перестановок сводится к построению разложения числа в факториальной системе счисления с учетом занятых цифр и переводу числа в десятичную систему счисления. Например, n равно 8, и есть перестановка 53871462. Ее разложение имеет вид: $7! \cdot 4 + 6! \cdot 2 + 5! \cdot 5 + 4! \cdot 4 + 3! \cdot 0 + 2! \cdot 1 + 1! \cdot 1 = 4 \cdot 5040 + 2 \cdot 720 + 5 \cdot 120 + 4 \cdot 24 + 0 \cdot 6 + 1 \cdot 2 + 1 \cdot 1 = 22\ 305$.

```

Procedure Solve;
  Var i, j, k, w: Integer;
      q: Set Of 1..n;
      f: Array[0..nmax] Of LongInt;
      num: LongInt;
Begin
  q := [1..n];
  f[0] := 1;
  For i := 1 To n Do f[i] := f[i-1]*i; {Вычисляем
  факториалы чисел}
  num := 1;
  For i := 1 To n Do Begin
    q := q - [p[i]]; {Исключаем цифры из числа воз-
    можных}
    k := 0;
    For j := 1 To p[i]-1 Do {Подсчитываем количе-
    ство вхождений данного факториала числа в
    номер}
      If j In q Then Inc(k);
    num := num + f[n-i]*k;
  End;
  WriteLn(num);
End;

```

3.4. Первый шаг — по перестановке вычисляем ее номер (значение переменной *num* в задаче 3.3). Второй шаг — увеличиваем значение *num* на *k*, и третий шаг — по новому значению номера вычисляем перестановку (см. задачу 3.2).

3.5. Антилексикографический порядок на множестве всех перестановок определяется следующим образом. $A_1 < A_2$ тогда и только тогда, когда существует такое $t \leq n$, что $A_1[t] > A_2[t]$ и $A_1[i] = A_2[i]$ для всех $i > t$. Пусть $n = 4$. Перечислим перестановки в антилексикографическом порядке:

1234, 2134, 1324, 3124, 2314, 3214 (первый блок перестановок, их $(n-1)!$),
 1243, 2143, 1423, 4123, 2413, 4213 (второй блок),
 1342, 3142, 1432, 4132, 3412, 4312 (третий блок),
 2341, 3241, 2431, 4231, 3421, 4321 (четвертый блок).

Каждый блок разбивается на подблоки размером $(n-2)!$ и т. д. Явно просматривается рекурсивная схема реализации. Фиксируем в

позиции k очередное возможное значение (k изменяется от n в сторону уменьшения). Удаляем это значение из множества допустимых, переходим к позиции $k-1$ и выполняем для $k-1$ те же действия. Введем глобальную переменную множественного типа $ss := [1..n]$. Первый вызов логики имеет вид $Solve(n+1)$.

```

Procedure Solve(k:Integer);
  Var i:Integer;
  Begin
    Dec(k);
    If k<=0 Then <вывод перестановки>
    Else For i:=n Downto 1 Do
      If i In ss Then Begin
        ss:=ss-[i];
        p[k]:=i; Solve(k);
        ss:=ss+[i];
      End;
    End;
  End;

```

3.6. Принцип решения задачи очевиден: по сочетанию получить его порядковый номер (в лексикографическом порядке), прибавить к этому номеру значение k , и затем по новому номеру сгенерировать требуемое сочетание. Для данных преобразований требуется знать значения C_n^k , поэтому сформируем треугольник Паскаля (формула $C_n^k = C_{n-1}^k + C_{n-1}^{k-1}$) в массиве *SmallSc* (*Var SmallSc: Array[0..maxn, 0..maxn] Of LongInt*, где *maxn* — некоторая константа).

```

Procedure FillSmallSc;
  Var i,j:Integer;
  Begin
    For i:=1 To n Do
      For j:=1 To n Do SmallSc[i,j]:=0;
    For i:=0 To n Do SmallSc[i,0]:=1;
    For i:=1 To n Do
      For j:=1 To k Do
        If SmallSc[i-1,j]*1.0+SmallSc[i-1,j-1]>
          MaxLongInt
        Then SmallSc[i,j]:=MaxLongInt
        Else SmallSc[i,j]:=SmallSc[i-1,j]+
          SmallSc[i-1,j-1]; {Умножение на 1.0 пе-
          реводит целое число в вещественное, по-
          этому переполнения при сложении не про-
          исходит. Стандартный прием, обязатель-

```

ный при «игре» на границах диапазона целых чисел. $MaxLongInt$ – максимальное число типа $LongInt$

End;

По сочетанию требуется получить его номер. Рассмотрим пример. Пусть $n = 7$, $k = 5$ и дано сочетание 34567. Все сочетания в лексикографическом порядке и их номера приведены в табл. Р.4. Из чисто технических соображений припишем перед сочетанием ноль — 034567 (сочетание храним в одномерном массиве C). Подсчитаем количество сочетаний, в которых на первом месте записана 1 (оно есть в массиве $SmallSc$), их $C_6^4 = 15$. Подсчитаем количество сочетаний с двойкой на первом месте, их $C_5^4 = 5$. В общем случае аналогично продолжаем по следующим цифрам сочетания.

Таблица Р.4

№	Сочетание	№	Сочетание
0	12345	11	13457
1	12346	12	13467
2	12347	13	13567
3	12356	14	14567
4	12357	15	23456
5	12367	16	23457
6	12456	17	23467
7	12457	18	23567
8	12467	19	24567
9	12567	20	34567
10	13456		

```
Function GetNumByWh:LongInt;
  Var sc:LongInt;
      i,j:Integer;
Begin
  sc:=1;
  For i:=1 To k Do
    For j:=C[i-1]+1 To C[i]-1 Do
      Inc(sc,SmallSc[N-j,k-i]);
    GetNumByWh:=sc;
  End;
```

Как по номеру t определить соответствующее сочетание? Пусть по-прежнему $n = 7$, $k = 5$ и $t = 17$. Подсчитаем количество сочетаний, в которых на первом месте записана единица, их C_6^4 («израсходован» один элемент из n и один элемент из k). Сравним число t со значением C_6^4 . Если значение t больше C_6^4 , то на первом месте в сочетании записана не единица, а большее число. Вычтем из t значение C_6^4 и продолжим сравнение, но количество «кандидатов» на первое место уменьшилось на единицу. После того как значение на первом месте сочетания определено, аналогичные действия выполняются для второго (и т. д.) места, только используется остаток номера (часть его «поглотила» цифра на первом месте).

```
Procedure GetWhByNum(t:LongInt);
  Var i,j,sc,ls:Integer;
Begin
  sc:=n;
  ls:=0; {Цифра сочетания}
```



```

For i:=1 To k Do Begin {i – номер элемента в со-
    четании; k-i – число элементов в сочетании}
    j:=1;
    While t-SmallSc[sc-j,k-i]>=0 Do Begin {Для
        данной позиции в сочетании и данного чис-
        ла элементов в сочетании находим тот эле-
        мент массива SmallSc, который превышает
        текущее значение t}
        Dec(t,SmallSc[sc-j,k-i]); Inc(j);
        {Невыполнение условия цикла While говорит
        о том, что мы нашли строку таблицы
        SmallSc, т. е. то количество элементов,
        из которых формируется очередное сочета-
        ние, или тот интервал номеров сочетаний
        (относительно предыдущей цифры), в кото-
        ром находится текущее значение номера t}
    End;
    C[i]:=ls+j; {Предыдущая цифра + приращение}
    Inc(ls,j); {Изменяем значение текущей цифры
        сочетания}
    Dec(sc,j); {Изменяем количество элементов,
        из которых формируется остаток сочетания}
End;
End;

```

3.7. Задача, скорее, является упражнением на написание рекурсивной логики. Ее решение (первый вызов *Solve(1, 1)*):

```

Procedure Solve(p,k:Integer);
Var i:Integer;
Begin
    If k>n Then <вывод последовательности>
    Else For i:=p To k Do
        Begin a[k]:=i; Solve(i,k+1); End;
End;

```

3.8. Решив следующую задачу: разбить число a на s слагаемых, записывая результат начиная с позиции k массива, и при этом каждое слагаемое должно быть меньше или равно (больше или равно) значению n , — мы практически сводим все исходные варианты к одному. Тексты решений, подтверждающие данное утверждение, представлены на с. 297.

1)

```
Procedure GetRazb(a,c,n,k:
                Integer);
```

```
Var i:Integer;
```

```
Begin
```

```
  If c=1 Then Begin
```

```
    If a<=n Then Begin
```

```
      m[k]:=a;
```

```
      print(k);
```

```
    End;
```

```
  End
```

```
  Else
```

```
    For i:=n DownTo 1 Do
```

```
      If a-i>=c-1 Then
```

```
        Begin
```

```
          m[k]:=i;
```

```
          GetRazb(a-i,c-1,
                  i,k+1);
```

```
        End;
```

```
  End;
```

```
Procedure Solve;
```

```
Var i:Integer;
```

```
Begin
```

```
  For i:=1 To a Do
```

```
    GetRazb(a,i,a,1);
```

```
End;
```

2)

```
Procedure GetRazb(a,c,n,k:
                Integer);
```

```
Var i:Integer;
```

```
Begin
```

```
  If c=1 Then Begin
```

```
    If a<=n Then Begin
```

```
      m[c]:=a;
```

```
      print(k);
```

```
    End;
```

```
  End
```

```
  Else
```

```
    For i:=1 To n Do
```

```
      If a-i>=c-1 Then
```

```
        Begin
```

```
          m[c]:=i;
```

```
          GetRazb(a-i,c-1,
                  i,k);
```

```
        End;
```

```
  End;
```

```
Procedure Solve;
```

```
Var i:Integer;
```

```
Begin
```

```
  For i:=1 To a Do
```

```
    GetRazb(a,i,a,i);
```

```
End;
```

3)

```
Procedure GetRazb(a,c,n,k:
                Integer);
```

```
Var i:Integer;
```

```
Begin
```

```
  If c=1 Then Begin
```

```
    If a>=n Then Begin
```

```
      m[k]:=a;
```

```
      print(k);
```

```
    End;
```

```
  End
```

```
  Else
```

```
    For i:=n To a Do
```

```
      If a-i>=c-1 Then
```

```
        Begin
```

```
          m[k]:=i;
```

```
          GetRazb(a-i,c-1,
                  i,k+1);
```

```
        End;
```

```
  End;
```

```
Procedure Solve;
```

```
Var i:Integer;
```

```
Begin
```

```
  For i:=a DownTo 1 Do
```

```
    GetRazb(a,i,1,1);
```

```
End;
```

3.9. Выводятся разбиения натурального числа на слагаемые, но с ошибкой повторного вывода одинаковых разбиений, отличающихся только порядком слагаемых. Так, для $n=4$ осуществляется вывод: 4, 3+1, 2+2, 2+1+1, 1+3, 1+2+1, 1+1+2, 1+1+1+1.

3.10. Генерация разбиений в следующем порядке (для $a=4$) 1+1+1+1, 2+1+1, 2+2, 3+1, 4 осуществляется процедурой:

```

Procedure Solve(a,b,k:Integer);
  Var i:Integer;
  Begin
    If (a>0) Then Begin
      If a<b Then b:=a;
      For i:=1 To b Do Begin
        m[k]:=i;
        Solve(a-i,i,k+1);
      End;
    End
    Else <вывод k-1 элементов из массива m>;
  End;

```

Первый вызов имеет вид: $Solve(a, a, 1)$.

К главе 4.

Рекуррентные и нерекуррентные формулы

4.1. Заметим, что, выполнив сложение

$$\begin{aligned}
 f_1^2 &= f_1 f_2, \\
 f_2^2 &= f_2 f_3 - f_1 f_2, \\
 f_3^2 &= f_3 f_4 - f_2 f_3, \\
 &\dots \dots \dots \\
 f_n^2 &= f_n f_{n+1} - f_{n-1} f_n,
 \end{aligned}$$

получаем требуемую формулу.

4.2. а) Характеристический многочлен имеет вид: $P(x) = x^2 - x - 6$. Его корни $x_1 = -2$, $x_2 = 3$. Общее решение $u_n = c_1 3^n + c_2 (-2)^n$. Решая систему уравнений

$$\begin{cases} c_1 + c_2 = 1, \\ 3c_1 - 2c_2 = 8, \end{cases}$$

получаем $c_1 = 2$ и $c_2 = -1$. Решением уравнения является функция $u_n = 2 \cdot 3^n - (-2)^n$.

б) Характеристический многочлен имеет вид: $P(x) = x^2 - 7x + 12$. Его корни $x_1 = 3$, $x_2 = 4$. Общее решение $u_n = c_1 3^n + c_2 4^n$. Решая систему уравнений

$$\begin{cases} c_1 + c_2 = 2, \\ 3c_1 + 4c_2 = 5, \end{cases}$$

получаем $c_1 = 3$ и $c_2 = -1$. Решением уравнения является функция $u_n = 3 \cdot 3^n - 4^n$.

в) Характеристический многочлен однородного уравнения имеет вид: $P(x) = x^2 - 5x + 6$. Его корни $x_1 = 2$, $x_2 = 3$. Общее решение однородного уравнения $u_n = c_1 2^n + c_2 3^n$. Частное решение следует искать в виде $cn3^n$. Подставим в уравнение:

$$cn3^n = 5c(n-1)3^{n-1} - 6c(n-2)3^{n-2} + 6 \cdot 3^n.$$

После раскрытия скобок и приведения к одной степени получаем $c = 18$. Общее решение неоднородного уравнения имеет вид: $u_n = c_1 2^n + c_2 3^n + 18n3^n$. Решая систему уравнений

$$\begin{cases} c_1 + c_2 = 4, \\ 2c_1 + 3c_2 = -54 + 5, \end{cases}$$

получаем $c_1 = 61$, $c_2 = -57$ и решение уравнения $u_n = 61 \cdot 2^n - 57 \cdot 3^n + 18n3^n$.

г) Решением однородного уравнения является константа $u_n = c_1$, поэтому частное решение ищется в виде $u_n = c_2 n^2 + c_3 n$. Подставляем в уравнение:

$$c_2 n^2 + c_3 n = c_2 (n^2 - 2n + 1) + c_3 (n - 1) + n.$$

После перегруппировки правой части получаем

$$c_2 n^2 + c_3 n = c_2 n^2 + (-2c_2 + c_3 + 1)n + (c_2 - c_3).$$

Приравнявая коэффициенты при n , имеем $c_2 = \frac{1}{2}$. Из значения константы получаем $c_3 = \frac{1}{2}$. Общее решение $u_n = c_1 + \frac{1}{2}n^2 + \frac{1}{2}n$. Значение $u_1 = 1$ определяет $c_1 = 0$. Решение уравнения имеет вид: $u_n = \frac{n(n+1)}{2}$.

4.3. Обозначим число способов уплаты как $F(n_1, n_2, \dots, n_m, N)$ и разобьем все способы на два класса — использована или нет купюра достоинством n_m рублей. Если купюра использована, то остается уплатить сумму в $N - n_m$ рублей с помощью купюр n_1, n_2, \dots, n_{m-1} рублей, что можно сделать $F(n_1, n_2, \dots, n_{m-1}, N - n_m)$ способами.

Если же купюра n_m не использовалась, количество способов равно $F(n_1, n_2, \dots, n_{m-1}, N)$. Получена зависимость

$$F(n_1, n_2, \dots, n_m, N) = F(n_1, n_2, \dots, n_{m-1}, N - n_m) + F(n_1, n_2, \dots, n_{m-1}, N),$$

сводящая задачу о выборе m купюр, к задаче о выборе $m - 1$ купюр. Продолжая аналогичные рассуждения, мы сводим задачу к выбору из $m - 2$ купюр и т. д. В процессе вывода часть вариантов отбрасывается, если, например, на некотором шаге k сумма $n_1 + n_2 + \dots + n_k < N$.

4.4. Число Фибоначчи f_n — это число всех последовательностей из 0 и 1 длины n , в которых нет двух единиц, идущих подряд. Количество последовательностей, в которые входит ровно k единиц и $n - k$ нулей, равно C_{n-k+1}^k . Ограничение на значение $k \leq n - k + 1$, т. е. k изменяется от 0 до $\left\lfloor \frac{n+1}{2} \right\rfloor$. Применяя комбинаторный принцип суммирования, получаем

$$f_n = C_{n+1}^0 + C_n^1 + C_{n-1}^2 + \dots + C_{n-p+1}^p,$$

где $p = \left\lfloor \frac{n+1}{2} \right\rfloor$.

4.5. Ответ: $C_{m+k}^m - C_{m+k}^{m-1} = \frac{k-m+1}{k+1} C_{m+k}^m$. Из общего количества способов вычитается число неблагоприятных случаев. Количество возможных очередей — это количество перестановок с повторениями из m сотен и k 50-рублевых — $P_{m,k} = C_{m+k}^m$, $m \leq k$. Подсчитаем количество неблагоприятных случаев при заданных значениях k и m . Представим очередь как последовательность из символов «(» и «)». 50-рублевке соответствует символ «(», сотне — «)». Тогда очередь пройдет без задержки, если для любого места в последовательности (она является перестановкой с повторениями) выполняется условие — количество закрывающих скобок не больше количества открывающих скобок. Неблагоприятный случай — нарушение для последовательности этого условия. Пусть номер места в последовательности, на котором происходит нарушение, равен $2s+1$, т. е. до этого места находится s символов «(» и s символов «)». Пример — $((()())())()$, где $k=9$, $m=8$, $s=5$ (в последовательности выделена нарушающая условие закрывающая скобка). Выполним следующее преобразование. Добавим в начало последовательности символ «(» — $((()())())()$. Затем сделаем инверсию открывающих и закрывающих скобок в последовательности до места $2s+2$ включительно. Получим последовательность $)))()()(((()()$. Что

мы получили? Во-первых, количество открывающих и закрывающих скобок не изменилось (с учетом добавленной открывающей скобки), так как на первых $2s+2$ местах их количество совпало. Во-вторых, в полученной последовательности на первом месте всегда находится закрывающая скобка. Итак, каждой «плохой» исходной последовательности из k открывающих и m закрывающих скобок соответствует последовательность, начинающаяся с закрывающей скобки и состоящая из $k+1$ и m скобок соответственно. По данной схеме может быть получена любая последовательность (перестановка) из $k+1$ открывающих и m закрывающих скобок. Пусть есть такая последовательность. Так как $m \leq k$, то обязательно найдется место, на котором количество скобок сравнивается. Инвертируем до этого места включительно все скобки и отбросим открывающую скобку на первом месте. В результате мы получим неблагоприятную исходную последовательность. Таким образом, есть соответствие между неблагоприятными исходными последовательностями и последовательностями (перестановками) из $k+1$ открывающих скобок и m закрывающих скобок, в которых на первом месте стоит закрывающая скобка. Отбрасывая первую скобку, мы получаем все перестановки с повторениями из $m-1$ закрывающих скобок и $k+1$ открывающих скобок, а их количество равно $P_{m-1, k+1} = C_{m+k}^{m-1}$. Частный случай при $m=k$ дает следующий ответ задачи $\frac{1}{k+1} C_{2k}^k$ — количество «хороших» перестановок и $\frac{k}{k+1} C_{2k}^k$ — «плохих» перестановок из символов «(» и «)».

Мы по-прежнему рассматриваем последовательности (перестановки с повторениями) из m закрывающих и k открывающих скобок. Разобьем все неблагоприятные последовательности на классы. Отнесем к классу s все последовательности, в которых на месте $2s+1$ нарушается условие — количество символов «(» превысило количество символов «)». Значение s изменяется от 0 до $m-1$. Подсчитаем количество перестановок, входящих в s -й класс. До места $2s+1$ перестановка «хорошая», она состоит из s символов «(», и s символов «)». Количество таких перестановок $\frac{1}{s+1} C_{2s}^s$. На месте $2s+1$ записан символ «(», а затем идет любая перестановка из $m-s-1$ символов «)» и $k-s$ символов «(». Число таких перестановок — $P_{m-s-1, k-s} = C_{m+k-2s-1}^{m-s-1}$. Согласно принципу умножения, общее количество перестановок, относящихся к классу s , равно $\frac{1}{s+1} C_{2s}^s C_{m+k-2s-1}^{m-s-1}$. Так как общее количество «плохих» перестановок равно C_{m+k}^{m-1} , то

справедлива формула

$$C_0^0 C_{m+k-1}^{m-1} + \frac{1}{2} C_2^1 C_{m+k-3}^{m-2} + \frac{1}{3} C_4^2 C_{m+k-5}^{m-3} + \dots + \frac{1}{m} C_{2m-2}^{m-1} C_{k-m+1}^0 = C_{m+k}^{m-1}.$$

По аналогии разобьем все «хорошие» перестановки на классы, количество таких перестановок при $m=k$ равно $\frac{1}{k+1} C_{2k}^k$. К классу s отнесем все перестановки, в которых на месте $2s$ количество символов «(» равно количеству символов «)». Каждая такая перестановка разбивается на две части: на месте $2s$ количество символов выравняется — число таких перестановок равно $\frac{1}{s} C_{2s-1}^{s-1}$. После этого записаны $k-s$ символов «(» и $k-s$ символов «)», и они образуют хорошую перестановку. Количество таких перестановок — $\frac{1}{k-s+1} C_{2k-2s}^{k-s}$. По принципу произведения получаем, что класс s состоит из $\frac{1}{s(k-s+1)} C_{2s-1}^{s-1} C_{2k-2s}^{k-s}$ перестановок. Таким образом, мы получаем тождество

$$\sum_{s=1}^k \frac{1}{s(k-s+1)} C_{2s-1}^{s-1} C_{2k-2s}^{k-s} = \frac{1}{k+1} C_{2k}^k.$$

Введя обозначение $T_s = \frac{1}{s+1} C_{2s}^s$, последнее тождество можно переписать в виде

$$T_0 T_{k-1} + T_1 T_{k-2} + \dots + T_{k-1} T_0 = T_k.$$

4.6. Обозначим количество способов разбиения множества из $n+1$ предметов через B_n . На первом шаге множество разбивается n способами, и множество всех процессов разбиения распадается на n классов — в s -й класс попадают все процессы, в которых первое подмножество состоит из s предметов. Первое подмножество разбивается на классы B_{s-1} различными процессами, второе содержит $n-s+1$ элементов и разбивается на части B_{n-s} процессами. Из принципа умножения следует, что для класса s существует $B_{s-1} B_{n-s}$ различных процессов разбиения. Из принципа сложения следует справедливость следующего рекуррентного соотношения:

$$B_n = B_0 B_{n-1} + B_1 B_{n-2} + \dots + B_{n-1} B_0.$$

Из решения предыдущей задачи следует, что этому соотношению удовлетворяют числа $B_n = \frac{1}{n+1} C_{2n}^n$, при этом $T_0 = B_0 = 1$, $T_1 = B_1 = 1$, $T_2 = B_2 = 2$. Итак, число процессов последовательного деления упорядоченного множества из $n+1$ элементов равно $B_n = \frac{1}{n+1} C_{2n}^n$.

4.7. Каждый способ умножения есть процесс разбиения n чисел на подмножества из одного элемента в каждом (см. задачу 4.6). Согласно результату предыдущей задачи, число различных способов умножения n чисел равно числу различных процессов разбиения множества из n элементов — $T_{n-1} = \frac{1}{n} C_{2n-2}^{n-1}$. Однако при перестановке n чисел (количество перестановок $n!$), а затем запуске процесса разбиения получается тот же результат, следовательно, общее количество способов перемножения n чисел равно $(n-1)! C_{2n-2}^{n-1}$.

4.8. Запись $a_1/a_2/.../a_n$ бессмысленна (знак «/» означает деление), если не указан порядок, в котором следует выполнять деление. Каждый способ деления — это правильная расстановка скобок (задача 4.5) или процесс разбиения n -элементного множества на подмножества из одного числа (задача 4.6). Количество таких процессов разбиения равно $\frac{1}{n} C_{2n-2}^{n-1}$.

4.9. Подсчитаем количество трехзначных чисел, имеющих заданную сумму цифр n . К трехзначным числам отнесем и числа 001, 013. Обозначим через $f(k, 9, n)$ количество чисел, которые разбиваются на k (в данном случае на три) слагаемых с суммой n , и слагаемые берутся из интервала от 0 до 9. Имеет место следующее рекуррентное соотношение:

$$f(3, 9, n) = f(2, 9, n) + f(2, 9, n-1) + f(2, 9, n-2) + \dots + f(2, 9, n-9).$$

По аналогии:

$$f(2, 9, n) = f(1, 9, n) + f(1, 9, n-1) + \dots + f(1, 9, n-9).$$

Очевидно, что $f(1, 9, n) = 1$ при $0 \leq n \leq 9$ и $f(1, 9, n) = 0$ в противном случае. Подсчет по данным рекуррентным соотношениям приведен в табл. P.5 и P.6.

Таблица P.5

$k \backslash n$	0	1	2	3	4	5	6	7	8	9	10	11	12	13
1	1	1	1	1	1	1	1	1	1	1	0	0	0	0
2	1	2	3	4	5	6	7	8	9	10	9	8	7	6
3	1	3	6	10	15	21	28	36	45	55	63	69	73	75

Таблица P.6

$k \backslash n$	14	15	16	17	18	19	20	21	22	23	24	25	26	27
1	0	0	0	0	0	0	0	0	0	0	0	0	0	0
2	5	4	3	2	1	0	0	0	0	0	0	0	0	0
3	75	73	69	63	55	45	36	28	21	15	10	6	3	1

Для подсчета счастливых билетов числа в строке 3 требуется возвести в квадрат и сложить. Числа в 3-й строке указывают, сколькими способами можно набрать конкретную сумму на четных местах. Но для каждой суммы цифр на четных местах существует указанное в третьей строке количество билетов с данной суммой на нечетных местах. Ответ задачи: 55 252.

4.10. Первый способ решения. Пусть число рыцарей равно $2n$, рыцари имеют уникальные имена (пронумерованы) и $n > 1$. Введем следующие обозначения: A_n — число способов рассадить рыцарей так, чтобы никакие два врага не сидели рядом; B_n — число способов, в которых только одна пара врагов сидит рядом; C_n — число способов, в которых две враждующие пары рыцарей сидят рядом.

Выразим A_{n+1} через A_n , B_n и C_n . Рассмотрим один способ из A_{n+1} и удалим $(n+1)$ -ю пару враждующих рыцарей из-за стола. После удаления возможны три случая: враждующие пары не сидят рядом; рядом сидит одна враждующая пара; рядом сидят две враждующие пары (см. рис. P.7).

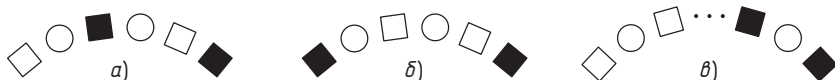


Рис. P.7. Иллюстрация к задаче 4.10. Кружками обозначена удаляемая пара враждующих рыцарей. Закрашенные и незакрашенные квадратики обозначают разные пары враждующих рыцарей. Случай *a* — враждующих пар нет; случай *б* — одна враждующая пара; *в* — две враждующие пары

Вернем $(n+1)$ -ю пару за стол так, чтобы после этого не было ни одной пары враждующих рыцарей. Если за столом были две пары враждующих рыцарей, то сделать это можно только двумя способами — посадить рыцарей между враждующими парами. Рыцари имеют номера, поэтому два способа. Так как число способов с двумя враждующими парами равно C_n , то результат равен $2C_n$. Если за столом только одна враждующая пара, то один из входящих рыцарей должен сесть между ними, а второй — в любое из оставшихся $2n-1$ мест. После того как первый рыцарь занял место (два способа — первый или второй из вошедших), за столом окажется $2n+1$ мест для второго рыцаря. Из этих мест два — соседние с вошедшим рыцарем. Остается $2n-1$ мест. Число способов рассадки с одной враждующей парой равно B_n , получаемое количество способов равно $2(2n-1)B_n$. И наконец, случай, когда за столом нет рядом сидящих враждующих пар. Для первого рыцаря $2n$ мест, а для второго

$2n - 1$. Получаем $2n(2n - 1)A_n$ способов. Рекуррентное соотношение имеет вид:

$$A_{n+1} = 2n(2n - 1)A_n + 2(2n - 1)B_n + 2C_n.$$

Для вычисления A_n при всех значениях n требуется также выразить B_{n+1} , C_{n+1} через A_n , B_n , C_n .

Пусть среди $2n + 2$ ($n > 1$) сидящих за столом рыцарей рядом сидит одна враждующая пара. Удалим ее. За столом осталось $2n$ рыцарей, и логически возможны два случая: за столом не осталось рядом сидящих враждующих рыцарей; за столом осталась одна враждующая пара. Во втором случае удаленных рыцарей можно вернуть за стол единственным образом, иначе окажется две враждующие пары. В первом случае удаленную пару рыцарей можно посадить между любыми двумя рыцарями — $2n$ мест. С учетом того что рыцари могут меняться местами, получаем $4n$ способов. Враждующей парой может быть любая от 1 до $n + 1$. Получаем рекуррентное соотношение

$$B_{n+1} = 4n(n + 1)A_n + 2(n + 1)B_n.$$

Рассмотрим случай, когда среди $2n + 2$ рыцарей две враждующие пары. Номера этих пар можно выбрать $C_{n+1}^2 = \frac{n(n+1)}{2}$ способами. Сделаем замену — каждую пару заменим одним рыцарем, причем «объединенных» рыцарей считаем враждующими. За столом $2n$ рыцарей, и логически возможны два варианта: за столом нет враждующих пар; за столом одна враждующая пара из новых рыцарей. В первом варианте (число таких способов A_n) вернуться к исходному количеству рыцарей можно четырьмя способами (учитывается возможность изменения порядка рыцарей в каждой паре), поэтому получаем зависимость $2n(n + 1)A_n$ способов. Во втором варианте имеется B_n способов. Если указать конкретную пару, то число способов равно $\frac{B_n}{n}$. Возврат к исходному количеству рыцарей делается четырьмя способами. Получаем $2(n + 1)B_n$ способов. Результат —

$$C_{n+1} = 2n(n + 1)A_n + 2(n + 1)B_n.$$

Получена система рекуррентных соотношений:

$$\begin{cases} A_{n+1} = 2(2n - 1)(nA_n + B_n) + 2C_n, \\ B_{n+1} = 2(n + 1)(2nA_n + B_n), \\ C_{n+1} = 2(n + 1)(nA_n + B_n), \end{cases}$$

верная при $n \geq 2$. Для $n = 2$ имеем $A_2 = 2$, $B_2 = 0$, $C_2 = 4$.

Составление небольшой программы для вычисления A_n , B_n , C_n дает ответ задачи при $n = 6$: $A_6 = 12\,771\,840$.

Второй способ решения. Через $f(m, n)$ обозначим число способов рассадить n пар рыцарей за круглым столом так, что ровно m пар враждующих рыцарей окажутся рядом. Необходимо определить зависимость $f(m, n+1)$ от $f(k, n)$ при $k = m-1, m, m+1, m+2$. Итак, за столом находилось n пар рыцарей, появилась $(n+1)$ -я пара рыцарей. Требуется подсчитать количество случаев, при которых за столом окажется m враждующих пар.

Предположим, что за столом было $m-1$ сидящих рядом пар враждующих рыцарей, и количество способов расположения рыцарей в данной ситуации $f(m-1, n)$. При добавлении новой пары должно оказаться m сидящих рядом враждующих пар, поэтому новая пара рыцарей обязана сесть рядом, при этом нельзя разбивать имеющиеся враждующие пары. Всего есть $2n$ мест, из которых $m-1$ мест недоступно. На каждое доступное место рыцари могут сесть двумя способами. Общая зависимость $2(2n-m+1)f(m-1, n)$.

За столом — ситуация, в которой m пар враждующих рыцарей сидят рядом. У вошедшей пары две возможности: или сесть рядом, разбив при этом враждующую пару, или сесть врозь, не разбив при этом ни одной враждующей пары. Первая возможность реализуется $2m$ способами, вторая $(2n-m)(2n-m-1)$ способами. Общая зависимость $((2n-m)^2 - 2n + 3m)f(m, n)$.

За столом среди $2n$ рыцарей сидит рядом $m+1$ пар врагов. В этом случае один из рыцарей должен сесть между двумя врагами, а второй так, чтобы не разбить ни одной враждующей пары. Первый вариант реализуется $m+1$ способами, а второй $2n-m-1$. Общая зависимость $2(m+1)(2n-m-1)f(m+1, n)$. Происхождение множителя два очевидно.

И наконец, последний логически возможный случай — за столом сидит рядом $m+2$ пар врагов. Для того чтобы образовалось m пар, требуется вошедшую пару рыцарей рассадить между враждующими рыцарями. Для первого рыцаря существует $m+2$ мест, а для второго $m+1$. Общая зависимость имеет вид $(m+1)(m+2)f(m+2, n)$.

Обосновано следующее рекуррентное соотношение:

$$f(m, n+1) = 2(2n-m+1)f(m-1, n) + ((2n-m)^2 - 2n + 3m)f(m, n) + 2(m+1)(2n-m-1)f(m+1, n) + (m+1)(m+2)f(m+2, n).$$

Начальные значения, получаемые простым подсчетом, равны: $f(0, 2) = 2$, $f(1, 2) = 0$, $f(2, 2) = 4$. Рекурсивная функция реализации данного рекуррентного соотношения пишется просто. Подсчет $f(0, 6)$ дает значение 12 771 840.

Третий способ решения. Обозначим через A_k множество способов рассадить рыцарей так, чтобы k -я пара врагов находилась рядом. Определим значение $N(A_1, A_2, \dots, A_k)$ — первые k пар врагов сидят рядом. Первую пару можно посадить за стол $4n$ способами. Объединим оставшиеся $k - 1$ пар в один объект. Эти $k - 1$ пар и $2n - 2k$ остальных рыцарей переставляются $(2n - k - 1)!$ способами. В каждой конкретной рассадке можно менять местами некоторых рядом сидящих врагов. Такие пересадки делаются 2^{k-1} способами. Получаем $N(A_1, A_2, \dots, A_k) = 4n \cdot 2^{k-1} \cdot (2n - k - 1)!$. Учитывая, что k пар выбирается C_n^k способами, и используя принцип включения и исключения, получаем:

$$|A'_1 \cap A'_2 \cap A'_3 \cap \dots \cap A'_k| = (2n)! - C_n^1 2^2 n(2n-2)! + C_n^2 2^3 n(2n-3)! - \dots \\ \dots + (-1)^k C_n^k 2^{k+1} n(2n-k-1)! + \dots + (-1)^n 2^{n+1} n!.$$

4.11. а) Ориентируясь на равенство $u_n - u_{n-1} - 6u_{n-2} = 0$, запишем

$$U(x) - xU(x) - 6x^2U(x) = u_0 + (u_1 - u_0)x + (u_2 - u_1 - 6u_0)x^2 + \dots \\ \dots + (u_n - u_{n-1} - 6u_{n-2})x^n + \dots$$

Отсюда $U(x) - xU(x) - 6x^2U(x) = u_0 + (u_1 - u_0)x = 1 + 3x$. Решая относительно $U(x)$, получаем $U(x) = \frac{1+3x}{(1-3x)(1+2x)}$. Известно, что дробь вида $\frac{Ax+B}{(1-Cx)(1-Dx)}$ при $C \neq D$ равна $\frac{a}{1-Cx} + \frac{b}{1-Dx}$ при некоторых постоянных a и b . Для рассматриваемого примера $a = \frac{6}{5}$ и $b = -\frac{1}{5}$. Следовательно,

$$U(x) = \frac{6}{5(1-3x)} - \frac{1}{5(1+2x)} = \\ = \frac{6}{5}(1 + 3x + 3^2x^2 + 3^3x^3 + \dots + 3^n x^n + \dots) - \\ - \frac{1}{5}(1 + (-2)x + (-2)^2x^2 + \dots + (-2)^n x^n + \dots).$$

Отсюда $u_n = \frac{1}{5}(6 \cdot 3^n - (-2)^n)$.

б) Известно, что $\frac{1}{1-4x} = 1 + 4x + 4^2x^2 + 4^3x^3 + \dots + 4^n x^n + \dots$. Поэтому

$$U(x) - 3xU(x) - \frac{1}{1-4x} = \\ = u_0 - 1 + (u_1 - 3u_0 - 4)x + (u_2 - 3u_1 - 4^2)x^2 + \dots + (u_n - 3u_{n-1} - 4^n)x^n + \dots$$

Получаем $U(x) = \frac{1}{(1-4x)(1-3x)} = \frac{a}{1-4x} + \frac{b}{1-3x}$. Находим a и b : $a = 4$, $b = -3$. Следовательно,

$$U(x) = 4(1 + 4x + 4^2x^2 + 4^3x^3 + \dots + 4^n x^n + \dots) - \\ - 3(1 + 3x + 3^2x^2 + 3^3x^3 + \dots + 3^n x^n + \dots).$$

Отсюда $u_n = 4^{n+1} - 3^{n+1}$.

в) Производящая функция, каждый член которой имеет множителем n , имеет вид: $\frac{x}{(1-x)^2} = x(1 + 2x + 3x^2 + \dots + nx^{n-1} + \dots)$. Тогда

$$U(x) - 2xU(x) - \frac{x}{(1-x)^2} = u_0 + (u_1 - 2u_0 - 1)x + (u_2 - 2u_1 - 2)x^2 + \dots \\ \dots + (u_n - 2u_{n-1} - n)x^n + \dots$$

Получаем $U(x) - 2xU(x) - \frac{x}{(1-x)^2} = 3$. Отсюда $U(x) = \frac{3-5x+3x^2}{(1-2x)(1-x)^2}$.

Известно, что дробь вида $\frac{Ax^2+Bx+C}{(1-Dx)(1-Ex)(1-Fx)}$ при различных константах D, E, F равна $\frac{a}{1-Dx} + \frac{b}{1-Ex} + \frac{c}{1-Fx}$ для некоторых постоянных a, b, c , а при различных D и E справедливо $\frac{Ax^2+Bx+C}{(1-Dx)^2(1-Ex)} = \frac{a}{1-Dx} + \frac{b}{(1-Dx)^2} + \frac{c}{1-Ex}$. Следовательно,

$$U(x) = \frac{3-5x+3x^2}{(1-2x)(1-x)^2} = \frac{a}{1-x} + \frac{b}{(1-x)^2} + \frac{c}{1-2x}.$$

Найдем a, b, c . Приводим к общему знаменателю и приравниваем коэффициенты при $1, x$ и x^2 , получаем систему уравнений

$$\begin{cases} a + b + c = 3, \\ 3a + 2b + 2c = 5, \\ 2a + c = 3. \end{cases}$$

Решая ее, находим $a = -1, b = -1, c = 5$. Следовательно,

$$U(x) = -(1 + x + x^2 + \dots + x^n + \dots) - (1 + 2x + 3x^2 + \dots + (n+1)x^n + \dots) + \\ + 5(1 + 2x + 2^2x^2 + \dots + 2^n x^n + \dots)$$

и $u_n = -n - 2 + 5 \cdot 2^n$.

4.12. Производящая функция имеет вид:

$$U(x) = (x + x^2 + x^3 + x^4)(1 + x^2 + x^4 + x^6)(x + x^3 + x^5 + x^7)(1 + x + x^2).$$

Коэффициент при x^{10} дает ответ задачи, он равен 22.

4.13. Производящая функция имеет вид:

$$U(x) = (1 + x + x^2)^3(1 + x + x^2 + x^3 + \dots)^2.$$

Так как при всех $n \geq 0$ справедливо $\frac{1-x^{n+1}}{1-x} = 1 + x + x^2 + x^3 + \dots + x^n$ (доказывается простыми выкладками), то производящая функция выглядит следующим образом:

$$U(x) = \left(\frac{1-x^3}{1-x}\right)^3 \frac{1}{(1-x)^2} = \frac{(1-x^3)^3}{(1-x)^5}.$$

Так как $(1-x^3)^3 = 1 - 3x^3 + 3x^6 - x^9$ и $\frac{1}{(1-x)^5} = 1 + 5x + C_6^2 x^2 + \dots + C_{5+n-1}^n x^n + \dots$, то по правилу умножения многочленов получаем коэффициент при x^{12} , он равен $C_{5+12-1}^{12} - 3C_{5+9-1}^9 + 3C_{5+6-1}^6 - C_{5+3-1}^3$, или 270.

4.14. Производящая функция записывается в виде:

$$U(x) = (1 + x^5 + x^{10} + \dots)(1 + x^3 + x^6 + \dots)(1 + x + x^2 + x^3 + x^4) \times \\ \times (x^3 + x^4 + \dots)(1 + x + x^2).$$

По-другому,

$$U(x) = \frac{1}{1-x^5} \cdot \frac{1}{1-x^3} \cdot \frac{1-x^5}{1-x} \cdot \frac{x^3}{1-x} \cdot \frac{1-x^3}{1-x} = \frac{x^3}{(1-x)^3}.$$

Окончательный вид производящей функции:

$$U(x) = x^3(1 + 3x + C_4^2 x^2 + \dots + C_{3+n-1}^n x^n + \dots).$$

Коэффициент при x^n равен C_{n-1}^{n-3} и при x^{20} — $C_{19}^{17} = 171$.

4.15. Ответ: $U(x) = \frac{1}{1-x^2} \cdot \frac{1}{1-x^4} \cdot \frac{1}{1-x^6} \cdot \frac{1}{1-x^8} \cdot \dots$

4.16. а) $R(x, C) = (1 + 3x + x^2)(1 + 2x) + x(1 + 3x + 2x^2)$; б) $R(x, C) = (1 + 2x)^4$; в) $R(x, C) = (1 + x)^2(1 + 2x)^2 + x(1 + x)^2(1 + 2x)$; г) $R(x, C) = (1 + 3x)(1 + 5x + 4x^2) + x(1 + 2x)$.

4.17. а) $R(x, C) = 1 + 6x + 11x^2 + 6x^3$, количество размещений равно $5! - 6 \cdot 4! + 11 \cdot 3! - 6 \cdot 2!$; б) $R(x, C) = 1 + 12x + 54x^2 + 112x^3 + 108x^4 + 48x^5 + 8x^6$, количество размещений равно $6! - 12 \cdot 5! + 54 \cdot 4! - 112 \cdot 3! + 108 \cdot 2! - 48 \cdot 1! + 8 \cdot 0! = 80$.

4.18. Пронумеруем вершины многоугольника, например, по часовой стрелке, числами от 1 до $n+3$ и обозначим искомое число как u_{n+3} . В любом разбиении существует треугольник, содержащий ребро многоугольника между вершинами $n+2$ и $n+3$. Третьей вершиной треугольника может быть любая из вершин от 1 до $n+1$. Предположим, что это вершина с номером k . Исходный многоугольник можно представить как выделенный треугольник и два многоугольника с количеством вершин $k+1$ и $n+3-k$. Эти многоугольники можно разбить на треугольники u_{k+1} и u_{n+3-k} способами. Осталось просуммировать по k и принять $u_2 = 1$. Получаем рекуррентное уравнение вида:

$$u_{n+3} = \sum_{k=1}^{n+1} u_{k+1} u_{n+3-k}.$$

Введем последовательность $v_n = u_{n+2}$, $n \geq 0$, для которой рекуррентное уравнение переписется в виде: $v_{n+1} = \sum_{k=0}^n v_k v_{n-k}$, а это не что иное, как коэффициенты в произведении двух одинаковых рядов (производящих функций $V(x)$) для последовательностей $\{v_n\}$ и $\{v_n\}$. Имеем

$$\sum_{n=0}^{\infty} v_{n+1} x^n = \sum_{n=0}^{\infty} \left(\sum_{k=0}^n v_k v_{n-k} \right) x^n.$$

Выражение через $V(x)$ имеет вид: $\frac{V(x) - x_0}{x} = V(x)V(x)$, или $xV^2(x) - V(x) + 1 = 0$. Получаем $V(x) = \frac{1 \pm \sqrt{1-4x}}{2x}$ (берется один корень со знаком минус, второй приводит к отрицательным значениям). Разложение в ряд Тейлора функции $\sqrt{1-x}$ имеет вид $1 - \sum_{k=1}^{\infty} \frac{2C_{2k-2}^{k-1}}{4^k k} x^k$.

Для функции $\sqrt{1-4x}$ разложение выглядит следующим образом: $1 - \sum_{k=1}^{\infty} \frac{2C_{2k-2}^{k-1}}{k} x^k$. Тогда

$$V(x) = \frac{1 - \sqrt{1-4x}}{2x} = \sum_{k=1}^{\infty} \frac{C_{2k-2}^{k-1}}{k} x^{k-1} = \sum_{k=0}^{\infty} \frac{C_{2k}^k}{k+1} x^k.$$

Отсюда $u_{n+2} = v_n = \frac{C_{2n}^n}{n+1}$, а это не что иное, как нерекуррентная формула для чисел Каталана.

4.19. Рассмотрим идею решения на примере, приведенном в тексте задачи. Входные данные запишем в массив D . Он имеет вид:

$$D = \begin{pmatrix} 7 & 0 & 0 & 0 & 0 \\ 3 & 8 & 0 & 0 & 0 \\ 8 & 1 & 0 & 0 & 0 \\ 2 & 7 & 4 & 4 & 0 \\ 4 & 5 & 2 & 6 & 5 \end{pmatrix}.$$

Вычислим значения элементов массива R : $Array[1..MaxN, 0..MaxN]$ (предварительно обнулив его элементы), используя рекуррентные соотношения:

$$R[i, j] = \begin{cases} D[i, j] & \text{при } i=1 \text{ и } j=1, \\ \max(R[i-1, j], R[i-1, j-1]) + D[i, j] & \text{при } i>1 \text{ и } 1 \leq j \leq i, \end{cases}$$

где \max — максимальное из двух чисел. Получаем

$$R = \begin{pmatrix} 0 & 7 & 0 & 0 & 0 & 0 \\ 0 & 10 & 15 & 0 & 0 & 0 \\ 0 & 18 & 16 & 15 & 0 & 0 \\ 0 & 20 & 25 & 20 & 19 & 0 \\ 0 & 24 & 30 & 27 & 26 & 24 \end{pmatrix}.$$

После этого останется найти наибольшее значение в последней строке матрицы R , оно равно 30.

4.20. Определим массив Op . Его элемент $Op[i]$ предназначен для хранения минимального количества операций при возведении k в степень i ($Op[1]=0$, $Op[2]=1$). Для вычисления выражения, дающего n -ю степень числа k , арифметические действия выполняют в некоторой последовательности, согласно приоритетам и расставленным скобкам. Рассмотрим последнее выполненное действие. Если это было умножение, то сомножителями являются натуральные степени числа k , в сумме дающие n . Степень каждого из сомножителей меньше n , и ранее вычислено, за какое минимальное число операций ее можно получить. Итак:

$$opn1 = \min_{p: 1 \leq p < i} (Op[p] + Op[i-p] + 1).$$

Если последним действием было возведение в степень, то

$$opn2 = \min_{\substack{p - \text{делитель } i, \\ p \neq 1}} (Op[i \text{ Div } p] + p - 1).$$

Получаем $Op[i] = \min(opn1, opn2)$ для всех i от 3 до n .

Ц	1	2	3	3	4	5	5	6	7
Т	1	2	2	3	4	5	5	6	7
Г	1	2	2	3	4	4	5	6	6
Г	1	2	2	3	4	4	5	5	5
А	1	1	2	3	4	4	4	4	4
Т	1	1	2	3	3	4	4	4	4
А	1	1	2	3	3	3	3	3	3
Ц	0	1	2	2	2	2	2	2	2
Г	0	1	1	1	1	1	1	1	1
i	А	Г	Ц	А	А	Т	Г	Г	Т
	j								

Рис. Р.8. Иллюстрация логики решения задачи поиска общей подстроки

4.21. Рассмотрим слова, приведенные в формулировке задачи, — ГЦАТАГГТЦ и АГЦААТГГТ. Схема решения иллюстрируется рис. Р.8. В дополнительном массиве (логического типа) формируются признаки «окрашенности». Элемент массива «темный», если строке и столбцу, в котором он находится, соответствуют одинаковые буквы. Заполнение массива W основано на следующих рекуррентных соотношениях:

$$W[i, j] = \begin{cases} \text{при } i = 1 \text{ равно } 0, \text{ если } s_1[1] \neq s_2[j] \text{ при } 1 \leq j < k, \\ \quad \text{и равно } 1 \text{ при } k \leq j \leq m, s_1[1] = s_2[k], \\ \text{при } j = 1 \text{ равно } 0, \text{ если } s_1[i] \neq s_2[1] \text{ при } 1 \leq i < l, \\ \quad \text{и равно } 1 \text{ при } l \leq i \leq n, s_1[l] = s_2[1], \\ \max(W[i-1, j], W[i, j-1]), \\ \quad \text{если элемент «светлый»}, 2 \leq i \leq n, 2 \leq j \leq m, \\ \max(W[i-1, j], W[i, j-1], W[i-1, j-1] + 1), \\ \quad \text{если элемент «темный»}, 2 \leq i \leq n, 2 \leq j \leq m. \end{cases}$$

В чем суть аддитивности задачи? Решается аналогичная задача, но для подстрок меньшей длины, и результат ее решения остается неизменным при переходе к подстрокам большей длины. Рассмотрим первый столбец ($j = 1$). Определяется длина общей подпоследовательности в словах ГЦАТАГГТЦ и А. Единица появляется в третьей строке, ответ положительный. Длина общей части равна 1. Рассмотрим появление 3 в $W[3, 4]$. Выясняется длина общей части

подстроку ГЦА и АГЦА. $W[3, 3]$ — это длина общей части ГЦА и АГЦ, добавление буквы А ко второму слову изменяет общую часть (с ГЦ на ГЦА). Значение $W[2, 4]$ — это длина общей части ГЦ и АГЦА, добавление буквы А к ГЦ опять же изменяет значение общей части. Длина общей части ГЦ и АГЦ равна 2 ($W[2, 3]$), добавляя букву А к концу каждого слова (элемент «темный»), получаем, что длина общей части равна 3.

Общая подпоследовательность формируется при «обратном» просмотре сформированного массива W от элемента $W[n, m]$. Путь — это элементы, отличающиеся по значениям на единицу, буквы из «закрашенных» элементов выписываются. Последовательность букв — ответ задачи. Для примера из формулировки задачи две подпоследовательности: ГЦААГГТ и ГЦАТГГТ. Вывод одной подпоследовательности реализуется с помощью следующего фрагмента программного кода (нерекурсивный вариант):

```
s:=''; {Строковая величина для хранения
        результата}
i:=n; j:=m;
While (i>0) And (j>0) Do
  If s1[i]=s2[j] Then Begin
    s:=s1[i]+s; i:=i-1; j:=j-1;
  End Else
    If W[i-1, j]>=W[i, j-1]
      Then i:=i-1 Else j:=j-1;
WriteLn(s);
```

4.22. Рассмотрим идею решения на одном из примеров в формулировке задачи. Создадим массив $W[0..n, 0..m]$, n и m — количество символов соответственно в строках (словах) s_2 и s_1 . Количество строк и столбцов на единицу больше, чем количество символов в соответствующих словах. Выпишем рекуррентные соотношения:

$$W[i, j] = \begin{cases} 1 & \text{при } i=0 \text{ и любых } j \text{ от } 0 \text{ до } n, \\ 0 & \text{при } j=0 \text{ и } i \text{ от } 1 \text{ до } m, \\ W[i, j-1] & \text{при } s_2[i] \neq s_1[j] \text{ и } 1 \leq i \leq m, 1 \leq j \leq n, \\ W[i-1, j] + W[i, j-1] & \text{при } s_2[i] = s_1[j] \text{ и } 1 \leq i \leq m, 1 \leq j \leq n. \end{cases}$$

Заполнение строки и столбца с нулевыми номерами условно. Пустую строку можно получить из первой строки одним способом —

ничего не брать. Массив W после заполнения имеет вид:

$$W = \begin{matrix} & & 0 & a & a & a & b & b & b & b & c & c & c \\ \begin{matrix} 0 \\ a \\ b \\ c \end{matrix} & \left(\begin{array}{cccccccccccc} 1 & 1 & 1 & 1 & 1 & 1 & 1 & 1 & 1 & 1 & 1 & 1 \\ 0 & 1 & 2 & 3 & 3 & 3 & 3 & 3 & 3 & 3 & 3 & 3 \\ 0 & 0 & 0 & 0 & 3 & 6 & 9 & 12 & 12 & 12 & 12 & 12 \\ 0 & 0 & 0 & 0 & 0 & 0 & 0 & 0 & 0 & 12 & 24 & 36 \end{array} \right) \end{matrix}.$$

В чем суть аддитивности задачи? Пусть из s_2 взят только первый символ « a ». В этом случае задача сводится к подсчету его количества в первом слове s_1 . Пусть подсчитано число способов вхождения подстроки $s_2[1..t]$ в подстроку $s_1[1..k]$ и символ $s_2[t]$ больше не встречается среди символов $s_1[k+1..n]$. В этом случае результат — $W[t, k]$ остается неизменным. Например, символ « a » по вертикали и первый символ « b » по горизонтали. Способов получения строки « a » из строки « $aaab$ » столько же, сколько из строки « aaa ». Предположим, что $s_2[t] = s_1[k]$ (например, $t = 2$ и $k = 5$, $W[2, 5] = 6$). «Забывая» о символе $s_2[t]$, фиксируется количество вхождений $s_2[1..t-1]$ в $s_1[1..k]$. Не учитывая символ $s_1[k]$, фиксируем число вхождений $s_2[1..t]$ в $s_1[1..k-1]$. Общее количество способов для $s_2[1..t]$ и $s_1[1..k]$ равно сумме этих величин. Например, « b » по вертикали и второе « b » по горизонтали, количество способов — это сумма способов для строк « ab » и « $aaab$ » (без последнего символа во второй строке), а также — « a » и « $aaabb$ » (последние символы строк совпадают).

4.23. Определим суть аддитивности задачи. Значение $W[i, j]$ равно минимальному количеству символов, которые требуется вставить в подстроку $s[i..j]$ для того, чтобы она стала палиндромом. Очевидно, что $i \leq j$, т. е. требуется сформировать «верхний треугольник» массива W . К очевидным относятся и утверждения о том, что подстрока из одного символа является палиндромом ($W[i, i] = 0$ для i от 1 до n) и при $s[i] = s[j]$, $i \neq j$, количество символов, которые требуется вставить в подстроку, равно количеству символов, вставляемых в подстроку $s[i+1..j-1]$. Выпишем рекуррентные соотношения.

$$W[i, j] = \begin{cases} 0 & \text{при } i = j \text{ и } 1 \leq i, j \leq n, \\ W[i+1, j-1] & \text{при } s[i] = s[j], \\ \min(W[i+1, j], W[i, j-1]) + 1 & \text{при } s[i] \neq s[j], \end{cases}$$

где \min — минимальное из двух чисел. Последнее утверждение говорит о том, что при $s[i] \neq s[j]$ выбирается минимальное значение для подстрок $s[i+1..j]$ и $s[i..j-1]$ (они должны быть вычислены

ранее). К этому значению добавляется единица, соответствующая вставке (фактически это делать не надо, нас интересует только количество символов) одного символа в первом случае на место $j + 1$, во втором — на место $i - 1$. Из изложенного следует принцип заполнения W — лучше всего это делать по нисходящим диагоналям. Ответом задачи является значение $W[1, n]$.

Для примера из формулировки задачи $s = \langle \text{Ab3bd} \rangle$ и W имеет вид:

$$W = \begin{pmatrix} 0 & 1 & 2 & 1 & 2 \\ - & 0 & 1 & 0 & 1 \\ - & - & 0 & 1 & 2 \\ - & - & - & 0 & 1 \\ - & - & - & - & 0 \end{pmatrix}.$$

4.24. Отличие от примера в п. 4.7 заключается в замене квадратного блока на прямоугольный блок, что приводит к некоторому усложнению задачи. Требуется сформировать промежуточные данные, а именно в каждой строке исходного массива подсчитать длины «полосок», состоящих из одних нулей. Обратимся к примеру. Пусть дан массив

$$A = \begin{pmatrix} 1 & 0 & 0 & 0 & 1 & 0 \\ 0 & 0 & 0 & 0 & 1 & 0 \\ 0 & 0 & 1 & 0 & 0 & 0 \\ 0 & 0 & 0 & 0 & 0 & 0 \\ 0 & 0 & 1 & 0 & 0 & 0 \end{pmatrix}.$$

Дополнительный массив B длин «полосок» имеет вид:

$$B = \begin{pmatrix} 0 & 1 & 2 & 3 & 0 & 1 \\ 1 & 2 & 3 & 4 & 0 & 1 \\ 1 & 2 & 0 & 1 & 2 & 3 \\ 1 & 2 & 3 & 4 & 5 & 6 \\ 1 & 2 & 0 & 1 & 2 & 3 \end{pmatrix}.$$

После этого из полосок следует «склеить» прямоугольник наибольшей площади. Площади наибольших прямоугольников фиксируем в массиве $S[1..5, 1..6]$. Очевидно, что $S[i, j] = 0$, если $B[i, j] = 0$. Если $B[i, j] \neq 0$, то следующие рекуррентные соотношения поясняют аддитивную трактовку задачи, переведенной «в плоскость» полосок:

$$S[i, j] = \begin{cases} B[i, j] & \text{при } i = 1 \text{ и } j = 1, \dots, m, \\ \max(\min(B[i, j], B[i-1, j], \dots, B[k, j]) \cdot (i-k+1)) & \text{при } k = i-1, \dots, 1, i > 1 \text{ и } j = 1, \dots, m. \end{cases}$$

Массив S после организации соответствующих вычислений имеет вид:

$$S = \begin{pmatrix} 0 & 1 & 2 & 3 & 0 & 1 \\ 1 & 2 & 4 & 6 & 0 & 2 \\ 2 & 4 & 0 & 3 & 2 & 3 \\ 3 & 6 & 3 & 4 & 5 & 6 \\ 4 & 8 & 0 & 5 & 6 & 9 \end{pmatrix}.$$

Ответом задачи является число 9.

Примечание. По условию задачи требуется найти максимальную площадь, поэтому введение массива S не является обязательным — достаточно одной переменной. Время решения задачи можно уменьшить, если изменять значения k не от $i-1$ до 1, а до тех пор, пока максимальное значение площади прямоугольника из 0 можно улучшить.

4.25. Стандартное решение достаточно очевидно. Просматриваем элементы двумерного массива — два вложенных цикла. В этом просмотре подсчитываем значение суммы элементов очередного блока и сравниваем его со значением s . Общее количество операций пропорционально $(n-k+1)(m-t+1)kt$. При $n=m$, $k=t$ максимум произведения достигается при $k=(n+1)/2$. Временная сложность алгоритма $O(n^4)$. Можно ли уменьшить временную сложность до $O(n^2)$? Тогда за разрешенное время, например 3 секунды, задача решается для двумерных массивов большей размерности.

Обратимся к примеру. Пусть дан массив

$$A = \begin{pmatrix} 1 & 2 & 3 & 0 & 1 \\ 1 & 0 & 3 & 2 & 4 \\ 3 & 2 & 3 & 3 & 3 \\ 3 & 2 & 3 & 4 & 0 \\ 1 & 2 & 3 & 2 & 1 \end{pmatrix},$$

$k=t=3$ и $s=22$. В массиве $B[1..n, 1..m-t+1]$ сформируем «полоски» (см. предыдущую задачу) сумм элементов строки длиной t , их количество равно $m-t+1$:

$$B = \begin{pmatrix} 6 & 5 & 4 \\ 4 & 5 & 9 \\ 8 & 8 & 9 \\ 8 & 9 & 7 \\ 6 & 7 & 6 \end{pmatrix}$$

по рекуррентной схеме:

$$B[i, j] = \begin{cases} \sum_{q=1}^i A[i, q] & \text{при } j = 1, \\ B[i, j-1] - A[i, j-1] + A[i, j+t-1] & \text{при } j \geq 2. \end{cases}$$

Следующий шаг — формирование сумм элементов блоков в массиве $S[1..n-k+1, 1..m-t+1]$. Принцип заполнения совпадает с предыдущим, только выполняется он для элементов столбцов:

$$S = \begin{pmatrix} 18 & 18 & 22 \\ 20 & 22 & 25 \\ 22 & 24 & 22 \end{pmatrix}.$$

В исходном массиве есть четыре блока, сумма элементов которых равна 22. Все приведенные подсчеты выполняются с использованием двух вложенных циклов, т. е. количество действий пропорционально $O(nm)$.

Примечание. Формулировка задачи не требует введения массива S при решении задачи.

4.26. Решение задачи отличается от рассмотренного в примере 4.30 на с. 104 (теоретический материал) тем, что целые числа могут быть и отрицательными. Операция умножения в этом случае может давать максимальное значение и при отрицательных операндах. Из этого следует необходимость хранения и минимальных значений выражений при решении подзадач. Пусть они хранятся в дополнительном массиве $V[1..n, 1..n]$ (заметьте, что можно обойтись и одним массивом). При анализе операции умножения она используется последней в позиции k , требуется выбор максимального значения из четырех чисел — $\max(W[i, k]W[k+1, j], V[i, k]W[k+1, j], W[i, k] \times V[k+1, j], V[i, k]V[k+1, j])$.

4.27. Примеры триангуляции многоугольника приведены на рис. 4.1 на с. 84. На рис. Р.9 приведен принцип оценки или решения подзадач. Пусть $W[k, l]$ — стоимость разрезания части многоугольника (обозначим его $A[k, l]$), полученного в результате проведения диагонали, соединяющей вершины с номерами k и l . Очевидно, что при $l = k, l - k = 1, l - k = 2, k > l$ $W[k, l] = 0$. Заполняется только часть массива W при $l > k + 2$, причем заполняется по диаго-

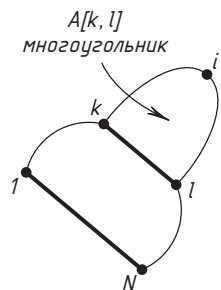


Рис. Р.9. Принцип оценки и решения подзадач в задаче о триангуляции многоугольника

налям. Вершина с номером i (i изменяется от $k+1$ до $l-1$) определяет какое-то разрезание многоугольника $A[k, l]$.

Значение $W[k, l]$ определяем как $\text{Min}(\text{длина диагонали}(k, i) + \text{длина диагонали}(i, l) + W[k, i] + W[i, l])$. Значения i изменяются от $k+1$ до $l-1$. При этом следует учитывать, что при $i=k+1$ соответствующая диагональ является стороной многоугольника, и ее длина считается равной нулю. Аналогично при $i=l-1$.

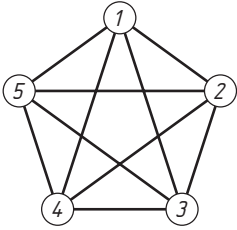


Рис. P.10. Граф K_5

К главе 5. Понятие графа, основные методы

5.1. Граф K_5 (полный граф при $n=5$) приведен на рис. P.10.

5.14. Было — (1, 4, 6, 2, 3, 5, 7). Будет — (1, 4, 6, 2, 3, 7, 5). Указана очередность просмотра вершин.

5.15. Пример описания данных:

```
Const MaxN=10;
Type pt=^elem;
    elem=Record
        data:Integer;
        next:pt;
    End;
MyArray=Array[1..MaxN] Of pt;
MyNew=Array[1..MaxN] Of Boolean;
Var A:MyArray;
    Nnew:MyNew;
```

Считая, что описание графа дано в виде списков связей и начальные значения элементов массива $Nnew$ сформированы, приведем вариант реализации процедуры поиска в глубину.

```
Procedure Pg(v:Integer); {Массивы Nnew и A гло-
                           бальные}
Var t:pt;
Begin
    Nnew[v]:=False;
    Write(v:3);
```

```

t:=A[v];
While t<>Nil Do Begin
  If Nnew[t^.data] Then Pg(t^.data);
  t:=t^.next;
End;
End;

```

По аналогии пишется и процедура поиска в ширину при таком описании данных.

5.16. На рис. P.11 приведен пример, для которого процедура *Pg* вызывается два раза. Граф не является связным. Для «вырожденного» случая — *n* изолированных вершин — процедура вызывается *n* раз.



Рис. P.11. Пример графа к задаче 5.16

5.18. Пример графа ($n = 4$) приведен на рис. P.12.

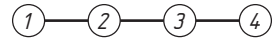


Рис. P.12. Пример графа к задаче 5.18

5.19. Пример графа ($n = 5$) приведен на рис. P.13.

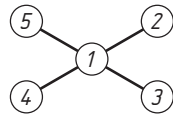


Рис. P.13. Пример графа к задаче 5.19

5.20. Было — (1, 4, 5, 6, 7, 2, 3). Будет — (1, 5, 2, 7, 3, 6, 4). Указана очередность просмотра вершин.

5.22. Любой несвязный граф.

5.23. Для графа на рис. 5.6 множество циклов $\{(1, 4, 6, 2, 5, 1), (4, 6, 2, 5, 7, 4), (6, 2, 5, 7, 6)\}$. Для графа на рис. 5.7 множество циклов $\{(1, 4, 7, 5, 1), (4, 6, 7, 4), (1, 4, 6, 2, 5, 1)\}$. Они совпадают только по количеству, но не по составу ребер, в них входящих.

5.24. Логика поиска в ширину изменяется минимально, что говорит о качестве программного кода. Приведем полный текст измененной процедуры.

```

Procedure Pw(v:Integer);
  Var Turn:Array[1..n] Of 0..n; {Очередь}
      D:Array[1..n] Of Integer; {Массив для
      хранения значений расстояний до вершин
      графа}
  up,down:Integer; {Указатели очереди:
                    up — запись, down — чтение}
  j:Integer;

```



```

Begin
  For j:=1 To n Do Begin
    {Начальная инициализация}
    Turn[j]:=0; D[j]:=0;
  End;
  down:=0; {Начальная инициализация}
  up:=0;
  Inc(up); {В очередь записываем вершину с номером v}
  Turn[up]:=v;
  Nnew[v]:=False;
  While down<up Do Begin {Пока очередь не пуста}
    Inc(down); {«Берем» элемент из очереди}
    v:=Turn[down];
    For j:=1 To n Do {Просмотр всех вершин, связанных с вершиной v}
      If (A[v,j]<>0) And Nnew[j] Then Begin
        {Если вершина ранее не просмотрена, то заносим ее номер в очередь}
        Inc(up);
        Turn[up]:=j;
        Nnew[j]:=False;
        D[j]:=D[v]+1; {Расстояние до вершины с номером j на единицу больше, чем расстояние до вершины с номером v}
      End;
    End;
  End;
End;

```

Возможности перехода из первой вершины до любой другой за меньшее количество шагов (с меньшим значением расстояний) нет. Формируются минимальные значения расстояний. Следует из алгоритма, а формально доказывается методом от противного.

5.25. Требуется найти $\min_{1 \leq j \leq n} \max_{\substack{1 \leq i \leq n, \\ i \neq j}} D[i]$, начиная обход в ширину

с вершины с номером j (суть массива D описана в предыдущей задаче). Это значение для графа на рис. 5.7 равно 2, и оно достигается при $j = 2, 5, 6$. Оставляя процедуру Pw из предыдущей задачи без изменений, в вызывающей логике следует поместить следующий

фрагмент:

```
tmin:=n+1;
For j:=1 To n Do Begin
  Pw(j);
  t:=<поиск минимального элемента в массиве D для
    всех i≠j>;
  If t<tmin Then tmin:=t;
End;
```

5.26. В решении задачи 5.24 следует написать $D[j] := v$ вместо $D[j] := D[v] + 1$.

5.27. Для графа на рис. 5.6 расстояния от первой вершины при поиске в глубину приведены на рис. P.14. Максимальное расстояние равно 5 — от первой вершины до седьмой. Если начать просмотр с третьей вершины, то до седьмой вершины расстояние равно 6. Изменения процедуры Pg при формировании массива расстояний D минимальны.

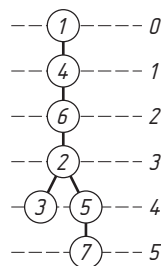


Рис. P.14. Граф для иллюстрации решения задачи 5.27

```
Procedure Pg(v:Integer); {Массивы Nnew, A и D
                          глобальные}
```

```
  Var j:Integer;
  Begin
    Nnew[v]:=False;
    Write(v:3);
    For j:=1 To n Do
      If (A[v,j]<>0) And Nnew[j] Then Begin
        D[j]:=D[v]+1;
        Pg(j);
      End;
    End;
```

5.28. В предыдущем решении следует изменить одну строчку — $D[j] := v$.

5.29. Указание. Генерируем все подмножества множества вершин — их 2^n и, например, «выписываем» из исходной матрицы смежности A соответствующие элементы в результирующую матрицу смежности подграфа.

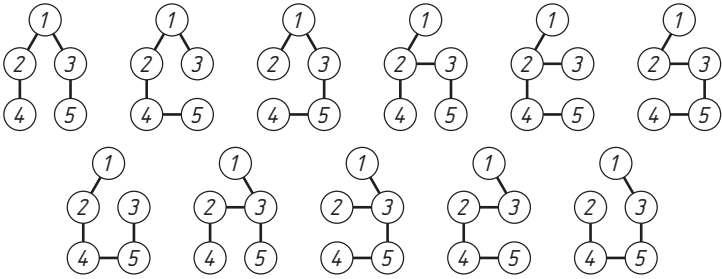


Рис. Р.15. Иллюстрация решения задачи 5.30

5.30. Количество остовных подграфов 11. Они представлены на рис. Р.15.

5.31. Ответ: 8.

5.32. При $n=6$ сгенерировать все подмножества из четырех (их C_6^4), пяти (их C_6^5), шести (оно одно) вершин и проверить каждое подмножество — образует ли оно клику.

5.33. На рис. Р.16 перечислены все неизоморфные графы при $n=5$, их 34.

Примечание. Количество неизоморфных графов (g_n) с ростом n (число вершин) растет очень быстро: $g_1=1, g_2=2, g_3=4, g_4=11, g_5=34, g_6=156, g_7=1044, g_8=12\ 344, g_9=308\ 168$.

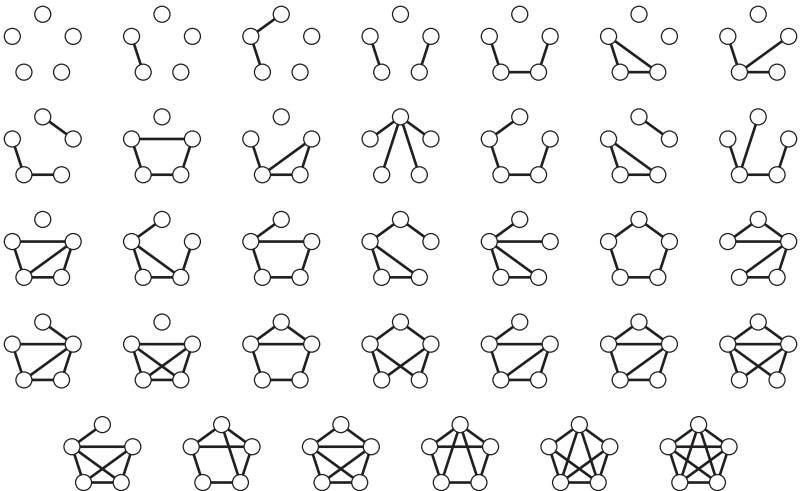


Рис. Р.16. Иллюстрация к решению задачи 5.33

5.34. Последовательность перестановок $2 \leftrightarrow 4$, $2 \leftrightarrow 5$, $3 \leftrightarrow 5$. Исходная матрица смежности

$$\begin{pmatrix} 0 & 0 & 1 & 1 & 1 \\ 0 & 0 & 0 & 1 & 1 \\ 1 & 0 & 0 & 1 & 0 \\ 1 & 1 & 1 & 0 & 0 \\ 1 & 1 & 0 & 0 & 0 \end{pmatrix}$$

преобразуется следующим образом. Перестановка $2 \leftrightarrow 4$:

$$\begin{pmatrix} 0 & 0 & 1 & 1 & 1 \\ 1 & 1 & 1 & 0 & 0 \\ 1 & 0 & 0 & 1 & 0 \\ 0 & 0 & 0 & 1 & 1 \\ 1 & 1 & 0 & 0 & 0 \end{pmatrix}, \begin{pmatrix} 0 & 1 & 1 & 0 & 1 \\ 1 & 0 & 1 & 1 & 0 \\ 1 & 1 & 0 & 0 & 0 \\ 0 & 1 & 0 & 0 & 1 \\ 1 & 0 & 0 & 1 & 0 \end{pmatrix}.$$

Перестановка $2 \leftrightarrow 5$:

$$\begin{pmatrix} 0 & 1 & 1 & 0 & 1 \\ 1 & 0 & 0 & 1 & 0 \\ 1 & 1 & 0 & 0 & 0 \\ 0 & 1 & 0 & 0 & 1 \\ 1 & 0 & 1 & 1 & 0 \end{pmatrix}, \begin{pmatrix} 0 & 1 & 1 & 0 & 1 \\ 1 & 0 & 0 & 1 & 0 \\ 1 & 0 & 0 & 0 & 1 \\ 0 & 1 & 0 & 0 & 1 \\ 1 & 0 & 1 & 1 & 0 \end{pmatrix}.$$

И наконец, перестановка $3 \leftrightarrow 5$:

$$\begin{pmatrix} 0 & 1 & 1 & 0 & 1 \\ 1 & 0 & 0 & 1 & 0 \\ 1 & 0 & 1 & 1 & 0 \\ 0 & 1 & 0 & 0 & 1 \\ 1 & 0 & 0 & 0 & 1 \end{pmatrix}, \begin{pmatrix} 0 & 1 & 1 & 0 & 1 \\ 1 & 0 & 0 & 1 & 0 \\ 1 & 0 & 0 & 1 & 1 \\ 0 & 1 & 1 & 0 & 0 \\ 1 & 0 & 1 & 0 & 0 \end{pmatrix}.$$

Получаем матрицу смежности второго графа.

Заметим, что каждая перестановка соответствует обмену меток у двух вершин графа. Изменение меток после первой перестановки приведено на рис. Р.17.

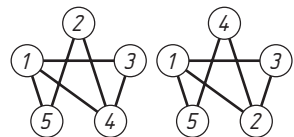


Рис. Р.17. Иллюстрация к решению задачи 5.34

5.35. После первого преобразования (перестановки) элементы в первой строке и в первом столбце промежуточной матрицы совпадают с элементами первой строки и первого столбца результирующей матрицы (она задана). Последующие преобразования не должны изменять элементы в первой строке и в первом столбце. Второе

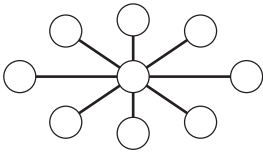


Рис. Р.18. Тип графа, у которого одна вершина имеет степень $n - 1$, а остальные степень 1

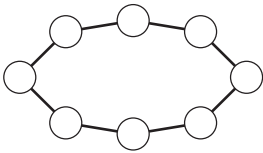


Рис. Р.19. Тип графа, у которого все вершины имеют степень, равную 2

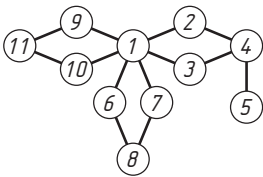


Рис. Р.20. Пример графа для задачи 5.42

преобразование распространяет это условие и на элементы второй строки и второго столбца и т. д.

5.38. Тип графа показан на рис. Р.18.

5.39. Тип графа показан на рис. Р.19.

5.42. Задача может быть решена на примере графа, показанного на рис. Р.20.

5.43. Граф на рис. Р.19 регулярный с $d = 2$. Граф Петерсена имеет $d = 3$. Если на рис. 5.18 убрать ориентацию ребер, то получим граф с $d = 4$. Любой полный граф K_n имеет $d = n - 1$.

5.45. Операция объединения. Дано: граф $G_1 = (V_1, E_1)$, матрица смежности $A_1[1 \dots n_1, 1 \dots n_1]$, и $G_2 = (V_2, E_2)$, матрица смежности $A_2[1 \dots n_2, 1 \dots n_2]$. Требуется сформировать матрицу смежности $A[1 \dots n, 1 \dots n]$ графа G , объединения графов G_1 и G_2 , где $n = \max(n_1, n_2)$. Матрица A формируется следующим образом:

$$A[i, j] = \begin{cases} A_1[i, j] & \text{при } i, j \in V_1 \text{ и } i, j \notin V_2, \\ A_2[i, j] & \text{при } i, j \notin V_1 \text{ и } i, j \in V_2, \\ A_1[i, j] \text{ Or } A_2[i, j] & \text{при } i, j \in V_1 \text{ и } i, j \in V_2 \end{cases}$$

$(i, j \in \{1, \dots, n\})$.

Операция соединения. Выполним операцию объединения. После этого остается дополнить граф ребрами, соединяющими V_1 и V_2 .

Таблица Р.7

$i \in V_1$	$j \in V_1$	$i \in V_2$	$j \in V_2$	Результат	$i \in V_1$	$j \in V_1$	$i \in V_2$	$j \in V_2$	Результат
+	+	+	+	Операция объединения	+	+	-	+	Операция объединения
+	-	+	+	Операция объединения	+	-	-	+	Выполнить
-	+	+	+	Операция объединения	-	+	-	+	Нет
-	-	+	+	Операция объединения	-	-	-	+	Нет
+	+	+	-	Операция объединения	+	+	-	-	Операция объединения
+	-	+	-	Нет	+	-	-	-	Нет
-	+	+	-	Выполнить	-	+	-	-	Нет
-	-	+	-	Нет	-	-	-	-	Нет

В табл. P.7 приведены все логически возможные комбинации принадлежности i и j множеств V_1 и V_2 . Слово «нет» в последнем столбце означает, что такая комбинация невозможна.

Осталось для выделенных двух случаев элементам матрицы смежности A присвоить единичные значения.

Операция произведения. В этом случае $n = n_1 n_2$. Сформируем массив $Pair[1..n, 1..2]$ пар номеров. Для примера на рис. 5.13 он приведен в табл. P.8. Матрицы смежности имеют те же обозначения, что и при операции объединения.

Таблица P.8

№	Pair	
1	1	3
2	1	4
3	1	5
4	2	3
5	2	4
6	2	5

При этих условиях $A[i, j]$ присваивается единичное значение ($i, j \in \{1, \dots, n\}$) в том случае, если истинно логическое выражение $((Pair[i, 1] = Pair[j, 1]) \text{ And } (A_2[Pair[i, 2], Pair[j, 2]] <> 0)) \text{ Or } ((Pair[i, 2] = Pair[j, 2]) \text{ And } (A_1[Pair[i, 1], Pair[j, 1]] <> 0))$.

Композиция графов. Рассмотрим операцию $G_1[G_2]$ на примере графов на рис. 5.14. Определим массив $Pair$, как и в операции произведения. Матрица смежности A графа формируется следующим образом. Элементу $A[i, j]$ присваивается единичное значение ($i, j \in \{1, \dots, n\}$) в том случае, если истинно следующее логическое выражение

$(A_1[Pair[i, 1], Pair[j, 1]] <> 0) \text{ Or } ((Pair[i, 1] = Pair[j, 1]) \text{ And } (A_2[Pair[i, 2], Pair[j, 2]] <> 0))$.

5.49. «Запускаем» поиск в ширину последовательно от всех вершин и находим максимальное значение расстояния.

5.50. Аналогично решению задачи 5.49. Находится только минимальное значение расстояния.

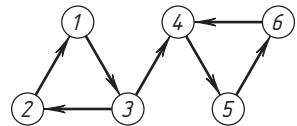


Рис. P.21. Иллюстрация идеи решения задачи 5.57

5.57. Для каждой вершины итерационно формируем множество достижимых вершин. Процесс продолжается до тех пор, пока множество изменяется. Так, для вершины с номером 4 (рис. P.21) построение множества достижимых вершин выглядит следующим образом: $\{\bar{4}\} \rightarrow \{4, \bar{5}\} \rightarrow \{4, 5, \bar{6}\} \rightarrow \{4, 5, 6\}$. Верхнее подчеркивание означает вновь добавленную вершину, подлежащую дальнейшей обработке. Для графа на рис. P.21 из первой вершины достижимы все вершины. Действительно, $\{\bar{1}\} \rightarrow \{1, \bar{3}\} \rightarrow \{1, \bar{2}, 3, \bar{4}\} \rightarrow \{1, 2, 3, 4, \bar{5}\} \rightarrow \{1, 2, 3, 4, 5, \bar{6}\} \rightarrow \{1, 2, 3, 4, 5, 6\}$.

К главе 6. Деревья

6.1. Например, в конце (перед выходом) процедуры Pw (п. 5.4, с. 116) обхода в ширину можно сделать вставку:

```
For i:=1 To up-1 Do Begin
  Tr[Turn[i],Turn[i+1]]:=1;
  Tr[Turn[i+1],Turn[i]]:=1;
End;
```

Tr — матрица смежности каркаса.

6.2. Приведем фрагмент процедуры обхода в ширину.

```
nv:=<номер вершины графа, взятый из очереди>;
pt:=A[nv]; {A — указатель на первый элемент списка
связей для вершины nv графа. Элемент списка со-
стоит из двух полей: data — номер вершины графа;
next — указатель на следующий элемент списка}
While pt<>Nil Do Begin
  If Not (Nnew[pt^.data]) Then Begin
    {Массив Nnew — признак просмотра вершины гра-
фа, описан в п. 5.3, 5.4}
    Nnew[pt^.data]:=True; {Вершина с номером
                           pt^.data просмотрена}
    Tr[nv,pt^.data]:=1; {Tr — матрица смежности
                           каркаса}
    Tr[pt^.data,nv]:=1;
    Put(t,pt^.data); {Записываем номер вершины
графа в очередь, t — указатель записи в оче-
редь}
  End;
  pt:=pt^.next;
End;
```

6.3. Примеры графов приведены на рис. P.12, P.13 (если поиск начинать с определенной вершины). В качестве примера можно привести и некоторые двоичные деревья, помеченные определенным образом (рис. P.22).

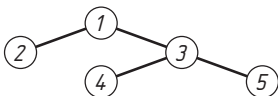


Рис. P.22. Пример графа, для которого деревья, получаемые при поиске в ширину и в глубину, совпадают

6.4. Получается дерево типа, приведенного на рис. P.12, — начальная и конечная вершины дерева имеют степень 1, все остальные вершины дерева — степень 2, и

номера вершин (метки), если поиск был начат с первой вершины, идут в дереве в порядке возрастания их меток.

6.5. В графе $G = (V, E)$ удаляются «обратные» ребра — их $m - n + 1$, где $n = |V|$, $m = |E|$.

6.6. Все различные деревья с семью вершинами показаны на рис. P.23.

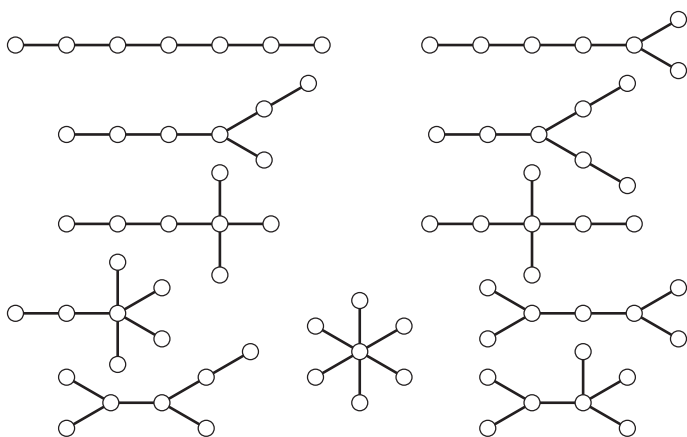


Рис. P.23. Все различные деревья с семью вершинами

6.9. Алгоритм перечисления деревьев — это не что иное, как перебор на множестве ребер графа (два параметра рекурсии). Ограничением перебора является логика построения каркаса поиском в ширину (мы перебираем не все подмножества ребер). Отношение порядка на множестве деревьев опять же определяется логикой поиска в ширину.

6.11. Для графа Петерсена количество остовных деревьев равно 2000. У первых девяти деревьев неизменны начальные семь ребер: (1, 2), (1, 3), (1, 6), (2, 4), (2, 7), (3, 5) и (3, 8). Изменения происходят на уровне двух последних ребер дерева.

6.12. В полном K_n графе $\frac{n(n-1)}{2}$ ребер. Два остовных дерева имеют $2(n-1)$ ребер. Требуется, чтобы $2(n-1) \leq \frac{n(n-1)}{2}$. Решая неравенство, получаем $n \geq 4$, $a = 4$.

6.14. Если у значений весов ребер поменять знак на противоположный, то исходный алгоритм (п. 6.15) даст ответ на поставленный вопрос.

Обратная задача — из последовательности M формируем список ребер дерева.

```

Procedure Solve;
  Var i, j: Integer;
  Begin
    <Элементам массива R (список ребер) присваи-
    ваем нулевые значения>;
    For i:=1 To n-2 Do Begin
      j:=1;
      While (D[j]<>1) Do Inc(j); {Находим первую
      вершину со степенью 1}
      R[i,1]:=j; R[i,2]:=M[i]; {Найдено ребро
      (j, M[i])}
      Dec(D[j]); Dec(D[M[i]]); {Изменяем степени
      вершин}
    End;
    Inc(i); {Находим последнее ребро n-1}
    For j:=1 To n Do If (D[j]=1) Then
      If (R[i,1]=0) Then R[i,1]:=j Else R[i,2]:=j;
  End;

```

6.18. Алгебраическое дополнение K_{11} имеет вид:

$$\begin{vmatrix} n & \dots & 0 & -1 & \dots & -1 \\ \dots & \dots & \dots & -1 & \dots & -1 \\ 0 & \dots & n & -1 & \dots & -1 \\ -1 & \dots & -1 & m & \dots & 0 \\ -1 & \dots & -1 & \dots & \dots & \dots \\ -1 & \dots & -1 & 0 & \dots & m \end{vmatrix}.$$

Столбцов (строк) первого типа $m-1$, второго типа — n . К элементам строк второго типа прибавляем сумму элементов первых $m-1$ строк, деленную на n . Получаем

$$\begin{vmatrix} n & 0 & \dots & 0 & -1 & -1 & \dots & -1 \\ 0 & n & \dots & 0 & -1 & -1 & \dots & -1 \\ \dots & \dots & \dots & \dots & \dots & \dots & \dots & \dots \\ 0 & 0 & \dots & n & -\frac{1}{n} & -\frac{1}{n} & \dots & -\frac{1}{n} \\ 0 & 0 & \dots & 0 & m - \frac{m-1}{n} & -\frac{m-1}{n} & \dots & -\frac{m-1}{n} \\ 0 & 0 & \dots & 0 & -\frac{m-1}{n} & m - \frac{m-1}{n} & \dots & -\frac{m-1}{n} \\ \dots & \dots & \dots & \dots & \dots & \dots & \dots & \dots \\ 0 & 0 & \dots & 0 & -\frac{m-1}{n} & -\frac{m-1}{n} & \dots & m - \frac{m-1}{n} \end{vmatrix}.$$

Раскрывая определитель по первым $m - 1$ столбцам, имеем:

$$n^{m-1} \begin{vmatrix} m - \frac{m-1}{n} & -\frac{m-1}{n} & \dots & -\frac{m-1}{n} \\ -\frac{m-1}{n} & m - \frac{m-1}{n} & \dots & -\frac{m-1}{n} \\ \dots & \dots & \dots & \dots \\ -\frac{m-1}{n} & -\frac{m-1}{n} & \dots & m - \frac{m-1}{n} \end{vmatrix}$$

(оставшийся определитель $n \times n$). Вычтем из первых $n - 1$ столбцов последний столбец:

$$n^{m-1} \begin{vmatrix} m & 0 & \dots & -\frac{m-1}{n} \\ 0 & m & \dots & -\frac{m-1}{n} \\ \dots & \dots & \dots & \dots \\ -m & -m & \dots & m - \frac{m-1}{n} \end{vmatrix}.$$

К последней строке прибавим первые $n - 1$ строк:

$$n^{m-1} \begin{vmatrix} m & 0 & \dots & -\frac{m-1}{n} \\ 0 & m & \dots & -\frac{m-1}{n} \\ \dots & \dots & \dots & \dots \\ 0 & 0 & \dots & 1 \end{vmatrix}.$$

Раскрывая последний определитель, получаем ответ — количество деревьев полного двудольного графа $K_{m,n}$ равно $n^{m-1}m^{n-1}$.

6.19. Ответ: $n \cdot 2^{n-1}$.

6.20. Идея решения. Определим множество вершин графа $M = V \setminus W$ (п. 6.6). Генерируем все подмножества (обозначим очередное подмножество как Q) множества M (п. 3.8). Строим подграф $T = (W \cup Q, E')$. При связности подграфа T находим его каркас с минимальным весом. Если вес найденного каркаса меньше ранее определенного значения, то запоминаем его. После перебора всех подмножеств M имеем дерево Штейнера.

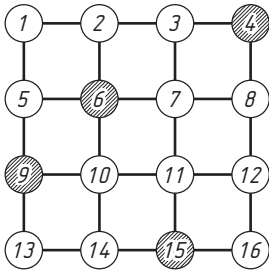


Рис. Р.25. Граф для задачи Штейнера на сетке линий

6.21. По заданным точкам требуется построить граф. Для примера из формулировки задачи он имеет вид, приведенный на рис. Р.25. Веса ребер — это расстояния между соответствующими точками сетки. После построения графа «решение в лоб» сводится к решению предыдущей задачи.

К главе 7. Связность

7.1. Используется поиск в глубину (п. 5.3). Если при этом окажется, что просмотрены все вершины, то граф связан, иначе граф не связан. Например, введем переменную множественного типа S . При поиске номер очередной вершины добавляется к S .

```

Procedure Pg(v:Integer);
  Var j:Integer; {Массивы Nnew и A глобальные}
  Begin
    Nnew[v]:=False;
    Write(v:3);
    S:=S+[v];
    For j:=1 To n Do
      If (A[v,j]<>0) And Nnew[j] Then Pg(j);
  End;
  
```

В вызывающей логике остается только проверка типа: *If $S = [1..n]$ Then <граф связан> Else <граф не связан>*.

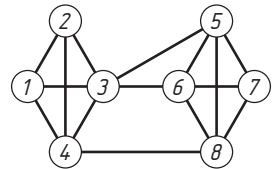


Рис. Р.26. Пример графа с заданными значениями κ , λ , δ

7.2. Пусть $a = 2, b = 3, c = 3$. Пример графа приведен на рис. Р.26.

Покажем, что графов с $\kappa(G) = a, \lambda(G) = b$ и $\delta(G) = c$ бесконечно много. Для начала конструктивно построим граф с заданными характеристиками.

Шаг 1. Построим два полных графа с $c + 1$ вершинами (рис. Р.27).

Шаг 2. Соединим два построенных графа a ребрами (рис. Р.28). Из каждого графа берем по a вершин и между a пар вершин проводим ребра.

Шаг 3. Возьмем произвольную вершину из первого полного подграфа, уже соединенную ребром с одной из вершин второго графа.

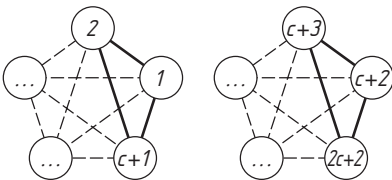


Рис. Р.27. Иллюстрация первого шага алгоритма построения графа с заданными характеристиками

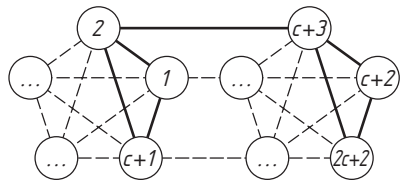


Рис. Р.28. Иллюстрация второго шага алгоритма построения графа с заданными характеристиками

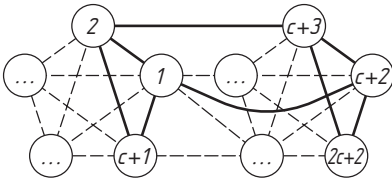


Рис. Р.29. Иллюстрация третьего шага алгоритма построения графа с заданными характеристиками

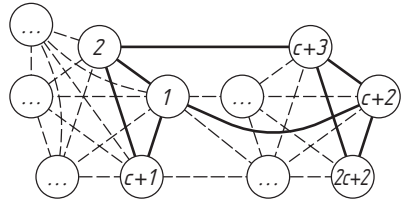


Рис. Р.30. Иллюстрация положения о том, что графов с заданными характеристиками бесконечно много

Соединим эту вершину с $b - a$ вершинами второго полного подграфа (рис. Р.29).

Граф с заданными характеристиками построен. Покажем, что таких графов бесконечно много. С этой целью добавим одну вершину к первому полному подграфу и соединим ее ребрами со всеми его оставшимися вершинами. Подграф снова будет полным (рис. Р.30). Добавление вершины никак не повлияло на реберную и вершинную связности, а также на минимальное значение степеней вершин графа. Действительно, во втором полном подграфе всегда остается хотя бы одна вершина, не соединенная с вершинами первого подграфа, и ее степень равна c . Это значение не изменяется при добавлении вершин в первый подграф; вершинная и реберная связности графа не изменяются при добавлении вершин в первый подграф — между первым и вторым подграфами новых ребер не появляется.

Итак, добавление вершин в первый подграф не изменяет характеристики $\kappa(G)$, $\lambda(G)$ и $\delta(G)$ графа в целом.

Разработка программы получения матрицы смежности графа с заданными характеристиками $\kappa(G)$, $\lambda(G)$ и $\delta(G)$ не представляет собой сложности.

7.4. Используя процедуру из п. 7.2 (назовем ее *Block*, имя *Solve* оставим основной процедуре), находим блоки графа и формируем множество точек сочленения Ts , а также массив Bl ($Bl: \text{Array}[1..MaxBl]$ Of Set Of $1..MaxN$, $MaxBl$ и $MaxN$ — константы). Элементом массива является множество вершин графа, принадлежащих k -му блоку. В процедуре *Block* изменяется только следующий фрагмент:

```
If Lowpg[i] >= Num[v] Then <вывод блока>;
```

заменяется на

```
If Lowpg[i] >= Num[v] Then Begin {Если при просмотре между  $v$  и  $i$  не было обратных ребер, то  $v$  — корень дерева или точка сочленения}
```

```

Inc(cr); {Счетчик количества блоков}
<вывод блока, начиная с вершины i. Вершину v
следует занести в Ts – она точка сочленения>
End;

```

Основная процедура имеет вид:

```

Procedure Solve; {Решение}
  Var i,j,sx,sy:Byte;
  Begin
    nm:=0; {nm – для определения очередности про-
            смотра вершин при поиске в глубину}
    Ts:=[]; Vd:=[];
    <Элементам массивов Num, Lowprg, ATs, AB1 при-
    своить нулевые значения>;
    {Назначение массивов Num, Lowprg дано в
    п. 7.2, ATs, AB1 – искомые матрицы смежно-
    сти}
    For i:=1 To n Do If Num[i]=0 Then Begin
      Vd:=Vd+[i];
      Block(i,0); {Находим блоки графа}
    End;
    Ts:=Ts-Vd; {Массив Ts изменяется при нахожде-
                нии каждого блока}

    sx:=0;
    For i:=1 To n Do If i In Ts Then Begin
      Inc(sx); sy:=0;
      For j:=1 To n Do If j In Ts Then Begin
        Inc(sy);
        If A[i,j]=1 Then Begin
          ATs[sx,sy]:=1; ATs[sy,sx]:=1;
        End;
      End;
    End;
  End;
  For i:=1 To cr Do {cr – счетчик количества
                    блоков}
    For j:=1 To cr Do
      If (i<>j) And <есть ребро между вершинами
      из блоков с номерами i и j – проверка
      оформляется как отдельная функция> And
      (A[i,j]=1) Then AB1[i,j]:=1;
  End;

```

7.5. Мостом графа называется ребро, удаление которого приводит к увеличению компонент связности. Один из вариантов решения заключается в проверке, приводит ли удаление ребра графа к увеличению числа компонент связности. Подсчет компонент связности лучше оформить как функцию (например, $CntKs$) и использовать для ее реализации один из методов поиска в графе. Количество вызовов поиска даст число компонент связности. Основная процедура может иметь следующий вид:

```

Procedure Solve; {Нахождение мостов}
  Var Cnt,i,j,k:Byte;
  Begin
    Cnt:=0;
    k:=CntKs; {Вычисление числа компонент связности
              исходного графа}
    For i:=1 To n-1 Do
      For j:=i+1 To n Do
        If A[i,j]=1 Then Begin {Для каждого ребра
                               проверяем, является ли оно мостом}
          A[i,j]:=0;A[j,i]:=0;
          If CntKs>k Then Begin
            Inc(Cnt);
            <Вывод ребра>;
          End;
          A[i,j]:=1; A[j,i]:=1;
        End;
      End;
    End;
  End;

```

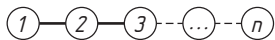


Рис. Р.31. Пример графа с максимальным количеством точек сочленения

7.6. Ответ: $n - 2$. Пример графа приведен на рис. Р.31.

7.7. Ответ: (1,5,11), (1,2,7,11), (1,6,8,11).

7.8. Ответ: (1,2), (1,3), (1,4), (1,5), (1,6).

7.9. Ответ: (1,5,11), (1,2,7,11), (1,6,8,11), (1,4,5,9,11), (1,3,7,10,11).

7.10. Генерируем сочетания без повторений: первоначально из одной вершины графа, затем из двух и т. д. (вплоть до $n - 2$) до тех пор, пока множество удаленных вершин не приведет к разрыву связей между вершинами u и v . Количество элементов в данном сочетании будет минимальным.

```

Procedure Solve(u,v:Byte);
  Var Nnew:Array[1..MaxN] Of Boolean;
      Cnt,k,i,j:Word;
      As:Array[1..MaxN] Of Byte;
      ok:Boolean;
Begin
  Cnt:=0; Result:=0;
  For j:=1 To n Do As[j]:=0;
  Ok:=False;
  Repeat
    Inc(Cnt);
    k:<количество сочетаний  $C_n^{Cnt}$ >;
    {Это понятие раскрыто в п. 2.7}
    i:=0;
    Repeat
      Inc(i);
      If i=1 Then For j:=1 To Cnt Do As[j]:=j
        {Генерация первого сочетания}
      Else GetNext(n,Cnt); {Генерация следующего сочетания – п. 3.3}
      M:=[];
      For j:=1 To Cnt Do M:=M+[As[j]];
      {Формирование из очередного сочетания  $C_n^{Cnt}$  множества вершин графа}
      If (Not(u In M)) And (Not(v In M)) Then
        Begin {Множество вершин графа не должно
          включать в себя вершины u и v}
          For j:=1 To n Do Nnew[j]:=False;
          {Массив признаков}
          Pq(u); {Используем поиск в глубину
            п. 5.2.1. «Заходить» в удаленные вершины
            (вершины множества M) нельзя}
          If Not(Nnew[v]) Then Begin
            result:=Cnt; Rm:=M; ok:=True;
          End;
          {Если вершина v не достижима из вершины u,
            то найдено решение}
        End;
      Until (i=k) Or (ok);
    Until (Cnt=n-2) Or (ok);
End;

```


7.11. Очевидно решение, суть которого в следующем.

Шаг 1. До тех пор пока существует путь из u в v , выполнять шаги 2, 3, 4.

Шаг 2. Найти кратчайший путь из u в v (поиск в ширину).

Шаг 3. Вывести найденный путь в результат.

Шаг 4. Удалить вершины, входящие в найденный путь, из графа (кроме вершин u и v).

Шаг 5. Завершить работу.

Данное решение не является правильным. Множество вершинно-непересекающихся (u, v) -цепей не есть матроид, поэтому жадная логика дает только приближенное решение. Контрпример приведен на рис. Р.32. Цепь $(1, 3, 5, 7)$ исключает возможность выбора цепей $(1, 2, 3, 8, 7)$ и $(1, 4, 5, 6, 7)$. Следует обратиться к переборному варианту решения задачи — построению множества всех цепей графа, построению нового графа, в котором две вершины смежны тогда и только тогда,

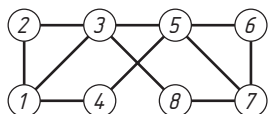


Рис. Р.32. Контрпример для «жадной» логики нахождения максимального количества вершинно-непересекающихся (u, v) -цепей в графе

когда соответствующие цепи имеют общие вершины, а затем поиску подмножества вершин нового графа, удовлетворяющего заданным условиям.

7.12. Как в идейном плане, так и по технике реализации задача во многом совпадает с задачей 7.10. Суть решения — генерируем очередное подмножество T множества ребер E и проверяем, достижима ли вершина v из вершины u , при этом использование ребер из T не разрешается. Если v недостижима из вершины u , то найден разрез. Выделение минимального по мощности разреза — чисто техническая проблема. Допустимо, как и в задаче 7.10, генерировать не подмножества множества, а сочетания без повторов (из одного элемента, из двух и т. д.). Первое найденное и окажется в этом случае минимальным разрезом.

7.13. В идейном плане задача достаточно сильно «перекликается» с задачей 7.11.

7.14. Для каждой пары вершин u и v находим наибольшее количество вершинно-непересекающихся (u, v) -цепей. Минимальное из этих значений и будет являться значением t -связности графа.

7.15. Между вершинами графа конденсации G^* и сильно связными компонентами графа G есть взаимно однозначное соответ-

ствии. Поэтому находим сильно связные компоненты графа G , а затем для каждой пары сильно связных компонент проверяем: существует ли ребро между вершинами, одна из которых принадлежит одной сильно связной компоненте, а другая — другой. Если да, то добавляем это ребро к графу G^* . Приведем основную процедуру.

```

Procedure Solve; {Определение матрицы смежности
                  графа конденсаций}
Var i, j: Byte;
    S: Set Of 1..MaxN; {Множество для хранения
                      номеров, задействованных при построении
                      графа конденсации вершин}
Begin
    S := []; {Все вершины не использованы}
    <Элементам массива SSk присвоить значение
    нуль>;
    {Массив SSk имеет вид
    SSk: Array[1..MaxN] Of Set Of 1..MaxN
    и служит для хранения вершин сильно связных
    компонент графа G}
    <Элементам матрицы смежности Ak графа конден-
    саций G* присвоить значение нуль>;
    <Формирование матрицы достижимости R —
    п. 5.5.4>;
    <Формирование матрицы контрдостижимости Q —
    п. 5.5.4>;
    For i := 1 To n Do
        If Not (i In S) Then Begin {Если вершина с
            номером i еще свободна, т. е. не принад-
            лежит к ранее найденным сильно связным
            компонентам, то начинаем поиск очередной
            компоненты графа G}
            Inc(Cnt);
            For j := 1 To n Do
                If R[i, j] + Q[i, j] = 2 Then Begin {Находим
                    пересечение множеств R[i] и Q[i]}
                    SSk[Cnt] := SSk[Cnt] + [j];
                    S := S + [j];
                End;
            End;
        End;
    End;
End;

```

{Формирование матрицы смежности графа конденсаций G^* }

For i:=1 To Cnt Do

 For j:=1 To Cnt Do

 If (i<>j) And (<Существует дуга в графе G , соединяющая хотя бы одну пару вершин из компонент сильной связности с номерами i и j , – отдельная функция с логическим типом результата>) Then
 Ak[i,j]:=1;

End;

7.16. Решение данной задачи есть часть решения задачи 7.15.

7.17. Базой графа называется минимальное множество вершин, из которых достижимы любые вершины графа. Для построения базы графа достаточно взять по одной вершине из каждой сильно связной компоненты (вершине графа конденсации G^*), не имеющей входящих дуг. Для этого требуется найти столбцы матрицы смежности графа конденсаций, состоящие из одних нулей.

Перед последним оператором *End* процедуры *Solve* задачи 7.15 можно вставить следующий фрагмент кода (назначение переменных описано в решении задачи 7.15):

For j:=1 To Cnt Do Begin {Для каждой сильно связной компоненты проверяем, входят ли в нее ребра}

 ok:=True;

 For i:=1 To Cnt Do

 If Ak[i,j]<>0 Then ok:=False;

 If ok Then Begin {Если ребра только выходящие, то выбираем одну вершину (любую) из этой сильно связной компоненты}

 k:=0;

 Repeat

 Inc(k);

 Until k in SSk[i];

 <вывод значения k>;

 End;

End;

7.18. Один из возможных способов реализации процедуры, реализующей построение транзитивного замыкания, имеет вид (код

не требует дополнительных пояснений, он достаточно «прозрачен»):

```

Procedure Solve;
  Var u,v,t:Byte;
      ok:Boolean;
Begin
  B:=A; {B – матрица смежности графа  $G_z$ }
  Repeat
    ok:=True;
    A:=B;
    For u:=1 To n Do
      For v:=1 To n Do
        If (u<>v) And (A[u,v]<>0) Then Begin
          For t:=1 To n Do
            If (t<>v) And (t<>u) And
              (A[v,t]<>0) And (A[u,t]=0)
            Then Begin
              ok:=False;
              B[u,t]:=1;
            End;
          End;
        End;
      Until ok;
    End;
  End;

```

К главе 8. Циклы

8.1. Логика поиска эйлерова цикла основана на процедуре *Solve* п. 8.1. Целесообразно использовать ее после проверки графа на эйлеровость (теорема Л. Эйлера, п. 8.1). Для этого требуется написать простую функцию.

8.2. Граф G эйлеров, он не дерево и содержит хотя бы один простой цикл C_1 (количество ребер больше, чем $n - 1$). Удаляем из графа G ребра цикла C_1 и «выкидываем» изолированные вершины. У полученного подграфа $G \setminus C_1$ степени всех вершин четные, т. е. существует $C_2 \subset G \setminus C_1$. Продолжаем процесс до тех пор, пока граф не окажется пустым.

Возьмем какой-нибудь цикл C_1 из найденного разбиения. Если $C_1 = E$, то положение доказано. Если нет, то из связности графа G следует существование вершины v_1 , принадлежащей циклам C_1 и C_2 .

Степень вершины v_1 четная, и маршрут, являющийся объединением C_1 и C_2 , содержит каждое ребро по одному разу. Если объединение совпадает с графом G , то процесс завершается, в противном случае существует цикл C_3 такой, что есть вершина v_2 , принадлежащая объединению циклов C_1 , C_2 и C_3 и имеющая четную степень. Нарастиваем эйлеров цикл. Процесс продолжается до тех пор, пока не будет исчерпано исходное разбиение.

8.3. Ответ: а) граф эйлеров и гамильтонов; б) граф не эйлеров, но гамильтонов; в) граф эйлеров и не гамильтонов; г) граф не эйлеров и не гамильтонов.

8.4. Цикломатическое число $\nu(G) = m - n + 1 = 9 - 6 + 1 = 4$. Котикломатическое число $\rho(G) = n - 1 = 5$.

8.5. Присвоим метки вершинам и ребрам графа, рис. Р.33. Дерево T , построенное путем обхода в ширину вершин графа, состоит из ребер a, b, f, i, e . Матрица инциденций B имеет вид:

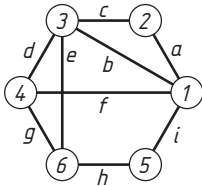


Рис. Р.33. Помеченный граф к задаче 8.5

$$B = \begin{matrix} & a & b & c & d & e & f & g & h & i \\ \begin{matrix} 1 \\ 2 \\ 3 \\ 4 \\ 5 \\ 6 \end{matrix} & \begin{pmatrix} 1 & 1 & 0 & 0 & 0 & 1 & 0 & 0 & 1 \\ 1 & 0 & 1 & 0 & 0 & 0 & 0 & 0 & 0 \\ 0 & 1 & 1 & 1 & 1 & 0 & 0 & 0 & 0 \\ 0 & 0 & 0 & 1 & 0 & 1 & 1 & 0 & 0 \\ 0 & 0 & 0 & 0 & 0 & 0 & 0 & 1 & 1 \\ 0 & 0 & 0 & 0 & 1 & 0 & 1 & 1 & 0 \end{pmatrix} \end{matrix},$$

матрицы фундаментальных циклов F и фундаментальных K :

$$F = \begin{matrix} & a & b & c & d & e & f & g & h & i \\ \begin{matrix} 1 \\ 2 \\ 3 \\ 4 \end{matrix} & \begin{pmatrix} 1 & 1 & 1 & 0 & 0 & 0 & 0 & 0 & 0 \\ 0 & 1 & 0 & 1 & 0 & 1 & 0 & 0 & 0 \\ 0 & 1 & 0 & 0 & 1 & 1 & 1 & 0 & 0 \\ 0 & 1 & 0 & 0 & 1 & 0 & 0 & 1 & 1 \end{pmatrix} \end{matrix}, \quad K = \begin{matrix} & a & b & c & d & e & f & g & h & i \\ \begin{matrix} 1 \\ 2 \\ 3 \\ 4 \\ 5 \end{matrix} & \begin{pmatrix} 1 & 0 & 1 & 0 & 0 & 0 & 0 & 0 & 0 \\ 0 & 1 & 1 & 1 & 0 & 0 & 1 & 1 & 0 \\ 0 & 0 & 0 & 1 & 0 & 1 & 1 & 0 & 0 \\ 0 & 0 & 0 & 0 & 0 & 0 & 0 & 1 & 1 \\ 0 & 0 & 0 & 0 & 1 & 0 & 1 & 1 & 0 \end{pmatrix} \end{matrix}.$$

8.6. Гамильтонов цикл, если он есть, с помощью генерации всех циклов графа из множества фундаментальных циклов получаем всегда. Следует только проверять, содержит ли очередной цикл, если он «невырожденный», все вершины графа.

8.7. Требуется написать программу генерации всех подмножеств множества фундаментальных циклов. Для каждого подмножества

циклов находится их симметрическая разность и осуществляется проверка на «невыврожденность» цикла.

8.9. Рассмотрим матрицу:

$$A = \begin{pmatrix} 1 & 1 & 1 & 0 & 0 \\ 0 & 0 & 1 & 1 & 0 \\ 1 & 0 & 1 & 1 & 1 \end{pmatrix}.$$

Обозначим столбцы как s_1, s_2, s_3, s_4, s_5 . Рассмотрим матроид столбцов матрицы. Его базы получаем путем генерации всех сочетаний из 5 по 3 и проверки соответствующего подмножества столбцов на линейную независимость (определитель не равен нулю). Из десяти подмножеств этому критерию удовлетворяют восемь: $B_1 = \{s_1 s_2 s_3\}$, $B_2 = \{s_1 s_2 s_4\}$, $B_3 = \{s_1 s_3 s_4\}$, $B_4 = \{s_1 s_3 s_5\}$, $B_5 = \{s_1 s_4 s_5\}$, $B_6 = \{s_2 s_3 s_5\}$, $B_7 = \{s_2 s_4 s_5\}$, $B_8 = \{s_3 s_4 s_5\}$. Циклами матроида являются линейно зависящие подмножества: $C_1 = \{s_1 s_2 s_5\}$, $C_2 = \{s_2 s_3 s_4\}$. Кобазы — это дополнения соответствующих баз до полного множества: $K_1 = \{s_4 s_5\}$, $K_2 = \{s_3 s_5\}$, $K_3 = \{s_2 s_5\}$, $K_4 = \{s_2 s_4\}$, $K_5 = \{s_2 s_3\}$, $K_6 = \{s_1 s_4\}$, $K_7 = \{s_1 s_3\}$, $K_8 = \{s_1 s_2\}$. Коциклами матроида являются все линейно зависящие дополнения: $\{s_3 s_4\}$, $\{s_1 s_5\}$ и все подмножества столбцов с мощностью, большей трех: $\{s_1 s_2 s_3 s_4\}$, $\{s_2 s_3 s_4 s_5\}$, $\{s_1 s_2 s_3 s_5\}$, $\{s_1 s_3 s_4 s_5\}$, $\{s_1 s_2 s_4 s_5\}$, $\{s_1 s_2 s_3 s_4 s_5\}$.

8.11. Пример графа приведен на рис. Р.34. Базами графового матроида является множество деревьев: $B_1 = \{1, 2, 5\}$, $B_2 = \{1, 2, 4\}$, $B_3 = \{1, 3, 5\}$, $B_4 = \{1, 4, 5\}$, $B_5 = \{1, 3, 4\}$, $B_6 = \{2, 3, 5\}$, $B_7 = \{2, 3, 4\}$, $B_8 = \{3, 4, 5\}$. Циклы матроида: $C_1 = \{1, 2, 3\}$, $C_2 = \{2, 4, 5\}$. Кобазы: $K_1 = \{3, 4\}$, $K_2 = \{3, 5\}$, $K_3 = \{2, 4\}$, $K_4 = \{2, 3\}$, $K_5 = \{2, 5\}$, $K_6 = \{1, 4\}$, $K_7 = \{1, 5\}$, $K_8 = \{1, 2\}$. Коциклы: $C_1^* = \{4, 5\}$, $C_2^* = \{1, 3\}$, $C_3^* = \{1, 3, 4, 5\}$.

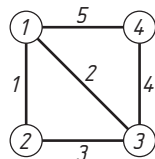


Рис. Р.34. Пример графа к задаче 8.11

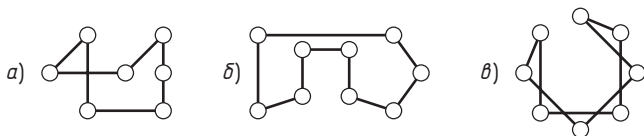


Рис. Р.35. Гамильтоновы циклы для графов задачи 8.13

8.13. Ответы для случаев $a, б, в$ приведены на рис. Р.35, $a, б, в$ соответственно. Четвертый граф не имеет гамильтонова цикла.

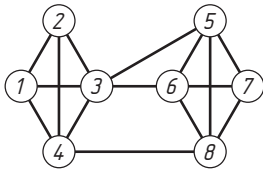


Рис. Р.36. Пример графа для задачи 9.1

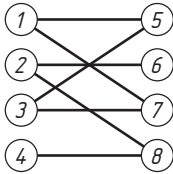


Рис. Р.37. Пример графа для задачи 9.2

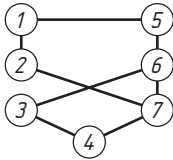


Рис. Р.38. Пример графа для задачи 9.3

К главе 9.

Покрывтия и независимость

9.1. На рис. Р.36 приведен пример графа. Для него имеем:

$$\alpha_0(G) = 6 \quad (2, 3, 4, 5, 7, 8);$$

$$\alpha_1(G) = 4 \quad ((1, 2), (3, 4), (5, 6), (7, 8));$$

$$\beta_0(G) = 2 \quad (1, 7);$$

$$\beta_1(G) = 4 \quad ((1, 2), (3, 4), (5, 6), (7, 8)).$$

Теорема выполняется: $\alpha_0 + \beta_0 = n = \alpha_1 + \beta_1$.

9.2. На рис. Р.37 приведен пример графа. Для него имеем:

$$\alpha_0 = 4 \quad (1, 2, 3, 8);$$

$$\beta_1 = 4 \quad ((1, 5), (2, 6), (3, 7), (4, 8)).$$

Теорема выполняется: $\alpha_0 = \beta_1$.

9.3. На рис. Р.38 приведен пример графа. Его описание с помощью массива множеств имеет вид: $A[1] = [2, 5]$, $A[2] = [1, 7]$, $A[3] = [4, 6]$, $A[4] = [3, 7]$, $A[5] = [1, 6]$, $A[6] = [3, 5, 7]$, $A[7] = [2, 4, 6]$. Трассировка логики нахождения всех максимальных независимых множеств вершин дается в табл. Р.9. Обозначения заголовков столбцов взяты из алгоритма в п. 9.2.

Таблица Р.9 (начало)

k	Qp	Qt	Gg	Ss	Примечания
1	[1..7]	∅	[1..7]	[1]	Выбираем вершину с номером 1
2	[3, 4, 6, 7]	∅	[3, 4, 6, 7]	[1, 3]	Вершины 1, 2, 5 исключаются из списка кандидатов, остаются вершины с номерами 3, 4, 6, 7
3	[7]	∅	[7]	[1, 3, 7]	Вершины 3, 4, 6 исключаются из списка кандидатов, остается вершина с номером 7
4	∅	∅	∅	[1, 3, 7]	Вывод первого максимального независимого множества и выход на уровень $k=3$
3	∅	[7]	∅	[1, 3, 7]	Исключаем вершину с номером 7 из списка свободных и заносим ее в список использованных. Кандидатов нет, выходим на уровень $k=2$
2	[4, 6, 7]	[3]	[4, 6]	[1, 4]	Выбираем вершину с номером 4
3	[6]	∅	[6]	[1, 4, 6]	Выбираем вершину с номером 6
4	∅	∅	∅	[1, 4, 6]	Вывод второго максимального независимого множества и выход на уровень $k=3$

Таблица P.9 (окончание)

k	Qp	Qm	Gg	Ss	Примечания
3	[]	[6]	[]	[1,4]	Исключаем вершину с номером 6 из списка свободных и заносим ее в список использованных вершин. Кандидатов нет, выходим на уровень $k=2$
2	[6,7]	[3,4]	[7]	[1,7]	Выбираем вершину с номером 7
3	[]	[3]	[]	[1,7]	Список кандидатов пуст. Выходим на уровень $k=2$
2	[6]	[3,4,7]	[6]	[1,6]	Выбираем вершину с номером 6
3	[]	[4]	[]	[1,6]	Список кандидатов пуст. Выходим на уровень $k=2$
2	[]	[^{3,4} 6,7]	[]	[1]	Список кандидатов пуст. Выходим на уровень $k=1$
1	[2..7]	[1]	[2,5]	[2]	Исключаем вершину с номером 1 из списка свободных и заносим ее в список занятых. Выбираем вершину с номером 2
2	[3..6]	[]	[3..6]	[2,3]	Выбираем вершину с номером 3
3	[5]	[]	[5]	[2,3,5]	Выбираем вершину с номером 5
4	[]	[]	[]	[2,3,5]	<i>Вывод третьего максимального независимого множества</i> и выход на уровень $k=3$
3	[]	[5]	[]	[2,3]	Список кандидатов пуст. Выходим на уровень $k=2$
2	[4..6]	[3]	[4,6]	[2,4]	Исключаем вершину с номером 3 из списка свободных и заносим ее в список занятых. Выбираем вершину с номером 4
3	[5,6]	[]	[5,6]	[2,4,5]	Выбираем вершину с номером 5
4	[]	[]	[]	[2,4,5]	<i>Вывод четвертого максимального независимого множества</i> и выход на уровень $k=3$
3	[6]	[5]	[6]	[2,4,6]	Выбираем вершину с номером 6
4	[]	[]	[]	[2,4,6]	<i>Вывод пятого максимального независимого множества</i> и выход на уровень $k=3$
3	[]	[5,6]	[]	[2,4]	Список кандидатов пуст. Выходим на уровень $k=2$
2	[5,6]	[3,4]	[]	[2]	Список кандидатов пуст — $Gg := Qp \cap A[4]$. Выходим на уровень $k=1$
1	[3..7]	[1,2]	[5]	[5]	Выбираем вершину с номером 5
2	[3,4,7]	[2]	[3,4,7]	[5,3]	Выбираем вершину с номером 3
3	[7]	[2]	[7]	[5,3,7]	Выбираем вершину с номером 7
4	[]	[]	[]	[5,3,7]	<i>Вывод шестого максимального независимого множества</i> и выход на уровень $k=3$
3	[]	[2,7]	[]	[5,3]	Список кандидатов пуст. Выходим на уровень $k=2$
2	[4,7]	[2,3]	[4]	[5,4]	Выбираем вершину с номером 7
3	[]	[2]	[]	[5,4]	Пересечение Qp и $A[2]$ пусто, следовательно, есть вершины, не попадающие в независимое множество. Выходим на уровень $k=2$
2	[7]	[2,3,4]	[7]	[5,7]	Выбираем вершину с номером 7
3	[]	[3]	[]	[5,7]	Пересечение Qp и $A[2]$ пусто, следовательно, есть вершины, не попадающие в независимое множество. Выходим на уровень $k=2$
2	[]	[^{2,3} 4,7]	[]	[5]	Список кандидатов пуст. Выходим на уровень $k=1$
1	[^{3,4} 6,7]	[1,2,5]	[]		Список кандидатов пуст. Заканчиваем обработку

9.4. Для генерации всех подмножеств множества вершин (п. 3.8) рекомендуется использовать преобразование номера подмножества в подмножество (через анализ двоичного представления номера) и формировать значение переменной множественного типа (m). Проверка на независимость заключается в переборе всех пар номеров вершин, принадлежащих m , и проверке их на смежность. Для определения максимальности подмножества к нему последовательно добавляются по одной из оставшихся вершин, и полученное множество вновь проверяется на максимальность.

9.5. Логика решения задачи и в том, и в другом случае — классический вариант реализации перебора с возвратом. Отличия в описаниях задачи на уровне структур данных приводит к некоторой разнице в программном коде, и только.

Примечание. Рекомендуется выполнить «ручную» трассировку логики поиска максимальных независимых множеств для шахматных досок небольшого размера ($n \leq 6$).

9.7. Полный двудольный граф $K_{n,n+1} = (X \cup Y, E)$. Как множество X , так и множество Y являются независимыми и по мощности отличаются на 1. Однако никакая вершина из Y не может быть добавлена к X с сохранением независимости.

9.8. Пример графа G и его дополнения G^* приведены на рис. Р.39. Клики графа G : (1, 2, 4, 5), (3, 5, 6). Максимальные независимые множества вершин графа G^* : (1, 2, 4, 5), (3, 5, 6).

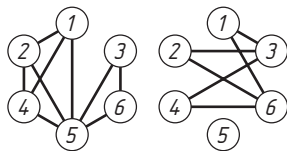
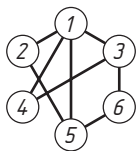


Рис. Р.39. Пример графа G и его дополнения G^*

9.9. Генерация всех сочетаний C_n^k , где k изменяется от n до 3, разобрана в п. 3.3. Идея решения заключается в генерации всех подмножеств вершин графа в указанном порядке и проверке каждого подмножества на то, что соответствующий подграф является кликой.

9.10. В соответствии с логикой, разобранной в п. 9.4, требуется перечислить все минимальные доминирующие множества соответствующего графа.

Рис. Р.40. Пример графа к задаче 9.11



9.11. Пример графа приведен на рис. Р.40. Его минимальные доминирующие множества (1, 3), (1, 5), (1, 6), (2, 3), (2, 4, 6), (3, 5), (4, 5). Число доминирования $\beta(G) = 2$.

9.14. Используя решения пропедевтических задач 9.12, 9.13, реализуем перебор множества столбцов матрицы (по одному из каждого блока). При включении каждого столбца в решение следует выполнять проверку текущего решения — является ли оно результатом. Логика решения разобрана в п. 9.4.

9.15. Механизм включения в решение столбцов, содержащих единицу только в одной строке, прост. Просмотр матрицы по этому критерию позволяет сформировать некий вектор предварительного решения (его элементы не исключаются из решения при последующем переборе). Изменения в основной логике перебора сводятся к введению одной проверки принадлежности текущего столбца к полученному варианту предварительного решения.

Исключение строк, над которыми доминируют другие строки, осуществляется также до основного переборного алгоритма. Одним из вариантов реализации является формирование одномерного массива множеств (U) — каждой строке соответствует элемент массива, а элементами его множества являются номера столбцов, в которых данная строка представлена единицей. После проделанной работы остается проверить условие $U[i] \subset U[j]$. Если оно выполнено, то строка i доминирует над строкой j , и строку с номером j можно не учитывать при поиске решения. Реализация «не учитывания» может быть различна — или через дополнительный вектор, или через сокращение матрицы, путем исключения из нее соответствующих строк.

9.16. Требуется незначительная модификация решения задачи 9.14.

9.17. Если в задаче 9.16 мы находим минимальное количество столбцов по мощности, то в данном случае требуется искать минимальное множество столбцов по их суммарному весу.

9.18. Одна из сложностей заключается в том, что процедура исключения столбца из решения должна быть организована по-другому, ибо каждая строка в этом случае может быть представлена в решении несколькими столбцами. Самый простой способ — включить вектор текущего решения в параметры рекурсивной схемы реализации перебора.

9.19. Требуется синтезировать решения задач 9.17 и 9.18 в единое целое.

9.20. Пример графа приведен на рис. Р.41. Наименьшее доминирующее множество (1, 3) не является независимым.

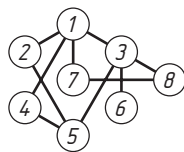


Рис. Р.41. Пример графа для задачи 9.20

9.22. Построим двудольный граф $G = (X, Y, E)$, вершины в X соответствуют сотрудникам, вершины в Y — работам. Вершина из X связана ребром с вершиной из Y в том случае, если сотрудник может выполнять данную работу. Вес ребра $w(e_i)$ — это доход от выполнения работы. Смысл задачи заключается в нахождении паросочетания с наибольшим суммарным весом. Детальный разбор логики поиска паросочетания с наименьшим суммарным весом приведен в п. 9.5. Алгоритм решения нашей задачи легко получается из этой логики. Например, новые веса ребер получаются путем вычитания из максимального веса заданных весов.

К главе 10. Планарные графы

10.1. Граф на рис. 5.9, *a* изоморфен графу $K_{3,3}$ и является непланарным.

Рассмотрим граф, представленный на рис. 7.6. Новая нумерация вершин, определенная в соответствии с логикой просмотра в глубину, имеет вид: [1, 2, 3, 5, 6, 8, 4, 9, 7, 11, 10], т. е., например, новый номер седьмой вершины равен четырем. В соответствии с логикой п. 10.3 строим сегменты. Они приведены на рис. Р.42. Данный граф не является планарным, так как не выполняются критерии совместимости путей, например, в первом сегменте.

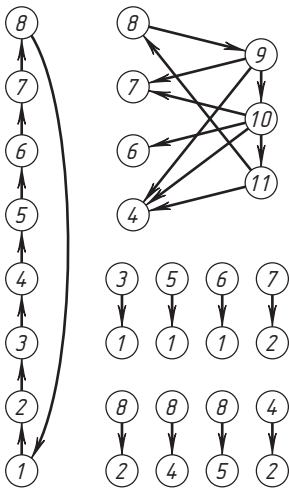


Рис. Р.42. Цикл и сегменты для графа на рис. 7.6, построенные в соответствии с логикой п. 10.3

10.2. Пример графа приведен на рис. Р.43. Он имеет 9 вершин, 20 ребер и 13 граней. Формула Эйлера $9 - 20 + 13 = 2$ выполняется.

10.3. Пример графа приведен на рис. Р.44. Он имеет 6 вершин, 13 ребер, $13 \leq 3 \cdot 6 - 6 = 12$. Неравенство неверно, граф непланарен.

10.6. Граф на рис. 10.12, *b* непланарен. Остальные графы планарны.

10.7. Граф на рис. 10.13, *b* непланарен. Остальные графы планарны. Пример плоской укладки, например, графа на

рис. 10.13, *z*, с использованием алгоритма из п. 10.3 приведен на рис. Р.45.

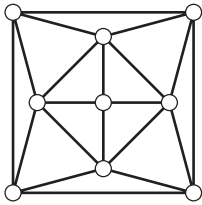


Рис. Р.43. Пример графа к задаче 10.2

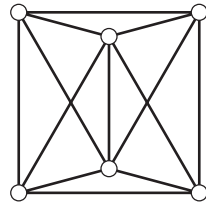


Рис. Р.44. Пример графа к задаче 10.3

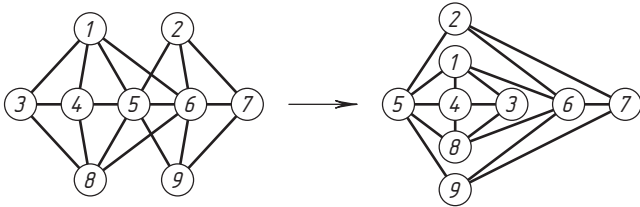


Рис. Р.45. Пример плоской укладки графа

10.9. Ответ: 18 ребер, 8 граней.

10.10. Ответ: 10 вершин, 16 ребер, 8 граней.

10.11. Каждая грань в планарном графе ограничена ровно 3 ребрами, а каждое ребро ограничивает ровно 2 грани. Имеем $3r = 2m$, известно, что $n - m + r = 2$, где $n = |V|$ и $m = |E|$. Получаем $m = 3n - 6$, $r = 2n - 4$.

10.12. Граф с пятью вершинами будем рассматривать как объединение двух частей. Одна часть представлена вершиной с двумя ребрами, другая — оставшийся подграф. Вторая часть представляет собой граф с четырьмя вершинами. Максимальное количество ребер во второй части равно 6. Такой граф является планарным — K_4 . Пятая вершина с двумя ребрами объединяется с K_4 без нарушения планарности во всех шести возможных случаях.

К главе 11. Раскраска вершин графа

11.1. Хроматическое число двудольного графа равно двум. Естественно предположение о том, что граф является двудольным тогда и только тогда, когда его хроматическое число равно двум.

11.2. Любое дерево можно представить как двудольный граф. Хроматическое число дерева равно двум.

11.3. k -раскрашиваемость графа $G = (V, E)$ означает возможность разложения V на k непересекающихся подмножеств V_1, V_2, \dots

\dots, V_k , таких, что $V = \bigcup_{i=1}^k V_i$, $V_i \cap V_j = \emptyset$ при $i \neq j$, и вершины в каж-

дом подмножестве V_i независимы, т. е. ребра из E соединяют вершины только из разных подмножеств. Пусть G содержит клику T из k вершин — v_1, v_2, \dots, v_k . Разложение T требует k подмно-

жеств $T = \bigcup_{i=1}^k V_i$, $V_i \cap V_j = \emptyset$ при $i \neq j$. Требуется показать, что для

разложения G достаточно этих k подмножеств. Пусть $w \in G$ и $w \notin T$. В клике T существует такая вершина v_j , которая несмежна с w , иначе клика состояла бы из $k+1$ вершин. Включаем вершину w в подмножество V_j . Следовательно, $\chi(G) = k$. Обратно. Пусть $\chi(G) = k$. Пусть максимальная клика содержит m вершин и $m \neq k$. Но тогда и $\chi(G) = m$, что противоречит условию.

11.4. Ответ: $\chi(G) = 3$.

11.5. Ответы: а) 2; б) 3; в) 2; г) 4.

11.6. Решение основано на двух утверждениях. Первое — граф является двудольным тогда и только тогда, когда его хроматическое число равно двум. Второе (теорема Кёнига) — граф двудольный, если он не содержит циклов нечетной длины.

Таким образом, для определения возможности раскраски вершин графа в два цвета достаточно один раз выполнить обход в глубину. При выявлении обратных ребер следует проверить длину получившегося цикла. Если она нечетна, то граф не раскрашиваем двумя красками.

11.7. Пример графа, для которого эвристический алгоритм не дает правильного ответа, приведен на рис. Р.46. После сортировки по степеням вершин они раскрашиваются в следующей очередности: 3, 4, 2, 7, 8, 1, 5, 6. Цвета вершин: $Gr[3] = 1$, $Gr[4] = 2$, $Gr[2] = 2$, $Gr[7] = 3$, $Gr[8] = 4$, $Gr[1] = 3$, $Gr[5] = 1$, $Gr[6] = 1$. А фактически вершины графа раскрашиваются тремя красками: $Gr[3] = 1$, $Gr[4] = 2$, $Gr[2] = 3$, $Gr[7] = 3$, $Gr[8] = 2$, $Gr[1] = 2$, $Gr[5] = 1$, $Gr[6] = 1$.

Еще один контрпример приведен на рис. Р.47. Граф двудольный, его хроматическое число равно двум. Однако эвристический

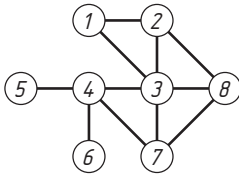


Рис. Р.46. Пример графа для задачи 11.7

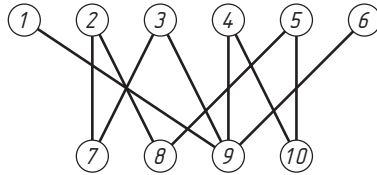


Рис. Р.47. Второй пример графа для задачи 11.7

алгоритм раскраски даст три цвета: $Gr[1]=2$, $Gr[2]=1$, $Gr[3]=2$, $Gr[4]=2$, $Gr[5]=1$, $Gr[6]=2$, $Gr[7]=3$, $Gr[8]=2$, $Gr[9]=1$, $Gr[10]=3$.

11.8. Задача не что иное, как некая содержательная интерпретация задачи о поиске минимальной раскраски вершин графа.

К главе 12. Кратчайшие пути в графе

12.1. Один из возможных вариантов решения:

```

Procedure Way_nr(s,t:Integer); {s, t — начальная и
конечная вершины пути}
Var yk,u,v:Integer;
    St:Array[1..n] Of Integer;
Begin
    yk:=1; v:=t; st[yk]:=t;
    Repeat
        For u:=1 To n Do
            If (u<>v) Then
                If D[u]+A[u,v]=D[v] Then Begin
                    Inc(yk); St[yk]:=u; {Запоминаем номер
                    вершины u в St}
                    v:=u;
                End;
        Until (v=s);
        For v:=yk DownTo 1 Do Write(St[v]:3);
        Writeln;
    End;

```

12.2. Если на какой-то итерации алгоритма Флойда—Уоршалла существует такое значение i , при котором $D[i, i]$ меньше нуля, то это означает существование цикла с отрицательным суммарным весом. Для вывода цикла используется матрица M (п. 12.2).

12.3. Используя алгоритм Дейкстры, получаем: а) 1, 3, 6, 7, 9; б) 1, 2, 7, 11; в) 1, 2, 5, 7; г) 1, 3, 6, 8, 10.

12.5. Ответ: (1, 2, 6, 8, 10), длина равна 18; (1, 2, 6, 7, 8, 10), длина равна 22; (1, 2, 6, 3, 7, 8, 10), длина равна 26; (1, 3, 7, 8, 10), длина равна 27.

12.6. Организуя переборную схему так, как это сделано при поиске гамильтоновых циклов, мы находим все пути в графе между вершинами заданной пары. Их требуется запомнить и отсортировать по возрастанию суммарного веса. После чего остается только вывести первые k путей из отсортированного списка.

Ошибочным является, например, следующий вариант жадной логики. С помощью алгоритма Дейкстры находится первый кратчайший путь. Затем $k - 1$ раз выполняются действия: удаляем одну из дуг в найденном пути, ту, при которой новый путь имеет минимальную стоимость. Неработоспособность «жадности» следует из того, что множество кратчайших путей не является матроидом.

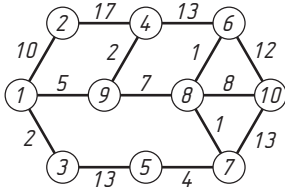


Рис. Р.48. Контрпример для задачи 12.6

На рис. Р.48 приведен контрпример. Первый путь: (1, 9, 8, 10), его стоимость 20. Удаляя поочередно дуги (1, 9), (9, 8), (8, 10), находим следующий кратчайший путь (1, 9, 8, 6, 10) со стоимостью 25, затем — (1, 9, 8, 7, 10) со стоимостью 26 и (1, 3, 5, 7, 10) со стоимостью 32. Но при наличии дуги (8, 10) путь (1, 3, 5, 7, 8, 10) имеет стоимость 28.

12.7. При использовании алгоритмов поиска кратчайших путей на каждом шаге следует выбирать не минимальную, а максимальную оценку расстояний.

12.8. При переходе из вершины с номером i в вершину j в алгоритме поиска кратчайших путей следует учитывать не только вес дуги (i, j) , но и вес вершины j .

12.9. Один из вариантов решения заключается в модификации решения задачи 12.6.

12.10. Надежность пути P от s к t , составленного из дуг, определяется формулой $\rho(P) = \prod_{(i,j) \in P} \rho_{ij}$, где ρ_{ij} — надежность дуги (i, j) .

Преобразуем формулу: $\log_2 \rho(P) = \log_2 \rho_1 + \log_2 \rho_2 + \dots + \log_2 \rho_k$, где

ρ_i — надежность дуги, принадлежащей пути, k — количество дуг в пути. Требуется найти путь с максимальной оценкой $\log_2 \rho(P)$, а это уже задача 12.7.

К главе 13. Потоки в сетях

13.1. Наибольшее паросочетание, приведенное на рис. 13.17, не совпадает с тем, что получается в результате работы алгоритма (п. 13.2): $((1, 5), (2, 7), (3, 8), (4, 6))$.

13.2. Максимальный поток равен а) 9, б) 31, в) 25, г) 16.

13.3. Ввести две дополнительные вершины — общий источник, связанный со всеми источниками дугами с неограниченной пропускной способностью, и общий сток, аналогично связанный дугами со всеми стоками, а затем использовать один из разобранных в п. 13.2, 13.3, 13.4 алгоритмов.

13.4. Преобразовать сеть так, чтобы каждой вершине соответствовало две вершины, дуга между которыми имеет пропускную способность исходной вершины, а затем использовать один из разобранных в п. 13.2, 13.3, 13.4 алгоритмов.

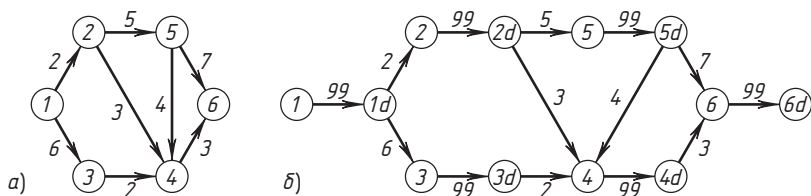


Рис. Р.49. Пример преобразования сети: а) исходная сеть; б) после введения дополнительных вершин

Пример преобразования приведен на рис. Р.49. Считаем, что все вершины исходной сети имеют пропускную способность, равную 99.

13.5. Вводятся дополнительный источник s_a и дополнительный сток t_a . К дуге (i, j) с ненулевым значением ограничения снизу добавляются две дуги (s_a, j) и (i, t_a) с пропускными способностями, равными этому ограничению, и ограничением снизу, равным нулю.

Пропускная способность дуги (i, j) уменьшается на значение ограничения снизу. Кроме того, вводится дуга (t, s) с бесконечной пропускной способностью. Затем находим максимальный поток между введенными вершинами. Если значение этого потока равно сумме всех ограничений снизу, т. е. все дуги, выходящие из s_a , и дуги, входящие в t_a , насыщены, то в исходном графе существует допустимый поток с таким значением. Для того чтобы найти максимальный допустимый поток в исходной сети, требуется восстановить сеть — убрать дополнительные вершины и дуги — и увеличить ранее найденный поток до максимального.

13.6. Простой вариант решения заключается в нахождении максимального потока между каждой парой вершин с помощью стандартного алгоритма поиска максимального потока в сети.

Для неориентированных графов более эффективным является алгоритм Р. Гомори и Т. Ху [15, с. 329—338].

13.7. Находится поток заданной величины (пусть будет максимальный поток). Строится дополнительная сеть путем введения обратных дуг с отрицательными стоимостями. Обратные дуги определяются только для дуг, задействованных в построении данного потока. В построенной таким образом сети находятся циклы с отрицательной суммарной стоимостью. На дугах цикла поток изменяется: на дугах с отрицательной стоимостью он уменьшается, а на остальных дугах увеличивается на минимальное значение потока. Процесс продолжается до тех пор, пока есть циклы с отрицательной суммарной стоимостью. Если таких циклов нет, то построенный поток заданной величины имеет минимальную стоимость. Детальное обоснование алгоритма приведено в работе Н. Кристофидеса [15, с. 339—349].

13.8. Искомые дуги назовем «несущими». Найдем максимальный поток в сети. Затем анализируем структуру сети, начиная с s , при этом разрешается «движение» и по обратным дугам, и записываем в множество A насыщенные дуги. Аналогичным образом, начиная со стока t , формируется множество B . «Несущие» дуги принадлежат $A \cap B$, если оно не пусто.

ЗАДАЧИ ДЛЯ САМОСТОЯТЕЛЬНОГО РЕШЕНИЯ

Основные методы дискретной математики (счет и перебор)

1. На шахматной доске 8×8 расставить произвольное (заданное пользователем) количество шахматных фигур так, чтобы они не «били» друг друга. Найти один вариант расстановки.

2. На шахматной доске 8×8 расставить четырех коней и четырех слонов так, чтобы они не «били» друг друга. Найти все способы расстановки фигур.

3. На доске 8×8 найти расстановку двенадцати коней, при которой каждое поле доски будет находиться под боем одного из них.

4. *Задача о коне Аттилы** («Трава не растет там, где ступил мой конь!»). На доске стоят белый конь и черный король. Некоторые поля доски считаются «горящими». Конь должен дойти до неприятельского короля, повергнуть его и вернуться на исходное место. При этом ему запрещено становиться как на горящие поля, так и на поля, которые уже пройдены.

5. На доске 8×8 найти расстановку восьми слонов, при которой каждое поле доски будет находиться под боем одного из них.

6. Разработать интерактивную программу игры в крестики-нолики с компьютером на поле 5×5 . Исследовать возможности сокращения перебора.

7. Даны натуральные числа m, a_1, a_2, \dots, a_n . Найти все подпоследовательности $a_{i_1}, a_{i_2}, \dots, a_{i_k}$ ($1 \leq i_1 < i_2 < \dots < i_k \leq n$), такие, что

$$a_{i_1} + a_{i_2} + \dots + a_{i_k} = m.$$

*) Аттила (? — 453) — предводитель гуннов. Возглавлял опустошительные походы в Восточную Римскую империю. При Аттиле гуннский союз племен достиг наивысшего могущества.

8. Есть n предметов с весами a_1, a_2, \dots, a_n . Разделить эти предметы на две группы так, чтобы суммарные веса предметов из групп были максимально близки.

9. Из цифр 0, 1, 2 получить все последовательности a_1, a_2, \dots, a_n , в которых нет смежных одинаковых участков. Под участком понимается группа цифр, идущих подряд, произвольной длины.

Примечание. В последовательности 2, 0, 1, 1, два соседних одинаковых элемента. В последовательности 2, 1, 0, 1, 2, 1, 0, 1 два одинаковых участка. И та, и другая последовательности не подходят.

10. Дана таблица размером 4×4 , в каждой клетке которой, кроме двух, содержится одно из чисел от 1 до 14 (все числа разные). Оставшиеся две клетки пустые. Например,

7	3	5	14
	4	9	13
1		2	10
11	8	12	6

Правило перемещения: число из любой клетки может быть перемещено по горизонтали или по вертикали в любую незанятую соседнюю клетку. Клетка, в которой ранее размещалось число, становится пустой. Применяя это правило, произвольную таблицу заданного вида преобразовать в таблицу вида:

1	2	3	4
5	6	7	8
9	10	11	12
13	14		

11. На доске размером 3×3 случайным образом в граничных клетках размещены восемь фишек с буквами х, а, м, е, л, е, о, н. Центральная клетка пустая. Например,

х	е	о
е		а
м	н	л

Фишки передвигаются очевидным образом — по вертикали или по горизонтали на свободную клетку. Перемещая фишки, получить расположение вида

х	а	м
н		е
о	е	л

12. Японский кроссворд. Поле $n \times m$ (n строк, m столбцов) закодировано информацией о закрашенных клетках по горизонталям и вертикалям (пример при $n, m = 6$ на рис. С.1). Числа справа от поля определяют порядок и размер закрашенных участков на соответствующей горизонтали. Аналогично, внизу — информация по вертикалям. Требуется восстановить закраску поля. Исследуйте возможности сокращения перебора. Определите, для каких значений n и m ваше решение работает не более 10 с.

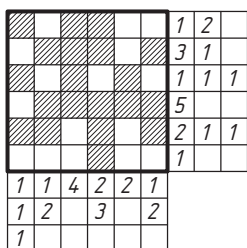


Рис. С.1. Иллюстрация к задаче 12

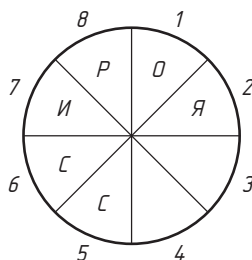


Рис. С.2. Иллюстрация к задаче 13

13. Круг разбили на 8 секторов (рис. С.2). Какие-то два соседних сектора пусты, а в остальных расположены буквы Р, О, С, С, И, Я в некотором порядке (по одной букве в секторе). За один ход разрешается перемещать две подряд идущие буквы в пустые сектора, сохраняя порядок их следования. При этом сектора, которые занимали перенесенные буквы до хода, становятся пустыми. Состояние круга назовем *правильным*, если, начиная с сектора 1, по часовой стрелке из букв складывается слово РОССИЯ. При этом положение пустых секторов может быть произвольным. Найти кратчайшую последовательность ходов, переводящую круг в правильное состояние.

14. Разработать программу умножения двух n -разрядных чисел по логике, описанной в примере 1.5 п. 1.2 (см. с. 17).

15. Найдите асимптотические оценки для $T(n)$ (если это возможно):

- | | |
|---|--|
| а) $T(n) = 9T(n/3) + n;$ | б) $T(n) = 2T(n/2) + n^3;$ |
| в) $T(n) = T(n - 2) + 1;$ | г) $T(n) = T(n - 1) + \log_2 n;$ |
| д) $T(n) = T(n - 1) + n;$ | е) $T(n) = 4T(n/2) + n;$ |
| ж) $T(n) = 4T(n/2) + n^2;$ | з) $T(n) = 4T(n/2) + n^{3/2};$ |
| и) $T(n) = 4T(n/2) + n^3;$ | к) $T(n) = 3T(n/2) + n^2;$ |
| л) $T(n) = 8T(n/2) + \frac{n^2}{\log_2 n};$ | м) $T(n) = 16T(n/4) + \frac{n^3}{\log_2 n};$ |
| н) $T(n) = T(\sqrt{n}) + 1;$ | о) $T(n) = \sqrt{n} T(\sqrt{n}) + n.$ |

Таблица С.1

$f(n) \backslash t$	1 с	1 мин.	1 час	1 день	1 месяц	1 год	1 век
$\log_2 n$							
\sqrt{n}							
n							
$n \log_2 n$							
n^2							
n^3							
2^n							
$n!$							

16. Имеется алгоритм, решающий задачу порядка n за $f(n)$ микросекунд. Определить максимальную размерность задачи, которую данный алгоритм сможет решить за время t . Вычислить это значение для функций и времен, приведенных в табл. С.1 [14].

17. Расположить следующие 25 функций в порядке увеличения скорости роста: $f_{i+1} = O(f_i)$. Отметить, какие из функций имеют одинаковую скорость роста: $f_i = \Theta(f_j)$ [14].

- 1) $(\sqrt{2})^{\log n}$; 2) n^2 ; 3) $n!$; 4) $(\log n)!$; 5) $(3/2)^n$;
 6) n^3 ; 7) $(\log n)^2$; 8) $\log(n!)$; 9) 2^{2^n} ; 10) $n^{1/\log n}$;
 11) $\ln \ln n$; 12) $n \cdot 2^n$; 13) $n^{\log \log n}$; 14) $\ln n$; 15) n ;
 16) $2^{\log n}$; 17) $(\log n)^{\log n}$; 18) e^n ; 19) $4^{\log n}$; 20) $(n+1)!$;
 21) $2^{\sqrt{2 \log n}}$; 22) 2^n ; 23) $n \log n$; 24) $\sqrt{\log n}$; 25) 2^{n+1} .

Примечание. В задаче использованы следующие обозначения: $\log n = \log_2 n$ (двоичный логарифм); $\ln n = \log_e n$ (натуральный логарифм); $\log \log n = \log(\log n)$. Для всех $a > 0$, $b > 0$, $c > 0$ и при всех n справедливы тождества (основания логарифмов не равны 1):

$$a = b^{\log_b a}, \quad \log_b a^n = n \log_b a, \quad \log_b a = \frac{1}{\log_a b}, \quad \log_c(ab) = \log_c a + \log_c b,$$

$$\log_b a = \frac{\log_c a}{\log_c b}, \quad a^{\log_b c} = c^{\log_b a}, \quad \log_b \left(\frac{1}{a} \right) = -\log_b a.$$

Основные комбинаторные принципы и понятия

18. Сколько существует различных 9-битовых строк?

19. Сколько существует различных 9-битовых строк, если первый, средний и последний биты совпадают?

20. Сколько существует различных 9-битовых строк, содержащих 5 и более единиц?

21. Сколько можно составить различных паролей из 30 цифр?
22. В матрице 5×5 записаны по одному разу числа от 1 до 25. Сколько существует различных матриц такого вида?
23. Шестизначный телефонный номер не может начинаться с цифр 0, 8 и 9. Сколько существует различных шестизначных номеров?
24. Подсчитать количество целых чисел в интервале от 0 до 1000, содержащих точно одну цифру 7.
25. Подсчитать количество целых чисел в интервале от 0 до 1000, содержащих хотя бы одну цифру 7.
26. Подсчитать количество нечетных чисел в интервале от 100 до 1000.
27. В урне 17 красных шаров, 11 синих и 13 черных. Сколько существует различных способов выбрать два шара разного цвета?
28. Сколько существует номерных знаков для автомобилей, состоящих из двух букв и трех цифр?
29. Сколькими способами можно переставить три монеты достоинством 1, 2 и 5 рублей, расположенных соответственно на трех местах с номерами 1, 2, 3?
30. Сколькими способами можно пересадить четырех гостей А, Б, В и Г, сидящих соответственно на четырех местах 1, 2, 3, 4?
31. Сколькими способами можно переставить буквы в слове *эскиз*?
32. Сколькими способами можно расположить на шахматной доске 8 ладей так, чтобы они не могли бить друг друга?
33. Сколько существует положительных целых чисел, меньших 900 и не делящихся на 6?
34. Сколько существует положительных пятизначных чисел, в которых по крайней мере две цифры не совпадают?
35. Сколько существует положительных целых чисел, меньших 1000, которые делятся на 7 или 9?
36. Сколько существует положительных целых чисел, меньших 1000, которые делятся на 3, 7 или 9?
37. Сколько существует положительных целых чисел, меньших 10 000, содержащих цифры 3, 7 и 9?
38. Из 200 студентов 120 изучают информатику, 101 — английский язык, 80 — немецкий язык, 90 — информатику и английский язык, 70 — информатику и немецкий язык, 20 — английский и немецкий языки и 10 — все предметы. Сколько студентов изучают хотя бы один из трех перечисленных предметов? Сколько студентов изучают только информатику? Сколько студентов изучают английский или немецкий язык, но не изучают информатику?

39. Сколько существует способов рассадить 5 мудрецов за круглым столом, если имеет значение только порядок соседей?

40. Сколько существует различных пятизначных чисел, состоящих из цифр от 1 до 9, если все цифры различны?

41. Сколькими способами можно выбрать и разместить на двух различных местах две из трех монет достоинством 1, 2 и 5 рублей?

42. Сколькими способами можно выбрать и разместить на двух различных местах двух из четырех гостей А, Б, В и Г?

43. Сколько трехбуквенных сочетаний можно составить из букв слова *эскиз*?

44. В чемпионате по футболу принимают участие 17 команд и разыгрываются золотая, серебряная и бронзовая медали. Сколькими способами они могут быть распределены?

45. Партия состоит из 25 человек. Требуется выбрать председателя партии, его заместителя, секретаря и казначея. Сколькими способами можно это сделать, если каждый член партии может занимать лишь один пост?

46. Сколькими способами можно выбрать две из трех монет достоинством 1, 2 и 5 рублей?

47. Сколькими способами можно выбрать двух из четырех гостей А, Б, В и Г?

48. Сколькими способами можно выбрать три из пяти букв слова *эскиз*?

49. В чемпионате по футболу России принимают участие 17 команд и разыгрываются золотая, серебряная и бронзовая медали. Нас не интересует порядок, в котором располагаются команды-победительницы, ибо все они выходят в европейский турнир. Сколько существует различных способов представления нашего государства на европейском турнире?

50. Партия состоит из 25 человек. Требуется выбрать двух делегатов, которые будут представлять партию в президиуме межпартийных форумов. Сколькими способами можно это сделать, если каждый член партии может занимать лишь один пост?

51. Найти общее количество шестизначных чисел.

52. Найти число буквосочетаний длины 4, составленных из 33 букв русского алфавита, и таких, что любые две соседние буквы этих буквосочетаний различны.

53. Ячейка памяти компьютера состоит из 16 бит (k). В каждом бите, как известно, можно записать 1 или 0. Сколько различных комбинаций из 1 и 0 может быть записано в ячейке?

54. Сколько различных буквосочетаний можно получить из букв слова *nana*?

55. Сколько различных буквосочетаний можно получить из букв слова *капкан*?

56. Сколькими способами можно расположить в ряд 2 одинаковых яблока и 3 одинаковые груши?

57. Сколько различных сообщений можно закодировать, меняя порядок 6 флажков: 2 красных, 3 синих и 1 зеленого?

58. Для выполнения работы необходимо в некотором порядке выполнить дважды каждое из трех действий (*a*, *b*, *c*). Например: *aabbcc*, *cabbac*. Сколько существует различных способов выполнения работы?

59. Четверо ребят собрали в лесу 30 белых грибов. Сколькими способами они могут разделить их между собой?

60. Сколькими способами можно выбрать 3 рыбины из трех одинаковых щук и трех одинаковых окуней?

61. Сколькими способами можно выбрать 13 из 52 игральных карт, различая их только по масти?

62. Сколько всего существует результатов опыта, заключающегося в подбрасывании 2 одинаковых игральные костей (если кости различные, то 36)?

63. Сколько существует целочисленных решений уравнения $x_1 + x_2 + x_3 + x_4 = 7$?

64. Сколькими способами можно разбить три монеты достоинством 1, 2 и 5 рублей на три группы по одной монете?

65. Сколькими способами можно разделить четырех гостей А, Б, В и Г на две группы?

66. Сколькими способами можно разбить пять букв слова *эскиз* на три группы так, чтобы в первой группе была одна буква, а во второй и третьей по 2?

67. Сколькими способами можно расселить 8 студентов по трем комнатам: одноместной, трехместной и четырехместной?

68. Сколькими способами можно раскрасить в красный, зеленый и синий цвет 6 различных предметов по 2 предмета каждого цвета?

69. На столе требуется расположить в ряд 21 пронумерованный кубик. Из них 9 красных, 7 синих и 5 черных. Сколько существует описанных способов расположения, если все кубики одного цвета должны находиться рядом; не существует никаких ограничений?

70. В группе 20 студентов: 10 юношей и 10 девушек. Сколько существует способов расставить их в ряд, если никакие двое юношей и никакие две девушки не должны стоять рядом?

71. Сколько существует перестановок букв $a, б, в, г, д, е, ж, з, и$, в которых последовательности букв не образуют групп $аб, вгд, ежзи$?

72. Сколькими способами можно вытянуть 5 карт червовой масти из стандартной колоды, содержащей 52 карты?

73. Сколько существует способов взять 13 карт из стандартной колоды, содержащей 52 карты?

74. Сколько существует способов взять 13 из 52 игральных карт, содержащих 7 карт одной масти?

75. В колоде 52 карты. Сколько существует способов получить в 5-карточной раздаче ровно две пары (например, два короля и две дамы)?

76. В колоде 52 карты. Сколько существует способов получить при 5-карточной раздаче три карты одного ранга (например, три семерки)?

77. В колоде 52 карты. Сколько существует способов получить при 5-карточной раздаче пять карт одной масти?

78. Используя биномиальную теорему, построить разложение $(2a + 5b^2)^3$.

79. В разложении $(2a + 3b)^{12}$ найдите коэффициент при a^6b^6 .

80. Подсчитать количество перестановок из чисел от 1 до 9, в которых:

а) ни одно число не находится на своем месте;

б) в перестановке ни одно четное число не находится на своем месте;

в) в перестановке хотя бы одно четное число остается на своем месте;

г) точно пять чисел находятся на своем месте.

81. Показать, что количество разбиений числа n на нечетные слагаемые равно количеству разбиений, в которые каждое слагаемое, кроме наибольшего, входит четное число раз, а наибольшее слагаемое — нечетное число раз.

Перечисление комбинаторных объектов

82. Определить перестановку, следующую за 3, 1, 4, 2, 5 в лексикографическом порядке.

83. Определить перестановку, следующую за 5, 9, 1, 3, 2, 4, 8, 7, 6 в лексикографическом порядке.

84. Определить перестановку, следующую за 4, 1, 3, 2 в антилексикографическом порядке.

85. Определить перестановку, следующую за 4, 1, 5, 2, 3 в антилексикографическом порядке.

86. Перечислить все перестановки при $n = 5$ в лексикографическом порядке.

87. Дано множество $\{1, 2, 3, 4, 5\}$. Определить сочетание, следующее за 2, 4, 5 в лексикографическом порядке.

88. Дано множество $\{1, 2, 3, 4, 5, 6\}$. Определить сочетание, следующее за 1, 2, 5, 6 в лексикографическом порядке.

89. Перечислить все сочетания при $n = 7$ и $k = 5$ в лексикографическом порядке.

90. Дано множество $\{1, 2, 3, 4, 5\}$. Определить размещение, следующее за 2, 4, 5 в лексикографическом порядке.

91. Перечислить все размещения при $n = 5$ и $k = 3$ в лексикографическом порядке.

92. Дано множество $\{1, 1, 2, 2, 3\}$. Перечислить все перестановки с повторениями.

93. Дана перестановка с повторениями 2, 1, 1, 3, 2. Определить следующую в лексикографическом порядке перестановку.

94. Перечислить все сочетания с повторениями при $n = 6$ и $k = 4$.

95. Пусть $n = 6$, $k = 4$ и дано сочетание с повторениями 1, 2, 5, 6. Какое сочетание является следующим в лексикографическом порядке?

96. Перечислить все размещения с повторениями при $n = 5$ и $k = 3$.

97. Пусть $n = 5$, $k = 3$ и дано размещение с повторениями 5, 4, 5. Перечислите следующие два размещения в лексикографическом порядке.

98. Подмножество множества из n элементов описывается двоичной последовательностью из n разрядов. Элемент принадлежит подмножеству, если соответствующий разряд равен 1. Перечислить все k -элементные подмножества (k двоичных разрядов в последовательности равны 1) путем генерации всех последовательностей в лексикографическом порядке.

99. При $n = 5$ перечислите по Грью все двоичные последовательности, их 32.

100. Перечислите все подмножества множества из 6 элементов так, чтобы каждое следующее подмножество отличалось от предыдущего только одним элементом.

101. Перечислите четырьмя способами все разбиения числа 7.

102. Натуральные числа от 1 до n ($1 \leq n \leq 13$) поступают на обработку в определенной последовательности. Числа размещаются в таблице по следующему принципу. Последовательно просматриваются числа из первой строки и сравниваются с поступившим чис-

лом k . Если число k больше всех чисел строки, то оно размещается в конце строки. Если же в строке есть число t , такое, что $t > k$, то число k записывается на место первого такого числа t , а само t «выдавливается» из строки и размещается во второй строке по этому же принципу, затем, если потребуется, перемещаются числа в третьей и т. д. строках, пока для всех «выдавливаемых» чисел не будет найдено место. Например, для последовательности 3, 4, 6, 2, 5, 1 перед обработкой числа 2 таблица имеет вид

3	4	6
---	---	---

, а окончательное размещение в таблице выглядит следующим образом*):

1	4	5
2	6	
3		

Требуется по конечному результату восстановить все возможные входные последовательности чисел, обработка которых по данной логике приводит к этому размещению. Так, для примера из формулировки задачи ответом являются 16 последовательностей:

3, 2, 1, 4, 6, 5; 3, 2, 1, 6, 4, 5; 3, 4, 2, 1, 6, 5; 3, 2, 4, 1, 6, 5;
 3, 2, 6, 1, 4, 5; 3, 6, 2, 1, 4, 5; 3, 4, 2, 6, 1, 5; 3, 4, 6, 2, 1, 5;
 3, 2, 4, 6, 1, 5; 3, 2, 6, 4, 1, 5; 3, 6, 2, 4, 1, 5; 3, 4, 2, 6, 5, 1;
 3, 4, 6, 2, 5, 1; 3, 2, 4, 6, 5, 1; 3, 2, 6, 4, 5, 1; 3, 6, 2, 4, 5, 1.

Рекуррентные и нерекуррентные формулы

103. Найти общее решение для следующих рекуррентных уравнений:

а) $u_n = 5u_{n-1} - 6u_{n-2}$;

б) $u_n = 7u_{n-1} - 12u_{n-2}$;

в) $u_n = 2u_{n-1} - 8u_{n-2}$;

г) $u_n = 3u_{n-1} - 2u_{n-2}$;

д) $u_n = 5u_{n-1} + 3$;

е) $u_n = -3u_{n-1} + n$;

ж) $u_n = -3u_{n-1} - u_{n-2} + 3^n$;

з) $u_n = -4u_{n-1} - 2u_{n-2} + 5$.

104. Используя соответствующие рекуррентные уравнения, найти суммы:

а) $1^2 + 2^2 + 3^2 + \dots + n^2$;

б) $1 + 4 + 7 + \dots + 3n - 2$;

в) $2^1 + 2^2 + 2^3 + 2^4 + \dots + 2^n$;

г) $1 \cdot 2 + 2 \cdot 3 + 3 \cdot 4 + \dots + n \cdot (n - 1)$;

*) Задача с международной олимпиады школьников 2001 г. (формулировка сокращена).

- д) $1^3 + 2^3 + 3^3 + \dots + n^3$;
 е) $1^2 \cdot 2 + 2^2 \cdot 3 + 3^2 \cdot 4 + \dots + n^2 \cdot (n + 1)$.

105. Используя аппарат производящих функций, решить следующие рекуррентные уравнения:

- а) $u_0 = 1, u_n = 2u_{n-1} + 3^n$ при $n > 0$;
 б) $u_0 = 2, u_n = 3u_{n-1} + n$ при $n > 0$;
 в) $u_0 = 8, u_1 = 16, u_n = 2u_{n-1} + 3u_{n-2}$ при $n > 1$;
 г) $u_0 = 1, u_1 = 0, u_n = 4u_{n-1} - 4u_{n-2}$ при $n > 1$;
 д) $u_0 = 4, u_n = 2u_{n-1} - 3$ при $n > 0$;
 е) $u_0 = 1, u_n = 2u_{n-1}$ при $n > 0$;
 ж) $u_0 = 3, u_n = 4u_{n-1} + 2n$ при $n > 0$;
 з) $u_0 = 1, u_1 = 3, u_n = 5u_{n-1} - 6u_{n-2}$ при $n > 1$;
 и) $u_0 = 1, u_1 = 3, u_n = 7u_{n-1} - 10u_{n-2}$ при $n > 1$;
 к) $u_0 = 1, u_n = 2u_{n-1} + n - 1$ при $n > 0$;
 л) $u_0 = 1, u_n = u_{n-1} + n$ при $n > 0$;
 м) $u_0 = 1, u_n = 2u_{n-1} + 2^n$ при $n > 0$;
 н) $u_0 = 1, u_1 = 8, u_n = 6u_{n-1} - 9u_{n-2} + 2^n$ при $n > 1$;
 о) $u_0 = 2, u_n = 3u_{n-1} + 2^n$ при $n > 0$.

106. Найти производящую функцию для нахождения количества способов выбора t шаров из:

- а) 5 красных, 6 синих, 4 зеленых и 3 белых;
 б) 5 красных, 6 синих, 4 зеленых и 3 белых при условии, что выбирается не менее одного шара каждого цвета;
 в) 5 красных, 6 синих, 4 зеленых и 3 белых при условии, что выбирается не менее трех красных шаров и четное количество как синих, так и зеленых шаров;
 г) 5 красных, 6 синих, 4 зеленых и 3 белых при условии, что количество шаров каждого цвета является нечетным.

107. Найти производящую функцию для подсчета количества способов разбиения числа n на различные нечетные слагаемые.

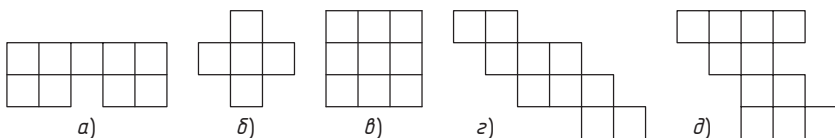


Рис. С.3. Примеры досок для определения ладейных полиномов

108. Найти ладейные полиномы для досок, изображенных на рис. С.3.

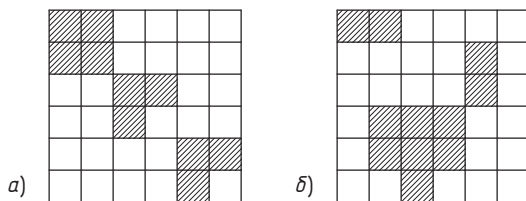


Рис. С.4. Примеры досок с запрещенными позициями

109. На досках, изображенных на рис. С.4, запрещенные области заштрихованы. Найти количество допустимых размещений ладей.

110. Есть лестница из n ступенек. За один шаг можно подняться на следующую ступеньку или шагнуть через одну ступеньку вверх. Определить количество способов, которыми можно подняться на n -ю ступеньку.

111. Число из $2n$ цифр (каждая цифра от 0 до 9, включая первую) называется счастливым билетом, если сумма первых n цифр равна сумме последних n цифр. Найти количество счастливых билетов при заданном значении n *).

Указание. Более общая постановка задачи: найти количество чисел, в которых разность между суммами равна k ($k = -9n, \dots, 9n$). Пусть $T(n, k)$ — количество таких чисел. Если разность между первой и последними цифрами равна t , то разность между группами из оставшихся $n-1$ цифр равна $k-t$. Количество пар цифр с разностью t равно $10 - |t|$, отсюда формула:

$$T(n, k) = \sum_{t=-9}^9 (10 - |t|) T(n-1, k-t).$$

Понятие графа, основные методы

112. Доказать или опровергнуть утверждение: если G_1 и G_2 — регулярные графы, то таковы же графы $G_1 + G_2$, $G_1 \times G_2$, $G_1[G_2]$.

113. Доказать или опровергнуть утверждение: если G_1 и G_2 — двудольные графы, то таковы же графы $G_1 + G_2$, $G_1 \times G_2$, $G_1[G_2]$.

114. Доказать или опровергнуть равенства: $\overline{G_1 + G_2} = \overline{G_1} + \overline{G_2}$, $\overline{G_1 \times G_2} = \overline{G_1} \times \overline{G_2}$, $\overline{G_1[G_2]} = \overline{G_1}[G_2]$.

115. Доказать, что диаметр графа не превосходит его удвоенного радиуса.

*) Задача предлагалась на Всесоюзной олимпиаде по информатике в 1989 г.

116. Центр любого дерева состоит из одной или двух смежных вершин. Докажите это утверждение.

Указание. Используйте индукцию по количеству вершин.

117. Показать, что центр дерева состоит из одной вершины в том случае, если диаметр этого дерева является четным числом, и из двух смежных вершин, если диаметр дерева — нечетное число.

118. Пусть $d(u)$ — степень вершины u в графе G . Степенью ребра $x = (u, v)$ назовем неупорядоченную пару $(d(u), d(v))$. Определить, совпадают ли степени всех ребер заданного графа, и если нет, то можно ли удалить из него одну вершину вместе с инцидентными ей ребрами так, чтобы полученный граф обладал этим свойством.

119. По графу G построить граф $K(G)$ с тем же множеством вершин, что и у G . Вершины в $K(G)$ смежны тогда и только тогда, когда расстояние между ними в G не превышает 2. Проверить, совпадают ли степени всех вершин в $K(G)$, и если нет, то нельзя ли удалить из него одну вершину так, чтобы полученный граф удовлетворял этому требованию.

120. По графу G построить граф G' следующим образом: в качестве вершин G' берутся ребра графа G . При этом две вершины в G' смежны тогда и только тогда, когда соответствующие ребра в G инцидентны одной вершине.

121. Найти диаметр графа.

122. Найти медиану графа, т. е. такую вершину, сумма расстояний от которой до всех остальных вершин минимальна.

123. Определить, изоморфны ли два заданных графа.

124. Дан ориентированный граф G . Дуга называется обратной, если она идет от вершины с большим номером к вершине с меньшим номером. Найти такую нумерацию вершин графа G , что количество обратных дуг будет минимальным.

125. При заданном натуральном $n > 0$ (количество вершин) построить граф, в котором степень каждой вершины равна 4.

Деревья

126. Известно, что заданный граф не дерево. Определить, можно ли удалить одну вершину графа вместе с инцидентными ей ребрами так, что оставшийся граф будет деревом.

127. В дереве, все вершины которого имеют степень не больше 3, найти самый длинный путь от выделенной вершины до вершины со степенью 1.

128. Покажите, что центр дерева состоит из одной вершины в том случае, если диаметр этого дерева является четным числом, и из двух смежных вершин при нечетном значении диаметра дерева.

129. Перечислите все остовные деревья графов $K_{3,3}$ и K_5 .

130. Постройте множество U точек на плоскости такое, что вес дерева Штейнера будет меньше веса любого остовного дерева графа $K(U)$.

131. Нарисуйте все непомеченные деревья с восемью вершинами (их 23).

132. Нарисуйте все непомеченные деревья с девятью вершинами (их 47).

133. Каждое дерево — двудольный граф. Какие деревья являются полными двудольными графами?

134. Докажите эквивалентность следующих утверждений:

1) G — дерево;

2) любое ребро графа G — мост;

3) любой блок графа G есть K_2 ;

4) любое непустое пересечение двух связных подграфов графа G связно.

135. Показать, что в дереве с нечетным диаметром любые две простые цепи наибольшей длины имеют хотя бы одно общее ребро.

Связность

136. Найти все вершины графа, недостижимые из заданной его вершины.

137. Верно ли, что для любой пары вершин ориентированного графа одна из вершин достижима из другой?

138. Определить, является ли связным заданный граф.

139. Для двух заданных вершин графа найти соединяющий их простой путь.

140. Найти самый длинный (по количеству ребер) простой путь в графе.

141. Для заданной вершины графа найти все вершины, до которых существуют простые пути указанной длины (по количеству ребер).

142. Подсчитать количество компонент связности дополнения заданного графа.

143. Найти все вершины графа, которые принадлежат каждому пути в графе между вершинами заданной пары. Искомые вершины графа не совпадают с заданными вершинами.

144. Из графа удалить все вершины, из которых недостижима заданная вершина.

145. Вершина графа называется точкой сочленения, если ее удаление приводит к увеличению числа компонент связности. Найти все точки сочленения графа.

146. Гамаком называется подграф заданного графа с таким непустым множеством вершин A , что существует не более одной вершины в A , к которой ведут ребра от вершины вне A , и не более одной вершины вне A , к которой ведут ребра от вершины множества A . Найти количество различных гамаков графа.

147. Найти минимальное (по количеству) подмножество ребер, удаление которых превращает связный граф в несвязный.

148. Мостом графа называется такое ребро, удаление которого увеличивает число компонент связности графа. Найти все мосты заданного графа.

149. Треугольником графа называется тройка различных и попарно смежных вершин графа. Стягивание треугольника заключается в том, что три вершины и инцидентные им ребра удаляются, вводится новая вершина v и добавляются ребра (w, v) в том случае, если вершина w была смежна хотя бы с одной из удаленных вершин. Последовательным применением операции стягивания треугольников преобразовать исходный граф в граф без треугольников.

150. Дан граф G . Построить его транзитивное замыкание, т. е. граф G' с тем же множеством вершин, в котором две вершины u и v смежны, если существует путь из u в v в исходном графе G .

151. Проверить, является ли граф G транзитивным, т. е. для любых трех вершин u, v, w выполняется условие: если вершины u и w , а также v и w смежны, то и вершины u и v также смежны.

152. Доказать, что если в графе все вершины имеют четные степени, то в этом графе нет мостов.

Циклы

153. Определить, является ли заданный граф простым циклом.

154. Найти длину (в количестве ребер) кратчайшего цикла в графе.

155. Дан ориентированный граф с циклами. Проверить, можно ли удалить одну вершину так, чтобы в полученном графе не было циклов.

156. Для заданного натурального n ($n \geq 3$) построить граф, не содержащий циклов длиной 3, в котором степени всех вершин равны 3.

157. Дан ориентированный граф G . Определить, существует ли путь из вершины a в вершину b , проходящий через вершину c и не содержащий никакой дуги более одного раза.

158. Найдите гамильтонов цикл для гиперкуба порядка n ($n \geq 3$).

159. Покажите, что граф Юлиуса Петерсена (см. рис. 5.17 на с. 124) имеет гамильтонов путь, но не имеет гамильтонова цикла. Проверьте, что при удалении любой вершины из графа он становится гамильтоновым.

160. Покажите, что если граф имеет мост, то он не имеет гамильтонова цикла.

161. Найти последовательность ходов шахматного коня, чтобы, начав с произвольной клетки, он прошел через каждую клетку шахматной доски один раз и вернулся в исходную.

162. Пусть m и n — натуральные числа, G — граф решетки, т. е. $V = \{(x, y): x = 1, \dots, m, y = 1, \dots, n\}$ и $(a, b) \in E$ тогда и только тогда, когда $a = (x, y)$, $b = (z, t)$ и $|x - z| = 1$ или $|y - t| = 1$. При каких значениях m и n граф G гамильтонов?

163. Показать, что в K_n (полный граф) имеется $(n - 1)!/2$ различных гамильтоновых циклов.

Покрывтия и независимость

164. Дан граф G . Найти его четырехвершинные клики.

165. Дан граф G . Найти клику с максимальным количеством вершин.

166. Д. Мун и Л. Мозер доказали, что наибольшее количество клик — $f(n)$, которые могут встретиться в графе с n вершинами, дается соотношениями:

$$\begin{aligned} 3^{n/3}, & \quad \text{если } n \equiv 0 \pmod{3}, \\ 4 \cdot 3^{(n-4)/3}, & \quad \text{если } n \equiv 1 \pmod{3}, \\ 2 \cdot 3^{(n-2)/3}, & \quad \text{если } n \equiv 2 \pmod{3}. \end{aligned}$$

Показать, что оценка $f(n)$ достигается только для следующих графов G :

— если $n \equiv 0 \pmod{3}$, то граф G состоит из $n/3$ компонент и каждая компонента является треугольником;

— если $n \equiv 1 \pmod{3}$, то либо граф G имеет $(n - 4)/3 + 1$ компонент, причем одна из них — цикл C_4 , а другие — треугольники, либо в графе два отдельных ребра и $(n - 4)/3$ отдельных треугольников;

— если $n \equiv 2 \pmod{3}$, то граф G состоит из одного отдельного ребра и $(n - 2)/3$ отдельных треугольников.

Проверить утверждение для $n = 3, 4, 5, 6, 7, 8$.

167. Показать, что на шахматной доске $k \times k$ при $2 \leq k \leq 4$ невозможно расставить k ферзей так, чтобы они не атаковали друг друга. Найти решение для $k = 5, 6$.

168. Найти наибольшее независимое множество в графе Юлиуса Петерсена (см. рис. 5.17 на с. 124).

169. *Задача о свадьбах.* Есть конечное число юношей, каждый из которых знаком с несколькими девушками. При каких условиях можно женить максимальное количество юношей так, чтобы каждый из них сочетался браком со знакомой ему девушкой?

170. Показать, что в полном неориентированном графе K_n каждое ребро принадлежит ровно $n - 2$ треугольникам — циклам длины 3. Обратное утверждение неверно. Пример графа приведен на рис. С.5.

171. Дано m работ $E = \{e_1, e_2, \dots, e_m\}$. На выполнение каждой из них требуется одно и то же время. Работы выполняются без разрывов, если работа начата, то она не может быть прервана. В каждый момент времени может выполняться только одна из работ, для каждой работы задан срок выполнения d_i ($1 \leq i \leq m$). Если работа не выполняется в указанный срок, то выплачивается штраф $w(e_i)$. Найти очередность выполнения работ, минимизирующую сумму штрафов.

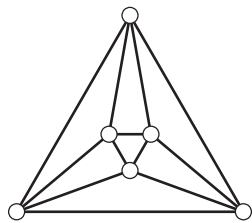


Рис. С.5. Пример графа, в котором каждое ребро принадлежит только двум треугольникам, но граф отличен от K_4

172. Показать, что для любых двух графов G' и G'' справедливо неравенство $\beta_0(G' \times G'') \geq \beta_0(G') \beta_0(G'')$.

173. Для неориентированного графа G обосновать неравенство $\beta_0(G) \geq \alpha_0(G)$, доказав, что каждое максимальное независимое множество есть доминирующее множество. Привести пример, показывающий, что наименьшее доминирующее множество может не быть независимым.

Планарные графы

174. Плоский граф не может содержать пять попарно смежных вершин^{*)}. Убедитесь, что рассмотренный в п. 10.3 алгоритм даст отрицательный результат для графов этого типа.

^{*)} Данный факт впервые установлен в 1840 году немецким математиком А. Ф. Мёбиусом.

175. Любой пятисвязный плоский граф имеет по крайней мере 12 вершин. Построить один из них.

176. Показать, что в алгоритме проверки на планарность, рассмотренном в п. 10.3, перенумерация вершин и последующее переупорядочение списков смежности в ориентированном графе G' приводит к тому, что вершины в цикле $C = p_0$, порожденные алгоритмом, будут расположены в возрастающем порядке. То есть если $C = (1, v_2, v_3, \dots, v_k, v_{k+1})$, то $1 < v_1 < v_2 < v_3 < \dots < v_k$ и $v_{k+1} = 1$.

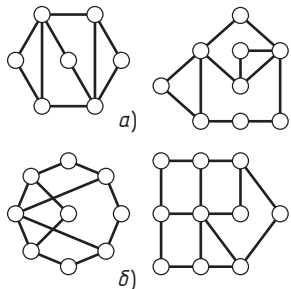


Рис. С.6. Примеры гомеоморфных графов

177. Показать, что каждая пара графов на рис. С.6 является гомеоморфной.

178. Всегда ли планарен реберный граф $L(G)$ планарного графа G ?

179. Показать, что всякая плоская триангуляция с $n \geq 3$ вершинами имеет $2n - 4$ граней.

180. Все вершины плоской триангуляции раскрашены произвольным образом в три цвета. Грань называется правильной, если ее вершины окрашены в три различных цвета. Показать, что число правильных граней четно.

181. Показать, что реберные графы графов K_5 , $K_{3,3}$ непланарны.

182. Доказать, что не существует плоского графа с пятью гранями, у которого любые две грани имеют общее ребро.

183. Числом скрещивания [11, с. 184] графа G называется наименьшее число пересечений, получаемых при изображении графа на плоскости. Найти числа скрещивания для графов K_5 , $K_{3,3}$ и графа Юлиуса Петерсена (см. рис. 5.17 на с. 124).

Раскраска вершин графа

184. Определить хроматическое число графа, полученного из K_n удалением: а) одного ребра; б) двух ребер; в) трех ребер, образующих треугольник.

185. Определить хроматическое число однородного графа (степени всех вершин одинаковы) степени k с n вершинами ($k < n$).

186. Покажите, что задача о правильной раскраске вершин плоского графа G эквивалентна задаче о правильной раскраске граней двойственного графа G^* .

187. Теорема о двух раскрасках. Доказать, что для того, чтобы плоский связный граф допускал правильную раскраску граней в два

цвета, необходимо и достаточно, чтобы все вершины этого графа имели четную степень.

188. Доказать, что для того, чтобы плоский связный граф допускал правильную раскраску вершин в два цвета, необходимо и достаточно, чтобы каждая грань этого графа была ограничена четным числом ребер (это не что иное, как другая формулировка теоремы Денеша Кёнига, см. п. 5.5).

189. Плоский граф является эйлеровым циклом. Доказать, что для правильной раскраски его граней достаточно двух цветов.

190. В задачах календарного планирования работы характеризуются временными интервалами их выполнения. Каждой работе соответствует вершина некоторого графа, причем вершины графа соединены ребром лишь тогда, когда соответствующие им работы нельзя выполнять одновременно. Требуется составить такой график выполнения работ, при котором временные затраты наименьшие.

191. Пусть для выполнения n работ требуется распределить m имеющихся в наличии ресурсов. Считаем, что каждая из работ выполняется за некоторый, одинаковый для всех работ, промежуток времени и что для выполнения i -й работы требуется подмножество ресурсов S_i . Граф G строится следующим образом: каждой работе соответствует вершина графа, а ребро (i, j) существует в графе тогда и только тогда, когда для выполнения i -й и j -й работ требуется по крайней мере один общий ресурс, т. е. $S_i \cap S_j \neq \emptyset$. Требуется найти минимальное время выполнения работ или оптимальное распределение ресурсов между работами.

192. На плоскости проведено конечное число прямых линий. Плоскость оказалась разбитой на конечное число областей. Показать, что достаточно два цвета для такой раскраски всех этих областей, когда любые две смежные области окрашиваются в разные цвета.

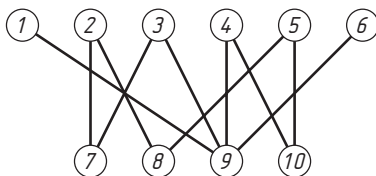


Рис. С.7. Пример графа для задачи 193

193. Граф на рис. С.7 представляет схему электрических соединений. Вершины соответствуют клеммам, а ребра — прямым метал-

лическим полоскам проводников. Чтобы соединения были физически осуществимы, проводники не должны пересекать друг друга, поэтому необходимо распределить ребра по нескольким параллельным платам, в каждой из которых проводники не пересекались бы. Клеммы доступны на всех платах.

Определить наименьшее число плат, необходимых для реализации этих соединений [15, с. 95].

Кратчайшие пути в графе

194. Найти такую нумерацию вершин ориентированного графа, при которой всякая дуга ведет от вершины с меньшим номером к вершине с большим номером.

195. По графу G построить последовательность графов G_1, G_2, \dots, G_n , где n — максимальное расстояние между парами вершин в G , между которыми есть соединяющий их путь. Ребро между вершинами в G_i проводится в том случае, когда расстояние между соответствующими вершинами в G не превышает i .

196. Граф G назовем трисвязным, если для любой четверки вершин a, b, c, d существует два различных пути из a в d , причем один путь проходит через b , а другой — через c . Определить, является ли заданный граф трисвязным.

197. Дан ориентированный граф G . Найти путь, соединяющий вершины a и b и не проходящий через заданное множество вершин графа.

198. Дан взвешенный граф G , такой, что для любой пары вершин есть соединяющий их путь. Найти такую вершину, для которой сумма расстояний до остальных вершин минимальна.

199. Дан ориентированный взвешенный граф G . Определить, есть ли в нем вершина, от которой расстояние до каждой из остальных вершин не превышает значения L .

200. Дан взвешенный граф G . Определить, можно ли добавить новые три ребра с определенными весами так, что из заданной вершины существует путь до каждой из остальных вершин длины не более L .

201. Дан граф G . Определить, можно ли, убрав три ребра, добиться того, чтобы из вершины a не существовало пути в вершину b .

202. Дан взвешенный граф G . L -периферией называется множество вершин, расстояние от которых до заданной вершины больше L . Определить L -периферию графа.

203. Под пропускной способностью пути будем понимать наименьший вес дуги этого пути. Разработать алгоритм, определяющий наибольшие пропускные способности путей между всеми парами вершин.

Потоки в сетях

204. Источником ориентированного графа называется вершина, из которой достижимы все другие вершины графа, а стоком — вершина, достижимая из всех остальных вершин. Найти все источники и стоки заданного ориентированного графа.

205. $G = (V, E)$ — неориентированный связный граф. Имеется точно одна вершина s , не имеющая входящих в нее ребер, и точно одна вершина t , не имеющая ребер, исходящих из нее. Разработать алгоритм поиска разреза относительно s и t , который имеет наименьшее количество ребер.

206. Доказать, что если каждое увеличение потока происходит вдоль кратчайшей увеличивающей цепи относительно существующего потока, то длины последовательностей цепей образуют убывающую последовательность.

207. Показать, что для сети с пропускной способностью каждой дуги, равной нулю или единице, алгоритм Е. А. Диница можно реализовать за время $O(n^{2/3}m)$.

208. Показать, что если в сети с целочисленными пропускными способностями потенциал каждой вершины, отличной от s и t , равен нулю или единице, то алгоритм Е. А. Диница может быть реализован за время $O(n^{1/2}m)$.

209. Требуется за заданное время t_0 перевезти максимальное количество грузов из городов v_1, v_2, \dots, v_{n-1} в количествах w_1, w_2, \dots, w_{n-1} в город v_n . Города v_1, v_2, \dots, v_n связаны сетью дорог. Известно t_{ij} — время, затрачиваемое на проезд из v_i в v_j , если они соседние города, и c_{ij} — пропускная способность дороги (необязательно, чтобы $t_{ij} = t_{ji}$, $c_{ij} = c_{ji}$), c_{ii} — максимальное количество грузов, которые могут одновременно храниться в городе v_i . Все исходные данные — целые числа. Разработать алгоритм решения задачи.

Указание. Целесообразно определить транспортную сеть следующим образом. Введем множество

$$V = \{v_1, v_2, \dots, v_n\} \times \{0, 1, 2, \dots, t_0\} \cup \{v_0\} \cup \{z\},$$

где v_0, z — вход и выход транспортной сети, а элемент (v_j, t) декартового произведения $\{v_1, v_2, \dots, v_n\} \times \{0, 1, 2, \dots, t_0\}$ соответствует

городу v_j в момент времени t . Множеству вершин транспортной сети соответствует подмножество множества V . Дуга $((v_i, t), (v_i, t+1))$ имеет пропускную способность c_{ii} , дуга $((v_i, t), (v_j, t+t_{ij}))$ — пропускную способность c_{ij} . Из входа v_0 выходят дуги $(v_0, (v_i, 0))$ ($i < n$) с пропускной способностью w_i . Вершины $(v_n, t_1), (v_n, t_1+1), \dots, (v_n, t_0)$, где $t_1 = \min_{1 \leq j \leq n-1} t_{jn}$, соединяем с выходом дугами бесконечной пропускной способности. Если f — некоторый поток в определенной сети, то значение $f((v_i, t), (v_j, t+t_{ij}))$ есть количество груза, отправленного из города v_i в город v_j в момент времени t , а $f((v_i, t), (v_i, t+1))$ — количество груза, оставленного в городе v_i . Значение f_z равно общему количеству грузов, доставленных в город v_n за время t_0 .

Комментарии

Основная часть задач данного раздела заимствована из книг [1, 4, 6, 11, 15, 17, 27]. Часть задач на кратчайшие пути в графе найдены в задачнике В. Н. Касьянова и В. К. Сабельфельда*).

*) Касьянов В. Н., Сабельфельд В. К. Сборник заданий по практикуму на ЭВМ. — М.: Наука, 1986.

ПРИЛОЖЕНИЕ 1

МАТЕМАТИЧЕСКИЕ ФАКТЫ И ДОКАЗАТЕЛЬСТВА ОТДЕЛЬНЫХ ТЕОРЕМ

В данном разделе приводятся доказательства отдельных теорем, используемых автором при чтении курса дискретной математики для студентов, специализирующихся в прикладной математике и информатике.

Формула Джеймса Стирлинга. Для оценки значения факториала числа обычно используется формула Стирлинга:

$$\sqrt{2\pi n} \left(\frac{n}{e}\right)^n \leq n! \leq \sqrt{2\pi n} \left(\frac{n}{e}\right)^n e^{\frac{1}{12n}}.$$

1.2. Асимптотические обозначения и основная теорема

Основная теорема. Пусть $a \geq 1$ и $b > 1$ — константы, $f(n)$ — положительная функция, определенная для положительных целых чисел, и функция $T(n)$ задана следующим образом:

$$T(n) = aT\left(\frac{n}{b}\right) + f(n),$$

где $\frac{n}{b}$ трактуется как $\left\lfloor \frac{n}{b} \right\rfloor$, так и $\left\lceil \frac{n}{b} \right\rceil$. Тогда:

1) если $f(n) = O(n^{\log_b a - \varepsilon})$ для некоторой константы $\varepsilon > 0$, то $T(n) = \Theta(n^{\log_b a})$;

2) если $f(n) = \Theta(n^{\log_b a})$, то $T(n) = \Theta(n^{\log_b a} \log_b n)$;

3) если $f(n) = \Omega(n^{\log_b a + \varepsilon})$ для некоторой константы $\varepsilon > 0$, и существуют константы $c < 1$ и $N > 0$, такие, что из $\frac{n}{b} > N$ следует

$af\left(\frac{n}{b}\right) \leq cf(n)$, то $T(n) = \Theta(f(n))$.

Рассмотрим частный случай: n является неотрицательной целочисленной степенью числа b . Следовательно, $\frac{n}{b}$ — целое число (это ограничение снимается).

Лемма 1. Пусть $a \geq 1$ и $b > 1$ — константы, и $f(n)$ — неотрицательная функция, определенная на целочисленных степенях числа b . Пусть $T(n)$ задана рекуррентным соотношением (с теми же ограничениями на значение n):

$$T(n) = \begin{cases} \Theta(1) & \text{при } n = 1, \\ aT\left(\frac{n}{b}\right) + f(n) & \text{при } n = b^i \text{ для некоторого} \\ & \text{положительного целого } i. \end{cases}$$

$$\text{Тогда } T(n) = \Theta(n^{\log_b a}) + \sum_{k=0}^{\log_b n-1} a^k f\left(\frac{n}{b^k}\right).$$

Доказательство. Действительно, используя метод подстановок, получаем:

$$\begin{aligned} T(n) &= f(n) + aT\left(\frac{n}{b}\right) = f(n) + af\left(\frac{n}{b}\right) + a^2T\left(\frac{n}{b^2}\right) = \dots \\ &\dots = f(n) + af\left(\frac{n}{b}\right) + a^2f\left(\frac{n}{b^2}\right) + \dots + a^{\log_b n-1}f\left(\frac{n}{b^{\log_b n-1}}\right) + a^{\log_b n}T(1). \end{aligned}$$

Так как $a^{\log_b n} = n^{\log_b a}$ и $T(1) = \Theta(1)$, последний член выражения равен $\Theta(n^{\log_b a})$, а предыдущие члены выражения записываются в виде $\sum_{k=0}^{\log_b n-1} a^k f\left(\frac{n}{b^k}\right)$, что дает зависимость, доказываемую в лемме. Доказательство леммы проводится с помощью метода математической индукции. Перепишем утверждение леммы в виде:

$$T(n) = n^{\log_b a} T(1) + \sum_{k=0}^{\log_b n-1} a^k f\left(\frac{n}{b^k}\right),$$

где $n = b^i$ и i — неотрицательное целое число. Базой индукции является $i = 0$ (т. е. $n = 1$). В этом случае значение суммы $\sum_{k=0}^{\log_b n-1} a^k f\left(\frac{n}{b^k}\right)$ равно 0. Следовательно, утверждение истинно, так как правая часть выражения равна $1^{\log_b a} T(1) + \sum_{k=0}^{\log_b n-1} a^k f\left(\frac{n}{b^k}\right) = T(1) + 0 = T(1)$. Таким образом, база индукции доказана.

Предположим, истинность утверждения для i из интервала $0 \leq i \leq p$. В частности, утверждение истинно для $n = b^p$. Имеем

$$T(b^p) = b^{p \log_b a} T(1) + \sum_{k=0}^{p-1} a^k f\left(\frac{n}{b^k}\right) = a^p T(1) + \sum_{k=0}^{p-1} a^k f(b^{p-k}).$$

Рассмотрим $n = b^{p+1}$. Из рекуррентного соотношения следует:

$$\begin{aligned} T(b^{p+1}) &= aT(b^p) + f(b^{p+1}) = a \left[a^p T(1) + \sum_{k=0}^{p-1} a^k f(b^{p-k}) \right] + f(b^{p+1}) = \\ &= a^{p+1} T(1) + \left[a \sum_{k=0}^{p-1} a^k f(b^{p-k}) \right] + f(b^{p+1}) = \\ &= b^{(p+1) \log_b a} T(1) + \sum_{k=0}^p a^k f(b^{p+1-k}) = n^{\log_b a} T(1) + \sum_{k=0}^p a^k f\left(\frac{n}{b^k}\right) \end{aligned}$$

(использовали формулу $b^{\log_b a} = a$), где $p = \log_b n - 1$, что и требовалось доказать. ■

Лемма 2. Пусть $a \geq 1$ и $b > 1$ — константы, $f(n)$ — неотрицательная функция, определенная на неотрицательных целых степенях числа b и $g(n)$ имеет вид: $g(n) = \sum_{k=0}^{\log_b n-1} a^k f\left(\frac{n}{b^k}\right)$. Тогда

1) если $f(n) = O(n^{\log_b a - \varepsilon})$ для некоторой константы $\varepsilon > 0$, то $g(n) = O(n^{\log_b a})$;

2) если $f(n) = \Theta(n^{\log_b a})$, то $g(n) = \Theta(n^{\log_b a} \log_b n)$;

3) если существует положительная константа $c < 1$, такая, что из $n \geq b$ следует $af\left(\frac{n}{b}\right) \leq cf(n)$, то $g(n) = \Theta(f(n))$.

Доказательство. Случай 1. Подставим f в выражение, определяющее функцию $g(n)$, и выполним ряд преобразований. Одно из них основано на формуле подсчета суммы членов геометрической прогрессии. Получаем

$$\begin{aligned} g(n) &= O \left[\sum_{k=0}^{\log_b n-1} a^k \left(\frac{n}{b^k}\right)^{\log_b a - \varepsilon} \right] = O \left[n^{\log_b a - \varepsilon} \sum_{k=0}^{\log_b n-1} \left(\frac{ab^\varepsilon}{b^{\log_b a}}\right)^k \right] = \\ &= O \left[n^{\log_b a - \varepsilon} \sum_{k=0}^{\log_b n-1} (b^\varepsilon)^k \right] = O \left[n^{\log_b a - \varepsilon} \left(\frac{b^{\varepsilon(\log_b n-1)+1}}{b^\varepsilon - 1}\right) \right] = \\ &= O \left[n^{\log_b a - \varepsilon} \left(\frac{n^\varepsilon - 1}{b^\varepsilon - 1}\right) \right] = O(n^{\log_b a}). \end{aligned}$$

В последнем «переходе» используется тот факт, что b и ε константы.

Случай 2. Из предположения следует, что $f\left(\frac{n}{b^k}\right) = \Theta\left(\left(\frac{n}{b^k}\right)^{\log_b a}\right)$.

После подстановки в выражение получаем

$$\begin{aligned} g(n) &= \Theta\left[\sum_{k=0}^{\log_b n-1} a^k \left(\frac{n}{b^k}\right)^{\log_b a}\right] = \Theta\left[n^{\log_b a} \sum_{k=0}^{\log_b n-1} \left(\frac{a}{b^{\log_b a}}\right)^k\right] = \\ &= \Theta\left(n^{\log_b a} \sum_{k=0}^{\log_b n-1} 1\right) = \Theta(n^{\log_b a} \log_b n). \end{aligned}$$

Случай 3. Заметим, что все слагаемые суммы $\sum_{k=0}^{\log_b n-1} a^k f\left(\frac{n}{b^k}\right)$ неотрицательные, и элемент, соответствующий $k=0$, — это $f(n)$. Следовательно, $g(n) = \Omega(f(n))$. Предположение о существовании константы $c < 1$, такой, что $af\left(\frac{n}{b}\right) \leq cf(n)$ для $n \geq b$, подразумевает (доказательство оставим читателю) истинность утверждения $n \geq b^k \Rightarrow a^k f\left(\frac{n}{b^k}\right) \leq c^k f(n)$. После подстановки в выражение получаем

$$g(n) = \sum_{k=0}^{\log_b n-1} a^k f\left(\frac{n}{b^k}\right) \leq \sum_{k=0}^{\log_b n-1} c^k f(n) = f(n) \sum_{k=0}^{\log_b n-1} c^k.$$

Так как последняя сумма — это геометрическая прогрессия с убывающими членами, то $g(n) \leq f(n) \frac{1}{1-c} \Rightarrow g(n) = O(f(n))$. Ранее показано, что $g(n) = \Omega(f(n))$. Таким образом, $g(n) = \Theta(f(n))$, что и требовалось доказать. ■

Лемма 3. Докажем утверждение основной теоремы при $n = b^k$ для некоторого положительного целого k .

Доказательство. Во-первых, согласно лемме 1, $T(n) = \Theta(n^{\log_b a}) + g(n)$, где $g(n) = \sum_{k=0}^{\log_b n-1} a^k f\left(\frac{n}{b^k}\right)$. Первое утверждение следует из случая 1 леммы 2, так как

$$T(n) = \Theta(n^{\log_b a}) + g(n) = \Theta(n^{\log_b a} + n^{\log_b a}) = \Theta(n^{\log_b a}).$$

Второе утверждение следует из случая 2 леммы 2:

$$T(n) = f(n) + g(n) = \Theta(n^{\log_b a} + n^{\log_b a} \log_b n) = \Theta(n^{\log_b a} \log_b n).$$

Третье утверждение. Из случая 3 леммы 2 следует, что $g(n) = \Theta(f(n))$,

и, согласно лемме 1, $T(n) = \Theta(n^{\log_b a}) + g(n) = \Theta(n^{\log_b a} + f(n))$. Так как $f(n) = \Omega(n^{\log_b a + \epsilon})$, то $T(n) = \Theta(f(n))$. ■

В общем случае значение $\frac{n}{b}$ не обязательно является целым. Следовательно, в рекуррентных соотношениях следует заменить $\frac{n}{b}$ на $\left\lfloor \frac{n}{b} \right\rfloor$ или $\left\lceil \frac{n}{b} \right\rceil$ и убедиться в правильности полученных результатов. Так как $\frac{n}{b} - 1 < \left\lfloor \frac{n}{b} \right\rfloor \leq \left\lceil \frac{n}{b} \right\rceil < \frac{n}{b} + 1$, то суть рассуждений сводится к тому, что небольшое различие аргумента не влияет на значение асимптотической оценки. Теорема отдельно доказывается при $\left\lfloor \frac{n}{b} \right\rfloor$ и при $\left\lceil \frac{n}{b} \right\rceil$. Предложим доказательство теоремы читателю в качестве математического упражнения.

2.3. Принцип включения и исключения

$$\left| \bigcup_{i=1}^n A_i \right| = \sum_{i=1}^n |A_i| - \sum_{1 \leq i < j \leq n} |A_i \cap A_j| + \sum_{1 \leq i < j < k \leq n} |A_i \cap A_j \cap A_k| - \dots \\ \dots + (-1)^{n-1} |A_1 \cap \dots \cap A_n|.$$

Доказательство. Метод доказательства — индукция по n . Для $n=1$ истинность очевидна. Предположим справедливость для произвольных подмножеств A_1, \dots, A_{n-1} , т. е. справедливо

$$\left| \bigcup_{i=1}^{n-1} A_i \right| = \sum_{i=1}^{n-1} |A_i| - \sum_{1 \leq i < j \leq n-1} |A_i \cap A_j| + \dots + (-1)^{n-2} |A_1 \cap \dots \cap A_{n-1}|.$$

Применим эту формулу к сумме $(A_1 \cup \dots \cup A_{n-1}) \cap A_n = \bigcup_{i=1}^{n-1} (A_i \cap A_n)$.

Имеем

$$\left| \bigcup_{i=1}^{n-1} (A_i \cap A_n) \right| = \\ = \sum_{i=1}^{n-1} |A_i \cap A_n| - \sum_{1 \leq i < j \leq n-1} |A_i \cap A_j \cap A_n| + \dots + (-1)^{n-2} |A_1 \cap \dots \cap A_{n-1} \cap A_n|.$$

И получаем

$$\left| \bigcup_{i=1}^n A_i \right| = \left| \left(\bigcup_{i=1}^{n-1} A_i \right) \cup A_n \right| = \left| \bigcup_{i=1}^{n-1} A_i \right| + |A_n| - \left| \bigcup_{i=1}^{n-1} (A_i \cap A_n) \right| = \\ = \sum_{i=1}^n |A_i| - \sum_{1 \leq i < j \leq n} |A_i \cap A_j| + \dots + (-1)^{n-1} |A_1 \cap \dots \cap A_n|. \quad \blacksquare$$

2.5. Размещения с повторениями

Докажем, что число k -размещений с повторениями из элементов n видов равно $\overline{A}_n^k = n^k$.

Доказательство методом математической индукции по k — количеству элементов в размещении. Значение n фиксировано. При $k=1$ ответ очевиден. Каждое размещение состоит из одного элемента, количество различных элементов n , $\overline{A}_n^1 = n$. Предположим, что верно равенство $\overline{A}_n^{k-1} = n^{k-1}$. Рассмотрим k -размещения с повторениями. Все размещения получаются следующим образом: к каждому $(k-1)$ -размещению (a_1, \dots, a_{k-1}) припишем элемент a_k . Количество таких различных «приписываний» n , и при каждом «приписывании» мы получаем k -размещение. Действуя по этому алгоритму, мы не пропустим ни одно k -размещение — любое из них получается таким образом, и ни одно k -размещение не получается дважды. Следовательно, количество k -размещений с повторениями из n элементов в n раз больше, чем количество $(k-1)$ -размещений с повторениями из тех же n элементов: $\overline{A}_n^k = n\overline{A}_n^{k-1}$, но так как $\overline{A}_n^{k-1} = n^{k-1}$, то $\overline{A}_n^k = nn^{k-1} = n^k$. ■

2.8. Бином Ньютона и полиномиальная формула (комбинаторный смысл)

Бином Ньютона записывается следующим образом:

$$(x+y)^n = \sum_{k=0}^n C_n^k x^k y^{n-k}.$$

Доказательство выполняется методом математической индукции.

База. При $n=1$ имеем $(x+y)^1 = x+y = 1 \cdot x^1 \cdot y^0 + 1 \cdot x^0 \cdot y^1$.

Примечание. Прежде чем выполнить шаг индукции, рекомендуется выполнить «ручное» умножение $(x+y) \cdot (x+y)^2$ и убедиться, что при группировке членов с одинаковыми степенями работает свойство сочетаний $C_{n+1}^k = C_n^k + C_n^{k-1}$ — биномиальные коэффициенты вычисляются по схеме треугольника Паскаля.

Предположим, что утверждение верно для n . Шаг индукции.

$$\begin{aligned} (x+y)^{n+1} &= (x+y)(x+y)^n = \\ &= (x+y) \sum_{k=0}^n C_n^k x^{n-k} y^k = \sum_{k=0}^n C_n^k x^{n-k+1} y^k + \sum_{k=0}^n C_n^k x^{n-k} y^{k+1} = \\ &= C_n^0 x^{n+1} y^0 + \sum_{k=1}^n C_n^k x^{n-k+1} y^k + \sum_{k=0}^{n-1} C_n^k x^{n-k} y^{k+1} + C_n^n x^0 y^{n+1} = \end{aligned}$$

$$\begin{aligned}
&= C_{n+1}^0 x^{n+1} y^0 + \sum_{k=0}^{n-1} C_n^{k+1} x^{n-k} y^{k+1} + \sum_{k=0}^{n-1} C_n^k x^{n-k} y^{k+1} + C_{n+1}^{n+1} x^0 y^{n+1} = \\
&= C_{n+1}^0 x^{n+1} y^0 + \sum_{k=0}^{n-1} (C_n^{k+1} + C_n^k) x^{n-k} y^k + C_{n+1}^{n+1} x^0 y^{n+1} = \\
&= \sum_{k=0}^{n+1} C_{n+1}^k x^{(n+1)-k} y^{k+1}. \quad \blacksquare
\end{aligned}$$

5.5. Основные понятия [теория графов]

Теорема Д. Кёнига. Для двудольности графа необходимо и достаточно, чтобы он не содержал простых циклов нечетной длины.

Доказательство. Необходимость. Пусть G — двудольный граф и W — один из его простых циклов v_1, v_2, \dots, v, v_1 длины t . Вершины с нечетными номерами принадлежат V_1 , с четными — V_2 . Первое ребро цикла имеет нечетный номер, второе — четный и т. д. Таким образом, длина цикла является четным числом.

Достаточность. Пусть G — связный граф, не имеющий циклов нечетной длины. Возьмем произвольную вершину $v_1 \in V$ и построим множество V_1 , состоящее из v_1 и всех вершин, расположенных на четном расстоянии от v_1 . Определим $V_2 = V \setminus V_1$. Так как все простые циклы четны, то каждое ребро цикла соединяет вершины из множеств V_1 и V_2 . Предположим, что есть ребро (v, u) , соединяющее вершины из множества V_2 . Тогда кратчайшие простые цепи, идущие из v_1 в v и u , имеют нечетные длины. Их объединение между собой и ребро (v, u) дадут цикл нечетной длины, что приводит к противоречию. Следовательно, подграфы $G(V_1)$ и $G(V_2)$ являются пустыми, а граф G — двудольным. \blacksquare

6.1. Определение дерева

Теорема. Для графа G ($|V|=n$, $|E|=m$) следующие утверждения эквивалентны:

1. G — дерево.
2. G — связный граф и $m = n - 1$.
3. G — ациклический граф и $m = n - 1$.
4. Любую пару несмежных вершин соединяет единственная простая цепь.
5. G — ациклический граф, и если какую-либо пару несмежных вершин соединить ребром x , то граф $G + x$ будет содержать ровно один простой цикл.

Доказательство. Переход $1 \Rightarrow 2$ доказывается по индукции. При $n = 1$ утверждение очевидно. Пусть G — дерево, значит, в нем нет циклов, и удаление любого ребра приводит к образованию двух компонент связности G_1 и G_2 . По предположению оказываются верными равенства $m_1 = n_1 - 1$ и $m_2 = n_2 - 1$. Возврат ребра приводит к равенству $m = m_1 + m_2 + 1 = (n_1 - 1) + (n_2 - 1) + 1 = n - 1$.

Переход $2 \Rightarrow 3$. Требуется показать, что связный граф с $m = n - 1$ ребер не содержит циклов. Пусть есть простой цикл, содержащий q вершин и q ребер. Тогда каждая из оставшихся $n - q$ вершин графа соединена простой цепью с одной из вершин цикла, т. е. мы имеем по крайней мере еще $n - q$ различных ребер. Общее количество ребер равно $q + (n - q)$, и оно больше m , что дает противоречие.

Переход $3 \Rightarrow 4$. Предположим, что есть две различные вершины u и v , соединенные двумя простыми цепями. Известно, что объединение двух несовпадающих простых (u, v) -цепей содержит простой цикл, а это уже противоречие.

Переход $4 \Rightarrow 5$. Пара несмежных вершин u и v графа соединена единственной простой цепью. Добавление ребра (u, v) приводит к появлению цикла. Его единственность следует из того, что предположение о существовании двух несовпадающих простых циклов, имеющих общее ребро, приводит к тому, что граф и без добавленного ребра содержал простой цикл, а значит, и не единственную простую цепь, соединяющую вершины u и v . Предположение о том, что есть несовпадающие простые циклы без общих ребер, сводится к существованию циклов с общим ребром.

Переход $5 \Rightarrow 1$. Требуется показать связность графа. Она следует из простого соображения о том, что если вершины u и v принадлежат разным компонентам связности, то введение ребра (u, v) приводит к появлению простой цепи, связывающей u и v , а не простого цикла, как сказано в утверждении 5. Отсюда следует, что граф связан и, следовательно, является деревом. ■

7.1. Вершинная и реберная связность

Теорема. Для любого графа G верны неравенства $\kappa(G) \leq \lambda(G) \leq \delta(G)$.

Доказательство. Теорема утверждает, что для любого графа вершинная связность меньше или равна реберной связности, а последняя меньше или равна минимальному значению степеней вершин графа G .

Второе неравенство обосновывается следующим образом. Если в G нет ребер, то $\lambda = 0$. Если есть ребра, то из связного графа получить несвязный можно путем удаления всех ребер, инцидентных вершине с наименьшей степенью, меньшим количеством ребер не обойтись.

При несвязном и тривиальном графе G первое неравенство очевидно, $\kappa(G) = \lambda(G) = 0$. В том случае, когда граф G содержит мост, $\lambda(G) = 1$, но и $\kappa(G) = 1$, так как удаление одной из вершин, инцидентной мосту, приводит к нарушению связности графа. Пусть $\lambda(G) \geq 2$, т. е. для того, чтобы граф стал несвязным, требуется удалить два или более ребер. Предположим, что удалено $\lambda - 1$ ребер. После их удаления в графе G существует мост — ребро (u, v) . С каждым удаленным ребром «свяжем» инцидентную ему вершину, не совпадающую с u и v . Если после удаления $\lambda - 1$ ребер граф несвязен, то $\kappa(G) < \lambda(G)$. В том случае, когда он остался связным, удаление одной из вершин, инцидентных мосту, приводит к несвязности, т. е. $\kappa(G) = \lambda(G)$. В любом случае $\kappa(G) \leq \lambda(G)$. ■

Теорема. Пусть $G = (V, E)$ — связный граф и $|V| > 2$. Тогда следующие утверждения эквивалентны:

- 1) граф 2-связен;
- 2) любые две вершины графа принадлежат простому циклу;
- 3) любая вершина и любое ребро принадлежат простому циклу;
- 4) любые два ребра принадлежат простому циклу;
- 5) для любых двух вершин u, v и любого ребра t существует простая (u, v) -цепь, содержащая t ;
- 6) для любых трех вершин u, v, q существует простая (u, v) -цепь, проходящая через q .

Доказательство. Переход $1 \Rightarrow 2$. Пусть a и b — две вершины 2-связного графа G . Требуется доказать, что они принадлежат некоторому простому циклу. Множество всех вершин графа, принадлежащих простым циклам, содержащим вершину a , обозначим как U ($U \neq \emptyset$). Предположим, что $b \notin U$ и пусть $T = V \setminus U$ (рис. П1.1). Из связности графа G следует существование ребра (z, t) , такого, что $z \in U$ и $t \in T$. Пусть S — простой цикл, содержащий вершины a и z . Так как G является 2-связным графом, то в нем существует простая (a, t) -цепь P , не проходящая через z . Пусть v является первой от t вершиной этой цепи, входящей

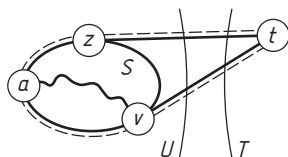


Рис. П1.1. Иллюстрация к первому положению теоремы о свойствах двусвязных графов

в S . Простой цикл, содержащий a и t , получается объединением (v, z) -цепи, проходящей через a и являющейся частью S , ребра (z, t) и (t, v) -подцепью цепи P (на рис. П1.1 этот цикл показан пунктирной линией). Следовательно, $t \in U$, что противоречит выбору ребра (z, t) . Следовательно, $T = \emptyset$ и $b \in U$, т. е. вершины a и b принадлежат общему простому циклу.

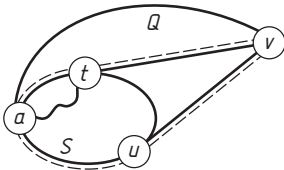


Рис. П1.2. Иллюстрация ко второму положению теоремы о свойствах двусвязных графов

Переход $2 \Rightarrow 3$ (рис. П1.2). Пусть a — вершина и (u, v) — ребро графа G . По условию в G есть простой цикл S , проходящий через a и u . Считаем, что $v \notin S$, в противном случае цикл строится очевидным образом. Рассмотрим простой цикл Q ,

проходящий через вершины a и v , он существует. Частью этого цикла является простая цепь P , соединяющая v с некоторой вершиной $t \in S$, причем цепь P можно выбрать так, чтобы $P \cap S = \{t\}$. Искомый цикл строится так, как показано на рис. П1.2 (пунктирная линия).

Переход $3 \Rightarrow 4$. Пусть есть два ребра (a, b) и (u, v) графа G . По условию G имеет простой цикл S , содержащий ребро (a, b) и вершину u , и простой цикл Q , содержащий ребро (a, b) и вершину v . Дальнейшее построение аналогично тому, что приведено в предыдущих пунктах.

Переход $4 \Rightarrow 5$. Пусть $u, v \in V$ и $t = (x, y) \in E$. В графе G есть простая цепь $P = (u, q, \dots, v)$. Из четвертого утверждения следует, что в графе G есть простой цикл S , содержащий ребра (u, q) и (x, y) . Объединение $S \cup P$ содержит требуемую простую цепь.

Переход $5 \Rightarrow 6$. Пусть $u, v, q \in V$. Возьмем произвольное ребро $(q, t) \in E$. Из пятого утверждения следует, что в графе G существует (u, v) -цепь, проходящая через (q, t) и, следовательно, содержащая q .

Переход $6 \Rightarrow 1$. Пусть $q \in V$. Рассмотрим граф $G - q$. Он связан, т. е. любая пара вершин u и v соединена цепью. В графе G есть простая (q, v) -цепь, проходящая через вершину u . В этой цепи есть (u, v) -подцепь, не проходящая через q и, следовательно, являющаяся (u, v) -цепью в графе $G - q$. ■

7.3. Теорема Менгера

Теорема Менгера. *Наименьшее число вершин, разделяющих две несмежные вершины u и v , равно наибольшему числу вершинно-непересекающихся простых (u, v) -цепей.*

Прежде чем рассматривать доказательство теоремы, определим операцию стягивания графа $G = (V, E)$ относительно его подграфа, имеющего множество вершин Q . В результате получается граф $G_1 = (V_1, E_1)$. На рис. П1.3, а приведен пример графа — K_5 . Вершины подграфа Q заштрихованы. Суть операции сводится к тому, что из G удаляются все вершины из Q , кроме одной (на рис. П1.3 это вершина v), $V_1 = V \setminus Q \cup \{v\}$, а $E_1 = E \setminus \{(x, y) : x \in Q \text{ и } y \in Q\} \cup \{(x, v) : x \in \Gamma(Q) \setminus Q\}$, где $\Gamma(Q)$ — множество всех вершин, смежных с вершинами из Q . Другими словами, подграф Q как бы стягивается в одну вершину v , и сохраняются связи (ребра) вершины v с остальными вершинами графа. На рис. П1.3, б показан результат стягивания.

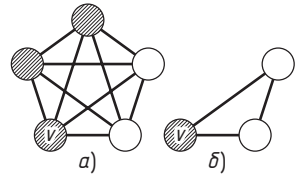


Рис. П1.3. Пример операции стягивания графа

Доказательство. В качестве метода используется индукция по n и m . Первый шаг: $n = 3$, $m = 2$. Это наименьший граф, удовлетворяющий условию теоремы — одна вершинно-непересекающаяся простая цепь и одна вершина, разделяющая две оставшиеся вершины. Предположим, что утверждение верно для всех графов с числом вершин, меньшим n , и числом ребер, меньшим m . Рассмотрим граф G с n вершинами и m ребрами. Пусть u и v — несмежные вершины и S — некоторое наименьшее множество вершин, разделяющее u и v , $t = |S|$. Логически возможны три случая.

1. Предположим, что все вершины S смежны с u или v . Пусть s u так, как это показано на рис. П1.4, и в S есть вершина w , одновременно смежная и с u , и с v . Если исключить из G вершину w и инцидентные ей ребра (полученный граф обозначим G'), то в графе G' есть $t - 1$ вершинно-непересекающихся простых цепей. Добавим цепь (u, w, v) . Она простая и вершинно не пересекается с остальными. Получаем t вершинно-непересекающихся простых цепей в G .

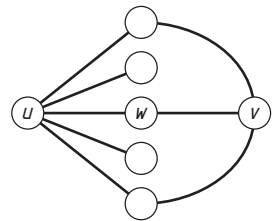


Рис. П1.4. Теорема Менгера, первый случай

2. Предположим, что все вершины S смежны с u или с v (для определенности предполагаем, что с u) и среди вершин S нет вершин, смежных одновременно и с вершиной u , и с вершиной v . Рассмотрим кратчайшую (u, v) -цепь (u, w, q, \dots, v) , $w \in S$, $q \neq v$ (рис. П1.5). Вершина $q \notin S$, в противном случае существовала бы более короткая цепь (u, q, \dots, v) . Стянем

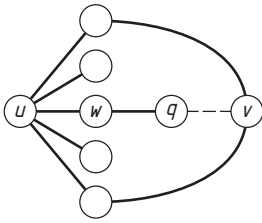


Рис. П1.5. Теорема Менгера, второй случай

граф G относительно подграфа с множеством вершин $\{w, q\}$, получим граф G' . В графе G' множество S является наименьшим, разделяющим u и v , но граф G' по крайней мере на одно ребро меньше G , и в соответствии с предположением индукции в G' существует t вершинно-непересекающихся простых цепей. Цепи, не пересекающиеся в G' , не пересекаются и в G . Случай разобран.

3. Предположим, что в S есть вершины, несмежные как с u , так и с v (рис. П1.6, а). В этом случае граф $G - S$ состоит из двух нетривиальных графов G_1 и G_2 . Стягивание графа G_1 к вершине u дает граф G_u (рис. П1.6, б). Стягивание графа G_2 к вершине v дает граф G_v (рис. П1.6, в). Множество вершин S

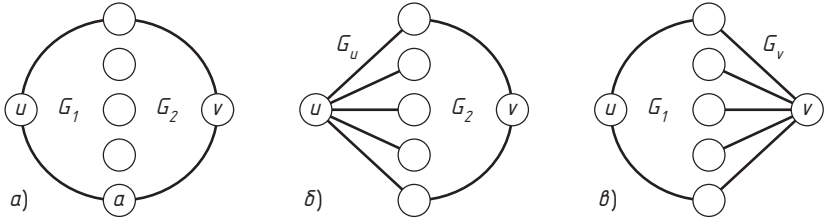


Рис. П1.6. Теорема Менгера, третий случай

является наименьшим разделяющим множеством для u и v как в G_u , так и в G_v . Так как G_u и G_v имеют меньшее количество вершин и (или) ребер, чем G , то, следовательно, по предположению индукции в G_u и в G_v имеется t вершинно-непересекающихся простых цепей. Комбинируя цепи от u до S с цепями от S до v , а такая возможность есть, мы получаем t вершинно-непересекающихся простых цепей в G . ■

8.1. Эйлеровы графы

Теорема. *Связный неориентированный граф G содержит эйлеров цикл тогда и только тогда, когда число вершин нечетной степени равно нулю.*

Доказательство. *Необходимость.* Пусть граф G — эйлеров граф. Цикл проходит через каждую вершину, входя и выходя из этой вершины по разным ребрам, поэтому каждая вершина имеет четную

степень. Так как цикл содержит все ребра графа, то отсюда следует и четность степеней всех вершин графа.

Достаточность. Пусть степени всех вершин графа четные. Начав с произвольной вершины графа v , строим простую цепь P (рис. П1.7). В процессе включения свободных ребер в цепь (процесс построения) мы пришли в произвольную вершину u графа. Логически возможны три варианта: 1) есть «непросмотренные» ребра из u ; 2) «непросмотренных» ребер, инцидентных вершине u , нет и не все ребра графа G пройдены; 3) «непросмотренных» ребер, инцидентных вершине u , нет и все ребра графа G пройдены — в этом случае $u = v$, цикл построен.

В первом случае построение цепи продолжается по схеме включения свободных ребер (на рис. П1.7 — цепь $(1, 2, 3, 4, 2)$, $u = 2$). Во втором случае (рис. П1.7 — цепь $(1, 2, 3, 4, 2, 5, 1)$) возвращаемся (обратный просмотр) назад по цепи до первой вершины t (на рис. П1.7 $t = 3$), имеющей не включенные в цепь ребра, при этом запомнить номера вершин — часть цепи P (рис. П1.7 — $(4, 2, 5, 1)$). Из вершины t процесс построения цепи продолжается по схеме включения свободных ребер. Вершина t выступает в данном случае как аналог начальной вершины v . В силу конечности графа и четности степеней его вершин окажется, что все ребра пройдены, и мы находимся или в вершине v , или в ее аналоге — вершине t . Во втором случае «дописываем» в цепь все запомненные участки цепи P , формируя тем самым цикл Эйлера. ■

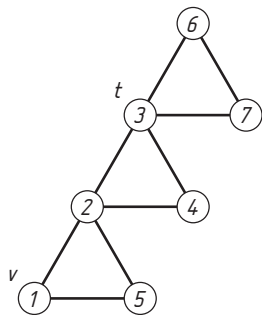


Рис. П1.7. Граф для иллюстрации схемы доказательства теоремы Эйлера

8.2. Гамильтоновы графы

Теорема. Граф G , степени вершин которого связаны неравенствами $d_1 \leq d_2 \leq \dots \leq d_n$, является гамильтоновым, если для всякого k , удовлетворяющего неравенствам $1 \leq k < n/2$, из $d_k \leq k$ следует $d_{n-k} \geq n - k$.

Доказательство. Теорема доказывается методом от противного. Предположим, что существует негамильтонов граф, удовлетворяющий условиям теоремы. Полный граф K_n является гамильтоновым. Значит, существует максимальный негамильтонов граф — добавление ребра, связывающего его две несмежные вершины, пе-

реводит его в разряд гамильтоновых. Именно существование такого графа и предполагается. Из этого следует, что любые две вершины такого графа связаны гамильтоновой цепью. Найдем в графе пару несмежных вершин v_1 и v_n , таких, что $d_{v_1} + d_{v_n}$ имеет максимальное значение, и рассмотрим гамильтонову цепь v_1, v_2, \dots, v_n .

Если в графе G вершины v_1 и v_j смежны, то вершина v_n не может быть смежной с v_{j-1} , поскольку в этом случае имелся бы гамильтонов цикл $v_1, v_2, \dots, v_{j-1}, v_n, v_{n-1}, v_{n-2}, \dots, v_{j+1}, v_j, v_1$. Отсюда следует, что вершина v_n несмежна по крайней мере с d_{v_1} вершинами, следовательно, $d_{v_n} \leq n - 1 - d_{v_1}$ и $d_{v_1} + d_{v_n} \leq n - 1 < n$. Считаем для определенности, что $d_{v_1} \leq d_{v_n}$. Из этого и предыдущего факта следует неравенство $d_{v_1} < n/2$. Значение $d_{v_1} + d_{v_n}$ максимально, поэтому степень каждой вершины, не смежной с v_n , не превосходит d_{v_1} , и таких вершин не менее чем d_{v_1} . Выбрав $k = d_{v_1}$, получаем $d_k \leq k < n/2$. Из условий теоремы следует, что $d_{n-k} \geq n - k$ и имеется, по крайней мере, $k + 1$ вершин степени не меньше чем $n - k$. Например, такими вершинами являются вершины со степенями $d_n, d_{n-1}, \dots, d_{n-k}$. Так как $d_{v_1} = k$, то v_1 не может быть смежной со всеми этими вершинами, и, значит, найдется такая вершина v_i , не смежная с v_1 , что $d_{v_1} \geq n - k$. Но тогда $d_{v_1} + d_{v_i} \geq k + (n - k) > d_{v_1} + d_{v_n}$, что противоречит выбору вершин v_1 и v_n . ■

Более простые достаточные условия гамильтоновости графа формулируются следующими теоремами.

Теорема (О. Оре). Если в графе $G(V, E)$, $|V| = n$, $n \geq 3$ и $d_u + d_v \geq n$ для любой пары u и v несмежных вершин графа G , то G — гамильтонов граф.

Теорема (Г. Дирак). Если в графе $G(V, E)$, $|V| = n$, степень любой вершины больше или равна $n/2$ ($\forall v \in V d_v \geq n/2$), то граф G гамильтонов.

8.4. Матроиды

Теорема. Пусть E — конечное множество, \mathcal{R} — семейство его подмножеств, удовлетворяющих первой аксиоме в определении матроида. При этих предположениях $M = (E, \mathcal{R})$ является матроидом тогда и только тогда, когда выполняется условие: для произвольного подмножества $C \subseteq E$ каждые два максимальных подмножества множества C имеют одинаковую мощность.

Доказательство. Предположим, что $M = (E, \mathcal{R})$ является матроидом и для некоторого C существует два максимальных независимых подмножества A, B разной мощности. Предположим, что $|B| > |A|$. Выберем произвольное независимое подмножество (аксиома 1) $B' \subseteq B$, такое, что $|B'| = |A| + 1$. По второй аксиоме существует такой элемент $e \in B' \setminus A \subseteq C$, что $A \cup \{e\} \in \mathcal{R}$, а это противоречит максимальнойности множества A .

Предположим, что выполняется первая аксиома, и есть совпадение по мощности всех максимальных независимых подмножеств. Выберем два произвольных подмножества $A, B \in \mathcal{R}$, такие, что $|B| = |A| + 1$, и пусть $C = A \cup B$. Предположим, что не существует такого элемента $e \in B \setminus A$, что $A \cup \{e\} \in \mathcal{R}$. Это означает, что A является максимальным независимым подмножеством. Расширить B до максимального независимого подмножества $B^* \subseteq C$ у нас есть возможность, при этом получаем, что $|B^*| > |A|$, а это противоречит условию теоремы. Таким образом, из первой аксиомы и условия равномощности максимальных независимых подмножеств следует вторая аксиома. Отсюда следует эквивалентность второй аксиомы и требования равномощности максимальных независимых подмножеств. ■

Теорема Радо—Эдмондса. *Если $M = (E, \mathcal{R})$ есть матроид, то множество X , найденное жадным алгоритмом, является независимым множеством с наибольшим весом. Напротив, если $M = (E, \mathcal{R})$ не является матроидом, то всегда можно задать такие веса элементов множества E , что X не будет независимым множеством с наибольшим весом.*

Доказательство. Пусть $M = (E, \mathcal{R})$ — матроид и $S = \{s_1, s_2, \dots, s_k\}$ — множество, полученное с помощью жадного алгоритма, при этом $w(s_1) \geq w(s_2) \geq \dots \geq w(s_k)$. Жадный алгоритм строит максимальное независимое множество, или базу, ибо каждый элемент e_j , не включаемый в множество на некотором шаге алгоритма, является зависимым от множества элементов, выбранных на предыдущих шагах, и, следовательно, от всех элементов множества S . Возьмем произвольное независимое множество $T = \{t_1, t_2, \dots, t_m\}$, где $w(t_1) \geq w(t_2) \geq \dots \geq w(t_m)$. Требуется показать, что $w(T) \leq w(S)$, точнее, для произвольного $i \leq m$ имеем $w(t_i) \leq w(s_i)$. Предположим, что $w(t_i) > w(s_i)$. Рассмотрим два независимых множества $A = \{s_1, s_2, \dots, s_{i-1}\}$ и $B = \{t_1, t_2, \dots, t_{i-1}, t_i\}$. По второй аксиоме из определения матроида существует элемент t_j , $j \leq i$, такой, что множество $\{s_1, s_2, \dots, s_{i-1}, t_j\}$ является независимым. Получаем $w(t_j) \geq w(t_i) > w(s_i)$. Из этого сле-

дует существование индекса $p \leq i$, такого, что $w(s_1) \geq \dots \geq w(s_{p-1}) \geq w(t_j) \geq w(s_p)$. Однако эти неравенства противоречат логике выбора элемента s_p как элемента с наибольшим весом, добавление которого к $\{s_1, s_2, \dots, s_{p-1}\}$ не нарушает его независимости. Противоречие говорит о том, что исходная посылка — $w(t_i) > w(s_i)$ — неверна, следовательно, $w(t_i) \leq w(s_i)$.

Пусть $M = (E, \mathcal{R})$ не является матроидом. Предположим, что не выполняется первая аксиома, т. е. существуют такие $A, B \subseteq E$, что $A \subseteq B \in \mathcal{R}$, $A \notin \mathcal{R}$. Определим весовую функцию в этом случае следующим образом:

$$w(e) = \begin{cases} 1, & \text{если } e \in A, \\ 0, & \text{если } e \in E \setminus A. \end{cases}$$

Множество A не содержится в множестве S , которое строится жадным алгоритмом, тогда $w(S) < w(B) = w(A)$. Предположим, что первая аксиома выполняется, не выполняется вторая аксиома — существуют независимые множества A, B , такие, что $|A| = k$, $|B| = k + 1$, и для каждого $e \in B \setminus A$ множество $A \cup \{e\}$ зависимое. Пусть $p = |A \cap B|$. Значение $p < k$. Возьмем величину ε из интервала $0 < \varepsilon < \frac{1}{k-p}$. Определим следующую весовую функцию:

$$w(e) = \begin{cases} 1 + \varepsilon, & \text{если } e \in A, \\ 1, & \text{если } e \in B \setminus A, \\ 0 & \text{в остальных случаях.} \end{cases}$$

Жадный алгоритм, выбрав все элементы A , отбрасывает все элементы $e \in B \setminus A$. В итоге формируется множество S с весом, меньшим веса элементов множества B :

$$\begin{aligned} w(S) = w(A) = k(1 + \varepsilon) &= (k - p)(1 + \varepsilon) + p(1 + \varepsilon) \leq \\ &\leq (k - p) \frac{k+1-p}{k-p} + p(1 + \varepsilon) = (k + 1 - p) + p(1 + \varepsilon) = w(B). \quad \blacksquare \end{aligned}$$

Теорема. $M(G)$ является матроидом для произвольного графа G .

Доказательство. Первое требование (а именно, $\emptyset \in \mathcal{R}$, и если $A \in \mathcal{R}$ и $B \subseteq A$, то $B \in \mathcal{R}$) выполняется. Действительно, если A не содержит циклов, то и в любом его подграфе нет циклов. Вторая аксиома (два максимальных подмножества множества E имеют одинаковую мощность) говорит о том, что остовы графа имеют одинаковое количество элементов. А это действительно так, их мощность равна $n - 1$, где $n = |V|$, и считаем, без ограничения общности, что граф состоит из одной компоненты связности. \blacksquare

Теорема. Для произвольного графа $G = (V, E)$ подмножество столбцов матрицы инциденций B линейно независимо (операция сложения выполняется по модулю 2) тогда и только тогда, когда соответствующее ему подмножество ребер содержит цикл.

Доказательство. Пусть подмножество $C \subseteq E$ является циклом. Рассмотрим соответствующее ему множество столбцов матрицы B . В каждой ненулевой строке записано только две единицы (цикл) и операция сложения по модулю 2 даст нулевой столбец. Обратно. Пусть некоторое непустое множество столбцов матрицы B таково, что операция сложения по модулю 2 дает нулевой столбец. Рассмотрим соответствующее этому множеству подмножество ребер графа G . В этом подграфе все вершины имеют четную степень, иначе операция сложения не давала бы нулевой столбец. Данный подграф содержит цикл, ибо любой непустой граф без циклов содержит по крайней мере одну вершину со степенью один. ■

9.1. Основные понятия [покрытия и независимость]

Теорема. Для любого нетривиального графа G

$$\alpha_0 + \beta_0 = n = \alpha_1 + \beta_1.$$

Доказательство. Пусть M_0 является произвольным наибольшим независимым множеством вершин и $|M_0| = \beta_0$. Так как никакая пара вершин множества M_0 ребром не соединяется, то оставшиеся $n - \beta_0$ вершин образуют такое вершинное покрытие G , что $\alpha_0 \leq n - \beta_0$. С другой стороны, если N_0 — наименьшее вершинное покрытие графа G , то никакую пару остальных $n - \alpha_0$ вершин G нельзя соединить ребром, поэтому множество $V \setminus N_0$ независимо. Следовательно, $\beta_0 \geq n - \alpha_0$. Первое равенство доказано.

Пусть M_1 есть наибольшее независимое множество ребер, $M_1 = \beta_1$. Множество M_1 покрывает $2|M_1|$ вершин. Добавляя по одному ребру, инцидентному непокрытым $n - 2|M_1|$ вершинам, получаем реберное покрытие Y , $|Y| \geq \alpha_1$ и $|Y| = |M_1| + n - 2|M_1| = n - |M_1| \geq \alpha_1$. Таким образом, $n \geq \alpha_1 + \beta_1$. Обратное неравенство: пусть N_1 — наименьшее реберное покрытие графа G , $|N_1| = \beta_1$. В N_1 не может быть ребер, оба конца которых инцидентны другим ребрам из N_1 . Из этого следует, что N_1 есть сумма звезд графа G (звездой называется граф, диаметр которого не превосходит двух). Пусть этих звезд t . Звезда из m_i ребер покрывает $m_i + 1$ вершин. Имеем:

$$n = \sum_{i=1}^t (m_i + 1) = t + \sum_{i=1}^t m_i = t + |N_1| = t + \beta_1.$$

Если из каждой такой звезды выбрать по одному ребру, то получится независимое множество W ребер, $|W| = t$ и $|W| \leq \alpha_1$. Получаем $n \leq \alpha_1 + \beta_1$. ■

9.4. Доминирующие множества

Теорема. *Независимое множество вершин является максимальным тогда и только тогда, когда оно является доминирующим.*

Доказательство. Необходимость. Пусть $S \subseteq V$ является максимальным независимым множеством вершин графа. Предположим, что оно не доминирующее. В этом случае существует вершина v , находящаяся на расстоянии больше единицы от всех вершин множества S . Эту вершину можно добавить к S с сохранением независимости, что противоречит максимальнойности множества.

Достаточность. Пусть S — независимое доминирующее множество. Предположим, что оно не является максимальным. Значит, существует независимое множество вершин, в которое оно входит, и существует вершина v , не смежная ни с одной вершиной S , находящаяся на расстоянии, большем единицы, от всех вершин S . Это противоречит тому, что S является доминирующим множеством. ■

9.5. Паросочетания

Теорема. *Для двудольного графа G число ребер в наибольшем паросочетании равно числу вершин в наименьшем вершинном покрытии, т. е. $\alpha_0(G) = \beta_1(G)$.*

Доказательство. Пусть $G = (X, Y, E)$ — двудольный граф. Предположим, что в G нет изолированных вершин. Для любого подмножества $A \subseteq X$ множество $C = N(A) \cup (X \setminus A)$ является вершинным покрытием графа G . Пусть D — произвольное минимальное покрытие. Представим множество D в виде $D = X_1 \cup Y_1$, $X_1 \subseteq X$, $Y_1 \subseteq Y$ и положим $A = X \setminus X_1$. Тогда $N(A) \subseteq Y_1$. Покрытие D минимально и $D = X_1 \cup N(A)$. Всякое минимальное покрытие имеет вид $N(A) \cup (X \setminus A)$, поэтому

$$\begin{aligned} \alpha_0(G) &= \min_C |C| = \min_{A \subseteq X} (|X \setminus A| + |N(A)|) = \min_{A \subseteq X} (|X| - |A| + |N(A)|) = \\ &= |X| - \max_{A \subseteq X} (|A| - |N(A)|) = |X| - \delta_0(X, Y, E) = \beta_1(G). \end{aligned}$$

Изолированные вершины G не изменяют значения α_0 , β_1 . Доказательство завершено. ■

9.6. Матроиды трансверсалей

Теорема. Пусть $S = \{S_1, S_2, \dots, S_m\}$ — семейство подмножеств конечного множества E и \mathcal{R} — семейство всех частичных трансверсалей семейства S . В этом случае $M(S) = (E, \mathcal{R})$ является матроидом.

Доказательство. Действительно, первая аксиома в определении матроида, а именно — $\emptyset \in \mathcal{R}$, и если $A \in \mathcal{R}$ и $B \subseteq A$, то $B \in \mathcal{R}$, выполняется. Для проверки второй аксиомы предположим, что $A, B \in \mathcal{R}$, $|A| = k$, $|B| = k + 1$. Пусть $A = \{a_1, \dots, a_k\}$ и $B = \{b_1, \dots, b_{k+1}\}$ и $a_i = b_i$ для $1 \leq i \leq r$, где $r = |A \cap B|$. Если $r = k$, т. е. $A \subset B$, то $A \cup \{b_{k+1}\} \in \mathcal{R}$ и аксиома выполняется. Пусть $r < k$ и считаем, что (a_1, \dots, a_k) является системой различных представителей для $(A_{i_1}, \dots, A_{i_k})$, а (b_1, \dots, b_{k+1}) является системой различных представителей для $(A_{j_1}, \dots, A_{j_{k+1}})$. Индексы i_1, \dots, i_k попарно различны, так же как и j_1, \dots, j_{k+1} . Выберем индекс $p \leq k + 1$, такой, что $j_p \notin \{i_1, \dots, i_k\}$. Если индекс можно выбрать так, что $r + 1 \leq p \leq k + 1$, то последовательность (a_1, \dots, a_k, b_p) является системой различных представителей для $(A_{i_1}, \dots, A_{i_k}, A_{j_p})$, откуда следует, что $A \cup \{b_p\} \in \mathcal{R}$. В противном случае, т. е. когда $1 \leq p \leq r$, имеем $a_p = b_p$ и последовательность (a_1, \dots, a_k) является системой различных представителей для $(A_{i_1}, \dots, A_{i_{p-1}}, A_{i_{p+1}}, \dots, A_{i_k})$.

Рассмотрим эту последовательность. Если последовательности (i_1, \dots, i_r) и (j_1, \dots, j_r) совпадают на $q < r$ позициях, то последовательности $(i_1, \dots, i_{p-1}, j_p, i_{p+1}, \dots, i_r)$ и (j_1, \dots, j_r) совпадают на $q + 1$ позициях, так как $j_p \neq i_p$. Повторение построения приводит либо к нахождению частичной трансверсали $A \cup \{b\}$, $b \in B \setminus A$, либо к ситуации, когда $(i_1, \dots, i_r) = (j_1, \dots, j_r)$. Однако в последнем случае $j_p \notin \{i_1, \dots, i_k\}$ для некоторого p , $r + 1 \leq p \leq k + 1$, так как невозможно, чтобы $\{j_{r+1}, \dots, j_{k+1}\} \subseteq \{i_{r+1}, \dots, i_k\}$. Выполняя построение еще раз, получаем элемент $b_p \in B \setminus A$, такой, что $A \cup \{b_p\} \in \mathcal{R}$. ■

Теорема. Пусть $S = (S_1, S_2, \dots, S_n)$ — семейство произвольных множеств. Для существования семейства различных представителей (трансверсали) семейства S необходимо и достаточно, чтобы $\left| \bigcup_{j \in J} S_j \right| \geq |J|$ для каждого $J \subseteq \{1, \dots, n\}$.

Доказательство. Если существует система различных представителей (s_1, s_2, \dots, s_n) , то для каждого J имеем $\left| \bigcup_{j \in J} S_j \right| \geq \left| \bigcup_{j \in J} \{s_j\} \right| = |J|$. Предположим, что для (S_1, S_2, \dots, S_n) не существует системы

различных представителей, и рассмотрим наибольшее паросочетание M в графе $G = (X, Y, E)$, соответствующем семейству (S_1, S_2, \dots, S_n) . Очевидно, что $|M| \leq n$, а следовательно, в Y существует свободная вершина, допустим, b_0 . Обозначим через X_0 множество тех вершин $x \in X$, до которых существует «частичная чередующаяся цепь» из b_0 вида $b_0, a_1, b_1, \dots, b_{k-1}, a_k$, где $k \geq 1$, $a_k = x$, $(a_i, b_i) \in M$ для $1 \leq i \leq k-1$ и $(b_{i-1}, a_i) \in E \setminus M$ для $1 \leq i \leq k$. Очевидно, что X_0 не содержит свободных вершин, поскольку такая вершина соответствовала бы чередующейся цепи вопреки предположению, что M — наибольшее паросочетание. Пусть Y_0 является множеством вершин, связанных через M с вершинами из X_0 . Обозначим $J = \{j: 1 \leq j \leq n \text{ и } y_j \in Y_0 \cup \{b_0\}\}$. Заметим, что $\bigcup_{j \in J} S_j = X_0$ и, следовательно, $\left| \bigcup_{j \in J} S_j \right| = |X_0| = |Y_0| = |J| - 1 < |J|$. Таким образом, условие теоремы не выполняется. ■

10.2. Формула Эйлера

Теорема (формула Эйлера). В связном планарном графе $G = (V, E)$ справедливо равенство $n - m + r = 2$, где $n = |V|$, $m = |E|$ и $r = r(G)$.

Рассуждения. В п. 8.3 определено *цикломатическое число* графа $\nu(G) = m - n + 1$ (граф состоит из одной связной компоненты). Это количество фундаментальных циклов графа относительно некоторого дерева (каркаса) T . Оно является тем множеством циклов (базисом), из которого с помощью операции симметрической разности получаем остальные циклы графа. Дерево T имеет $n - 1$ ребер и одну грань (можно сказать, внешнюю), равенство справедливо. Добавляя по одному обратному ребру, мы увеличиваем и число граней на единицу, ибо вершины графа, соединяемые обратным ребром, принадлежат одной грани, и она этим ребром разбивается на две грани. Таким образом, количество внутренних граней $r - 1$ равно $m - n + 1$.

Примечание. Можно считать граф G двусвязным, ибо при выполнении равенства для блоков графа оно выполняется и для графа в целом. Следовательно, каждая внутренняя грань плоской укладки графа G есть простой цикл. И мощность этого множества простых циклов плоской укладки совпадает с мощностью множества фундаментальных циклов графа.

Теорема. Граф является плоским максимальным графом тогда и только тогда, когда он представляет собой плоскую триангуляцию.

Доказательство. Необходимость. Пусть G — максимальный плоский граф. Граф G является двусвязным (при наличии точек сочленения найдутся две вершины, которые можно соединить ребром без нарушения планарности), поэтому всякая грань Γ , не являющаяся треугольником, ограничена простым циклом не менее чем из четырех вершин $(v_1, v_2, v_3, v_4, \dots, v_1)$. Из плоскости G следует, что в графе ребро (v_1, v_3) и ребро (v_2, v_4) (рис. П1.8) не могут быть одновременно (они должны быть вне Γ). Пусть $(v_1, v_3) \notin E$, тогда после его добавления в грань Γ граф остается плоским, что противоречит условию максимальнойности.

Достаточность. Пусть G — плоская триангуляция. После добавления всякого ребра в граф G граф должен оставаться плоским и некоторая грань графа G должна разбиваться на две грани. Однако в плоской триангуляции всякая грань есть треугольник, и, следовательно, разбить ее на две путем добавления ребра невозможно. ■

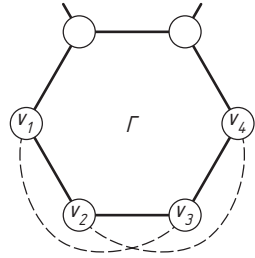


Рис. П1.8. Иллюстрация необходимости утверждения «максимальный плоский граф является плоской триангуляцией»

ПРИЛОЖЕНИЕ 2

ОПИСАНИЕ ОСНОВНЫХ ЭЛЕМЕНТОВ ЯЗЫКОВ ПРОГРАММИРОВАНИЯ ПАСКАЛЬ, ВИЗУАЛЬНОГО БЕЙСИКА И C++

1. Язык программирования Паскаль

В данном приложении дается краткая справка по *подмножеству* языка программирования Паскаль, используемому для записи алгоритмов в книге. Оно стандартно и минимально, поэтому присутствует практически во всех алгоритмических языках программирования. Установка соответствия между ним и любым другим языком программирования — простая задача. Лексемы языка выделены курсивом. В фигурных скобках — комментарии, в угловых скобках — пропущенные конструкции в записи утверждения. Если какая-то конструкция не приводится в данном приложении, но встречается в книге, то ее разъяснение дано по ходу изложения.

Структура программы

Program <имя программы>;

Const ...; {Раздел констант}

Type ...; {Раздел типов}

Var ...; {Раздел переменных}

<Процедуры и функции>;

Begin

{Раздел операторов — описываются выполняемые действия по управлению вычислительным процессом. Основной оператор — оператор присваивания: <имя переменной определенного типа> := <выражение, результат вычисления которого имеет тот же тип, что и переменная в левой части оператора, или имя переменной>;}

...

End.

Разделителем между разделами и операторами является точка с запятой. Точка в конце программы обязательна. Несколько операторов, выполняемых как единое целое при определенных условиях (составной оператор), заключаются в операторные скобки

Begin (операторы); *End*;

Любая процедура или функция может содержать собственные разделы *Const*, *Type*, *Var*.

Целый тип данных

Из пяти стандартных целых типов (в скобках указаны диапазоны значений):

Shortint (-128 ... 127),
Integer (-32 768 ... 32 767),
Longint (-2 147 483 648 ... 2 147 483 647),
Byte (0 ... 255),
Word (0 ... 65 535)

используются в основном *Integer* и *Longint*. Операции с величинами этого типа стандартны. Деление нацело и нахождение остатка от деления обозначается словами *Div* и *Mod* соответственно. В некоторых случаях требуется преобразовать величину типа *Integer* в величину типа *Longint*. С этой целью используется стандартная функция *Longint*, конструкция $a := \text{Longint}(a)$ преобразует величину a в тип *Longint*. Для увеличения, уменьшения значения переменной a на значение переменной b используются операторы $\text{Inc}(a, b)$, $\text{Dec}(a, b)$. Для увеличения, уменьшения на единицу — $\text{Inc}(a)$, $\text{Dec}(a)$.

Логический тип данных

Для обозначения логического, или булевского, типа данных используется зарезервированное слово *Boolean*. Переменные этого типа принимают только два значения — истина (*True*) или ложь (*False*). Слова *True* и *False* являются именами стандартных констант. Операции традиционны: *Not* — отрицание, *And* — конъюнкция, *Or* — дизъюнкция.

Ввод, вывод

В тексте редко, но встречаются стандартные операторы $\text{Read}(a, b, c)$, $\text{ReadLn}(a, b, c)$, $\text{Write}(a, b, c)$, $\text{WriteLn}(a, b, c)$. Имена величин a , b , c следует рассматривать как пример и не более. Суффикс *Ln* говорит о переходе на следующую строку при вводе, выводе. Обычно

не уточняется, откуда или куда осуществляется ввод или вывод данных. Разделителем в данном случае (списке вводимых, выводимых значений) является запятая.

Примечание. Автор обычно знакомит с текстовыми файлами в начале основного курса по информатике. Стандартный режим диалога с компьютером после этого выглядит следующим образом: экран разбит на три (четыре) окна: текст программы, входной файл, выходной файл и, если требуется, окно отладчика. Пусть даже во входном файле одно число, это не страшно, ибо главным является формирование системы взаимодействия с компьютером, позволяющей в достаточно полной мере использовать в обучении дидактический потенциал режима отладки программ и обучения через ошибку. В целом ввод, вывод — чисто технологическая составляющая курса, и она используется как инструмент и не более. Другими словами, уделять значительное учебное время на изучение особенностей ввода, вывода вряд ли целесообразно.

Управляющие конструкции

Оператор ветвления:

```
If <логическое выражение>  
  Then <операторы 1>  
  Else <операторы 2>;
```

В зависимости от значения логического выражения — *True* или *False* — выполняются операторы или из первой группы, или из второй.

В Паскале есть три вида операторов цикла, и они все используются. Оператор цикла с параметром имеет вид:

```
For <управляющая переменная> := <начальное значение> To (или  
  DownTo) <конечное значение> Do <операторы>;
```

Значение управляющей переменной имеет тип, на котором есть отношение порядка, и изменяется от начального значения до конечного значения (включительно) с шагом 1 (при *To*) или шагом -1 (при *DownTo*). При каждом значении управляющей переменной выполняются операторы, записанные после служебного слова *Do*. Если операторов несколько, то они заключаются в операторные скобки *Begin — End*.

Оператор цикла с предусловием имеет вид:

```
While <логическое выражение> Do <операторы>;
```

Пока значение логического выражения истинно (*True*), выполняются операторы, записанные после служебного слова *Do*. Операторные скобки обязательны. Очевидно, что в результате работы операторов обязаны изменяться величины, влияющие на результат вычисления логического выражения.

Оператор цикла с постусловием имеет вид:

Repeat ⟨операторы⟩ *Until* ⟨логическое выражение⟩;

До тех пор пока значение логического выражения ложно (*False*), выполняются операторы, записанные между служебными словами *Repeat* и *Until*.

Процедуры и функции

В Паскале существуют два типа подпрограмм — процедуры и функции. Их назначение традиционное — механизм структуризации решения задачи и управление ходом вычислительного процесса на более высоком уровне, чем уровень отдельных управляющих конструкций. Структура процедур и функций совпадает со структурой программы, т. е. допустимы, если это необходимо, все разделы описаний. Все величины, представленные в этих разделах, являются локальными — видимыми только в процедуре или функции. В процедурах и функциях разрешается использовать величины, описанные в вызывающей логике. По отношению к процедурам и функциям они носят глобальный характер и, соответственно, называются глобальными величинами (константами, переменными).

Форма записи заголовка функции имеет вид:

Function ⟨имя функции⟩ (⟨список формальных параметров⟩):
⟨тип результата⟩;

Среди входящих в функцию операторов должен обязательно присутствовать хотя бы один оператор присваивания, в левой части которого стоит имя данной функции. Обращение к функции происходит аналогично обращению к стандартным функциям в языках программирования.

Форма записи заголовка процедуры имеет вид:

Procedure ⟨имя процедуры⟩ (⟨список формальных параметров⟩);

Способ вызова процедуры отличается от вызова функции. Вызов производится с помощью специального оператора вызова процедуры. В заголовке процедуры отсутствует описание типа ее имени, так как имя процедуры никак не связано с результатом (результатами), создаваемым в процессе ее работы.

В списке формальных параметров используются параметры-значения и параметры-переменные (перед последними записывается служебное слово *Var*). При вызове процедур и функций это отличие в передаче данных заключается в том, что в первом случае передаются значения величин, а во втором — ссылка (адрес) на фактический параметр (величину) в вызывающей (внешней) логике. Таким образом, во втором случае при изменении в процедуре или функции переменной происходит одновременное изменение соответствующей величины во внешней логике. Естественно, что между формальными и фактическими параметрами должно быть полное соответствие как по порядку следования в записи, так и по типам.

Массивы

Массив, или регулярный тип, есть упорядоченный набор данных одного типа. Массив содержит фиксированное число элементов, и определять его следует полностью (задавать количество элементов) в разделе описаний. Это связано с тем, что память компьютера для хранения массива выделяется на стадии компиляции. Пример задания массива в разделе типов:

```
Type MyArray = Array[1..100] Of Integer;
```

После этого в разделе переменных определяем

```
Var A, B: MyArray;
```

Имеем два массива по 100 элементов для хранения целых чисел. Обращение к отдельным элементам массива осуществляется указанием имени массива и номера элемента в массиве (индекса), например $A[13] := 25$. Второй способ определения массива — без введения нового типа данных в разделе *Type*, а сразу в разделе описаний:

```
Var A, B: Array[1..100] Of Integer;
```

Специальный тип массива, элементами которого являются символы, носит название строки и описывается с помощью служебного слова *String* (в книге практически не используется).

Множества

Паскаль разрешает оперировать с множествами, как с типами данных. Описание множества имеет вид:

```
Set Of <базовый тип>;
```

Каждое возможное значение переменной множественного типа является подмножеством допустимых значений базового типа. Так, если базовый тип содержит n элементов, то множественный тип определяет 2^n элементов. Базовый тип не может иметь более 256 значений, а порядковые номера нижней и верхней границ базового типа должны находиться в диапазоне от 0 до 255. Поэтому, например, тип *Integer* не может выступать в качестве базового типа. С переменными множественного типа допустимы стандартные операции сравнения, результат которых имеет логический тип, и операции: объединения (\cup , обозначается знаком «+»), пересечения (\cap , обозначается знаком «*»), разности (\setminus , обозначается знаком «-») и операция *In*, результат которой логического типа. Операция *In* позволяет определить, принадлежит элемент множеству или нет. Первым операндом, расположенным слева от слова *In*, является выражение базового типа, а второй операнд, расположенный справа от слова *In*, должен иметь множественный тип. Например, $5 \text{ In } [0..3, 7, 9]$. Результат операции *False*.

Для оценки времени работы программы в среде Паскаль можно использовать следующую логику:

```
Uses Dos;
Var Hour, Minute, Second, Sec100:Word;
    rHour, rMinute, rSecond, rSec100:Word;
    delta:LongInt;
Begin
    ...
    GetTime (Hour, Minute, Second, Sec100);
    <программа решения задачи>;
    GetTime (rHour, rMinute, rSecond, rSec100);
    delta:=rHour-Hour;
    delta:=delta*60+rMinute-Minute;
    delta:=delta*60+rSecond-Second;
    delta:=delta*100+rSec100-Sec100;
    WriteLn (' время ', delta Div 100, ' . ',
            delta Mod 100, ' c ');
    ...
End.
```

Примечание. Перечисленное составляет основу, «костяк» изучаемых (не в данном учебнике) понятий и возможностей языка программирования Паскаль, причем изучаются они не сами по себе, а

на определенном проблемном материале. Изучение остальных возможностей Паскаля, опять же, не есть самоцель, а они должны вводиться, на наш взгляд, в зависимости от целей и задач соответствующих курсов. В курсе «Дискретной математики» они не рассматриваются. Отметим два ключевых момента. Несмотря на минимальность изученных возможностей языка программирования Паскаль, эта минимальность охватывает фундаментальные понятия информатики, на которых «стоит это здание»:

- конечная величина и конструирование сложных величин из простых;
- управление вычислительным процессом, в частности сложное управление через рекурсию;
- принцип структуризации как основной принцип деятельности в информатике (и не только);
- упорядоченность объектов определенной структуры, «произрастание» из одного порядка другого;
- перебор вариантов в пространстве состояний задачи (реализуется неявно).

Второй момент связан с тем, что изученное (имеется в виду подмножество языка программирования Паскаль) является новым инструментом как учащегося, так и преподавателя. Владение этим инструментом позволяет познавать информатику на качественно другом уровне деятельности. Мы создали новую среду усилий для каждого конкретного учащегося, новые возможности в его деятельности. А только в деятельности «рождается» мысль и все, что за этим следует.

Материал книги — это, во-первых, новый виток изучения фундаментальных понятий информатики и, во-вторых, пример того, как из той минимальной среды (Паскаля) формируется новая среда усилий, уже не минимальная по своим возможностям.

2. Язык программирования визуальный Бейсик (Visual Basic)

Язык программирования Visual Basic предназначен для разработки приложений для операционной системы Windows.

Проект Visual Basic может состоять из следующих компонентов: форма (*.FRM), модуль класса (*.CLS), модуль Basic (*.BAS), файл ресурсов (*.RES), OLE Custom Control (*.OCX), файл проекта Visual Basic (*.VBP), группа проекта (*.VBG), исходный код элемента

управления *ActiveX* (*.CTL), файл сообщений *Crystal Report* (*.RPT), база данных *Microsoft Access* (*.MDB), файл сохранения установок (*.INI), файл рисунков (*.BMP), справочный файл *Windows* (*.HLP), файл в формате *RTF*, файл пиктограмм (*.ICO), библиотека динамической компоновки (*.DLL).

Структура модуля *Basic* состоит из двух разделов: общего раздела (*General*) (*Declarations*) и раздела описания обработчиков событий.

Операторы программного кода размещаются по одной в каждой строке, однако можно поместить в строке и несколько операторов, в этом случае их следует разделить двоеточием. Число строк кода ограничивается 65 534, количество символов в строке не более 1023.

Для выделения комментариев в Visual Basic используется оператор *Rem* или символ апостроф (').

Переменные

Visual Basic не является строго типизированным языком программирования, поэтому формальное описание типа переменной вовсе необязательно.

Объявление типа переменной имеет форму оператора *Dim*:

Dim <имя переменной> [*As* <тип данных>]

С использованием *Dim* не только явным образом задается тип соответствующей переменной, но и устанавливается соответствующая область видимости для каждой переменной. Область видимости определяет ту часть программы, в которой данная переменная распознается операторами и доступна для обращения.

В Visual Basic существует три вида областей определения, характеризующих доступность переменной:

- *локальная* — переменная доступна только в текущей процедуре;
- *контейнера* — переменная доступна только в текущей форме, модуле или классе, переменные контейнера объявляются в разделе (*General*) (*Declarations*);
- *глобальная* — переменная доступна во всем проекте, глобальные переменные определяются в секции (*General*) (*Declarations*) модуля. При этом вместо оператора *Dim* используется зарезервированное слово *Public*.

Visual Basic дает возможность объявлять переменные как статические. При выходе из процедуры содержимое статической переменной сохраняется. При новом вызове этой процедуры переменной присваивается значение, которое она имела при последнем выходе

из этой процедуры. Содержимое переменной сохраняется в течение всего времени, пока существует в памяти форма или модуль.

Для объявления переменной как статической нужно просто вместо оператора *Dim* использовать слово *Static*:

Static <имя переменной> [*As* <тип переменной>]

Типы данных

Visual Basic поддерживает типы переменных, приведенные в таблице.

Тип	Содержимое	Занимаемая память	Область значений
<i>Boolean</i>	Логическое значение	1 байт	<i>True</i> или <i>False</i>
<i>Byte</i>	Однобайтное целое число	1 байт	от 0 до 255
<i>Integer</i>	Целое число	2 байта	от -32 768 до +32 767
<i>Long</i>	Длинное целое число	4 байта	от -2 147 483 648 до +2 147 483 647
<i>Single</i>	Число с плавающей запятой	4 байта	от $-3,402823 \cdot 10^{38}$ до $-1,401298 \cdot 10^{-45}$ для отрицательных величин; от $+1,401298 \cdot 10^{-45}$ до $+3,402823 \cdot 10^{38}$ для положительных величин
<i>Double</i>	Число с плавающей запятой двойной точности	8 байтов	от $-1,79769313486232 \cdot 10^{308}$ до $-4,94065645841247 \cdot 10^{-324}$ для отрицательных величин; от $+4,94065645841247 \cdot 10^{-324}$ до $+1,79769313486232 \cdot 10^{308}$ для положительных величин
<i>Currency</i>	Денежная величина	8 байтов	от -922 337 203 685 477,5808 до +922 337 203 685 477,5807
<i>Decimal</i>	Десятичное число	16 байтов	$\pm 79\,228\,162\,514\,264\,337\,593\,543\,950\,335$ как целое число; $\pm 7,9228162514264337593543950335$ как десятичное число, до 28 разрядов после запятой
<i>Date</i>	Дата/время	8 байтов	от 1 января 100 до 31 декабря 9999
<i>String</i>	Строковая переменная	1 байт/символ	приблизительно до 65 500 (16-разрядный код) или до $2 \cdot 10^{32}$ (32-разрядный код)
<i>Object</i>	Объект	4 байта	любая ссылка на объект
<i>Variant</i>	Все	16 байтов	<i>Null</i> , <i>Error</i> , числовой до <i>Double</i> , <i>String</i> , <i>Object</i> или массив

Boolean. Данные типа *Boolean* могут содержать только значения *True* или *False*. В Visual Basic значению *True* соответствует 1, а *False* — 0. Если переменной этого типа присваивается значение 0, то переменная содержит *False*. Все другие значения подразумевают *True*.

Byte, Integer, Long. Данные типа *Byte, Integer, Long* содержат лишь целые цифровые значения из различных диапазонов. Если переменной такого типа присваивается 1.4 — возвращается 1, если 1.5 — возвращается 2. (В Visual Basic в качестве разделителя целой и дробной частей используется точка.)

Single, Double, Currency. Данные типа *Single* и *Double* содержат числа с плавающей запятой из разных диапазонов значений. Данные типа *Currency* также служат для представления чисел с плавающей запятой, но число разрядов после запятой ограничено четырьмя. Этого достаточно при выполнении денежных расчетов.

Decimal. Особенность данных этого типа заключается в том, что они могут использоваться лишь внутри переменной типа *Variant*, т. е. объявить переменную типа *Decimal* нельзя. Этот тип данных позволяет использовать числа с количеством знаков после запятой от 0 до 28, но не может объявляться непосредственно оператором *Dim*.

Date. Данные типа *Date* специально предназначены для обработки информации о дате и времени. Чтобы для Visual Basic было понятно, что под указанным значением подразумевается дата и/или время, нужно поместить его между двумя знаками «#». При вводе следует пользоваться американским форматом. Если же при вводе данных этого типа использовать кавычки ("), что допустимо, то следует применять установленный в системе формат даты и времени.

String. Данные типа *String* служат для хранения строк. Каждый символ, сохраненный в переменной типа *String*, занимает 1 байт памяти. Поэтому операционные системы разных платформ поддерживают различную максимальную длину строки. В 16-разрядных системах она составляет около 65 000 символов, в 32-разрядных системах — около 10^{32} символов. Для того чтобы Visual Basic отличал строку от имени переменной, строка заключается в парные кавычки.

Object. Данные типа *Object* служат для хранения других объектов.

Variant. Visual Basic всегда по умолчанию применяет тип *Variant*. Тип данных *Variant* (16 байтов) устанавливает тип данных в зависимости от содержимого переменной. Если в такой переменной содержится число, то переменная типа *Variant* принимает соответствующий тип данных. Если ее содержимое — число 5, то она принимает

тип *Integer*; если 1.2, то *Double*; если текст, то *String*. Переменная типа *Variant* изменяет свой тип во время выполнения программы.

Чтобы потребовать обязательного формального объявления типов переменных, в начале раздела (*General*) (*Declarations*) необходимо добавить опцию *Option Explicit*.

Управляющие конструкции

1. *Присвоение значения переменной*. Оператор присваивания, изменяющий значение переменной, в Visual Basic представлен знаком равенства и имеет вид:

```
⟨имя переменной⟩ = ⟨значение⟩
```

2. *Условный оператор*. В зависимости от сложности действий, выполняемых в ветвлении, программная конструкция с оператором *If* может занимать одну строку или принимать вид блока, состоящего из нескольких строк (здесь и далее необязательные элементы конструкции заключены в квадратные скобки «[]»):

```
If ⟨логическое выражение⟩ Then ⟨оператор⟩ [Else ⟨оператор⟩]
```

```
If ⟨логическое выражение⟩  
  Then ⟨блок операторов для истинного условия⟩  
  [Else ⟨блок операторов для ложного условия⟩]  
End If
```

```
If ⟨логическое выражение⟩  
  Then ⟨блок операторов 1⟩  
  Else If ⟨условие⟩  
  Then ⟨блок операторов 2⟩  
  Else ⟨блок операторов 3⟩  
End If
```

```
Select Case ⟨тестируемое выражение⟩  
  Case ⟨значение 1⟩  
    ⟨блок операторов 1⟩  
  [Case ⟨значение 2⟩  
    ⟨блок операторов 2⟩]  
  ...  
  [Case else  
    ⟨блок операторов 3⟩]  
End Select
```

3. Циклические конструкции.

For ⟨параметр⟩ = ⟨нач. знач.⟩ *To* ⟨кон. знач.⟩ [*Step* ⟨приращение⟩]
 ⟨блок операторов⟩

Next ⟨параметр⟩

While ⟨логическое выражение⟩

⟨блок операторов⟩

Wend

Перечисленные ниже операторы циклов с условием внутри блока операторов могут содержать оператор *Exit Do* для преждевременного выхода из цикла.

Do While ⟨логическое выражение⟩

' пока логическое выражение истинно

[⟨блок операторов⟩] [*Exit Do*] [⟨блок операторов⟩]

Loop

Do While

[⟨блок операторов⟩] [*Exit Do*] [⟨блок операторов⟩]

Loop ⟨логическое выражение⟩

' пока логическое выражение истинно

Do Until ⟨логическое выражение⟩

' пока логическое выражение ложно

[⟨блок операторов⟩] [*Exit Do*] [⟨блок операторов⟩]

Loop

Do Until

[⟨блок операторов⟩] [*Exit Do*] [⟨блок операторов⟩]

Loop ⟨логическое выражение⟩

' пока логическое выражение ложно

Процедуры и функции

В Visual Basic существует два типа подпрограмм — это процедуры и функции. Формат описания процедуры:

Sub ⟨имя процедуры⟩(⟨параметр 1⟩ *As* ⟨тип данных 1⟩)

{⟨параметр 2⟩ *As* ⟨тип данных 2⟩}}

' операторы, обеспечивающие выполнение задачи

End Sub

Формат описания функции:

```
Function <имя функции>([<параметр 1> As <тип данных 1>]
    [{,<параметр 2> As <тип данных 2>}]) As <тип функции>
    'операторы, обеспечивающие выполнение задачи
End Function
```

Ключевым словам *Sub* и *Function* может предшествовать ключевое слово, которое определяет область видимости подпрограммы: *private* — локальная (т. е. может быть вызвана из любого места только текущего модуля) и *public* — общедоступная (может быть вызвана из любого модуля проекта). Кроме того, ключевое слово *static* позволяет объявить статическими все локальные переменные.

Обратите внимание на различия при вызове функций и процедур:

```
<имя процедуры> [параметр 1] [{параметр 2}]
<имя переменной> = <имя функции>([параметр 1] [{, параметр 2}])
```

При вызове функций параметры указываются в скобках, а возвращаемое значение должно быть присвоено переменной.

Способ передачи параметров

В Visual Basic аргументы могут передаваться двумя способами: либо как ссылка (*ByRef*), либо как значение (*ByVal*).

Если аргумент передается как ссылка, то вызванная процедура получает физический адрес памяти передаваемой переменной. Для того чтобы передать аргумент как ссылку, следует перед аргументом указать ключевое слово *ByRef*. Однако поскольку по умолчанию аргументы в Visual Basic именно так и передаются, *ByRef* можно и опустить.

Для передачи аргументов в качестве значений перед именем аргумента в заголовке процедуры следует указывать ключевое слово *ByVal*. В этом случае процедуре передается копия этого значения. При передаче аргументов в качестве значений ключевое слово *ByVal* должно указываться обязательно.

Массивы

Массив — это набор элементов определенного типа, каждый из которых имеет свой порядковый номер, называемый индексом. Различают статические и динамические массивы. Границы статического массива устанавливаются на этапе разработки и могут изменяться только в новой версии программы.

Объявление статического массива:

```
[Static | Public | Dim] <имя массива> (<<количество элементов>>)
  [As <тип данных>]
```

В Visual Basic нумерация элементов массива всегда начинается с нуля, т. е. индекс 0 обозначает первый элемент массива, индекс 1 — второй и т. д. Для индексации массива с единицы в разделе (*General*) (*Declarations*) указывается оператор *Option Base: Option Base 1*. При объявлении массива вместо количества элементов массива можно указать нестандартный диапазон значений индексов массива:

```
Dim <имя массива> (<<номер 1> To <номер 2>).
```

При обращении к элементу массива за именем массива указывают его номер, например: *aName(4) = "Иванов"* или *Print aName(7)*.

Динамические массивы изменяют свои границы в ходе выполнения программы. С их помощью можно динамически задавать размер массива в соответствии с конкретными условиями. Однако следует учесть, что работа с динамическими массивами требует дополнительных затрат на программирование.

Динамический массив создается в два этапа. Сначала массив определяют в секции (*General*) (*Declarations*) без указания размера:

```
' (General) (Declarations)
Dim myArray ( ) As Integer
```

Затем в процедуре с помощью оператора *ReDim* устанавливают фактический размер массива:

```
Sub Command1_Click ( )
  ReDim myArray (50, 10)
  'операторы
End Sub
```

Синтаксис оператора *ReDim*:

```
ReDim [Preserve] <имя массива> (<<количество элементов>>)
  [As <тип данных>]
```

В отличие от обычного *Dim*, оператор *ReDim* используется только в процедурах. При этом тип данных указывать не обязательно, особенно если он уже определен оператором *Dim*.

Использование с оператором *ReDim* зарезервированного слова *Preserve* позволяет сохранить содержимое массива при изменении

его размерности. Но следует учитывать, что для многомерных массивов можно изменять только последнее измерение:

```
Sub Command2_Click ( )
  ReDim Preserve myArray (50, 15)
  'операторы
End Sub
```

Область видимости динамических массивов определяется способом их объявления — если с помощью оператора *Public*, то массив будет глобальным, если с помощью *Dim*, то контейнерным.

3. Язык программирования C++

Краткая справка по подмножеству языка программирования C++ позволит установить соответствие между записью алгоритмов на языке Паскаль в книге и, если потребуется, их записью на языке C++.

Структура программы

Разделителем между разделами и операторами является точка с запятой. Несколько операторов, выполняемых как единое целое при определенных условиях (составной оператор), заключаются в фигурные скобки { <операторы>; }. Любая функция может содержать описания переменных, типов, констант. Комментарии в C++ записываются между ограничителями /* и */.

```
#include <iostream.h>
/* подключение заголовочных файлов (может быть опущено) */
int main ( ) /* описание главной функции
(обязательно присутствует во всех программах) */
{
  /* Раздел операторов. Здесь записываются все необходимые
операторы. Основная операция — операция присваивания —
записывается следующим образом:
<имя переменной> = <величина того же типа, что и переменная>; */
  return 0;
}
```

Переменные

Объявление переменных: сначала указывается тип, затем имя переменной, после которой ставится точка с запятой. Например, *int sum;*. Объявить переменную можно в любом месте программы, область

видимости переменной будет ограничиваться тем блоком, внутри которого она объявлена (функция, цикл, вся программа). Инициализация переменной осуществляется при помощи оператора присваивания «=» после имени переменной при ее описании. Например, `int sum = 0;`. Для описания сразу нескольких переменных одного типа имена переменных перечисляются через запятую. Например, `int sum, avg;`.

Типы данных

Целый тип данных. Существует шесть стандартных целых типов (в скобках указан диапазон значений):

<i>unsigned short int</i>	(0 ... 65 535),
<i>short int</i>	(-32 768 ... 32 767),
<i>unsigned long int</i>	(0 ... 4 294 967 295),
<i>long int</i>	(-2 147 483 648 ... 2 147 483 647),
<i>int</i>	(-32 768 ... 32 767),
<i>int</i> (в 32-разрядных версиях)	(-2 147 483 648 ... 2 147 483 647),
<i>unsigned int</i>	(0 ... 65 535),
<i>unsigned int</i> (в 32-разрядных версиях)	(0 ... 4 294 967 295).

В 32-разрядных оболочках наиболее часто применяется тип *int*, в 16-разрядных — *int* и *long int*. Операции с величинами этого типа стандартны. Деление нацело осуществляется так же, как и обычное деление, но результат должен быть приведен к целому типу. Нахождение остатка осуществляется при помощи операции `%`, например `a % b`. Для преобразования величины одного типа в другой применяется следующий синтаксис (*a* типа *int*, *b* типа *long int*): `a = (int)b`. Для увеличения, уменьшения значения переменной *a* на значение переменной *b* может использоваться сокращенная форма записи: `a += b`; `a -= b`. Для увеличения, уменьшения на единицу: `a++`; `a--`.

Логический тип данных. Для обозначения логического или булевого типа данных используется зарезервированное слово *bool*. Переменные этого типа могут принимать только два значения — *true* (истина) или *false* (ложь). Слова *true* и *false* являются именами стандартных констант. Для величин логического типа применимы следующие стандартные логические операции: `!` — отрицание, `&&` — конъюнкция, `||` — дизъюнкция.

Вещественный тип данных. Существует два стандартных типа: *float* (1.2e-38 ... 3.4e38) и *double* (2.2e-308 ... 1.8e308). Наиболее часто *float*, *double* используются для хранения и обработки больших чисел.

Особый тип void. Тип *void* служит для согласования синтаксиса, переменные данного типа не имеют значения. Например, если функция должна вернуть значение типа *int*, то ее описание будет следующим:

```
int SomeFunction() { <операторы>; return 0; }
```

Если же функция не должна возвращать никакого значения, то

```
void SomeFunction() { <операторы>; }
```

Управляющие конструкции

1. Оператор ветвления:

```
if (<логическое выражение>)<операторы 1>; else <операторы 2>;
```

В зависимости от значения логического выражения (*true* или *false*) выполняются операторы или из первой группы, или из второй.

2. Операторы цикла.

Оператор цикла с параметром имеет вид:

```
for (<выражение 1>; <выражение 2>; <выражение 3>) <операторы>;
```

Этот оператор работает следующим образом. Любое из трех выражений (или сразу все три) может отсутствовать. Если <выражение 1> присутствует, то оно выполняется (чаще всего здесь инициализируется переменная, исполняющая роль счетчика итераций). Затем вычисляется значение <выражения 2> (условие выхода из цикла), если полученный результат принял истинное значение, то выполняется тело цикла, в противном случае — выполнение цикла прекращается и осуществляется переход к оператору, следующему непосредственно после тела цикла. После выполнения тела цикла (<операторы>) вычисляется <выражение 3> (как правило, служит для приращения значения счетчика циклов либо влияет на условие выхода), если оно присутствует, и осуществляется переход к вычислению <выражение 2>. Например, бесконечный цикл:

```
for ( ; ; ) <операторы>;
```

Стандартный цикл:

```
for (i = 0; i < 10; i++) s = s * 2;
```

Цикл с составными выражениями:

```
for (int i = 10, j = 2; i < 20; i++, j = i + 17) { ... }
```

Оператор цикла с предусловием:

```
while (<логическое выражение>) <операторы>;
```

Пока значение логического выражения истинно, выполняются операторы, записанные в теле цикла. В теле цикла должны изменяться

величины, влияющие на вычисление логического выражения. Например,

```
while (i < 100) { i *= 2; sum += i; }
```

Оператор цикла с постусловием:

```
do (операторы) while ((логическое выражение));
```

Полностью аналогичен циклу с предусловием, за исключением того, что проверка условия происходит после выполнения тела цикла. Таким образом, гарантируется, что тело цикла выполнится хотя бы один раз.

Функции

В C++ функция представляет собой подпрограмму или процедуру, несущую законченную смысловую нагрузку. Каждая функция, которую предполагается использовать, должна быть объявлена. Обычно объявления функций размещают в заголовочных файлах, которые затем подключаются при помощи директивы

```
#include <имя заголовочного файла>;
```

Объявление функции описывает ее прототип (сигнатуру):

```
<возвращаемый тип> <имя функции> (<список параметров>);
```

В списке параметров названия параметров можно опускать. Например, `int swap (int, int);`. Прототип функции может быть опущен, если описание функции идет до первого ее вызова из любой другой функции. Если функция возвращает какое-то значение, то в ее теле обязательно должен присутствовать оператор `return` с параметром этого же типа. Если процедура ничего не должна возвращать (т. е. тип `void`), то `return` можно вызвать без параметров либо вообще не вызывать.

Массивы

При описании массива необходимо указать тип его элементов, имя и размер, т. е. количество элементов, которое он будет содержать. Пример описания: `int MyArray[20];`. Обращение к элементу массива может происходить либо по его номеру (индексу), либо по указателю. Пример обращения к элементу массива через его индекс: `x = MyArray[11]; MyArray[15] = x + 5;`. Инициализировать массив можно следующим образом: `int MyArray[5] = {0, 5, 2, 23, 11};`. Нумерация элементов начинается с 0.

ЛИТЕРАТУРА

- [1] *Андерсон Д.* Дискретная математика и комбинаторика. — М. : Изд. дом «Вильямс», 2003.
- [2] *Ахо А., Хопкрофт Дж., Ульман Дж.* Построение и анализ вычислительных алгоритмов. — М. : Мир, 1979.
- [3] *Беллман Р.* Динамическое программирование. — М. : ИЛ, 1960.
- [4] *Белов В. В., Воробьев Е. М., Шаталов В. Е.* Теория графов. — М. : Высш. шк., 1976.
- [5] *Белоусов А. И., Ткачев С. Б.* Дискретная математика : учеб. для вузов. — М. : Изд-во МГТУ им. Н. Э. Баумана, 2001.
- [6] *Виленкин Н. Я.* Комбинаторика. — М. : Наука, 1969.
- [7] *Воробьев Н. Н.* Числа Фибоначчи. — М. : Наука, 1978.
- [8] *Гарднер М.* Путешествие во времени. — М. : Мир, 1990.
- [9] *Грэхем Р., Кнут Д., Паташник О.* Конкретная математика. Основания информатики. — М. : Мир, 1998.
- [10] *Гэри М., Джонсон Д.* Вычислительные машины и труднорешаемые задачи. — М. : Мир, 1982.
- [11] *Емеличев В. А. и др.* Лекции по теории графов. — М. : Наука, 1990.
- [12] *Зыков А. А.* Основы теории графов. — М. : Наука, 1987.
- [13] *Иванов Б. Н.* Дискретная математика. Алгоритмы и программы. — М. : Лаборатория Базовых Знаний, 2001.
- [14] *Кормен Т., Лейзерсон Ч., Ривест Р.* Алгоритмы: построение и анализ. — М. : МЦНМО, 1999.
- [15] *Кристофидес Н.* Теория графов. Алгоритмический подход. — М. : Мир, 1978.
- [16] *Кук Д., Бейз Г.* Компьютерная математика. — М. : Наука, 1990.
- [17] *Липский В.* Комбинаторика для программистов. — М. : Мир, 1988.
- [18] *Матросов В. Л., Стеценко В. А.* Лекции по дискретной математике : учеб. пособие. — М. : МПГУ, 1997.

- [19] *Новиков Ф. А.* Дискретная математика для программистов. — СПб. : Питер, 2002.
- [20] *Окулов С. М.* Программирование в алгоритмах. — М. : БИНОМ. Лаборатория знаний, 2002.
- [21] *Окулов С. М.* Информатика: Развитие интеллекта школьника. — М. : БИНОМ. Лаборатория знаний, 2005.
- [22] *Рейнгольд Э., Нивергельт Ю., Део Н.* Комбинаторные алгоритмы. Теория и практика. — М. : Мир, 1980.
- [23] Рекомендации по преподаванию информатики в университетах : пер. с англ. — СПб., 2002.
- [24] *Романовский И. В.* Дискретный анализ. — СПб. : Невский диалект : БХВ-Петербург, 2003.
- [25] Учебно-методический комплект по специальности 030100 Информатика. — М. : Флинта : Наука, 2002.
- [26] *Хаггарти Р.* Дискретная математика для программистов. — М. : Техносфера, 2003.
- [27] *Харари Ф.* Теория графов. — М. : Едиториал УРСС, 2003.
- [28] *Яблонский С. В.* Введение в дискретную математику : учеб. пособие для вузов. — М. : Высш. шк., 2001.
- [29] *Miller R., Boxer L.* A unified approach to sequential and parallel algorithms. Prentice Hall, Upper Saddle River, New Jersey 07458. 2000.

ПРЕДМЕТНЫЙ УКАЗАТЕЛЬ

- А**лгоритм Дейкстры 227
— Диница 244
— Флойда—Уоршалла 231
— Форда—Беллмана 226
— Эдмондса—Карпа 237
Асимптотические обозначения 17
Ациклический граф 130
- Б**аза графа 154
— матроида 169
Белла числа 43
Беллмана—Форда алгоритм 226
Бине формула 80
Бином Ньютона 32, 380
Блокирующий поток 245
- В**еличина потока 236
Венгерская теорема 188
Вершин графа множество доминирующее 180
— — — наибольшее 174
— — — независимое 174
Вершина графа 111
— — — достижимая 151
— — — изолированная 118
— — — концевая 118
— — — центральная 123
Вершина-источник 236
Вершина-сток 236
Вершинная раскраска графа 216
— — — связность графа 145
Вершинно-непересекающиеся цепи 149
Вершинное число независимости 174
Вершины графа потенциал 252
— — — степень 118
— — — эксцентриситет 123
Вершины графа свободные 189
— — — связанные односторонне 151
— — — — — сильно 151
— — — — — слабо 151
— — — смежные 111
Ветвь дерева 131
Взвешенный граф 137
Выборка 28
- Г**амильтонов граф 158, 387
Генерация перестановок без повторений 53
— — — с повторениями 57
— — — подмножеств 58
— — — разбиений множества на блоки 60
— — — — — на циклы 66
— — — числа на слагаемые 73

- размещений без повторений 55
- с повторениями 57
- сочетаний без повторений 54
- с повторениями 57
- Гипотеза реконструируемости 118
- четырех красок 217
- Гомеоморфные графы 205, 206
- Грань 204
- Граф 111
 - ациклический 130
 - двудольный 123
 - взвешенный 137
 - гамильтонов 158, 387
 - мульти- 111
 - неориентированный 111
 - однородный 118
 - ориентированный 111
 - планарный 204—206
 - плоский 204, 394
 - полный 113
 - помеченный 111
 - реберный 199
 - регулярный 118
 - реконструируемый 118
 - связный 121, 123, 383
 - тэта- 158
 - укладываемый 204
 - эйлеров 156, 386
- Графа база 111
 - вершина 154
 - грань 204
 - дефицит 187
 - дополнение 118
 - дуга 111
 - задание матрицей инцидентностей 112
 - смежности 112
 - перечнем ребер 112
 - списками связей 112
- источник 236
- клика 117, 179
- колода 118
- компонента связности 121
- конденсация 153
- множество вершин 111, 174, 180
- ребер 111, 174
- мост 145
- остовное дерево 131
- остовный подграф 117
- плотность 179
- подграф 117
- разрез 164, 165, 237
- раскраска вершинная 216
- ребро 111
- реконструкция 118
- связность вершинная 145
- реберная 145
- сток 236
- хорда 131
- центр 123
- цепь 120, 189, 238
- цикл 120, 156, 161, 386
- число вершинного покрытия 174
 - доминирования 180
 - кликовое 179
 - коцикломатическое 164
 - независимости вершинное 174
 - реберное 174
 - реберного покрытия 174
 - хроматическое 216
 - цикломатическое 162
- Графов композиция 120
 - объединение 119
 - произведение 119
 - соединение 119
- Графовый матроид 171
- Графы гомеоморфные 205, 206
 - изоморфные 117

Двойственный матроид 169
 Двудольный граф 123
 Дейкстры алгоритм 227
 Деревя ветвь 131
 Дерево 130, 381
 — остовное 131
 — стягивающее 131
 Диаграмма Феррерса 45
 Диаметр связного графа 123
 Динамическое программирование 101
 Диница алгоритм 244
 Дирака теорема 388
 Длина маршрута 122
 Доминирующее множество вершин графа 180
 Дополнение графа 118
 Допустимая дуга графа 238
 Достижимая вершина графа 151
 Дуга графа 56
 — допустимая 238
 — несогласованная 238
 — согласованная 238
 Дуги графа пропускная способность 236
 — — — — остаточная 237
Жорданова кривая 204
Задача Штейнера 141
 — о кенигсбергских мостах 156
 — о коммивояжере 160
 — о назначениях 193
 — о наименьшем вершинном покрытии 181, 198
 — о размещении 39
 — о разупорядочении 36
 — о расстановке скобок 82
 — о триангуляции многоугольника 84
 Запрещенная позиция 98

Изолированная вершина графа 118
 Изоморфные графы 117
 Инцидентность ребра и вершины 112
 Инцидентный матрица 112
 Источник 236
Каркас 131
 Карпа—Эдмондса алгоритм 237
 Каталана числа 82
 Кёнига теорема 123, 187, 381
 Клика 117, 179
 — максимальная 179
 — наибольшая 179
 Кликовое число 179
 Кобазы матроида 169
 Кодерево 164
 Козависимое множество матроида 169
 Колода графа 118
 Композиция графов 120
 Компонента связности графа 121
 Конденсация графа 153
 Конезависимое множество матроида 169
 Концевая вершина графа 118
 Коранг матроида 169
 Коцикл 164
 — матроида 169
 Коцикломатическое число 164
 Краскала метод 137
 Кристофидеса метод 219
 Критерий планарности 205, 206
 — совместимости 212
 Куратовского—Понтрягина теорема 206
Ладейный полином 98
 Лемма о рукопожатиях 118

Максимальная клика 179
Максимальное независимое подмножество 168
 — паросочетание 186
Маршрут 120
 — циклический 120
Маршрута длина 122
Матрица инцидентий 112
 — смежности 112
Матричный матроид 169
Матроид 166, 168, 169, 388
 — графовый 171
 — двойственный 169
 — матричный 169
 — трансверсалей 196, 393
Матроида база 169
 — кобаза 169
 — козависимое множество 169
 — конезависимое множество 169
 — коранг 169
 — коцикл 169
 — независимое множество 168
 — ранг 169
 — цикл 169
Менгера теорема 150, 384
Метод Краскала 137
 — Кристофидеса 219
 — Прима 139
Множество вершин графа доминирующее 180
Мост графа 145
Мультиграф 111
Мультимножество 38
Наибольшая клика 179
Наибольшее множество вершин графа 174
 — ребер графа 174
 — паросочетание 186
Независимое множество вершин графа 174

— матроида 168
 — ребер графа 174
Независимости число вершинное 174
 — реберное 174
Неоднородное линейное рекуррентное соотношение 88
Неориентированный граф 111
Несогласованная дуга графа 238
Ньютона бином 32, 380
Обратное ребро графа 114
Объединение графов 119
Однородное линейное рекуррентное соотношение 86
Однородный граф 118
Односторонне связанные вершины графа 151
Орграф 111
Ориентированный граф 111
Основная теорема о рекуррентных соотношениях 19, 375
Остаточная пропускная способность дуги графа 237
 — сеть 237
Остаточное ребро графа 237
Остовное дерево 131
Остовный подграф 117
Оре теорема 388
Паросочетание 186, 392
 — максимальное 186
 — наибольшее 186
 — совершенное 186
Паскаля треугольник 31
Перестановка без повторов 33, 53
 — с повторениями 38, 57
Перестановки инверсия 35
Перечень ребер 112
Планарный граф 204—206

- Плоская триангуляция 205
 Плоский граф 204, 394
 Плотность графа 179
 Подграф 117
 Подразбиение ребра графа 205
 Поиск в глубину 114
 — в ширину 116
 Пойи формула 113
 Полиномиальная формула 32
 Полный граф 113
 Помеченный граф 111
 Понтрягина—Куратовского теорема 206
 Потенциал вершины графа 252
 Поток блокирующий 245
 — в сети 236
 — через разрез 237
 Потока величина 236
 Прима метод 139
 Принцип включения—исключения 26, 27, 379
 — сложения 25
 — умножения 25
 Произведение графов 119
 Производящая функция 90
 Пропускная способность дуги графа 236
 — — разреза графа 237
 Простая цепь 120
 Простой разрез графа 164
 — цикл 120
- Р**адиус связного графа 123
 Радо—Эдмондса теорема 169, 389
 Разбиение множества на блоки 42, 60
 — — на циклы 44, 66
 — числа на слагаемые 45, 73
- Размещение без повторов 29, 55
 — с повторениями 28, 57
 Разрез графа 164
 — — простой 164
 — — фундаментальный 164
 Разреза графа поток 237
 — — пропускная способность 237
 Разрезов графа фундаментальное множество 165
 Рамсея числа 119
 Ранг матроида 169
 Расстояние между двумя вершинами графа 122
 Реберная связность графа 145
 Реберное число независимости 174
 Реберный граф 199
 Ребра графа подразбиение 205
 Ребра графа смежные 111
 Ребро графа 111
 — — обратное 114
 — — остаточное 237
 Регулярный граф 118
 Реконструируемый граф 118
 Реконструкция графа 118
 Рекуррентное соотношение (уравнение, формула) 18, 19, 76, 101, 375
 — — линейное 86
 — — — неоднородное 88
 — — — однородное 86
 — — порядка k 76
- С**вободные вершины графа 189
 Связного графа диаметр 123
 — — радиус 123
 Связный граф 121, 383
 Сеть 236
 — остаточная 237

- Сильно связанные вершины графа 151
 Система счисления фибоначчи-ева 80
 Слабо связанные вершины графа 151
 Смежности матрица 112
 Смежные вершины графа 111
 — ребра графа 111
 Совершенное паросочетание 186
 Согласованная дуга графа 238
 Соединение графов 119
 Соотношение рекуррентное 18, 76, 101
 — — линейное 86
 — — — неоднородное 88
 — — — однородное 86
 — — порядка k 76
 Сочетание без повторов 30, 54
 — с повторениями 33, 57
 Списки связей 112
 Степень вершины графа 118
 Стирлинга формула 375
 — числа второго рода 42
 — первого рода 44
 Сток 236
 Стягивающее дерево 131
 Субфакториал 37

Теорема венгерская 188
 — Дирака 388
 — Кёнига 123, 187, 381
 — Менгера 150, 384
 — о рекуррентных соотношениях 19, 375
 — Оре 388
 — Понтрягина—Куратовского 206
 — Радо—Эдмондса 169, 389

 — Татта 159
 — Уитни 150
 — Форда—Фалкерсона 237
 — Хватала 158
 — Хивуда 217
 — Холла 197
 — Эдмондса—Фалкерсона 197
 — Эйлера 118, 130, 157, 205, 386, 394
 Точка сочленения 145
 Трансверсалий матроид 196, 393
 Трансверсаль 196
 — частичная 197
 Треугольник Паскаля 31
 Тэта-граф 158

Увеличивающая цепь 238
 Уитни теорема 150
 Укладываемый граф 204
 Уоршалла—Флойда алгоритм 231
 Уравнение рекуррентное 18, 76, 101
 — — линейное 86
 — — — неоднородное 88
 — — — однородное 86
 — — порядка k 76

Фалкерсона—Форда теорема 237
 Фалкерсона—Эдмондса теорема 197
 Феррерса диаграмма 45
 Фибоначчи числа 77—80
 Фибоначчиева система счисления 80
 Флойда—Уоршалла алгоритм 231
 Форда—Беллмана алгоритм 226
 Форда—Фалкерсона теорема 237

Формула Бине 80
 — Пойи 113
 — полиномиальная 32
 — рекуррентная 18, 76, 101
 — — линейная 86
 — — — неоднородная 88
 — — — однородная 86
 — — порядка k 76
 — Стирлинга 375
 — Эйлера 205, 394
 Фундаментальное множество
 разрезов графа 165
 — — циклов графа 161
 Фундаментальный разрез графа
 164
Характеристический много-
 член линейного рекуррентно-
 го уравнения 86
 Хватала теорема 158
 Хивуда теорема 217
 Холла теорема 197
 Хорда графа 131
 Хроматическое число 216
Центр графа 123
 Центральная вершина графа
 123
 Цепи вершинно-непересекаю-
 щиеся 149
 Цепь 120
 — простая 120
 — увеличивающая 238
 — чередующаяся 189
 Цикл 120
 — матроида 169
 — простой 120
 — эйлеров 156, 386
 Цикла нормализованная форма
 записи 66
 Циклический маршрут 120

Циклов фундаментальное мно-
 жество 161
 Цикломатическое число 162
Частичная трансверсаль
 197
 Чередующаяся цепь 189
 Числа Белла 43
 — Каталана 82
 — Рамсея 119
 — Стирлинга второго рода
 42
 — — первого рода 44
 — Фибоначчи 77—80
 Число вершинного покрытия
 174
 — доминирования 180
 — кликовое 179
 — коцикломатическое 164
 — независимости вершинное
 174
 — — реберное 174
 — реберного покрытия 174
 — хроматическое 216
 — цикломатическое 162
Штейнера задача 141
Эдмондса—Радо теорема 169,
 389
 Эдмондса—Фалкерсона теорема
 197
 Эйлера теорема 118, 130, 157,
 205, 386, 394
 — формула 205, 394
 Эйлеров граф 156, 386
 — цикл 156, 386
 Эксцентриситет вершины графа
 123
 Эффект «комбинаторного взры-
 ва» 20

Минимальные системные требования определяются соответствующими требованиями программ Adobe Reader версии не ниже 11-й либо Adobe Digital Editions версии не ниже 4.5 для платформ Windows, Mac OS, Android и iOS; экран 10"

Учебное электронное издание

Серия: «Педагогическое образование»

Окулов Станислав Михайлович

**ДИСКРЕТНАЯ МАТЕМАТИКА.
ТЕОРИЯ И ПРАКТИКА РЕШЕНИЯ ЗАДАЧ ПО ИНФОРМАТИКЕ
Учебное пособие**

Редактор *Е. Костомарова*

Художник *С. Инфантэ*

Технический редактор *Е. Денюкова*

Корректор *Е. Клитина*

Оригинал-макет подготовлен *М. Пановым* в пакете $\LaTeX 2_{\epsilon}$

Подписано к использованию 25.08.19.

Формат 125×200 мм

Издательство «Лаборатория знаний»

125167, Москва, проезд Аэропорта, д. 3

Телефон: (499) 157-5272

e-mail: info@pilotLZ.ru, <http://www.pilotLZ.ru>



ОКУЛОВ Станислав Михайлович

Декан факультета информатики Вятского государственного гуманитарного университета, кандидат технических наук, доктор педагогических наук, профессор. Автор 9 изобретений и автор (соавтор) 12 книг по информатике для школьников и студентов.

Область интересов: развитие интеллектуальных способностей школьника при активном изучении информатики, исследование ассоциативных систем обработки информации.

С 1993 по 2003 год деятельность в вузе совмещал с работой учителя информатики. За это время его ученики отмечены 33 дипломами (1-й и 2-й степени) на Российских олимпиадах школьников по информатике; трое из них представляли Россию на международных олимпиадах.